

Lucian Constantin Hanganu

MAȘINI PENTRU FILATURĂ



JUNIMEA

LUCIAN CONSTANTIN HANGANU

MAȘINI PENTRU FILATURĂ
(ediția a II-a)

EDITURA JUNIMEA
IAȘI - 2007

EDITURA JUNIMEA
B-dul Carol nr. 3-5
Iași
Tel./Fax.: 0232-410427
E-mail: office@editurajunimea.ro
Director: Cezar Ivănescu

Referenți științifici:

Prof. Dr. Ing. Valeriu V. Jinescu – Membru titular al
Academiei de Științe Tehnice din România

Dr. Ing. Emilia Visileanu – Director general Institutul
Național de Cercetare-Dezvoltare pentru Textile și Pielărie
București

Prof. Dr. Ing. Costea Budulan – Universitatea Tehnică
„Gh. Asachi” Iași

Tehnoredactare computerizată: Lucian Constantin Hanganu

Copertă: Lucian Constantin Hanganu

ISBN 978-973-37-1222-0

PREFAȚĂ

Evoluția construcției de mașini textile în general, iar a celor pentru filatură în special, a produs schimbări esențiale în modul de realizare și exploatare a acestora.

Echiparea filaturilor cu mașini și utilaje dintre cele mai performante, conduce la necesitatea existenței unui personal cu înaltă calificare pentru deservirea lor. Pentru exploatarea eficientă a acestora, este necesară cunoașterea aprofundată de către utilizatori, atât a principalelor elemente de proiectare, cât și a principiilor de funcționare însoțite de posibilitățile tehnice pe care le are fiecare mașină în parte.

Utilajele din filatură aparțin domeniului mecanicii fine, sunt deosebit de complexe, cu multe lanțuri cinematice și cu numeroase posturi de lucru. Acestea trebuie să facă față cerințelor pieții privind diversificarea rapidă sortimentală a produselor impuse de modă în condițiile unei eficiențe economice ridicate.

În acest context, lucrarea își propune să contribuie la explicarea principiilor de bază ale proiectării mașinilor pentru filatură, concretizate în numeroase exemple.

Cartea este destinată atât specialiștilor cât și studenților care își desfășoară sau își vor desfășura activitatea în:

- firme constructoare de utilaje textile și accesorii;
- unități de cercetare, proiectare și testare pentru utilaje textile;
- întreprinderi textile, sectoarele mecanic-șef;
- unități de comerț privind activitatea de import-export pentru utilaje textile;
- cooperare cu parteneri externi în construcția de utilaje și accesorii;
- unități de învățământ tehnic preuniversitar și universitar.

Totodată, a fost impusă realizarea unei astfel de lucrări și din lipsa unui material bibliografic de specialitate atât din țară, cât și din străinătate, iar conținutul său reprezintă o noutate absolută în domeniul proiectării mașinilor pentru filatură.

În astfel de condiții această lucrare își dorește să contribuie în primul rând, la formarea unor specialiști capabili să conducă procese tehnologice în construcția de mașini pentru filatură, să elaboreze și să proiecteze obiective specifice, să abordeze lucrări de cercetare și să poată răspunde competent unor probleme de graniță.

Conducerea proceselor tehnologice se referă la:

- fabricarea componentelor specifice utilajelor pentru fi latură;
- montajul, reglarea și asamblarea pe fluxul de fabricație a subansamblelor (mecanisme de execuție, mecanisme de transmisie, instalații auxiliare și altele);
- încercarea pieselor componente, ale subansamblurilor și mașinilor pe standuri adecvate dotate cu aparatură electronică modernă;
- întreținerea tehnică, repararea curentă, exploatarea optimă a utilajelor din filaturi.

În activitatea de proiectare se urmăresc:

- ansamblurile agregatelor și mașinilor din filaturi pe baza cerințelor generale privind construcția de mașini;
- subansamblurile părților mecanice ale mașinilor, inclusiv elaborarea proiectelor de execuție pentru reperatele componente;
- instalațiile auxiliare ale mașinilor (transport mecanic și pneumatic pentru semifabricate, aspirație praf și scame, amortizare zgomot ș.a.);
- procesele tehnologice de reparare industrială a pieselor de schimb, a subansamblelor, de recondiționare a mașinilor;
- elaborarea proiectelor pentru secțiile de fabricație, repararea și întreținerea, inclusiv pentru diagnosticarea și testarea mașinilor.

Prin activitatea de cercetare se urmărește dezvoltarea unor aspecte noi în domenii ca:

- reducerea consumurilor specifice de energie, de materiale auxiliare (chimicale, aburi, aer comprimat ș.a.);
- creșterea vitezelor de lucru și a productivității muncii;
- micșorarea cantităților de deșeuri;
- reciclarea materiilor prime și a deșeurilor recuperabile;
- creșterea formatelor (bobine, suluri ș.a.);
- scurtarea proceselor tehnologice prin reducerea numărului de pasaje;
- sporirea fiabilității;
- mecanizarea, automatizarea, robotizarea operațiilor care necesită volum mare de muncă (spre ex.: levata automată, sisteme expert ș.a.);
- realizarea de linii tehnologice în flux continuu;
- adaptarea utilajelor la condițiile impuse de apariția noilor fibre chimice;
- reducerea nivelului de zgomot.

Autorul

CUPRINS

CAPITOLUL 1. Generalități asupra aspectelor specifice construcției de mașini pentru filatură	11
1.1. Mecanismele de execuție	11
1.2. Mecanismele de transmisie	15
1.3. Puterea și acționarea electrică a mașinilor din filatură	19
1.3.1. Aspecte generale privind determinarea puterii	19
1.3.2. Date experimentale privind puterea consumată și distribuția acesteia pe mecanisme la unele mașini din filatură în vederea proiectării sau modernizării	24
1.3.3. Acționarea electrică a mașinilor din filatură	28
1.3.4. Alte aspecte specifice	29
CAPITOLUL 2. Elemente de proiectarea mașinilor pentru amestecare-destrămare-curățire	31
2.1. Tambure cu cuțite	32
2.2. Volantul bătător	35
2.2.1. Generalități constructive	35
2.2.2. Elemente de calcul organologic a volanților cu lineale	37
2.3. Grătarul	42
2.3.1. Forma și așezarea barelor	43
2.4. Mecanisme reglatoare a alimentării mașinilor bătătoare	45
2.4.1. Mecanismul regulator cu pedale și conoizi	45
2.4.2. Mecanismul regulator cu pedale, conoizi și diferențial	53
2.5. Mecanisme pentru formarea și înfășurarea păturilor	55
CAPITOLUL 3. Carde	63
3.1. Acționarea cardelor	65
3.1.1. Soluții constructive	65
3.1.2. Elemente de calcul	66
3.2. Garnituri de cardă	68
3.2.1. Forma și poziția acelor la garniturile elastice	68
3.2.2. Garnituri rigide	70
3.3. Cilindrii cardelor	71
3.3.1. Calculul deformațiilor radiale maxime și a eforturilor	

unitare maxime pentru regimul normal de funcționare în cazul învelișului fără nervuri de rigidizare	73
3.3.1.1. Efortul unitar și deformația radială la învelișul cilindric liber la capete	74
3.3.1.2. Deformațiile radiale la învelișul rezemat la capete pe suporturi rigizi	76
3.3.1.3. Eforturile unitare maxime în învelișul cilindric	82
3.3.1.4. Influența forței centrifuge asupra învelișului cilindric	84
3.3.1.5. Stabilitatea învelișurilor cilindrice	86
3.3.2. Cilindrii de cadra cu nervuri de rigidizare circulare; calculul deformațiilor radiale maxime	87
3.3.3. Calculul de rezistență al învelișului cilindric așezat pe sol	92
3.4. Mecanisme pentru detașarea vâului	94
3.4.1. Generalități	94
3.4.2. Pieptenele oscilant detașor	96
3.4.2.1. Determinarea frecvenței minime de oscilație	97
3.4.2.2. Elemente de calcul cinematic	99
3.4.2.3. Calcule de rezistență	99
3.4.2.4. Calculul la vibrații	104
3.4.2.5. Echilibrarea mecanismului pieptului oscilant detașor	109
3.4.2.6. Descărcarea mecanismului cu ajutorul unei bare de răsucire	110
CAPITOLUL 4. Mașini de pieptănat	113
4.1. Piepteni circulari și rectilinii	114
4.1.1. Ace pentru piepteni	114
4.1.2. Piepteni circulari	115
4.2. Mecanismul cleștilor	117
4.2.1. Schema cinematică pentru mecanismul cleștilor la mașini tip Nasmith	117
4.2.2. Elemente de calcul cinematic pentru subansamblul de comandă al cleștilor	119
4.2.3. Mecanismul cleștelui și al pieptenelui rectiliniu	121
4.3. Mecanismul pentru mișcarea de rotație a cilindrilor detașori	130
4.3.1. Schema cinematică și principiul de funcționare privind mecanismul sistemului Within	131
4.3.2. Elemente de calcul cinematic	132
4.3.3. Aspecte cu privire la cinematica mecanismului de	

comandă a diferențialului (camă - levier oscilant)	135
4.3.4. Schema cinematică, principiul de funcționare și elemente de calcul cinematic pentru mecanismul Century-Platt	139
CAPITOLUL 5. Elemente de proiectare privind trenurile de laminat	141
5.1. Cilindrii trenurilor de laminat	142
5.2. Elemente de calcul pentru cilindrii motori de la trenurile de laminat	147
5.3. Trenurile de laminat cu câmpuri de ace	149
5.3.1. Poziția și numărul linealelor cu ace	149
5.3.2. Aspecte cu privire la definirea geometriei linealelor și melcilor	152
5.3.3. Elemente de proiectare cinematică privind mecanismul pentru coborârea și ridicarea linealelor	156
5.3.3.1. Profilul camelor	156
5.3.3.2. Cinematica mecanismului camă-lineal	160
5.3.4. Elemente de calcul organologic pentru came și lineale	161
CAPITOLUL 6. Flaiere	167
6.1. Flaierul în filatura tip bumbac	167
6.2. Elemente de proiectare a furcilor de flaiere	193
6.2.1. Stabilirea gradului de solicitare a brațului de echilibrare a furcilor de flaiere	194
6.2.1.1. Calculul momentelor de încovoiere	195
6.2.1.2. Calculul tensiunilor pe porțiunea curbă a brațului de echilibrare	202
6.2.2. Calculul deformațiilor brațelor	205
6.2.3. Calculul turațiilor critice	210
6.2.4. Rezistența aerodinamică a furcilor de flaiere	212
CAPITOLUL 7. Mașini de filat cu inele	215
7.1. Cinematica mașinii de filat cu inele	215
7.1.1. Cinematica subansamblului central de acționare a mașinii	215
7.1.2. Cinematica subansamblului de antrenare a fuselor	221
7.1.3. Cinematica subansamblului de antrenare a trenului de laminat	222
7.1.4. Cinematica subansamblului de comandă a saltului băncii inelelor și a băncii limitatoarelor de balon	225
7.1.5. Cinematica ansamblului de antrenare a băncii inelelor și a băncii inelelor limitatoare de balon	237

7.2. Dinamica mașinii de filat cu inele	252
7.2.1. Stabilirea ecuației diferențiale a funcționării mașinii de filat cu inele	252
7.2.1.1. Calculul energiei cinetice	252
7.2.1.2. Calculul forțelor generalizate care acționează asupra mașinii	258
7.2.1.2.1. Calculul forțelor generalizate active	258
7.2.1.2.2. Calculul forței generalizate disipative	263
7.2.1.3. Ecuația diferențială a mașinii	270
7.2.2. Integrarea ecuației diferențiale a mașinii de filat cu inele	270
CAPITOLUL 8. Fuse textile	283
8.1. Construcția fuselor textile	283
8.1.1. Clasificarea fuselor textile	283
8.1.2. Suportți pentru fusele textile	288
8.1.2.1. Condiții impuse pentru exploatare	288
8.1.2.2. Tipuri constructive de suportți; caracteristici funcționale	291
8.1.3. Fuse textile cu amortizor hidraulic	300
8.1.3.1. Suportți cu lagăr inferior legat elastic față de cupă	302
8.1.3.2. Suportți cu amândouă lagărele legate elastic de cupă	317
8.1.3.3. Suportți cu lagăre legate rigid de cupă	326
8.1.4. Criterii de apreciere a soluțiilor constructive pentru fusele textile	327
8.1.4.1. Comparație între fusele cu amortizare prin frecare și fusele cu amortizare hidraulică	327
8.1.4.2. Criterii de comparație între soluțiile constructive ale fuselor cu amortizor hidraulic	329
8.2. Dinamica fuselor textile	335
8.2.1. Studii teoretice asupra dinamicii fuselor textile cu rezemare elastică a lagărului inferior	336
8.2.1.1. Varianta I de studiu	336
8.2.1.1.1. Modelul matematic al comportamentului dinamic	337
8.2.1.1.2. Stabilirea relațiilor cinematice necesare studiului dinamic	341
8.2.1.1.3. Stabilirea energiei cinetice a sistemului mecanic în funcție de parametri lagrangeieni și de vitezele generalizate	342
8.2.1.1.4. Calculul forțelor generalizate ale	

sistemului mecanic	343
8.2.1.1.5. Stabilirea ecuațiilor diferențiale de mișcare ale sistemului mecanic	345
8.2.1.2. Varianta a II-a de studiu	347
8.2.1.2.1. Calculul energiei cinetice a sistemului mecanic	350
8.2.1.2.2. Calculul forțelor generalizate	351
8.2.1.2.3. Stabilirea ecuațiilor diferențiale de mișcare ale sistemului mecanic	356
8.2.1.2.4. Integrarea sistemului de ecuații diferențiale de mișcare ale sistemului mecanic	357
8.2.1.2.5. Interpretarea și prelucrarea soluțiilor generale ale mișcării vibratorii a fusului	363
8.2.2. Studiul teoretic al dinamicii fuselor textile cu rezemare elastică a ambelor lagăre și cu amortizare hidraulică	367
8.2.2.1. Modelul matematic al comportamentului dinamic	367
8.2.2.2. Stabilirea relațiilor cinematice necesare studiului dinamic	370
8.2.2.3. Stabilirea expresiei energiei cinetice a sistemului mecanic în funcție de parametri langrangeieni și de vitezele generalizate	370
8.2.2.4. Calculul forțelor generalizate ale sistemului mecanic	371
8.2.2.5. Stabilirea ecuațiilor diferențiale de mișcare ale sistemului mecanic	372
8.2.3. Metode de rezolvare a ecuațiilor de mișcare	375
8.2.3.1. Algoritmi de calcul	376
8.2.3.2. Programe de calculator	379
8.2.3.3. Exemple de calcul	380
CAPITOLUL 9. Mecanisme de înfășurare	385
9.1. Legile înfășurării - baze de proiectare pentru mecanismele de înfășurare	385
9.2. Elemente de proiectare pentru mecanismele de înfășurare de la flaiere	387
9.2.1. Legile de înfășurare	387
9.2.2. Condiții impuse mecanismelor de acționare a furcilor, bobinelor și băncii bobinelor	388
9.2.3. Schema bloc pentru transmisiile de la flaiere	389
9.2.4. Relații cinematice obligatorii pentru flaierele clasice	391
9.2.5. Variatoare de viteză pentru flaiere	394

9.3. Baze de proiectare pentru mecanismele de torsionare - înfășurare ale mașinilor de filat cu inele	396
9.3.1. Legile înfășurării conice	396
9.3.2. Grosimea straturilor; saltul băncii inelelor	399
9.3.3. Formarea piciorului bobinei	401
9.4. Influența excentricității inelului asupra forței de întindere a firului la mașinile de filat și de răsucit	401
9.4.1. Cinematica mișcării cursorului pe inel	402
9.4.2. Calculul forței suplimentare de întindere a firului provocată de excentricitatea inel - cursor	405
9.5. Antrenarea fuselor de la mașinile de filat și răsucit	408
9.5.1. Cerințe tehnice	408
9.5.2. Soluții pentru antrenarea fuselor textile	408
9.5.3. Elemente de proiectare a transmisiilor pentru antrenarea fuselor textile	413
9.5.3.1. Proiectarea transmisiilor prin curele textile	413
9.5.3.2. Proiectarea transmisiilor prin curele tangențiale	418
BIBLIOGRAFIE	419

Capitolul 1

GENERALITĂȚI ASUPRA ASPECTELOR SPECIFICE CONSTRUCȚIEI DE MAȘINI PENTRU FILATURĂ

Pentru utilajele destinate filaturilor, pe lângă problemele care intervin în mod curent în construcția de mașini, cum ar fi acelea privind rezistența, rigiditatea, vibrațiile, materialele, tehnologiile de execuție, tribologia se conturează și unele aspecte specifice referitoare la:

- mecanismele de execuție,
- mecanismele de transmisie,
- puterea și acționarea electrică,
- automatizarea ,robotizarea, monitorizarea,
- utilizarea sistemelor expert (inteligenta artificială),
- comoditatea deservirii, protecția muncii,
- eficiența economică.

1.1. Mecanismele de execuție

Mecanismele de execuție reprezintă mecanismele de bază ale mașinilor, conțin organele lucrătoare ce vin în contact nemijlocit cu materia primă și asigură deplasarea acestora în vederea îndeplinirii procesului tehnologic stabilit. Soluțiile de principiu cât și rezolvările constructive sunt în strânsă corelație cu:

- destinația mașinii și tipul de produs,
- calitatea și proprietățile produsului care se prelucrează și a celui livrat de mașină,
- procesul tehnologic adoptat la mașina respectivă.

Astfel operațiile întâlnite pe fluxul tehnologic de realizare a firelor cum sunt spre exemplu cele legate de amestecare-destrămare, cardare, laminare, pieptănare, torsiune-înfășurare, stabilesc soluții specifice pentru organele de lucru.

La o operație dată se iau în considerare materiile prime și semifabricatele, caracteristicile lor și a produselor livrate. Intervin printre altele aspecte legate de natura fibrelor (naturale, chimice) – la care diferă încărcările electrostatice, coeficienții de frecare, lungimile fibrelor (scurte, lungi) și finețea acestora.

Procesele tehnologice la mașinile pentru filatură sunt alcătuite din mai multe operații. De exemplu la mașina de filat clasică (fus-inel-cursor) au loc: desfășurarea semirotorului de pe bobina însoțită uneori și de dublare, laminarea semirotorului, răsucirea și înfășurarea firului pe țeavă, iar la unele mașini moderne și scoaterea automată a levatei.

Operațiile care intră în componența unui proces tehnologic se pot grupa în operații de bază și operații auxiliare; pentru exemplul dat toate operațiile sunt de bază, exceptând levata. Ca operații auxiliare se menționează cele de așezare-scoatere, de transport, de comandă și control.

Operațiile de bază sunt mecanizate, iar unele automatizate, aproape la toate mașinile întâlnite în filaturi; bună parte din cele auxiliare sunt încă efectuate manual chiar și la unele mașini moderne. Operațiile de așezare-scoatere se referă la așezarea semifabricatului cu care se alimentează mașina și la extragerea produsului rezultat. În prezent se manifestă o puternică tendință de mecanizare și automatizare a acestora. Spre exemplu bătătoarele sunt prevăzute cu dispozitive de scoatere automată a sulului, iar la mașinile de filat cu inele problema levatei automate este rezolvată în țările avansate industrial.

Operațiile de transport care au drept scop deplasarea materialului care se prelucrează, se desfășoară la multe mașini simultan cu operațiile de bază, sub acțiunea aceluiași organe de execuție. De exemplu, la laminoare, flaiere, mașini de filat cu inele, operația de laminare se desfășoară concomitent cu transportul fibrelor prin intermediul trenului de laminat.

Operațiile de control sunt folosite pe scară din ce în ce mai largă la mașinile pentru filatură, fiind necesare pentru realizarea automatizării și monitorizării proceselor tehnologice, având rolul de a sesiza erorile care apar pe flux, în vederea transmiterii comenzilor pentru reglare automată și computerizare. Astfel de situații se întâlnesc spre exemplu la bătătoare cu reglatoare cu pedale sau cu celule fotoelectrice, la laminoare și la carde prevăzute cu reglaj automat a uniformizării benzii, la mașini de filat, mașini de bobinat pentru înnădirea automată a firelor rupte.

Procesele tehnologice se pot grupa în procese cu acțiune continuă și procese cu acțiune periodică. În prezent o preocupare importantă în construcția mașinilor și utilajelor pentru filatură este orientată spre realizarea de procese cu acțiune continuă prin agregarea în linii tehnologice a utilajelor. Se caută, pe cât posibil, să se folosească mecanisme de execuție cu mișcare uniformă de rotație concomitent cu înlocuirea celor cu mișcare oscilantă.

La proiectarea mașinilor cu acțiune periodică, inițial se elaborează diagrama ciclică de funcționare, care, în baza procesului tehnologic stabilit, arată în ce ordine și în ce momente trebuie să acționeze mecanismele de execuție, pe durata unui ciclu tehnologic (ex. mașini de pieptănat). De regulă, perioada unui ciclu se ia egală cu perioada unei rotații a arborelui principal sau un multiplu al acesteia.

Diagramele pot fi construite în sistem polar (diagrame circulare) sau în sistem dreptunghiular (diagrame liniare) - figura 1.1.

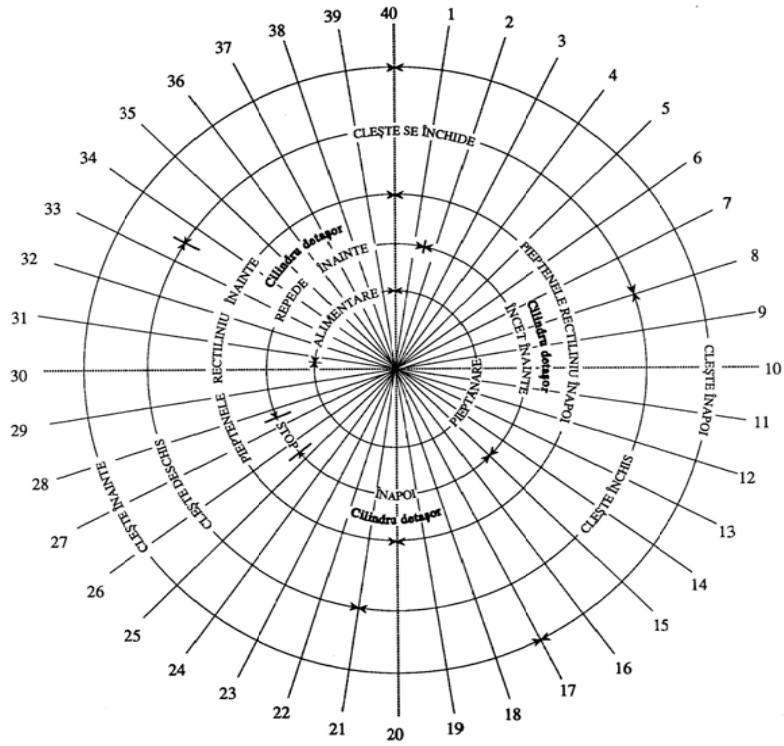
Mașinile pentru filatură prelucrează materiale care posedă rezistență redusă. Rezultă că soluțiile pentru mecanismele de execuție trebuie să asigure o tensionare redusă și uniformă a produsului prelucrat, să evite șocurile care ar cauza ruperi sau ar mări gradul de neuniformitate al produsului rezultat (benzi, semitorturi, fire).

Procesele tehnologice se pot desfășura numai pe calea acțiunii mecanice asupra produsului, provenită de la organele de lucru (ex. laminare, filare), sau cu intervenția și altor agenți suplimentari fizici sau chimici. Astfel la bătătoare se folosește și acțiunea curenților de aer, la leviatane și acțiunea agenților chimici de spălare. Soluționarea constructivă a mecanismelor de execuție se va realiza astfel și în strânsă corelație cu acțiunea agenților suplimentari.

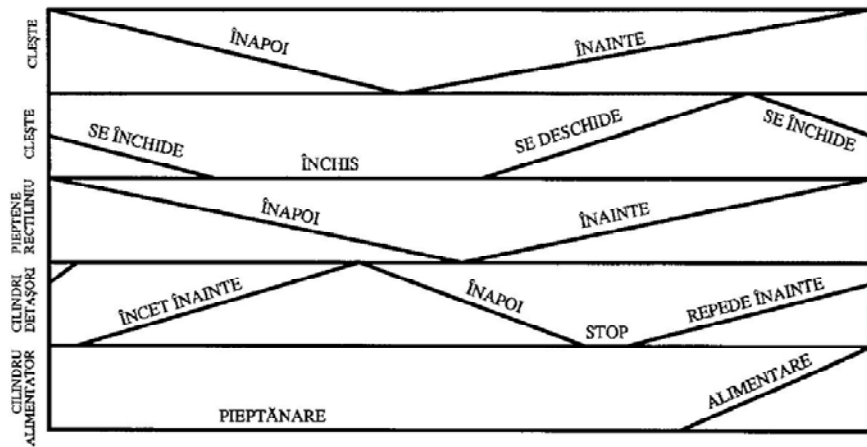
Pentru îndeplinirea unei operații pot fi adoptate diferite variante ale mecanismului de execuție, care să corespundă cerințelor tehnice impuse; se va adopta varianta cea mai economică, cu cele mai puține repere, simplă la deservire, cu fiabilitate și productivitate ridicate.

Dacă mecanismul de execuție se proiectează după un model existent este obligatorie analiza procesului tehnologic respectiv și efectuarea unor modernizări cu luarea în considerare a noutăților apărute în domeniu.

Dacă mecanismul de execuție se proiectează pe principii complet noi, se impune verificarea acestuia și a procesului tehnologic pe care-l deservește, pe unul sau mai multe prototipuri experimentale; abia după ce se obțin rezultatele scontate se trece la proiectarea definitivă.



a)



b)

Fig. 1.1

1.2. Mecanismele de transmisie

Proiectarea mecanismelor de transmisie se realizează după stabilirea soluțiilor pentru mecanismele de execuție. Acestea trebuie să asigure acționarea organelor de lucru după legile de mișcare necesare procesului tehnologic adoptat, în condiții optime.

Intervin aspecte legate de vitezele organelor de lucru, de relațiile ce trebuie să existe între acestea, de reglaje ce urmează a fi efectuate în funcție de caracteristicile produsului prelucrat și ale celui livrat (torsiune, finețe, laminaj etc.), de randamentele transmisiilor, de economicitatea construcției, de protecția și igiena muncii.

În concordanță cu acestea se elaborează schema cinematică a mașinii și se stabilesc rapoartele de transmitere ale lanțurilor cinematice, adoptându-se soluții corespunzătoare pentru mecanismele de transmisie componente.

a) *Viteza de lucru a organelor de execuție* influențează construcția mecanismelor de transmisie și reprezintă factorul de bază cu privire la producția mașinii. Creșterea vitezelor de lucru reprezintă o tendință permanentă a constructorilor de mașini pentru filatură.

Valorile maxime ale vitezelor de lucru sunt limitate de o serie de factori de care depinde funcționarea corectă și sigură a acesteia, cum ar fi: frecvența de rupere a semifabricatelor, neuniformitatea produselor livrate, consumul specific de energie, condițiile de lucru ale unor organe componente, precizia de execuție, posibilitățile de deservire ale mașinii.

Spre exemplu, la mașinile de filat cu inele, viteza de lucru este limitată de creșterea forței de întindere în fire, întrucât de aceasta depinde frecvența de rupere a firelor.

Valorile maxime ale vitezelor, care asigură o deservire corectă a proceselor tehnologice, se stabilesc pe bază de cercetări teoretice și experimentale în strânsă dependență cu soluțiile adoptate pentru mecanismele de execuție și cu calitatea construcției acestora. La viteze mari intervin solicitări mai intense ale organelor componente, îndeosebi pentru mecanismele cu funcționare intermitentă, la care apar forțe de inerție importante dacă reperetele componente au mase și accelerații relativ mari. Cresc de asemenea reacțiunile din cuplele cinematice, iar în unele cazuri forțele de rezistență a mediului înconjurător, ca în cazul furcilor de flaiet. Drept consecință apar consumuri specifice de putere majorate, uzură și încălziri pronunțate în cuplele de frecare.

Pe de altă parte, funcționarea cu viteze ridicate, impune o execuție mai precisă și o deservire mai dificilă, ceea ce contribuie la creșterea prețului de cost al mașinii. În schimb producția și productivitatea unor astfel de

mașini, în cele mai multe cazuri, contribuie la realizarea unei eficiențe economice mărite, aceasta reprezentând de fapt factorul hotărâtor în adoptarea soluției respective.

b) *Schema cinematică* împreună cu parametrii cinematici și dinamici ai unei mașini trebuie să îndeplinească o serie de condiții de bază:

- realizarea valorilor parametrilor tehnologici și a caracteristicilor produsului livrat, cum ar fi spre exemplu viteza de debitare, finețea, torsiunea;

- reglarea independentă a valorilor parametrilor variabili (spre ex. laminajul, torsiunea etc.) prin introducerea în structură a unor mecanisme sau organe corespunzătoare (variatoare de viteză, roți de schimb etc.);

- menținerea în limitele stabilite a valorilor pentru parametrii tehnologici;

- efectuarea cu rapiditate și siguranță a reglajelor;

- gruparea compactă a transmisiilor în lanțuri cinematice scurte cu număr minim de repere;

- distribuirea rațională a energiei mecanice către mecanismele de execuție;

- repartizarea rațională a rapoartelor totale de transmitere pe transmisiile componente ale lanțurilor cinematice.

În continuare, până la sfârșitul acestui paragraf, se vor urmări câteva aspecte legate de unele dintre condițiile menționate.

Stabilirea valorilor pentru parametrii tehnologici, îndeosebi la mașinile cu procese automatizate, impune o sincronizare strictă a mișcărilor organelor de lucru. În acest sens este rațional ca în cazul folosirii transmisiilor mecanice, să se adopte soluții cu rapoarte riguros constante cum sunt cele cu roți dințate, cu lanțuri și curele dințate; astfel de transmisii se impun, spre exemplu, la trenurile de laminat unde se cer valori constante pentru laminaj, în vederea evitării neregularităților produsului. Dacă totuși se adoptă transmisii prin curele și roți de fricțiune, cum se impune uneori în cazul vitezelor mari (spre ex. curelele pentru antrenarea fuselor mașinilor de filat cu inele) este necesar să se ia măsuri pentru menținerea vitezelor de lucru în limitele admise la mecanismele de execuție (ca în cazul rolei întinzătoare de la mașinile de filat cu inele, care nu permite variații ale vitezei fuselor decât până la 2 - 3%, asigurându-se toleranțele impuse pentru torsiunea firelor).

Se obține de asemenea o bună stabilitate a parametrilor tehnologici dacă se adoptă lanțuri cinematice scurte, structurate din repere executate cu precizie ridicată, suficient de rigide și rezistente la uzură.

Distribuția rațională a energiei mecanice către mecanismele de execuție se realizează în principiu prin folosirea de mecanisme de transmisie așezate cât mai aproape de arborele principal, mai ales când organele lucrătoare sunt mari consumatoare de energie ca în cazul cardelor, mașinilor de filat, flaiierelor.

Repartiția rațională a rapoartelor totale de transmitere pe rapoarte parțiale corespunzătoare transmisiilor care structurează fiecare lanț cinematic trebuie să ia în considerare următoarele:

- în cazul în care viteza este mai mare la elementul de ieșire față de elementul de intrare al lanțului ($\omega_n > \omega_1$) - figura 1.2b, este indicat ca această creștere să se materializeze la primele transmisii, întrucât, la o putere dată, dimensiunile pieselor se micșorează pe măsura creșterii vitezei ($P = M_t \cdot \omega_1$);

- în cazul în care viteza de rotație este mai mică la elementul de ieșire ($\omega_n < \omega_1$) - figura 1.2a, este rațional ca descrescerea să se realizeze mai repede la ultimile transmisii ale lanțului, pentru același motiv;

- nu este rațional ca în structura unui lanț cinematic să se regăsească transmisii care să modifice caracterul crescător sau descrescător al vitezelor - figura 1.2c.

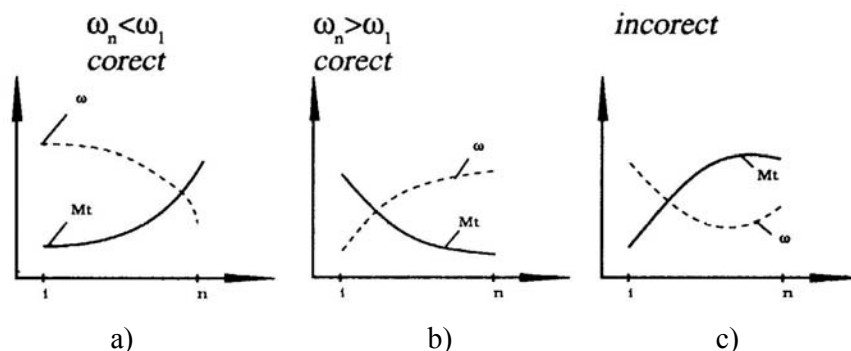


Fig. 1.2

Se adoptă pentru raportul de transmitere definiția generală:

$$i_{i,i+1} = \omega_i / \omega_{i+1} \quad (1.1)$$

în care:

- ω_1 este viteza unghiulară a elementului conducător,
- ω_{i+1} este viteza unghiulară a elementului condus.

În cazul $\omega_n < \omega_1$ rezultă că rapoartele parțiale de transmitere, pentru a respecta recomandările făcute, trebuie să aibă valori descrescătoare, pornindu-se de la elementul de intrare al lanțului.

$$i_{12} > i_{23} > \dots > i_{i,i+1} > \dots > i_{n-1,n} \quad (1.2)$$

Raportul de transmitere total este:

$$i = i_{12} \cdot i_{23} \cdot \dots \cdot i_{i,i+1} \cdot \dots \cdot i_{n-1,n} \quad (1.3)$$

Pentru exemplificare în figurile 1.3a și 1.4a sunt reprezentate două schema cinematice pentru mecanismul de transmisie între cilindrul motor al unui tren de laminat cu doua zone de la o mașină de filat cu inele, iar în figurile 1.3b și 1.4b sunt reprezentate distribuțiile vitezelor unghiulare și momentelor de răsucire pe organele componente.

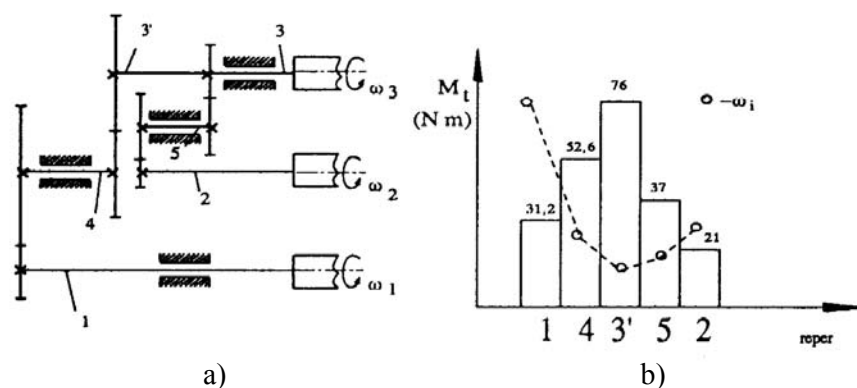


Fig. 1.3

Corespunzător schemei din figura 1.3 are loc mai întâi o micșorare a vitezei de la cilindrul debitor 1 la cilindrul alimentator 3, apoi o creștere a vitezei la cilindrul intermediar 2. (Obs.: pentru respectarea laminajelor parțiale trebuie realizată în același timp și legătura definită prin relația ($\omega_1 < \omega_2 < \omega_3$)).

Pentru schema din figura 1.4 au loc descreșteri treptate ale vitezei pe lanțul de la cilindrul debitor 1 către cilindrul alimentator 3.

Schema din figura 1.4 conduce la momente de răsucire pe arborii 3, 4 și 5 cu valori mai mici (vezi figurile 1.3b și 1.4b); eforturile unitare în

arborii și roțile dințate sunt apreciabil mai scazute. Spre exemplu la arborele 3 - figura 1.4, acționează un moment de 16 Nm față de 76 Nm - figura 1.3.

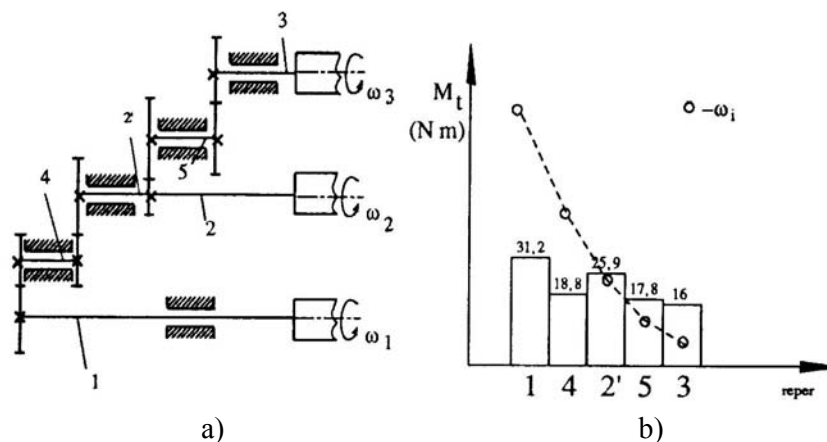


Fig. 1.4

A doua soluție conduce însă la necesitatea introducerii a doua roți de schimb în transmisie pentru a păstra corelația dintre laminajele parțiale, în cazul schimbării laminajului total.

La mașinile moderne care funcționează cu viteze mari și la agregate complexe (amestecare-destrămare-cardare), pentru a nu avea lațuri cinematice cu un număr mare de elemente, ceea ce duce la o scădere a randamentului, se folosesc mai multe electromotoare pentru acționarea mecanismelor de execuție, fiind luate măsuri în vederea sincronizării lor, impuse de diagramele ciclice de funcționare. Totodată este rațional a se adopta pentru organul principal al mecanismului de transmisie viteze apropiate de cea mai mare viteză a organelor de execuție.

1.3. Puterea și acționarea electrică a mașinilor din filatură

1.3.1. Aspecte generale privind determinarea puterii

Cunoașterea consumului de putere al mecanismelor principale ale unei mașini este necesară arăt pentru stabilirea încărcărilor ce acționează asupra organelor componente, cât și pentru alegerea motoarelor electrice de acționare.

Determinarea puterii se poate face prin calcul sau pe cale experimentală.

Calculul puterii necesare pentru o mașină sau pentru un mecanism al mașinii se realizează cu ajutorul ecuației mișcării mașinii, transpusă pentru un interval de timp dt :

$$dL_m = dL_{ru} + dL_{rm} + dL_{rf} \pm dL_G \pm dL_{ri} \quad (1.4)$$

în care,

dL_m - lucrul mecanic elementar al forțelor utile (motoare),

dL_{ru} - lucrul mecanic elementar al forțelor rezistente utile (tehnologice),

dL_{rm} - lucrul mecanic elementar al forțelor de rezistență a mediului;

dL_{rf} - lucrul mecanic elementar al forțelor de frecare,

dL_G - lucrul mecanic elementar al forțelor conservative (greutate, elasticitate),

dL_{ri} - variația energiei cinetice (înlocuiește lucrul mecanic elementar al forțelor de inerție).

Puterea motoare totală necesară P_m este:

$$P_a = dL_m dt \quad (1.5)$$

Puterea utilă P_u

La marea majoritate a mașinilor din filatură consumul de energie pentru învingerea forțelor utile provenite de la procesul tehnologic, rareori depășește 20% din energia consumată de întreaga mașină; astfel la mașinile de filat cu inele puterea utilă este în medie de 18 ... 20% din puterea totală, la flaiere 7 ... 10%.

Determinarea prin calcul a forțelor rezistente utile la multe mașini din filatură nu se poate realiza în prezent din lipsa unor date de bază, așa cum spre exemplu se procedează la mașinile-unelte prin așchiere pentru care se cunosc grosimea șpanului, vitezele de așchiere, caracteristicile mecanice ale materialelor prelucrate.

Calea experimentală este frecvent utilizată pentru determinarea forțelor utile, fie în mod direct (în unele cazuri cu ajutorul dinamometrelor special așezate pe traseul semifabricatelor), fie indirect, prin măsurarea puterii consumate în diferite regimuri de lucru a întregii mașini sau a unor secțiuni ale acesteia.

Dacă se notează cu P_g puterea consumată la mers în gol și cu P_r puterea consumată în regim de funcționare dat, puterea utilă P_{ru} poate fi determinată cu aproximație cu relația:

$$P_{ru} = P_r - P_g \quad (1.7)$$

Puterea P_{ru} calculată este mai mare decât cea reală, deoarece la încărcarea mașinii apar forțe de frecare suplimentare, care acționează în cuplele cinematice, măbind astfel consumul de putere prin frecare.

Puterea P_{rf} consumată pentru învingerea rezistențelor de frecare, are pentru majoritatea mașinilor din filatură, cea mai mare pondere în puterea totală consumată.

Calculul, în principiu, se poate baza pe forțele de frecare stabilite pentru fiecare pereche cinematică. Alegerea valorilor potrivite pentru coeficienții de frecare este însă uneori dificilă, din cauza factorilor care influențează frecarea: natura materialelor suprafețelor care formează cupla tribologică, starea suprafețelor, presiunea de contact, viteza relativă, calitatea lubrifianului, precizia de montaj ș.a. În asemenea cazuri, pentru aprecierea puterilor consumate prin frecare sunt de preferat măsurători ale puterilor consumate la mers în gol, cu și fără mecanisme componente sau secțiuni ale mașinilor existente. În principiu se fac măsurători începând cu întreaga mașină, scoțând apoi treptat din funcțiune mecanismele componente. Datele obținute sunt aproximative, dar suficiente pentru orientarea în proiectare.

Puterea P_{rm} consumată pentru învingerea rezistenței mediului, are valori ridicate la mașinile ce funcționează cu viteze mari cum sunt flaierele, mașinile de filat, mașinile de răsucit. Relația de calcul pentru acest tip de putere este cunoscută din mecanica fluidelor:

$$P_{rm} = cA \frac{\rho v^3}{2} \quad (1.8)$$

în care,

c - coeficient aerodinamic a cărui valoare depinde de forma corpului și starea suprafeței acestuia care vine în contact cu mediul fluid,

A - suprafața proiectată a corpului pe plan perpendicular pe direcția de mișcare, în m^2 ,

v - viteza de deplasare a corpului, în m/s ,

ρ - densitatea mediului fluid, în kg/m^3 ($\rho = 1,25$ pentru aer la presiunea atmosferică),

$\frac{\rho v^3}{2}$ - presiunea dinamică.

La mașinile de filat cu inele, unde vitezele de rotație sunt mari, consumul de putere pentru învingerea rezistenței aerului este apreciabil; acesta crește odată cu mărirea diametrului bobinei (viteză periferică mărită). Din încercările efectuate a rezultat că la turații a fuselor de peste 12000 rot/min, se consumă pentru învingerea rezistenței aerului mai mult de 60% din puterea totală consumată de un fus.

Coeficientul aerodinamic c are valori reduse atunci când suprafețele sunt lustruite și de formă aerodinamică; acest coeficient este deosebit de important la furcile de flaiet. Valoarea coeficientului c la mașinile de filat cu inele depinde de felul fibrei: la lână valorile sunt aproximativ cu 25% mai mari ca la bumbac, iar la vâscoză de aproximativ 4 ori mai mici (fibre cu asperități foarte reduse).

Puterea P_{ri} consumată pentru învingerea forțelor de inerție, apare la pornire și la modificarea vitezei mașinii în timpul funcționării. În principiu P_{ri} se determină cu relația:

$$P_{ri} = M_{red} \omega_e = J_{red} \varepsilon_e \quad (1.9)$$

în care,

M_{red} - momentul forțelor de inerție redus la arborele electromotorului de antrenare al mașinii,

J_{red} - momentul de inerție redus la arborele electromotorului,

ω_e - viteza unghiulară a electromotorului,

ε_e - accelerația unghiulară a electromotorului.

Consumul de putere depinde de J_{red} și de durata pornirii mașinii; pentru durate mai scurte, sunt necesare accelerații mărite, deci și puteri mai mari. De exemplu la mașinile de filat cu inele pornirea durează 3 ... 5 secunde, iar la carda unde J_{red} este mai mare, pornirea durează în jur de 30 de secunde. Este posibil să se micșoreze durata de pornire măbind puterea electromotorului, soluție însă neeconomică (investiție mărită, factor de putere scăzut). Din acest motiv motorul se dimensionează după puterea consumată în regim normal de lucru (la viteza nominală).

Pentru micșorarea duratei de pornire este recomandat a se obține valori cât mai mici pentru momentul de inerție redus J_{red} . Astfel la carda durata de pornire este mai mică pentru cazul când tamburii sunt executați din oțel și nu din fontă.

Durata de pornire t_p , pentru cazul când se adoptă ipoteza $\varepsilon_e = \text{const.}$, se poate calcula cu aproximație folosind relația:

$$t_p = \omega_{en} \frac{J_{red}}{M_{max} - M_r} \quad (1.10)$$

în care,

ω_{en} este viteza unghiulară de regim a electromotorului,

M_{max} - momentul de rotație maxim desfășurat de arborele electromotorului în perioada de pornire,

M_r - momentul rezistent static al mașinii, redus la arborele electromotorului.

Relația (1.10) a fost stabilită pe baza următoarelor considerente:

- momentul motor maxim la pornire trebuie să învingă atât momentul rezistent static al mașinii, cât și momentul forței de inerție:

$$M_{max} = M_r + \varepsilon_e J_{red} \quad (1.11)$$

- s-a admis ipoteza:

-

$$\varepsilon_e = \text{const.} = \omega_{ne} / t_p \quad (1.12)$$

Înlocuind ε_e din relația (1.12) în relația (1.11) se obține expresia duratei de pornire t_p .

Puterea totală necesară la pornirea mașinii P_{mp} , rezultă:

$$P_{mp} = P_{ri} + P_{ru} + P_{rf} + P_{rm} \quad (1.13)$$

Rezultatele obținute cu ajutorul acestei relații sunt aproximative întrucât, pe durata pornirii mașinii, puterile nu rămân constante.

Orice modificare adusă mașinilor care vizează modernizarea, influențează consumurile de putere; sunt posibile următoarele schimbări principale ale caracteristicilor tehnice:

- majorarea numărului posturilor de lucru (spre exemplu numărul de fuse la mașinile de filat cu inele, flaiere);
- schimbarea dimensiunilor organelor lucrătoare impuse spre exemplu de adoptarea unor formate mărite;
- creșterea vitezelor de lucru;
- modificările structurale și constructive privind lanțurile cinematice;
- micșorarea greutateii pieselor;
- micșorarea gabariturii mașinii.

Creșterea numărului posturilor de lucru conduce la creșterea consumului de putere; dacă numărul acestora este mare, se poate admite, pentru calculele practice, o creștere liniară a puterii.

Se poate considera că la viteze reduse, puterea consumată variază proporțional cu greutatea pieselor. La viteze de lucru mai mari, modificările privind lungimea organelor de lucru care execută mișcări de rotație duc aproximativ la variații direct proporționale ale consumului de putere (spre ex. lungimea tamburilor la carde, a volantului la bătătoare), în timp ce creșterea diametrelor conduce la o creștere apreciabilă a puterii consumate.

La creșterea vitezei mașinii sau numai a unor mecanisme componente, consumul de putere se majorează cu o cantitate ΔP , care poate fi determinată aproximativ cu relația:

$$\Delta P = c\Delta\omega^k \quad (1.14)$$

în care c și k sunt coeficienți ce depind de felul mașinii, indicele k având valori supraunitare, ajungând până la aproximativ 3; la carde $k = 1,1 \dots 1,15$.

1.3.2. Date experimentale privind puterea consumată și distribuția acesteia pe mecanisme la unele mașini din filatură în vederea proiectării sau modernizării

La flaiere puterea în timpul levatei variază foarte puțin, practic se consideră constantă.

Puterea consumată se poate calcula cu următoarea relație empirică:

$$P = \frac{cFn_f}{1000} (kW) \quad (1.15)$$

în care:

c este puterea în kW, consumată de o furcă la 1000 rot/min,

F - numărul de furci,

n_f - turația furcilor (rot/min).

Valori aproximative pentru c sunt prezentate în tabelele 1.3 și 1.5, iar distribuțiile procentuale corespunzătoare în tabelele 1.4 și 1.6, pentru cazul bobinelor pline.

Observație: Procentajele prezentate în tabelele 1.1, 1.2, 1.4 și 1.6 au fost calculate în raport cu puterile consumate la mers în sarcină.

Tabelul 1.1.

Carde pentru fibre tip bumbac

Condiții de funcționare și mecanisme	Distribuția procentuală a puterii (%)
Mers în sarcină	100
Proces	22...25
Tambur principal	23...26
Cilindru rupător	13...14
Cilindru perietor	6...13
Pieptene oscilant	9...10
Dispozitive depunere bandă	7...13
Ansamblu alimentare	3...4
Mers în gol	74...77

Tabelul 1.2.

Laminoare pentru fibre tip in

Condiții de funcționare și mecanisme	Distribuția procentuală a puterii (%)
Mers în sarcină	100
Proces	10...12
Mecanism alimentare	2...3
Mecanism presare	0.8...1.1
Mecanism debitare și depunere camă	1...1.2
Mecanismul pieptenilor(câmp ace)	22...23
Mecanism laminare	49...53

Tabelul 1.3

Flaiere pentru fibre tip bumbac

Denumirea flaiierului	c (KW)
Gros	0,02...0,03
Mediu	0,012...0,015
Fin	0,01...0,011
Dublu fin	0,007...0,08

Tabelul 1.4

Flaiere pentru fibre tip bumbac

Mecanisme	Distribuția procentuală a puterii (%)
Arborele principal și furcile	50...60
Conoidul motor	10...13
Transmisia la bobine	18...35
Mecanismul pentru deplasarea băncii	3...4,5
Trenul de laminat	7...10

Tabelul 1.5

Flaiere pentru fibre tip in

 $c(kw)$

Denumirea flaiierului	Dimensiunile mosorului h/o(mm)		
	254/127	228/115	203/102
Fuior de in și cânepă	0,13...0,14	0,1...0,12	0,08...0,09
Câlți de in și de cânepă	0,11...0,12	0,09...0,1	0,075...0,085
Iută	0,09	0,06	0,05

Tabelul 1.6

Flaiere pentru fibre tip in

Condiții de funcționare și mecanisme	Distribuția procentuală a puterii (%)
Mers în sarcină	100
Puterea utilă	10
Mecanismul pieptenilor	14
Mecanism laminare	14
Mecanism mișcare bancă mosoare	6
Mecanism înfășurare	10
Mecanism antrenare furci	35

La mașinile de filat cu inele pentru fibre tip bumbac, puterea consumată depinde de o serie de factori, mai importanți fiind numărul de fuse și viteza acestora, dimensiunile bobinei pline, cursa băncii, finețea firului, particularitățile constructive ale mașinii.

În baza unor studii experimentale s-au stabilit o serie de relații de calcul empirice pentru determinarea puterii consumate la mașinile de filat cu inele. Astfel, Institutul de Cercetări Textile din Manchester propune, pentru situația bobinelor pline, relația:

$$P = 1.83 \cdot \left(\frac{1.65 \cdot n^{2.5} \cdot D^{2.5} \cdot H}{10^{17.5}} + \frac{2.74 \cdot n^{2.5} \cdot D \cdot H^2}{10^{15.5} Nm} \right) + \frac{0.156 \cdot n}{Nm \cdot 10^3} \quad (1.16)$$

în care:

P este puterea necesară pentru 100 fuse (kW),

n - turația fuselor (rot/min),

D - diametrul inelului (mm),

H - cursa băncii (mm),

Nm - finețea firului.

În tabelele 1.7 și 1.8 sunt prezentate date experimentale privind consumul și distribuția puterii pentru mașina de filat cu inele F.B.C. - "Unirea" Cluj-Napoca echipată cu 400 de fuse având diametrul inelului $D = 46$ mm, cursa băncii $H = 200$ mm, turația fuselor $n = 12000$ rot/min, finețea firului $Nm = 50$.

La mașinile de filat cu aripioare pentru in, puterea consumată poate fi calculată cu relația empirică dată de V.Still:

$$P = P_1 \cdot F \cdot n_f \cdot (n_f / 3500)^{0.16} \cdot (t/90)^2 \cdot (1 + u/600) \cdot (1 + 2N_m^{-1/2}) \quad (1.17)$$

în care:

F reprezintă numărul de fuse,

n_f - turația fuselor (rot/min), valabilă pentru intervalul 1500 ... 5500 rot/min,

t - pasul dintre fuse (mm),

u - coeficientul de umplere al bobinei (%),

Nm - finețea firelor,

P_1 - puterea specifică, $P_1 \cong 0,012$ W.

Tabelul 1.7

Consumuri de putere la mașina de filat F.B.C."Unirea" Cluj-Napoca

Nr. crt.	Condiții de măsurare	Putere consumată (w)
1.	Mașina cu fire legate la sfârșitul levatei	12800
2.	Idem 1, la începutul levatei	10530
3.	Idem 2, fără fire și țevi	7800
4.	Idem 3, fără tren de laminat	7360
5.	Idem 4, fără bancă inele	7300
6.	Idem 5, fără cutia de angrenaje	7110
7.	Idem 6, fără fuse ,role ,curele	1880
8.	Idem 7 ,fără arbore principal	1340
9.	Motor în gol	640

Tabelul 1.8

Mașina de filat F.B.C. ”Unirea “ Cluj-Napoca

Condiții de funcționare și mecanisme	Distribuția procentuală a puterii (%)	Consumul de putere (w)
Mersul în sarcină cu bobine pline	100	12800
Mecanismul trenului de laminat la mers în gol	3,3	440
Mecanismul mișcării băncii inelelor	0,5	60
Cutia de angrenaje la mers în gol	1,5	190
Mecanismele de antrenare a fuselor în gol (fuse ,curele ,role)	41	5230
Arborele principal decuplat	4,2	540
Procesul tehnologic și frecarea bobinelor cu mediul ambiant	39	5000
Motorul în gol	5	640
Alte mecanisme	5,5	700

În tabelul 1.9 sunt prezentate date experimentale cu privire la distribuția puterii pentru mașinile de filat cu aripioare pentru in.

Tabelul 1.9

Mașină de filat cu aripioare pentru in

Condiții de funcționare și mecanisme	Distribuția procentuală a puterii (%)
Mers în sarcină	100
Mecanismele pentru laminat	10....11
Fusele cu aripioare	62....63
Mecanismele de mișcare a băncii	0,8....1
Mecanismul de acționare al arborelui principal	5....6
Procesul tehnologic	20....21

1.3.3. Acționarea electrică a mașinilor din filatură

Pentru acționarea mașinilor din filatură, în majoritatea cazurilor, se utilizează electromotoare fabricate într-o gamă largă de tipo-dimensiuni. În cele mai multe situații sunt folosite motoare electrice asincrone trifazate, cu rotorii în scurtcircuit, protejate împotriva pătrunderii prafului

și scamelor; acestea oferă fiabilitate ridicată, cost scăzut, turații practic constante.

În vederea alegerii motorului electric de antrenare al unei mașini este necesar, printre altele, să se adopte valoarea raportului M_{max}/M_{nom} , în care M_{max} reprezintă momentul de rotație maxim în faza de pornire pe arborele electromotorului, iar M_{nom} momentul nominal corespunzător puterii acestuia; dacă J_{red} (v. rel. 1.9 și 1.10) are valori relativ scăzute, care să asigure durate de pornire scurte, se adoptă electromotoare asincrone trifazate cu $M_{max}/M_{nom} = 1,5...2,2$. La valori ridicate ale momentului de inerție J_{red} (carde, centrifuge) pentru a scurta durata de pornire și pentru a proteja motorul împotriva supraîncălzirii, se adoptă electromotoare speciale având raportul $M_{max}/M_{nom} = 3...3,5$.

Puterea nominală a electromotorului P_{nom} se alege cu valoarea standardizată egală sau imediat superioară celei calculate P_m pentru regimul stabil cel mai greu de încărcare; în astfel de condiții randamentul energetic și factorul de putere capătă valori ridicate.

Rezultă:

$$P_{nom} = KP_m \quad (1.18)$$

în care, K este un coeficient de încărcare; de exemplu se aleg valori pentru K cuprinse în intervalul 1,05 ... 1,25 când pornirile și opririle sunt rare în cazul laminoarelor, flaierele, mașinilor de filat.

În situații caracterizate atât de o frecvență ridicată a pornirilor și opririlor, cât și a unor puteri mari consumate în fazele de pornire, factorul K se va adopta cu valori mai mari decât cele menționate.

La o serie de mașini moderne pentru filatură sunt prevăzute acționări cu variație continuă a vitezelor organelor lucrătoare; se realizează cu ajutorul unor electromotoare fie de curent continuu, fie de curent alternativ comandate cu mutatoare electronice adecvate.

1.3.4. Alte aspecte specifice

Mașinile pentru filatură trebuie astfel concepute și construite încât să fie respectate cerințele economice pentru realizarea unei deserviri comode și fără pericol, în condițiile unor dese intervenții din partea personalului de exploatare (de ex. remedierea ruperilor de benzi, de semitort, de fire).

Totodată vor fi luate în considerare și posibilitățile de automatizare a mașinilor sau agregatelor pentru liniile de prelucrare în flux continuu. În acest sens sunt conturate trei direcții principale:

- acționarea mașinilor sau a mecanismelor componente,

- controlul calității produselor livrate ,
- reglarea unor parametri tehnologici.

Aplicarea schemelor complexe de automatizare are drept scop realizarea unei importante eficiențe economice prin reducerea forței de muncă și a cheltuelilor de exploatare, prin creșterea vitezelor de lucru, producției, productivității și calității produselor.

Capitolul 2

ELEMENTE DE PROIECTARE A MAȘINILOR PENTRU AMESTECARE-DESTRĂMARE-CURĂȚIRE

Materia primă, indiferent de natura ei, se prezintă sub forma unei mase fibroase alcătuită din aglomerări de fibre de forme și dimensiuni diferite, cu un conținut de impurități dependent de operațiile de preindustrializare.

Mașinile care deservește operațiile de amestecare-destrămare-curățire se diversifică funcție de tipul de fibră, caracteristicile acesteia și fluxul tehnologic adoptat.

În variantele moderne aceste mașini sunt legate între ele formând un agregat care lucrează ca o unitate de sine stătătoare cu funcționare în flux continuu. Se impune, pentru a realiza debit constant a produsului livrat, coordonarea mașinilor componente în ceea ce privește producția, forma și dimensiunile acestora, posibilitățile de reglare în limitele cerute de tehnologia diferitelor amestecuri.

În acest scop materialul de prelucrat este condus de la o mașină la alta prin sisteme de transport mecanice și pneumatice, cu observația că opririle și pornirile vor fi comandate, de regulă, asupra mecanismelor de alimentare în sensul invers desfășurării procesului tehnologic; se preferă astfel de intervenții, deoarece organele în mișcare de rotație ale mecanismelor de alimentare posedă caracteristici inerțiale cu valori mai scăzute față de organele lucrătoare din structura mecanismelor de execuție (de ex. tambure cu cuțite, volanți cu lineale).

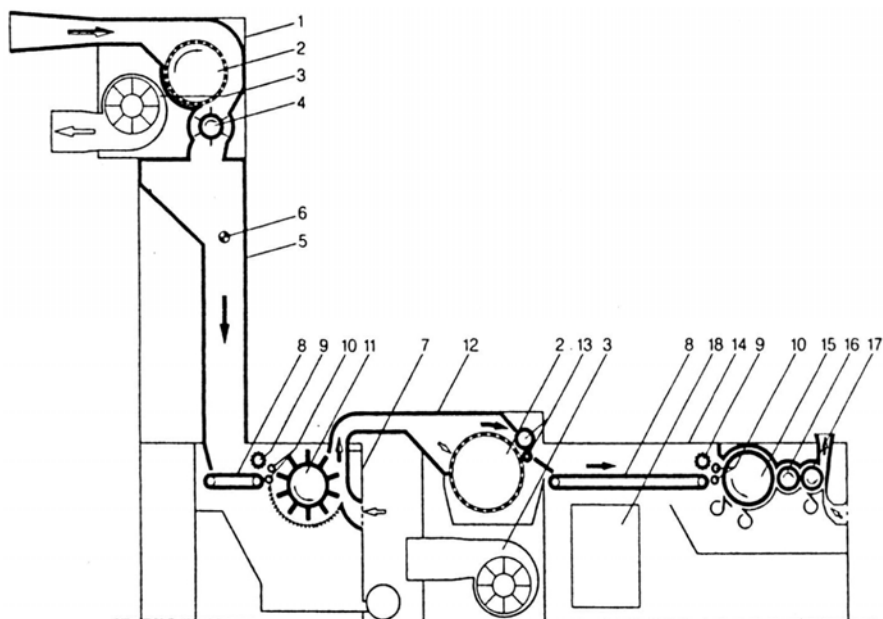
Unele organe specifice care aparțin diferitelor mașini ale agregatului au forme asemănătoare sau identice, ca de exemplu barele grătarelor, cilindrii alimentatori, pânzele transportoare.

Procesul tehnologic de amestecare-destrămare-curățire este caracterizat de degajarea în cantități apreciabile a prafului, astfel încât o problemă deosebită pentru proiectanți o constituie elaborarea unor soluții de instalații corespunzătoare eliminării acestuia în întregime.

Având în vedere atât principiile de proiectare clasice ale mașinilor, cât și cele specifice celor din secțiunile de amestecare-destrămare-curățare, în paragrafele următoare se vor face referiri la o serie de organe și mecanisme întâlnite pe astfel de utilaje.

2.1. Tambure cu cuțite

În filaturile tip bumbac, tamburul cu cuțite este întâlnit la mașini destrămătoare orizontale preliminare, simple sau duble (fig.1.2) și la unele mașini bătătoare.



1 – condensator; 2 – colector de praf; 3 – ventilator; 4 – cilindru cu palete; 5 – conductă de alimentare; 6 – celulă foto; 7 – curățitor; 8 – bandă de alimentare; 9 – cilindru de presiune; 10 – cilindru alimentator; 11 – tambur cu cuțite și grătar; 12 – colector de praf; 13 – cilindri de debitare; 14 – curățitor; 15 – tambur de precurățire cu cuțite cu dispozitiv de absorbție a pierderilor, segment de cardare și lamă deflectoare; 16 – cilindru de transfer; 17 – tambur de curățire finală cu un cuțit, dispozitiv de absorbție a pierderilor, lamă deflectoare și segment de cardare

Fig. 2.1

Ca soluții constructive se folosesc cuțite (1) prinse mecanic de discuri

din oțel (3) montate pe același arbore cu cu distanțiere axiale din fontă (4) – figura 2.2, și cuțite sudate pe cilindrii din tablă de oțel – figura 2.3.

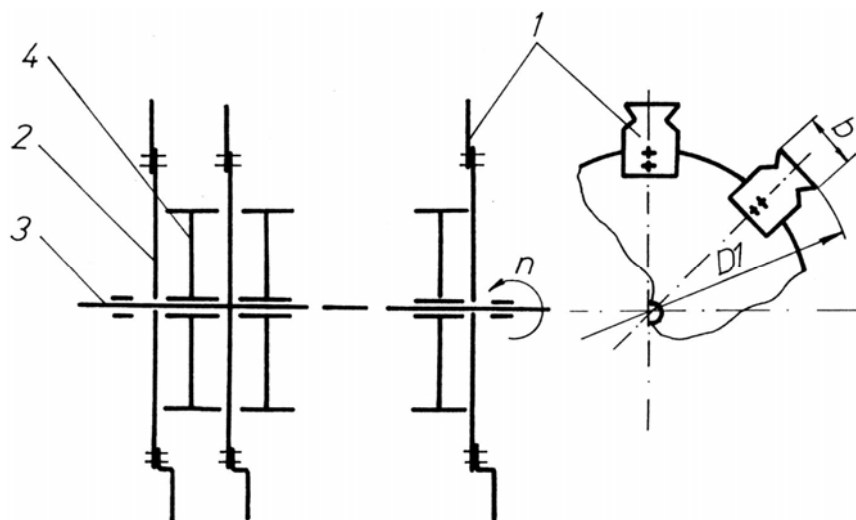


Fig 2.2

Diametrul tamburului D_1 măsurat pe muchiile de lucru ale cuțitelor se adoptă în funcție de intensitatea de destrămare și curățire ce urmează a fi obținută, de turația n , de numărul de cuțite z și de dimensiunile grătarului; pentru un diametru mare (800...1000 mm) se obține o intensitate de batere mărită cu turația relativ redusă, însă, raza de curbură corespunzătoare grătarului permite treceri frecvente de fibre printre bare, micșorându-se eficacitatea curățirii; totodată crește gabaritul mașinii, ceea ce crează greutăți în exploatare și mărește costul acesteia. Se practică frecvent, pentru fibrele tip bumbac, valori de 200...500 mm (tambure mici) și 600...700mm (tambure mijlocii) corespunzătoare diametrului D_1 .

Turațiile tamburelor pentru fibre de tip bumbac se stabilesc cu ajutorul diametrelor D_1 și a vitezelor periferice v_1 , care se recomandă a fi adoptate în limitele:

- 15...25 m/s la destrămătoarele orizontale preliminare (vitezele mici pentru bumbac curat, iar vitezele mari pentru deșeuri);
- 12...14 m/s la mașinile bătătoare care sunt prevăzute cu grătare ce îmbracă tamburul pe un unghi de 270° ;
- 15...20m/s la mașinile bătătoare cu grătar pe 90° .

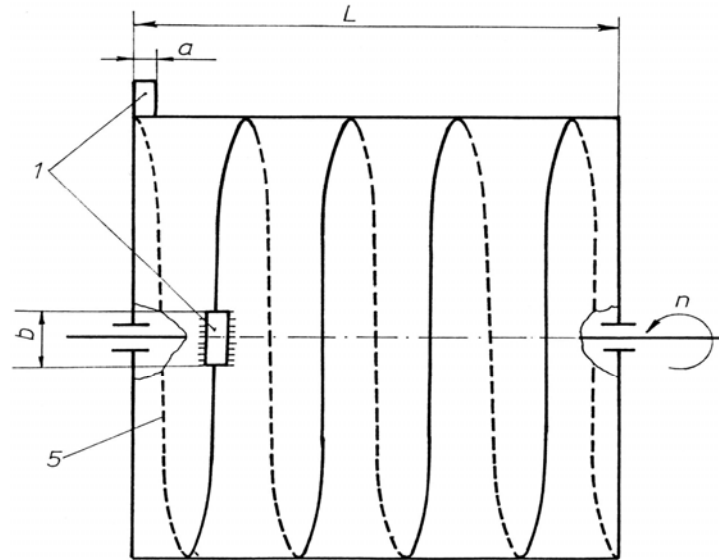


Fig 2.3

Lungimea tamburului L este determinată de lățimea stratului de material fibros care alimentează mașina; față de lungimea cilindrilor alimentatori L_a , lungimea tamburului L se adoptă cu 12...16 mm mai mare.

Numărul de cuțite z se determină în așa fel încât să se asigure lovituri pe toată lățimea stratului de material livrat de cilindrii alimentatori; se stabilește astfel:

$$z_{\min} = L/a \quad (2.1)$$

în care a reprezintă grosimea unui cuțit – figurile 2.2 și 2.3.

În vederea obținerii unei eficacități sporite pentru destrămarea-curățirea se adoptă $z = 2z_{\min}$, ceea ce asigură lovituri în același loc la fiecare rotație a tamburului.

Numărul de cuțite montate pe un disc este de 20 ... 25; se adoptă $a = 7 \dots 8$ mm și $b = 30$ mm.

Cuțitele montate pe discuri sau sudate pe cilindri se poziționează cu muchiile active după o elice ($z = z_{\min}$) sau două elici ($z = 2z_{\min}$).

Pentru capătul activ al cuțitului se recomandă forma în coadă de rândunică, care asigură muchiei active un unghi de atac mai mic de 90° , contribuind astfel la creșterea eficacității loviturii.

Arborele pe care se montează tamburul se execută cu capetele simetrice, pentru ca după uzarea muchiilor cuțitelor pe una din părți să poată fi întors cu 180° în vederea utilizării muchiilor active opuse.

La soluția constructivă la care cuțitele sunt montate pe discuri se adoptă îmbinări nituite. Calculul niturilor va lua în considerare numai solicitarea de forfecare provocată de forțele centrifuge provenite de la masele cuțitelor care sunt mult mai mari decât cele tehnologice. Se recomandă adoptarea unei forțe centrifuge de calcul care ar fi provocată de o viteză unghiulară cu 20% mai mare decât cea maximă de exploatare.

Arborele tamburului se calculează la încovoiere și la torsiune; încovoierea provine de la masă proprie a pieselor (arbore, discuri, cuțite, distanțiere, roți de curea) și de la forțele tehnologice. Se impune echilibrarea dinamică a tamburelor având cuțitele montate.

Diametrul D_f al tamburului trebuie realizat cu abateri mai mici de $\pm 0,5$ mm.

2.2. Volantul bătător

2.2.1. Generalități constructive

Volantul bătător este un organ de lucru care intră în structura mașinilor bătătoare destinate prelucrării în stare ținută a maselor fibroase de bumbac, acționând asupra lor prin lovire.

Diametrele exterioare au valori de 400 ... 410 mm, cu lungimi de 1000 ... 1200 mm și turații de lucru cuprinse în intervalul 800 ... 1500 rot/min.

Se folosesc trei tipuri constructive de volanți:

- cu 3 lineale (întâlnit și la mașinile destrămătoare preliminare),
- cu cuie,
- cu garnituri rigide montate pe plăci.

Volantul cu lineale - figura 2.4, conține în general un număr de butuci cu câte trei brațe (1), montate pe un arbore (2), pe capetele brațelor fiind fixate linealele (3).

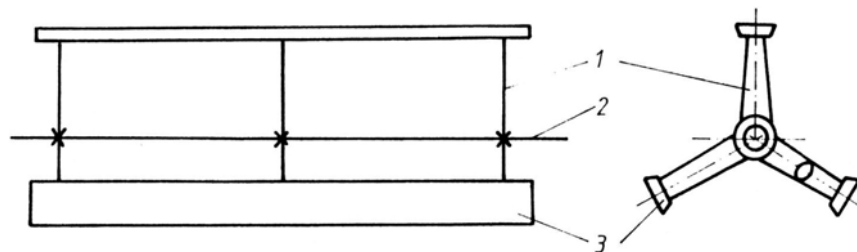


Fig. 2.4

Forma secțiunilor linealelor poate fi trapezoidală – figurile 2.5 a și c) sau dreptunghiulară - figura 2.5 b); cea mai folosită este forma de trapez isoscel – figura 2.5 a) care oferă posibilitatea utilizării celei de a doua muchii active după uzura primei, prin inversarea așezării volantului în lagăre cu 180° .

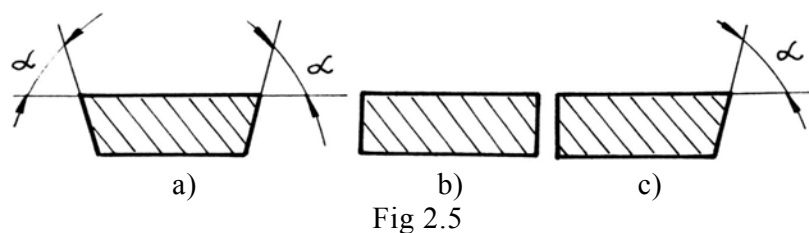


Fig 2.5

Eficiența mărită a procesului de batere are loc la valori sub 90° pentru unghiul α al muchiilor active.

Prinderea linealelor de bare se poate realiza ca în figura 2.6. Strângerea șurubului (3) se realizează cu ajutorul capului pătrat care după montare se retează, iar zona respectivă se polizează. Volantul cu garniturile rigide (1), montate pe plăcile (2), fixate la rândul lor de brațele (3) trebuie să realizeze tehnologic (șoc inițial redus și acțiune de destrămare progresivă) valori diferite ale ecartamentelor pentru intrarea și ieșirea masei fibroase în zona grătarului – figura 2.7; în acest scop se prelucrează în mod corespunzător plăcile (2), volantul și grătarul având aceeași axă geometrică.

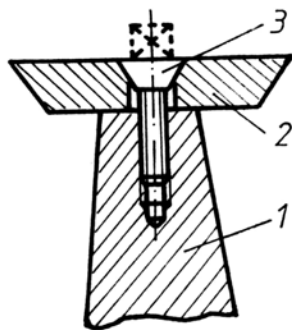


Fig 2.6

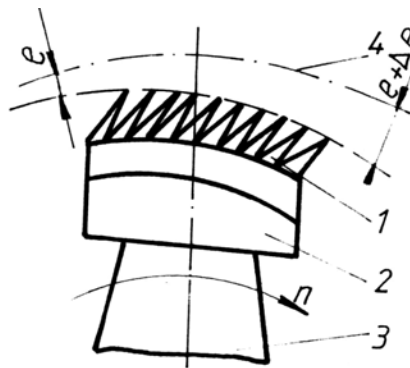


Fig. 2.7

Se recomandă valori de aproximativ 2mm pentru Δe .

Volantul cu cuie conține în loc de lineale netede, plăci pe care sunt fixate cuie dirijate pe direcția radială - figura 2.8 a) (soluția Kirschner) sau înlocuite în sensul de rotație cu $20^\circ \dots 45^\circ$ - figura 2.8 b).

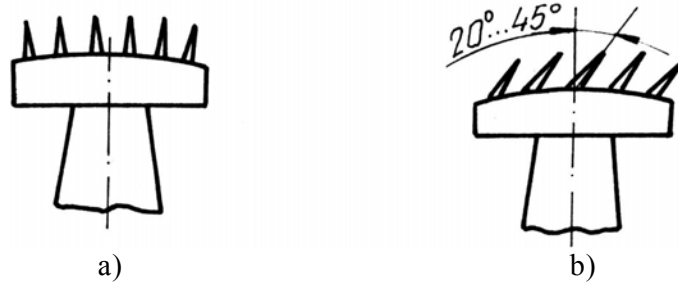


Fig. 2.8

2.2.2. Elementele de calcul organologic a volanților cu lineale

Calculul de rezistență se efectuează pentru organele de bază ale volanților: lineale, brațe și arbori.

Linealele (1) și (2) sunt solicitate de forțele tehnologice de batere și de forțele centrifuge provocate de masele acestora – figura 2.9.

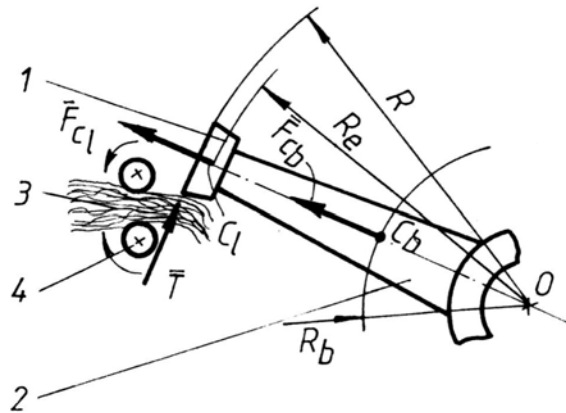


Fig. 2.9

În momentul lovirii masei fibroase apare forța tehnologică maximă T_{max} ; se admite ipoteza că forța de smulgere T este direct proporțională cu lungimea fibrei care se găsește la un moment dat încă în stratul (3) dintre

cilindrii alimentatori (4). De asemenea, se consideră că acțiunea linealului la o lovitură duce la smulgerea fibrelor pe o lungime egală cu lungimea modulului l_m (lungimea corespunzătoare frecvenței maxime) – figura 2.10.

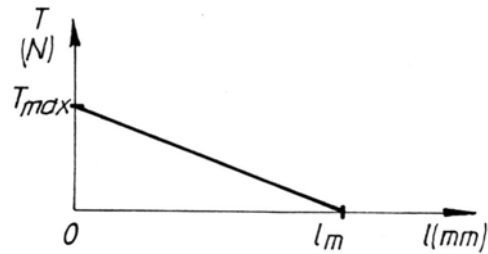


Fig. 2.10

Lucrul mecanic consumat la o lovitură este:

$$L_c = \frac{T_{\max}}{2} l_m [Nm] \quad (2.2)$$

Considerând că un volant conține z lineale și lucrează la o turație n (rot/min), puterea consumată P_{ru} pentru învingerea rezistențelor utile se determină cu relația:

$$P_{ru} = L_c z n / 60 \quad (2.3)$$

Din relațiile (2.2) și (2.3) rezultă:

$$T_{\max} = \frac{120 P_{ru}}{l_m z n} [N] \quad (2.4)$$

Această forță tehnologică nu poate fi neglijată în calcule, așa cum se întâlnește în foarte multe cazuri la mașinile pentru filatură. Pentru a determina valoarea forței T_{\max} se folosesc date experimentale pentru P_{ru} obținute pe utilaje existente. De exemplu, în cazul prelucrării fibrelor tip bumbac, $P_{ru} = 1200W$. Aplicând relația (2.4) în ideea că se prelucrează

fibre cu lungimea modul $lm = 0,028$ m, pe o mașină cu 3 lineale, având turația volantului $n = 1350$ rot/min, se obține $T_{\max} = 1300N$, valoare deloc neglijabilă.

a) *Calculul linealului*

Schema de calcul este prezentată în figura 2.11.

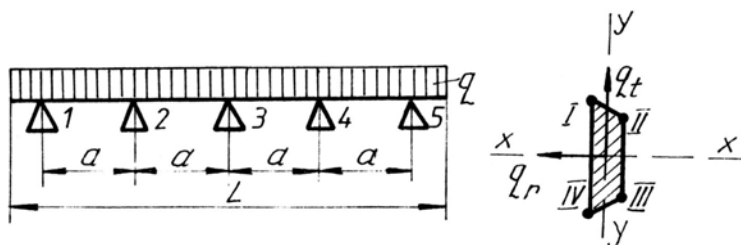


Fig. 2.11

Linealul este asimilat cu o grindă continuă în consolă sprijinită pe cinci reazeme, încărcată cu o sarcină uniform distribuită, atât pe direcția radială q , produsă de forța T_{\max} . Relațiile care definesc aceste două sarcini sunt:

$$q_r = F_c / L \quad [\text{N/m}] \quad (2.5)$$

$$q_t = T_{\max} / L \quad [\text{N/m}] \quad (2.6)$$

în care $F_c = m\omega_c^2 R$ (m - masa linealului în kg, ω_c - viteza unghiulară de calcul a volantului în rad/s, R - raza volantului în m).

Viteza unghiulară ω_c corespunde celei de testare și se adoptă cu 20% mai mare decât viteza unghiulară normală ($\omega_c = 1,2 \omega$).

Încărcările q_r și q_t solicită linealul la încovoiere în cele două plane. Calculul se efectuează pentru fibrele cel mai puternic solicitate și anume în punctele I, II, III și IV - figura 2.11 b), apelând la metode pentru rezolvarea grinzilor static nedeterminate.

De exemplu, se poate obține o rezolvare aproximativă, considerând porțiunea de lineal dintre două reazeme alăturate ca o grindă încastrată la capete - figura 2.12; în acest caz, momentele de încovoiere maxime apar în special în secțiunile încastrate, care în cele două plane sunt:

$$M_{it} = q_t a^2 / 12 \approx 0,083 q_t a^2 \quad [\text{N/m}] \quad (2.7)$$

$$M_{ir} = q_r a^2 / 12 \approx 0,083 q_r a^2 \quad [\text{N/m}] \quad (2.8)$$

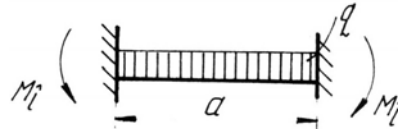


Fig. 2.12

Aceste momente vor da naștere la eforturi unitare de încovoiere:

$$\sigma_{it} = \pm M_{it} / W_x \quad (2.9)$$

$$\sigma_{ir} = \pm M_{ir} / W_y \quad (2.10)$$

în care W_x și W_y sunt modulele de rezistență axiale ale secțiunii transversale prin lineal, care se determină cu luarea în considerare și a găurilor pentru șuruburile de fixare.

Efortul unitar maxim în valoare absolută se stabilește din șirul de patru valori calculate în punctele I, II, III și IV, prin însumarea algebrică a valorilor pentru cele două eforturi σ_{ir} și σ_{it} .

Poate fi folosită și teorema celor trei momente, luând în considerare, spre exemplu, reazemele 1, 2 și 3, în care caz, momentul încovoiator maxim apare în reazemul 2 (idem și în reazemul 4 din motive de simetrie) - figura 2.13.

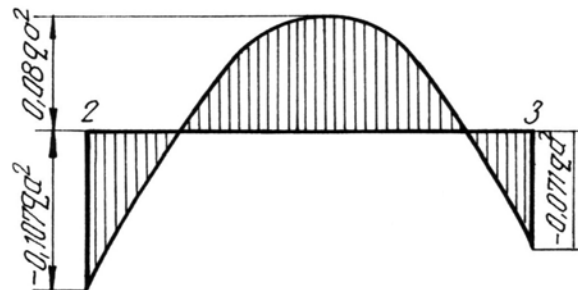


Fig. 2.13

Pentru construcția linealelor se utilizează oțeluri de îmbunătățire (OLC 45, 41Cr10) care oferă o bună rezistență și la uzură.

În vederea evitării agățării fibrelor de suprafețele linealelor se recomandă rugozități până la $R_a = 1,25 \mu m$

b) Calculul brațelor

Brațele sunt solicitate atât la încovoiere (σ_i) de forța tangențială maximă care revine unui braț, cât și la întindere (σ_t) de forțele centrifuge produse de masa brațului și a porțiunii de lineal ce revine unui braț - figura 2.9.

$$T_{\max l} = T_{\max} / z [N] \quad (2.11)$$

$$F_c = (m_b R_b + m_l R_l / z_1) \omega_c^2 [N] \quad (2.12)$$

în care z_l reprezintă numărul de butuci cu brațe.

Efortul unitar maxim din braț este:

$$\sigma_{\max} = \sigma_i + \sigma_t \quad [\text{Pa}] \quad (2.13)$$

Se recomandă ca brațul să fie realizat cu o formă apropiată de grinda de egală rezistență având secțiune eliptică care micșorează intensitatea curenților de aer în timpul funcționării.

a) Arborele

Schema de calcul a arborelui este prezentată în figura 2.14.

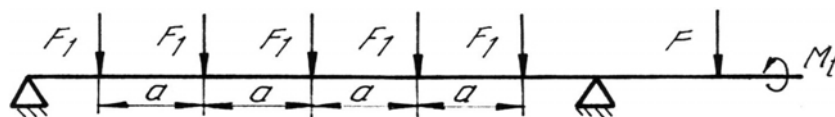


Fig. 2.14

F_1 - reprezintă rezultanta dintre forța de greutate proprie a volantului (butuci+brațe+lineale+arbore) și forța tehnologică T_{\max} ,

F - este forța care provine de la sistemul de antrenare,

M_t - reprezintă momentul de răsucire aplicat volantului.

Calculul arborelui se desfășoară în conformitate cu metodologiile cunoscute.

Obs.: În vederea realizării unui nivel scăzut de vibrații se recomandă ca volantul să fie echilibrat dinamic; această operație este ușurată dacă în prealabil se realizează echilibrarea statică separat pentru fiecare butuc în parte.

Excentricitatea admisibilă e_a se poate determina cu ajutorul graficului din figura 2.15.

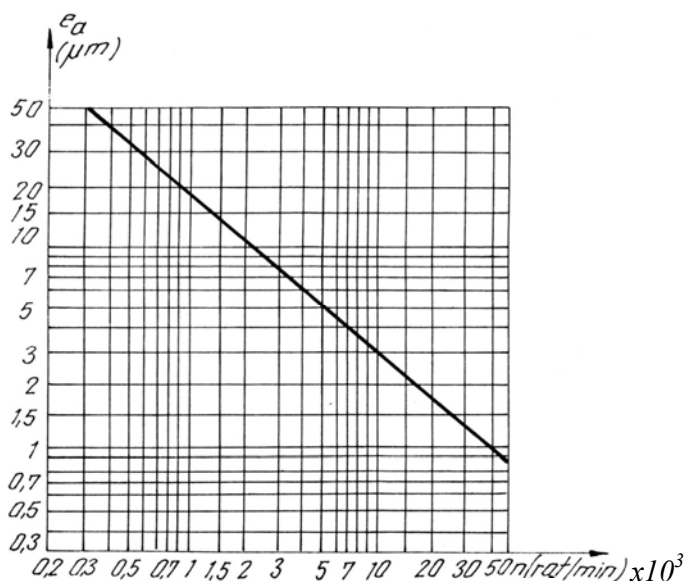


Fig. 2.15

2.3. Grătarul

La proiectarea grătarelor se urmărește obținerea unei eficiențe ridicate pentru curățirea masei fibroase prelucrate în condiții de menajare a fibrelor (diminuarea frecvenței ruperilor și a trecerii fibrelor bune la deșeuri).

Realizarea acestui obiectiv depinde de mai mulți factori, cei mai importanți fiind:

- mărimea suprafeței grătarului care este dependentă de unghiul de înfașurare al acestuia pe circumferința organului de lovire, (tambure, volanți); se utilizează valori de 90° la mașini bătătoare, $90^\circ \dots 270^\circ$ la destrămătoarele orizontale și 360° la destrămătoarele verticale;
- soluția constructivă și viteza periferică a organului de batere;
- viteza și presiunea de intrare a aerului printre bare;

- forma și poziția barelor grătarului;
- ecartamentele dintre bare;
- ecartamentul dintre organul de batere și grătar.

2.3.1. Forma și așezarea barelor

În mod curent, barele prezintă în secțiune transversală profil triunghiular - figura 2.16.

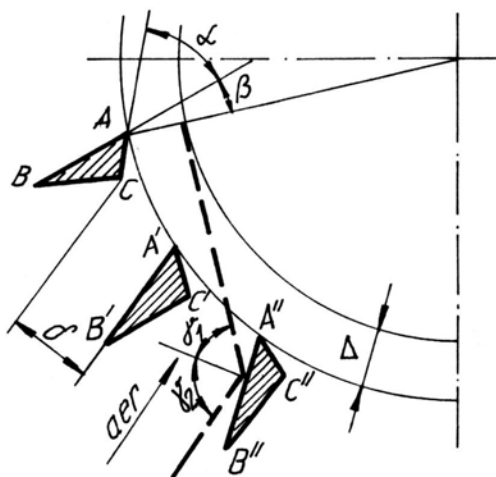


Fig. 2.16

Fața activă a barei AB dirijează impuritățile spre camera de deșeuri; fața BC împreună cu fața A'B' a barei vecine formează un canal prin care se introduce aer cu o anumită presiune dinamică, având rolul de a împiedica pătrunderea fibrelor în camerele de deșeuri. Unghiurile muchiei de lucru α se adoptă cu valori de $47^\circ \dots 50^\circ$; dacă acest unghi este mai ascuțit (recomandat pentru masa fibroasă cu grad ridicat de impurități), atunci fibrele rămân mai mult timp pe bare, fiind astfel expuse la un număr mai mare de lovituri din partea organelor de batere (curățire intensă, însă cu ruperi numeroase de fibre).

Dimensiunile secțiunilor transversale pentru bare sunt stabilite pe baza încercărilor experimentale efectuate de firmele constructoare.

Poziția barelor grătarului depinde de ecartamentul dintre bare δ , ecartamentul dintre bare și organul de lovire Δ și unghiul de așezare β .

Ecartamentul δ este determinat de dimensiunile impurităților aflate în masa fibroasă; cu cât gradul de impuritate este mai mare și δ trebuie să aibă valori mai mari. Din considerente tehnologice se recomandă ca δ să se micșoreze pe măsura îndepărtării de dispozitivul de alimentare.

Întrucât impuritățile nu sunt corpuri elastice, unghiul de reflexie γ_2 , este mai mare decât unghiul de incidență γ_1 ; valorile acestora sunt influențate de unghiul de așezare β .

Modificările ecartamentului δ se realizează fie prin reglarea individuală a fiecărei bare, fie prin reglarea unui grup de bare; pozițiile unghiulare β ale barei de grătar se obțin prin rotirea acesteia în jurul muchiei active A sau a unui punct situat în apropierea acesteia.

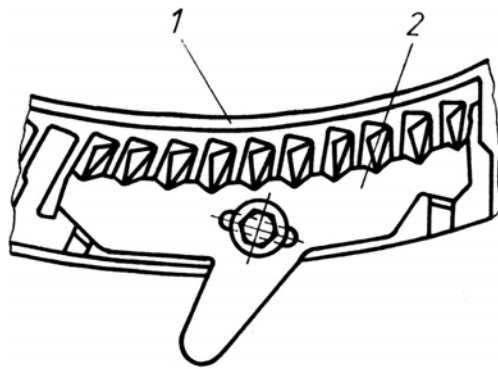


Fig. 2.17

În cazul reglării în grup se utilizează frecvent sectoare cu câte 8 ... 15 bare - figura 2.17, având capetele sprijinite pe suportul (1) fixat de batiu; pentru reglarea unghiului de așezare β barele sunt rotite în jurul muchiei active cu ajutorul plăcii de reglare (2) care acționează simultan asupra tuturor barelor sectorului. Rotirea

influențează valoarea ecartamentului δ ; de obicei acesta are valori de 4 ... 8 mm.

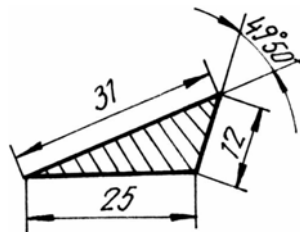


Fig. 2.18

Aceste reglaje influențează și dimensiunile canalelor de aer formate între barele alăturate prin care acesta circulă dinspre camera de deșeuri spre organul de lovire; odată cu micșorarea secțiunii, viteza aerului se mărește, ceea ce împiedică evacuarea fibrelor la deșeuri.

Ca dimensiuni orientative, pentru barele triunghiulare sunt prezentate cele ale firmei Platt - figura 2.18.

În afară de bare cu secțiune triunghiulară, se utilizează și grătare

cu bare rotunde, sau cu mai multe fețe, ca în cazul unor mașini bătătoare pentru lână și pentru fibre liberiene.

2.4. Mecanisme reglatoare a alimentării mașinilor bătătoare

Cea mai importantă condiție tehnologică impusă produsului livrat de bataj sub formă de pătură sau puf se referă la realizarea unui debit constant de material fibros, contribuind astfel la obținerea unei uniformități corespunzătoare pentru firul final.

În acest scop, mașinile bătătoare clasice sunt echipate cu mecanisme reglatoare cu pedale și variatoare de viteză pentru comanda alimentării organului de batere.

Condiția tehnologică menționată poate fi realizată prin alimentarea organului de lovire cu masă constantă în unitatea de timp, condiție exprimată prin relația:

$$v_a h l \rho = \text{const.} \quad (2.14)$$

în care:

v_a este viteza de alimentare;

h - grosimea stratului de material alimentat;

l - lungimea cilindrului alimentator;

ρ - densitatea masei fibroase aflată între cilindrul alimentator

și pedale - figura 2.19.

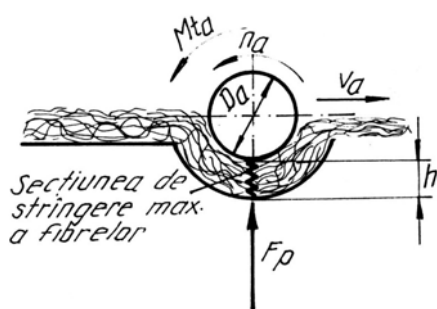


Fig. 2.19

Considerand ca mărimile l și ρ ar fi practic constante, atunci este suficient să se realizeze condiția:

$$v_a h = e = \text{const.} \quad (2.15)$$

Relația (2.15) stabilește dependența hiberbolică dintre modificarea grosimii stratului de fibre și viteza de alimentare a acestuia. Prin schimbarea mărimii h , sistemele de reglare trebuie să conducă la realizarea unei valori a

vitezei v_a în concordanță cu legea hiperbolică.

2.4.1. Mecanismul regulator cu pedale și conoizi

a) Schema cinematică corespunzătoare soluțiilor clasice pentru acest mecanism este prezentată în figura 2.20.

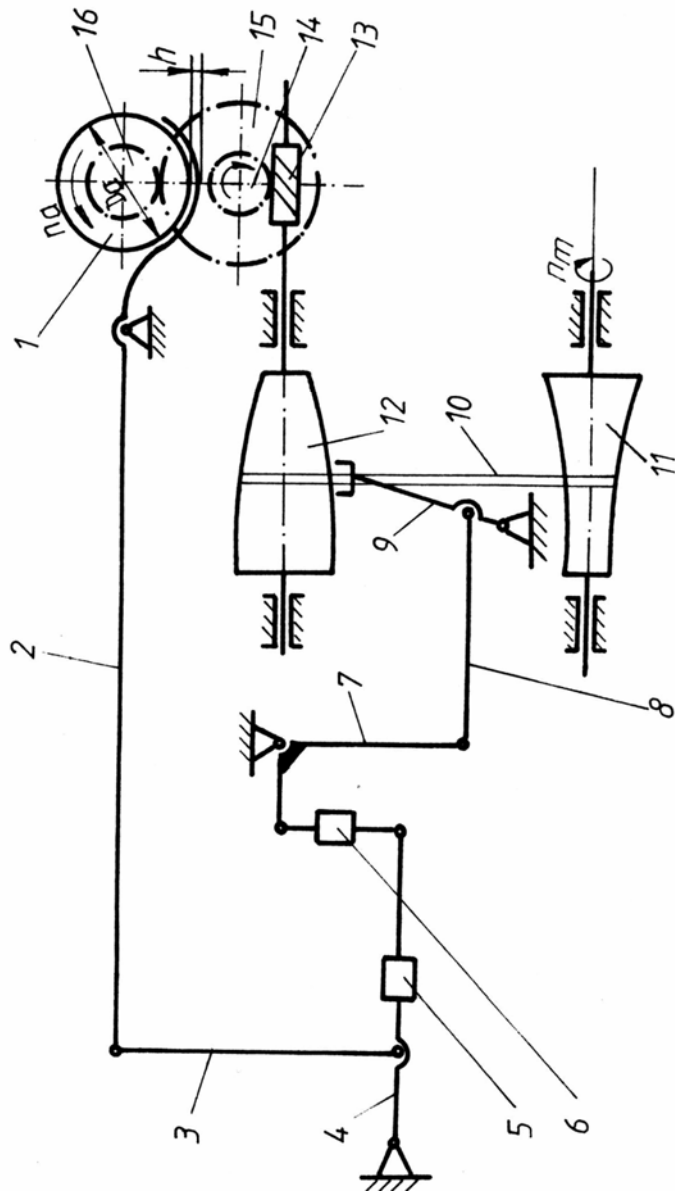


Fig. 2.20

Variațiile grosimii h a stratului de material fibros sunt sesizate de pedalele (2) care comandă pârghia de însumare (4) prin intermediul dispozitivelor cu pârghii (3) - figura 2.21.

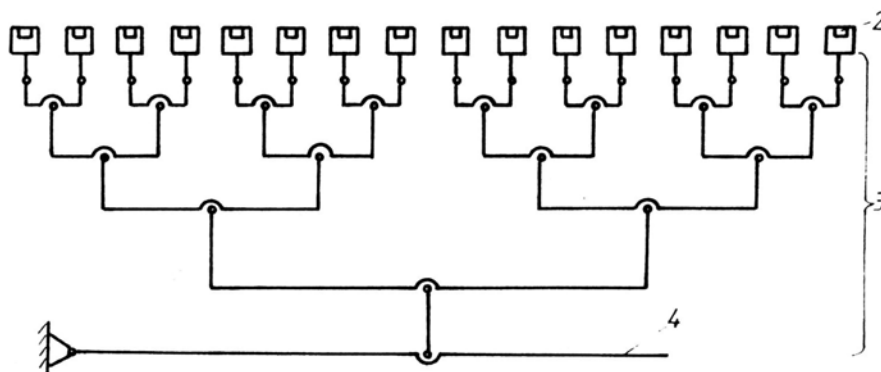


Fig. 2.21

Mișcarea este preluată de tija dispozitivului (6) care, prin intermediul balansierului (7) și a bielei (8) o transmite furcii (9); dispozitivul (6) permite reglarea inițială a poziției furcii în funcție de grosimea prestabilită a stratului de material fibros.

Cureaua (10), comandată de furca (9) este deplasată pe conoizii motor (11) și condus (12), schimbând astfel turația cilindrului alimentator prin intermediul transmisiei melcate (13-14) și a angrenajului cilindric (15-16).

b) Trasarea profilelor la conoizi

În vederea satisfacerii relației (2.15) se impune adoptarea unei geometrii corespunzătoare pentru conoizi, ținând cont de faptul că deplasarea curelei pe aceștia este direct proporțională cu grosimea h a stratului de material fibros.

Dimensiunile longitudinale ale conoizilor, trebuie să asigure acoperirea unui domeniu larg de valori corespunzătoare variațiilor parametrului h ; (inițial) la un h (oarecare) cureaua se va deplasa pe conoizi din poziția inițială H_i în cea comandată H , deplasare caracterizată de raportul de transmitere i :

$$i = \frac{\Delta H}{\Delta h} = \frac{H - H_i}{h - h_i} = \text{const.} \quad (2.16)$$

Acest raport este asigurat de mecanismul cu bare articulate care are ca element conductor pedalele (2) și ca ultim element condus furca (9) - figura 2.20.

Dacă se consideră cazul limită când, $h_i = 0$ și deci $H_i = H_0$, atunci:

$$h = \frac{H - H_0}{i} \quad (2.17)$$

Viteza de alimentare v_a se modifică la orice variație a grosimii h prin schimbarea turației n_a a cilindrilor alimentatori :

$$v_a = \frac{\pi \cdot D_a \cdot n_a}{60} \quad (2.18)$$

în care D_a este diametrul cilindrului alimentator în m, iar n_a este turația acestuia în rot/min.

Raportul de transmitere i_g între conoidul motor și cilindrul alimentator este:

$$i_g = \frac{n_m}{n_a} \quad (2.19)$$

în care n_m este turația conoidului motor în rot/min.

Același raport i_g poate fi exprimat ca produs al rapoartelor parțiale de transmitere :

$$i_g = i_c \cdot i_{AM} \cdot i_{AC} \quad (2.20)$$

în care:

i_c reprezintă raportul de transmitere prin curea, $i_c = \frac{d}{D}(1 - \xi)$,

i_{AM} - raportul de transmitere al angrenajului melcat z_2/z_1 ,

i_{AC} - raportul de transmitere al angrenajului cilindric,

$$i_{AC} = \frac{z_4}{z_3}$$

d și D - diametrele instantanee de pe conoizii condus, respectiv conducător.

Cu ajutorul celor două expresii pentru raportul i_g se determină dependența dintre turația motoare n_m și cea a cilindrului alimentator:

$$n_a = n_m \cdot \frac{D}{d} \cdot C_2 \quad (2.21)$$

în care constanta C_2 se determină ca raport de transmitere:

$$C_2 = \frac{1}{i_{AM} i_{AC}} = \frac{z_1 z_3}{z_2 z_4} \quad (2.22)$$

Pentru ca în cureaua de pe conoizi să se păstreze tensiune constantă în orice poziție este necesar ca lungimea teoretică a curelei să rămână aceeași, deci și suma diametrelor instantanee de la conoizi să fie constantă :

$$D + d = const. = C_3 \quad (2.23)$$

Înlocuind pe d din relația (2.23) în relația (2.21) se obține:

$$n_a = n_m \cdot \frac{D}{C_3 - D} \cdot C_2 \quad (2.24)$$

Astfel viteza v_a devine:

$$v_a = n_m \cdot \frac{\pi \cdot D_a}{60} \cdot \frac{D}{C_3 - D} \cdot C_2 \quad (2.25)$$

în care ξ reprezintă coeficientul de alunecare al transmisiei prin curea.

Cu această ultimă expresie pentru viteză, împreună cu relația (2.17), condiția (2.15) devine :

$$n_m \cdot \frac{\pi \cdot D_a}{60} \cdot \frac{D}{C_3 - D} \cdot C_2 \cdot \frac{H - H_0}{i} = C_1 \quad (2.26)$$

sau după prelucrări succesive:

$$\left(H - H_0 + \frac{60 \cdot i \cdot C_1}{\pi \cdot D_a \cdot n_m \cdot C_2} \right) \cdot D = \frac{60 \cdot i \cdot C_1 \cdot C_3}{\pi \cdot D_a \cdot n_m \cdot C_2} \quad (2.27)$$

Se poate alege:

$$H_0 = \frac{60 \cdot i \cdot C_1}{\pi \cdot D_a \cdot n_m \cdot C_2} \quad (2.28)$$

Dacă se notează $D = 2R$, se obține:

$$HR = \frac{30 \cdot i \cdot C_1 \cdot C_3}{\pi \cdot D_a \cdot n_m \cdot C_2} = C \quad (2.29)$$

Această ultimă relație reprezintă ca și relația (2.15), ecuația unei hiperbole echilatre, cu axele de coordonate drept asimptote - figura 2.22.

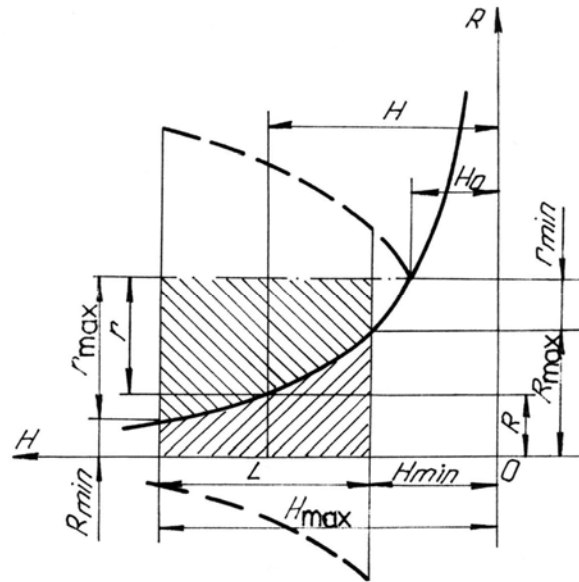


Fig. 2.22

Din curba hiperbolei se preia o parte convenabilă, care va fi curba generatoare atât a profilului conului conducător, obținut prin rotirea acesteia în jurul axei OH, cât și a conului condus prin rotirea față de o altă axă paralelă cu OH aflată la distanța $R+r = C_3/2$.

Din rațiuni funcționale legate de stabilitatea curelei se adoptă cele două limite $H_{min} > H_o$ și H_{max} între care se definește lungimea utilă a conoizilor L:

$$L = H_{max} - H_{min} \quad (2.30)$$

c) Stabilirea parametrilor de proiectare

- Constanta C_1 este dată tehnologică de bază și rezultă din producția prevăzută pentru mașină.

- Constanta C_3 este definită cu relația (2.23). Se recomandă ca D_{med} și d_{med} de la conoizi să fie egale pentru ca unghiurile de înfășurare ale curelei variatorului, în orice poziție de funcționare, să aibe valori cât mai apropiate de 180° .

De asemenea diametrele medii vor fi adoptate cu valori suficient de mari, astfel încât forța utilă din curea să fie cât mai mică; în felul acesta, deplasarea curelei în lungul conoizilor va fi efectuată într-un timp mai scurt, iar mecanismul devine mai sensibil. Pentru diametrele mijlocii se întâlnesc valori cuprinse în intervalul 100 ... 180 mm.

- Diametrul D_a al cilindrului alimentator trebuie să ofere distanța minimă suficientă între secțiunea de strângere maximă a fibrelor - figura 2.19, și direcția forței de lovire a organului de batere, ca fibrele lovite să nu rămână stranse între cilindru și pedale; se adoptă pentru D_a valori de 55 ... 76 mm.

- Turația conoidului motor n_m se alege cu valori între 400 ... 1000 rot/min, turațiile mai mari favorizând sensibilitatea variatorului.

Constanta principală C se determină apelând la figura 2.22, iar profilul comun al celor doi conoizi fiind după un arc de hiperbolă, rezultă:

$$H_{min}R_{max} = C \quad (2.31)$$

$$H_{max}R_{min} = C \quad (2.32)$$

$$H_{max} = H_{min} + L \quad (2.33)$$

Din aceste trei relații se obține :

$$C = \frac{R_{max}R_{min}}{R_{max} - R_{min}} \quad (2.34)$$

Pentru raportul R_{max}/R_{min} se recomandă valori care să nu depășească 2 ... 2,5, obținându-se astfel funcționarea corespunzătoare a curelei.

Valoarea lungimii L trebuie să permită deplasarea într-un timp cât mai scurt a curelei pe direcție axială în funcționare; condiția este

satisfăcută la unele mașini pentru $L = 250 \dots 350$ mm.

- Raportul de transmitere definit prin relația (2.16) se stabilește în funcție de variația maximă Δh_{max} a stratului de material fibros și variația ΔH_{max} care se adoptă egală cu lungimea utilă L a conoizilor.

- Constanta C_2 se determină cu ajutorul relației (2.29), constantă care depinde de toți parametrii analizați anterior.

$$C_2 = \frac{30 \cdot i \cdot C_1 \cdot C_3}{\pi \cdot D_a \cdot n_m \cdot C} \quad (2.35)$$

Cu valoarea astfel obținută pentru C_2 se stabilesc numerele de dinți la angrenajele melcat și cilindric din lanțul cinematic variator - cilindru alimentator, cât și mărimea H_o definită cu relația (2.28).

d) Elemente de calcul organic

Pentru proiectarea cilindrului alimentator, a angrenajelor melcat și cilindric și a transmisiei prin cureaua variatorului de viteză, se impune determinarea puterii consummate P_a de cilindrul alimentator - figura 2.19.

$$P_a = M_{ta} \cdot \omega_a \quad (2.36)$$

în care M_{ta} este momentul de torsiune aplicat pe arborele cilindrului alimentator. Acest moment trebuie să învingă atât momentul de frecare din zona de contact a fibrelor cu pedalele - M_{tp} , cât și momentul de frecare din lagăre - M_{tl} :

$$M_{ta} = M_{tp} + M_{tl} \quad (2.37)$$

Notând cu F_p forța de apăsare a pedalelor pe cilindru și cu μ_p coeficientul de frecare masa fibroasă-pedale, se pot stabili expresiile pentru momentele M_{tp} și M_{tl} :

$$M_{tp} = \mu_p \cdot F_p \cdot \left(\frac{D_a}{2} \right) + h \quad (2.38)$$

$$M_{tl} = \mu_l \cdot F_p \cdot d/2 \quad (2.39)$$

în care s-a notat cu d diametrul fusurilor și cu μ_p , coeficientul de

frecare din lagăre.

Cu încărcările M_{ta} și F_p se efectuează calculele organelor componente ale lanțului cinematic conoid motor-cilindru alimentator.

Pentru fibre de bumbac se recomandă coeficienții de frecare cu valoarea $\mu_p \cong 0,4$.

Pentru mecanismul de deplasare al curelei format dintr-un sistem de bare articulate - figura 2.20, se determină reacțiunile din cuplele cinematice apelând la ecuații de echilibru cinetostatic.

Se recomandă :

- asigurarea unei rigidități corespunzătoare pentru elementele componente care să contribuie astfel la deplasarea rapidă a curelei pe direcția axială a conoizilor;

- jocuri și frecări minime în articulații;

- coeficient de alunecare a curelei $\xi = 0,5 \dots 0,1$;

- utilizarea materialelor cu densitate mică (de ex. aliaje de aluminiu) pentru construirea cilindrului condus, în vederea micșorării inerției acestuia cu efecte favorabile asupra reducerii duratelor de reglare, care pot ajunge la 2 ... 4s.

Regulatorul cu pedale și conoizi reglează numai volumul stratului de material fibros și nu masa sa, ceea ce constituie un dezavantaj. Un alt neajuns al acestui mecanism îl reprezintă imposibilitatea reglării grosimii stratului pe lățimea acestuia. Aceste deficiențe conduc la necesitatea stabilirii altor soluții constructive pentru astfel de reglatoare.

2.4.2. Mecanismul regulator cu pedale, conoizi și diferențial

Schema cinematică pentru un astfel de mecanism întâlnit spre exemplu la mașini bătătoare Rieter cu doua zone de lovire (doi volanți bătători) este prezentată în figura 2.23.

Fiecare zonă de lucru este prevăzută cu regulator cu pedale și conuri, diferențialul fiind montat la conoidul condus al celei de a doua zone.

Prin diferențial este combinată mișcarea cu turația constantă n_p a port-satelitului, cu o mișcare variabilă cu turația n_1 , a conoidului condus; se obține o mișcare rezultantă cu turația n_2 la roata centrală receptoare z_{c2} care are rolul de a antrena atât cilindrul alimentator de la a doua zona de lovire, cât și conoidul motor al primei zone de lovire.

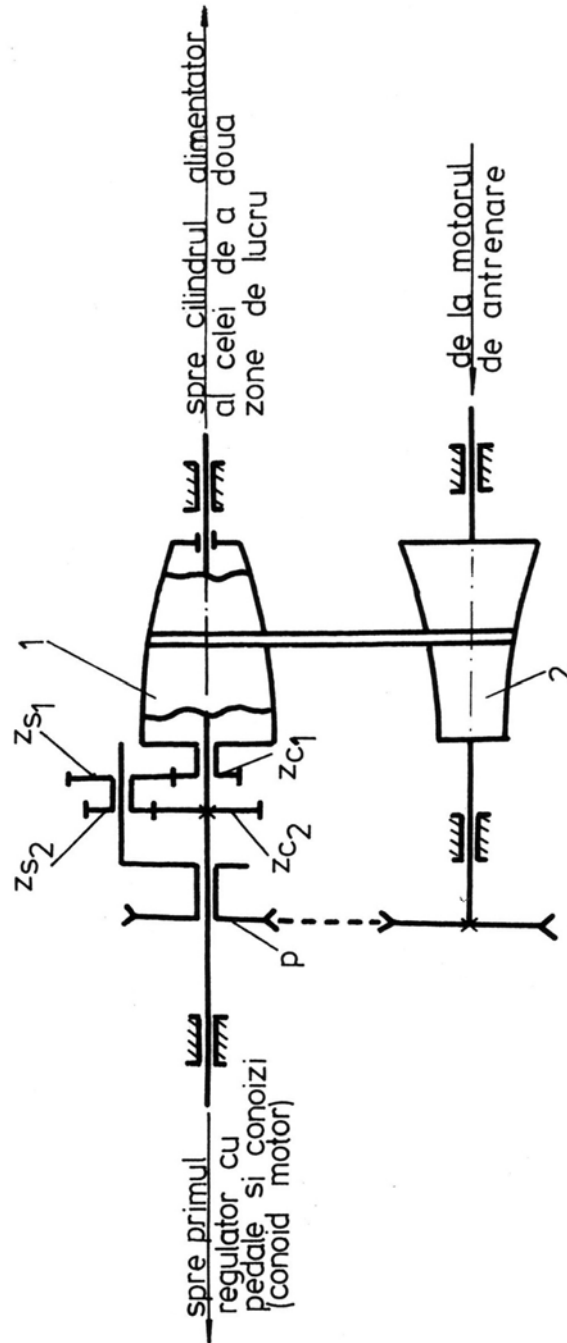


Fig. 2.23

Această soluție realizează un reglaj asupra întregii alimentări a mașinii bătătoare, în sensul diminuării neregularității produsului debitat.

Includerea diferențialului în structură conduce la micșorarea încărcării variatorului de viteză cu care este cuplat, ceea ce favorizează deplasarea mai rapidă a curelei.

În același timp se impune și obținerea unui randament ridicat al diferențialului; valoarea optimă corespunde situației în care sateliții nu se rotesc în jurul propriilor axe. Considerând cureaua așezată în poziție mijlocie pe conoizi, rezultă condiția:

$$n_1 = n_2 = n_p \quad (2.40)$$

În vederea stabilirii numerelor de dinți pentru roțile diferențialului z_{C1} , z_{C2} , z_{S1} , z_{S2} se pleacă de la relația lui Willis:

$$i_d = \frac{n_1 - n_p}{n_2 - n_p} = \frac{z_{S1}z_{C2}}{z_{C1}z_{S2}} \quad (2.41)$$

din care se obține :

$$n_1 = (1 - i_d)n_p + i_d n_2 \quad (2.42)$$

Pentru satisfacerea condiției (2.40), rezultă din (2.42):

$$i_d = 0,5$$

În această situație prin variator se va transmite jumătate din puterea necesară arborelui condus, ceea ce mărește sensibilitatea variatorului. Diametrele medii de lucru la conoizi trebuie să fie egale.

2.5. Mecanisme pentru formarea și înfășurarea păturilor

Această categorie de mecanisme se întâlnește în structura mașinilor bătătoare care livrează pături sub formă de sul - figura 2.24. Cilindrii presători (1), (2), (3) și (4), dispuși pe direcție verticală, exercită o forță de apăsare F_e de 12000 ... 20000 N distribuită pe întreaga lor lungime, contribuind astfel la compactizarea și netezirea păturii de fibre (5), provenită de la tamburul sită. Forța de apăsare se exercită asupra lagărelor care

susțin cilindrii, fiind realizată cu pârghii și greutateți, cu arcuri, hidraulic sau pneumatic. Ghidarea lagărelor (6) pe verticală, se obține cu ajutorul culisei (7). Pentru evitarea aderării fibrelor din straturile alăturate, care ar dăuna desfășurării corecte a sulurilor în faza cardării, se prevede ca vitezele periferice ale celor patru cilindri să corespundă inegalității:

$$v_4 < v_3 < v_2 < v_1 \quad (2.43)$$

Această condiție trebuie să conducă la obținerea unui laminaj total L de 1,1 ... 1,5, determinat cu ajutorul laminajelor parțiale:

$$L = L_1 \cdot L_2 \cdot L_3 \quad (2.44)$$

Pentru intervalele de valori ale diametrelor cilindrilor presători se recomandă 110 ... 130 mm la primii trei cilindri și 140 ... 180 mm la cilindrul inferior.

Antrenarea cilindrilor se realizează prin intermediul angrenajelor cu dinți drepți, ca în figura 2.25, roata z_1 fiind conducătoare pentru întreg grupul.

Numerele de dinți se determină astfel încât să fie satisfăcute condițiile (2.43) și (2.44), apelând la expresiile vitezelor periferice și la rapoartelor de transmitere:

$$v_j = L_j^k v_{j+1} = \frac{\pi D_j n_j}{60} \quad (2.45)$$

$$i_{j,j+1} = \frac{n_j}{n_{j+1}} = \frac{z_{j+1}}{z_j} = \frac{L_j D_{j+1}}{D_j} \quad (2.46)$$

cu $j = 1, 2, 3, 4$; $k = 1$ pentru $j = 1, 2, 3$ și $k = 0$ pentru $j = 4$.

La trecerea păturii printre cilindri se modifică distanțele dintre axele roților dințate, ceea ce conduce la utilizarea unor danturi, având înălțimea dinților și jocul lateral cu valori mai mari față de danturile obișnuite. Șocurile care apar în astfel de condiții sunt slabe, întrucât turațiile cilindrilor sunt de 15 ... 30 rot/min.

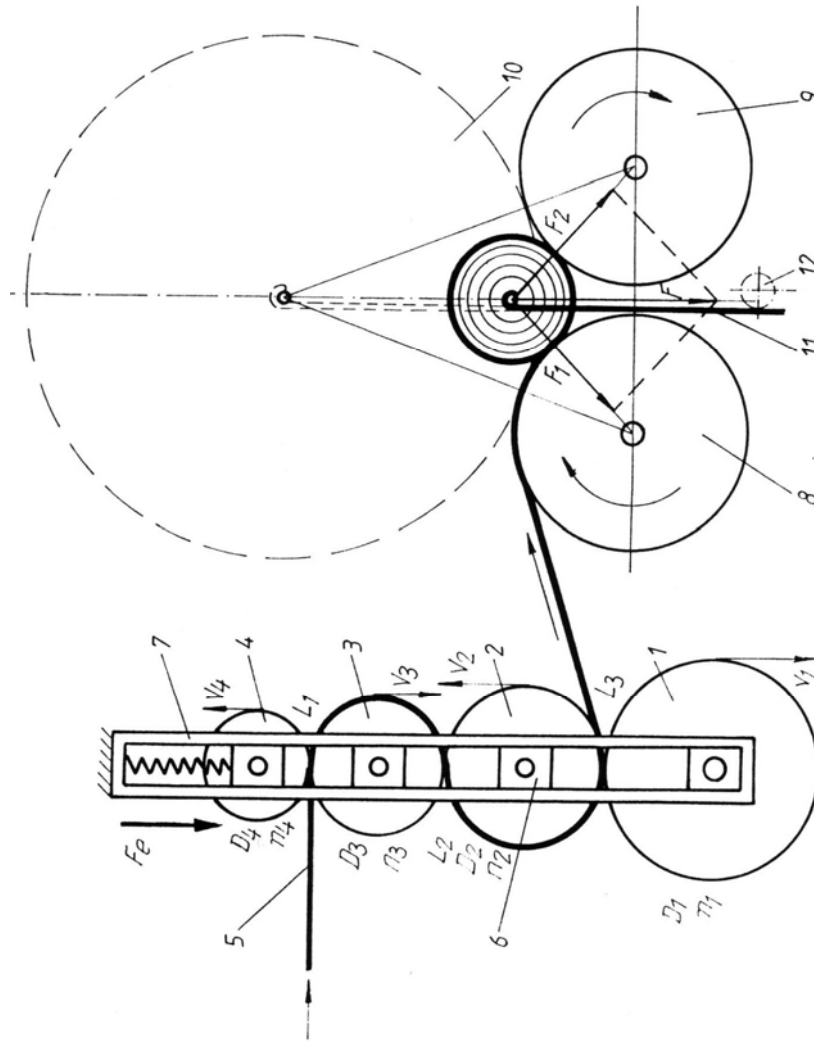


Fig. 2.24

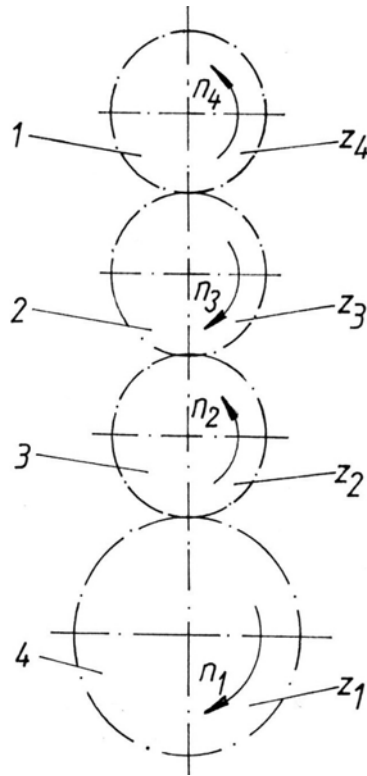


Fig. 2.25

De la cilindrul presător (1) - figura 2.24, pătura (5) este preluată de către sistemul de înfășurare alcătuit din elementele (8), (9), (10), (11) și (12). Cilindrul sulului (10) este apăsat pe cilindrii înfășurători (8) și (9), cu ajutorul a două cremaliere (11), având o extremitate sub forma de carlig; forța totală de apăsare F este menținută de către o roata dințată (12), care angrenează cu cremaliera și căreia i se crează un moment rezistent, fie de la un mecanism cu frână mecanică, fie de la un mecanism pneumatic, utilizat la mașini moderne. Componentele F_1 și F_2 care se exercită asupra sulului variază odată cu modificarea diametrului acestuia:

$$F_1 = F_2 = \frac{F}{2 \cos \alpha/2} \quad (2.47)$$

Tehnologic, se recomandă ca forțele F_1 și F_2 să fie constante, condiție care impune valori variabile ale forței F și structuri adecvate ale mecanismelor care comandă cremaliera (11).

În cazul utilizării unui mecanism pneumatic - figura 2.26, forța de apăsare F este obținută cu ajutorul presiunii aerului comprimat, introdus prin conducta de alimentare (13) în cilindrul (14); pistonul (15), care are prevăzut pe tijă o cremalieră, acționează asupra roții dințate (12), realizând deplasarea cremalierii cu cârlig (11).

Dirijarea aerului se face prin intermediul ventilului multiplu de distribuție (16) și al conductelor. Pentru crearea forței de frânare F se introduce aer prin conducta (13) cu presiunea p :

$$F = p \frac{\pi D^2}{4} \quad (2.48)$$

în care D este diametrul cilindrului.

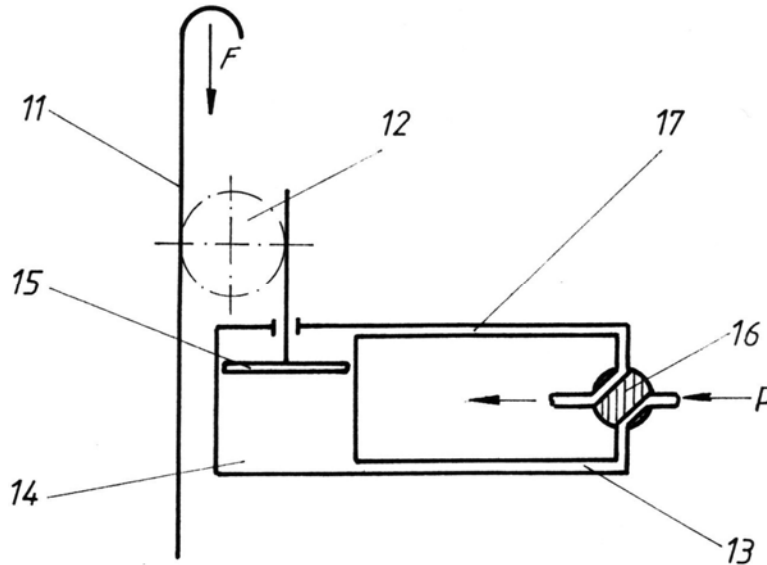


Fig. 2.26

La terminarea umplerii sulului, printr-o comandă adecvată, se acționează asupra ventilului multiplu, care permite introducerea aerului comprimat prin conducta (17) odată cu scăderea presiunii de partea opusă a pistonului; astfel, cremaliera cu cârlig eliberează sulul plin cu material.

În vederea obținerii unor valori constante pentru forțele de apăsare F_1 și F_2 se impune o alimentare a mecanismului pneumatic cu presiune variabilă, printr-un regulator corespunzător. Forța constantă de apăsare pe sul se realizează și în cazul în care înfășurarea sulului este efectuată de către un singur cilindru înfășurător (bătător Textima).

Cremaliera cu cârlig (11) - figura 2.27, se execută cu secțiune dreptunghiulară sau rotundă; pe capătul în formă de cârlig se montează rolele de sprijin (18) și (19) care înlocuiesc astfel frecarea de alunecare dintre cârlig și cilindru sulului cu frecare de rostogolire.

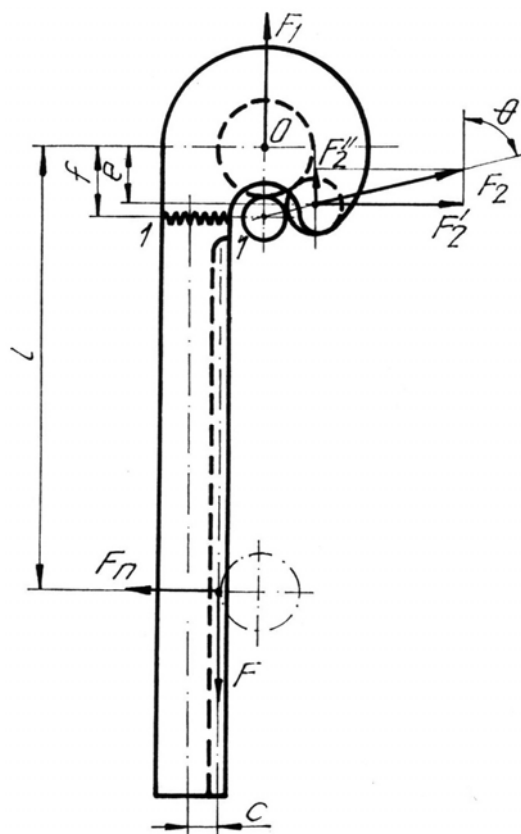


Fig. 2.27

Asupra cremalierii acționează un sistem de patru forțe:

F_1 și F_2 - care provin de la rolele de sprijin ;

F - forța de apăsare tehnologică cunoscută ;

F_n - reacțiunea normăla dintre roata dințată și cremalieră.

Cu ajutorul acestor forțe se realizează calculele de proiectare pentru cremalieră. Secțiunea 1-1 este cea mai puternic sollicitată - încovoiere și întindere:

$$\sigma_{i\max} = \pm \frac{M_{i\max}}{W_z}$$

$$\sigma_t = \frac{F}{A}$$

în care :

$$M_{i\max} = F_n(l_{\max} - f) + F_c(l_{\max} - \text{pentru sulul plin});$$

W_z - modulul de rezistență axial al secțiunii 1-1;

Cele două eforturi unitare normale dau un efort rezultant:

$$\sigma_{\max} = \sigma_{i\max} + \sigma_t$$

Determinarea forțelor se efectuează cu ajutorul ecuațiilor de echilibru static.

Capitolul 3

CARDE

Produsele livrate de agregatele de amestecare-destrămare-curățire conțin numeroase ghemotoace de fibre, mai mult sau mai puțin desfăcute, cu un procent mare de impurități și fibre defecte, în funcție de calitatea materiei prime, de eficacitatea destrămării și curățirii.

Procesul de cardare continuă acțiunea de desfacere a ghemotoacelor, până la obținerea unui grad avansat de individualizare a fibrelor, în paralel cu eliminarea impurităților și fibrelor defecte.

Cu cât cardarea este mai eficientă, cu atât și firul final va fi calitativ mai bun.

Schema tehnologică pentru cardă destinată fibrelor tip bumbac este prezentată în figura 3. 1.

Principalele mecanisme și organe specifice ale cardelor tratate în acest capitol sunt:

- mecanismele de acționare,
- garniturile elastice și rigide,
- cilindrii rupători, principali, perietori, întorcători, lucrători, mecanismele pentru preluarea vâului, mecanismele de formare a benzii și depunere în câni.

Structurile cinematice ale majorității subansamblurilor componente sunt astfel realizate, încât, în regim de funcționare, organele descriu mișcări de rotație uniforme; în consecință, la calculul acestora nu intervin momentele forțelor de inerție.

Există însă și repere care au mișcări oscilante asupra cărora acționează forțe de inerție importante, cum sunt mecanismul pieptenului oscilant, mecanismele manșoanelor frecătoare de la cardele de lână și vigoie. Alte organe ce compun carda, caracterizate prin mișcări complexe funcționează cu viteze și solicitări reduse, dimensionarea lor bazându-se doar pe condițiile cinematice și constructive impuse, ca de exemplu

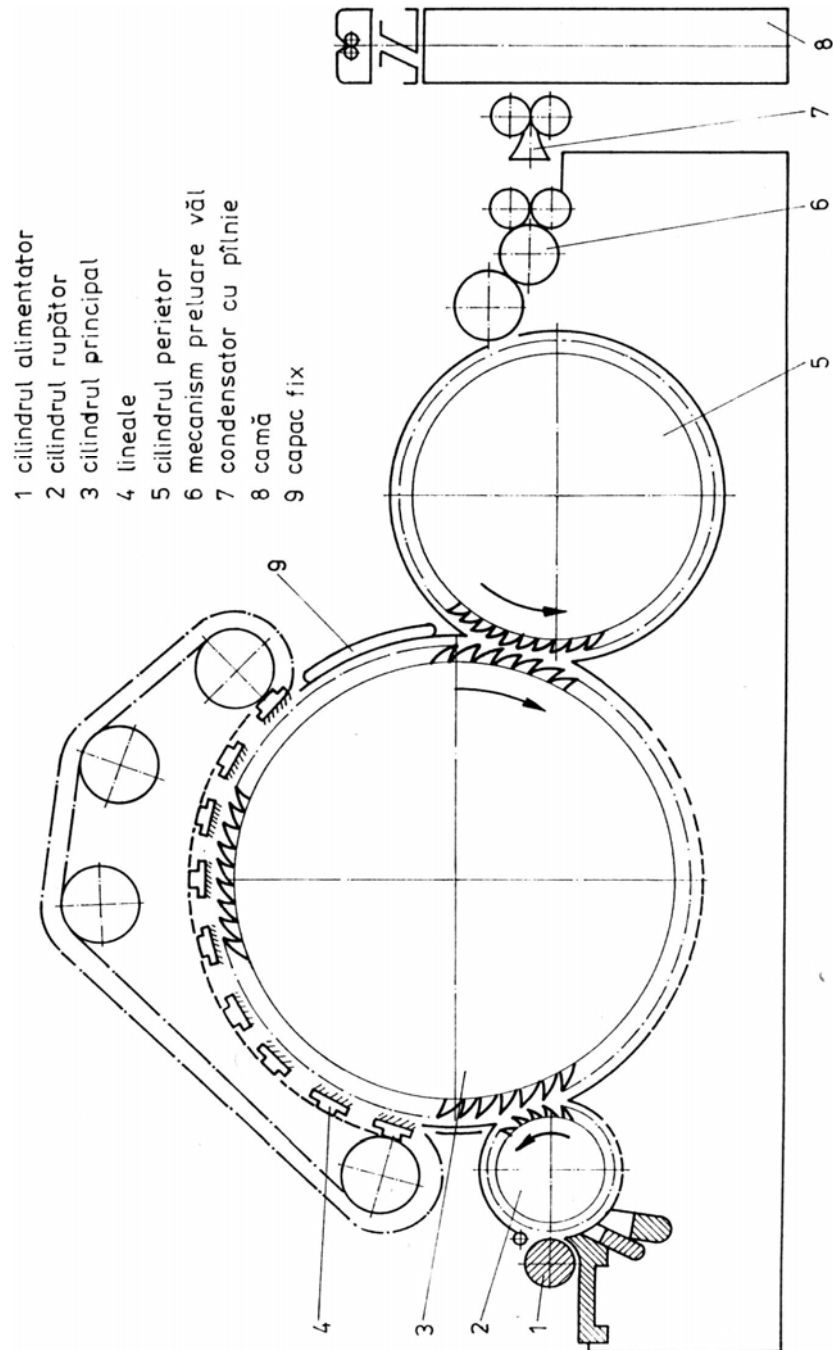


Fig. 3.1

pieptenii pentru curățirea linealelor, cântarele automate, pieptenii egalizatori din lăzile alimentatoare.

Din punct de vedere tehnologic, îndeosebi la fibrele tip bumbac, este necesară respectarea ecartamentelor care impun precizie ridicată de execuție și de funcționare pentru o serie de organe de lucru.

O particularitate tehnologică importantă o constituie faptul că rezistențele tehnologice sunt neglijabile. Excepțiile se întâlnesc la mașinile pentru fibre liberiene aspre.

3.1. Acționarea cardelor

Acționarea trebuie să permită amortizarea șocurilor de pornire, pornire lentă și progresivă fără încărcarea excesivă a motoarelor de antrenare, inversarea sensurilor de rotație la polizarea garniturilor de pe cilindri. În plus carda trebuie prevăzută cu o frâna care să realizeze durate scurte de oprire.

3.1.1. Soluții constructive

Pentru acționarea cardelor se folosesc electromotoare fixate de batiul mașinilor, cilindrii principali fiind antrenați prin intermediul unor transmisii prin curele, lanțuri, roți dințate sau roți de fricțiune.

Pornirile lente și progresive se obțin în mod curent cu ajutorul unor cuplaje de fricțiune montate pe arborele cilindrului principal sau prin folosirea unor electromotoare speciale cu dispozitive auxiliare de comandă. La soluțiile cu transmisii prin roți de fricțiune pornirea se realizează prin patinare.

În figura 3.2 sunt prezentate două scheme de acționare:

- prin curele trapezoidale și cuplaj de fricțiune;
- prin roți de fricțiune.

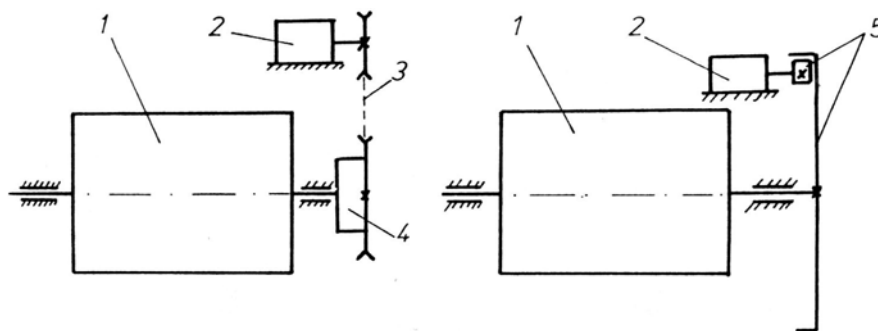


Fig. 3.2

Schema de principiu a cuplajului cardei de bumbac "Unirea" Cluj-Napoca tip C - figura 3.3, conține:

- 1 – roată pentru curele trapazoidale (liberă pe arborele cilindrului principal),
- 2 - platou de presiune care se rotește odată cu roata (1) și poate executa scurte mișcări axiale,
- 3 - disc de fricțiune cu inele ferodou fixat pe arbore,
- 4 - arcuri care apasă asupra platoului (2),
- 5 - bolțuri fixate pe roata (1), necesare susținerii arcurilor (4), dispuse echidistant,
- 6 - pârghii pentru decuplarea platoului (2),
- 7 - degete de apăsare fixate de (2),
- 8 - manșon de manevră
- 9 - rulment de presiune.

Transmisiile cu lanț ca și cele cu roți dințate sunt de tip închis cu băi de ulei.

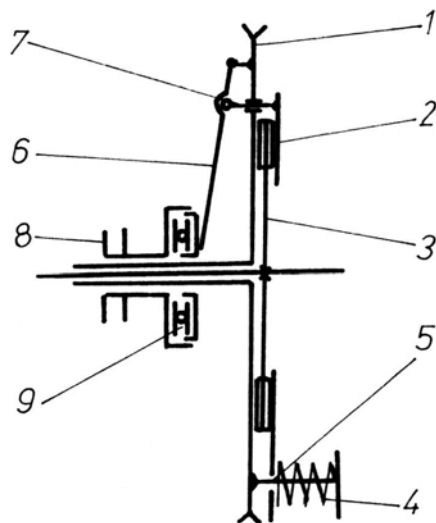


Fig. 3.3

3.1.2. Elemente de calcul

a) *Calcululele organologice* se execută în conformitate cu metodologiile cunoscute pentru roți dințate, roți de fricțiune, transmisii prin curele, prin lanțuri, arbori, ambreiaje, rulmenți, arcuri etc.

Dimensionarea organelor componente se efectuează pe baza momentului nominal de rotație provenit de la electromotor, luându-se în considerare factorii care intervin în cazul solicitărilor variabile.

Se impune verificarea la solicitarea statică maximă creată de momentul de rotație maxim care acționează în perioada de pornire a mașinii.

b) *Calculul duratei de pornire t_p se realizează cu relația (1.10):*

$$t_p = \frac{\omega_{en} J_{red}}{M_{max} - M_t}$$

Momentul de inerție redus J_{red} este:

$$J_{red} = J_e + J_{rj} \quad (3.1)$$

în care, J_e este momentul de inerție al electromotorului de acționare (rotor + arbore + roată antrenare),

J_{rj} - momentul de inerție al elementului j redus la arborele electromotorului;

$$J_{rj} = \frac{J_j}{i_j}; i_j = \frac{\omega_e}{\omega_j} \quad - \text{raportul de transmitere electromotor-}$$

element j .

Momentul rezistent static redus M_r se determină cu relația:

$$M_r = \sum M_{rj} = \sum M_j \frac{1}{i_j} \frac{1}{\eta_j} \quad (3.2)$$

în care, M_{rj} este momentul rezistent static redus al elementului j ,

M_j - momentul static al elementului j ,

η_j - randamentul transmisiei de la electromotor la elementul j .

c) *Calculul duratei de oprire a cardei se realizează cu o relație asemănătoare ca pentru pornire:*

$$t_0 = \frac{\omega_{en} J_{red}}{M_r + M_{fr}} \quad (3.3)$$

în care M_{fr} este momentul de frânare redus la arborele electromotorului

realizat de frâna montată pe arborele cilindrului principal al mașinii.

Din analiza relațiilor ce determină duratele de pornire și oprire, rezultă că pentru scurtarea acestora este necesară micșorarea momentului de inerție J_{red} , îndeosebi prin micșorarea masei cilindrilor și a diametrelor în limitele admise de tehnologie. Trebuie luate în considerare și recomandările din § 1.3.3.

3.2. Garnituri de cardă

În procesul de cardare principalul rol tehnologic revine garniturilor de cardă care sunt montate pe cilindrii (rupători, principali, perietori, lucrători, întorcători) și lineale.

În funcție de tipul de fibră prelucrat pot fi folosite, la diferite organe lucrătoare, garnituri elastice, rigide și semirigide.

3.2.1. Forma și poziția acelor la garniturile elastice

Garniturile elastice sunt formate dintr-un număr de ace din oțel de arc, îndoite în formă de U și așezate într-un suport textil; suportul, sub formă de bandă este alcătuit din 3-7 straturi de țesături lipite între ele. În figura 3.4 sunt redată principalele elemente constructive ale garniturilor elastice.

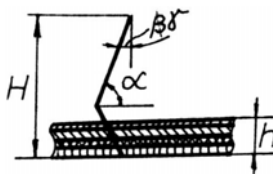


Fig. 3.4

Notațiile din figură reprezintă:

γ - unghiul de atac;

α - unghiul de cardare;

h - grosimea suportului;

H - înălțimea totală a garniturii.

Pe lângă aceste caracteristici sunt importante finețea garniturilor exprimată prin desimea de așezare a acelor și diametrul sârmelor.

Pentru garniturile elastice se pot folosi atât ace drepte, cât și ace cu genunchi – figura 3.5. Valorile unghiului de cardare α se stabilește pe baza unor considerente de ordin tehnologic; de exemplu, pentru fibre tip

bumbac, $\alpha = 70...75^\circ$, iar pentru fibre tip lână, $\alpha = 62...65^\circ$.

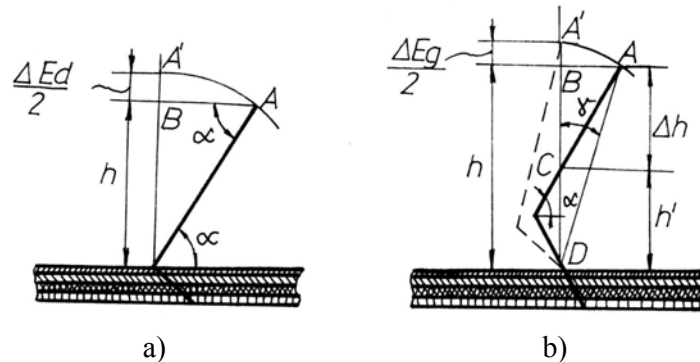


Fig. 3.5

Sub acțiunea forțelor de cardare acele sunt deviate mai mult sau mai puțin în funcție de mărimea ghemotoacelor și drept urmare ecartamentele capătă valori variabile, schimbând condițiile de lucru. Modificarea ecartamentelor este sensibil mai redusă la acele cu genunchi.

Situația cea mai defavorabilă apare atunci când vârful acului A ajunge pe direcția normalei la garnitură (în punctul A') trasată prin punctul de încastrare în suport a piciorului.

Considerând ca variația maximă a ecartamentului ΔE se distribuie în mod egal celor două garnituri care lucrează față în față, rezultă:

$$\Delta E_d = 2 \left(\frac{H}{\sin \alpha} - H \right) = 2H(1/\sin \alpha - 1) \quad (3.4)$$

$$\Delta E_g = 2 \left(\frac{H}{\cos \gamma} - H \right) = 2H(1/\cos \gamma - 1) \quad (3.5)$$

Pentru unghiul γ se recomandă valori între $3...6^\circ$ în cazul bumbacului, deoarece forțele obișnuite de cardare deviază acele cu $3...4^\circ$.

Spre exemplu, când $H = 10\text{mm}$ (bumbac), $\alpha = 75^\circ$, $\gamma = 4^\circ$, rezultă $\Delta E_d = 0,72 \text{ mm}$. Cum la cardarea bumbacului ecartamentele necesare sunt de ordinul $E = (0,05...0,2) \text{ mm}$, rezultă că trebuie utilizate ace cu

genunchi.

Polizarea garniturilor elastice cu ace cu genunchi (montate pe cilindrii respectivi) se poate executa până când vârful acelor ajung în punctul C situat pe perpendiculara $A'D$ - figura 3.5.

Când sunt necesare ecarteramente mici între organele lucratoare este posibil ca acele să se întrepătrundă.

Înălțimea de uzură ΔH corespunzătoare se determină astfel:

$$\Delta H = BC = AB \cdot \operatorname{tg} \alpha = h \cdot \operatorname{tg} \gamma \cdot \operatorname{tg} \alpha \quad (3.6)$$

Operația de polizare este necesară în vederea obținerii preciziei la cilindricitate impusă de procesul tehnologic.

Corespunzător datelor din exemplul adoptat anterior rezultă $\Delta H = 2,6$ mm.

3.2.2. Garnituri rigide

Garniturile rigide sunt confecționate din sârmă de oțel cu profil special având ștanțați dinți de fierăstrău - figura 3.6, cu o geometrie care depinde de materia primă prelucrată și de organul de lucru pe care se montează.

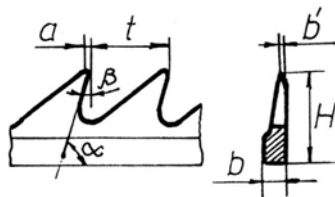


Fig. 3.6

Notațiile din figură reprezintă:

- t – pasul dinților;
- a, b' - dimensiunile vârfului acului;
- α - unghiul de cardare;
- β - unghiul de atac;
- b – lățimea la bază a garniturii;
- H – înălțimea garniturii.

Utilizarea garniturilor elastice, în comparație cu cele rigide, prezintă o serie de deficiențe care limitează productivitatea (prin umplerea la

intervale scurte a garniturilor cu fibre care necesită curățiri frecvente) și calitatea produsului (prin creșterea numărului de nopeuri și a neregularității benzii); totodată, consumul de materii prime este mai mare.

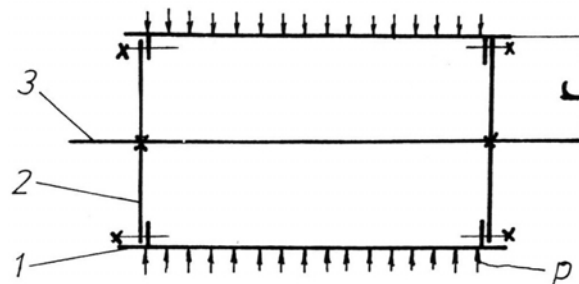
Datorită avantajelor oferite de garniturile rigide rezultă eficiența economică mărită a cardelor care utilizează astfel de garnituri.

Materialele și tratamentele termice trebuie să ofere o bună așezare a bazei garniturii pe cilindrii, atunci când aceasta este înfășurată cu forțe mici de întindere, bună rezistență la uzura dinților. În acest scop se adoptă sârma profilată din oțel cu aproximativ 0,5% carbon, tratată termic astfel ca baza să aibă duritate scăzută (20 - 25 HRC) și alungire 15 - 25%, iar după tăierea dinților, vârfului acestora în urma călirii să capete o duritate de 55 - 58 HRC.

Pentru fibre tip bumbac, se impune ca înălțimea dinților să fie executată cu o precizie ridicată pentru cilindrii principal și perietor și lineale; se recomandă abateri față de dimensiunea nominală de $\pm 0,005$ mm ($\Delta H = 0,01$ mm).

3.3. Cilindrii cardelor

Aceste organe de lucru ale cardelor reprezintă cilindri cu pereți subțiri, fixați la capete pe cate doi suportți circulari, prevăzuți cu spițe, montați pe arbori - figura 3.7.



1 – inveliș; 2 – capac; 3 – arbore principal.

Fig. 3.7

Soluțiile constructive adoptate pentru invelișurile cilindrice sunt:

- fără nervuri de rigidizare - figura 3.7;
- cu nervuri de rigidizare circulare - figura 3.8 a) și circulare+longitudinale - figura 3.8 b), (rar utilizate).

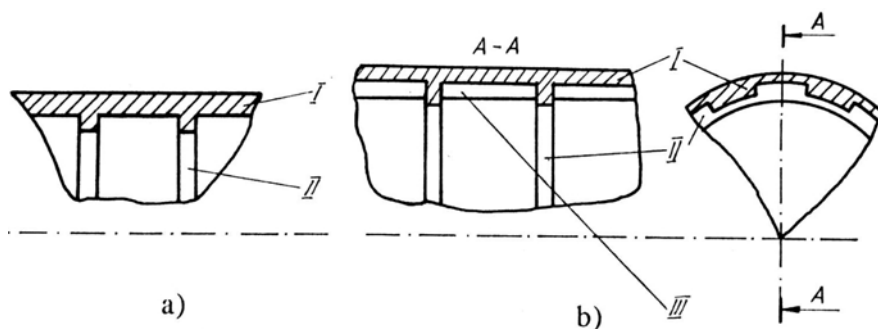


Fig. 3.8

Învelișurile se execută din fontă sau tablă de oțel laminat.

Pentru o bună comportare în exploatare, cilindrul trebuie să îndeplinească, sub aspect mecanic, următoarele condiții de bază :

- precizie ridicată la cilindricitate ($\pm 0,01$ mm, la carde tip bumbac);
- deformații radiale limitate ale învelișului sub acțiunea presiunii și a forței centrifuge ($\delta_{\max} \leq \delta_a$);
- rezistență mecanică la acțiunea presiunii p , a forței centrifuge și la așezarea pe sol;
- stabilitate elastică;
- stabilitate dimensională în timp;
- masă și dimensiuni cât mai reduse pentru micșorarea momentului de inerție;
- echilibrare dinamică.

Dacă deformațiile radiale ale învelișului cilindric provocate de presiunea p capătă valori peste o anumită limită, atunci nu se mai poate obține o cardare suficient de uniformă pe lățimea mașinii.

Deformațiile radiale sunt influențate și de forța centrifugă a învelișului și garniturii la turații ridicate. În cazul în care eforturile unitare admisibile corespunzătoare materialului învelișului cilindric sunt depășite, pot apărea deformații permanente sau ruperi ale acestuia.

Eforturile unitare care apar în înveliș provin de la presiunea exterioară exercitată de garnitura înfășurată pe cilindru, greutatea proprie a acestuia și de la forța centrifugă a învelișului, pentru cazul când tamburul se află în regim normal de funcționare.

Se impune ca învelișul să fie destul de rezistent pentru a nu se

deteriora în timpul transportului sau atunci când este așezat pe sol fără suporturi la capete.

Pierderea stabilității elastice a învelișului cilindric poate să se producă în cazul în care presiunea exercitată de garnitura înfășurată pe cilindru depășește valoarea critică admisibilă; la pierderea stabilității elastice, învelișul capătă abateri de la forma circulară. Acest fenomen a fost întâlnit deseori la cilindrii principali unde garnitura elastică a fost înlocuită cu garnitură rigidă care exercită presiuni mai mari asupra învelișului.

Stabilitatea dimensională în timp la învelișurile cilindrice de la carde se obține prin detensionare naturală și artificială, în vederea eliminării apreciabile a tensiunilor interne care apar, atât la construcții executate prin turnare din fontă, cât și la cele executate prin sudare din oțel.

Detensionarea naturală se aplică la învelișurile cilindrice din fontă, prin expunerea acestora, timp de aproximativ 6 luni în aer liber, cu axa așezată pe verticală; detensionarea artificială se realizează prin încălzire și răcire lentă în cuptoare adecvate.

Față de condițiile prezentate anterior rezultă că pentru învelișurile cilindrice sunt necesare calcule cu privire la:

- deformații radiale maxime și eforturi unitare maxime pentru regimul normal de funcționare;
- stabilitate elastică;
- eforturi unitare pentru cazul când învelișul este așezat pe sol.

În paragrafele următoare se vor prezenta calculele menționate mai sus atât pentru învelișuri fără nervuri de rigidizare, cât și pentru cele prevăzute cu astfel de elemente de întărire.

3.3.1. Calculul deformațiilor radiale maxime și a eforturilor unitare maxime pentru regimul normal de funcționare în cazul învelișului fără nervuri de rigidizare

Pentru calcule se impun următoarele ipoteze:

- învelișul fără nervuri de rigidizare se consideră cu grosime constantă ($h = \text{const.}$);
- tensiunile interne din înveliș, se consideră normalizate înainte de înfășurarea garniturii ;
- suportii circulari cu spițe de la capete se consideră perfect rigizi;
- învelișul cilindric principal este asimilat cu un vas cilindric cu pereți subțiri; se consideră vas cu pereți subțiri întrucât raportul h/r este mai mic decât 0,064 (h - grosimea învelișului, r - raza mijlocie);

- forța F de întindere a garniturii la înfășurare se adoptă cu valoare constantă în tot timpul înfășurării;
- presiunea exercitată de garnitură se consideră uniform repartizată pe întreaga suprafață exterioară a învelișului;
- se neglijează efectele forțelor de greutate. Pentru determinarea presiunii p se consideră o porțiune elementară de garnitură rigidă înfășurată pe cilindru asupra căreia acționează forța de întindere F și reacțiunea normală dN din partea învelișului - figura 3.9.

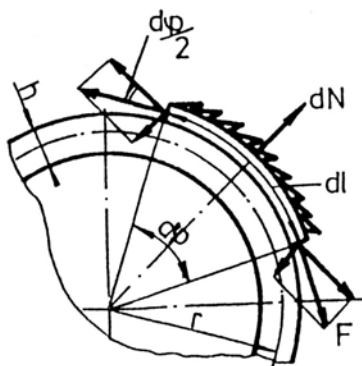


Fig. 3.9

Notând cu b lățimea garniturii la bază, presiunea care se exercită asupra învelișului va fi :

$$p = \frac{dN}{b \cdot dl} = \frac{F \cdot d\varphi}{b \cdot r \cdot d\varphi} = \frac{F}{b \cdot r} \quad (3.7)$$

deoarece la echilibru :

$$2 \cdot F \cdot \sin \varphi/2 = dN \quad (3.8)$$

având unghiul $d\varphi$ foarte mic,

$$F \cdot d\varphi = dN \quad (3.9)$$

3.3.1.1. Efortul unitar și deformația radială la învelișul cilindric liber la capete

Se consideră că solicitarea provine numai de la presiunea p exercitată de garnitura montată pe înveliș (se neglijează forța centrifugă).

Deformațiile radiale provocate de p vor fi aceleași în toate secțiunile - figura 3.10.

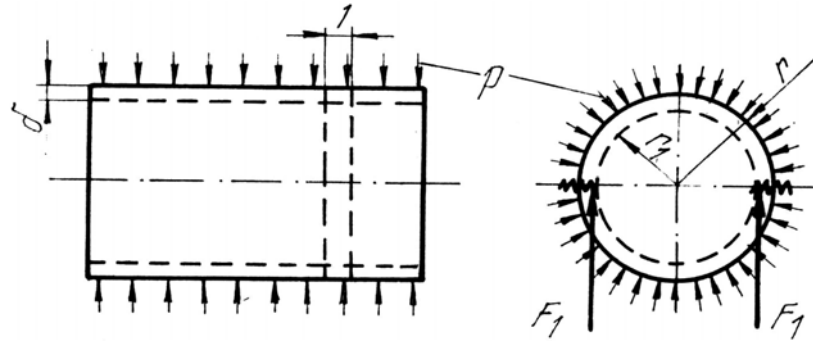


Fig. 3.10

Calcululele se efectuează pentru o porțiune de înveliș cilindric asimilată sub forma unui inel cu lungimea pe generatoare egală cu unitatea; comportarea acestuia privind efortul unitar și deformația radială este identică cu a întregului înveliș.

Când $p = 0$ învelișul este nedeformat, având raza r ; la apariția presiunii învelișul capătă raza r_1 , diferența $(r - r_1)$ reprezentând deformația radială δ .

Într-o secțiune longitudinală prin inelul cu lungimea egală cu unitatea, se exercită, datorită presiunii p , o forță F , care provoacă efortul unitar de compresie σ_1 .

$$\sigma_1 = \frac{F_1}{A_1} = \frac{F_1}{h \cdot l} = \frac{p \cdot r \cdot l}{h \cdot l} = p \cdot \frac{r}{h} \quad (3.10)$$

Elementele de calcul prezentate sunt valabile atâta timp cât presiunea exterioară $p < p_{cr}$, p_{cr} fiind presiunea critică la care se pierde stabilitatea; dacă $p > p_{cr}$ învelișul pierde forma cilindrică și pe lângă eforturile de compresie apar și eforturi de încovoiere.

Presiunea critică este dată de relația cunoscută din teoria elasticității:

$$p_{cr} = E \frac{h^3}{4 \cdot r^3 \cdot (1 - \mu^2)} \quad (3.11)$$

în care μ este coeficientul lui Poisson și E modulul de elasticitate. Dacă $p < p_{cr}$, deformația radială este :

$$\delta = r - r_1$$

Lungimea cercului de rază r_1 se poate calcula cu relația:

$$r_1 = r - r \cdot \varepsilon \quad (3.12)$$

în care ε este deformația specifică de compresie. Rezultă:

$$r - r_1 = \delta = r \cdot \varepsilon \quad (3.13)$$

Deformația specifică ε conform legii lui Hooke este:

$$\varepsilon = \frac{\sigma_1}{E} = p \cdot \frac{r}{h} \cdot \frac{1}{E} \quad (3.14)$$

Ținând seama de relația (3.7) rezultă:

$$\delta = \frac{p \cdot r^2}{h \cdot E} \quad (3.15)$$

$$\delta = \frac{F \cdot r}{b \cdot h \cdot E} \quad (3.16)$$

$$\delta = \frac{p}{k} \quad (3.17)$$

în care, $k = h \cdot \frac{E}{r^2}$ reprezintă rigiditatea mediului elastic.

Pentru efortul unitar σ_1 rezultă și expresia:

$$\sigma_1 = \delta \cdot \frac{E}{r} \quad (3.18)$$

3.3.1.2. Deformațiile radiale la învelișul rezemat la capete pe suporturi rigizi

Suportii circulari de la capete - figura 3.11, împiedică deformația liberă a învelișului sub acțiunea presiunii p ; pe lângă eforturi de compresie apar la înveliș și eforturi de încovoiere.

Întrucât gradul de încastrare este mai mare în dreptul șuruburilor față de intervalul dintre acestea, se vor studia deformațiile radiale pentru variantele extreme: încastrare (I) și simplă rezemare (II).

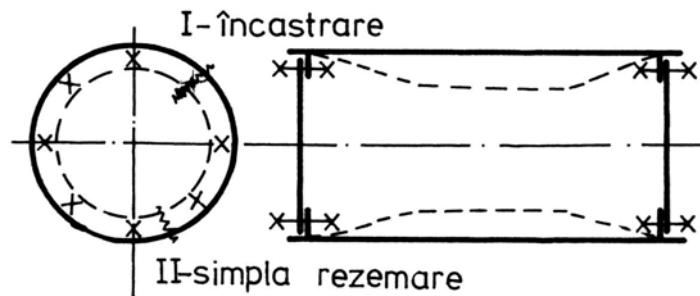


Fig. 3.11

a) Stabilirea ecuației fibrei deformată

Se folosește metoda de calcul de la vasele cilindrice cu pereți subțiri cu funduri rigide, supuse la presiuni exterioare uniform repartizate.

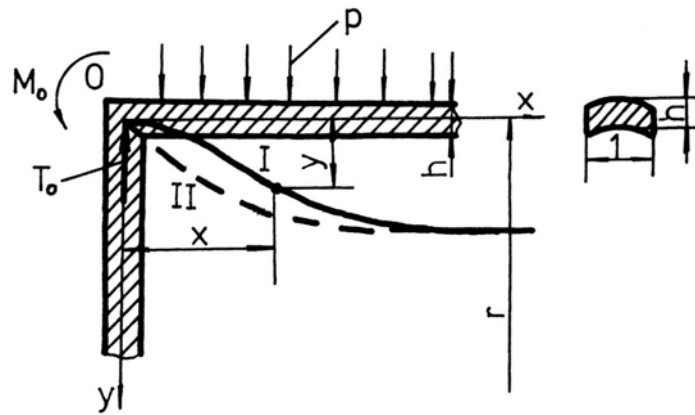


Fig. 3.12

Se consideră o porțiune de înveliș decupată pe direcția unei generatoare de lățime egală cu unitatea și de grosime h (grosimea învelișului). Această porțiune reprezintă o grindă așezată pe teren elastic, având coeficientul de rigiditate:

$$k = E \cdot \frac{h}{r^2} - \text{figura 3.12.}$$

La capete, sub acțiunea presiunii p apare numai forța tăietoare T_0 ,

când grinda este simplu rezemată (II); când grinda este încastrată (I) apare și momentul încovoietor M_o .

Ecuția diferențială a fibrei deformată este :

$$D_c \cdot \frac{d^4 \gamma}{dx^4} + k \cdot \gamma = p, \quad (3.19)$$

în care D_c reprezintă rigiditatea cilindrică la încovoiere a învelișului și se determină cu relația :

$$D_c = \frac{E \cdot h^3}{12 \cdot (1 - \mu^2)} \quad (3.20)$$

Împărțind relația (3.19) prin D_c și apelând la relația (3.17) se obține:

$$\frac{d^4 y}{dx^4} + \frac{k}{D_c} y = \frac{p}{D_c} = \frac{k}{D_c} \delta \quad (3.21)$$

Notând $\frac{k}{D_c} = 4 \cdot \beta^4$ și împărțind prin β^4 rezultă:

$$\frac{d^4 y}{d(\beta x)^4} + 4y = 4\delta \quad (3.22)$$

în care:

$$\beta = \sqrt[4]{3 \frac{1 - \mu^2}{r^2 \cdot h^2}} \quad (3.23)$$

Ecuția (3.22) are ca soluție particulară $y = \delta$ pentru $p = \text{const}$.

Pentru ecuația omogenă:

$$\frac{d^4 y}{d(\beta x)^4} + 4y = 0 \quad (3.24)$$

soluția este dată de expresia:

$$y = e^{\beta x} (C_1 \cdot \cos \beta x + C_2 \cdot \sin \beta x) + e^{-\beta x} (C_3 \cdot \cos \beta x + C_4 \cdot \sin \beta x) \quad (3.25)$$

Soluția generală a ecuației (3.22) va fi:

$$y = e^{\beta x} (C_1 \cdot \cos \beta x + C_2 \cdot \sin \beta x) + e^{-\beta x} (C_3 \cdot \cos \beta x + C_4 \cdot \sin \beta x) + \delta \quad (3.26)$$

Constantele C_1 și C_2 trebuie să fie egale cu zero, întrucât factorul $e^{\beta x}$ crește la infinit când $x \rightarrow \infty$; în caz contrar, $y \rightarrow \infty$, ceea ce fizic nu este posibil.

Ecuația fibrei deformate devine:

$$y = e^{-\beta x} (C_3 \cos \beta x + C_4 \sin \beta x) + \delta \quad (3.27)$$

Expresiile derivatelor succesive ale funcției y sunt:

$$y' = \beta e^{-\beta x} [(C_4 - C_3) \cos \beta x - (C_3 + C_4) \sin \beta x] \quad (3.28)$$

$$y'' = 2\beta^2 e^{-\beta x} (C_3 \sin \beta x - C_4 \cos \beta x) \quad (3.29)$$

$$y''' = 2\beta^3 e^{-\beta x} [(C_3 + C_4) \cos \beta x + (C_4 - C_3) \sin \beta x] \quad (3.30)$$

Constantele C_3 și C_4 se determină funcție de condițiile limită impuse la capetele grinzii; acestea depind de tipul rezemării: încastrare (I) sau simplă rezemare (II).

Pentru cazul I rezultă:

$$x = 0 \begin{cases} y = 0 \text{ (suport de capete rigizi)} \\ y' = 0 \text{ (tan genta la curbă se confundă cu } Ox) \end{cases}$$

$$C_3 = C_4 = -\delta$$

Expresia deformațiilor radiale (ecuația fibrei deformate) devine:

$$y_1 = \delta [1 - e^{-\beta x} (\cos \beta x + \sin \beta x)] = \phi_1(\beta x) \quad (3.31)$$

Momentul încovoietor M_o și forța tăietoare T_o - figura 3.12, sunt:

$$M_o = -D_c \cdot y'' = 2\beta^2 \cdot D_c \cdot \delta \quad (3.32)$$

$$T_o = D_c \cdot y''' = -4\beta^3 \cdot D_c \cdot \delta \quad (3.33)$$

Pentru cazul II rezultă:

$$x = 0 \begin{cases} y = 0 \\ y'' = 0, \text{ deoarece } M_o = 0 \end{cases}$$

Deoarece $y'' = 0$, rezultă $C_4 = 0$; folosind și condiția $y = 0$, rezultă $C_3 = -\delta$.

Expresia deformațiilor radiale pentru această variantă devine:

$$y = \delta(1 - 2^{-\beta x} \cos \beta x) = \phi_2(\beta x) \quad (3.34)$$

Forța tăietoare este:

$$T_o = -2\beta^3 \cdot D_c \cdot \delta \quad (3.35)$$

a) *Deformația radială maximă*

Funcțiile $\phi_1(\beta x)$ și $\phi_2(\beta x)$ conțin factorul $e^{-\beta x}$, care arată că, odată cu creșterea lui x , y tinde către δ . Prin reprezentarea grafică a acestor funcții – figura 3.13, se găsește că $y \cong \delta$ dacă $\beta x \geq 3$.

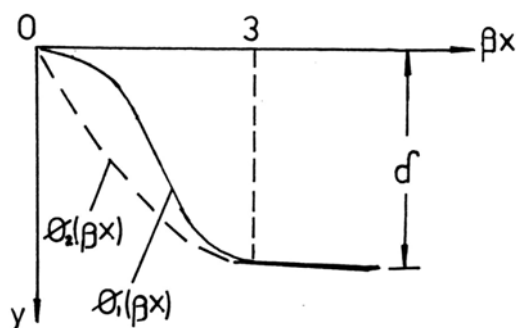


Fig. 3.13

Pentru $\beta x = 3$ se obține $\phi_1(3) = 1,042 \cdot \delta$ și $\phi_2(3) = 1,048 \cdot \delta$, diferența fiind neglijabilă. Calculând valoarea minimă a lui β cu relația (3.23), pentru dimensiunile limită utilizate în învelișuri cilindrice de la cardă ($r = 65$ cm, $h = 2$ cm, $\mu = 0,3$) se stabilește valoarea $\beta = 0,112$ cm⁻¹. Rezultă că $x_{\max} = 3 / \beta_{\min} \cong 27$ cm, ceea ce reprezintă o valoare mai mică decât jumătate din lungimea minimă ($l_{\min} = 100$ cm) a cilindrilor utilizați.

În consecință, la cilindrii de cardă, deformația radială maximă δ_{\max} ,

se calculează ca pentru un cilindru liber la capete, cu relațiile (3.15), (3.16) sau (3.17).

Se obțin valori mai mici pentru deformația radială maximă δ_{\max} în cazul utilizării oțelului pentru învelișuri (modul de elasticitate mai mare ca la fontă).

Pentru forța de întindere F a garniturii rigide, în momentul înfășurării, se recomandă valori reduse, care totuși să asigure o așezare satisfăcătoare a acesteia pe cilindrii. Pentru garnituri de calitate se recomandă $F = 60 \dots 100$ N, corespunzătoare la lățimi $b = 0,9 \dots 1$ mm; în general se aplică forțe de întindere F care să conducă la eforturi unitare de tracțiune în garnitură de aproximativ 100 N/mm^2 .

În mod curent înălțimea garniturii H variază cu $\pm \Delta H / 2$. Presupunând că un dinte situat spre capetele cilindrului are înălțimea $H + \Delta H / 2$, iar unul situat în zona mijlocie are $H - \Delta H / 2$, rezultă luând în considerare deformația radială maximă δ , o denivelare $\delta + \Delta H$, care trebuie să fie mai mică decât gradul maxim de tocire Δ_{\max} admis după operația de polizare a garniturii figura 3.14.

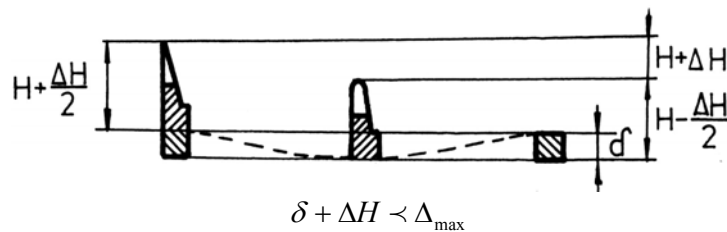


Fig. 3.14

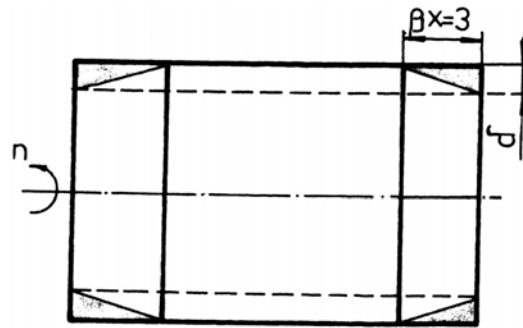
Deformația admisibilă δ_a depinde de Δ_{\max} la care se mai poate desfășura în mod corect procesul de cardare. Cum după prima polizare este necesară o rezervă pentru “ascuțiri” ulterioare, rezultă:

$$\delta_a \leq \frac{\Delta_{\max}}{k} - \Delta H \quad (3.36)$$

k fiind un coeficient supraunitar și depinde de numărul de polizări ce urmează a fi executate.

Gradul de tocire al dinților în urma polizării poate fi redus dacă se recurge la o prelucrare tronconică a capetelor învelișului cilindric –

figura 3.15; această soluție este adoptată pentru situația când efectul forței centrifuge a învelișului se neglijează.



polizare tronconică la capete

Fig. 3.15

3.3.1.3. Eforturile unitare maxime în invelișul cilindric

Sub acțiunea presiunii exterioare, la o distanță x de capătul cilindrului apar într-o secțiune transversală eforturi unitare de încovoiere σ_{ix} și într-o secțiune longitudinală eforturi unitare de compresie σ_{cx} - figura 3.16. Acestea conduc la o solicitare compusă pentru care efortul unitar echivalent este:

$$\sigma_{echx} = \mu \cdot \sigma_{ix} - \sigma_{cx} \quad (3.37)$$

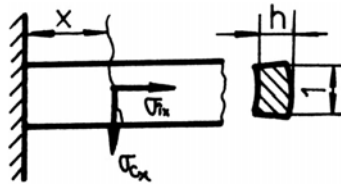


Fig. 3.16

Efortul unitar de încovoiere σ_{ix} , pentru grinda cu lățimea egală cu unitatea este:

$$\sigma_{ix} = \pm \frac{M_x}{W} = \pm \frac{Dy''}{1h^2} = \pm \frac{6D}{h^2} 2\beta^2 e^{-\beta x} (C_3 \sin \beta x - C_4 \cos \beta x) \quad (3.38)$$

Pentru varianta I ($C_3 = C_4 = -\delta$) rezultă:

$$\sigma'_{ix} = \pm \frac{12D\beta^2\delta}{h^2} e^{-\beta x} (\sin \beta x - \cos \beta x) \quad (3.39)$$

Valoarea maximă absolută corespunde la $\beta \cdot x = 0$ ($x=0$):

$$\sigma'_{i\max} = \pm \frac{12D\beta^2\delta}{h^2} \quad (3.40)$$

Înlocuind D – relația (3.20) și β - relația (3.22) și adoptând $\mu = 0,3$ (oțel) se obține:

$$\sigma'_{\max} = E \cdot \frac{\delta}{r} \sqrt{\frac{3}{1-\mu^2}} = 1,82 \frac{\delta}{r} E \quad (3.41)$$

Înlocuind pe δ cu relația (3.15) și ținând seama și de relația (3.18), σ'_{\max} este:

$$\sigma'_{\max} = 1,82 \frac{p \cdot r}{h} = 1,82 \sigma_I \quad (3.42)$$

Pentru varianta II ($C_3 = -\delta, C_4 = 0$):

$$\sigma''_{ix} = \pm \frac{12D\beta^2\delta}{h^2} e^{-\beta x} \sin \beta x \quad (3.43)$$

Valoarea maximă absolută se obține pentru $\beta x = \pi/4$ și este:

$$\sigma''_{\max} = \pm \frac{12D\beta^2\delta}{h^2} 0,3224 \cong 0,59 \sigma_I \quad (3.44)$$

Rezultă că la varianta I efortul unitar de încovoiere este mai periculos și apare la capetele învelișului cilindric în dreptul șuruburilor de strângere – figura 3.11.

Efortul unitar de compresie σ_{cx} este:

$$\sigma_{cx} = \frac{y}{r} E \quad (3.45)$$

Pentru $\beta x > 3$, $y = \delta$ rezultă $\sigma_{cx} = \sigma_l$ - figura 3.13.

Aplicând relația (3.37) pentru variantele (I) și (II) se constată că $\sigma_{ech\max} < \sigma_{i\max}^I$.

În consecință pentru determinarea efortului unitar maxim în învelișul cilindric sub acțiunea presiunii exterioare, se va utiliza relația (3.38).

1.4. Influența forței centrifuge asupra învelișului cilindric

La viteza de regim, sub acțiunea forțelor centrifuge, apar deformații radiale δ_{Fc} ce măresc diametrul tamburului; eforturile unitare din înveliș, provenite de la presiunea exercitată de garnitură, se micșorează, iar cele din garnitură cresc. Valorile efortului unitar provenit de la acțiunea forței centrifuge se determină cu relația:

$$\sigma_{Fc} = \frac{\delta_{Fc}}{r} E, \quad (3.46)$$

iar deformația radială, cu relația:

$$\delta_{Fc} = \frac{\rho \cdot v^2}{g} \cdot \frac{r}{E} \quad (3.47)$$

în care: ρ - densitatea materialului pentru înveliș,

v - viteza tangențială.

În cazul cilindrilor reali (cu prindere rigidă la capete) deformațiile se manifestă conform reprezentării din figura 3.17; zona mijlocie – ca și în cazul cilindrului liber la capete.

Pentru cilindrii care lucrează până la 100 rot/min (cazul perietorului) efectul forței centrifuge este neglijabil.

Precizia la cilindricitate se îmbunătățește prin polizarea tronconică a capetelor la cotele δ și $\beta \cdot x = 3$ calculate astfel încât după înfășurarea garniturii dințate să se ajungă la o formă cilindrică apropiată de forma cu toleranță prescrisă - figura 3.15.

La cilindrii care se rotesc cu 300-600 rot/min (cazul cilindrului

principal) efectul forței centrifuge nu mai poate fi neglijabil. Se disting două situații:

$$\delta_{Fc} \geq \delta \text{ și } \delta_{Fc} < \delta$$

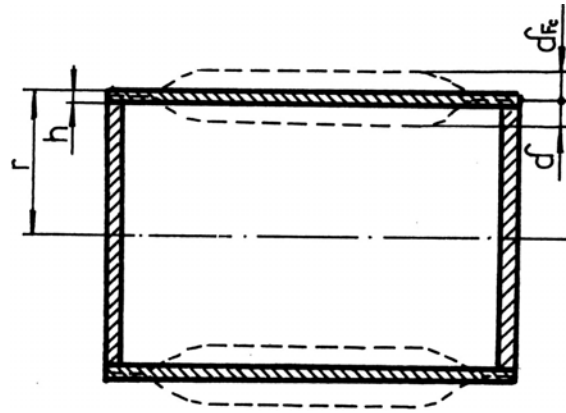


Fig. 3.17

În primul caz, pentru ca după înfășurarea garniturii rigide să se ajungă la o formă cilindrică care să se apropie de forma admisă, se recomandă o polizare cilindrică a învelișului (fără garnitură) rotind cilindrul la o turație n' care să producă sub acțiunea forței centrifuge, o deformare $(\delta_{Fc} - \delta)$ reprezentând adâncimea de polizare - figura 3.18.

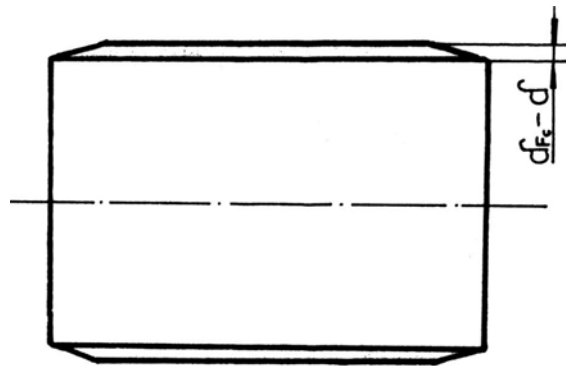


Fig. 3.18

În al doilea caz, ($\delta_{Fc} < \delta$), efectul dorit, așa cum s-a arătat mai sus, se obține prin polizarea tronconică cu adâncimea ($\delta - \delta_{Fc}$) pe direcția radială, la viteze scăzute de rotație ale cilindrului.

Înlăturarea unor eventuale abateri de la cilindricitate, care depășesc limitele prevăzute, se efectuează prin polizarea vârfurilor dinților de la garniturile înfășurate pe cilindri, la viteze ale acestora apropiate sau egale cu vitezele de exploatare.

3.3.1.5. Stabilitatea învelișurilor cilindrice

Un înveliș cilindric rezemat pe suporturi rigizi la capete, supus unei presiuni exterioare - figura 3.10, pierde stabilitatea formei circulare de îndată ce presiunea depășește valoarea critică: $p > p_{cr}$. Deformațiile care se produc au aspecte specifice - figura 3.19, caracterizate prin apariția a două sau mai multe noduri.

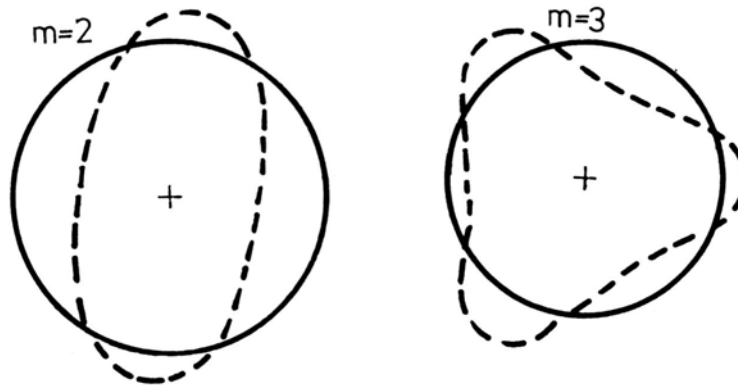


Fig. 3.19

Dacă lungimea cilindrului este mai mare decât lungimea critică, presiunea critică nu mai depinde practic de lungimea acestuia - relația 3.11. În practică se adoptă:

$$l_{cr} \cong 24 \cdot r \quad (3.48)$$

Lungimile obișnuite ale cilindrilor de cardă sunt până la aproximativ 2000 mm (la lână), ceea ce conduce la situația $l = l_{cr}$; cilindrii sunt considerați scurți, iar presiunea critică se poate calcula cu relația

aproximativă:

$$p_{cr} = \frac{E}{(m^2 - 1) \cdot \left[1 + \left(\frac{ml}{\pi r} \right)^2 \right]^2} \cdot \frac{h}{r} + \frac{E}{12(1 - \mu^2)} \cdot \left[n^2 - 1 + \frac{2m^2 - 1 - \mu}{1 + \left(\frac{ml}{\pi r} \right)^2} \right] \cdot \frac{h^3}{r^3} \quad (3.49)$$

în care m reprezintă numărul de noduri ce apare la pierderea stabilității, număr care conduce la o valoare minimă pentru p_{cr} .

Pentru calcule se dau lui m valori întregi începând cu 2, obținându-se o serie de valori pentru p_{cr} ; de obicei începând de la $m=2$, p_{cr} scade, atingând pentru o anumită valoare a lui m un minimum, după care începe din nou să crească - figura 3.20. Se va lua pentru p_{cr} valoarea minimă calculată ($p_{cr \min}$).

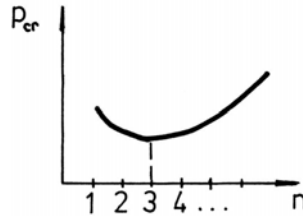


Fig. 3.20

Pentru ca învelișul să nu-și piardă stabilitatea elastică este necesar ca

$$p < p_a = p_{cr \min} / c \quad (3.50)$$

în care c este un coeficient de siguranță (în mod obișnuit la vasele cilindrice din oțel c variază în limitele 3 ... 9; valorile mai reduse corespund pentru construcții executate cu precizie și așezate în poziție verticală, iar cele mai mari pentru așezare orizontală, caz în care, greutatea proprie produce o ovalizare, și pentru execuții mai puțin precise).

3.3.2. Cilindrii de cardă cu nervuri de rigidizare circulare; calculul deformațiilor radiale maxime

Se admit următoarele ipoteze de calcul:

- învelișul propriu-zis se consideră vas cilindric cu perete subțire, având grosimea h constantă;

- suportii învelișului se consideră perfect rigizi și permit deplasările acestuia pe direcție axială;
- grosimile radiale h_i și lățimile b_i ale inelelor de rigidizare se presupun că au valori constante (pentru fiecare inel în parte);
- se neglijează prezența tensiunilor interne din înveliș;
- presiunea p exercitată de garnitura înfășurată pe cilindru se presupune aceeași pe întreaga suprafață a învelișului.

Pentru calcule – figura 3.21, se consideră o porțiune din învelișul propriu-zis de grosime h , luată în lungul generatoarei, de lățime egală cu unitatea, ca o grindă încastrată la capete, așezată pe teren elastic, încărcată cu sarcina uniform distribuită p și cu forțele concentrate Q_i – reacțiunile elastice ale inelelor de rigidizare.

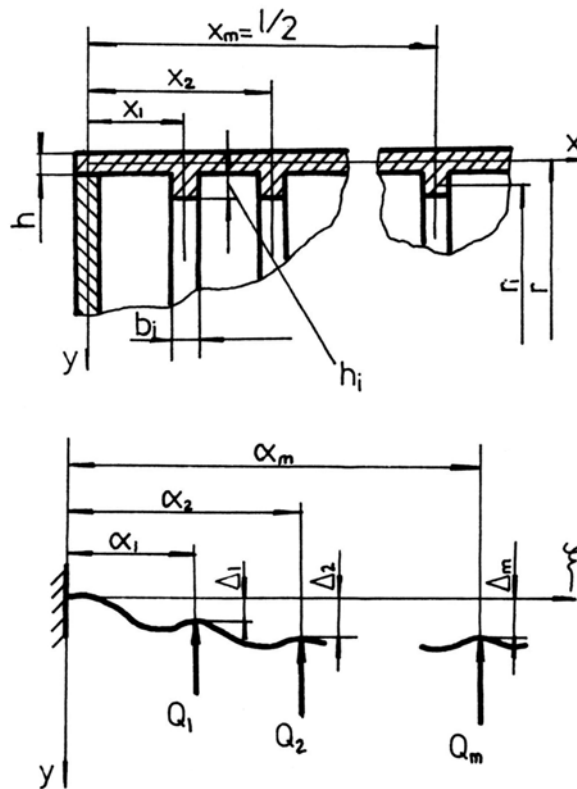


Fig. 3.21

Pentru cazul de încărcare de mai sus, ecuația fibrei neutre este:

$$D_c \frac{d^4 y}{dx^4} + Ky = p(x) \quad (3.51)$$

în care D_c este rigiditatea cilindrică la încovoiere a învelișului propriu-zis și K este rigiditatea mediului elastic, definite prin relațiile:

$$D_c = \frac{E \cdot h^2}{12(1 - \mu^2)}$$

$$K = \frac{E \cdot h}{r^2}$$

Simbolul $p(x)$ arată că încărcarea depinde de valoarea abscisei (intervin presiunea și forțele Q_i); E este modulul de elasticitate, iar μ - coeficientul lui Poisson.

Împărțind relația (3.51) prin D_c , notând $K/D_c = 4\beta^4$ și împărțind din nou prin β^4 se găsește ecuația:

$$\frac{d^4 y}{d\xi^4} + 4y = \frac{4p(\xi)}{K} \quad (3.52)$$

cu $\xi = \beta \cdot x$, abscisa redusă.

Soluția ecuației diferențiale (3.52), apelând la metoda propusă de Krâlov este:

$$y = A \cdot Y_1(\xi) + B \cdot Y_2(\xi) + C \cdot Y_3(\xi) + D \cdot Y_4 \xi + \phi(\xi) \quad (3.53)$$

în care $Y_i(\xi)$ - funcțiile lui Krâlov, A, B, C, D - constante de integrare, $\phi(\xi)$ - funcție a cărei expresie depinde de felul încărcării grinzii.

Pentru încărcare numai cu sarcina distribuită p , sau numai cu forța concentrată Q_i , expresiile funcției $\phi(\xi)$ sunt:

$$\phi_p(\xi) = \frac{p}{K} [1 - Y_1(\xi)] \quad (3.54)$$

$$\phi_{Q_i}(\xi) = \frac{4\beta Q_i}{K} Y_4(\xi - \alpha_i) \quad (3.55)$$

în care $\alpha_i = \beta \cdot x_i$.

Pentru capătul încastrat ($\xi = 0$), punând condițiile

$$\xi = 0 \begin{cases} y = 0 \\ y' = 0 \end{cases}$$

și aplicând proprietățile funcțiilor $Y_i(\xi)$, rezultă $A = B = 0$.

Adoptând spre exemplu un număr impar n de nervuri circulare, la mijlocul grinzii se va afla nervura cu indicele $m = \frac{n+1}{2}$, așa cum este ilustrat în figura 3.21.

Funcțiile Krâlov sunt exprimate prin relațiile:

$$\begin{aligned} Y_1(\xi) &= ch \xi \cdot \cos \xi \\ Y_2(\xi) &= 0,5 \cdot (ch \xi \cdot \sin \xi + sh \xi \cdot \cos \xi) \\ Y_3(\xi) &= 0,5 \cdot sh \xi \cdot \sin \xi \\ Y_4(\xi) &= 0,25 \cdot (ch \xi \cdot \sin \xi - sh \xi \cdot \cos \xi) \end{aligned} \quad (3.56)$$

Proprietățile funcțiilor Krâlov care rezultă pentru $x = 0$ ($\xi = 0$) sunt:

$$\begin{aligned} Y_1'(0) &= 1 \\ Y_2'(0) = Y_3'(0) = Y_4'(0) &= 0 \end{aligned} \quad (3.57)$$

Între derivatele funcțiilor Krâlov se stabilesc următoarele legături:

$$\begin{aligned} Y_1'(\xi) &= -4\beta Y_4(\xi) \\ Y_2'(\xi) &= \beta Y_1(\xi) \\ Y_3'(\xi) &= \beta Y_2(\xi) \\ Y_4'(\xi) &= \beta Y_3(\xi) \end{aligned} \quad (3.58)$$

Pentru cazul arătat, ecuațiile fibrei neutre au expresiile:

$$\begin{aligned} y_1 &= CY_3(\xi) + DY_4(\xi) + \frac{p}{K}[1 - Y_1(\xi)], \text{ pentru } 0 \leq \xi \leq \alpha_1 \\ y_2 &= CY_3(\xi) + DY_4(\xi) + \frac{p}{K}[1 - Y_1(\xi)] + \frac{4\beta Q_1}{K}Y_4(\xi - \alpha_1), \text{ pentru } \alpha_1 \leq \xi \leq \alpha_2 \\ &\dots\dots\dots \\ y_m &= CY_3(\xi) + DY_4(\xi) + \frac{p}{K}[1 - Y_1(\xi)] - \\ &\quad - \frac{4\beta}{K} \cdot [(Q_1 Y_4(\xi - \alpha_1) + Q_2 Y_4(\xi - \alpha_2) + \dots + Q_{m-1} Y_4(\xi - \alpha_{m-1}))] \end{aligned} \quad \text{pentru } \alpha_{m-1} \leq \xi \leq \alpha_m$$

Aici intervin $m+2$ necunoscute: $C, D, Q_1, Q_2, \dots, Q_m$; este deci necesar un sistem de $m+2$ ecuații de condiții. Acestea sunt:

$$\left\{ \begin{array}{l} \text{pentru } \xi = \alpha_m \left\{ \begin{array}{l} y'(\alpha_m) = 0 \\ D_c y_m'''(\alpha_m) = -\frac{Q_m}{2} \end{array} \right. \\ \Delta_1 = \frac{Q_1}{K_{i1}} \\ \dots\dots\dots \\ \Delta_m = \frac{Q_m}{K_{im}} \end{array} \right. \quad (m+2) \quad (3.59)$$

în care Δ_i reprezintă deformațiile radiale ale inelelor dacă ar fi solicitate de forțele Q_i ; K_i este rigiditatea inelelor, dată de

$$K_i = \frac{A_i E}{r_i^2} \quad (3.60)$$

unde $A_i = b_i h_i$ (suprafața secțiunii transversale a inelului), r_i – raza medie a inelului, E – modulul de elasticitate pentru materialul inelului.

Aplicând condițiile (3.59) se găsește sistemul de $m+2$ ecuații:

$$\begin{aligned} & cY_2(\alpha_m) + dY_3(\alpha_m) + \frac{4p}{K} Y_4(\alpha_m) - \frac{4\beta}{K} [Q_1 Y_3(\alpha_m - \alpha_1) + Q_2 Y_3(\alpha_m - \alpha_2) + \dots + Q_{m-1} Y_3(\alpha_m - \alpha_{m-1})] = 0 \\ & -4cY_4(\alpha_m) + dY_1(\alpha_m) + \frac{4p}{K} Y_2(\alpha_m) - \frac{4\beta}{K} [Q_1 Y_1(\alpha_m - \alpha_1) + Q_2 Y_1(\alpha_m - \alpha_2) + \dots + Q_{m-1} Y_1(\alpha_m - \alpha_{m-1}) + \frac{Q_m}{2}] = 0 \\ & cY_3(\alpha_1) + dY_4(\alpha_1) + \frac{p}{K} [1 - Y_1(\alpha_1)] - \frac{Q_1}{K_{i1}} = 0 \\ & cY_3(\alpha_2) + dY_4(\alpha_2) + \frac{p}{K} [1 - Y_1(\alpha_2)] - \frac{4b}{K} Q_1 Y_4(\alpha_2 - \alpha_1) - \frac{Q_1}{K_{i2}} = 0 \\ & \dots\dots\dots \\ & cY_3(\alpha_m) + dY_4(\alpha_m) + \frac{p}{K} [1 - Y_1(\alpha_m)] - \frac{4\beta}{K} [Q_1 Y_4(\alpha_m - \alpha_1) + Q_2 Y_4(\alpha_m - \alpha_2) + \dots + Q_{m-1} Y_4(\alpha_m - \alpha_{m-1})] - \frac{Q_m}{K_{im}} = 0 \end{aligned} \quad (3.61)$$

Cu ajutorul sistemului (3.61) care conține $m+2$ ecuații liniare cu termen liber, se obțin valorile mărimilor C, D, Q_1, \dots, Q_m ; celelalte mărimi ($K, \beta, K_i, \alpha_1, \dots, \alpha_m$) se determină din datele inițiale ($r, h, l, E, r_i, b_i, h_i, x_i, p$).

Cu valorile stabilite pentru $C, D, Q_1 \dots, Q_m$, folosind relația (3.59), se calculează deformațiile radiale ale învelișului cilindric; se vor lua pentru

ξ valorile corespunzătoare zonelor mijlocii dintre nervurile circulare alăturate.

Este necesar ca deformația radială maximă găsită prin calcul să nu depășească valoarea admisibilă adoptată.

3.3.3. Calculul de rezistență al învelișului cilindric așezat pe sol

Învelișurile cilindrice de la carde trebuie verificate și sub aspectul rezistenței pentru situația când ar fi așezate libere pe sol, precum și în cazul când ar fi transportate prin rostogolire. În aceste condiții apar eforturi unitare deloc neglijabile.

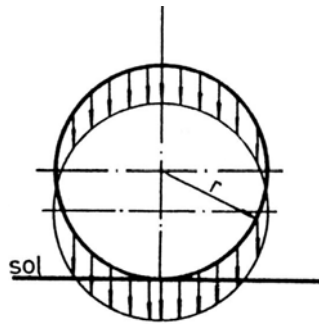


Fig. 3.22

Încărcarea provine de la greutatea proprie a învelișului uniform repartizată de-a lungul cilindrilor - figura 3.22.

Se consideră învelișul secționat cu un plan vertical diametral - figura 3.23. În centrul de masă al jumătății de înveliș se exercită forța de greutate $G/2$ la distanța $2r/\pi$ față de axa O a cilindrilor. În secțiunile longitudinale A și B apar reacțiunile orizontale H_A și

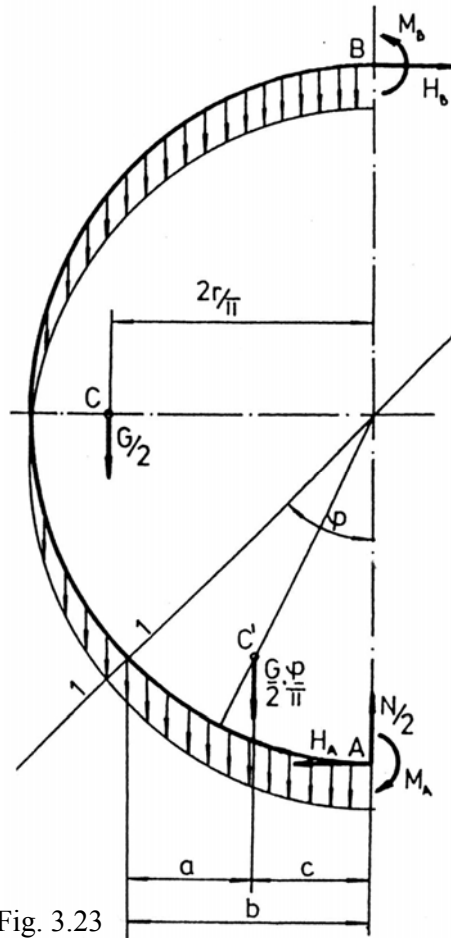


Fig. 3.23

H_B cât și momentele încovoietoare de reacțiune M_A și M_B . Încărcările necunoscute sunt H_A , H_B , N (reacțiunea solului), M_B și M_A . Pentru determinarea acestora sunt necesare 5 ecuații de legătură; problema fiind static nedeterminată, se apelează atât la ecuații de echilibru static, cât și la teorema lui Castigliano, privind lucrul mecanic de deplasare.

$$\begin{aligned}
 H_B - H_A &= 0 \\
 G/2 - N/2 &= 0 \\
 H_B 2r - \frac{Gr}{\pi} + M_B - M_A &= 0 \\
 Y_A = -\frac{\partial W_d}{\partial H_A} &= \frac{1}{EI} \int_0^\pi M \frac{\partial M}{\partial H_A} r d\varphi = 0 \\
 \theta_A = -\frac{\partial W_d}{\partial M_A} &= \frac{1}{EI} \int_0^\pi M \frac{\partial M}{\partial M_A} r d\varphi = 0
 \end{aligned} \tag{3.62}$$

în care W_d reprezintă lucrul mecanic de deplasare a secțiunii A , Y_A și θ_A – deplasările secțiunii A pe direcțiile liniară și unghiulară.

Într-o secțiune longitudinală oarecare a învelișului realizată cu planul radial 1–1 acționează momentul încovoietor.

$$M = -\frac{N}{2}b + H_A r(1 - \cos\phi) + \frac{G}{2} \frac{\varphi}{\pi} a + M_A \tag{3.63}$$

în care:

$$b = r \cdot \sin\varphi \tag{3.64}$$

$$c = l_{oc} \sin\varphi/2 = \frac{r \sin^2\varphi/2}{\varphi/2} \tag{3.65}$$

$$a = b - c \tag{3.66}$$

Înlocuind aceste mărimi cu relația (3.63) se obține momentul încovoietor:

$$M = \frac{Gr}{4\pi} [2 + \cos\varphi + 2(\varphi - \pi)\sin\varphi] \tag{3.67}$$

Momentul încovoietor maxim se manifestă pentru $\varphi = 0$.

$$M_{\max} = 3 \cdot \frac{G \cdot r}{4 \cdot \pi} \tag{3.68}$$

Cu acest moment se calculează efortul încovoietor maxim σ_{\max} în secțiunea A.

În cazul în care tamburul va fi rostogolit pe sol, din cauza neregularităților terenului, apar șocuri care vor conduce la majorări apreciable ale efortului unitar $\sigma_{i\max}$;

$$\sigma_{i\max.soc} = \Psi \sigma_{i\max} \leq \sigma_{ai} \quad (3.69)$$

în care coeficientul de șoc Ψ se determină cu relația:

$$\Psi = 1 + \sqrt{1 + \frac{2e}{f_{st}}} \quad (3.70)$$

unde: e – înălțimea de cădere

f_{st} - deformația statică

Pentru învelișurile cilindrilor cu diametre mari, la care valorile $\sigma_{i\max.soc}$ pot depăși limitele admisibile, se recomandă evitarea așezării și rostogolirii pe sol.

3.4. Mecanisme pentru detașarea vălului

3.4.1. Generalități

Din punct de vedere tehnologic se impune ca desprinderea vălului de pe cilindrul perietor al cardei să se realizeze cu tensiune constantă pentru menținerea uniformității acestuia.

Soluțiile de bază pentru mecanismele de detașare a vălului se pot grupa astfel:

-cu acțiune continuă

- cu cilindri (Crosrol - Anglia) - figura 3.24a).
- pneumatice (Rieter - Elveția) - figura 3.24 b)
- cu curelușe (Ingolstadt - Germania) - figura 3.24 c)

-cu acțiune intermitentă

- cu palete (brevet japonez) - figura 3.24 e)
- pieptene oscilant detașor - figura 3.24 d)

Soluția cu cilindri (Crosrol) este cea mai modernă, folosită pentru cardele destinate prelucrării fibrelor tip bumbac, cu producții care depășesc 20kg/h; în astfel de condiții vălul este mai rezistent și poate fi preluat cu cilindri. Pentru evitarea aderării fibrelor pe cilindri se recomandă eliminarea cauzelor care conduc la încărcări electrostatice; printre altele, trebuie ca diferența între cei doi cilindri să nu depășească 2 μm , pentru ca vitezele periferice să fie practic identice. De asemenea, trebuie realizată o distribuție uniformă a forțelor de presare pe cilindri,

condiție obținută fie prin adaptarea unei forme ușor bombate pentru aceștia, fie printr-o poziționare ușor încrucișată a axelor de rotație, caz în care cilindrii vin în contact după o elice pas cu pas. Controlul apăsării între cilindri se realizează cu ajutorul petei de contact.

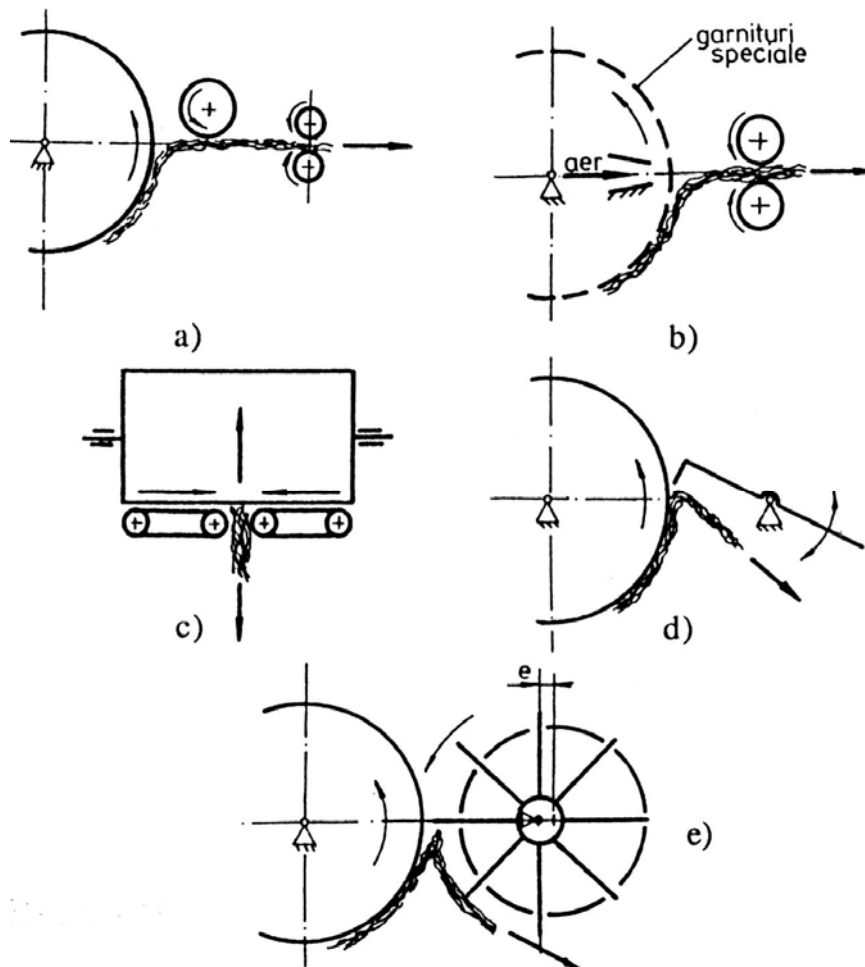


Fig. 3.24

Mecanismul cu acționare pneumatică este prevăzut cu o pâlnie de dirijare a curenților de aer, situată în interiorul cilindrilor perietor, care este perforat în vederea desprinderii valului, preluat apoi de o pereche de cilindri; la acest sistem se crează o oarecare dezordine a fibrelor

paralelizate, care pentru anumite tipuri de fibre este avantajoasă.

Sistemul de preluare cu curelușe, introdus în ultimii ani, adună valul de fibre de pe cilindrul perieior într-un mănunchi care se transformă în bandă.

Mecanismele cu palete realizează o desprindere a fibrelor, care se apropie de cea cu acțiune continuă, întrucât la o rotație completă a dispozitivului are loc o detașare ciclică cu frecvență ridicată dependentă de numărul de palete și turația mecanismului. Soluția nu s-a impus datorită dificultăților de ordin mecanic (construcție, ungere, fiabilitate).

În cazul mecanismului cu pieptene oscilant, frecvența de detașare a fibrelor este mică, dar soluțiile constructive sunt simple, oferind fiabilitate satisfăcătoare, motiv pentru care în paragraful următor sunt prezentate principalele date de proiectare.

Sistemele cu acțiune continuă satisfac în mare măsură cerințele menționate la început, cu privire la tensionarea vălului.

3.4.2. Pieptenele oscilant detașor

Obținerea unui val uniform în procesul de desprindere al acestuia de pe cilindrul perietor nu se poate realiza complet cu pieptenele oscilant, deoarece desprinderea vălului are loc numai pe o anumită porțiune din cursa de coborâre a pânzei detașoare. Variațiile tensiunii din vâl se pot micșora în cazul în care:

- se lucrează cu curse mici și frecvență mare de oscilație;

- se micșorează durata pentru cursa de mers în gol, mărindu-se viteza pieptenului pe acest parcurs.

Odată cu creșterea frecvenței de pieptănare se măresc și forțele de inerție; apar solicitări mai intense ale organelor componente, vibrații cu amplitudini mari, încălziri, consum mărit de energie etc.

Este necesar deci, ca din punct de vedere mecanic, să fie îndeplinite unele condiții de bază:

- rezistență suficientă la solicitările variabile ale tuturor organelor componente, pentru cazul funcționării cu frecvență maximă de oscilație prevăzută, în vederea evitării ruperilor prin oboseală;

- rigiditate satisfăcătoare, îndeosebi pentru pânza detașoare; în timpul exploatării, deformațiile de încovoiere maxime ale acesteia trebuie să prezinte valori mai mici decât cele minime, prevăzute la ecartamentul dintre pieptene și cilindrul perietor;

- vibrații reduse, atât cele ale elementelor componente, cât și cele ale ansamblului; pe de altă parte este necesar să se realizeze o echilibrare

statică și dinamică corespunzătoare pentru ansamblul pieselor aflate în mișcare și să se evite apariția fenomenelor de rezonanță;

- durabilitate în exploatare, îndeosebi pentru articulații.

Pentru acționarea pieptenului detașor, se pot utiliza două soluții:

- mecanism cu culisă oscilantă - figura 3.25 a);

- mecanism patruleter cu manivelă rotitoare - figura 3.25 b).

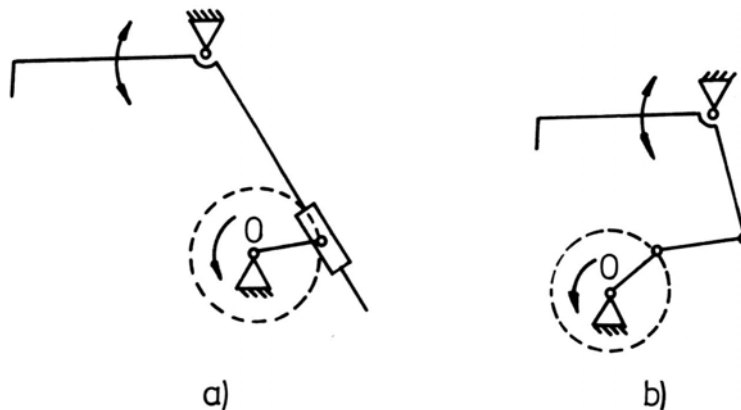


Fig 3.25

În cazul mecanismului cu culisă oscilantă se pot realiza durate scurte pentru cursa de mers în gol; prezintă însă dezavantaje, datorită frecărilor de alunecare dintre culisă și piatra de culisă.

La mecanismul patruleter, toate articulațiile sunt cu lagăre de rostogolire, ceea ce a condus la impunerea în practică a acestei soluții.

3.4.2.1. Determinarea frecvenței minime de oscilație

Din cursa maximă descrisă de gura pânzei detașoare $S_{max} = I_{E_0 E_2}$ se folosește doar o parte $1_{E_1 E_2} = K \cdot S_{max}$ pentru desprinderea vălului ($K = 0,6 \dots 0,7$). Pe durata unui ciclu, corespunzător unghiului de rotație al manivelei $\alpha = 2\pi$, se desprinde o lungime de vâl:

$$S = K \cdot S_{max} + v_t \cdot t_{1,2} \quad (3.71)$$

în care: v_t este viteza periferică a cilindrului perietor,

$t_{1,2}$ - durata deplasării pânzei din poziție E_1 în poziția E_2 .

Notând turația manivelei cu n_p , atunci perioada corespunzătoare unui ciclu este:

$$T = n_p/60 \quad (3.72)$$

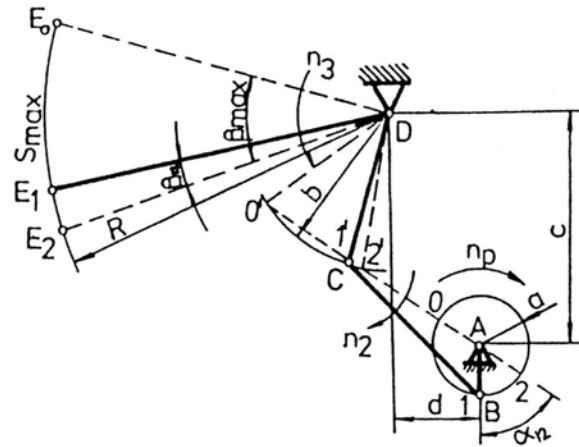


Fig. 3.26

Durata $t_{1,2}$ corespunde rotirii manivelei cu unghiul $\alpha_{1,2}$ stabilindu-se între aceste mărimi relația:

$$t_{1,2} = \alpha_{1,2}/2\pi \quad (3.73)$$

Lungimea de val detașată S poate fi exprimată și sub forma:

$$S = v_t T \quad (3.74)$$

Rezultă că frecvența minimă de oscilație va fi:

$$n_{pmin} = \frac{60v_t(1 - \alpha_{1,2} \pm 2\pi)}{KS_{max}} \quad (3.75)$$

Sub valoarea n_{pmin} calculată pentru fiecare situație practică, nu este posibilă desprinderea corectă a valului de pe cilindrul perietor.

Se recomandă realizarea unei valori cât mai ridicate pentru frecvența de oscilație în vederea reducerii neuniformităților valului introduse de pieptenele oscilant.

Cursa maximă a pânzei se adoptă cu următoarele valori:

$$S_{max} = 22 \dots 34 \text{ mm} - \text{pentru fibre tip bumbac}$$

$$S_{max} = 44 \dots 50 \text{ mm} - \text{pentru fibre tip lână și bast.}$$

3.4.2.2. Elemente de calcul cinematic

Legile de mișcare cu privire la spațiu, viteze și accelerații, oferă posibilitatea aprecierii funcționării și determinării sarcinilor dinamice care acționează asupra organelor componente ale pieptenului oscilant.

Se admite ipoteza că, manivela rotitoare are viteza unghiulară constantă, întrucât roata de curea de pe arborele motor joacă și rol de volant.

Studiul cinematic poate fi abordat atât pe cale analitică, cât și pe cale grafo-analitică, așa cum este dezvoltat în teoria mecanismelor, obținându-se curbele de spațiu, viteză și accelerație pentru pieptenele oscilant - figura 3.27.

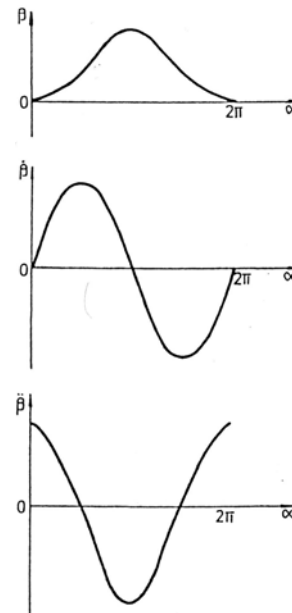


Fig. 3.27

3.4.2.3 Calcule de rezistență

Schița mecanismului pieptenului oscilant detașor este prezentată în figura 3.28.

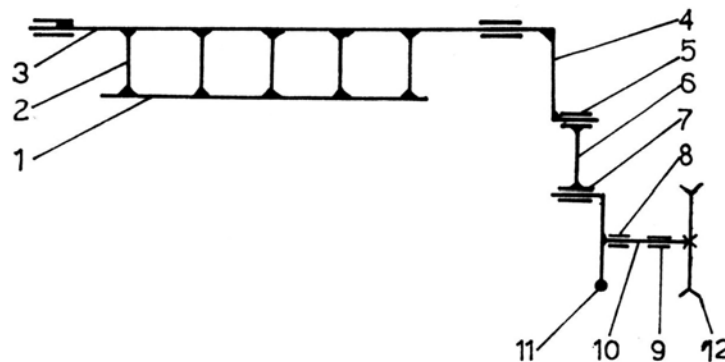


Fig. 3.28

Organele componente de bază sunt: 1- pânza detașoare; 2 - brațe; 3 - arbore oscilant; 4 - balansier; 5. 7, 8 și 9 - rulmenți; 6 - bielă; 10 -arbore de comandă; 11 - masă de echilibrare; 12 - roată de curca.

Calculul organelor componente se efectuează pe baza forțelor de inerție și a momentelor acestora. Se neglijează forțele tehnologice (de desprindere a vâlului) și cele de greutate; se vor prezenta calcule pentru pânză, brațe și arbore oscilant.

a) Pânză detașoare

Porțiunea dintre două brațe alăturate reprezintă o grindă încastrată la ambele capete - figura 3.29, solicitată la încovoiere în două plane perpendiculare de forțele de inerție tangențială F_{ip}^t și normală F_{ip}^n , provenite de la masa pânzei, uniform distribuită pe lungimea l .

Încastrarea apare datorită soluției de fixare a pânzei de capelele brațelor (nituire sau prindere cu șuruburi).

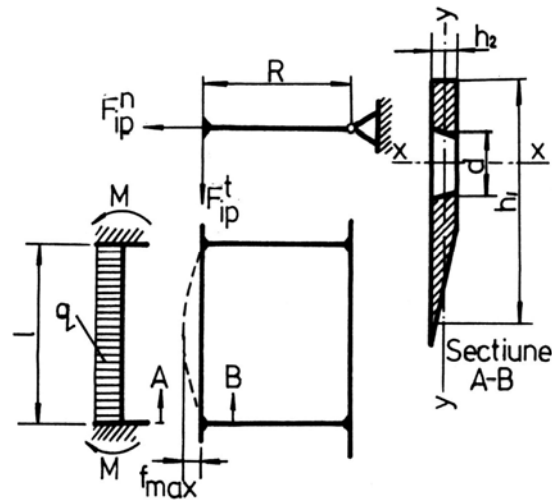


Fig 3.29

Sarcinile q_n și q_t sunt uniform repartizate și se determină cu relațiile:

$$q_n = \frac{F_{ip}^n}{l} = \frac{m_p \dot{\beta}^2 R}{l} \quad (3.76)$$

$$q_t = \frac{F_{ip}^t}{l} = \frac{m_p \dot{\beta}^2 R}{l} \quad (3.77)$$

în care $\dot{\beta}$ și $\ddot{\beta}$ reprezintă viteza și accelerația unghiulară a pieptenului corespunzătoare diagramelor cinematice.

Sub acțiunea acestor încărcări în secțiunile încastrate apar eforturi unitare de încovoiere σ_{in} și σ_{it} :

$$\sigma_{in} = \pm \frac{q_n l_2}{12W_y} \quad (3.78)$$

$$\sigma_{it} = \pm \frac{q_t l^2}{12W_x} \quad (3.79)$$

în care W_f și W , sunt modulele de rezistență ale secțiunii încastrate:

$$W_y = \frac{(h-d_1)h^2}{6} \quad (3.80)$$

$$W_x = \frac{(h_1^3 - d^3)h}{6h_1} \quad (3.81)$$

În secțiunea încastrată apare efortul unitar rezultat - figura 3.30:

$$\sigma_{rez} = \sigma_{i_n} + \sigma_{i_t} \quad (3.82)$$

Întrucât solicitarea este variabilă, verificarea rezistenței pânzei se efectuează cu ajutorul metodei coeficientului de siguranță, pentru care se folosesc valorile $\sigma_{rez_{max}}$ și $\sigma_{rez_{min}}$ obținute din diagramă.

Pânza pieptenului este deformată elastic sub acțiunea forțelor de inerție F_{ip}^t și F_{ip}^n . Prezintă importanță deformațiile provenite de la forța radială F_{ip}^n ; este necesar ca săgeata maximă f_{max} să fie mai mică decât ecartamentul minim E_{min} dintre gura pânzei și garnitura cilindrului perietor, $f_{max} \leq f_a = (0,4 \dots 0,5) \cdot E_{min}$.

Săgeata maximă pentru grinzi încastrate la capete este:

$$f_{max} = \frac{F_{ip}^n \cdot l^3}{384 \cdot E \cdot I_y} = \frac{m_p \cdot \dot{\beta}^2 \cdot R \cdot l^3}{384 \cdot E \cdot I_y} \quad (3.83)$$

în care I_y este momentul de inerție al secțiunii pânzei față de axa y-y - figura 3.29.

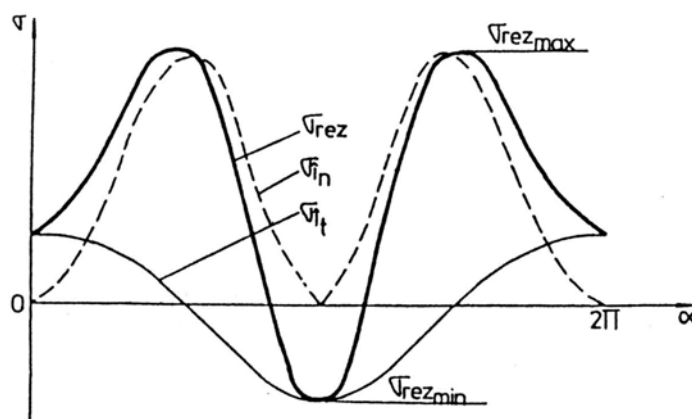


Fig. 3.30

b) Brațe

Brațul care susține pânza pieptenului este încastrat în arborele oscilant - fig. 3.31) și este solicitat la încovoiere de forțele F'_{ip} și F'_{ib} provenite de la masele m_p (masa pânzei ce revine unui braț) și m_b (masa brațului); se neglijează forța de inerție normală F''_{iph} provenita de la masele brațului și pânzei, întrucât efectul acesteia este redus.

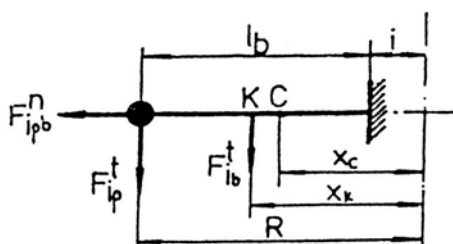


Fig. 3.31

Forța F'_{ib} se aplică în punctual de concentrare al forțelor de inerție, situat la distanța x_k față de axa de oscilație a pieptenului:

$$x_k = \frac{J_b}{m_b \cdot x_c} \quad (3.84)$$

în care J_b , este momentul de inerție al brațului față de axa de oscilație, iar x_c este distanța de la centrul de masă al brațului la axa de oscilație.

Efortul unitar la încovoiere cel mai periculos apare în secțiunea încastrată a brațului în arborele oscilant cu diametrul d :

$$\sigma_1 = \pm \frac{F_{ib}^t \cdot l_b + F_{ip}^t \cdot (x_k - i)}{\frac{\pi \cdot d^3}{32}} \quad (3.85)$$

Întrucât solicitarea este variabilă, cu ajutorul valorilor σ_{\max} și σ_{\min} ca și în cazul pânzei, se efectuează calculul la oboseală, stabilindu-se coeficientul efectiv de siguranță.

c) Arborele oscilant

Arborele oscilant al pieptenului este supus numai la solicitare de răsucire, după un ciclu alternant, sub acțiunea momentului aplicat M_t . Nu apar solicitări la încovoiere, deoarece grupul arbore-brațe-pânză este echilibrat, prin amplasarea axei de oscilație la o distanță corespunzătoare față de axa geometrică a arborelui.

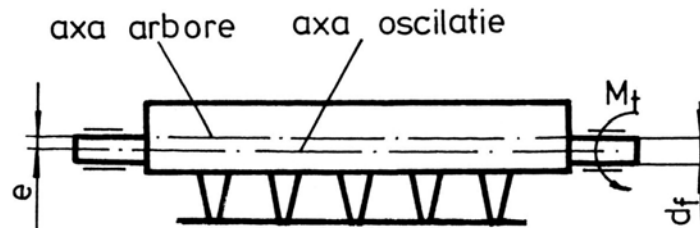


Fig. 3.32

Solicitarea periculoasă apare în secțiunea de încastrare a fusului în corpul arborelui, pe partea mecanismului de acționare, sub acțiunea forțelor de inerție:

$$M_t = \beta \cdot (J_1 + n \cdot J_b + J_3) \quad (3.86)$$

în care J_1 , J_b și J_3 sunt momentele de inerție ale pânzei, brațului și arborelui față de axa de rotație a arborelui, iar n reprezintă numărul de brațe.

3.4.2.4. Calculul la vibrații

În timpul funcționării pieptenului oscilant, pânza, brațele și arborele oscilant sunt supuse unor vibrații forțate. Pentru evitarea fenomenelor de rezonanță, este necesar ca vibrațiile proprii ale elementelor componente să aibă pulsații diferite de cele de regim ($\omega_0 \neq \omega_{regim}$). Se evită astfel reacțiuni intense în lagăre, uzură prematură a articulațiilor, consumuri mari de energie sau chiar distrugerea pieselor.

Este necesar ca frecvențele proprii (critice) de vibrație, de ordinul I, să prezinte valori superioare frecvențelor de regim, cu cel puțin 40%; funcționarea are loc astfel la turații mai mici decât cele corespunzătoare primei zone de rezonanță, evitându-se vibrațiile cu amplitudini mari, atât în regimul normal de exploatare, cât și în fazele de oprire ale mașinii.

a) Brațe

Se consideră brațul ca o grindă cu masă continuă concentrată care provine de la pânza pieptenului repartizată unui braț – figura 3.33.

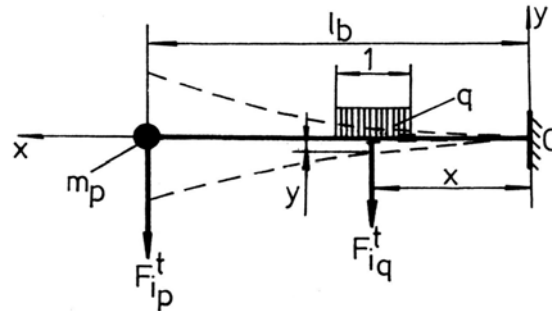


Fig. 3.33

S-au notat în figură:

- m_p - masa pânzei care revine unui braț,

- q_t - masa medie distribuită pe lungimea brațului: $q = \frac{m_b}{l_b}$

- F_{iq}^t - forța de inerție ce revine unității de lungime a brațului.

Ecuția diferențială a oscilațiilor libere de încovoiere pentru grinda considerată este de forma:

$$E \cdot I \cdot \frac{\partial^4 y}{\partial x^4} + q \cdot \frac{\partial^2 y}{\partial t^2} = 0 \quad (3.87)$$

în care: $E \cdot I$ este rigiditatea medie a brațului, iar $y=f(x,t)$.

Primul termen al relației (3.87) reprezintă forța elastică distribuită pe unitatea de lungime a grinzii, iar al doilea - forța de inerție tangențială a masei q . Soluția acestei ecuații poate fi exprimată astfel:

$$y = v \cdot \sin(\omega_0 \cdot t + \varphi) \quad (3.88)$$

în care v este funcție numai de abscisa x și reprezintă amplitudinea oscilației, iar ω_0 este pulsația oscilațiilor libere.

Introducând relația (3.87) în (3.88) se obține:

$$E \cdot I \cdot \frac{d^4 v}{dx^4} - \omega_0^4 \cdot q \cdot v = 0 \quad (3.89)$$

Notând cu

$$\beta^4 = \frac{\omega_0^2 \cdot q}{E \cdot I} \quad (3.90)$$

ecuația diferențială capătă forma:

$$\frac{d^4 v}{dx^4} - \beta^4 \cdot v = 0 \quad (3.91)$$

sau

$$\frac{d^4 v}{d(\beta x^4)} - v = 0 \quad (3.92)$$

Soluția generală a acestei ultime relații este:

$$v = A_1 \cdot S(\beta x) + A_2 \cdot T(\beta x) + A_3 \cdot U(\beta x) + A_4 \cdot V(\beta x) \quad (3.93)$$

în care A_1, A_2, A_3 și A_4 sunt constantele de integrare, iar $S(\beta x)$, $T(\beta x)$, $U(\beta x)$ și $V(\beta x)$ sunt combinațiile cunoscute de funcții circulare și hiperbolice propuse de A.N. Krâlov:

$$\begin{aligned} S(\beta x) &= 0,5(\operatorname{ch} \beta x + \cos \beta x) \\ T(\beta x) &= 0,5 \{ \operatorname{sh} \beta x + \sin \beta x \} \\ U(\beta x) &= 0,5 (\operatorname{ch} \beta x - \cos \beta x) \\ V(\beta x) &= 0,5 (\operatorname{sh} \beta x - \sin \beta x) \end{aligned} \quad (3.94)$$

Aceste funcții au următoarele proprietăți:
 pentru $\beta x = 0$ rezultă: $S(0)=1$, $T(0)=U(0)=V(0)=0$, iar derivatele se prezintă sub forma:

$f(\beta x)$	$f'(\beta x)$	$f''(\beta x)$	$f'''(\beta x)$
$S(\beta x)$	$\beta V(\beta x)$	$\beta U^2(\beta x)$	$\beta^2 T(\beta x)$
$T(\beta x)$	$\beta S(\beta x)$	$\beta^2 V(\beta x)$	$\beta^3 U(\beta x)$
$U(\beta x)$	$\beta T(\beta x)$	$\beta^2 S(\beta x)$	$\beta^3 V(\beta x)$
$V(\beta x)$	$\beta U(\beta x)$	$\beta^2 T(\beta x)$	$\beta^3 S(\beta x)$

Condițiile la limită pentru capătul încastrat sunt:

$$x=0 \begin{cases} v = 0 \\ v' = 0 \end{cases}$$

Rezultă:

$A_1 = A_2 = 0$, iar ecuația (3.93) devine:

$$v = A_3 U(\beta x) + A_4 V(\beta x) \quad (3.95)$$

Pentru capătul liber ($x=l_b$) momentul încovoietor este egal cu zero, situație în care

$$\frac{\partial^2 y}{\partial x^2} = 0 = v''$$

Totodată, în aceeași secțiune acționează forța tăietoare

$$E \cdot I \cdot \frac{\partial^3 y}{\partial x^3}$$

care, pe de altă parte este egală cu forța de inerție $F_{ip}^t = m_p \frac{\partial^2 y}{\partial t^2}$

Rezultă:

$$v''' = \frac{m_p \cdot \omega_o^2 \cdot v}{E \cdot I} \quad (3.96)$$

Din relațiile (3.90) și $q = m_b \cdot l \cdot l_b$ se obține:

$$\omega_0 = \frac{\beta^2 \cdot E \cdot I \cdot I_b}{m_b} \quad (3.97)$$

Astfel v''' devine:

$$v''' = -\frac{m_p}{m_b} \cdot v \cdot \beta^4 \cdot l_p \quad (3.98)$$

În consecință, condițiile la limită pentru capătul liber sunt:

$$X = l_b \left\{ \begin{array}{l} v''' = 0 \\ v''' = -\frac{m_p}{m_b} \cdot v \cdot \beta^4 \cdot l_p \end{array} \right\}$$

Aplicând aceste ultime două condiții se obține sistemul:

$$\begin{aligned} A_3 \cdot S(\beta l_b) + A_4 \cdot T(\beta l_b) &= 0 \quad (3.99) \\ A_3 \cdot \left[V(\beta l_b) + \frac{m_p}{m_b} \cdot \beta \cdot l_b \cdot U(\beta l_b) \right] + A_4 \cdot \left[S(\beta l_b) + \frac{m_p}{m_b} \cdot \beta \cdot l_b \cdot V(\beta l_b) \right] &= 0 \end{aligned}$$

Acest sistem omogen în raport cu A_3 și A_4 are soluție diferită de zero:

$$\Delta = \begin{vmatrix} S(\beta l_b) & T(\beta l_b) \\ V(\beta l_b) + \frac{m_p}{m_b} \cdot \beta \cdot l_b \cdot U(\beta l_b) & S(\beta l_b) + \frac{m_p}{m_b} \cdot \beta \cdot l_b \cdot V(\beta l_b) \end{vmatrix} = 0$$

Determinantul Δ astfel obținut structurează ecuația pulsațiilor, întrucât produsul (βl_b) conține pulsația proprie ω_0 .

Din această ecuație se poate ajunge la forma:

$$\beta \cdot l_b = \frac{m_b}{m_p} = \frac{S^2(\beta l_b) - T(\beta l_b) \cdot V(\beta l_b)}{T(\beta l_b) \cdot U(\beta l_b) - S(\beta l_b) \cdot V(\beta l_b)} \quad (3.100)$$

Pentru aplicații se folosește un grafic, ca în figura 3.34.

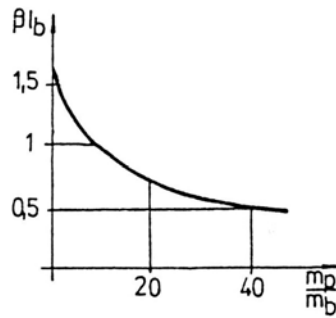


Fig. 3.34

Din relația (3.90) rezultă:

$$\omega_0 = \beta^2 \sqrt{\frac{E \cdot I}{q}} \quad (3.101)$$

Prin înmulțire cu l_b^2/l_b^2 se obține pulsația proprie de oscilație a brațului:

$$\omega_0 = (\beta \cdot l_b)^2 \sqrt{\frac{E \cdot I}{q \cdot l_b^4}} \quad (3.102)$$

b) Ansamblul arbor-brațe-pânza – figura 3.35

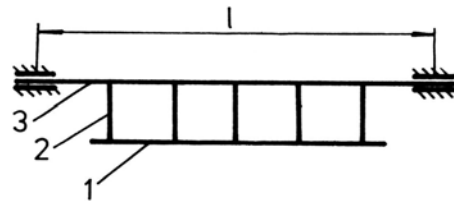


Fig. 3.35

Pentru calculul pulsației ω_0 a oscilațiilor proprii ale ansamblului, se consideră că acesta formează o grindă cu masă proprie distribuită q și se apelează la relația cunoscută:

$$\omega_0 = \lambda \sqrt{\frac{E \cdot I_x}{q \cdot I^4}} \quad (3.103)$$

în care λ capătă valori în funcție de gradul de încastrare în reazeme - fig. 3.36.

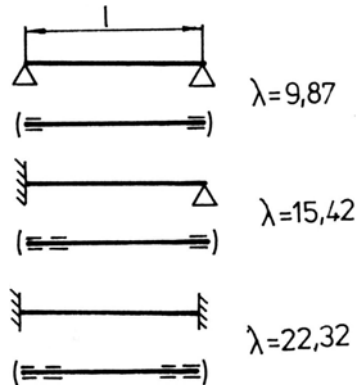


Fig. 3.36

În cazul în care ω_0 este prea aproape de ω_{regim} se va acționa asupra mărimilor din ecuația (3.103) astfel:

- I_x se mărește folosind un arbore tubular;
- q se micșorează folosind, de asemenea arbore tubular;
- I se micșorează prin introducerea unui lagăr intermediar.

c) Pânza

Pentru stabilirea pulsației proprii ω_0 a pânzei se adoptă ipotezele:

- grindă încastrată la capete,
- masă uniformă distribuită.

În aceste condiții se aplică relația (3.103) cu $\lambda = 22,37$.

Ținând cont că pe durata unui ciclu pânza este supusă unor oscilații forțate cu $2\omega_{regim}$ (datorită modului în care acționează forța centrifugă)

rezultă $\omega_0 \geq 2,8\omega_{regim}$

3.4.2.5. Echilibrarea mecanismului pieptenului oscilant detașor

Pentru ca în funcționare să se evite vibrațiile cu amplitudini și accelerații mari este necesară echilibrarea mecanismului - figura 3.37.

În principiu se echilibrează static, separat, ansamblul 3' (arbore oscilant + brațe + pânză) și ansamblul format din elementele 1, 2, 3 și 4 (mecanismul patrulater articulat plan propriu -zis).

Echilibrarea primului ansamblu se realizează în mod curent prin

amplasarea excentrică a axei de oscilație față de axa geometrică a arborelui, ca în figura 3.32.

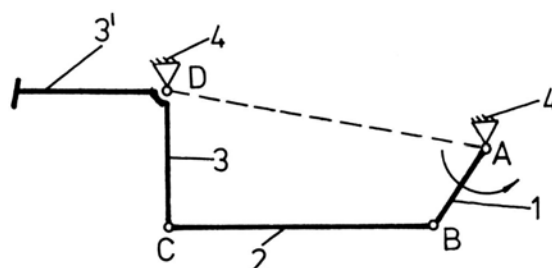


Fig. 3.37

Mecanismul patrulater 1, 2, 3 și 4 poate fi echilibrat, apelând la două variante:

- varianta I - centrul de masă al elementelor componente mobile 1, 2 și 3 să fie situate într-un punct fix care se află pe linia AD a batiului; această soluție se recomandă, întrucât necesită mase mari de echilibrare;

- varianta II - se consideră că punctul C al mecanismului descrie o dreaptă, funcționarea asemănându-se cu cea a unui mecanism manivelă - piston, acesta din urmă fiind supus echilibrării, după metodele cunoscute. Rezultatele obținute prin aplicarea acestei variante conduc la mase mai mici decât în primul caz, nerealizându-se totuși o eliminare a vibrațiilor (soluție acceptată practic pentru astfel de mecanisme de acționare).

3.4.2.6. Descărcarea mecanismului cu ajutorul unei bare de răsucire

Micșorarea forțelor care solicită rulmenții se realizează, așa cum se arată în figura 3.38 cu ajutorul unei bare de răsucire; capătul A al barei este legat de arborele oscilant, capătul B fiind la batiu.

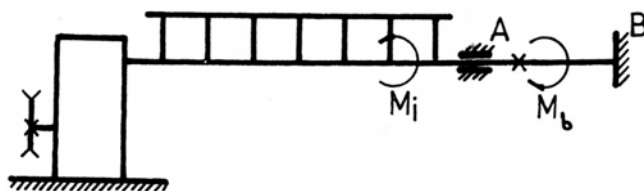


Fig. 3.38

Atunci când pieptenele funcționează, bara acționează cu un moment de răsucire M_b de sens contrar momentului forțelor de inerție M_i provenit de la organele aflate în mișcare oscilantă, obținându-se momentul rezultat:

$$M_r = M_i - M_b \quad (3.104)$$

în care $M_i = M_t$ (M_t - din relația (3.86) și figura 3.32.

Momentul rezistent M_b , furnizat de bara de răsucire este dat de expresia:

$$M_b = \frac{G \cdot I \cdot \beta_b}{l_b} \quad (3.105)$$

În această relație G reprezintă modulul de elasticitate transversal, $I_p = \pi d^4 / 32$ și reprezintă momentul de inerție polar al secțiunii; d - diametrul barei, β_b - unghiul de răsucire al barei, măsurat față de poziția în care bara este complet descărcată ($M_b = 0$), în radiani; l_b - lungimea activă a barei.

Bara de răsucire este capabilă să descarce mecanismul pieptenului oscilant, așa cum se prezintă în figura 3.39, în care apar curbele de variație a momentului forțelor de inerție M_i momentul rezistent M_b și momentul rezultat M_r .

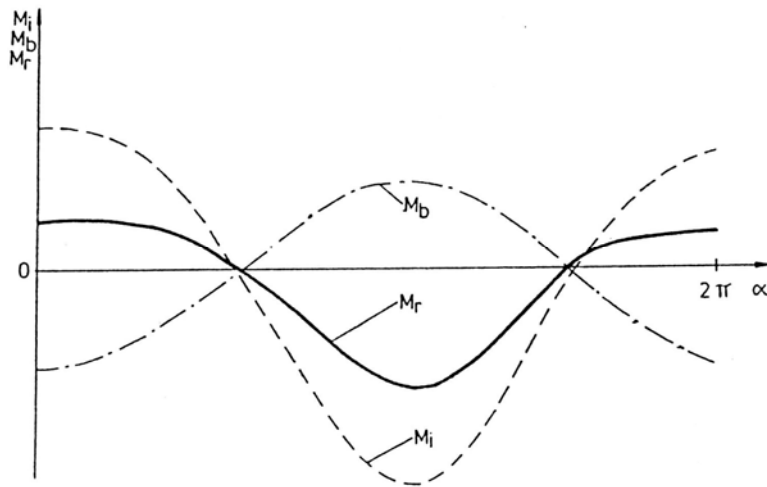


Fig. 3.39

Capitolul 4

MAȘINI DE PIEPTĂNAT

Mașinile de pieptănat se utilizează în procesele tehnologice de obținere a unor fibre cu caracteristici fizico-mecanice superioare (finețe, uniformitate, rezistență).

Prin operațiile de pieptănare se îndepărtează din semifabricate fibrele scurte și cele încălcite, corpurile străine care se mai află încă în masa fibroasă; în plus este realizată și o paralelizare mai avansată a fibrelor în cadrul înșiruirii rezultate.

Din punct de vedere constructiv se întâlnesc diferite tipuri de mașini de pieptănat în funcție de caracteristicile fibrelor prelucrate.

Chiar dacă pentru prelucrarea aceleiași fel de fibră există deosebiri privind soluțiile și elementele constructive ale mecanismelor

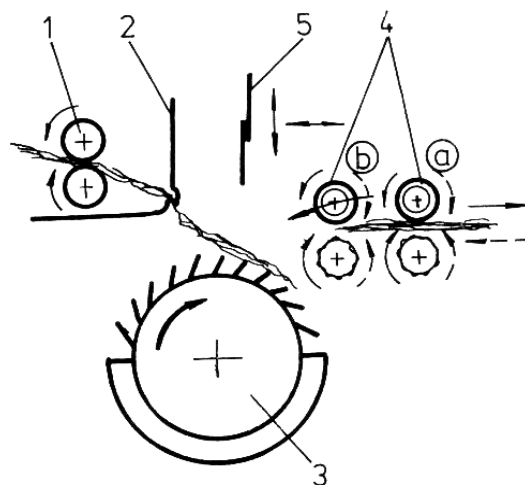


Fig. 4.1

componente; mașinile de pieptănat pot fi grupate în:

- mașini cu debitare intermitentă;

- mașini tip Heilmann (cu distanță constantă între clești și pieptenele circular) pentru fibre tip lână și fibre lungi tip bumbac;

- tip Nasmith (cu distanță variabilă între clești și pieptenele circular) pentru fibre tip bumbac – figura 4.1;

- mașini verticale pentru fuior;

- mașini cu debitare continuă cu piepteni circulari pentru lână.

4.1. Piepteni circulari și rectilinii

Calitatea pieptănării și producția mașinilor de pieptănat depind în mare măsură de:

- finețea și așezarea acelor (desime, înălțime, înclinare),
- creșterea intensității de pieptănare pe parcursul unui ciclu,
- evitarea ruperilor, a antrenării fibrelor lungi către deșeuri și a smulgerii mănunchiurilor din clești.

4.1.1. Ace pentru piepteni

Se utilizează două tipuri de ace (fig.4.2):

- cu secțiune circulară,
- plate.

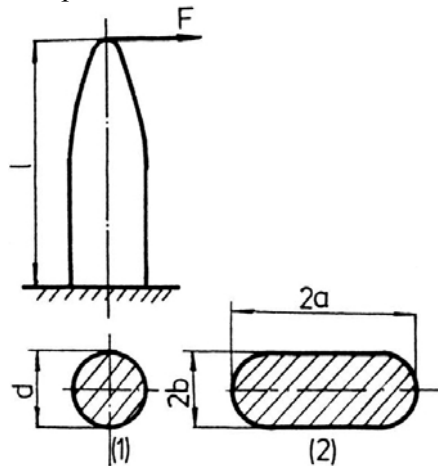


Fig. 4.2

Între aceste tipuri de ace sunt deosebiri atât din punct de vedere al rezistenței, cât și din punct de vedere tehnologic.

Pentru același număr de finețe al acelor, mai rezistente sunt cele plate.

$$\sigma_i^{(1)} = \frac{F \cdot l}{0,1 \cdot d^3};$$

$$\sigma_i^{(2)} = \frac{4 \cdot F \cdot l}{a^2 \cdot b}.$$

De exemplu, pentru ace cu finețea nr.27 ($d=0,4$ mm, $2a=0,85$ mm, $2b=0,4$ mm) rezultă:

$$\frac{\sigma_i^{(1)}}{\sigma_i^{(2)}} = 0,58$$

În ceea ce privește efectul tehnologic, la acele plate se realizează un control mai bun asupra mănunchiului de fibre dintre două ace alăturate, ceea ce face să crească eficiența pieptănării – figura 4.3. În plus, la acele plate, distanța dintre ace este aproape aceeași, atât la bază cât și la vârful lor, oferind o eficiență sporită de pieptănare.

Dintre condițiile tehnice pe care trebuie să le îndeplinească acele, se menționează:

- duritatea 54...60 HRC,

- rugozitatea $R_a \leq \dots \mu m$,
- toleranța la înălțime $\Delta l = 0,2 \text{ mm}$,
- toleranța la grosime $\Delta d = 0,02 \text{ mm}$.

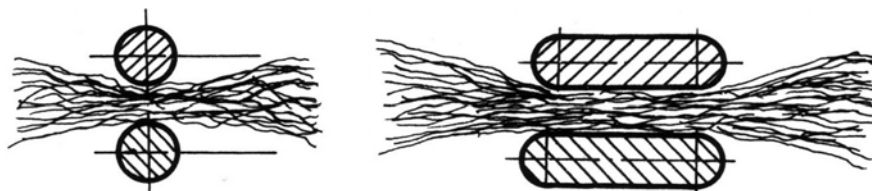


Fig. 4.3

Calitatea acelor se controlează și prin deformațiile la încovoiere; astfel încât pentru ace rotunde la o îndoire cu 15° nu trebuie să apară deformații remanente, iar în cazul acelor plate la încovoiere de 60° să nu apară ruperi de peste 5%.

4.1.2. Piepteni circulari

Pe corpul pieptenului (1) – figura 4.4, sunt montate barețele cu ace prin intermediul suportului (3); unghiul de repartizare γ al acelor pe suprafața cilindrică a pieptenului are valori cuprinse între 90° (soluții constructive mai vechi) și 160° (la mașini moderne, de exemplu cele ale firmei Schlumberger/Franța).

Odată cu creșterea lui γ se obține eficiență mărită pentru pieptănare.

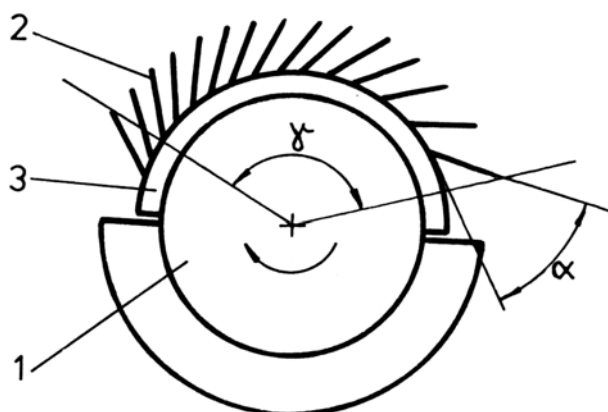


Fig. 4.4

La primele barete se montează ace mai groase, cu lungimi active δ mai mari (de ex. 5-7 mm) și cu desime mai mică; pe măsură ce se ajunge la ultima baretă, δ și grosimea scad ($\delta=2-3$ mm), iar desimea acelor crește. Suma ($\delta + h$) este aceeași pentru toate baretele – figura 4.5.

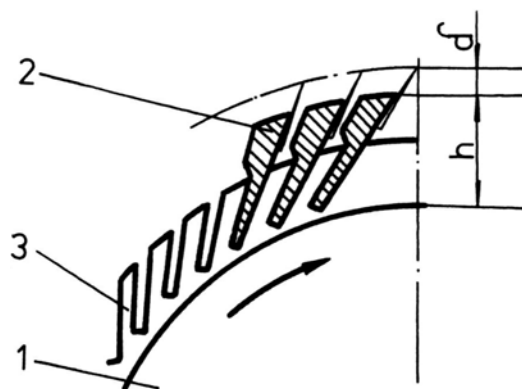


Fig. 4.5

Unghiul de înclinare α al acelor de pe barete față de tangenta la pieptene influențează intensitatea la pieptănare; este întâlnit cu valori de $35^\circ \dots 50^\circ$. Cu cât α este mai mare, forța de pătrundere în mănunchiul de fibre este mai scăzută, iar calitatea pieptănării înrăutățită; se adoptă în mod curent $\alpha = 40^\circ \dots 45^\circ$.

Tabel 4.1

Mașina	Număr barete	Diametrul pieptenului circular (mm)	Turația arborelui principal (rot/min)	Producția Kg/h/cap debtor
Saco-Lowell (model 47)	14	152,4	125	3,5
Rieter (model E7/4)	14	-	240	2.....5
Whitin (model J)	17	127	165	3,75
Century-Platt	17	152,4	200	3,5
Textima (1300/1)	-	-	200	5
Schlumberger	-	-	210	-

Tot în vederea sporirii eficienței pieptănării, la o serie de mașini moderne (de ex. Schlumberger), pieptenii circulari sunt antrenați cu viteză variabilă – crescătoare în faza activă și descrescătoare în cursa de

întoarcere; în acest scop antrenarea arborelui principal este realizată fie cu angrenaj eliptic, fie cu angrenaje cilindrice excentrice.

În tabelul 4.1 sunt prezentate date caracteristice pentru piepteni circulari folosiți la o serie de mașini de pieptănat fibre tip bumbac.

4.2. Mecanismul cleștilor

Mecanismul cleștilor are rolul de a deplasa falca inferioară a acestora (la mașinile cu clești mobili) și de a realiza închiderea și deschiderea fălcilor, în conformitate cu condițiile impuse în procesul tehnologic de pieptănare (mișcarea și poziția gurii cleștilor față de organele de lucru-pieptenii circular și rectiliniu, cilindrii detașori).

Proiectarea mecanismului va urmări ca din punct de vedere cinematic să se realizeze condițiile impuse de diagrama ciclică, iar din punct de vedere dinamic să rezulte forțe cât mai reduse, consum scăzut de energie, mers liniștit. De asemenea soluțiile adoptate trebuie să permită efectuarea regulilor legate de tipurile și caracteristicile fibrelor prelucrate, procentul de pieptănătură care trebuie obținut, uniformitatea produsului livrat.

4.2.1. Schema cinematică pentru mecanismul cleștilor la mașina tip NASMITH

Pentru acționarea cleștilor se utilizează două soluții - figura 4.6.

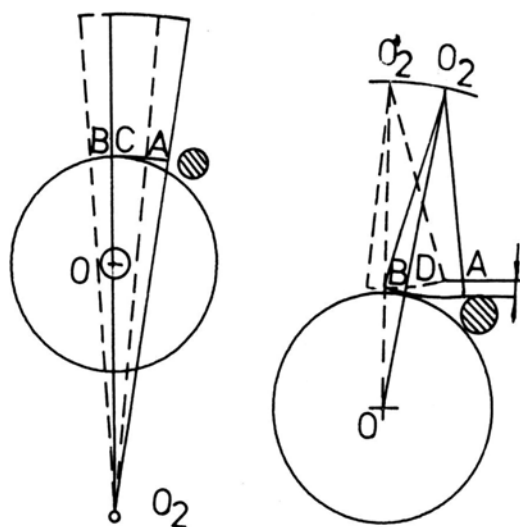
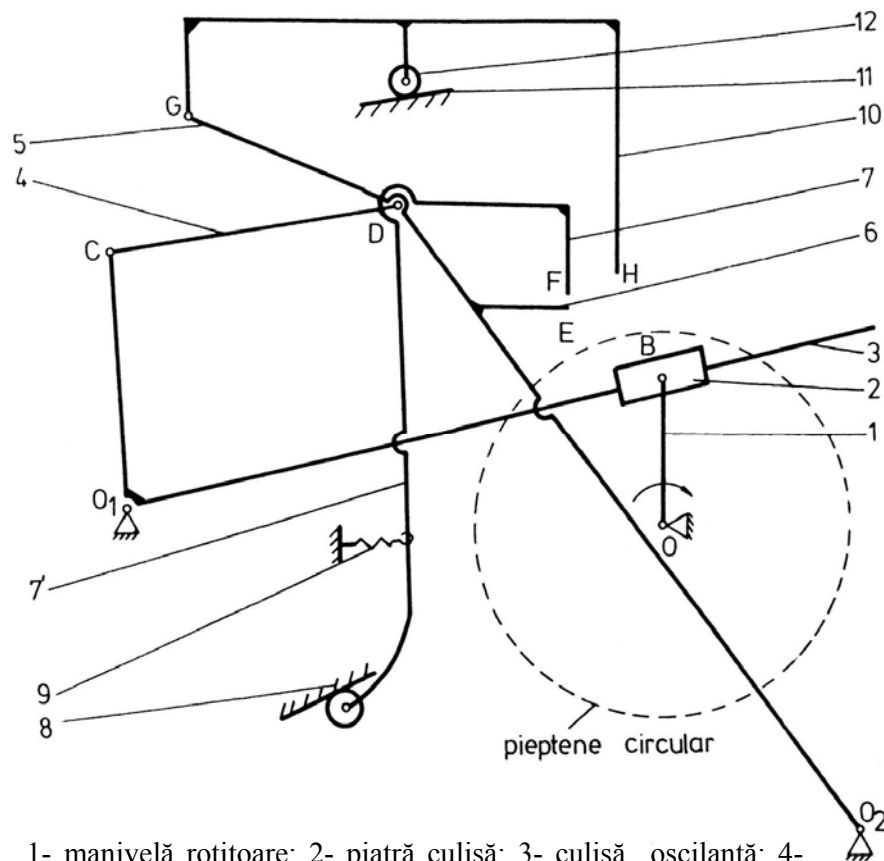


Fig. 4.6

La mașina de pieptănat sistem Nasmith vechi, acele pieptenului circular nu piaptână fibra pe aceeași lungime, din cauza traiectoriilor neconcentrice ale cleștilor și pieptenului circular - figurile 4.6a și 4.7. Centrul de oscilație O_2 este situat sub pieptenele circular și are poziția cea mai apropiată a cleștelui față de cilindru detașor, când se prelucrează bumbac cu fibră scurtă, iar liniile punctuate indică poziția cea mai depărtată, când se piaptână bumbac cu fibră lungă.



1- manivelă rotitoare; 2- piatră culisă; 3- culisă oscilantă; 4- bielă; 5- balansier; 6- falcă inferioară; 7- falcă superioară clește; 8- camă pentru deschiderea cleștelui(fixată la batiu); 9- arc pentru închiderea cleștelui; 10- pieptene rectiliniu; 11- camă pentru mișcarea pieptenului rectiliniu (fixată la batiu); 12- rolă.

Fig. 4.7

La mașina de pieptănat sistem Nasmith nou - figura 4.6b, mișcarea de oscilație a cleștilor se desfășoară în jurul axului dispus deasupra pieptenului circular. Centrul de oscilație se poate deplasa de-a lungul arcului $O_2 O_2'$, cu centrul în centrul O al pieptenului circular. Arcul de pieptănare, față de acele pieptenului circular, rămâne constant la diferite reglaje ale cleștilor.

Pieptenele rectiliniu se mișcă odată cu cleștele, ridicarea și coborârea lui realizându-se cu ajutorul unei role prinsă de brațul pieptenului; rola vine în contact cu o camă fixată la batiu - figura 4.7.

Distanța dintre marginile fâlcii inferioare a cleștelui și linia de prindere a cilindrilor detașori, când cleștele se află în poziția înainte, influențează procentul de pieptănătură. Reglarea acestei distanțe, se face simultan pentru toate capetele debitoare la mașina sistem Nasmith model nou, și nu modifică ecartamentul dintre clești și acele pieptenului rectiliniu, așa cum se întâmplă la mașina model vechi, unde după reglarea distanței dintre clești și cilindri detașori este necesar ca fiecare pieptene rectiliniu să fie reglat din nou.

4.2.2. Elemente de calcul cinematic pentru subansamblul de comandă al cleștilor

Structura acestui subansamblu este realizată pe scheletul unui mecanism manivelă-culisă oscilantă – figura 4.8, care are drept condiție de existență inegalitatea $r \leq a$.

Mișcarea de rotație a manivelei (1) este transformată într-o mișcare de balans a culisei (3) între cele două poziții de extrem $O_1 B_1$ și $O_1 B_{11}$, care corespund pozițiilor extreme ale cleștelui; pentru $O_1 B_1$ cleștele se află în apropierea cilindrilor detașori, iar pentru $O_1 B_{11}$ în poziția limită înapoi.

Considerând viteza unghiulară ω_1 a manivelei constantă, culisa execută cele două curse în timpi diferiți:

- t_a - pentru cursa activă (arcul $B_{II} B_{III} B_I$),

- t_p - pentru cursa pasivă sau de întoarcere (arcul $B_I B_{IV} B_{II}$).

Corespunzător celor două curse, deci și celor doi timpi, manivela se rotește cu unghiul $(360^\circ - 2\alpha_0)$. Pozițiile B_I și B_{II} , respectiv unghiul α_0 se stabilesc după diagrama ciclică alcătuită pe baza cerințelor tehnologice; rezultă astfel și raportul r/a (de ex. la mașina Nasmith-modelul vechi: $\alpha_0 = 72^\circ$, $r = 70,5$ mm și $a = 228$ mm).

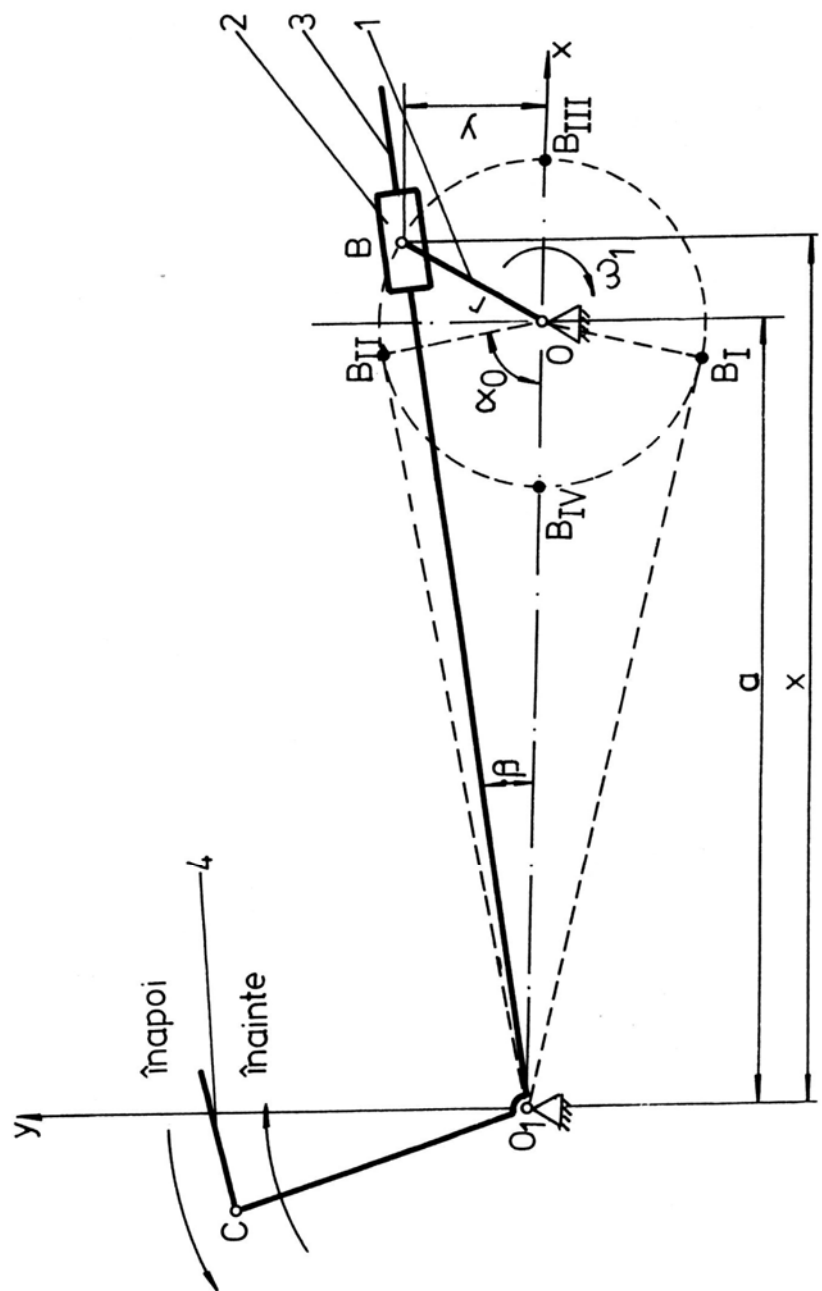


Fig. 4.8

Poziția cleștilor la un moment dat este determinată de cea a culisei, deci de unghiul β , care la rândul său este dependent de unghiul de rotire al manivelei:

$$\beta = \arctg \left[\frac{r \cdot \sin \alpha}{a + r \cdot \cos \alpha} \right] \quad (4.1)$$

Relația (4.1) reprezintă ecuația spațiilor, care prin derivare în raport cu timpul conduce la ecuațiile vitezilor, respectiv a accelerațiilor; ω_1 se consideră constantă.

$$\dot{\beta} = \omega_3 = \omega_1 \cdot \left[\frac{-r \cdot \sin \alpha}{a^2 + r^2 + 2 \cdot a \cdot r \cdot \cos \alpha} \right] \quad (4.2)$$

$$\ddot{\beta} = \varepsilon_3 = \omega_1^2 \cdot r \cdot a \cdot (r^2 - a^2) \cdot \sin \alpha \left[\frac{a \cdot (r^2 - a^2) \cdot \sin \alpha}{a^2 + r^2 + 2a \cdot r \cdot \cos \alpha} \right] \quad (4.3)$$

Cu ajutorul relațiilor (4.1), (4.2) și (4.3) se determină legea de mișcare pentru orice punct solidar legat de culisă, deci și a lui C.

4.2.3. Mecanismul cleștelui și al pieptenului rectiliniu

Când cleștele se deplasează spre cilindri detașori - figurile 4.1 și 4.7, la poziția precizată de diagrama ciclică a mașinii, rola fixată pe brațul fălcii superioare (7) vine în contact cu cama (8), falca superioară depărtându-se de cea inferioară (6); totodată, pieptenele rectiliniu (10) coboară, pătrunde în mănunchiul de fibre și piaptână partea din spate a mănunchiului, utilizând în acest scop cama (11) și rola (12).

În vederea determinării traiectoriilor diferitelor puncte ale mecanismului se recomandă aplicarea metodei intersecțiilor, reprezentări grafice la scări mai mari de 2:1 și un număr de peste 20 de poziții succesive de studiu/ciclu; aceste precizări iau în considerare faptul că traiectoriile diferitelor puncte sunt mult mai mici decât dimensiunile elementelor.

De asemenea este avantajos ca studiul cinematic să pornească de la trasarea hodografelor vitezelor pentru punctele care necesită stabilirea legilor de mișcare; prin integrare grafică se obțin curbele de spațiu, iar prin derivarea grafică, diagramele de accelerații.

Cu ajutorul legilor de mișcare se determină forțele de inerție necesare calculelor organologice.

Încărcările care acționează în cuplele cinematice ale mecanismului analizat se determină prin calcul cinetostatic; în acest scop se aleg acele poziții pentru care forțele de inerție au valori maxime și minime.

Asupra elementelor mecanismului acționează forțele de greutate, forțele de inerție, forțele elastice și forțele tehnologice (acestea din urmă au valori neglijabile).

Trebuie ca în calcul să se ia în considerare faptul că falca superioară este acționată de două pârghii (7'), fiecare fiind acționată de câte un arc (9) - figura 4.7.

Analiza cinetostatică se realizează, spre exemplu, pentru situația în care fâlcile sunt închise (între rolă și cama (8) nu există contact); se urmăresc succesiv subansamblele:

- 11, 12, 10;
- 7, 9, 6;
- 5, 4;
- 3, 2, 1.

a) *Calculul cinetostatic pentru subansamblul pieptene rectiliniu + rolă + camă*

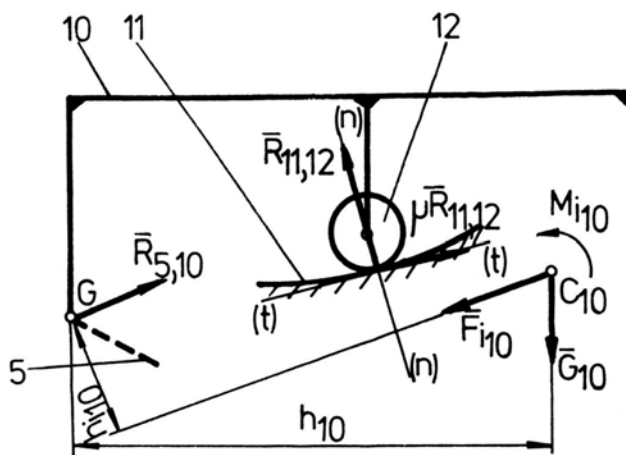


Fig. 4.9

Asupra elementelor componente ale acestui subansamblu - figura 4.9, acționează următoarele forțe și momente:

- forța de greutate a pieptenului rectiliniu \bar{G}_{10} aplicată în centrul de masă respectiv (C_{10});
- forța de inerție \bar{F}_{i10} a pieptenului rectiliniu aplicată în același centru C_{10} ;
- momentul forțelor de inerție aplicat pieptenului rectiliniu M_{i10} ;
- reacțiunea normală $\bar{R}_{11,12} = -\bar{R}_{12,11}$ care apare în zona cuplei superioare (camă-rolă);
- forța de frecare $\mu\bar{R}_{11,12} = -\mu\bar{R}_{12,11}$ a contactului cămă-rolă;
- reacțiunea $\bar{R}_{10,12} = -\bar{R}_{12,10}$ din zona articulației dintre rolă și pieptene;
- reacțiunea $\bar{R}_{5,10} = -\bar{R}_{10,5}$ din cupla G.

Se consideră cunoscute: $\bar{G}_{10}, \bar{F}_{i10}, M_{i10}$.

Se neglijează forțele de inerție și de greutate ale rolei (12) și forțele de frecare din articulațiile rolei.

Prin aplicarea metodei grafo-analitice de studiu cinetostatic se determină reacțiunile $\bar{R}_{10,12}$ și $\bar{R}_{11,12}$.

Ecuția de echilibru a momentelor față de centrul cuplei G este:

$$\left(\sum M_i\right)_{10} = 0 = G_{10}h_{10} + F_{i10}h_{i10} + M_{i10} + R_{11,12}h_{11,12} + \mu R_{11,12}h'_{11,12} \quad (4.4)$$

Pentru determinarea brațelor h_{10} și h_{i10} problema nu reprezintă nici o dificultate; în cazul brațelor $h_{11,12}$ și $h'_{11,12}$ trebuie ca în prealabil să fie figurate direcțiile forțelor $\bar{R}_{11,12}$ (n-n) și $\mu\bar{R}_{11,12}$ (t-t) pentru ca apoi să se determine în raport cu punctul G aceste distanțe.

Rezultă din ecuația (4.4) singura mărime necunoscută: $\bar{R}_{11,12} = \bar{R}_{11,12}$ (sens și modul).

Din ecuația de echilibru a forțelor pe elementul (12) rezultă reacțiunea $\bar{R}_{10,12} = -\bar{R}_{12,10}$.

$$\left(\sum F\right)_{12} = 0 \quad \bar{R}_{11,12} + \mu\bar{R}_{11,12} + \bar{R}_{10,12} = 0 \quad (4.5)$$

Reacțiunea din cupla de rotație $G'\bar{R}_{5,10} = -\bar{R}_{10,5}$ se determină cu ajutorul ecuației de echilibru de forțe pe elementul 10:

$$\left(\sum F\right)_{10} = 0 \quad \bar{R}_{5,10} + \mu\bar{R}_{12,10} + \bar{F}_{1,10} + \bar{G}_{10} = 0 \quad (4.6)$$

Rezolvările ecuațiilor (4.5) și (4.6) apelează la construcțiile corespunzătoare poligoanelor de forțe - figura 4.10.

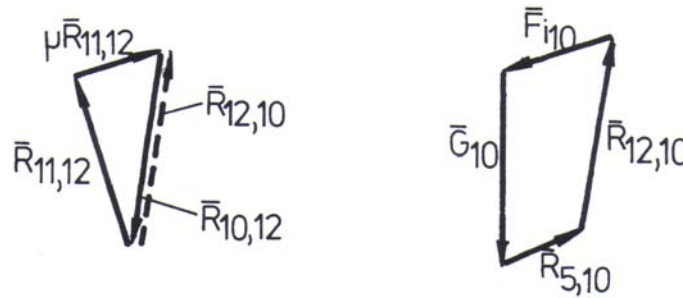


Fig. 4.10

b) *Calculul cinetostatic pentru subansamblul falcă superioară +arc+rolă+camă*

Se adoptă situația când cleștele strânge mănunchiul de fibre, situație în care rola nu vine în contact cu camă (8) - figura 4.11.

În aceste condiții, asupra falcii (7) acționează:

- forța de apăsare tehnologică pentru strângerea mănunchiului F_t ;
- forța elastică a arcului (9), F_e , cu ajutorul căruia se realizează strângerea cleștelui;
- reacțiunea din articulația D, $\bar{R}_{5,7}$;
- forța de greutate G_7 ;
- forța de inerție F_{i7} ;

Se neglijează forțele de greutate și inerție ale rolei.

Forța de apăsare \bar{F}_t are valori suficient de mari astfel încât fibrele din clește să nu fie smulse în timpul pieptănării; această forță are întotdeauna suportul perpendicular pe direcția FD pentru ca strângerea să fie eficientă.

Prin analiza cinetostatică sunt determinate forțele $\bar{R}_{5,7}$ și \bar{F}_e .

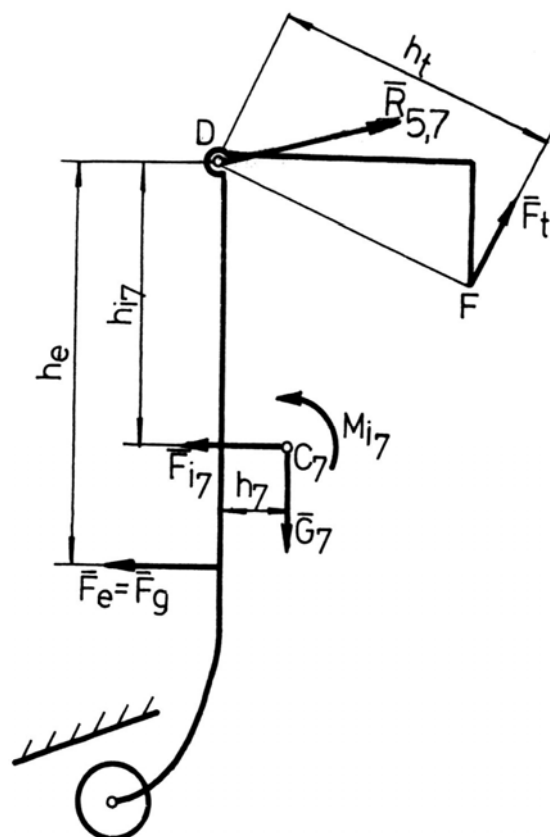


Fig. 4.11

Forța \bar{F}_e se obține din ecuația de echilibru a momentelor în raport cu centrul articulației D:

$$(\sum M_D) = 0 \quad F_t \cdot h_t + G_7 \cdot h_7 + F_{i7} \cdot h_{i7} + M_{i7} + F_e \cdot h_e = 0 \quad (4.7)$$

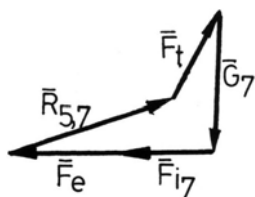


Fig. 4.12

Reacțiunea $\bar{R}_{5,7}$ se determină cu ajutorul poligonului de forțe construit pe baza ecuației de echilibru de forțe pe elementul (7) - figura 4.12:

$$\bar{F}_t + \bar{R}_{5,7} + \bar{G}_7 + \bar{F}_{i7} + \hat{F}_e = 0 \quad (4.8)$$

c) Calculul cinetostatic pentru subansamblul bielă+falcă inferioară – figura 4.13.

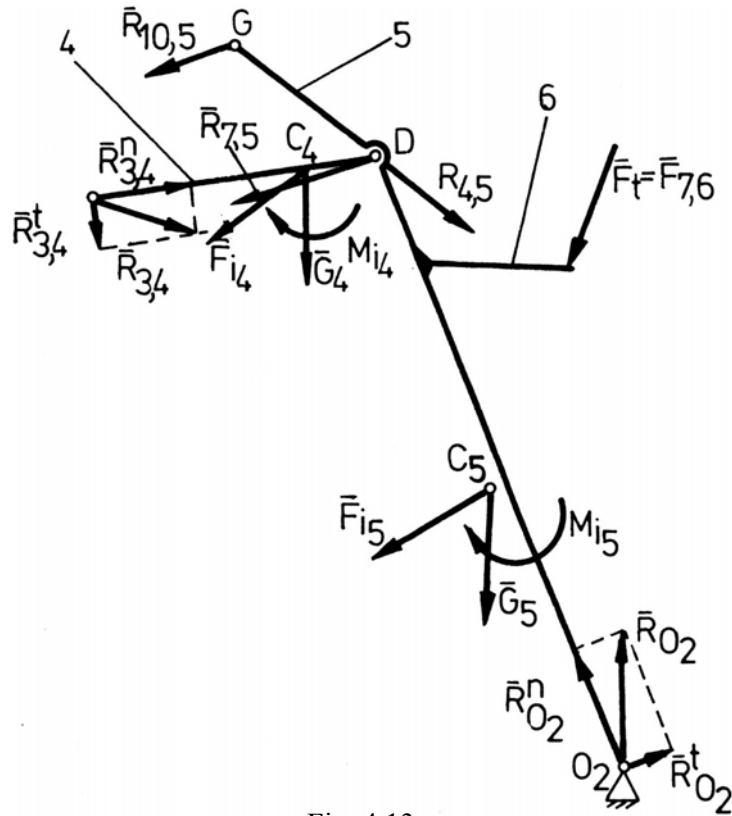


Fig. 4.13

Se cunosc:

- forța tehnologică \bar{F}_t ;
- forțele de greutate și de inerție ale elementelor 4 și 5 - $\bar{G}_4, \bar{G}_5, \bar{F}_{i4}$ și \bar{F}_{i5} ;
- momentele forțelor de inerție M_{i4} și M_{i5} ;
- reacțiunea $\bar{R}_{10,5}$ din cupla G;
- forța $\bar{R}_{7,5}$ din cupla D.

Prin analiză cinetostatică se determină reacțiunile din cuplele C, D și $O_2 - \bar{R}_{3,4}, \bar{R}_{4,5}$ și $\bar{R}_{0,2}$.

Reacțiunile din cuplele C și O_2 se decompun în câte două componente, fiecare având suportți cunoscuți:

$$\bar{R}'_{3,4} \perp CD, \bar{R}''_{3,4} \parallel CD, \bar{R}'_{02} \perp O_2D, \bar{R}''_{02} \parallel O_2D.$$

Componentele $\bar{R}'_{3,4}$ și \bar{R}'_{02} se determină din ecuațiile de echilibru a momentelor, în raport cu centrul articulației D, transpuse pentru elementele 4 și 5, considerând cunoscute brațele lor, în raport cu punctul D - h_5, h_{i5}, h_t, h_{75} .

$$\left(\sum M_D\right)_4 = 0 = R'_{3,4} \cdot l_{CD} + G_4 \cdot h_4 + F_{i4} \cdot h_{i4} + M_{i4} \quad (4.9)$$

$$\left(\sum M_D\right)_5 = 0 = R'_{02} \cdot l_{02D} + G_5 \cdot h_5 + F_{i5} \cdot h_{i5} + M_{i5} + F_t \cdot h_t + R_{7,5} \cdot h_{7,5} + R_{10,5} \cdot h_{10,5} \quad (4.10)$$

Componentele $\bar{R}''_{3,4}$ și \bar{R}''_{02} se calculează cu ajutorul ecuației de echilibru a forțelor pe întreg subansamblul și a poligonului de forțe corespunzător - figura 4.14.

$$\left(\sum F\right)_{4,5} = 0 = \bar{R}''_{02} + \bar{R}'_{02} + G_5 + \bar{F}_{i5} + \bar{F}_t + \bar{R}_{7,5} + \bar{G}_4 + \bar{F}_{i4} + \bar{R}''_{3,4} + \bar{R}'_{3,4} + \bar{R}_{10,5} \quad (4.11)$$

Se determină astfel reacțiunile $\bar{R}_{0,2}$ și $\bar{R}_{3,4}$:

$$\bar{R}_{02} = \bar{R}''_{02} + \bar{R}'_{02}$$

$$\bar{R}_{3,4} = \bar{R}''_{3,4} + \bar{R}'_{3,4}$$

Reacțiunea din cupla D se obține fie din ecuația de echilibru de forțe pe elementul 4 - relația (4.12) și figura 4.15, fie din cea corespunzătoare elementul 5 - relația (4.13).

$$\begin{aligned} \left(\sum F\right)_4 &= 0 \\ \bar{R}_{3,4} + \bar{G}_4 + \bar{F}_{i4} + \bar{R}_{5,4} &= 0 \end{aligned} \quad (4.12)$$

$$\begin{aligned} \left(\sum F\right)_5 &= 0 \\ \bar{R}_{02} + \bar{G}_5 + \bar{F}_{i5} + \bar{F}_t + \bar{R}_{7,5} + \bar{R}_{4,5} + \bar{R}_{10,5} &= 0 \end{aligned} \quad (4.13)$$

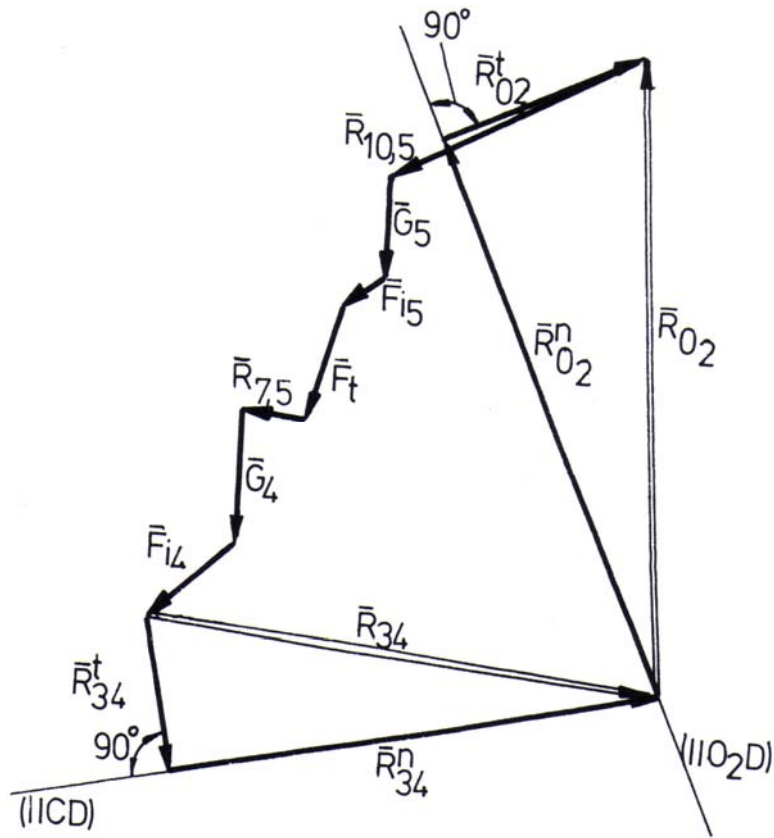


Fig. 4.14

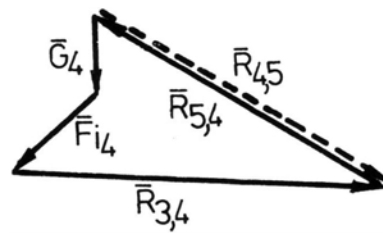


Fig. 4.15

d) *Calculul cinetostatic pentru subansamblul culisă oscilantă+piatră de culisă – figura 4.16*

Acest grup de elemente comandă toate cele n capete de debitare ale mașinii.

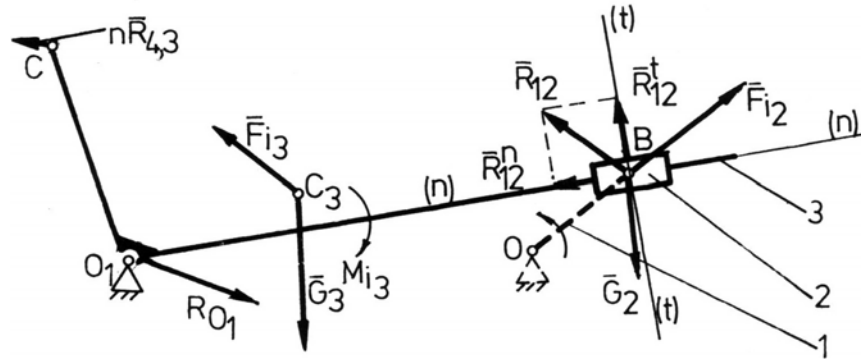


Fig. 4.16

Pentru acest subansamblu se consideră cunoscute:

- forțele de greutate \bar{G}_2 și \bar{G}_3 ;
- forțele și momentele forțelor de inerție \bar{F}_{i2} , \bar{F}_{i3} , M_{i3} ;
- reacțiunea $(n \cdot \bar{R}_{4,3})$.

Se determină pe cale grafo-analitică reacțiunile \bar{R}_{01} , $\bar{R}_{2,3}$ și $\bar{R}_{1,2}$, luându-se în considerare următoarele observații:

- reacțiunea $\bar{R}_{1,2}$ se poate descompune pe două direcții cunoscute - $\bar{R}'_{1,2} \perp O_1B$ și $\bar{R}^n_{1,2} \parallel O_1B$;
- reacțiunea $\bar{R}_{2,3} = -\bar{R}_{3,2}$ are suport perpendicular pe O_1B (ca pentru orice reacțiune din cuplele de translație);
- brațele forțelor în raport cu punctul $O_1 - h_2, h_{i2}, h_3, h_{i3}, h_{43}$.

Din ecuația de echilibru a momentelor pentru întreg subansamblul în raport cu punctul O_1 se obține componenta $\bar{R}'_{1,2}$:

$$\left(\sum M_{01} \right)_{2,3} = 0$$

$$R'_{1,2} \cdot l_{01B} + F_{i2} \cdot h_{i2} + G_2 \cdot h_2 + G_3 \cdot h_3 + F_{i3} \cdot h_{i3} + M_{i3} + (n \cdot R_{3,4}) \cdot h_{43} = 0 \quad (4.14)$$

Apelând la echilibrul forțelor pe elemental 2 - relația (4.15) și la poligonul corespunzător - figura 4.17, se determină componenta $\bar{R}^n_{1,2}$ (respectiv reacțiunea $\bar{R}_{1,2}$) și reacțiunea $\bar{R}_{3,2}$:

$$(\sum F)_2 = 0 \quad \bar{R}_{12}^n + \bar{R}_{12}^t + \bar{R}_{3,2} + \bar{F}_{i2} + \bar{G}_2 = 0 \quad (4.15)$$

Reacțiunea \bar{R}_{01} se obține din ecuația de echilibru a forțelor pe elementul 3 - relația (4.16) și figura 4.18:

$$(\sum F)_3 = 0 \quad \bar{R}_{2,3} + \bar{G}_3 + \bar{F}_{i3} + (n \cdot \bar{R}_{4,3}) + \bar{R}_{01} = 0 \quad (4.16)$$

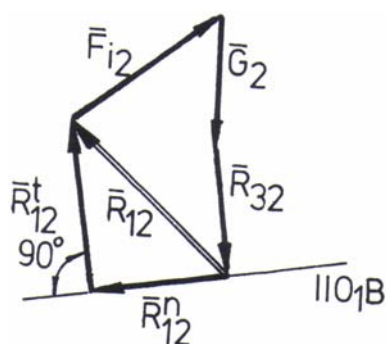


Fig. 4.17

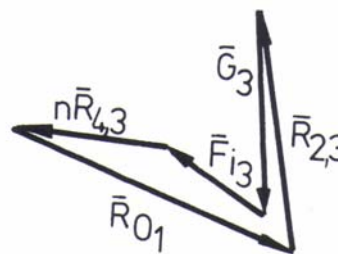


Fig. 4.18

4.3. Mecanismul pentru mișcarea de rotație a cilindrilor detașori

Cilindrii au rolul de a prelua manunchiurile pieptănate și de a realiza suprapunerea și lipirea acestora - figura 4.19. În acest scop ei se rotesc înainte - pentru detașare și înapoi - pentru lipire în cadrul unui ciclu (o rotație completă a pieptănelui circular).

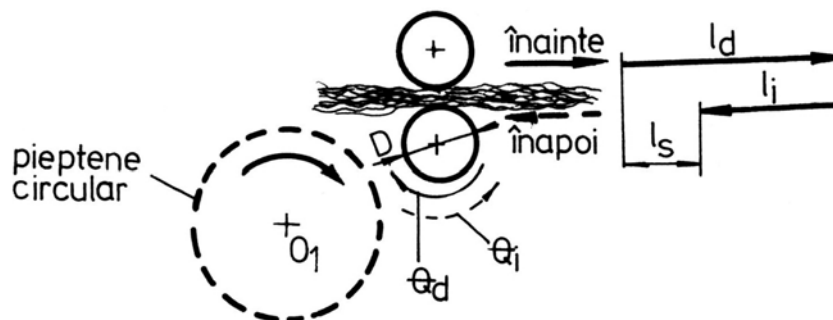


Fig. 4.19

Notând cu l_d - lungimea de vâl antrenată la mers înainte și cu l_i - lungimea de vâl înapoiată pentru lipire, lungimea efectiv debitată la un ciclu este lungimea de suprapunere l_s :

$$l_s = l_d - l_i \quad (4.17)$$

Pentru realizarea acestor mișcări de rotație au fost concepute diferite mecanisme; la mașina Nasmith - modelul vechi, se folosește un sistem complicat cu liviere cu sectoare dințate și cuplaje rigide dințate, care limitează viteza de lucru a mașinilor.

Soluții bune se întâlnesc, de exemplu, la mașina Within – modelul J, care lucrează cu viteze mărite (150 165 rot/min) sau la mașina Century - Platt tip 720 (200 rot/min).

4.3.1. Schema cinematică și principiul de funcționare privind mecanismul sistemului Within

Pe durata unui ciclu se realizează suprapunerea a două mișcări de rotație la cilindri detașori: o mișcare constantă realizată prin roțile dințate z_1, \dots, z_7 - figura 4.20 și o mișcare de rotație suplimentară, care într-o anumită fază a ciclului se adaugă (viteză mărită la cilindrul detașor), iar într-o altă fază se scade (cilindrul detașor se rotește în sens contrar).

Mișcarea de rotație suplimentară se obține cu ajutorul unui mecanism diferențial alcătuit din roțile z_3, z_4, z_5, z_6 la care mișcarea variabilă este introdusă de portsatelitul p acționat de cama plană cu canal C, prin intermediul unui levier oscilant.

Prin rotirea camei cu unghiul φ_1 , levierul oscilant, deci și portsatelitul este rotit cu unghiul α_h ; astfel cilindrul detașor capătă o mișcare rapidă înainte. Prin rotirea camei în continuare cu φ_0 portsatelitul va fi în repaus, cilindrul detașor continuă să se rotească înainte, însă cu viteză redusă. Pe intervalul φ_2 , portsatelitul se rotește în sens contrar, cilindrul detașor căpătând mișcarea înapoi.

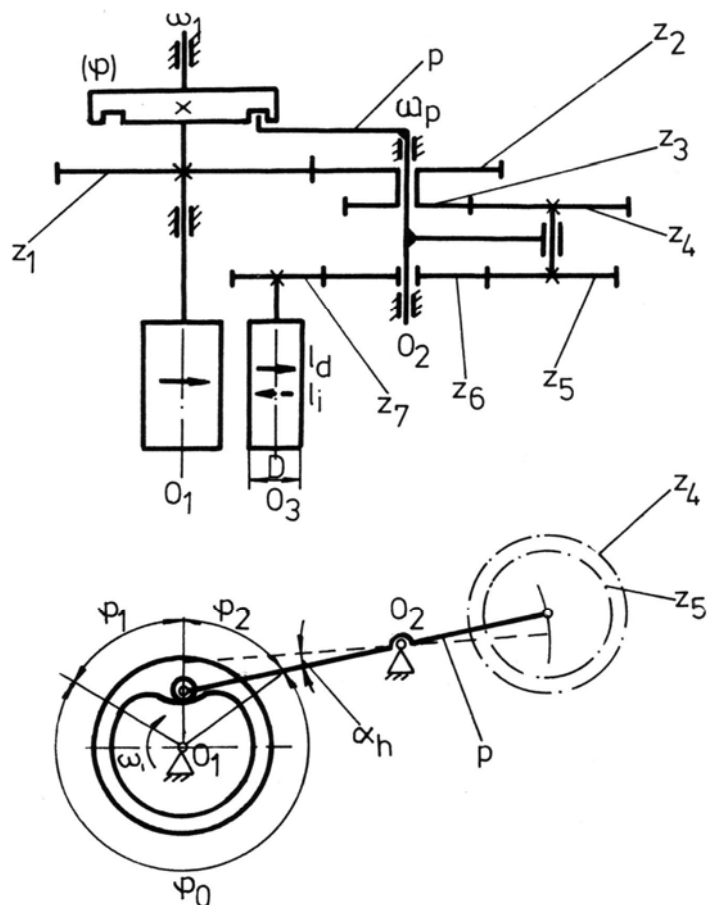


Fig. 4.20

4.3.2. Elemente de calcul cinematic

Pentru un astfel de mecanism (Within – model J) este necesar să stabilească relațiile cinematice de legătură între mecanismul cu roți dințate și cel cu camă, pentru ca tehnologic, să se realizeze lungimea de debitare l_s impusă.

Lungimile l_d și l_i - relația (4.17), pot fi exprimate sub următoarele forme:

$$l_d = \theta_d \cdot D/2 \quad (4.18)$$

$$l_i = \theta_i \cdot D / 2 \quad (4.19)$$

în care:

D este diametrul cilindrului detașor,

θ_d - unghiul de rotire înainte al cilindrului detașor corespunzător rotirii arborelui principal cu unghiul $(\varphi_1 + \varphi_0)$;

θ_i - unghiul de rotire înapoi al cilindrului detașor corespunzător rotirii arborelui φ_2 .

Relațiile de calcul pentru unghiurile θ_d și θ_i se stabilesc pe baza analizei structurii și funcționării mecanismelor cu roți dințate și cu camă.

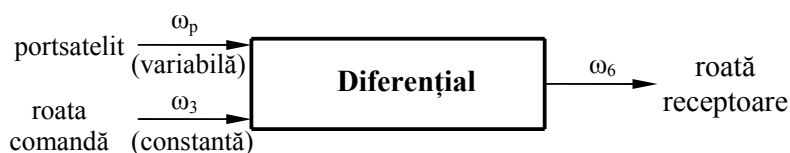


Fig. 4.21

Din figura 4.21 rezultă pentru mecanismul diferențial următoarea expresie pentru relației Willis:

$$i_{3,6}^p = \frac{\omega_3 - \omega_p}{\omega_6 - \omega_p} \quad (4.20)$$

în care: ω_3 - viteza unghiulară de comandă ($\omega_3 = \text{const.}$),

ω_6 - viteza unghiulară receptoare,

ω_p - viteza unghiulară a portsatelitului ($\omega_p \neq \text{const.}$)

Același raport de transmitere $i_{3,4}^p$ poate fi exprimat sub forma :

$$i_{3,6}^p = \frac{z_4 - z_6}{z_3 - z_5} \quad (4.21)$$

Dacă se înlocuiesc în relația (4.20) vitezele unghiulare cu unghiurile de rotație corespunzătoare acestora, măsurate în același interval de timp Δt se obține:

$$\beta_6 = \frac{\beta_3}{i_{3,6}^p} + \alpha \cdot \left(1 - \frac{1}{i_{3,6}^p} \right) \quad (4.22)$$

în care $\beta_6 = \omega_6 \cdot \Delta t$, $\beta_3 = \omega_3 \cdot \Delta t$ și $\alpha = \omega_p \cdot \Delta t$

Din structura schemei cinematice rezultă:

$$\beta_6 = \theta \cdot \frac{z_7}{z_6} \quad (4.23)$$

și

$$\beta_3 = \varphi \cdot \frac{z_1}{z_2} \quad (4.24)$$

φ și θ fiind unghiurile de rotire pentru arborele principal și pentru cilindrul detașor.

Astfel relația (4.22) devine:

$$\theta = \frac{z_6}{z_7} \cdot \left[\varphi \cdot \frac{z_1}{z_2} \cdot \frac{1}{i_{3,6}^p} + \alpha \cdot \left(1 - \frac{1}{i_{3,6}^p} \right) \right] \quad (4.25)$$

Ținând cont că raportul global de transmitere al mecanismului cu roți dințate este:

$$i = \frac{\omega_1}{\omega_7} = i_{3,6}^p \cdot \frac{z_2}{z_1} \cdot \frac{z_7}{z_6} \quad (4.26)$$

rezultă pentru unghiul θ o nouă expresie:

$$\theta = \frac{1}{i} \cdot \varphi + \alpha \cdot \frac{z_6}{z_7} \cdot \left(1 - \frac{1}{i_{3,6}^p} \right) \quad (4.27)$$

La o rotire a camei cu unghiul φ_1 ($\varphi = \varphi_1, \alpha = \alpha_h$), cilindrul detașor se rotește înainte cu unghiul θ_1 :

$$\theta_1 = \frac{1}{i} \cdot \varphi_1 + \alpha_h \cdot \frac{z_6}{z_7} \cdot \left(1 - \frac{1}{i_{3,6}^p} \right) \quad (4.28)$$

Pentru intervalul φ_0 portsatelitul este în repaus ($\alpha = 0$), iar cilindrul se rotește încet înainte cu unghiul θ_0 :

$$\theta_0 = \frac{1}{i} \cdot \varphi_0 \quad (4.29)$$

La o rotire a camei cu unghiul φ_2 , portsatelitul se rotește în sens contrar (unghiul α_h este negativ), iar cilindrul detașor își schimbă sensul de rotație:

$$\theta_2 = \frac{1}{i} \cdot \varphi_2 - \alpha_h \cdot \frac{z_6}{z_7} \left(1 - \frac{1}{i_{3,6}^p} \right) \quad (4.30)$$

Rezultă că detașarea realizată la mișcarea înainte se realizează prin rotirea cilindrului detașor cu unghiul θ_d :

$$\theta_d = \theta_1 + \theta_0 = \frac{1}{i} + (\varphi_0 + \varphi_1) + \frac{z_6}{z_7} \cdot \alpha_h \cdot \left(1 - \frac{1}{i_{3,6}^p} \right) \quad (4.31)$$

Reducerea mănunchiului pentru suprapunere se realizează prin rotirea înapoi a cilindrului detașor cu unghiul θ_i :

$$\theta_i = \theta_2 = \frac{1}{i} \cdot \varphi_2 - \frac{z_6}{z_7} \cdot \alpha_h \cdot \left(1 - \frac{1}{i_{3,6}^p} \right) \quad (4.32)$$

Cu valorile obținute pentru θ_d și θ_i se calculează lungimile l_d, l_i și în final lungimile de suprapunere l_s - relațiile (4.17), (4.18) și (4.19).

Practic, pentru proiectare, se stabilesc numerele de dinți ale roților z_1, \dots, z_7 în funcție de lungimile l_d și l_i care trebuie să satisfacă cerințele tehnologice (lungimea de suprapunere l_s).

4.3.3. Aspecte cu privire la cinematica mecanismului de comandă a diferențialului (camă-levier oscilant)

Funcționarea acestui mecanism este caracterizată prin trei faze de mișcare a tachelului reprezentat prin levierul oscilant al portsatelitului p - figura 4.20:

- faza de ridicare (unghiul de fază φ_1),
- faza de staționare superioară (unghiul de fază φ_0),
- faza de coborâre (unghiul de fază φ_2).

Valorile acestor unghiuri se stabilesc după diagrama ciclică a mașinii, pentru a fi îndeplinite cerințele tehnologice.

Deplasarea levierului oscilant trebuie să se realizeze după legi de mișcare, care să ofere o funcționare fără șocuri, în special la viteze mari de rotație ale camei.

Sunt contraindicate legile de mișcare cu accelerații constante egale cu zero, întrucât crează șocuri dure.

Patrametri geometrici de bază ai mecanismului sunt:

- unghiul de oscilație al levierului (α_h) care se stabilește astfel încât împreună cu celelalte date cinematice ale mecanismului de antrenare a cilindrului detașor inferior, să se realizeze lungimea de suprapunere $l_s = l_d - l_i$

- raza minimă a camei - r_{\min} , care se determină în funcție atât de valoarea admisibilă a unghiului de presiune, cât și de respectarea condiției $2r_0 \geq (1,5 \dots 2)d$ (d - diametrul arborelui pe care se montează butucul camei);

- raza maximă a camei - r_{\max} , se stabilește în funcție de raza minimă și de lungimea $l_{O_1O_2}$ pentru a se obține unghiul α_h .

Profilul camei se stabilește cu ajutorul legilor de mișcare adoptate pentru cursele de ridicare și coborâre și a parametrilor geometrici de bază.

Pentru a se evita desprinderea levierului de pe camă, rola acestuia va fi ghidată într-o camă plană cu canal.

Se recomandă:

a) *Mișcarea cu accelerație trapezoidală modificată* – figura 4.22, care conține zone cu accelerație sinusoidală; se obține o valoare mai scăzută pentru accelerația maximă, ceea ce îmbunătățește comportamentul dinamic:

$$\ddot{\alpha}_{\max} = 4,9 \cdot \frac{h}{\varphi_1^2} \quad (\text{pentru } \varphi_1' = \frac{\varphi_1}{8}) \quad (4.33)$$

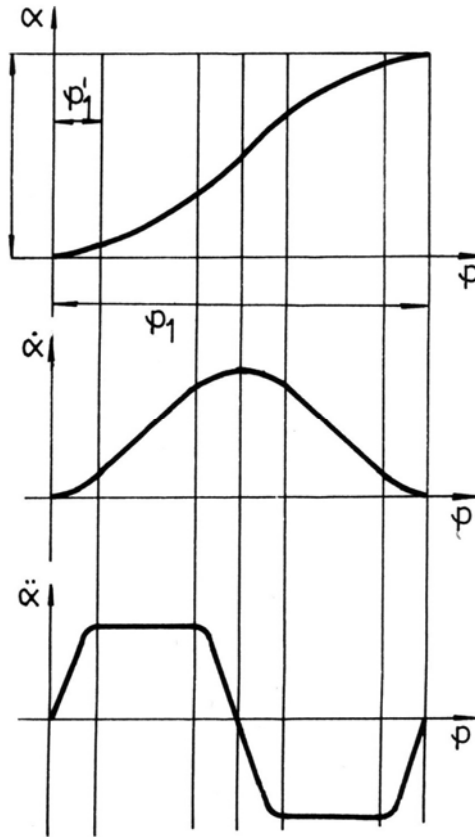


Fig. 4.22

b) Mișcarea cu accelerație sinusoidală - figura 4.23.

$$\left\{ \begin{array}{l} \alpha = \frac{\alpha_h}{\varphi_1} \varphi - \frac{\alpha_h}{2\pi} \cdot \sin \frac{2\pi}{\varphi_1} \varphi \\ \alpha = \frac{\alpha_h}{\varphi_1} \varphi - \frac{\alpha_h}{\varphi_1} \cdot \cos \frac{2\pi}{\varphi_1} \varphi \\ \alpha = \frac{2\pi\alpha_h}{\varphi_1^2} \cdot \sin \frac{2\pi}{\varphi_1} \cdot \varphi \\ \alpha_{\max} = 6,28 \cdot \frac{\alpha_h}{\varphi_1^2} \end{array} \right. \quad (4.34)$$

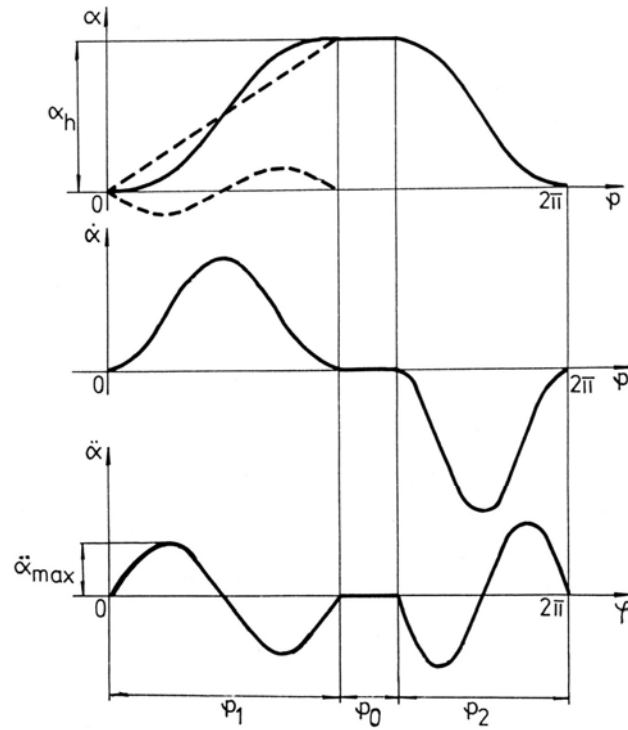


Fig. 4.23

d) Mișcarea polinomială de gradul 3-4-5

$$\left\{ \begin{array}{l}
 \alpha = \alpha_h \cdot \left[10 \cdot \left(\frac{\varphi}{\varphi_1} \right)^3 - 15 \cdot \left(\frac{\varphi}{\varphi_1} \right)^4 + 6 \cdot \left(\frac{\varphi}{\varphi_1} \right)^5 \right] \\
 \dot{\alpha} = \frac{\alpha_h}{\varphi_1} \cdot \left[30 \cdot \left(\frac{\varphi}{\varphi_1} \right)^3 - 60 \cdot \left(\frac{\varphi}{\varphi_1} \right)^4 + 30 \cdot \left(\frac{\varphi}{\varphi_1} \right)^5 \right] \\
 \ddot{\alpha} = \frac{\alpha_h}{\varphi_1} \cdot \left[60 \cdot \frac{\varphi}{\varphi_1} - 180 \cdot \left(\frac{\varphi}{\varphi_1} \right)^2 + 120 \cdot \left(\frac{\varphi}{\varphi_1} \right)^3 \right] \\
 \ddot{\alpha}_{\max} = 5.8 \cdot \frac{\alpha_h}{\varphi_1^2}
 \end{array} \right. \quad (4.35)$$

La viteze mai scăzute de rotație ale camei, se pot adopta:

- legea de mișcare cu accelerație constantă $\left(\ddot{\alpha}_{\max} = 4 \cdot \frac{\alpha_h}{\varphi_1^2} \right)$
- legea de mișcare cu accelerație cosinusoidală $\left(\ddot{\alpha}_{\max} = 4,9 \cdot \frac{\alpha_h}{\varphi_1^2} \right)$

caracterizate de funcționări cu șocuri moi.

4.3.4. Schema cinematică, principiul de funcționare și elemente de calcul cinematic pentru mecanismul Century-Platt

Rotirea cilindrilor detașori pentru realizarea lungimilor l_i și l_d se obține cu ajutorul unui diferențial și a mecanismului cu camă-levier oscilant - figura 4.24.

Diferențialul este alcătuit din roțile dințate z_1 și z_2 (angrenaj interior), excentricul E fixat pe arborele 4 principal al mașinii și portsatelitul p care comandă roata z_1 ; mișcarea portsatelitului este determinată de levierul oscilant L comandat de cama C ; prin roțile z_3, z_4, z_5 și z_6 mișcarea se transmite cilindrilor detașori.

Relația lui Willis corespunzătoare acestui diferențial este:

$$i_{12}^p = \frac{\omega_1 - \omega_p}{\omega_2 - \omega_p} \quad (4.36)$$

în care: ω_1 este viteza unghiulară de comandă ($\omega_1 = \text{const.}$),

ω_2 - viteza unghiulară receptoare,

ω_p - viteza unghiulară a portsatelitului ($\omega_p \neq \text{const.}$).

Același raport de transmitere i_{12}^p poate fi exprimat și sub forma:

$$i_{12}^p = \frac{z_2}{z_2 - z_1} \quad (4.37)$$

Din relația (4.36) rezultă:

$$\omega_2 = \frac{1}{i_{12}^p} (\omega_1 - \omega_2) + \omega_p \quad (4.38)$$

Transformând această relație în unghiuri corespunzătoare, rezultă:

$$\beta_2 = \frac{1}{i_{12}^p}(\varphi - \alpha) + \alpha \quad (4.39)$$

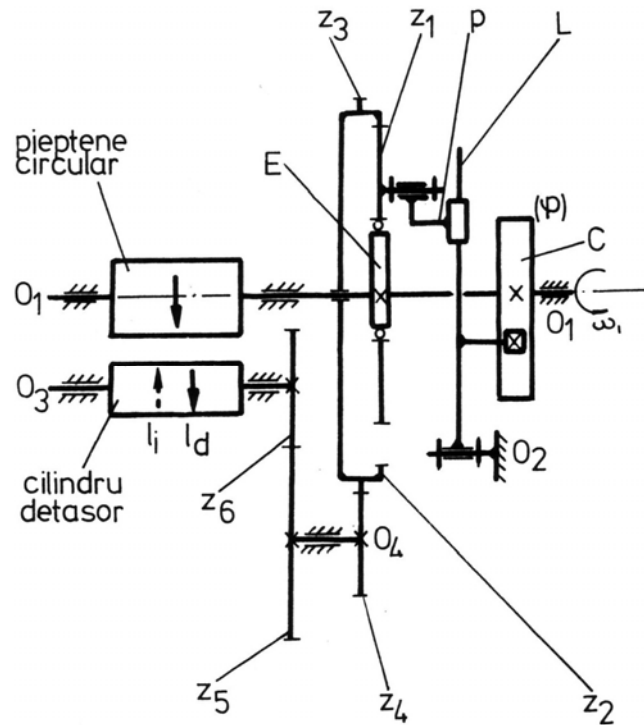


Fig. 4.23

Din figura 4.24, unghiul de rotire Θ la cilindrul detașor este:

$$\theta = \beta_6 = \frac{z_4}{z_3} \cdot \frac{z_6}{z_5} \cdot \beta_2 \quad (4.40)$$

În final se obține pentru θ :

$$\theta = \frac{z_4}{z_3} \cdot \frac{z_6}{z_5} \cdot \left[\frac{1}{i_{12}^p} \cdot (\varphi - \alpha) + \alpha \right] \quad (4.41)$$

Cu ajutorul acestui unghi se stabilesc lungimile l_i și l_d ca și în cazul exemplului prezentat în § 4.3.2.

Capitolul 5

ELEMENTE DE PROIECTARE PRIVIND TRENURILE DE LAMINAT

Operația de laminare la mașinile pregătitoare pentru filat și la mașinile de filat, urmărește subțierea înșiruirii de fibre din banda obișnuită anterior prin deplasarea fibrelor unele față de altele pe direcția înșiruirii, cu ajutorul unor forțe aplicate în sensul deplasării la capetele lor din față.

Trenurile de laminat, în principiu, sunt alcătuite din două dispozitive de bază: dispozitivul de întindere și dispozitivul de presare.

Dispozitivele de întindere sunt formate din cilindri alimentatori și organe intermediare (cilindri intermediari, cilindri cu curelușe, câmpuri de ace). Laminajul mecanic total al unui tren de laminat este:

$$L_m = \frac{v_d}{v_a} \quad (5.1)$$

în care v_a și v_d sunt vitezele periferice ale cilindrilor alimentator și debitor, cu $v_d > v_a$ - figura 5.1.

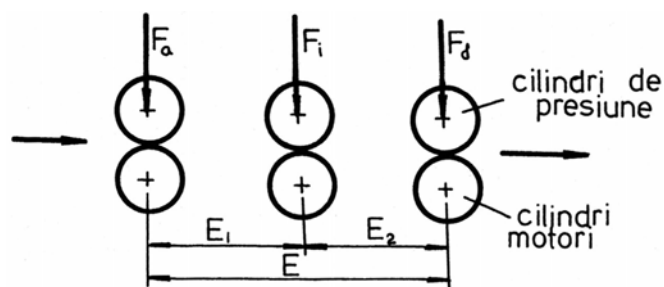


Fig. 5.1

Organele intermediare au viteze în același sens ca și cilindrii alimentatori și debitori cu valori cuprinse între v_a și v_d .

În funcție de structura organelor intermediare, trenurile de laminat se pot grupa în trenuri de laminat cu cilindri și trenuri de laminat cu câmpuri de ace.

Dispozitivele de presare exercită forțe de apăsare asupra cilindrilor de presiune cu ajutorul unor pârghii și greutateți, cu arcuri, cu magneți, cu elemente pneumatice sau hidraulice.

Sub aspect tehnologic, parametrii de bază ai unui tren de laminat sunt:

- laminajul total,
- laminajele parțiale,
- ecartamentele,
- diametrele cilindrilor,
- forțele de apăsare pe cilindri,
- vitezele de debitare.

Acești parametri sunt analizați și precizați la disciplinele de tehnologie. Valorile parametrilor menționați și limitele între care se realizează reglajele sunt necesare pentru calculele de proiectare ale mașinilor respective.

5.1. Cilindrii trenurilor de laminat

Dimensiunile cilindrilor trenurilor de laminat ca și materialele din care se execută cilindrii (îndeosebi cei de presiune) au influența asupra câmpului forțelor de frecare. Dacă se transcrie relația lui Hertz pentru corpuri cilindrice care vin în contact după o generatoare, privind lățimea zonei de contact b se pot trage unele concluzii - figura 5.2.

$$b = 3.05 \sqrt{\frac{q \cdot \rho_{red}}{E_{red}}} \quad (5.2)$$

în care:

- $q = \frac{F}{l}$ reprezintă încărcarea liniară pe unitatea de lungime a generatoarei (l - lungimea generatoarei);

$$-\frac{1}{\rho_{red}} = \frac{1}{\rho_1} + \frac{1}{\rho_2};$$

$$- E_{red} = \frac{2 \cdot E_1 \cdot E_2}{E_1 + E_2}, \quad (E_1, E_2 - \text{modulele de elasticitate, pentru}$$

materialele cilindrilor).

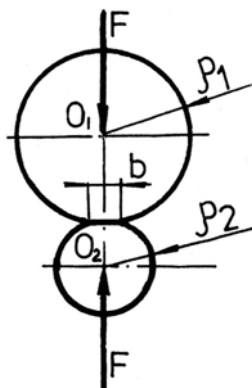


Fig. 5.2

Rezultă că o valoare mare pentru b , situație care conduce la îmbunătățirea câmpului forțelor de frecare, se obține prin:

- mărirea diametrelor cilindrilor,
- adoptarea de materiale cu module de elasticitate cu valori scăzute.

În cazul fibrelor scurte, cilindrii nu se pot adopta cu dimensiuni mari din cauza ecartamentelor mici impuse.

Cilindrii motori de la trenurile de laminat, de regulă cei inferiori, în mod obișnuit nu se execută din materiale elastice sau cu îmbrăcăminte elastică, datorită faptului că aceștia reprezintă organe care trebuie să ofere o bună rezistență.

Cilindrii de presiune, antrenați prin frecare de cilindrii motori, în marea majoritate a cazurilor, se căptușesc la exterior cu materiale având modulul de elasticitate cu valoare mică.

a) Cilindrii motori sunt canelați pentru a mări aderența față de fibre și pentru a micșora alunecarea cilindrilor de presiune; cilindrii pentru antrenarea curelușelor, se execută cu suprafețe randaliante pentru o mai bună aderență a curelușei - figura 5.3.

Cel mai utilizat profil pentru caneluri este cel trapezoidal; forma trapezoidală se obține după rectificarea canelurilor executate inițial cu profilul triunghiular - figura 5.4.

Datorită apăsărilor între cilindri laminari, canelurile pot deteriora îmbrăcămintea elastică a cilindrilor de presiune, atunci când ele apasă în același loc; pentru a se înlătura acest neajuns, canelurile se pot executa cu pas variabil, distribuit neuniform:

$$t_{\max} = t_{\text{med}} \cdot (1 + k)$$

$$t_{\min} = t_{\text{med}} \cdot (1 - k)$$

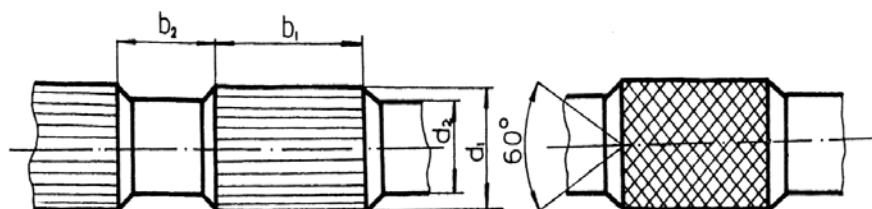


Fig. 5.3

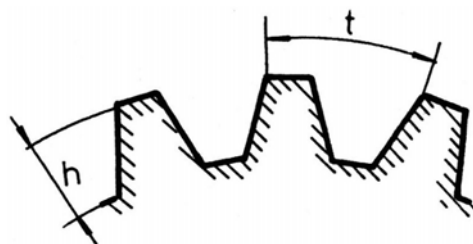


Fig. 5.4

Pentru fibrele tip bumbac: $k \approx 0,05$ (la mașinile cu inele), $k \approx 0,06$ (la flaiere), $t_{\text{med}} = (1,4 \dots 2,2)$ mm, valorile mai mici fiind valabile pentru înșiruiți cu puține fibre.

Înălțimea canelurilor se adoptă $(0,4 \dots 0,75)$ mm.

Înșiruirea de cilindri canelați și randalinați, dirijată în lungul mașinii, se realizează din mai multe segmente îmbinate între ele, cu lungimi de regulă între $0,5 \dots 1,3$ m.

Îmbinarea segmentelor se realizează prin filet și zonă cilindrică de strângere cu ajustaj intermediar – figura 5.5, care oferă precizia necesară privind coaxialitatea și bătaia radială în dreptul îmbinării.

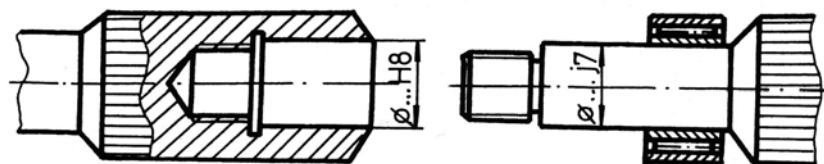


Fig. 5.5

Pe porțiunea cilindrică se montează și lagărele de susținere a arborilor motori: se folosesc rulmenți cu ace UWL - STAS 11038-84.

Materialele folosite pentru cilindri canelați, trebuie să reziste îndeosebi la uzură; frecările continue cu fibrele în zona de lucru pot provoca uzura canelurilor, în timp relativ scurt, dacă materialul nu corespunde sau nu este bine tratat.

Sunt indicate oțelurile de cementare (OLC 15), oțeluri cu un conținut ridicat de carbon (OLC 45) durificat superficial, oțelurile de cianurare. Se utilizează în mod curent OLC 45 tratat prin curenți de înaltă frecvență. Duritatea superficială este de (56 62)HRC.

Pentru cilindri randalinați este suficient un oțel mai rezistent fără durificare superficială (de ex. OLC 70).

Atât cilindrii canelați, cât și cei randalinați, trebuie finisați prin rectificare. Adâncimea stratului durificat rămas după rectificare, trebuie să fie aproximativ 0,5 mm.

Precizia diametrelor trebuie să se încadreze în limitele câmpului de toleranță h8/9.

Rugozitatea suprafețelor după rectificare la cilindri rondelați trebuie să fie cuprinsă în limitele $R_a^{0,3\sqrt{\dots}} \dots^{0,6\sqrt{\dots}}$; la cilindrii canelați se cere o suprafață mai fină: $R_a^{0,1\sqrt{\dots}} \dots^{0,2\sqrt{\dots}}$.

După montarea și asamblarea segmentilor pe mașina respectivă, bătaia radială maximă admisă, în orice moment, în orice punct a porțiunii canelate, nu trebuie să depășească aprox. 0,08 0,02 mm (valorile mai mici fiind pentru fibre fine).

b) Cilindrii de presiune – figura 5.6, pot fi clasificați astfel:

- metalici- cu suprafețe netede - cu încărcare direct pe cilindru,
- cu încărcare pe rulment
- cu caneluri în angrenare;
- cu înveliș elastic - aplicat pe cilindru - plin,
- cu degajare,
- aplicat pe bușă cu rulmenți,
- magnetici.

La cilindrii de presiune magnetici, forța de apăsare se exercită între cilindrii de presiune și cilindrii inferiori, datorită fluxului magnetic având traseul indicat în figura 5.7.

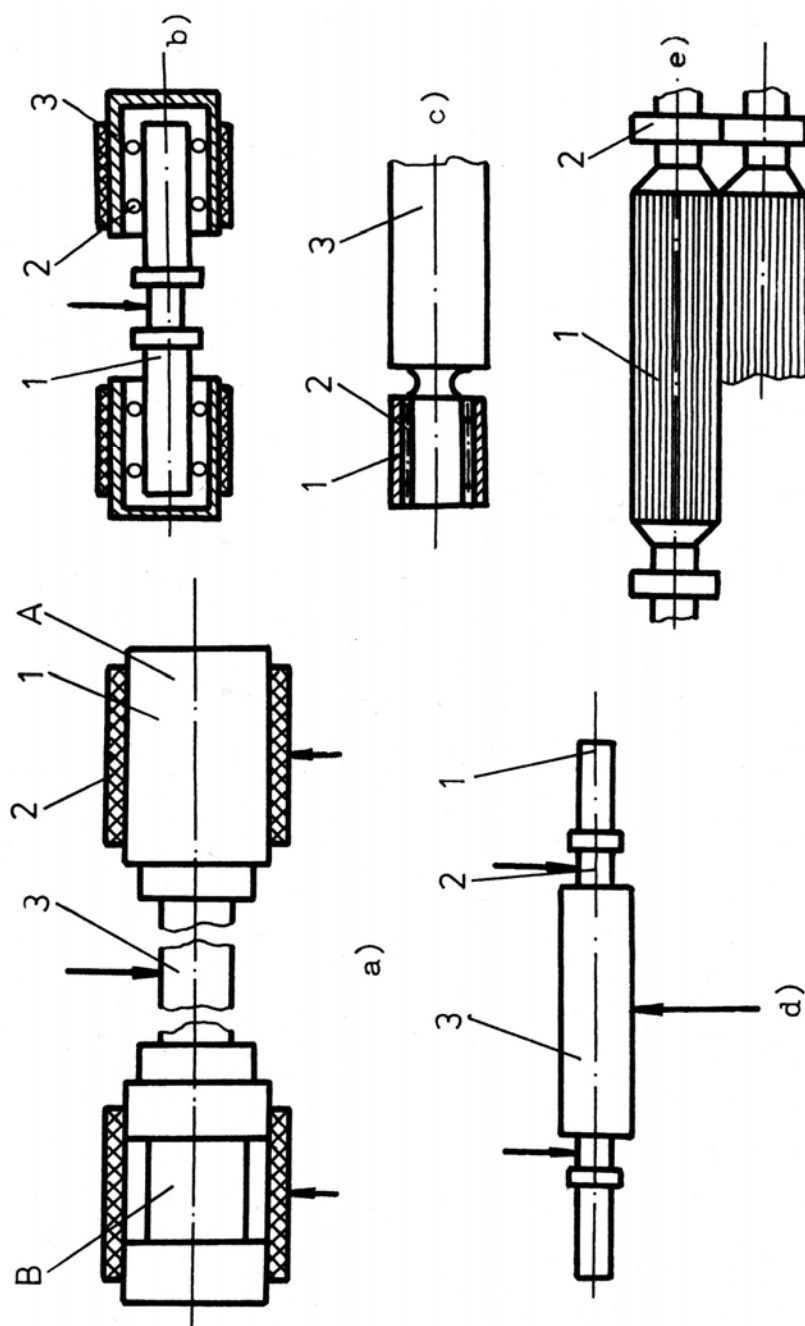
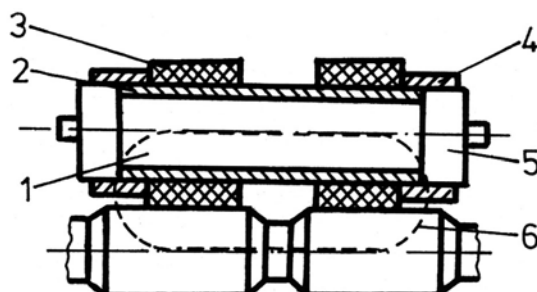


Fig. 5.6



1 – magnet permanent; 2 – bucsă diamagnetică; 3 – manșon elastic;
4 – inel feromagnetic; 5 – dop feromagnetic; 6 – flux magnetic

Fig. 5.7

Manșoanele elastice se execută din cauciuc, policlorură de vinil, piele. Grosimea învelișului se ia în mod obișnuit între 3,5 ... 4,5 mm.

Manșoanele din P.V.C. și piele, de regulă, se aplică prin încleiere; cele din cauciuc, prin presare.

Suprafețele exterioare se rectifică pentru înlăturarea unor goluri și a asperităților pentru a nu favoriza înfășurarea fibrelor pe cilindri.

Abaterile admise la diametrul exterior sunt de 0,03 mm; bătaia radială maximă (0,02 ... 0,03) mm.

Duritatea manșoanelor din P.V.C. și cauciuc este cuprinsă între (65 ... 85) Shore.

5.2. Elemente de calcul pentru cilindrii motori de la trenurile de laminat

Cilindrii motori de la trenurile de laminat reprezintă arbori așezați pe un număr mare de lagăre sollicitați la încovoiere și răsucire, încărcările arborilor provin de la forțele de apăsare Q ale cilindrilor de presiune, de la roțile dințate montate pe capetele în consolă ale acestora și de la momentul motor de răsucire M_t aplicat prin intermediul roților dințate – figura 5.8. Se neglijează forțele de greutate ale reperelor componente.

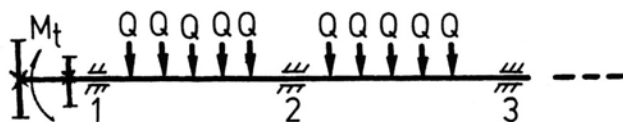


Fig. 5.8

Întrucât arborii sunt static nedeterminați, se recomandă pentru calculul la încovoiere folosirea metodei celor trei momente; forțele Q se consideră uniform repartizate. Calculul se efectuează pentru primele două tronsoane (cu lagărele 1, 2 și 3), primul fiind cel mai încărcat la răsucire.

Urmărind încărcările pe perechile de cilindri ai unui tren de laminat - figura 5.9, se constată:

- la cilindrul motor debitor, de rază r_1 , se aplică momentul de răsucire M_{t1} ;
- la cilindrul motor intermediar, de rază r_2 , se aplică momentul M_{t2} ;
- la cilindrul motor alimentator, de rază r_3 - momentul M_{t3} ;
- cilindrii de presiune acționează cu forțele Q_1 , Q_2 , Q_3 care se adoptă cu valorile maxime precizate de tehnologie;
- forțele de laminare sunt T_2 și T_3 ;
- forța de tragere a înșiruirii de fibre este T_1 .

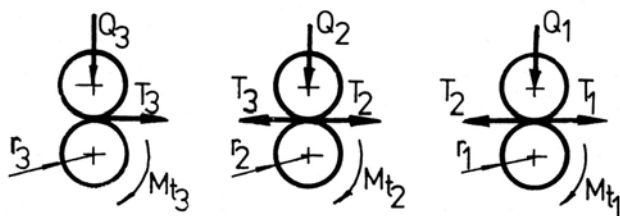


Fig. 5.9

Puterea consumată de trenul de laminat, considerând elementul (1) conducător este :

$$P_c = M_{t3} \cdot \omega_3 \cdot \frac{1}{\eta_{3,1}} + M_{t2} \cdot \omega_2 \cdot \frac{1}{\eta_{2,1}} + M_{t1} \cdot \omega_1 \quad (5.2)$$

în care:

$$M_{t3} = M_{f3} - T_3 \cdot r_3,$$

$$M_{t2} = M_{f2} - T_2 \cdot r_2 + T_3 \cdot r_2,$$

$$M_{t1} = M_{f1} + T_2 \cdot r_1 - T_1 \cdot r_1,$$

unde, (M_{f1} , M_{f2} , M_{f3} sunt momentele de frecare reduse la arborii motori provenite de la lagăre).

Momentul M_t aplicat arborelui este:

$$M_t = \frac{P}{\omega_1} \quad (5.3)$$

Mecanismul de acționare pentru cei trei cilindri motori se realizează în conformitate cu recomandările prezentate în capitolul 1, paragraful 1.2 - figurile 1.3 și 1.4.

5.3. Trenuri de laminat cu câmpuri de ace

La prelucrarea materialelor cu fibre lungi (de ex. fibre liberiene, fibre tip lână) se folosesc trenuri de laminat cu câmpuri de ace cu scopul de a menține un câmp de forțe de frecare în intervalul dintre cilindrii alimentatori și cilindrii debitori, cu ajutorul căruia se realizează un control mai eficient al fibrelor scurte, situate în zona de laminare, neprinse la capete de cilindri. Totodată, acele susțin fibrele pentru ca acestea să nu atârne între cilindrii alimentatori și debitori, îndeplinind parțial și funcția de pieptănare (paralelizarea, desfacerea ghemotoacelor și eliminarea corpurilor străine).

Se întâlnesc câmpuri de ace *cu barete (lineale)* antrenate de șuruburi melc (la lână, la fibre liberiene), *cu lineale împingătoare* (la mașini moderne pentru fibre liberiene), cu cilindrii cu ace (la unele tipuri de laminoare pentru fibre scurte și fine de lână). Trenurile de laminat cu barete antrenate de șuruburi melc pot fi cu un singur câmp de ace (la fibre lungi) sau cu două câmpuri (intersecting, la fibre scurte).

Datele privind finețea, distribuția și poziția acelor, ecartamentele, limitele laminajului, viteza de debitare sunt precizate de tehnologie, în funcție de tipul mașinii, de caracteristicile fibrelor și ale firelor care urmează a fi obținute.

Aspecte interesante din punct de vedere al proiectării prezintă trenurile de laminat cu barete cu ace antrenate de șuruburi melc, în special în ceea ce privește structura și funcționarea mecanismelor de deplasare a baretelor.

5.3.1. Poziția și numărul linealelor cu ace

Pentru un tren de laminat cu câmp de ace se consideră următoarele date de bază - figura 5.10:

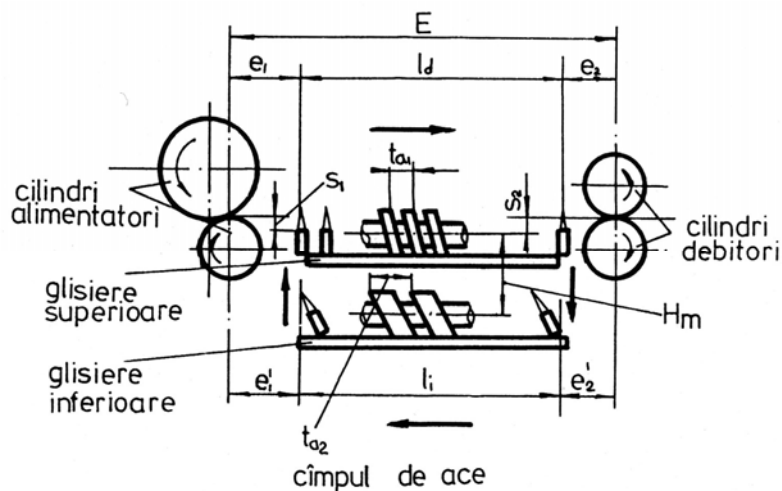


Fig. 5.10

E - ecartamentul;

l_d - distanța parcursă de piepteni în zona de lucru (lungimea activă);

l_i - distanța parcursă de piepteni în zona de întoarcere (mers în gol);

e_1, e_2, e'_1 și e'_2 - distanțele de la liniile aflate în pozițiile extreme la liniile de prindere;

s_1 și s_2 - distanțele de la planul superior al barețelor pieptenilor din zona critică la planul ce conține generatoarele de contact ale cilindrilor de alimentare și debitare;

t_1 - pasul la șuruburile melc active;

t_2 - pasul la șuruburile melc de întoarcere;

z_1 și z_2 - numerele de începuturi ale șuruburilor melc;

m - numărul de piepteni ai trenului.

Ecartamentul E depinde de lungimea fibrelor de prelucrat.

Distanța l_d trebuie să fie cât mai apropiată de valoarea ecartamentului E , astfel încât să poată fi asigurat controlul și asupra fibrelor foarte scurte; este important ca distanța e_2 ("spațiu critic") de la ultimul pieptene la cilindrii debitori să fie cât mai mică. Se impune adoptarea unor diametre mici pentru cilindrii alimentator și debitor inferiori și căptușeli elastice la cei superiori.

Distanțele e_1 , e_2 , e_1' și e_2' depind de soluțiile constructive adoptate pentru mecanismele de coborâre, respectiv ridicare a linealelor și pentru lagărele ce susțin melcii. Spre exemplu la laminoarele pentru lână $e_{2min} = 18 \dots 25$ mm.

Distanțele s_1 și s_2 se adoptă cu valori care să satisfacă desfășurarea procesului tehnologic în condiții optime ($s_1 < s_2$):

- la mașini puitoare $s_1 = 2 \dots 2,5$, $s_2 = 5 \dots 6$ mm;
- la laminoare pentru flaiier $s_1 = 1,5 \dots 2$ mm, $s_2 = 4 \dots 4,5$ mm;
- la celelalte mașini pentru fibre liberiene $s_1 = 0,5 \dots 1$ mm, $s_2 = 2 \dots 3,5$ mm.

Pasul melcului activ t_1 (pasul elicei) depinde de grosimea linealelor și distanța minimă posibil de realizat dintre două lineale alăturate - figura 5.11:

$$t_1 = (a + b') \cdot z_1 = t_{a_1} \cdot z_1 \quad (5.4)$$

în care, $(a + b')$ reprezintă pasul aparent; a - depinde de numărul de rânduri de ace, de dimensiunea b , de finețea acelor; b' - se va adopta cu valoarea minimă posibil de realizat, astfel că la trecerea dintr-o zonă în cealaltă, linealele succesive să nu se blocheze reciproc.

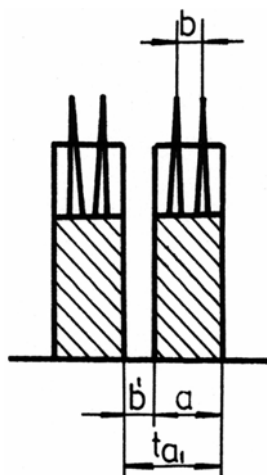


Fig. 5.11

Numărul de începuturi z_1 este adoptat cu valori în intervalul $z_1 = 1 \dots 4$; la mașinile moderne pentru lână cu viteze mari, se folosesc 3-4 începuturi.

Pasul melcului de întoarcere t_2 se adoptă cu o valoare care să evite ciocnirea linealelor succesive sau lovirea acelor, la coborârea și așezarea linealelor pe glisierile inferioare. De obicei se adoptă:

$$t_2 = (2...3) \cdot t, \text{ considerându-se } z_1 = 1.$$

Numărul de piepteni m necesari pentru un tren de laminat se determină în conformitate cu următoarele observații:

- pe glisiera superioară se află $l_d/t_{a1} = z_1 \cdot l_d/t_1$ lineale, iar pe cea inferioară $z_2 \cdot l/t_2$ (de obicei $z_2 = 1$);

- în zonele de ridicare și coborâre se află $z_1(\alpha + \beta)/2\pi$ lineale, α și β fiind unghiurile de rotire ale melcilor superiori corespunzătoare ridicării, respectiv coborârii unui lineal (din momentul părăsirii contactului cu glisiera până la intercalarea în filetul melcului primitor); numărul de lineale (piepteni) este:

$$m = z_1 \cdot \frac{l_d}{t_1} + \frac{l_i}{t_2} \cdot z_2 + z_1 \cdot \frac{\alpha + \beta}{2\pi} \quad (5.5)$$

Pentru o rotație completă a melcilor superiori vor coborâ, respectiv vor urca, z_1 lineale. Dacă n_1 este numărul de rotații pe minut la melcii superiori, atunci numărul de lovituri pe minut va fi ($z_1 \cdot n_1$); acesta este unul dintre principalii indici funcționali ai trenului de laminat.

5.3.2. Aspecte cu privire la definirea geometriei linealelor și melcilor

a). Profilul capătului linealului

Capătul linealului pătrunde între două spire alăturate ale melcului; întrucât în zona activă, linealul este poziționat perpendicular pe glisieră, rezultă necesitatea realizării unei prelucrări cu o anumită înclinație δ a extremității acestuia - figura 5.12.

Unghiul δ se determină pe cale grafică, construindu-se curba de intersecție dintre suprafața elicoidală a spirei melcului și un plan A-A tangent la cilindrul interior al melcului - figura 5.13, plan care conține muchia (A), prin care se transmite mișcarea de la melc la lineal.

Cu mărimile razelor R și $r' = r + j_1$ se construiesc (la scară) cercurile respective cu centrele în O; R reprezintă raza exterioară, r - raza cilindrilor interior al melcului superior, j_1 - jocul la extremitatea linealului necesar evitării blocării ($j_1 = 0,5$ mm).

Se trasează curba de intersecție a planului menționat cu suprafața elicoidală a flancului filetelui. Această curbă se obține marcând mai întâi punctele extreme 1', 2' și 3' prin proiectarea punctelor 1, 2 și 3.

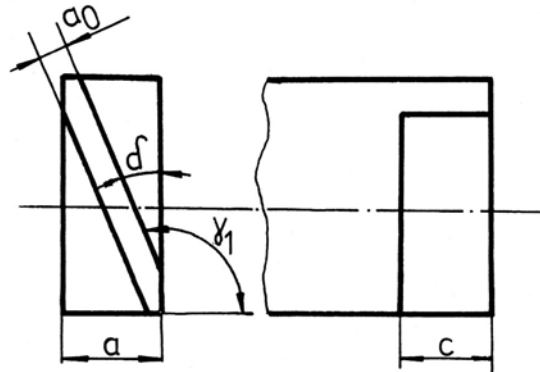


Fig. 5.12

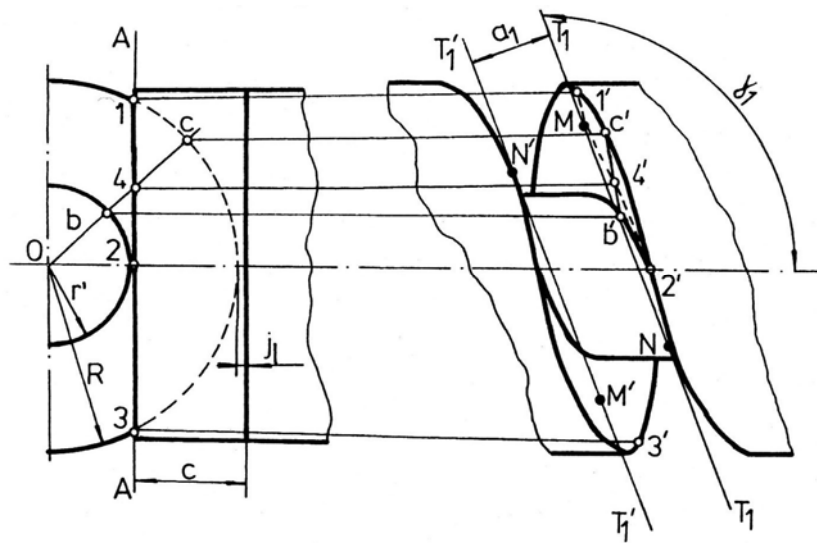


Fig. 5.13

Se determină în continuare alte puncte intermediare ale curbei astfel:

- cu centrul în O se construiește o serie de raze care intersectează dreapta $A-A$, obținându-se un șir de puncte (de ex. cel notat cu 4); aceleași raze definesc pe cercurile de rază r' și R perechi de câte alte două puncte de intersecție (punctele b și c pentru exemplul dat);

- prin proiectarea corespunzătoare a punctelor menționate în cealaltă vedere se stabilesc punctele de corespondență 4', b' și c'.

Se trasează tangenta comună T-T la curba 1' - 4' - 2' și la profilul muchiei exterioare a spirei melcului, tangență care aparține feței laterale a capătului linealului.

Se obține astfel unghiul $\delta = \gamma_1 - 90^\circ$ (5.6)

Grosimea teoretică a capătului înclinat al linealului a_1 se determină ca distanță între tangenta T-T și paralela la aceasta T'-T' trasată în raport cu muchia exterioară a spirei precedente (v.fig. 5.13). Practic se recomandă o grosime mai mică a_0 pentru evitarea blocajelor:

$$a_0 = a_1 - (0,1 \dots 0,15) \text{ mm} \quad (5.7)$$

b) Poziția linealului în melcul de întoarcere

Deoarece la melcul de întoarcere pasul este mai mare ($t_2 > t_1$) și unghiul elicei este mai mare, ceea ce conduce la o poziție înclinată a linealului în melcul inferior pentru faza de revenire.

Unghiul γ_2 - figura 5.14, se determină prin construcție grafică în mod asemănător cu aceea prezentată anterior.

Unghiul θ determină poziția linealului față de glisiera de întoarcere - figura 5.15.

Se recomandă un joc lateral pe direcția grosimii a_0 a linealului în melc mai mare decât în cazul melcului superior.

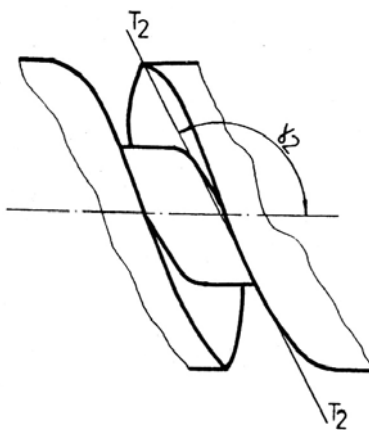


Fig. 5.14

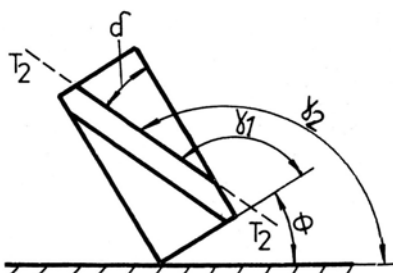


Fig. 5.15

c) *Condiția pentru realizarea stabilității poziției linealului în filetul melcului*

Fețele laterale ale capătului înclinat al linealului - figura 5.13, vin în contact cu suprafețele elicoidale ale melcului în punctele N, M, N' și M'.

Pentru realizarea unei stabilități bune a linealului în filetul melcului este necesară existența a patru puncte de contact lineal-filet melc, în paralel cu realizarea unor segmente MN și M'N' cât mai mari.

Dacă se consideră două lineale cu aceeași dimensiune a , dar cu unghiuri δ diferite - figura 5.16, se constată că în cazul $\delta_2 > \delta_1$ distanțele MN și M'N' sunt mai mici; dacă se depășește o anumită înclinație δ numărul de puncte de contact se micșorează, iar stabilitatea se pierde.

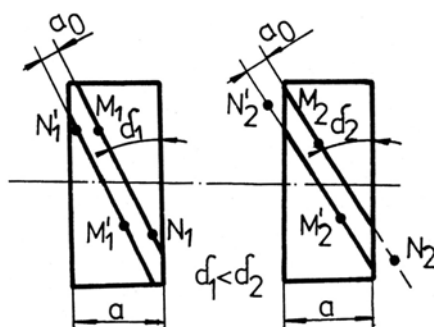


Fig. 5.16

Stabilitate mai bună se obține prin mărirea grosimii a sau/și prin micșorarea unghiului elicei melcului; această ultimă variantă conduce, pentru un pas dat, la diametre mai mari ale melcului, deci și la mărituri ale gabaritelor mecanismelor pieptenilor. Apare astfel, necesitatea

determinării unei soluții optime, luând în considerare toți factorii care determină stabilitatea.

5.3.3. Elemente de proiectare cinematică privind mecanismul pentru coborarea și ridicarea linealelor

5.3.3.1. Profilul camelor

Trecerea linealelor din zona activă în zona de întoarcere se realizează cu ajutorul camei C_d fixată pe melcul activ - figura 5.17; această camă împinge linealul spre filetul melcului de întoarcere pentru a fi preluat de acesta.

Readucerea linealului la melcul superior este obținută printr-o acțiune similară a unei alte came montată de data aceasta pe capătul melcului de întoarcere.

Din punct de vedere constructiv camele pot fi simple sau multiple, după cum melcii au unul sau mai multe începuturi.

Profilul activ al camei de la sistemele clasice este structurat dintr-un arc sau din două arce de cerc cu raze diferite racordate între ele - figura 5.18.

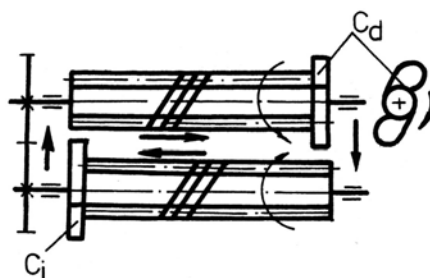


Fig. 5.17

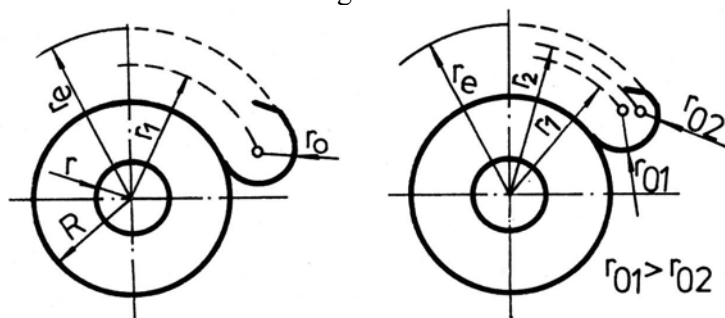


Fig. 5.18

Determinarea valorilor pentru razele r_0 , r_l și r_e este dependentă de următorii factori care influențează uzura:

- dimensiunile capetelor linealelor,
- grosimea glisierelor,
- dimensiunile melcilor
- distanța dintre axele melcilor.

În acest scop este necesară analiza pozițiilor limită ale linealului la coborâre și ridicare; se admit ipotezele:

- mișcarea are loc într-un plan vertical;
- contactul dintre camă și lineal se menține continuu în timpul fazei de rotire activă a camei.

a) *Camă pentru coborârea linealelor cu profil activ executat cu o singură rază*

În momentul începerii fazei de coborâre a linealului - figura 5.19, cama trebuie să fie în contact cu linealul în punctul B_s aflat la înălțimea planului superior al glisierii și la o distanță $(c+e)$ față de capătul linealului ($e < 2\text{mm}$); contactul în această fază realizându-se pe întreaga lățime a linealului, apar presiuni de contact cu valori mai scăzute, care conduc la uzură redusă.

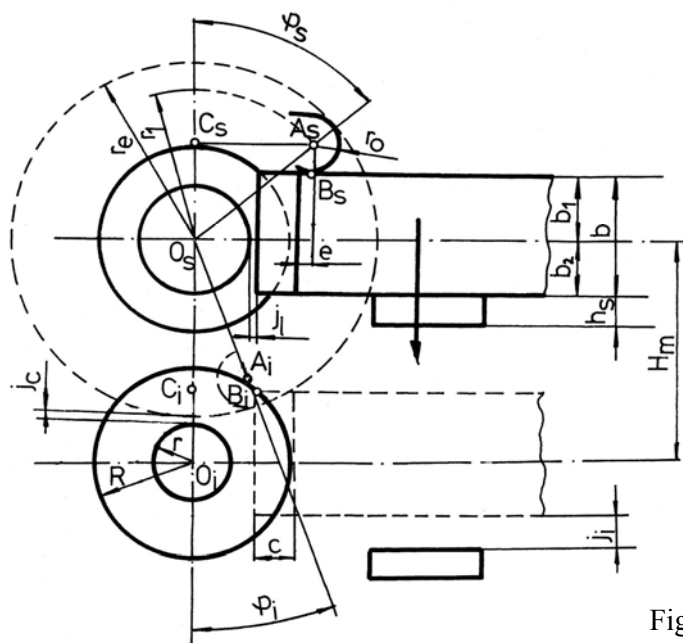


Fig. 5.19

Momentul începerii coborârii linealului corespunde unei poziții a camei determinată de unghiul φ_s .

Momentul final al coborârii este caracterizat de unghiul φ_l , contactul camă-lineal este definit prin punctul B_i , punct aflat pe profilul camei, în zona de trecere de la raza r_o la raze r_e . În această poziție, linealul trebuie să fie intercalat în filetul melcului inferior.

Între lineal și glisieră trebuie să se realizeze distanțele j_s și j_i , care contribuie la evitarea blocării linealului de glisieră ($j_s \leq 3,5$ mm la flaiere și laminoare, $j_s \leq 5$ mm la mașini puitoare) și la amortizarea contactului lineal-glisieră inferioare necesară în momentul ruperii contactului camă-lineal ($j_i \leq 6$ mm la mașini puitoare, $j_s \leq 5$ mm la laminoare pentru fibre liberiene, $j_s \leq 5$ mm la flaiere pentru fibre liberiene).

Se impune ca la trecerea camei printre spirele filetului inferior să existe un joc $j_c \approx 2$ mm care să permită evitarea eventualelor blocări.

Raza exterioară r_e a camei – figura 5.19, trebuie să satisfacă condiția:

$$r_e = l_{O_s B_i} \quad (5.8)$$

Din triunghiul $\Delta O_s C_i B_i$

$$l_{O_s B_i} = \frac{l_{O_s C_i}}{\cos \varphi_i} \quad (5.9)$$

în care :

$$l_{O_s C_i} = b_2 + h_s + j_s \quad (5.10)$$

Rezultă :

$$r_e = \frac{b_2 + h_s + j_s}{\cos \varphi_i} \quad (5.11)$$

Unghiul φ_i se determină din același triunghi $\Delta O_s C_i B_i$:

$$\operatorname{tg} \varphi_i = \frac{r + j_1}{b_2 + h_s + j_s} \quad (5.12)$$

Distanța H_m între axele celor doi melci este :

$$H_m = r_e + r + j_c \quad (5.13)$$

Raza r_l reprezintă ipotenuza triunghiului $\Delta A_s C_s O_s$ în care cateta $A_s C_s$ trebuie să fie:

$$l_{A_s C_s} = R + j_l + e \quad (5.14)$$

$$r_l = \frac{l_{A_s C_s}}{\sin \varphi_s} \quad (5.15)$$

Rezultă:

$$r_1 = \frac{R + j_l + e}{\sin \varphi_s} \quad (5.16)$$

Unghiul φ_s se determină din relația:

$$\operatorname{tg} \varphi_s = \frac{R + j_l + e}{b_1 + r_0} \quad (5.17)$$

Raza r_0 trebuie să fie cât mai mare, respectând pentru parametrul e o valoare convenabilă; la valori mai mici ale razei r_0 , presiunile maxime din zone de contact vor fi mai mici, micșorându-se astfel uzura.

Mărimile razelor r_l , r_e și r_0 se află în legătură stabilită prin relația:

$$r_e = r_l + t_0 \quad (5.18)$$

b) Camă pentru ridicarea linealelor (pe melcul de întoarcere) cu profil executat cu o singură rază

Relațiile de legătură între parametrii constructivi se stabilesc în mod asemănător cu acelea pentru exemplul de la pct. a). Se urmărește, în acest caz, ca linealul să se ridice puțin peste planul superior al glisierii superioare (1 ... 2 mm) pentru a se evita blocarea în capul glisierii.

c) *Camă cu profil activ executat cu două raze*

Se adoptă $r_{0_1} > r_{0_2}$ pentru crearea unor presiuni mai mici pe suprafața de contact în momentul primului șoc. Relațiile de calcul se pot stabili prin analogie, cu situația în care profilul camei active este determinat cu ajutorul unei singure raze de curbură.

5.3.3.2. Cinematica meranismului came-lineal

Șocurile provocate de contactele dintre linealele cu ace și came, șocuri care spar atât la coborare cât și la ridicare, pot fi urmărite prin analiza vitezelor și accelerațiilor caracteristice sistemelor clasice.

S-a precizat anterior că momentul de început al coborării linealului este determinat de valoarea unghiului φ_s și a poziției punctului de contact B_s - figura 5.20.

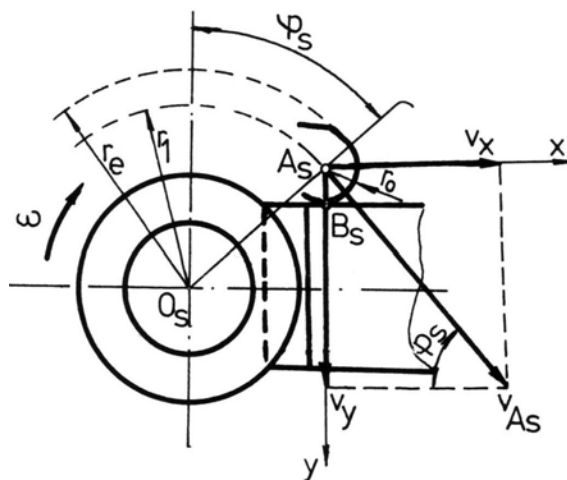


Fig. 5.20

Dacă se consideră că ω este viteza unghiulară a camei, atunci viteza punctelor B_s și A_s aparținând axei Qy sunt:

$$V_{B_s} = \omega \cdot l_{O_s B_s} \quad (5.19)$$

$$V_{A_s} = \omega \cdot l_{O_s A_s} \quad (5.20)$$

Cum punctele B_s și A_s aparțin aceluiași corp material - linealul, se vor deplasa la coborâre în momentul șocului cu aceleași valori pentru parametrii cinematici absoluți v_y și a_y :

$$v_y = v_{B_{sy}} = v_{A_{sy}} = \omega \cdot r_1 \sin \varphi_s \quad (5.21)$$

$$a_y = a_{B_{sy}} = a_{A_{sy}} = \omega \cdot r_1 \cos \varphi_s \quad (5.22)$$

Stabilirea contactului între camă și lineal în faza de ridicare se poate analiza din punct de vedere cinematic în mod asemănător cu faza de coborâre.

Funcționarea reală a trenurilor de laminat cu melci este caracterizată de o serie de desprinderi ale linealelor de pe came, provocându-se lovituri repetate care conduc la accelerarea uzării suprafețelor de contact.

Această deficiență funcțională este eliminată în situațiile care prevăd geometrii speciale pentru capetele linealelor (laminoare Ingolstadt).

5.3.4. Elemente de calcul organologic pentru came și lineale

a) Forța de lovire camă-lineal

Loviturile produse de came asupra linealelor provoacă atât uzura suprafețelor de contact, cât și eforturi de încovoiere în lineale. Aceste lovituri limitează posibilitățile de mărire a vitezei de lucru ale trenurilor de laminat cu lineale acționate cu șuruburi melc (soluții clasice).

În momentul lovirii linealului cu viteza de șoc v_y linealul capătă o energie cinetică W_c care este transformată în energie potențială W_p , provocând încovoierea acestuia; cele două energii sunt egale - figura 5.21:

$$W_c = W_p \quad (5.23)$$

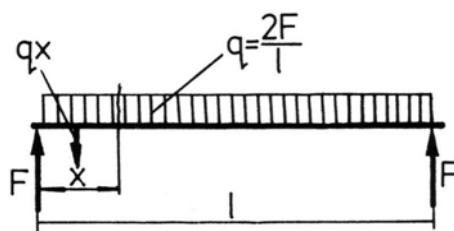


Fig. 5.21

Relațiile de calcul sunt:

$$W_c = \frac{m \cdot v_y^2}{2}$$

$$W_p = \frac{1}{2 \cdot E \cdot I} \int_0^l M^2(x) \cdot dx \quad (5.24)$$

în care:

m este masa linealului,

E - modulul de elasticitate pentru materialul linealului,

I - momentul de inerție mediu al secțiunii linealului,

$M(x)$ - momentul încovoietor într-o secțiune situată la distanța x față de capatul linealului.

Notând cu q sarcina de încovoiere distribuită, se obține:

$$q = \frac{2 \cdot F}{l} \quad (5.25)$$

în care:

F - forța de lovire,

l - lungimea linealului.

Momentul încovoietor M_x rezultă din figura 5.21:

$$M_x = F \cdot x - q \cdot x \cdot \frac{x}{2} = F \cdot x - \frac{F \cdot x^2}{l} \quad (5.26)$$

Egalând cele două energii, se obține :

$$F = v_y \sqrt{\frac{30 \cdot E \cdot I \cdot m}{l^3}} \quad (5.27)$$

b) *Calculul la uzură în zona de lovire camă-lineal* se efectuează cu ajutorul efortului unitar maxim de contact; după Hertz se obține:

$$\sigma_{s \max} = 0,418 \cdot \sqrt{\frac{q_a \cdot E_{red}}{\sigma_{red}}} \quad (5.28)$$

în care

$$q_a = \frac{F}{a}, E_{red} = \frac{2 \cdot E_1 \cdot E_2}{E_1 + E_2}, \rho_{red} = r_0, \quad (5.29)$$

a - grosimea capătului linealului

E_1, E_2 - modulele de elasticitate pentru materialele camei și linealului.

Se obține:

$$\rho_{max} = 0.418 \cdot \sqrt{\frac{F \cdot R_{red}}{a \cdot r_0}} \leq \rho_a \quad (5.30)$$

Micșorarea efortului σ_{smax} se poate realiza prin creșterile grosimii și a razei r_0 , cât și prin micșorarea forței de lovire. Micșorarea acestei forțe, fără a diminua viteza unghiulară a melcilor este posibilă, folosind lineale cu capete în formă de coadă de rândunică - figura 5.22.

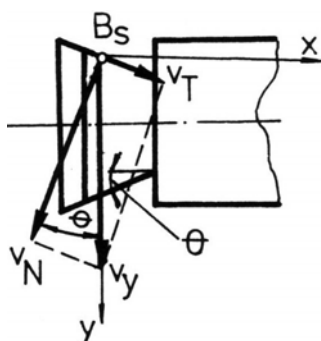


Fig. 5.22

În acest caz viteza de șoc este viteza v_N normală pe suprafața de lovire, care are valoarea mai mică față de v_y :

$$v_N = v_y \cdot \cos \theta$$

Forța de șoc se stabilește cu relația (5.27) în care v_y se înlocuiește cu v_N .

Materialul folosit la came trebuie să reziste la șocuri și la uzură; se poate folosi spre exemplu 18MoCr10 cu tratament de durificare pentru a se obține 55 ... 60 HRC.

Pentru lineale se adoptă oțeluri carbon de calitate de îmbunătățire. Capetele linealelor se durifică prin călire (45 - 50 HRC) pentru mărirea rezistenței de uzură.

c) *Calculul linealelor la încovoiere* se efectuează pe baza solicitării provenită de la forțele de lovire. Mai apare o solicitare de încovoiere provocată de forțele tehnologice de pieptănare, fiind recomandată o verificare și pentru această situație, se găsesc însă puține date concrete asupra acestor forțe.

Pentru verificarea la încovoiere linealul se consideră ca o grindă simplu rezemată cu încărcare uniform repartizată - figura 5.23.

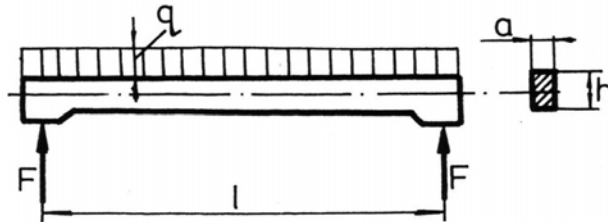


Fig. 5.23

Efortul unitar maxim de încovoiere este:

$$\sigma_{max} = \pm \frac{M_{imax}}{W_x} \leq \sigma_{at} \quad (5.31)$$

în care:

$$M_{imax} = F \cdot \frac{l}{4}; \quad W_x = \frac{a \cdot h^2}{6}$$

Dacă în lineal sunt prelucrate găuri pentru ace, se va ține seamă de acestea la stabilirea valorii a .

Au fost prezentate doar aspectele mai importante privind proiectarea trenurilor de laminat cu lineale și șuruburi-melc clasice. Se impune urmărirea și altor probleme, ca:

- determinarea condițiilor de trecere a camelor prin golul filetelui, necesare pentru stabilirea profilului spațial și grosimii camelor;
- stabilirea profilelor la capetele glisierelor și corijarea filetelui la extremitățile melcilor pentru evitarea blocării și ciocnirilor între lineale;

- soluționarea barelor directoare din zonele de coborâre și urcare a linealelor, bare care au și rol de frânare.

O soluție îmbunătățită pentru antrenarea linealelor cu șuruburi melc este prezentată în figura 5.24, folosită de firma Ingolstadt -Germania.

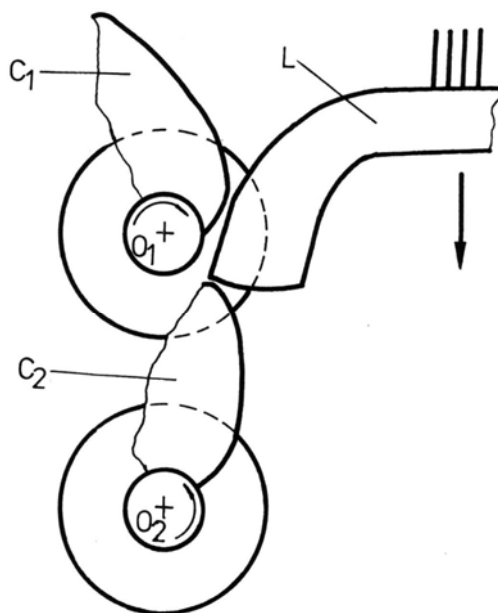


Fig. 5.24

Linealele L au capetele profilate astfel încât în fazele de coborâre și ridicare, deplasarea și menținerea lor în poziții stabile, fără blocare, să se efectueze cu ajutorul camurilor C_1 și C_2 cu profile corespunzătoare, fixate de melcii O_1 și O_2 .

Se reduce apreciabil șocurile asupra linealelor și se înlătură necesitatea utilizării barelor directoare și de frânare de la sistemul clasic. În asemenea condiții, astfel de mecanisme asigură viteze de lucru superioare, nivel mai scăzut de zgomot, fiabilitate sporită.

Capitolul 6

FLAIERE

Trecerea de la bandă la fir, de cele mai multe ori, nu se face direct, ci printr-o fază tehnologică intermediară, numită filare preliminară. Aceasta se realizează pe flaiere, sau pe laminoare finisoare, la care se obține semitort, o înșiruire de fibre cu torsiune reală, sau pretort – o înșiruire de fibre cu torsiune falsă.

Flaierul este prezent obligatoriu în procesele de prelucrare a firelor fine, de calitate superioară, când este necesară o treaptă de laminare suplimentară, care va asigura uniformitatea caracteristicilor fizico-mecanice a firelor prelucrate.

Operațiile tehnologice de bază realizate de flaiere sunt:

- laminarea semifabricatului alimentat (bandă sau semitort – când se folosesc mai multe flaiere succesive);
- torsionarea înșiruirii de fibre în scopul consolidării acestora pentru protejarea structurii semifabricatului;
- înfășurarea semitortului pe bobine;
- dublarea a două semitorturi la alimentare în vederea îmbunătățirii uniformității înșiruirii de fibre debitate.

Corepunzător acestor operații, flaierele sunt alcătuite din următoarele mecanisme principale:

- mecanismul de laminare (trenul de laminare);
- mecanismul de torsionare și înfășurare.

6.1. Flaierul în filatura tip bumbac

În tehnologia de obținere a firelor tip bumbac, flaierele precede mașina de filat cu inele, având rolul de a transforma banda în semitort, sau un semitort mai gros în unul mai subțire. Corepunzător operațiilor tehnologice pe care le realizează, laminare, torsionare și înfășurare, flaierele se compun din următoarele mecanisme și dispozitive:

- mecanismul de alimentare;
- mecanismul de laminare;
- mecanismul de torsionare;
- mecanismul de înfășurare;
- dispozitive de control.

În figura 6.1 este prezentată schema tehnologică a flaiierului. Banda din cămile 1 este trasă de cilindri 2, intră în trenul de laminare 3 unde este transformată într-o înșiruire subțire care, prin torsiunea primită de la furca 4 și fusul 7, devine semitort. Fusul primește mișcare prin angrenajul 9 montat pe banca fixă 11. Semitortul trece prin brațul gol al furcii, degetul presător 6 și se înfășoară, concomitent cu procesul de formare, pe bobina 6, antrenată în mișcarea de rotație prin angrenajul 8. Banca mobilă 10 execută o mișcare de translație, de ridicare și coborâre.

Mecanismul de alimentare este alcătuit din cămile de alimentare și cilindri de tragere - la flaiierul mediu, iar la flaiierul fin dintr-un rastel pentru bobinele cu semitort.

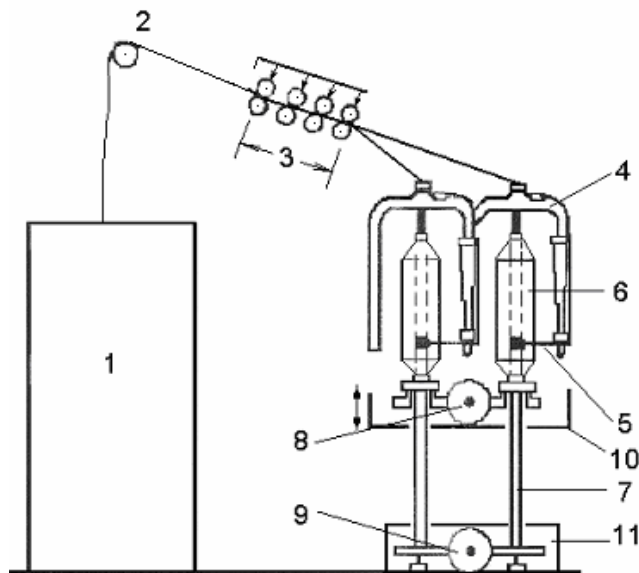


Fig. 6.1 Schema tehnologică a flaiierului

Trenul de laminare al flaiierelor pentru bumbac este de diferite tipuri constructive: 4/4, 3/3, 3/4, cu două curelușe, sau fără curelușe, cu linia de prindere a cilindrilor orizontală, sau puțin înclinată, realizate fie de

constructorii de flaiere, fie de firme specializate care produc subansamble de mașini, ca de exemplu, firmele TEXPARTS și Süessen.

Din punct de vedere constructiv și funcțional, trenul de laminare de la flaiier nu diferă de cel de la laminor sau mașina de filat cu inele. Cilindri inferiori sunt din oțel, cu caneluri trapezoidale, cu diametrul funcție de lungimea de fibră prelucrată. Cilindrului alimentator și debitor au același diametru, iar cel intermediar cu 2...5 mm mai puțin, cu scopul realizării unui ecartament mai strâns, pentru cazul prelucrării unui bumbac cu lungime mai mică de fibră. Curelușele au rol de transport și de control al fibrelor în câmpul de laminare principal. Curelușa superioară este ghidată de un cadru metalic - port – curelușă.

Firma TEXPARTS produce pentru flaiere trenuri de laminare cu brațe de presiune din seria PK 1500 pentru trenurile de laminat 3/3 și curelușă dublă și 4/4 cu curelușă dublă situată între cele două perechi de cilindri intermediari; seria PK 1600 este destinată trenurilor de tipul 4/4 cu două curelușe situate în câmpul principal de laminare, recomandate pentru prelucrarea firelor pieptănate din bumbac sau din amestecuri tip bumbac.

Forța de apăsare pe cilindri superiori este exercitată prin arcuri elicoidale (TEXPARTS), arcuri lamelare (Süessen), sau cu sisteme pneumatice (Rieter), montate în casete rabatabile de care sunt articulați și cilindri superiori, cu posibilități de reglare a presiunii pe fiecare pereche de cilindri.

Firma TEXPARTS echipează brațele de presiune cu dispozitive optice care comandă oprirea automată a mașinii la ruperea semitortului.

Mecanismul de torsionare este alcătuit din ansamblul furcă – fus care, în majoritatea cazurilor, fac corp comun în mișcarea lor de rotație - figura 6.2. În figura 6.2 a) este reprezentată depunerea primul strat, iar în fig.6.2. b) depunerea ultimului strat al bobinei.

Elementele componente ale furcii sunt: bucușă 1 care se prelungește simetric, cu două brațe – brațul 2 este gol, cu rol de conducere a semitortului, iar brațul 3 este plin, de secțiune ovală, cu rol de echilibrare a brațului de lucru. Pentru introducerea semitortului brațul cu canal este prevăzut cu o tăietură în linie ondulată 4 pentru a preveni aruncarea semitortului în afară, datorită forței centrifuge generată de turația furcii. Tot pe acest braț, prin două coliere, este articulată tija 5 a degetului presător 6, care contolează tensiunea din semitort contribuind la asigurarea densității de înfășurare - figura 6.3.

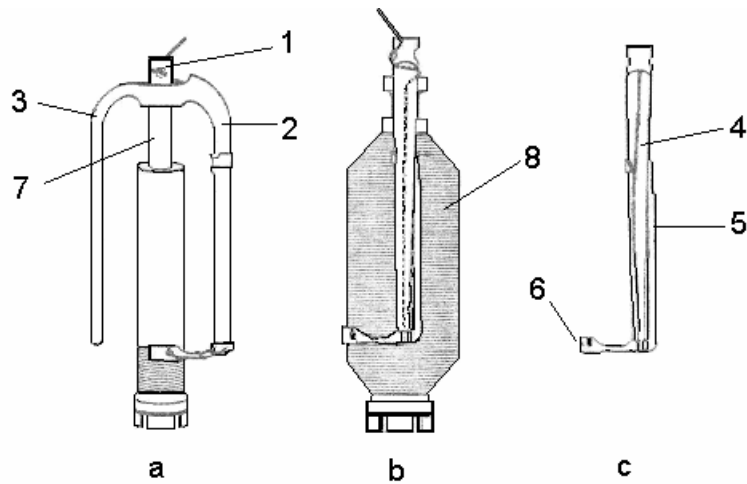


Fig. 6.2 Elementele componente ale furcii

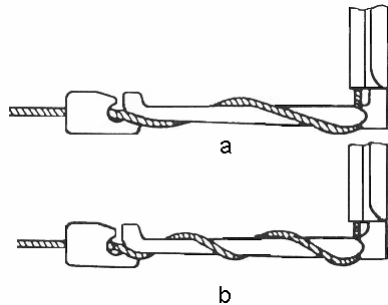


Fig. 6.3. Controlul semitortului de către degetul presător
 a – semitort înfășurat o dată; b – semitort înfășurat de două ori.

Poziția de intrare a semitortului în capul furcii poate fi urmărită în figura 6.4 datorită frecării înșiruirii de fibre pe muchia buçei, aceasta primește o torsiune falsă dată de relația:

$$T_f = \frac{\pi \cdot D}{\pi \cdot d} \cdot k$$

unde: d este diametrul semitortului;

D - diametrul buçei;

k - coeficient subunitar ce ține cont de pierderile prin alunecare.

Torsiunea falsă creată mărește rezistența la tracțiune a semitortului în zona cilindri debitori-furcă, iar pentru a simplifica acest fenomen, pe bușele 1 se montează pretorsoare speciale 2; în acest caz, torsiunea falsă va fi:

$$T'_f = \frac{\pi \cdot D_1}{\pi \cdot d} \cdot k$$

Deoarece $D_1 > D$, rezulta $T'_f > T_f$.

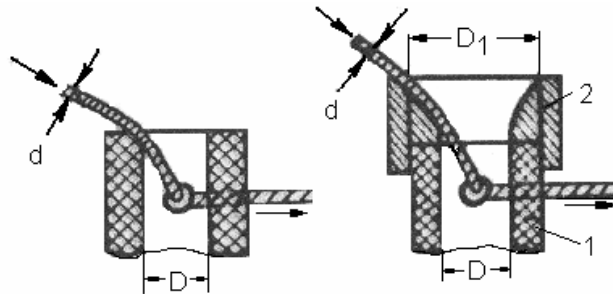


Fig. 6.4 Intrarea semitortului în capul furcii

În vederea creșterii densității de înfășurare, s-a mărit unghiul de torsiune falsă prin utilizarea unor condensatoare speciale - figura 6.5.

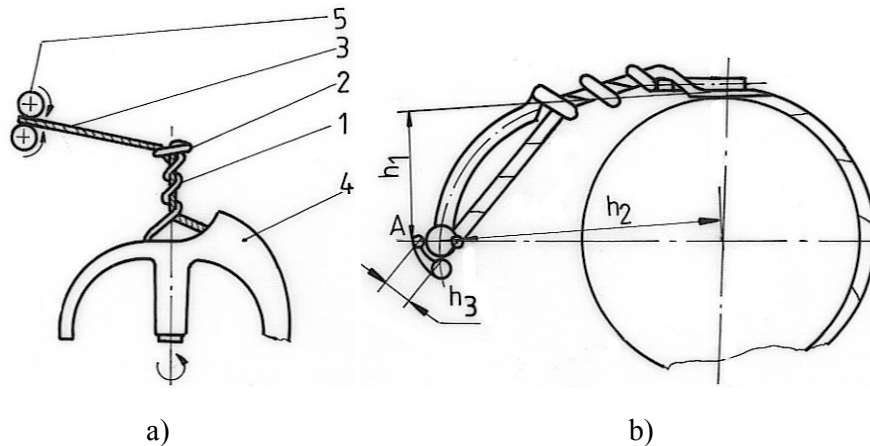


Fig. 6.5 Dispozitive speciale care permit creșterea densității de înfășurare

Condensatorul este executat dintr-o bară metalică de forma unei spirale 1 cu capătul superior de forma unui inel de conducere 2 pentru intrarea semitortului 3, figura 6.5 a. Condensatorul este fixat rigid pe furca 4 și permite reducerea amplitudinilor oscilațiilor semitortului. Tot în acest sens s-a propus realizarea unui deget presător special, conform figurii 6.5 b.

Producția flaiierului depinde în mod esențial de turația fuselor care este limitată atât de factori tehnologici (rezistența slabă și neregularitatea semitortului) cât și de factori mecanici (forma furcilor și vibrația fuselor).

Elementele ce condiționează înfășurarea semitortului pe bobină

S-au efectuat diverse studii pentru a stabili forțele care acționează asupra semitortului de la debitarea acestuia de trenul de laminare până la înfășurarea lui pe bobină, precum și pentru acțiunea degetului presător în timpul procesului de înfășurare.

În figura 6.6 sunt prezentate forțele ce acționează în diferitele porțiuni ale semitortului. Ca punct de plecare s-a ales forța F_1 care se consideră aproximativ constantă, între triunghiul de torsionare și capul furcii.

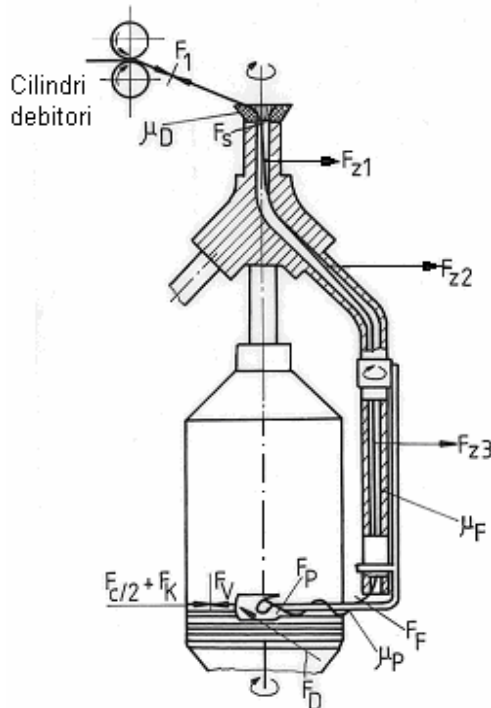


Fig. 6.6 Forțele care acționează asupra semitortului

Torsiunea falsă creată de pretorsor, caracterizat printr-un coeficient de frecare μ_D , poate asigura o creștere cu aproximativ 20% a torsiunii.

După trecerea peste pretorsor, detorsionarea duce la reducerea forțelor longitudinale din semitort. În brațul furcii are loc o frecare normală creată de forța centrifugă și o frecare de înfășurare creată de forța de tracțiune existentă.

Coeficientul de frecare μ_F pentru întregul braț al furcii poate fi considerat constant, dacă au loc aceleași condiții de frecare în cele trei zone ale brațului. La ieșire din brațul furcii semitortul se înfășoară sub un unghi de 30^0 și un coeficient de frecare μ_p pe degetul presător, până la plăcuța de presare.

Dacă coeficienții de frecare μ_D, μ_F, μ_p se consideră egali cu μ , atunci, forța longitudinală a semitortului înaintea plăcuței, F_p va avea forma:

$$F_p = F_l \cdot e^{\mu \cdot 2,31\pi} + l_p \cdot T t_v \cdot r_F \cdot \omega_F^2 \cdot e^{\mu \cdot 1,8\pi}$$

în care: $T t_v$ este densitatea liniară a semitortului, în tex;

ω_F - viteza unghiulară a furcii, în s^{-1} ;

r_F - raza furcii, în m;

l_p - poziția semitortului în brațul furcii.

Prin repartiția maselor de pe brațul degetului de presiune, apare o forță de apăsare pe bobină F_D , dependentă de raporturile geometrice.

Un studiu efectuat la un flaiier Textima a pus în evidență faptul că mișcarea degetului presător se realizează în punctul A , prin intermediul a două lagăre, superior și inferior la brațul furcii, figura 6.7.

Mișcarea degetului presător în timpul formării bobinei este în formă de cerc și poziția sa se modifică la începerea depunerii unui nou strat de semitort. Punctul B este punctul de contact a plăcuței degetului, deci punctul de înfășurare care se modifică în fiecare moment cu diametrul bobinei. Forma zonei orizontale a degetului este considerată ca un arc de cerc corespunzător unghiului de 90^0 .

Dacă se consideră masa zonei verticale a degetului presător concentrată în punctul R și a zonei orizontale concentrată în punctul S se pot determina pe baza datelor cunoscute coordonatele celor două centre de masă (x_s, y_s, x_R, y_R).

În figurile 6.8 și 6.9 sunt prezentate forțele care acționează, în fazele caracteristice pentru începutul și sfârșitul formării bobinei, pentru o furcă clasică de la flaiierul Textima.

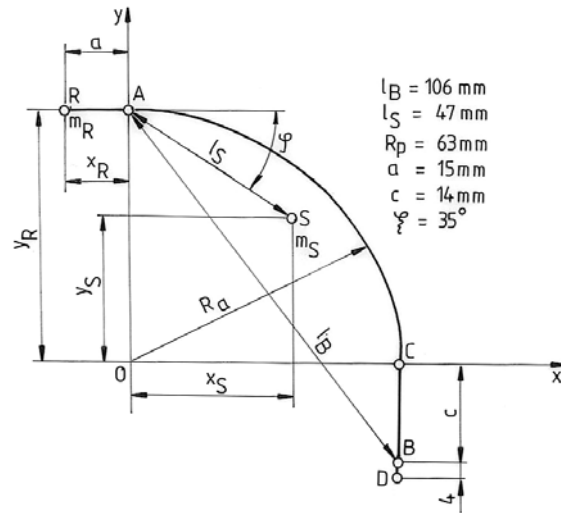


Fig. 6.7 Modelul degetului presător de la o furcă de flaiier

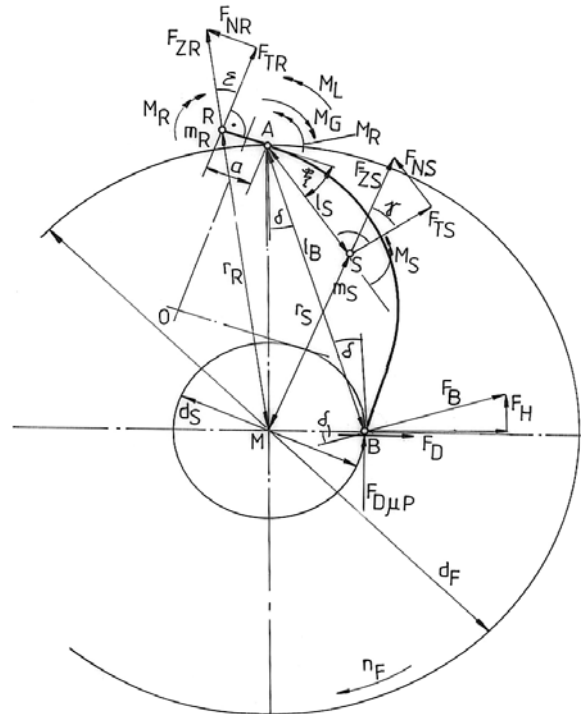


Fig. 6.8 Forțele ce apar la înfășurarea primul strat de semitort

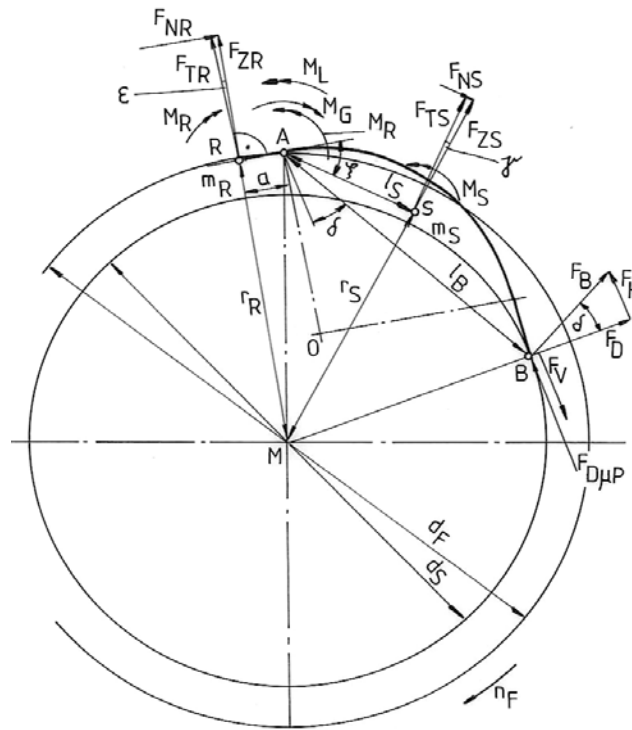


Fig. 6.9 Forțele ce apar la înfășurarea ultimului strat de semitor

Asupra celor două mase m_s și m_R , la mișcarea de rotație a furcii, acționează forțele centrifuge F_{zs} și F_{zR} pe direcția liniei ce unește centrele de masă S și R cu centrul furcii M , obținându-se segmentele r_s și r_R .

Forțele centrifuge nu sunt constante pe parcursul formării unei bobine, deoarece ele depind de unghiul de basculare al degetului presător δ , care este variabil.

Forțele centrifuge se descompun fiecare într-o componentă tangențială F_T și o componentă normală F_N . Forțele tangențiale ale maselor produc prin intermediul brațelor l_s și a momente de rotație față de lagărul A . Datorită faptului masa tijei degetului presător este mult mai mare decât

masa brațului său orizontal $\left(\frac{m_R}{m_s} = \frac{5}{1}\right)$ rezultă, în cazul unei rotații spre

dreapta a furcii, un moment de rotație în sensul acelor de ceasornic.

Prin intermediul brațului l_s acționează în punctul de contact B , o forță F_B perpendiculară pe linia imaginară $A-B$.

Forța de compresare F_D a degetului presător asupra bobinei acționează în punctual de contact B, spre centrul furcii, pe linia B-M. Bobina opune o forță egală ca mărime, dar de sens contrar, care determină densitatea de înfășurare a bobinei.

Ținându-se cont de toate forțele ce acționează în timpul procesului de torsionare-înfășurare, între care: rezistența aerului la tija degetului presător, forța de frecare în lagăr ca urmare a creșterii diametrului bobinei, tensionarea semitortului pentru asigurarea formării bobinei și forța de frecare dintre plăcuța degetului presător și bobină în funcție de viteza relativă, toate acestea corelate cu parametri geometrici asigură un echilibru de momente în jurul punctului A, conform relației:

$$-M_1 - M_{fr} + F_{TR} \cdot a - F_{TS} \cdot l_s - F_D \cdot \mu_p \cdot l_B \cdot \sin \delta - F_D \cdot \operatorname{tg} \delta \cdot \sin \delta \cdot l_B - \\ - F_D \cdot l_B / \cos \delta = 0$$

în care: M_1 este momentul de frecare cu aerul;

M_{fr} - momentul de frecare în lagăr;

μ_p - coeficientul de frecare între materialul fibros și deget.

Calcululele duc la o funcționare descrescătoare a forței de apăsare, odată cu creșterea diametrului bobinei, cu aproximativ o treime față de valoarea de început.

Ca urmare a lățimii plăcuței degetului presător, forța sa de apăsare F_D este repartizată pe mai multe spire, fiind astfel redusă cu un factor dependent de finețea semitortului - figura 6.10.

Prin intermediul forței centrifuge din timpul înfășurării se creează în semitort o tensiune longitudinală $F/2$ ce depinde de diametrul bobinei și finețea semitortului.

Pe baza forțelor ce acționează în procesul de înfășurare apare în semitort o forță longitudinală suplimentară, dependentă de condițiile de înfășurare. Pentru formarea bobinei, forța de înfășurare F_v creată de proces trebuie să fie mai mare decât $F/2$.

Datorită faptului că forța de frecare F_p și tensiunea înșiruirii F_1 nu depind de obicei de diametrul bobinei, forța F_v va deveni o funcție a forței de apăsare F_D .

Pe baza studiilor efectuate s-a stabilit că forțele ce acționează în timpul procesului, asupra materialului, influențează în mod diferit calitatea acestuia. Astfel, forța de apăsare nu influențează în mod negativ structura semitortului, deoarece în momentul acționării forței, semitortul

este condensat, mărindu-se astfel rezistența sa la tracțiune. Deci nu există motive ca semitorul să se rupă sub degetul presător sau în continuare.

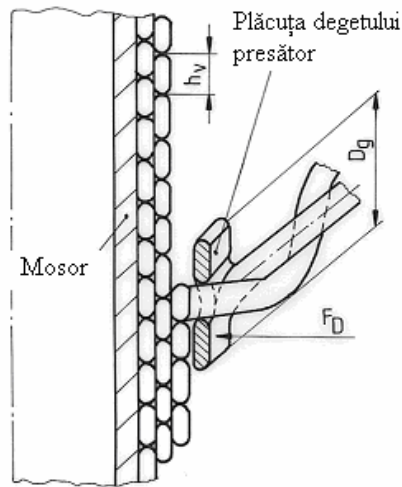


Fig. 6.10 Zona de acțiune a plăcuței degetului presător

La analiza forțelor de solicitare a semitorului s-a constatat că două zone prezintă influențe deosebit de nefavorabile asupra procesului de formare a semitorului și anume: muchia de ieșire din brațul furcii și înfășurarea pe degetul presător. S-a constatat că prin remedierea formei degetului presător, poate fi îmbunătățită calitatea semitorului prin reducerea forțele de frecare din jurul degetului presător, ce conduce implicit la creșterea vitezei de înfășurare.

La flaierele clasice mișcările necesare asigurării fiecărui element de structură al înfășurării sunt realizate centralizat, printr-o transmisie mecanică complicată.

Prin realizarea unei structuri descentralizate de antrenare, au fost posibile: creșterea vitezelor de lucru, îmbunătățirea calității semitorului, îmbunătățirea condițiilor de lucru, economie de material, automatizarea.

Cu ajutorul unei cutii de viteze electronice este posibil un reglaj suplimentar al procesului, care are la bază tensionarea semitorului, stabilită prin mărirea săgeții formate pe porțiunea cilindri debitori – capul furcii - figura 6.11.

Inițializarea comenzii se face înainte de începerea levatei, cu precizarea valorilor tuturor parametrilor necesari: fizici și tehnologici pe baza cărora se calculează condițiile de funcționare cu ajutorul unui program al microcalculatorului.

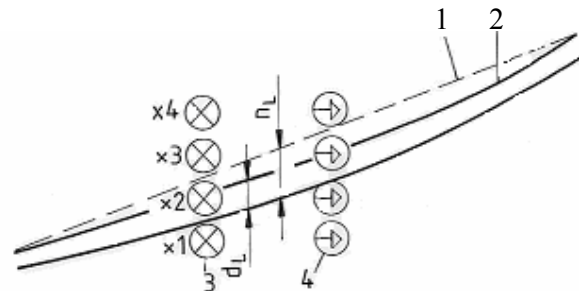


Fig. 6.11 Sondă de recepționare a poziției semitortului

1 – linia dreaptă între debitori și capul furcii; 2 – semitort; 3 – emițător de lumină; 4 – receptor; n_L – abatere de înălțime; d_L – diametrul semitortului

La flaierele moderne datorită turațiilor mari ale furcilor și a formatelor mari de înfășurare, vibrațiile furcilor constituie o problemă majoră. De aceea furcile sunt realizate din aliaje de metal ușor, cu profil aerodinamic - figura 6.12.

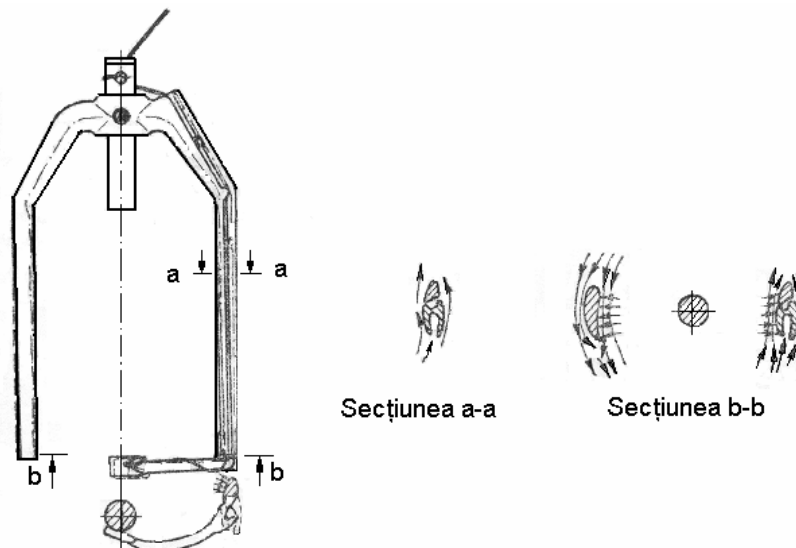


Fig. 6.12 Furcă de flaiier cu profil aerodinamic

Cu un astfel de tip de furcă s-a ajuns la viteze de 1500 rot/min, iar greutatea bobinei a crescut cu până la 35%. Datorită unei îndoituri progresive a furcii, a crescut tensiunea în semitort și implicit a crescut cu aproximativ 15-20% densitatea de înfășurare a bobinei. Forma secțiunii brațelor diminuează acțiunea curenților turbulenți.

Deoarece furcile sunt așezate pe două rânduri, geometria traseului semitortului este diferită, prin lungimile de semitort între cilindri debitori și capul furcii (mărimile D) și prin unghiul pe care îl face direcția semitortului cu axa bobinei α , figura 6.13. Acest lucru determină variații diferite ale tensiunii, respectiv ale laminajelor false din semitort, pe cele două rânduri de furci, cel din spate 1 și cel din față 2.

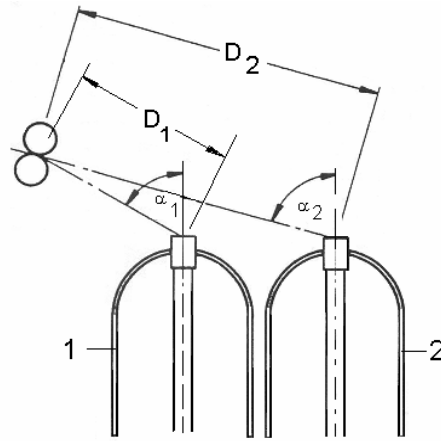


Fig.6.13 Traseul semitortului între cilindri debitori și capul furcii pentru cele două rânduri de furci

Pentru înlăturarea acestui neajuns, respectiv, pentru menținerea unor laminaje false cât mai mici, unele firme constructoare folosesc pretorsoare cu diametre diferite pentru cele două rânduri de furci, sau dispun pretorsoarele la înălțimi diferite, asigurându-se în acest fel același unghi de intrare a semitortului în capul furcii (firma Zinser) - figura 6.14.

Furca primește mișcare de rotație de la fus. La fiecare rotație a furcii, se formează o răsucitură care se propagă până la cilindri debitori ai trenului de laminare. Deci torsiunea semitortului se va calcula cu relația:

$$T = \frac{n_f}{V_d \cdot L_f} \quad (6.1)$$

unde: n_f este turația furcii, în rot/min;
 V_d - viteza de debitare, în m/min;
 L_f - laminajul fals din zona cilindri debitori–capul furcii ($L_f = 1,01 - 1,03$).

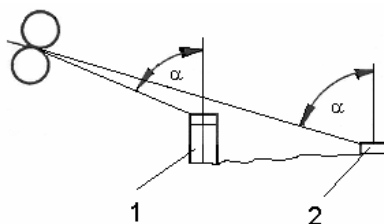


Fig. 6.14 Poziție similară de intrare a semitorului în capul furcii, datorită supraînălțării pretorsorului la furcile din spate 1

Caracteristicile tehnologice ale furcii sunt:

- turația – la flaierele clasice medii este de 600 – 800 rot/min, iar la cele fine până la 1000 rot/min; la flaierele moderne se ating turații până la 1500 rot/min.;
- deschiderea furcii – care determină diametrul bobinei; la flaierele moderne diametrul bobinei ajunge la 180 mm.;
- înălțimea brațelor furcii – ce determină înălțimea bobinei, respectiv cursa băncii bobinelor, ajungând la flaierele moderne la 300 – 350 mm.

Fusul este executat din oțel, cu diametrul de 13 – 33 mm, în funcție de greutatea bobinei. La partea superioară, este de formă conică și are o creștătură în care intră un știft al furcii, pentru ca cele două organe să funcționeze ca un corp comun în mișcarea lor de rotație.

Fusul primește mișcare printr-un lanț cinematic, direct de la electromotor; deci fusul, respectiv furca au turații constante - figura 6.19.

Furcile sunt așezate pe două rânduri, astfel încât brațele lor să nu se atingă.

Perfecționările aduse mecanismului de torsionare au vizat creșterea turației furcilor prin: modificarea sistemului de antrenare (furci suspendate antrenate prin intermediul roților sau a curelelor dințate); prin optimizarea profilului aerodinamic al furcii; prin furci construite din aliaje speciale, ușoare;

Mecanismul de înfășurare este format din ansamblul bobină–fus–furcă, precum și transmisiile la aceste organe lucrătoare.

Cele două organe care participă la înfășurarea semitortului sunt bobina și furca. Ambele execută două mișcări relative: una de rotație și una de translație, ambele față de axa bobinei. Înfășurarea este cilindrică, paralelă. Straturile cilindrice au lungimi descrescătoare de la H_0 , lungimea primului strat de diametru d_0 , la H_m lungimea ultimului strat de diametru d_m , forma bobinei pline fiind cilindrică, biconică - figura 6.15.

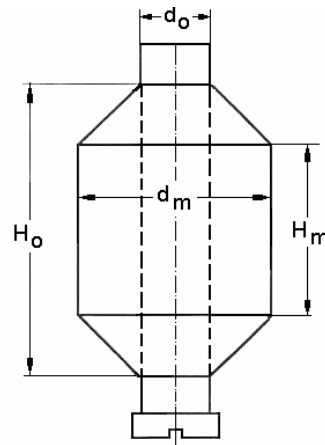


Fig.6.15 Bobină cu semitort

Condițiile corecte de funcționare a organelor de lucru rezultă din particularizarea legilor generale ale înfășurării pentru flaiere.

Prima lege:

$$u = l_1 |n_B - n_c| = l_1 \cdot n_x$$

$$u = V_d \cdot L_f \approx V_d$$

$l_1 = 2 \cdot \pi \cdot r$ - fiind înfășurare paralelă;

$n_B \rightarrow n_b$ - turația bobinei;

$n_c \rightarrow n_f$ - turația furcii;

$\alpha = 0$ - deoarece generatoarea stratului este paralelă cu axa bobinei;

În condițiile de mai sus legea I-a devine:

$$V_d = 2 \cdot \pi \cdot r |n_b - n_f| \quad (6.2)$$

În filatura de bumbac se folosesc flaiere cu bobină activă, adică turația bobinei este mai mare decât turația furcii; deci, la un avans de o rotație completă, bobina realizează depunerea unei spire - figura 6.16.

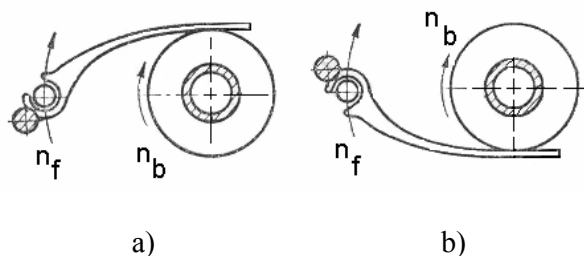


Fig. 6.16 Poziția degetului presător în timpul înfășurării semitortului pe bobină, la flaierele cu bobină activă (a) și la flaierele cu furcă activă (b).

Deci, pentru flaierele de bumbac legea I-a devine:

$$V_d = 2 \cdot \pi \cdot r \cdot (n_b - n_f) \quad (6.3)$$

de unde, turația bobinei va avea expresia:

$$n_b = n_f + \frac{V_d}{2 \cdot \pi \cdot r} \quad (6.4)$$

În relația (6.4) mărimile: n_f și V_d sunt constante pe tot parcursul formării bobinei, iar r - raza stratului variază de la strat la strat: $r_0 \leq r \leq r_m$.

Deci:

$$n_b = C_1 + \frac{C_2}{r_x} \quad (6.5)$$

ceea ce arată că bobina are o turație variabilă, hiperbolică - figura 6.17, funcție de raza de înfășurare r_x , asigurată de un variator cu conuri.

Pe baza ecuației (6.5) s-a executat profilul conului conducător al variatorului; acesta are curbura concavă, iar conul condus - convexă - figura 6.18.

Variatorul are rolul de a transforma o mișcare constantă, primită de la axul principal al mașinii, într-o mișcare variabilă transmisă băncii și

mosoarelor. Conul superior are viteză constantă, iar cel inferior viteză variabilă, în funcție de poziția curei de antrenare. Lungimea utilă a conurilor este funcție de numărul de straturi depus pe bobină și de mărimea unei deplasări. Sensibilitatea variatorului este dependentă de viteza conului conducător, de profilul hiperbolic al conurilor și de lățimea curei. La depunerea primului strat curea este deplasată pe conuri, în poziția inițială, manual sau automat.

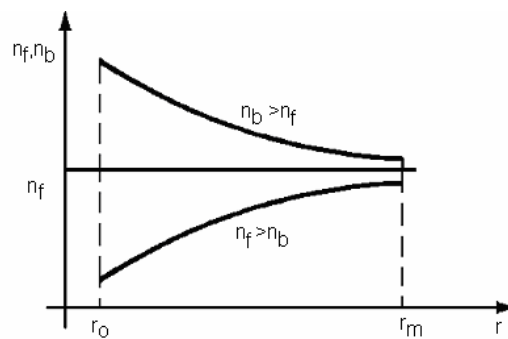


Fig. 6.17 Variația turației bobinei la flaiorul cu bobină activă ($n_b > n_f$) și la cel cu furcă activă ($n_b < n_f$)

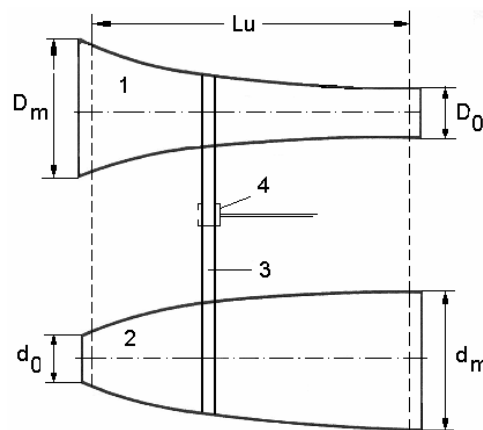


Fig.6.18 Variatorul cu conuri

1 – conul conducător; 2 – conul condus; 3 – curea; 4 – furcă;
 Lu – lungimea utilă a conurilor; D_0 , D_m – diametrul minim și maxim al conului superior; d_0 , d_m – diametrul minim și maxim al conului inferior

Legea a II-a a înfășurării, $V = u \cdot \frac{h}{l_1}$, pentru flaiier devine:

$$V = V_d \cdot \frac{h}{2 \cdot \pi \cdot r} = \frac{C}{r_x} \quad (6.6)$$

și arată că banca are mișcare de translație variabilă, hiperbolică, ce depinde de raza stratului de înfășurare r_x . Legea de mișcare este asigurată tot de variatorul cu conuri.

În figura 6.19 este prezentată schema bloc a mecanismelor și transmisiilor la organele lucrătoare ale flaiierului.

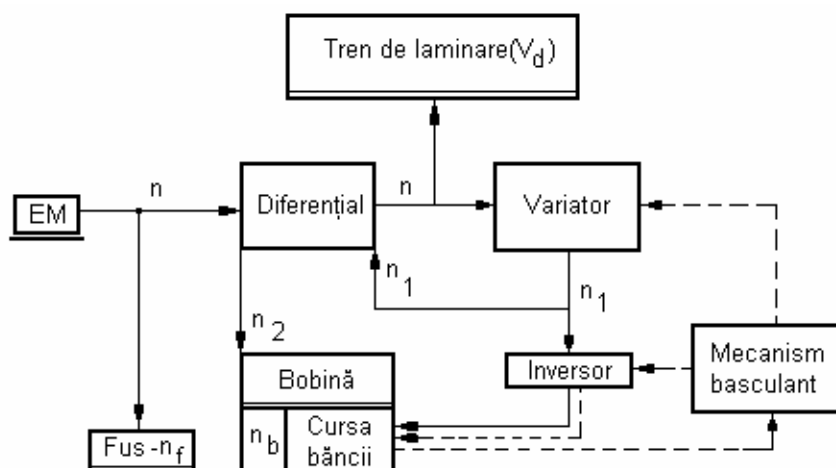


Fig. 6.19 Schema bloc a mecanismelor flaiierului
Linia plină – transmisie; linia întreruptă – comandă

Din schema bloc rezultă: bobina primește mișcare printr-un lanț cinematic în care se găsesc - variatorul cu conuri, diferențialul; fusul, respectiv furca direct de la electromotor (EM); banca bobinelor primește mișcare prin variator, inversor. Transmisiile distincte către fus – furcă, bobină, banca bobinelor sunt prezentate în figura 6.20.

Mecanismul basculant primește comandă de la bancă și la rândul său comandă următoarele mișcări:

- schimbă sensul de deplasare al băncii bobinelor, prin inversor;

- micșorează viteza bobinelor prin deplasarea curelei pe conuri;
- micșorează cursa băncii bobinelor pentru formarea conicității bobinei.

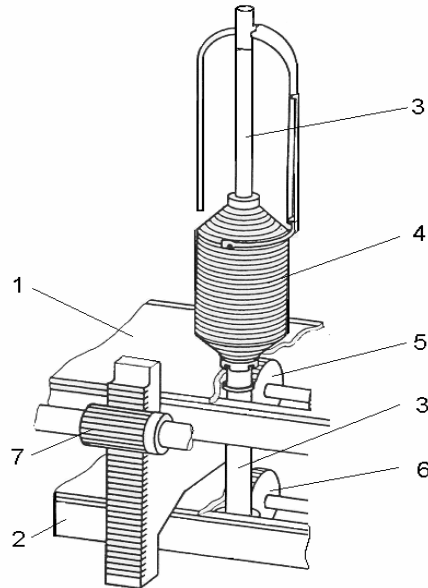


Fig. 6.20 Transmișiile către principalele organe de lucru ale flaierei
 1 – banca bobinelor; 2 – banca fuselor; 3 – fusul; 4 – bobina;
 5- transmisia către bobine; 6 - transmisia către fuse; 7 – transmisia către banca bobinelor

De la variator se transmite sarcina integrală necesară mișcării băncii moșoarelor, în timp ce la moșoare se transmite numai o parte din sarcina necesară mișcării acestora, cealaltă fiind primită de la arborele principal.

Diferențialul are rolul de a descărca variatorul cu conuri cu 60 – 75% din puterea necesară antrenării bobinelor, în vederea sensibilizării acestuia. Rolul lui este de a combina mișcarea constantă a arborelui principal, pe care acesta este montat, cu mișcarea variabilă primită de la variator, și trimite la bobine mișcarea rezultată.

Cele două mișcări se însumează cu formula generală a diferențialului:

$$n_2 = \alpha \cdot n \pm \beta \cdot n_1 \quad (6.7)$$

unde: n_2 este turația variabilă ieșită din diferențial;

n - turația constantă a arborelui principal;

n_1 - turația variabilă primită de la variator;
 α, β - factori de proporționalitate ai mărimilor n și n_1 .

Între α și β există relațiile:

Când: $i < 1$, $\alpha + \beta = 1$; $\alpha = 1 - \beta$; este cazul flaiierelor la care elementul activ este bobina;

Când: $i > 1$, $\alpha - \beta = 1$; $\beta = \alpha - 1$; este cazul flaiierelor la care elementul activ este furca.

În majoritatea cazurilor, flaierele au ca element activ bobina, deci $\alpha + \beta = 1$.

Pentru diferențialele cu șasiu liber - figura 6.21, $\alpha = i$; $\beta = 1 - i$ și rezultă:

$$n_2 = n \cdot i \pm n_1(1-i); i = \frac{z_1}{z_2} \cdot \frac{z_3}{z_4} \quad (6.8)$$

Pentru diferențialele cu șasiu fix - figura 6.22, $\alpha = 1 - i$; $\beta = i$ și rezultă:

$$n_2 = n(1-i) \pm n_1 \cdot i; i = \frac{z_1}{z_2} \cdot \frac{z_3}{z_4} \quad (6.9)$$

unde „ i ” este raportul de transmitere al diferențialului.

Semnul (+) sau (-) se ia în funcție de sensul lui n_1 și n , iar raportul de transmisie i poate avea și el semnul (+) sau (-). La flaierele de bumbac, în majoritatea cazurilor raportul este pozitiv.

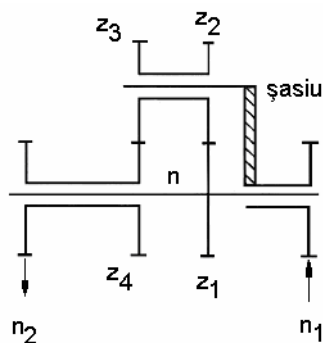


Fig. 6. 21 Diferențial cu șasiu liber

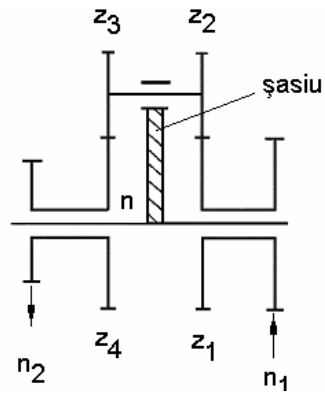


Fig. 6.22 Diferențial cu șasiu fix

În continuare sunt prezentate câteva tipuri de diferențiale folosite pentru flaiere: cu șasiu fix – figura 6.23 a, b, c; cu șasiu liber – figura 6.24.

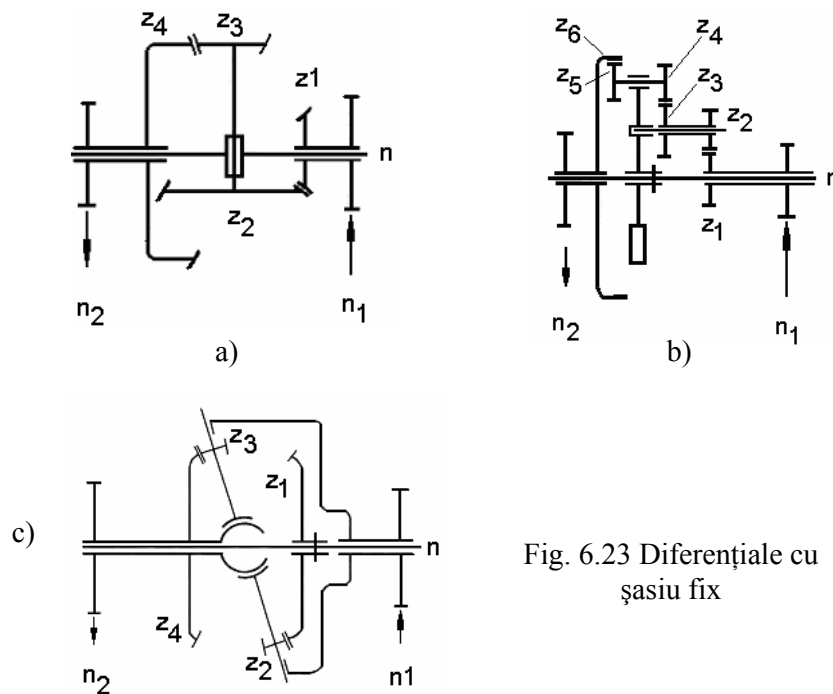


Fig. 6.23 Diferențiale cu șasiu fix

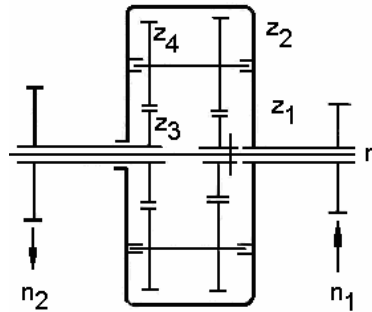


Fig. 6.24 Diferențial cu șasiu liber

Transmisia în cot

Deoarece roata de ieșire a diferențialului are o poziție fixă, în timp ce bobina execută și o mișcare de translație, menținerea angrenajului este efectuată cu diferite mecanisme ca: transmisii în cot cu 3 sau 5 roți, transmisii cu lanț și braț compensator, transmisii telescopice.

La flaierele clasice sunt folosite transmisii în cot, alcătuite din trei roți legate prin două brațe - figura 6.25.

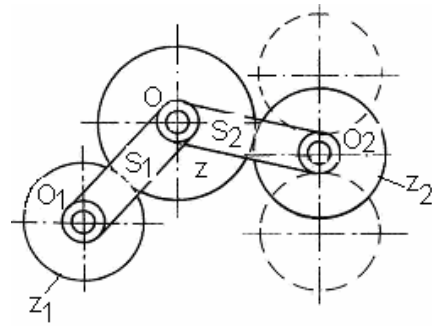


Fig. 6.25 Transmisie în cot

De la roata Z_1 a diferențialului mișcarea se transmite prin roata Z la roata bobinelor Z_2 , care datorită brațelor S_1 și S_2 , ce se rotesc în jurul centrelor O_1 și O , devine roată planetară. De aceea roata Z_2 , la ridicare și la coborâre, va primi un număr suplimentar de rotații în plus, respectiv în minus. Acest lucru are un efect negativ asupra tensiunii semitortului, care poate genera laminaje false.

Pentru determinarea *mişcării suplimentare* se consideră sistemul O_1OO_2 rigid, roata Z_1 staționară; se descompune mișcarea sistemului în patru componente pentru care se va determina numărul de rotații ale roții Z_2 . Componentele 1 și 2 se consideră în zona de rotație a brațului ipotetic O_1O_2 cu unghiul α_1 , sub orizontala I-I, când centrul O_2 ajunge în O_{2a} , respectiv O_{2b} , iar centrul O în O_a - figura 6.26:

- 1. Prin rotirea brațului S_1 cu unghiul α_1 roata Z_2 va efectua un număr de rotații dat de ecuația unui diferențial cu șasiu liber:

$$n_{2a} = \frac{\alpha_1}{360} \left(1 - \frac{Z_1}{Z_2}\right) \quad (6.10)$$

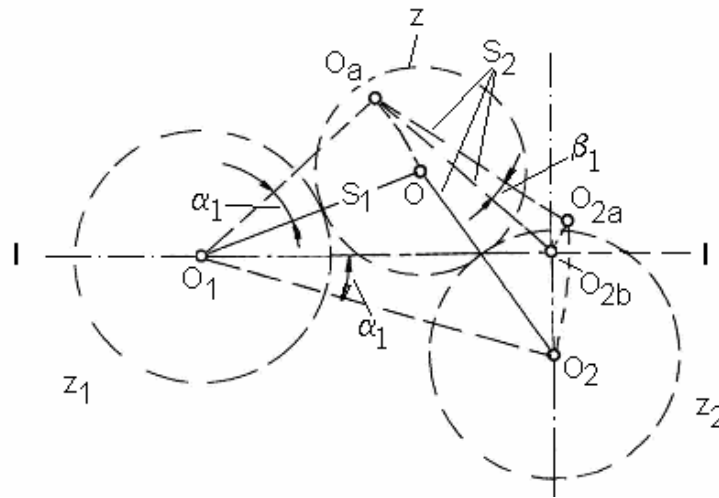


Fig.6.26 Elementele pentru calcularea mișcării suplimentare, sub linia I-I

- 2. Deoarece O_2 ajunge în O_{2b} , brațul O_aO_{2a} se va roti cu unghiul β_1 și va determina rotirea roții Z_2 cu n_{2b} :

$$n_{2b} = \frac{\beta_1}{360} \left(1 + \frac{Z_1}{Z_2}\right) \quad (6.11)$$

În zona superioară liniei I-I situația este similară - figura 6.27, obținându-se celelalte două componente:

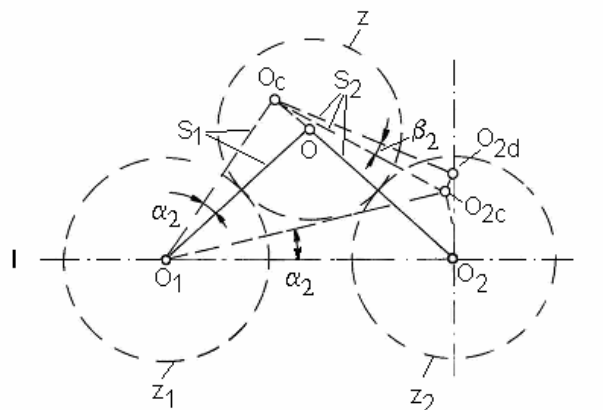


Fig.6.27 Elementele pentru calcularea mișcării suplimentare, peste linia I-I

- 3. Sistemul se rotește în jurul centrului O_1 până ce O_{2b} ajunge în O_{2c} , iar brațul S_1 se rotește cu unghiul α_2 . Rezultă:

$$n_{2c} = \frac{\alpha_2}{360} \left(1 - \frac{Z_1}{Z_2}\right) \quad (6.12)$$

- 4. Brațul S_2 se rotește cu unghiul β_2 și generează:

$$n_{2d} = \frac{\beta_2}{360} \left(1 + \frac{Z_1}{Z_2}\right) \quad (6.13)$$

Numărul total de rotații suplimentare al roții Z_2 , la cursa de ridicare a băncii bobinelor va fi:

$$n_{2a} + n_{2b} + n_{2c} + n_{2d} = \frac{1}{360} \left[(\alpha_1 + \alpha_2) \left(1 - \frac{Z_1}{Z_2}\right) + (\beta_1 + \beta_2) \left(1 + \frac{Z_1}{Z_2}\right) \right] \quad (6.14)$$

Pentru micșorarea acestei mișcări suplimentare roțile Z_1 și Z_2 au același număr de dinți, deci primul termen din dreapta ecuației (6.14) este egal cu zero.

Datorită deficiențelor menționate anterior, s-au realizat diverse mecanisme ca cele prezentate în figurile 6.28 și 6.29.

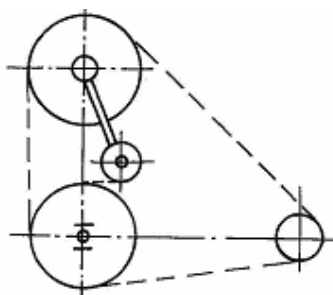


Fig. 6.28 Transmisie în cot cu lanț și braț compensator

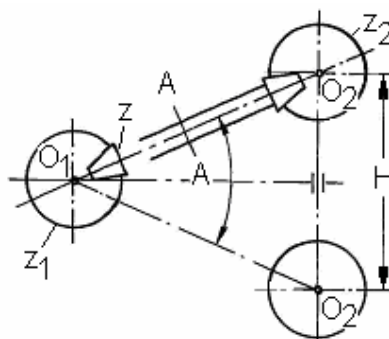


Fig. 6.29 Transmisie telescopică

Reglajele care se efectuează la flaiere sunt:

- reglajul fineții semitortului, având ca element de reglaj - roata de laminaj R_L ;
- reglajul torsiunii, cu elementul de reglaj – roata de torsiune - R_T ;
- reglajul înfășurării:
 - reglajul tensiunii semitortului la începutul înfășurării, cu elementul de reglaj – roata diferențialului - R_D ;
 - reglajul tensiunii semitortului la formarea bobinei, cu elementul de reglaj – roata stea - R_S ;
 - reglajul pasului spirelor, cu elementul de reglaj – roata băncii - R_B ;

- reglajul conicității bobinei, cu elementul de reglaj – roata conicității – R_C - figura 6.30.

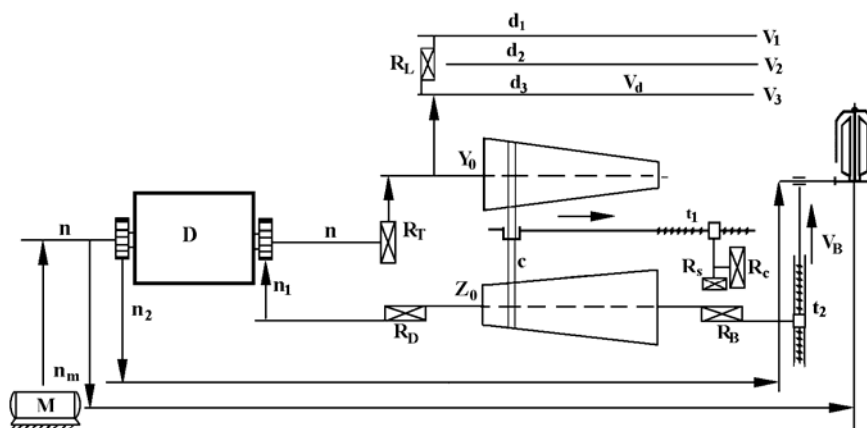


Fig. 6.30 Elementele de reglaj ale flaiierului

Perfecționările mecanismului de înfășurare au avut drept scop menținerea tensiunii din semitort constantă pe tot parcursul formatului de înfășurare. Acest lucru poate fi asigurat prin reglarea corectă a parametrilor de structură ai înfășurării care se face prin perfecționarea și precizia executării mecanismelor corespunzătoare.

În această direcție pot fi menționate:

- înlocuirea conurilor cu profil hiperbolic cu conuri cu profil drept, pe care cureaua se deplasează cu distanțe inegale, fiind comandată de o camă cu profil hiperbolic; prezintă avantajul reducerii alunecării curelei pe conuri (Toyota);
- înlocuirea variatorului cu conuri cu un servomotor comandat electronic de la o unitate centrală, care asigură menținerea tensiunii pe tot parcursul înfășurării (Howa, tip RMH);
- asigurarea simultană a mișcării de rotație și de translație a bobinelor prin intermediul unor arbori cu dublă articulație, montați pe rulmenți cu ace (Zinser), sau prin intermediul unor transmisii cardanice (Toyota, Rieter);
- dispozitive de control și reglare automată a tensiunii în semitort în timpul înfășurării. Firma Toyota realizează un dispozitiv cu senzori optici plasați între trenul de laminare și capul furcii, care transmit semnale unei unități ce va modifica poziția curelei pe conuri.

6.2. Elemente de proiectare a furcilor de flaiier

Tipurile constructive de furci de flaiier sunt cunoscute de la disciplinele tehnologice de specialitate.

După modul de fixare al furcilor de organelle de antrenare se deosebesc două variante constructive:

- furci acționate prin fuse - figura 6.31 a);
- furci suspendate - figura 6.31 b).

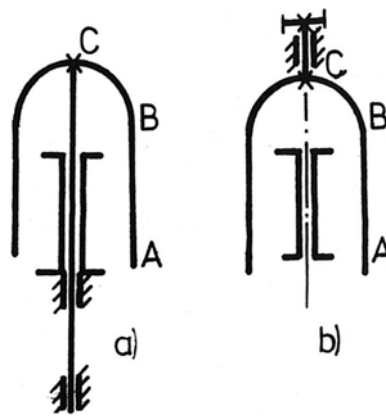


Fig. 6.31

În ultima perioadă s-a extins utilizarea furcilor suspendate, întrucât aduc avantaje de ordin constructiv (transmisii prin curea dințată) și tehnologic (ușurarea efectuării levatei).

Pentru a corespunde cerințelor de exploatare, furcile trebuie să îndeplinească următoarele condiții din punct de vedere mecanic:

- *rezistență pentru brațe* (la vitezele maxime de rotație utilizate în exploatare să nu depășească limita de curgere a materialului);
- *deformații elastice limitate a brațelor*, concomitent cu realizarea acelorași valori pentru cele două brațe;
- *evitarea fenomenelor de rezonanță* pentru ansamblul furcă-organ de antrenare, care pot fi cauzate de masele de dezechilibrare ale acestor organe rotitoare;
- *echilibrare statică* pentru cazul în care degetul presător se află în poziția corespunzătoare umplerii pe jumătate a bobinei;
- *echilibrare dinamică*;
- *rezistență aerodinamică cât mai redusă*;

- *suprafețe netede* atât pe traseul semitortului, cât și la exterior, în vederea evitării agățării fibrelor și scamelor;
- *masă și moment de inerție cu valori scăzute* pentru diminuarea consumurilor de energie în exploatare;
- *introducerea ușoară a semitortului* și evitarea îndepărtării lui sub acțiunea forțelor centrifuge;
- *preț de cost scăzut* prin folosirea aliajelor din duraluminiu turnate în matrițe.

6.2.1. Stabilirea gradului de solicitare a brațului de echilibrare a furcilor de flaier

Pe desenul din figura 6.32 sunt indicate principalele dimensiuni ale furcii.

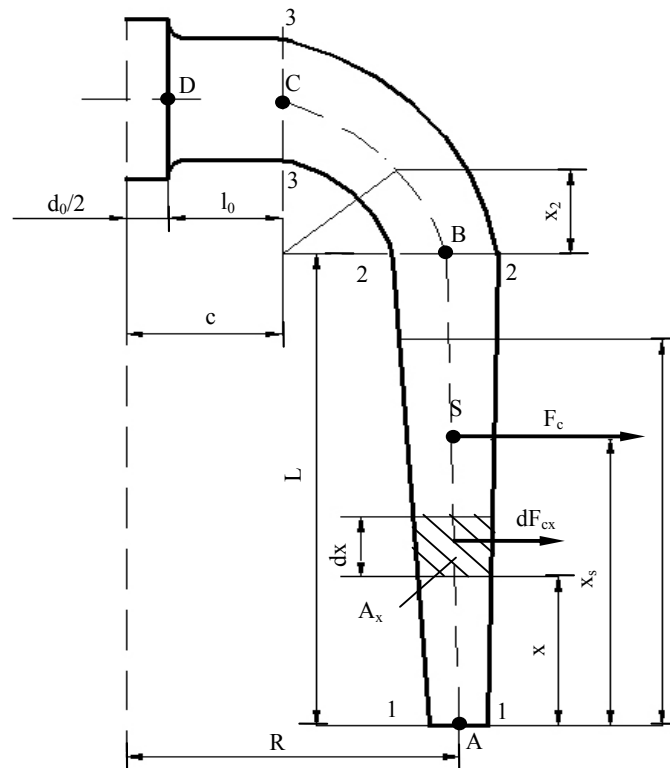


Fig 6.32

Cota de bază este R. Aceasta și celelalte cote se determină în funcție de tipul furcii. Pentru a stabili modul de solicitare a brațului de echilibrare este necesară secționarea pe fiecare din cele 3 porțiuni:

- verticală (de la planul inferior 1-1 la planul 2-2 mărginit de porțiunea curbă a brațului);
- curbă (de la planul 2-2 până la planul 3-3 mărginit de porțiunea orizontală a brațului);
- orizontală (de la planul 3-3 până la planul 4-4, adică zona de îmbinare a brațului cu butucul).

Prin desfășurarea brațului se obține o formă ce poate fi considerată drept un trunchi de con cu secțiunea eliptică.

Axa trunchiului de con este formată din:

- porțiunea verticală (\overline{AB}) (dreaptă și paralelă cu axa de rotație a furcii);
- porțiunea de racordare - curba (\overline{BC});
- porțiunea orizontală (\overline{CD}) (dreaptă și perpendiculară pe axa de rotație a furcii).

Se notează cu a_k , respectiv b_k (cu $k=1,2,3,4$) semiaxele mari respectiv semiaxele mici ale secțiunilor eliptice transversale.

6.2.1.1. Calculul momentelor de încovoiere

a) Porțiunea verticală a brațului

Sistemul de axe în care se lucrează are originea în centrul de greutate al planului inferior 1-1 (punctul A), abscisa în lungul verticalei ramurii și ordonata perpendiculară pe ea (spre dreapta).

Se separă la distanța x , un element de volum de grosime dx care definește și aria secțiunii transversale A.

Forța centrifugă elementară corespunzătoare elementului de volum menționat este dată de relația:

$$dF_c = A_x \cdot dx \cdot \rho \cdot \omega^2 \cdot R = \pi a \cdot b_x \cdot \rho \omega^2 R dx \quad (6.15)$$

unde: a_x, b_x reprezintă semiaxele secțiunii eliptice;

ρ - densitatea masei a elementului de volum;

ω - viteza unghiulară a furcii;

R - distanța dintre axa de rotație a furcii și axa porțiunii verticale a brațului de echilibrare, paralele între ele.

Legea de variație liniară a dimensiunilor secțiunii transversale poate fi pusă sub următoarea formă:

$$\begin{cases} a_x = a_1 \cdot (1 + k \cdot x) \\ b_x = b_1 \cdot (1 + k \cdot x) \end{cases} \quad (6.16)$$

$$\text{cu: } k = \frac{a_2 - a_1}{a_1 \cdot L}; k_1 = \frac{b_2 - b_1}{b_1 \cdot L}$$

unde : a_1, a_2 reprezintă semiaxele mari ale elipselor corespunzătoare secțiunilor 1-1, respectiv 2-2;

b_1, b_2 – semiaxele mici corespunzătoare aceluiași elipse;

L - lungimea porțiunii verticale a brațului de echilibrare;

Prin înlocuirea relației (6.16) în relația (6.15) rezultă:

$$dF_{c_x} = \pi \rho \omega^2 R (Ax^2 + Bx + a_1 b_1) \quad (6.17)$$

coeficienții A, B având expresiile:

$$\begin{cases} A = \frac{(a_2 - a_1)(b_2 - b_1)}{L^2} \\ B = \frac{a_1(b_2 - b_1)}{L} + \frac{(a_2 - a_1)b_1}{L} \end{cases} \quad (6.18)$$

În secțiunea x_1 , momentul de încovoiere elementar corespunzător forței centrifuge elementare dată de relația (6.17) este:

$$dM(x_1) = dF_{c_x}(x_1 - x) = \pi \rho \omega^2 R (Ax^2 + Bx + a_1 b_1)(x_1 - x) dx$$

Momentul încovoietor în secțiunea x_1 corespunzător tuturor forțelor centrifuge care acționează în partea de jos a secțiunii va fi (vezi figura 6.31) cu $x_1 \in [0; L]$:

$$M(x_1) = \int_0^{x_1} dM(x_1) = \pi \rho \omega^2 R \int_0^{x_1} (Ax^2 + Bx + a_1 b_1)(x_1 - x) dx$$

Dupa efectuarea tuturor calculelor (considerând x_1 cunoscut), momentul încovoietor este dat de relația următoare:

$$M(x_1) = \pi \rho^2 \omega^2 R \left(\frac{A}{12} x_1^4 + \frac{B}{6} x_1^3 + \frac{a_1 b_1}{2} x_1^2 \right) \quad (6.19)$$

Pe porțiunea verticală a brațului de echilibrare valoarea maximă a momentului încovoietor M' , se obține în secțiunea 2-2 pentru $x_1=L$ și este :

$$M' = \frac{\pi \rho^2 \omega^2 R L^2}{12} (a_2 b_2 + a_1 b_2 + a_2 b_1 + 3 a_1 b_1)$$

b) Porțiunea curbă a brațului

Într-o secțiune curentă α de pe bara curbă, momentul încovoiator poate fi scris ca având doua componente:

$$M(\alpha) = M'(\alpha) + M''(\alpha) \quad (6.20)$$

în care $M'(\alpha)$ este momentul încovoiator corespunzător forței centrifuge de pe porțiunea curbă a brațului de echilibrare;

$M''(\alpha)$ - momentul încovoiator dat de forța centrifugă corespunzătoare porțiunii verticale a brațului;

Pentru a stabili expresia lui $M'(\alpha)$ se procedează astfel:

- se izolează un element infinit mic (de grosime elementară) obținut prin secționarea pe direcție radială prin doua secțiuni succesive sub unghiurile β respectiv $\beta+d\beta$ față de orizontală - figura 6.33.

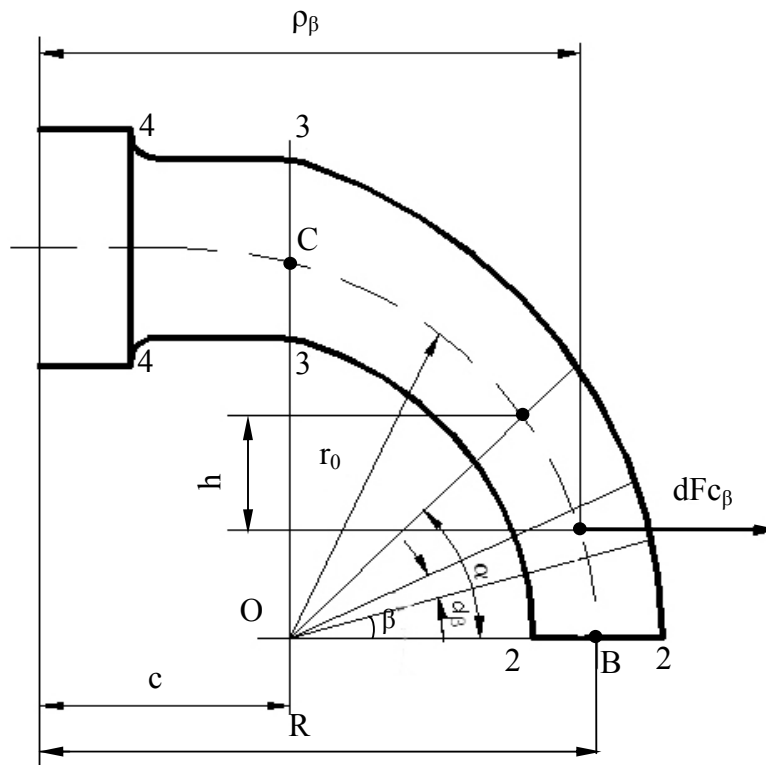


Fig. 6.33

Se consideră volumul elementar $dV=A_{\beta} \cdot dS$ unde:

A_{β} este aria secțiunii transversale pe porțiunea curbă a brațului de echilibrare;

dS - lungimea elementară a porțiunii de bară curbă cuprinsă între cele 2 secțiuni, cu:

$$dS = r_0 \cdot d\beta$$

$$A_{\beta} = \pi a_{\beta} b_{\beta}$$

Expresia forței centrifuge elementare $dF_{c\beta}$ este:

$$dF_{c\beta} = dm \omega^2 \rho_{\beta} = \rho A_{\beta} dS \omega^2 \rho_{\beta} = \rho \pi a_{\beta} b_{\beta} r_0 \omega^2 \rho_{\beta} \cdot d\beta \quad (6.21)$$

În conformitate cu reprezentarea din figura 6.33 se poate scrie:

$$\rho_{\beta} = r_0 \cdot \cos \beta + c \quad (6.22)$$

Înlocuind relația (6.22) în relația (6.21) rezultă:

$$dF_{c\beta} = \pi \rho r_0 \omega^2 a_{\beta} b_{\beta} (r_0 \cos \beta + c) d\beta \quad (6.23)$$

Lungimea porțiunii curbe a brațului de echilibrare este:

$$l = \frac{\pi}{2} \cdot r_0,$$

iar lungimea arcului dintre secțiunea 2-2 și secțiunea β este:

$$l_{\beta} = \beta_0 \cdot r_0$$

Legile de variație liniară ale semiaxelor a_{β} și b_{β} au următoarea formă:

$$\begin{cases} a_{\beta} = a_2(1 + k_2\beta) \\ b_{\beta} = b_2(1 + k_3\beta) \end{cases} \quad (6.24)$$

unde : $k_2 = \frac{a_3 - a_2}{a_2} \cdot \frac{2}{\pi}$ și

$$k_3 = \frac{b_3 - b_2}{b_2} \cdot \frac{2}{\pi}$$

Înlocuind relațiile (6.23) în relația (6.22) se obține:

$$dF_c \beta = \pi \rho r_0 \omega^2 (A' \beta^2 + B' \beta + a_2 b_2) (r_0 \cos \beta + c) d\beta \quad (6.25)$$

unde coeficienții A', B' se calculează cu expresiile:

$$\begin{cases} A' = \frac{4}{\pi^2} (a_3 - a_2)(b_3 - b_2) \\ B' = \frac{2}{\pi} [a_2(b_3 - b_2) + b_2(a_3 - a_2)] \end{cases} \quad (6.26)$$

Momentul încovoietor al forței centrifuge elementare $dF_c \beta$ în secțiunea α are expresia (cu $\alpha \in [0; \frac{\pi}{2}]$):

$$dM'(\alpha) = dF_c \beta \cdot h \quad (6.27)$$

unde h este brațul forței centrifuge elementare.

Pe baza notațiilor din figura 6.33, brațul se poate exprima geometric astfel:

$$h = r_0 \sin \alpha = r_0 (\sin \alpha - \sin \beta) \quad (6.28)$$

Înlocuind în relația (6.27) relațiile (6.25) și (6.26) se obține:

$$dM'(\alpha) = \pi r_0^2 \rho \omega^2 (A' \beta^2 + B' \beta + a_2 b_2) (r_0 \cos \beta + c) (\sin \alpha - \sin \beta) d\beta$$

După integrarea relației de mai sus și efectuarea tuturor calculelor se obține expresia momentului încovoietor corespunzător forței centrifuge de pe porțiunea curbă a brațului de echilibrare sub următoarea formă:

$$M'(\alpha) = \int_0^\alpha dM'(\alpha) = \pi r_0^2 \rho \omega^2 \int_0^\alpha (A' \beta^2 + B' \beta + a_2 b_2) (r_0 \cos \beta + c) (\sin \alpha - \sin \beta) d\beta \quad (6.29)$$

iar în final, considerând pe α constant:

$$M'(\alpha) = \pi \rho \omega^2 \cdot r_0 \left\{ \frac{a_2 b_2}{2} \sin^2 \alpha + r_0^2 \left[\sin^2 \alpha \left(\frac{A'}{2} \alpha^2 + \frac{B'}{2} \alpha - \frac{7}{4} \right) + \sin 2\alpha \left(\frac{3}{4} A' \alpha + \frac{3}{8} B' \right) - B' \sin \alpha + \frac{1}{4} A' \alpha^2 + \right. \right.$$

$$+ A'(\alpha^2 \cos \alpha - 2\alpha \sin \alpha - 2 \cos \alpha + 2) + \frac{c}{r_0} \left(\frac{A'}{3} \alpha^3 \sin \alpha + \frac{B'}{2} \alpha^2 \sin \alpha + a_2 b_2 \sin \alpha + B' \alpha \cos \alpha - B' \sin \alpha + a_2 b_2 \cos \alpha - a_2 b_2 \right) \} \quad (6.30)$$

Momentul încovoierilor dat de forța centrifugă corespunzătoare porțiunii verticale a brațului poate fi exprimată astfel:

$$M''(\alpha) = Fc[(L - X_s) + X\alpha] \quad (6.31)$$

unde: Fc este forța centrifugă corespunzătoare întregii porțiuni verticale a brațului, aplicată în centrul de greutate S al acestei porțiuni;

x_s – coordonata centrului de greutate S ;

x_α – distanța pe verticală de la secțiunea α la secțiunea 2-2 (vezi figura 6.32).

Expresia forței Fc poate fi determinată prin integrarea relației (6.17).

Astfel:

$$Fc = \int_0^L dFcx = \int_0^L \pi \rho \omega^2 R(Ax^2 + Bx + a_1 b_1) dx$$

sau după integrare și efectuarea tuturor calculelor:

$$Fc = \frac{\pi L \rho \omega^2 R}{6} [(2a_2 + a_1)b_2 + (2a_1 + a_2)b_1] \quad (6.32)$$

Pentru calculul poziției centrului de greutate se folosește relația:

$$X_s = \frac{\int_0^L dVx}{V} \quad (6.33)$$

unde: dVx este volumul elementar considerat pe porțiunea verticală obținut prin secționare succesivă la distanțele x și $x+dx$

V - volumul întregii porțiuni verticale (volumul unui trunchi de con cu secțiunea eliptică)

Dar:

$$V = \frac{\pi L}{6} [(2a_2 + a_1)b_2 + (2a_1 + a_2)b_1] \quad (6.34)$$

și

$$dVx = Ax \cdot dx = a_x b_x \cdot \pi dx = \pi a_1 b_1 (1 + kx)(1 + k_1 x) = \pi [Ax^2 + Bx + a_1 b_1] dx \quad (6.35)$$

unde A și B se calculează cu relațiile (6.18).

Înlocuind relațiile (6.34) și (6.35) în relația (6.33) și efectuând integrarea și toate calculele necesare se obține relația:

$$X_S = \frac{L}{2} \cdot \frac{3a_2b_2 + a_1b_2 + a_2b_1 + a_1b_1}{2a_2b_2 + a_1b_2 + a_2b_1 + 2a_1b_1} \quad (6.36)$$

În figura 6.32 se observă că:

$$x_\alpha = r_0 \sin \alpha \quad (6.37)$$

Înlocuind relațiile (6.32), (6.36) și (6.37) în relația (6.31) se obține expresia momentului încovoietor $M''(\alpha)$ sub următoarea formă:

$$M''(\alpha) = \frac{\pi L^2}{12} \rho \omega^2 R(A'' + B'' \sin \alpha) \quad (6.38)$$

$$\text{unde: } \begin{cases} A'' = a_2b_2 + a_1b_2 + a_2b_1 + 3a_1b_1 \\ B'' = \frac{2r_0}{L} [(2a_2 + a_1)b_2 + (2a_1 + a_2)b_1] \end{cases} \quad (6.39)$$

Într-o secțiune α de pe porțiunea curbă a brațului de echilibrare, momentul încovoietor $M(\alpha)$ se obține prin însumarea relațiilor (6.30) și (6.39).

Așa cum deja s-a menționat, secțiunea periculoasă, deci momentul încovoietor maxim este în secțiunea 3-3, valoarea momentului M fiind determinată prin particularizarea momentului $M(\alpha)$ pentru $\alpha = \pi/2$. După înlocuire și după efectuarea tuturor calculelor se obține:

$$M_{\max} = M = \frac{\pi L^2}{12} \rho \omega^2 R(A'' + B'') + \frac{\pi a_2 b_2 \rho \omega^2 r_0}{2} + \pi \rho \omega^2 r_0^3 \left[-1.05A' + 0.57B' + \frac{c}{r_0} (1.28A' + 0.234B' + 0.571a_2b_2) \right] \quad (6.40)$$

Pentru cazul particular:

$a_1 = a_2 = a_3 = a$; $b_1 = b_2 = b_3 = b$ (secțiunea transversală a brațului este constantă), relația (6.20) devine:

$$M' = \frac{\pi \rho^2 \omega^2 RL^2}{2}$$

Expresia momentului $M(\alpha)$ obținut prin însumarea relațiilor (6.30) și (6.38) particularizate în cazul sus menționat ajunge după efectuarea calculelor la următoarea formă:

$$M(\alpha) = \frac{\pi ab \rho \omega^2}{2} \{RL(L + 2r_0 \sin \alpha) + r_0 [\sin^2 \alpha + 2c(\alpha \sin \alpha + \cos \alpha - 1)]\} \quad (6.41)$$

Valoarea maximă a momentului se obține prin particularizarea relației (6.41) și are următoarea expresie:

$$M'' = \frac{\pi ab \rho \omega^2}{2} [RL(L + 2r_0) + r_0 + 1.14cr_0] \quad (6.42)$$

6.2.1.2. Calculul tensiunilor pe porțiunea curbă a brațului de echilibrare

Solicitările din ramurile furcii sunt produse de forța centrifugă. Secțiunea periculoasă este cea în care momentul încovoietor este maxim în modul. În cazul studiat aceasta situație apare în zona curbă a furcii în secțiunea 3-3 - figura 6.34. Tensiunile din aceasta zonă pot fi calculate cu formulele corespunzătoare barelor curbe cu curbura mare.

Pentru o bară curbă plană cu secțiunea simetrică solicitată la încovoiere pură de momentul M tensiunea la o distanță y de axa neutră este dată de relația :

$$\delta = \frac{M}{A \cdot e} \cdot \frac{y}{r - y} \quad (6.43)$$

unde : y este distanța de la axa neutră la o fibră oarecare;

A – aria secțiunii transversale a barei;

e - distanța de la centrul de greutate al secțiunii la axa neutră (excentricitatea axei neutre);

n – distanța de la axa neutră la centrul de curbura O al barei (raza de curbura a suprafeței neutre).

În general se cunoaște raza r_0 care reprezintă distanța de la centrul de curbură al barei la centrul de greutate al secțiunii. De pe desen se poate scrie:

$$r_0 = r + e$$

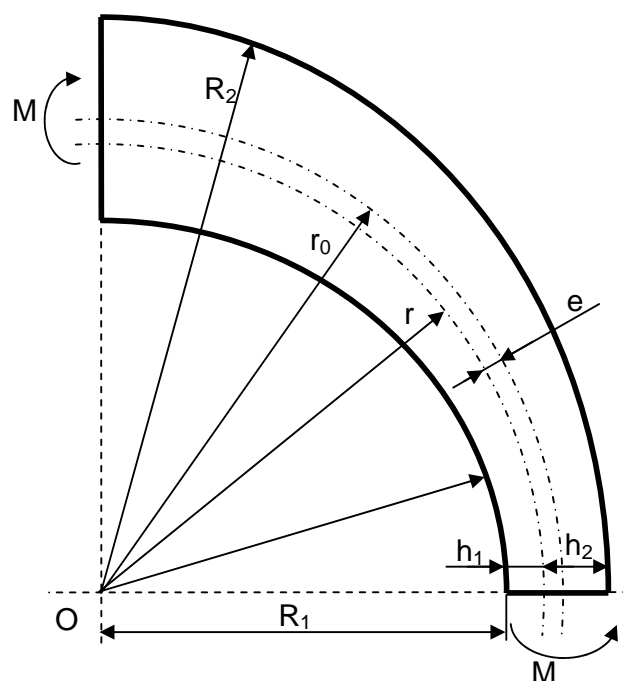


Fig. 6.34

Pentru secțiunea eliptică valoarea razei r se calculează cu relația:

$$r = \frac{b^2}{4(2r_0 - \sqrt{4r_0^2 - b^2})} \quad (6.44)$$

unde b este semiaxa mică a elipsei.

Tensiunile din lungul fibrelor marginale au valorile cele mai mari.

Pentru fibrele extreme ale secțiunii tensiunile au valorile:

$$\begin{cases} \delta_{\max} = \frac{M}{A \cdot e} \cdot \frac{h_1}{r - h_1} = \frac{M}{A \cdot e} \cdot \frac{h_1}{R_1} \\ \delta_{\min} = -\frac{M}{A \cdot e} \cdot \frac{h_2}{r + h_2} = -\frac{M}{A \cdot e} \cdot \frac{h_2}{R_2} \end{cases} \quad (6.45)$$

unde: R_1, R_2 reprezintă razele de curbură ale fibrelor extreme (marginale);

h_1, h_2 – distanțele de la axa neutră la fibrele extreme.

Dacă în secțiunea barei curbe există și forța axială N , cum este cazul și în situația utilizată la relațiile de mai sus se adugă și tensiunea:

$$\delta = \frac{N}{A} \quad (6.46)$$

cu semnul (+) dacă N este de întindere și cu semnul (-) dacă n este de compresiune.

Prin urmare tensiunea în fibrele extreme devine:

$$\begin{cases} \delta_{\max} = \frac{N}{A} + \frac{M}{A \cdot e} \cdot \frac{h_1}{h_2} \\ \delta_{\min} = \frac{N}{A} - \frac{M}{A \cdot e} \cdot \frac{h_2}{R_2} \end{cases} \quad (6.47)$$

Un alt mod de a exprima tensiunile în barele curbe supuse unei solicitări compuse de tracțiune și încovoiere este dat de relația:

$$\delta = \frac{1}{A} \left(N + \frac{M}{\rho} + \frac{M}{k \cdot \rho} \cdot \frac{y}{\rho + y} \right) \quad (6.48)$$

Relația permite stabilirea repartiției tensiunilor pe înălțimea secțiunii (σ fiind tensiunea într-o fibră situată la distanța y de axa secțiunii). Semnificația mărimilor din relație este următoarea:

ρ - raza de curbură a axei barei ($\rho = r_0$)

y – distanța de la axa secțiunii la fibra în care se calculează tensiunea

σ .

În acest caz distanțele y se măsoră de la centrul de greutate, spre deosebire de relația (6.43) în care se măsoară de la axa neutră. Evident că ambele formule menționate conduc la același rezultat.

Coeficientul de formă este o caracteristică a secțiunii transversale și se determină cu relația:

$$k = -\frac{1}{A} \int_A \frac{y}{\rho + y} dA \quad (6.49)$$

6.2.2. Calculul deformațiilor brațelor

Sub acțiunea forțelor centrifuge, brațele turcii se depărtează de axa de rotație.

Pentru ca furcile să nu se agațe între ele, trebuie ca săgeata f măsurată la capătul de jos al brațelor să nu depășească anumite limite - figura 6.35.

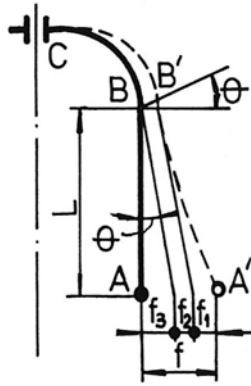


Fig. 6.35

De asemenea, se impune ca deformațiile celor două brațe să fie egale:

$$f_{brat\ activ} \cong f_{brat\ echilibrare}$$

Săgeata f este dată de relația:

$$f = f_1 + f_2 + f_3 < f_a \quad (6.50)$$

în care:

f_1 este deformația de încovoiere a porțiunii rectilinii AB.

f_2 - deformația furcii în punctul B datorită încovoierii porțiunii curbate BC,

f_3 - deplasarea capătului A datorită înclinării secțiunii din B cu unghiul θ , rotire provenită tot de la deformația de încovoiere a porțiunii BC.

a) *Calculul deformației f_1*

Deformația f_1 se determină cu relația:

$$f_1 = f_{1AB} + f_{1D} \quad (6.51)$$

în care:

f_{1AB} este deformația porțiunii liniare a brațului AB,

f_{1D} - deformația provocată de forța centrifugă a degetului presător.

Ecuția diferențială a liniei elastice - fig. 6.36, are forma:

$$\frac{d^2}{dx^2} \left(E \cdot I_x \cdot \frac{d^2 y}{dx^2} \right) = q_x \quad (6.52)$$

în care:

$q_x = \rho \cdot l \cdot A_x \cdot (r \cdot y) \cdot \omega^2$ reprezintă intensitatea sarcinii distribuite.

Se admite că porțiunea AB este de formă tronconică, cu secțiuni transversale asemenea; astfel, secțiunea A_x și momentul de inerție al secțiunii I_x se calculează cu relațiile:

$$A_x = A_0 \left(1 - \frac{d_0 - d_1}{d_0} \cdot \frac{x}{L} \right)^2 \quad (6.53)$$

$$I_x = I_0 \left(1 - \frac{d_0 - d_1}{d_0} \cdot \frac{x}{L} \right)^4 \quad (6.54)$$

Întrucât $y \ll r$, săgeata y poate fi neglijată; calculele efectuate pentru diferite tipuri constructive de furci arată că eroarea care apare prin adoptarea acestei ipoteze nu depășește 1%.

Dacă se notează:

$$s = \frac{d_0 - d_1}{d_0}, \quad (s - \text{conicitate}) \quad (6.55)$$

$$a = \rho \frac{A_0 \cdot \omega^2}{EI_0}, \quad (\rho = y/g) \quad (6.56)$$

atunci ecuația diferențială a liniei elastice capătă forma:

$$\frac{d^2}{dx^2} \left[\left(1 - s \cdot \frac{x}{L}\right)^4 \cdot \frac{d^2 y}{dx^2} \right] = a \cdot r \cdot \left(1 - s \cdot \frac{x}{L}\right)^2 \quad (6.57)$$

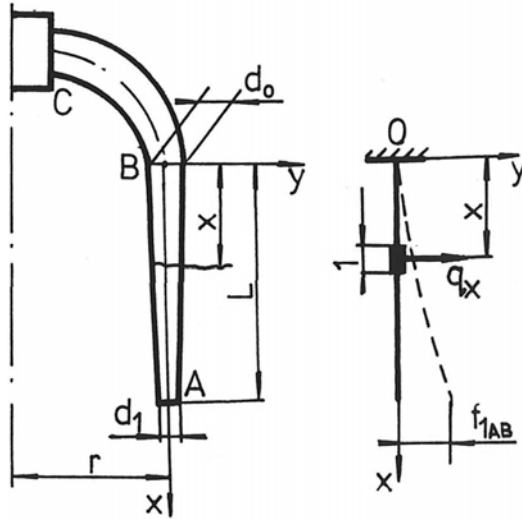


Fig. 6.36

Condițiile inițiale pentru grinda considerată sunt:

- pentru $x=0 \rightarrow y=0$ și $\frac{d^2 y}{dx^2} = 0$, (bară încastrată în B) (6.58)

- pentru $x=L \rightarrow \frac{d^2 y}{dx^2} = 0$ și $\frac{d^3 y}{dx^3} = 0$ (moment încovoiator și forță tăietoare zero). (6.59)

Pentru constantele de integrare se găsesc expresiile:

$$C_1 = \frac{a \cdot r \cdot L}{3s}, \quad C_2 = \frac{a \cdot r \cdot L^2}{12s^3} \cdot (1-s)^3 \cdot (1+3s), \quad (6.60)$$

$$C_3 = \frac{a \cdot r \cdot L^3}{12s^3} \cdot (1-s)^3 \cdot (1+3s), \quad C_4 = \frac{a \cdot r \cdot L^4}{12s^3} \cdot (1-s)^3 \cdot (1+3s) \quad (6.61)$$

Expresia liniei elastice (6.57), folosind constantele de integrare, capătă forma:

$$y = \frac{a \cdot r \cdot L^2}{24s^2} \cdot x^2 - \frac{a \cdot r \cdot L^4}{6s^4} \cdot \frac{(1-s)^3}{x} + \frac{a \cdot r \cdot L^4}{24s^4} \cdot \frac{(1-s)^4}{\left(1-s \frac{x}{L}\right)^2} + \frac{a \cdot r \cdot L^3}{12s^2} \cdot (1-s)^3 \cdot (1-s) \cdot x + \frac{a \cdot r \cdot L^4}{24s^4} \cdot (1-s)^3 \cdot (3+s) \quad (6.62)$$

Întrucât interesează săgeata f_{1AB} , după înlocuirea $x = L$ se stabilește:

$$f_{1AB} = \frac{a \cdot r \cdot L^4}{24} (3 - 2s) \quad (6.63)$$

Înlocuind pe s și a cu expresiile respective (6.55) și (6.56) în relația (6.63) se obține:

$$f_{1AB} = \omega^2 \frac{\rho \cdot A_0 \cdot r \cdot L^4}{E \cdot I_0} \cdot \frac{1 + 2 \frac{d_1}{d_0}}{24} \quad (6.64)$$

Forma tronconică a brațului ($d_1/d_0 = 0,5$) conduce la micșorarea deformației cu 60% în raport cu situația în care secțiunea este constantă ($d_1/d_0 = 1$).

În situația brațului activ, la capătul căruia se află degetul presător, la săgeata f_{1AB} se va adăuga și săgeata f_{1D} dată de forța centrifugă respectivă.

Pentru forma de trunchi de con a brațului se găsește:

$$f_{1D} = \frac{F_{CD} \cdot L^3}{3 \cdot E \cdot I_1 - \left(\frac{d_0}{d_1}\right)^2} \quad (6.65)$$

b) Calculul deformației f_2

Partea curbată BC a brațului turcii - figura 6.37, este încovoiată sub acțiunile momentului M_B^L , forței F_C^L (ambele provenite de la porțiunea dreaptă AB) și forței centrifuge proprii F_C^{BC} . Aceste încărcări produc săgeata:

$$f_1 = f_{21} + f_{22} + f_{23} \quad (6.66)$$

în care:

- f_{21} este produsă de M_B^L
- f_{22} - produsă de F_C^L
- f_{23} - produsă de F_C^{BC}

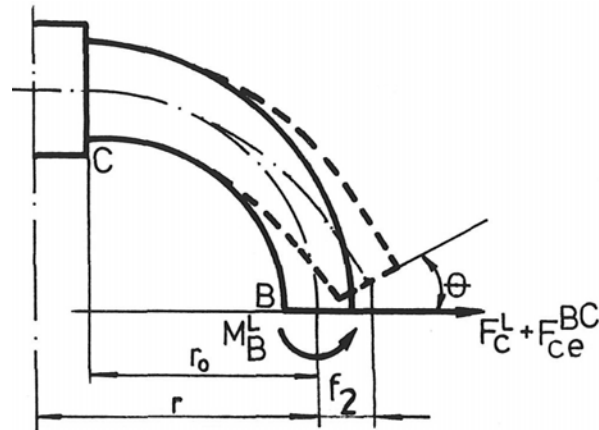


Fig. 6.37

Apelând la relația de calcul a momentului M_B^L (6.41) și a observațiilor menționate în paragrafele anterioare, se determină expresia forței centrifuge echivalente:

$$F_{ce}^{BC} = \frac{M_C^{BC}}{r_0} = \omega^2 \cdot \frac{m_{BC}}{\pi} [r_0 + (\pi - 2)c] \quad (6.67)$$

Pe baza datelor cunoscute din "Rezistența materialelor" referitoare la bare curbe, deformațiile f_{21} și $(f_{22} + f_{23})$ se determină cu relațiile:

$$f_{21} = \frac{M_B^L}{E \cdot I} \cdot r_0^2 \quad (6.68)$$

$$f_{22} + f_{23} = \frac{\pi \cdot F_C^L + F_{ce}^{BC}}{E \cdot I} \cdot r_0^3 \quad (6.69)$$

c) *Calculul deformației f_3*

Din figura 6.35 rezultă:

$$f_3 = L \cdot \theta \quad (6.70)$$

Rotirea brațului AB cu unghiul θ apare sub acțiunile momentului M_B^L și forța ($F_c^L + F_{ce}^{BC}$):

$$\theta = \theta_M + \theta_{F_c} \quad (6.71)$$

Conform teoriei barelor curbe, relațiile de calcul pentru cele două unghiuri de rotire, θ_M și θ_{F_c} sunt:

$$\theta_M = \frac{\pi}{2} \cdot \frac{M_B^L}{2 \cdot E \cdot I} \cdot r_0 \quad (6.72)$$

$$\theta_{F_c} = \frac{F_c^L + F_{ce}^{BC}}{E \cdot I} \cdot r_0 \quad (6.73)$$

În continuare, limitele admisibile ale deformațiilor furcilor depind de intervalul minim admis între două furci alăturate, pentru ca acestea să nu se atingă în timpul funcționării. Totodată deformațiile celor două brațe (activ și de echilibrare) trebuie să fie egale.

6.2.3. Calculul turațiilor critice

În cazul funcționării unui sistem cu o turație egală cu cea critică, datorită fenomenului de rezonanță, amplitudinile oscilațiilor cresc foarte mult, dăunând procesului tehnologic în paralel cu producerea de zgomot și a propagării vibrațiilor în întreaga mașină.

Calculul turațiilor critice pentru furcile de flaiier ia în considerare întreg ansamblul aflat în rotație, fus-furcă.

Se admite că fusul este simplu rezemat - figura 6.38, ipoteză infirmată de realitate, deoarece lagărul superior al fusului intervine cu un oarecare grad de încastrare care este influențat de amplitudinile oscilațiilor.

În funcționarea furcilor de flaiier turațiile de lucru sunt întâlnite în apropierea primei zone de rezonanță, astfel încât interesează, în marea majoritate a cazurilor, determinarea valorii primei turații critice. Datorită acestei observații se apelează metoda Dunkerley:

$$\frac{1}{n_{cr}^1} = \frac{1}{n_0^2} + \frac{1}{n_1^2} + \frac{1}{n_2^2} \quad (6.74)$$

în care:

$$n_0 = 300 \sqrt{\frac{1}{f_{st0}}} \quad (n_0 - \text{turația critică a ansamblului în ipoteza}$$

considerării numai a masei furcii);

$$n_1 = 300 \sqrt{\frac{1}{f_{st1}}} \quad (n_1 - \text{turația critică a ansamblului în ipoteza}$$

considerării numai a masei corespunzătoare capătului în consolă l_1 a fusului).

$$n_2 = 300 \sqrt{\frac{1}{f_{st2}}} \quad (n_2 - \text{turația critică a ansamblului în ipoteza}$$

considerării numai a masei corespunzătoare lungimii fusului l_2 dintre reazeme).

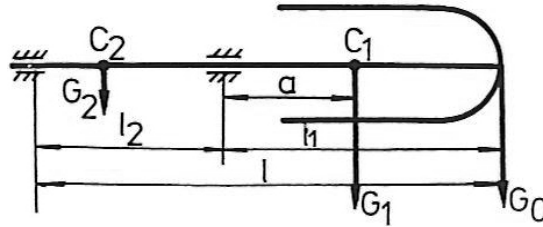


Fig. 6.38

Masa fusului pe porțiunea l_2 se poate neglija, eroarea fiind sub 1%. Săgețile statice, provocate de forțele de greutate G_0 (furca) și G_1 (lungimea în consolă a fusului) se determină cu expresiile:

$$f_{st0} = \frac{G_0 \cdot l \cdot l_1^2}{3 \cdot E \cdot I} \quad [\text{cm}] \quad (6.75)$$

în care:

- a este distanța de la centrul lagărului superior la centrul de greutate al consolei,

- $I = \text{const.}$

În concluzie, turația critică n_{cr} , trebuie să îndeplinească următoarea condiție - figura 6.39:

$$n_{cr_{min}} \geq 1,3n_{max} \quad (6.76)$$

în care n_{max} , este turația maximă de exploatare; $n_{cr_{min}}$ este calculat pentru cazul când $l_1 = l_{1max}$, adică bobina este în poziția limită “jos”.

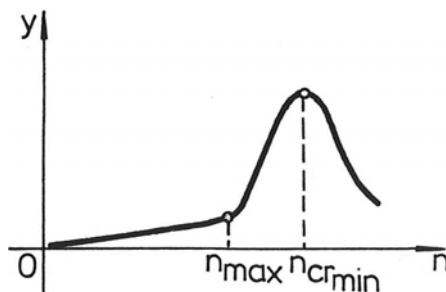


Fig. 6.39

6.2.4. Rezistența aerodinamică a furcilor de flaiier

În exploatare, brațele furcilor de flaiier întâmpină rezistența mediului care provoacă un consum de putere P_{rm} ce se poate determina cu relația (6.77) - figura 6.40.

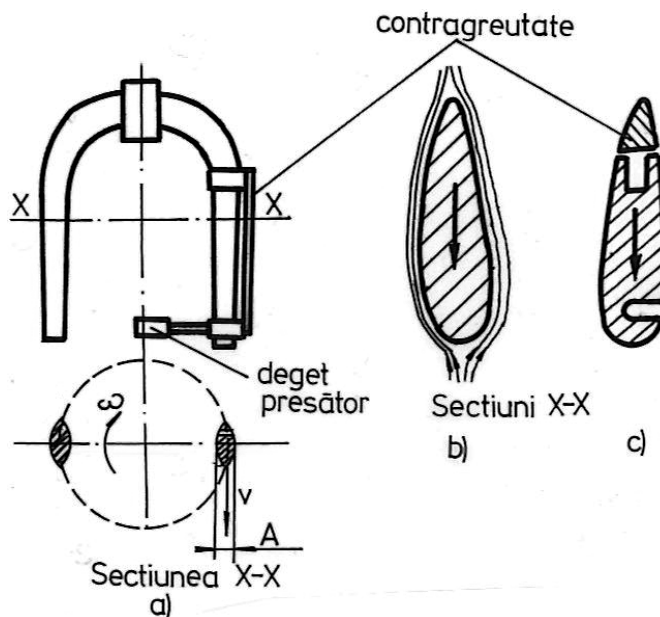


Fig. 6.40

$$P_{rm} = c \cdot A \cdot \frac{\rho \cdot v^2}{2} \cdot v \quad (6.77)$$

în care:

v este viteza tangențială la traiectoria axelor brațelor turcii;

$\frac{\rho \cdot v^2}{2}$ - rezistența aerodinamică;

ρ - densitatea mediului ambiant;

A - suprafața brațului proiectată pe un plan perpendicular;

C - coeficient aerodinamic.

Se remarcă faptul că puterea consumată P_{rm} , este proporțională cu v^3 . Cum furcile la flaierele moderne funcționează cu viteze ridicate (până la aprox. 1800 rot/min) sunt necesare măsuri care să micșoreze, pe cât posibil, acest consum de putere, acționându-se asupra factorilor c și A .

În acest scop se adoptă pentru brațe, secțiuni cu formă apropiată de profilul aripei de avion; în figura 6.40 b) este prezentată o secțiune prin brațul de echilibrare, iar în figura 6.40 c) prin brațul activ (cu contragreutatea degetului presător).

Capitolul 7

MAȘINI DE FILAT CU INELE

7.1. Cinematica mașinii de filat cu inele

Studiul efectuat în acest capitol are drept obiect mașina de filat cu inele de tip „UNIMAT – 70FB”, fabricată la S.C. „UNIREA” S.A. Cluj-Napoca, cu următoarele caracteristici tehnice:

- pasul dintre fuse..... $p_f = 70$ mm
- diametrul inelului..... $D_i = 48$ mm
- numărul de fuse $N_f = 400$
- numărul de fuse pe secțiune $N_{fs} = 16$
- lungimea secțiunii de fuse $L_s = 1104$ mm
- turația maximă de lucru a fusului $n_{fm} = 14500$ rot/min
- puterea motorului $P_m = 15$ kW

După acest model, vor putea fi efectuate studii asemănătoare pentru orice altă mașină, cu alte caracteristici tehnice, din tipul menționat.

Mașina de filat cu inele de tip „UNIMAT – 70FB” este alcătuită din cinci subansambluri principale, separate prin linii întrerupte în schema cinematică generală a mașinii prezentată în figura 7.1.

- 1 – subansamblul central de acționare a mașinii;
- 2 – subansamblul de antrenare a fuselor în mișcarea de rotație;
- 3 – subansamblul de antrenare a trenului de laminat;
- 4 – subansamblul de comanda a saltului băncii;
- 5 -subansamblul de antrenare a băncii inelelor și băncii inelelor limitatoare de balon.

În prima parte a acestui capitol sunt efectuate studii în vederea stabilirii ecuațiilor de legătură și de transmitere ale mișcării pentru fiecare dintre subansamblurile menționate mai sus.

7.1.1. Cinematica subansamblului central de acționare a mașinii

Acest subansamblu este alcătuit din elementele prezentate în figura 7.2.

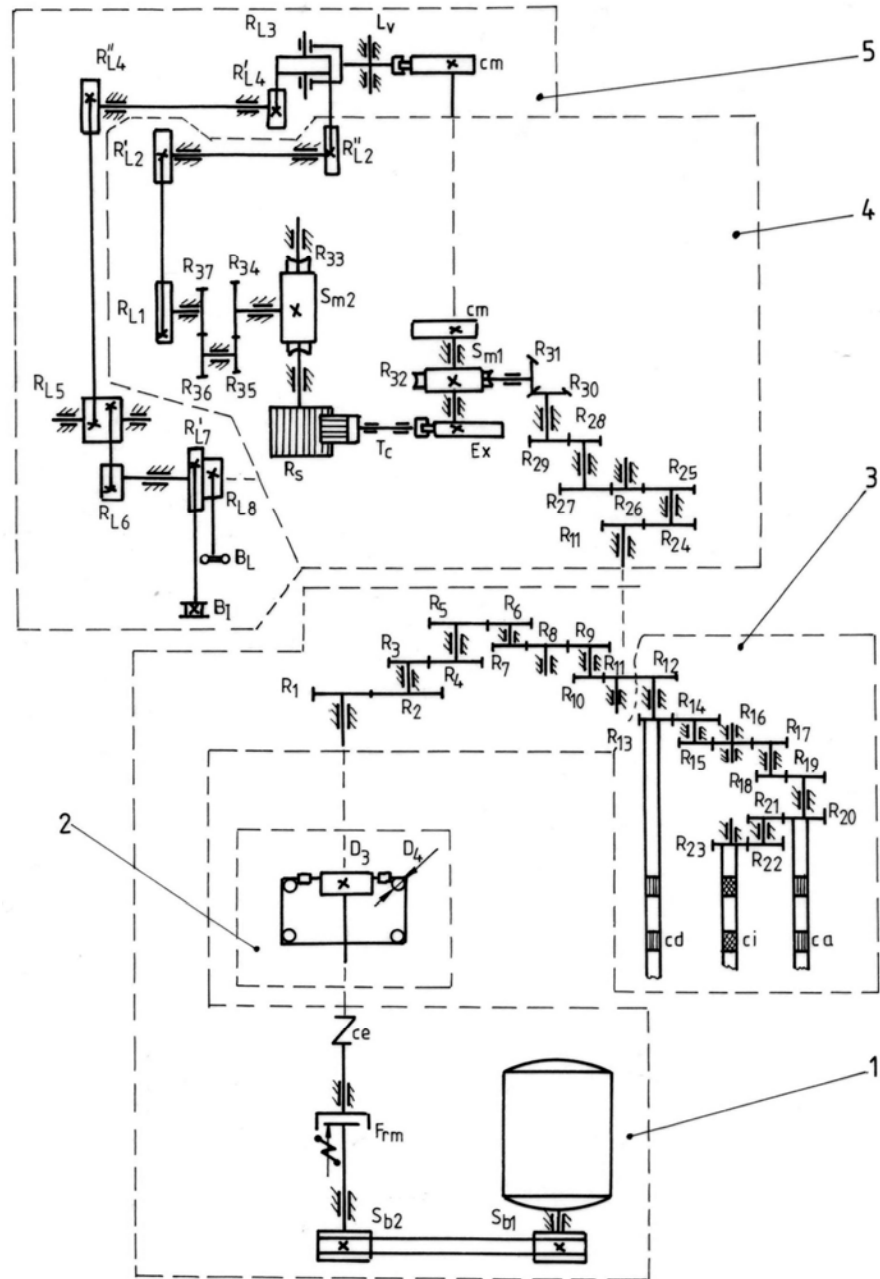


Fig 7.1

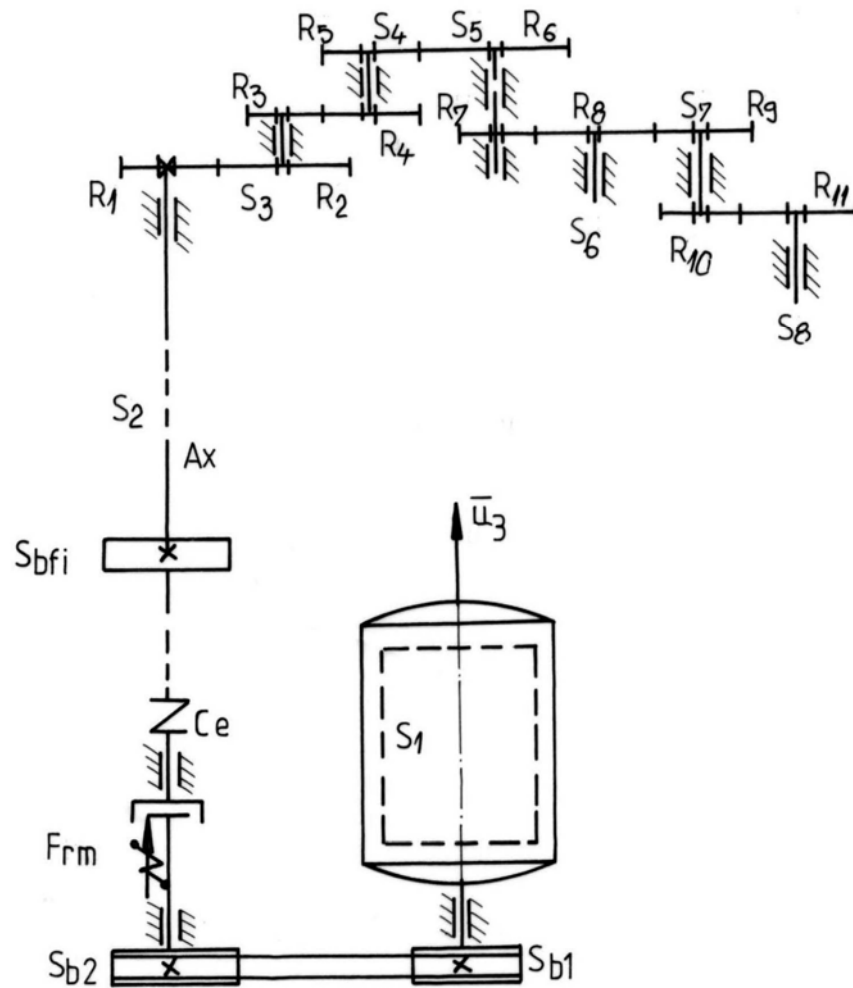


Fig. 7.2

- Elementul (S_1), reprezentat prin ansamblul rigid rotor – roată de curea conducătoare (S_{b1}), aceasta din urmă, fiind realizată într-un număr de 20 de variante, cu diametre cuprinse între limitele 106 mm și 305,8 mm; valorile diametrelor D_1 fiind prezentate în tabelul 7.1. Poziția acestui element va fi determinată prin unghiul de rotație φ_1 , a cărui

valoare scalară, ca și cea a vitezei unghiulare $\omega_1 = \dot{\varphi}_1$, va fi raportată la versorul \bar{u}_3 - figura 7.2.

- *Elementul* (S_2), reprezentat prin ansamblul rigid șaiabă condusă (S_{b2}) – axul (A_x), cuplajul elastic (C_e), roata dințată (R_1) cu $z_1 = 34$ dinți, precum și un număr de $n_s = 100$ roți de antrenare a fuselor (S_{bf_i}), ($i = 1, 2, \dots, 100$), de diametre $D_{3i} = D_3 = 230$ mm. Roata (S_{b2}) este construită tot într-un număr de 20 de variante, cu diametrele D_2 cuprinse între 247,6 mm și 417,6 mm, corespondența diametrelor D_2 cu D_1 fiind indicată, de asemenea, în tabelul 7.7. Poziția elementului (S_2) va fi determinată prin unghiul de rotație φ_2 , al cărui semn – ca și semnul vitezei unghiulare $\omega_2 = \dot{\varphi}_2$ – va fi raportat la același versor \bar{u}_3 .

Raportul de transmitere al roții conduse față de roata conducătoare este:

$$i_{1,2} = \frac{D_2}{D_1} \quad (7.1)$$

Ecuțiile de legătură și de transmitere ale mișcării corespunzătoare cuplajului prin curea între elementele (S_1) și (S_2), au formele:

$$\begin{aligned} \varphi_2 &= \frac{1}{i_{12}} \cdot \varphi_1, \\ \omega_2 &= \frac{1}{1,2} \cdot \omega_1 \end{aligned} \quad (7.2)$$

- *Elementul* (S_3), reprezentat prin blocul rigid de roți dințate coaxiale (R_2) și (R_3) cu $z_2 = 68$ dinți și $z_3 = 19;39$ dinți.

Ecuțiile de legătură și de transmitere ale mișcării corespunzătoare cuplajului dintre elementele (S_2) și (S_3) vor avea, ținând seama și de relațiile (7.2), formele:

$$\varphi_3 = -\frac{z_1}{z_2} \cdot \varphi_2 = -\frac{0,5}{i_{12}} \cdot \varphi_1; \quad \omega_3 = -\frac{0,5}{i_{12}} \cdot \omega_1 \quad (7.3)$$

semnele unghiului de rotație și vitezei unghiulare $\omega_3 = \dot{\varphi}_3$ fiind raportate și acum la versorul \bar{u}_3 .

- *Elementul* (S_4), reprezentat prin blocul rigid de roți dințate coaxiale (R_4) și (R_5) cu $z_4 = 58; 39$ dinți și $z_5 = 28; 39; 50$ dinți.

Tabelul 7.1

Turația fuselor (rot/min)		D ₂ (mm)	D ₁ (mm)	D ₂ / D ₁
Diametrul nucii D ₄ =24 mm	Diametrul nucii D ₄ =27 mm			
3500	3080	417,6	106,0	3,94
4000	3520	405,7	117,6	3,45
4500	3960	397,8	130,0	3,06
5000	4400	390,2	141,4	2,76
5500	4840	386,5	153,8	2,51
6000	5280	376,3	163,6	2,30
6500	5720	367,6	173,4	2,12
7000	6160	364,0	184,8	1,97
7500	6600	352,9	191,8	1,84
8000	7040	345,7	201,0	1,72
8500	7475	337,9	208,6	1,62
9000	7910	331,7	216,8	1,53
9500	8360	330,6	227,6	1,45
10000	8800	319,3	231,4	1,38
10500	9225	312,0	238,2	1,31
11000	9660	307,6	246,1	1,25
11500	10110	306,2	255,2	1,20
12000	10550	296,0	257,4	1,15
12500	11000	289,5	263,2	1,10
13000	11440	284,9	268,8	1,06
13500	11880	281,1	275,6	1,02
14000	12320	273,6	279,2	0,98
14500	12750	269,8	284,0	0,95
15000	13200	265,5	288,6	0,92
15500	13630	260,2	292,4	0,89
16000	14000	256,2	298,0	0,86
16500	14520	251,5	303,0	0,83
17000	14960	247,6	305,8	0,81

Ecuțiile de legătură și de transmitere ale mișcării corespunzătoare cuplajului cu elementul (S₃) au următoarele forme:

$$\begin{aligned}\varphi_4 &= -\frac{z_3}{z_4} \cdot \varphi_3 = \frac{0,5}{i_{34} \cdot i_{12}} \cdot \varphi_1; \\ \omega_4 &= \frac{0,5}{i_{34} \cdot i_{12}} \cdot \omega_1\end{aligned}\quad (7.4)$$

$$\text{cu: } i_{34} = \frac{z_4}{z_3} \quad (7.5)$$

reprezentând raportul de transmitere al roții (R_4) față de roata (R_3).

- *Elementul* (S_5), reprezentat prin blocul roților dințate coaxiale (R_6) și (R_7) cu $z_6 = 50; 39; 28$ dinți și $z_7 = 30$ dinți.

Ecuatiile de legătură și de transmitere corespunzătoare cuplajului cu elementul (S_4) au formele:

$$\varphi_5 = -\frac{z_5}{z_6} \cdot \varphi_4 = \frac{15}{z_6 \cdot i_{12} \cdot i_{34}} \cdot \varphi_1; \quad \omega_5 = \frac{15}{z_6 \cdot i_{12} \cdot i_{34}} \cdot \omega_1 \quad (7.6)$$

- *Elementul* (S_6), reprezentat prin roata intermediară (R_8), cu $z_8 = 68$ dinți pentru care ecuațiile de legătură și de transmitere ale mișcării corespunzătoare cuplajului cu elementul (S_5) au formele:

$$\begin{aligned}\varphi_6 &= -\frac{z_1}{z_8} \cdot \varphi_5 = 6,615 \cdot \frac{1}{z_6 \cdot i_{12} \cdot i_{34}} \cdot \varphi_1; \\ \omega_6 &= 6,615 \cdot \frac{1}{z_6 \cdot i_{12} \cdot i_{34}} \cdot \omega_1\end{aligned}\quad (7.7)$$

- *Elementul* (S_7), reprezentat prin blocul format din roțile dințate coaxiale (R_9) și (R_{10}), cu $z_9 = 30 \dots 53$ dinți și $z_{10} = 50$ dinți, pentru care rezultă următoarele ecuații de legătură și de transmitere ale mișcării corespunzătoare cuplajului cu elementul (S_6):

$$\begin{aligned}\varphi_7 &= -\frac{z_8}{z_9} \cdot \varphi_6 = -\frac{450}{z_9 \cdot z_6 \cdot i_{12} \cdot i_{34}} \cdot \varphi_1; \\ \omega_7 &= -\frac{450}{z_6 \cdot z_9 \cdot i_{12} \cdot i_{34}} \cdot \omega_1\end{aligned}\quad (7.8)$$

- *Elementul* (S_8), reprezentat prin roata dințată intermediară (R_{11}), cu $z_{11} = 88$ dinți, pentru care se pot scrie următoarele ecuații de legătură și de transmitere ale mișcării corespunzătoare cuplajului cu elementul (S_7):

$$\varphi_8 = -\frac{z_{10}}{z_{11}} \cdot \varphi_7 = -\frac{255,6}{z_6 \cdot z_9 \cdot i_{12} \cdot i_{34}} \cdot \varphi_1;$$

$$\omega_8 = -\frac{255,6}{z_6 \cdot z_9 \cdot i_{12} \cdot i_{34}} \cdot \omega_1 \quad (7.9)$$

7.1.2. Cinematica subansamblului de antrenare a fuselor

Acest subansamblu, prezentat în figura 7.3, este alcătuit din 100 de grupuri de câte patru fuse.

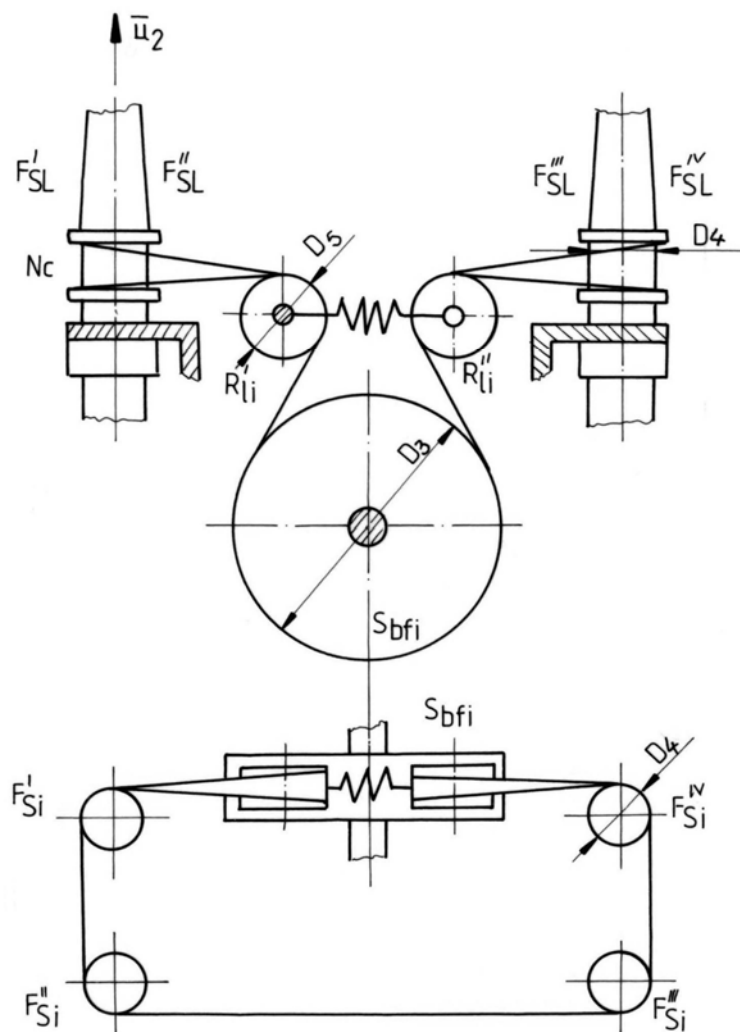


Fig. 7.3

Fusele au axele verticale, antrenarea realizându-se, în fiecare sistem, printr-o aceeași bandă de antrenare, care înfășoară șaibele (S_{bfi}) fixate pe axele (A_x) și nucile (N_c) ale fuselor; tensiunea în banda de antrenare este menținută între limitele de 11-13 N cu ajutorul rolor (R'_{li}) și (R''_{li}).

Modul în care este realizată înfășurarea asigură același sens de rotație pentru toate fusele.

Diametrele D_4 ale nucii fuselor și D_5 ale rolor au valorile:

$$D_4 = 24,27 \text{ mm și } D_5 = 70 \text{ mm.}$$

Raportând sensurile unghiurilor de rotație φ_{9i} și ale vitezelor unghiulare $\omega_{9i} = \dot{\varphi}_{9i}$ ale fuselor la versorul \bar{u}_2 ales ca în figura 1.3 ecuațiile de legătură și de transmitere ale mișcării corespunzătoare cuplajelor fuselor cu șaibele (S_{bfi}) vor avea formele:

$$\begin{aligned}\varphi_{9i} &= \frac{D_3}{D_4} \cdot \varphi_2 = \frac{230}{D_4 \cdot i_{12}} \cdot \varphi_1; \\ \omega_{9i} &= \frac{230}{D_4 \cdot i_{12}} \cdot \omega_1 \quad (i = 1, 2, \dots, 400)\end{aligned}\quad (7.10)$$

7.1.3. Cinematica subansablului de antrenare a trenului de laminat

Acest subansamblu prezentat în figura 7.4 este alcătuit din următoarele elemente:

- *Elementul* (S_{10}), reprezentat prin cilindrul debitor activ (C_d), pe al cărui ax sunt fixate roțile dințate (R_{12}) și (R_{13}) cu $z_{12} = 50$ dinți și $z_{13} = 20$ dinți.

Ecuatiile de legătură și de transmitere ale mișcării corespunzătoare cuplajului elementului (S_{10}) cu elementul (S_8) sunt:

$$\begin{aligned}\varphi_{10} &= -\frac{z_{11}}{z_{12}} \cdot \varphi_8 = -\frac{450}{z_6 \cdot z_9 \cdot i_{12} \cdot i_{34}} \cdot \varphi_1; \\ \omega_{10} &= -\frac{450}{z_6 \cdot z_9 \cdot i_{12} \cdot i_{34}} \cdot \omega_1\end{aligned}\quad (7.11)$$

semnele mărimilor φ_8 și ω_8 fiind raportate, la versorul \bar{u}_3 – figura 7.4.

- *Elementul* (S_{11}), reprezentat prin blocul roților dințate coaxiale (R_{14}) și (R_{15}) cu $z_{14} = 69$ dinți și $z_{15} = 18$ dinți, pentru care ecuațiile de legătură și de transmitere ale mișcării vor lua formele:

$$\varphi_{11} = -\frac{z_{13}}{z_{14}} \cdot \varphi_{10} = \frac{130,434}{z_6 \cdot z_9 \cdot i_{12} \cdot i_{34}} \cdot \varphi_1;$$

$$\omega_{11} = \frac{130,434}{z_6 \cdot z_9 \cdot i_{12} \cdot i_{34}} \cdot \omega_1 \quad (7.12)$$

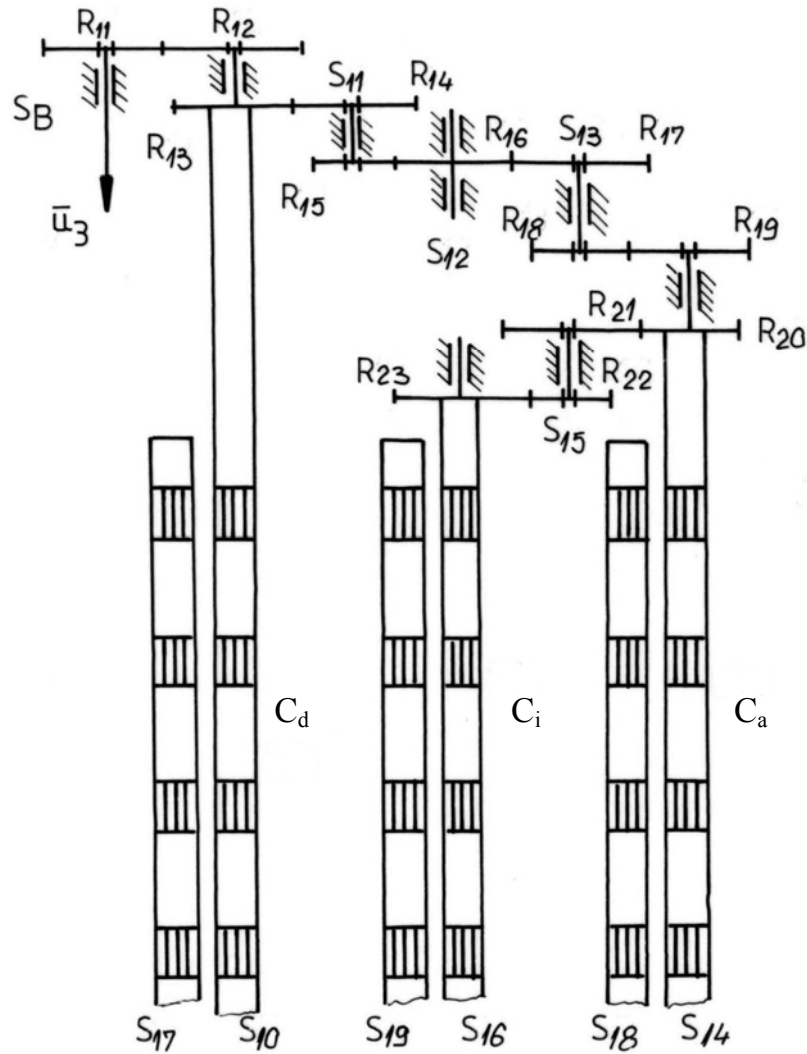


Fig. 7.4

- Elementul (S_{12}), reprezentat prin roata intermediară (R_{16}), cu $z_{16} = 34$ dinți pentru care ecuațiile de legătură și de transmitere ale mișcării corespunzătoare cuplajului cu elementul (S_{11}) au formele :

$$\varphi_{12} = -\frac{z_{15}}{z_{16}} \cdot \varphi_{11} = -\frac{69,053}{z_6 \cdot z_9 \cdot i_{12} \cdot i_{34}} \cdot \varphi_1;$$

$$\omega_{12} = -\frac{69,053}{z_6 \cdot z_9 \cdot i_{12} \cdot i_{34}} \cdot \omega_1 \quad (7.13)$$

- *Elementul* (S₁₃), reprezentat prin blocul de roți dințate coaxiale (R₁₇) și (R₁₈), cu z₁₇ = 95 dinți și z₁₈ = 23...70 dinți, ale cărui ecuații de legătură și de transmitere ale mișcării corespunzătoare cuplajului cu elementul (S₁₂) sunt:

$$\varphi_{13} = -\frac{z_{16}}{z_{17}} \cdot \varphi_{12} = \frac{24,713}{z_6 \cdot z_9 \cdot i_{12} \cdot i_{34}} \cdot \varphi_1;$$

$$\omega_{13} = \frac{24,713}{z_6 \cdot z_9 \cdot i_{12} \cdot i_{34}} \cdot \omega_1 \quad (7.14)$$

- *Elementul* (S₁₄), reprezentat prin blocul de roți dințate coaxiale (R₁₉ și R₂₀) cu z₁₉ = 40, 50, 55, 60, 65, 70 și 75 dinți și z₂₀ = 34 dinți, fixate pe axul cilindrului alimentator (C_a).

Ecuatiile de legătură și de transmitere a mișcării corespunzătoare cuplajului cu elementul (S₁₃) au formele:

$$\varphi_{14} = -\frac{z_{18}}{z_{19}} \cdot \varphi_{13} = -\frac{24,713 \cdot z_{18}}{z_6 \cdot z_9 \cdot z_{19} \cdot i_{12} \cdot i_{34}} \cdot \varphi_1;$$

$$\omega_{14} = -\frac{24,713 \cdot z_{18}}{z_6 \cdot z_9 \cdot z_{19} \cdot i_{12} \cdot i_{34}} \cdot \omega_1 \quad (7.15)$$

- *Elementul* (S₁₅), reprezentat prin blocul de roți coaxiale (R₂₁) și (R₂₂), cu z₂₁ = 37...51 dinți și z₂₂ = 43 dinți pentru care ecuațiile de legătură și de transmitere ale mișcării corespunzătoare cuplajului cu elementul (S₁₄) sunt:

$$\varphi_{15} = -\frac{z_{20}}{z_{21}} \cdot \varphi_{14} = \frac{840,269 \cdot z_{18}}{z_6 \cdot z_9 \cdot z_{19} \cdot z_{21} \cdot i_{12} \cdot i_{34}} \cdot \varphi_1;$$

$$\omega_{15} = \frac{840,269 \cdot z_{18}}{z_6 \cdot z_9 \cdot z_{19} \cdot z_{21} \cdot i_{12} \cdot i_{34}} \cdot \omega_1 \quad (7.16)$$

- *Elementul* (S₁₆) reprezentat prin roata dințată (R₂₃) cu z₂₃ = 23 dinți fixată pe axul cilindrului intermediar (C_i).

Ecuatiile de legătură și de transmitere ale mișcării corespunzătoare cuplajului cu elementul (S₁₆) au formele:

$$\begin{aligned}\varphi_{16} &= -\frac{z_{22}}{z_{23}} \cdot \varphi_{15} = \frac{1570,938 \cdot z_{18}}{z_6 \cdot z_9 \cdot z_{19} \cdot z_{21} \cdot i_{12} \cdot i_{34}} \cdot \varphi_1; \\ \omega_{14} &= \frac{1570,938 \cdot z_{18}}{z_6 \cdot z_9 \cdot z_{19} \cdot z_{21} \cdot i_{12} \cdot i_{34}} \cdot \omega_1\end{aligned}\quad (7.17)$$

- *Elementul* (S_{17}), reprezentat prin cilindrul debitor condus, antrenat prin frecare de cilindrul debitor conducător, cu ecuațiile de legătură și de transmitere ale mișcării având relațiile:

$$\begin{aligned}\varphi_{17} &= -\varphi_{10} = \frac{450}{z_6 \cdot z_9 \cdot i_{12} \cdot i_{34}} \cdot \varphi_1; \\ \omega_{17} &= -\omega_{10} = \frac{450}{z_6 \cdot z_9 \cdot i_{12} \cdot i_{34}} \cdot \omega_1\end{aligned}\quad (7.18)$$

- *Elementul* (S_{18}) reprezentat prin cilindrul alimentator condus, antrenat prin frecare de cilindrul alimentator conducător, cu ecuațiile de legătură și de transmitere ale mișcării având formele:

$$\begin{aligned}\varphi_{18} &= -\varphi_{11} = \frac{24,713 \cdot z_{18}}{z_6 \cdot z_9 \cdot z_{19} \cdot i_{12} \cdot i_{34}} \cdot \varphi_1; \\ \omega_{18} &= -\omega_{11} = \frac{24,713 \cdot z_{18}}{z_6 \cdot z_9 \cdot z_{19} \cdot i_{12} \cdot i_{34}} \cdot \omega_1\end{aligned}\quad (7.19)$$

- *Elementul* (S_{19}) reprezentat prin cilindrul intermediar condus antrenat prin frecare de cilindrul intermediar conducător, cu următoarele ecuații de legătură și de transmitere a mișcării:

$$\begin{aligned}\varphi_{19} &= -\varphi_{16} = \frac{1570,938 \cdot z_{18}}{z_6 \cdot z_9 \cdot z_{19} \cdot z_{21} \cdot i_{12} \cdot i_{34}} \cdot \varphi_1; \\ \omega_{18} &= -\omega_{16} = \frac{1570,938 \cdot z_{18}}{z_6 \cdot z_9 \cdot z_{19} \cdot z_{21} \cdot i_{12} \cdot i_{34}} \cdot \omega_1\end{aligned}\quad (7.20)$$

7.1.4. Cinematica subansamblului de comandă a saltului băncii inelelor și a băncii limitatoarelor de balon

Acest subansamblu este prezentat în figura 7.5, dar și într-o vedere frontală pe direcția A către B în figura 7.6.

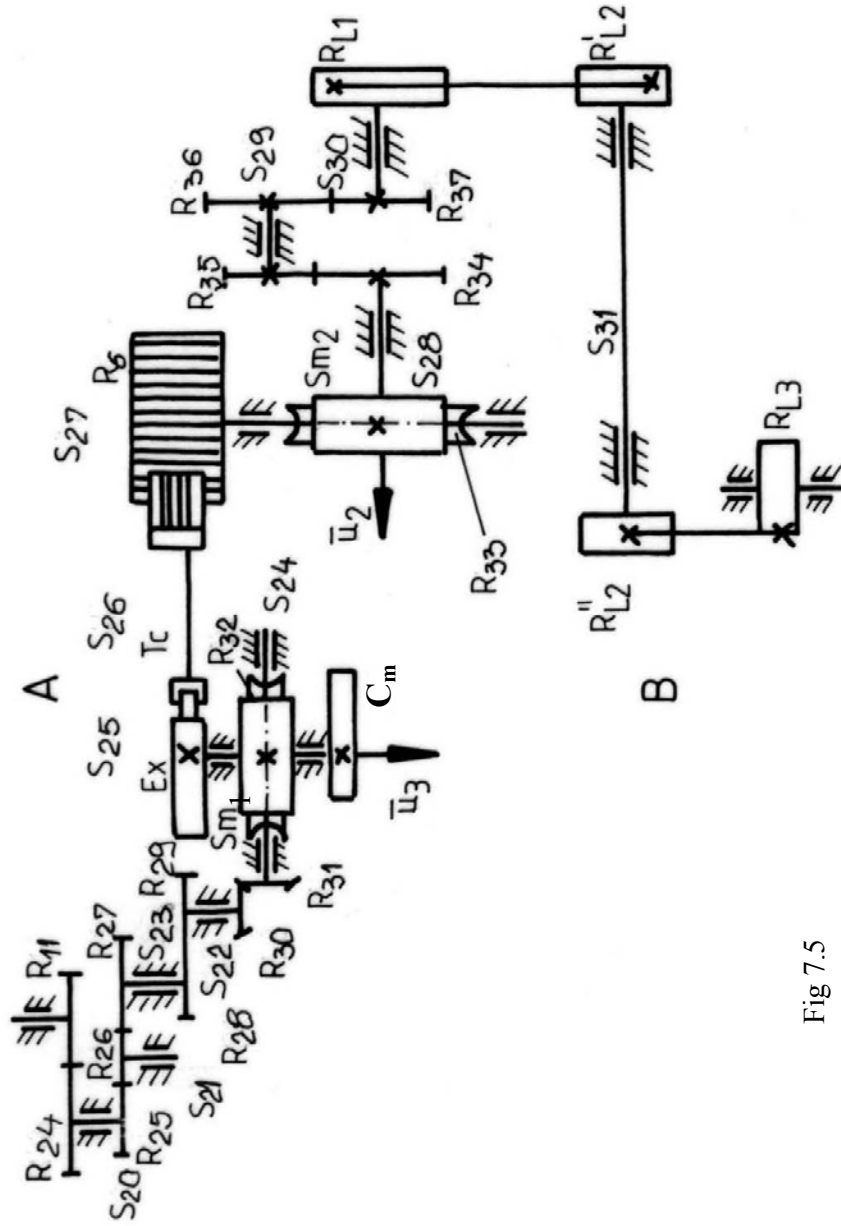


Fig 7.5

În figura 7.6 se observă mai bine modul de antrenare a roții stea (R_s) de către excentricul (E_x) prin intermediul tachetului (T_c). Subansamblul este format din următoarele elemente:

- *Elementul* (S_{20}), reprezentat prin blocul rigid format din roțile dințate coaxiale (R_{24}) și (R_{25}), cu $z_{24} = 50$ dinți și $z_{25} = 30$ dinți, ale cărui ecuații de legătură și de transmitere ale mișcării corespunzătoare cuplajului cu roata (R_{11}), au formele:

$$\varphi_{20} = -\frac{z_{11}}{z_{24}} \cdot \varphi_{11} = -\frac{229,563}{z_6 \cdot z_9 \cdot i_{12} \cdot i_{34}} \cdot \varphi_1;$$

$$\omega_{20} = -\frac{z_{11}}{z_{24}} \omega_{11} = -\frac{229,563}{z_6 \cdot z_9 \cdot i_{12} \cdot i_{34}} \cdot \omega_1 \quad (7.21)$$

semnele mărimilor φ_{20} și ω_{20} fiind raportate și acum la versorul \bar{u}_3 – figura 7.4.

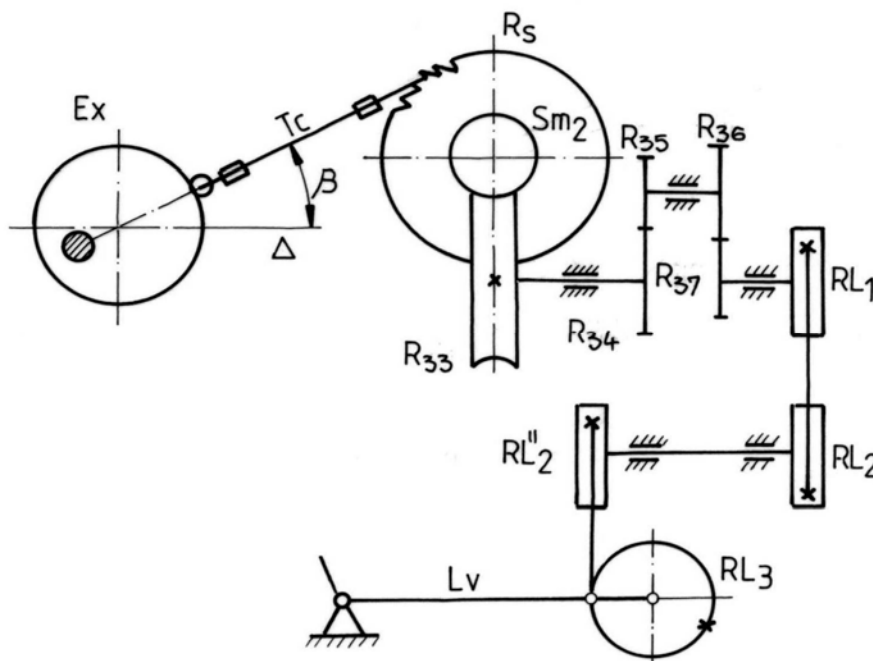


Fig. 7.6

- *Elementul* (S_{21}), reprezentat prin roata dințată intermediară (R_{26}) cu $z_{26} = 34$ dinți, pentru care ecuațiile de legătură și de transmitere ale mișcării corespunzătoare cuplajului cu roata (R_{25}) au formele:

$$\begin{aligned}\varphi_{21} &= -\frac{z_{25}}{z_{26}} \cdot \varphi_{20} = \frac{202,556}{z_6 \cdot z_9 \cdot i_{12} \cdot i_{34}} \cdot \varphi_1; \\ \omega_{21} &= \frac{202,556}{z_6 \cdot z_9 \cdot i_{12} \cdot i_{34}} \cdot \omega_1\end{aligned}\quad (7.22)$$

- *Elementul* (S₂₂), reprezentat prin blocul de roți dințate coaxiale (R₂₇) și (R₂₈) cu z₂₇ = 30...53 dinți și, respectiv z₂₈ = 52, 38, 62 sau 41 dinți.

Ecuatiile de legătură și de transmitere ale mișcării corespunzătoare cuplajului acestui element cu roata dințată (R₂₆) sunt:

$$\begin{aligned}\varphi_{22} &= -\frac{z_{26}}{z_{27}} \cdot \varphi_{21} = -\frac{6886,915}{z_6 \cdot z_9 \cdot z_{27} \cdot i_{12} \cdot i_{34}} \cdot \varphi_1; \\ \omega_{22} &= -\frac{6886,915}{z_6 \cdot z_9 \cdot z_{27} \cdot i_{12} \cdot i_{34}} \cdot \omega_1\end{aligned}\quad (7.23)$$

- *Elementul* (S₂₃), reprezentat prin blocul rigid format din roata dințată cilindrică (R₂₉) și roata dințată conică (R₃₀), coaxiale, cu z₂₉ = 30, 44, 20 sau 41 dinți și z₃₀ = 12 dinți, pentru care ecuațiile de legătură și de transmitere ale mișcării corespunzătoare cuplajului cu roata (R₂₈) vor avea formele:

$$\begin{aligned}\varphi_{23} &= -\frac{z_{28}}{z_{29}} \cdot \varphi_{22} = -\frac{6886,915 \cdot z_{28}}{z_6 \cdot z_9 \cdot z_{27} \cdot z_{29} \cdot i_{12} \cdot i_{34}} \cdot \varphi_1 \\ \omega_{23} &= \frac{z_{28}}{z_{29}} \cdot \omega_{22} = -\frac{6886,915 \cdot z_{28}}{z_6 \cdot z_9 \cdot z_{27} \cdot z_{29} \cdot i_{12} \cdot i_{34}} \cdot \omega_1\end{aligned}\quad (7.24)$$

- *Elementul* (S₂₄), reprezentat prin blocul rigid format din roata dințată conică (R₃₁) și șurubul melc (S_m), coaxiale, cu z₃₁ = 12 dinți și m₁ = 1 început, pentru care ecuațiile de legătură și de transmitere ale mișcării au formele:

$$\begin{aligned}\varphi_{24} &= -\frac{z_{30}}{z_{31}} \cdot \varphi_{23} = -\frac{6886,915 \cdot z_{28}}{z_6 \cdot z_9 \cdot z_{27} \cdot z_{29} \cdot i_{12} \cdot i_{34}} \cdot \varphi_1 \\ \omega_{24} &= \frac{z_{30}}{z_{31}} \cdot \omega_{23} = -\frac{6886,915 \cdot z_{28}}{z_6 \cdot z_9 \cdot z_{27} \cdot z_{29} \cdot i_{12} \cdot i_{34}} \cdot \omega_1\end{aligned}\quad (7.25)$$

semnele mărimilor φ_{24} și ω_{24} fiind raportate acum la versorul \bar{u}_1 , ales ca în figura 1.4.

- *Elementul* (S₂₅), reprezentat prin blocul rigid format din roata melcată (R₃₂) cu z₃₂ = 78 dinți, din cama (C_m) și din excentricul (E_x), ultimele fixate pe axul roții melcate.

Pentru acest element, ecuațiile de legătură și de transmitere ale mișcării corespunzătoare cuplajului acestui element cu șurubul melc au formele:

$$\begin{aligned}\varphi_{25} &= \frac{m}{z_{32}} \cdot \varphi_{24} = \frac{88,293 \cdot z_{28}}{z_6 \cdot z_9 \cdot z_{27} \cdot z_{29} \cdot i_{12} \cdot i_{34}} \cdot \varphi_1; \\ \omega_{25} &= -\frac{88,293 \cdot z_{28}}{z_6 \cdot z_9 \cdot z_{27} \cdot z_{29} \cdot i_{12} \cdot i_{34}} \cdot \omega_1\end{aligned}\quad (7.26)$$

cu semnele mărimilor φ_{25} și ω_{25} raportate din nou la versorul \bar{u}_3 .

- *Elementul* (S_{26}), reprezentat prin tachelul cu clicheți (T_c), care, acționează periodic asupra roții stea (R_s) și îi provoacă acesteia o rotație intermitentă în același sens.

Pentru a stabili ecuațiile de legătură și de transmitere ale mișcării corespunzătoare cuplajului tachelului (T_c) cu excentricul (E_x), se va considera figura 7.7 în care este prezentat acest cuplaj; poziția trasată cu linie întreruptă a excentricului corespunde situației când unghiul φ_c de rotație al excentricului (același cu unghiul de rotație al camei (C_m)) are valorile:

$$\varphi_c = \varphi_\alpha = 2k\pi, \quad (k = 0, 1, 2, 3, \dots)$$

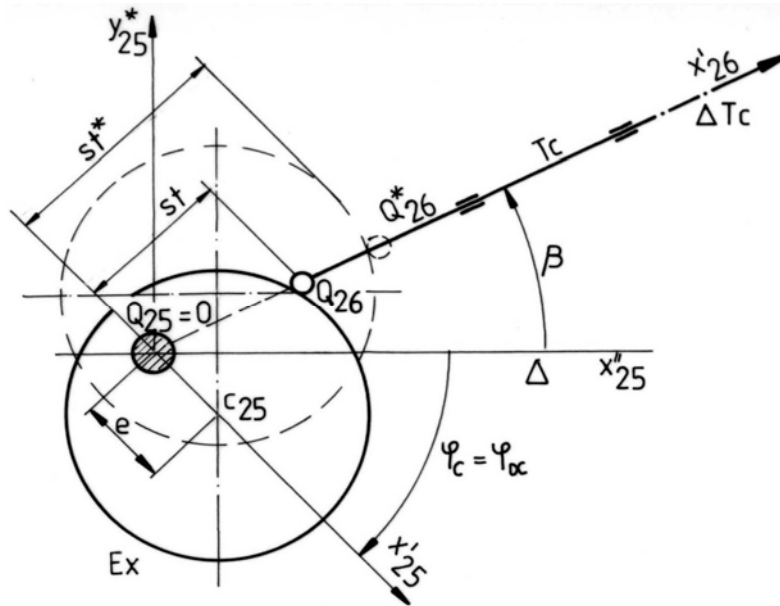


Fig. 7.7

Pentru această valoare a unghiului φ_c , raza vectoare a camei are, în dreptul rolei levierului oscilant, valoarea minimă, iar raza vectoare a excentricului are, în dreptul rolei tachelului (T_c), valoarea maximă.

Tachelul (T_c) execută o translație rectilinie în lungul unei axe (ΔT_c), ce trece prin axul de rotație al excentricului și formează unghiul β cu orizontala (Δ); poziția centrului rolei tachelului ales ca pol (Q_{26}) al reperului $Q_{26}x'_{26}y'_{26}z'_{26}$ invariabil legat de tachel - ultimul ales cu axa $Q_{26}x'_{26}$ după axa tachelului - va fi determinată prin distanța acestui pol la axa de rotație a excentricului:

$$S_t = \overline{Q_{25}Q_{26}}$$

Alegând un reper $Q'_{25}x_{25}y_{25}z_{25}$, cu axele paralele la axele reperului fix la care se raportează pozițiile tuturor elementelor mașinii - axa $Q'_{25}x_{25}$ - fiind considerată confundată cu axa (Δ) și axa Q_x paralelă cu axa (Δ) - dreapta (ΔT_c) va avea următoarea ecuație față de acest reper:

$$y^* = \operatorname{tg}\beta \cdot x^* \quad (7.27)$$

în timp ce cercul de profil al excentricului, corespunzător poziției determinate prin unghiul φ_{c1} , va avea ecuația:

$$(x^* - e \cos\varphi_c)^2 + (y^* + e \sin\varphi_c)^2 - R^2 = 0 \quad (7.28)$$

R fiind raza excentricului.

Intersecția dreptei (7.27) cu cercul (7.28) va conduce la ecuația:

$$x^{*2} (1 + \operatorname{tg}^2\beta) - 2 \cdot e \cdot (\cos\varphi_c - \operatorname{tg}\beta \cdot \sin\varphi_c) \cdot x^* - (R^2 - e^2) = 0 \quad (7.29)$$

cu rădăcinile:

$$x_{1,2}^* = \frac{e \cdot (\cos\varphi_c - \operatorname{tg}\beta \cdot \sin\varphi_c)}{1 + \operatorname{tg}^2\beta} \pm \frac{\sqrt{e^2 \cdot (\cos\varphi_c - \operatorname{tg}\beta \cdot \sin\varphi_c)^2 + (1 - \operatorname{tg}^2\beta) \cdot (R^2 - e^2)}}{1 + \operatorname{tg}^2\beta} \quad (7.30)$$

Punctului de contact al cercului cu axa tachelului îi va corespunde, în condițiile prezentate, prima rădăcină.

Rezultă deci următoarele coordonate, în reperul $Q_{25}x_{25}y_{25}z_{25}$, ale punctului Q_{26} de contact al excentricului cu tachetul cu clicheți:

$$\left\{ \begin{array}{l} x_{Q_{26}}^* = \frac{e \cdot (\cos \varphi_c - \operatorname{tg} \beta \cdot \sin \varphi_c)}{1 + \operatorname{tg}^2 \beta} \pm \\ \pm \frac{\sqrt{e^2 \cdot (\cos \varphi_c - \operatorname{tg} \beta \cdot \sin \varphi_c)^2 + (R^2 - e^2) \cdot (1 + \operatorname{tg}^2 \beta)}}{1 + \operatorname{tg}^2 \beta} \\ y_{Q_{26}}^* = \frac{e \cdot \operatorname{tg} \beta}{1 + \operatorname{tg}^2 \beta} [\cos \varphi_c - \operatorname{tg} \beta \cdot \sin \varphi_c] + \\ + \frac{\operatorname{tg} \beta}{1 + \operatorname{tg}^2 \beta} \cdot \sqrt{e^2 (\cos \varphi_c - \operatorname{tg} \beta \cdot \sin \varphi_c)^2 + (R^2 - e^2) \cdot (1 + \operatorname{tg}^2 \beta)} \end{array} \right. \quad (7.31)$$

Pentru valorile concrete $R = 57,5$ (mm); $e = 35$ (mm);
 $\beta = \frac{\pi}{6} = 0,05236$ (rad), expresiile precedente vor lua formele:

$$\left\{ \begin{array}{l} x_{Q_{26}}^* = 26,2526 \cdot (\cos \varphi_c - 0,5773 \cdot \sin \varphi_c) + \\ + 0,7500 \cdot \sqrt{1225 \cdot [\cos \varphi_c - 0,5773 \cdot \sin \varphi_c]^2 + 2774,7225} \\ y_{Q_{26}}^* = 15,1556 \cdot (\cos \varphi_c - 0,5773 \cdot \sin \varphi_c) + \\ + 0,4330 \cdot \sqrt{1225 \cdot [\cos \varphi_c - 0,5773 \cdot \sin \varphi_c]^2 + 2774,7225} \end{array} \right. \quad (7.32)$$

Înlocuind unghiul de rotație φ_c cu expresia sa în funcție de unghiul de rotație al rotorului motorului φ_1 și introducând și notația:

$$\cos \varphi_c - 0,5773 \cdot \sin \varphi_c = \cos \left[\frac{88,293 \cdot z_{28}}{z_6 \cdot z_9 \cdot z_{27} \cdot z_{29} \cdot i_{12} \cdot i_{34}} \cdot \varphi_1 - \varphi_c^0 \right] - \\ - 0,5773 \cdot \sin \left[\frac{88,293 \cdot z_{28}}{z_6 \cdot z_9 \cdot z_{27} \cdot z_{29} \cdot i_{12} \cdot i_{34}} \cdot \varphi_1 - \varphi_c^0 \right] = F(\varphi_1) \quad (7.33)$$

se vor mai putea retranscrie expresiile (7.32) ale coordonatelor polului Q_{26} sub formele:

$$x_{Q_{26}}^* = 26,2526 \cdot F(\varphi_1) + 0,7500 \cdot \sqrt{2774,7225 + 1225 \cdot F^2(\varphi_1)} \\ y_{Q_{26}}^* = 15,1556 \cdot F(\varphi_1) + 0,4330 \cdot \sqrt{2774,7225 + 1225 \cdot F^2(\varphi_1)} \quad (7.34)$$

rezultând astfel următoarea expresie pentru parametrul de poziție (S_i) al tachetului:

$$S_t = \sqrt{x_{Q_{26}}^{*2} + y_{Q_{26}}^{*2}} = \sqrt{1837,6277 \cdot F^2(\varphi_1) + 52,5035 \cdot \sqrt{2774,7225 + 1225 \cdot F^2(\varphi_1)}} \quad (7.35)$$

precum și următoarea expresie pentru parametrul cinematic $v_{Q_{26}}$ al tachetului:

$$V_{Q_{26}} = S_t = \frac{\left[1837,6277 + \frac{32158,4550}{\sqrt{2774,7225 + 1225 \cdot F^2(\varphi_1)}} \right]}{\sqrt{1837,6277 \cdot F^2(\varphi_1) + 52,5036 \cdot \sqrt{2774,7225 + 1225 \cdot F^2(\varphi_1)}}} \cdot \omega_1 \quad (7.36)$$

Introducând notația:

$$G(\varphi_1) = \frac{\left[1837,6277 + \frac{32158,4550}{\sqrt{2774,7225 + 1225 \cdot F^2(\varphi_1)}} \right]}{\sqrt{1837,6277 \cdot F^2(\varphi_1) + 52,5036 \cdot \sqrt{2774,7225 + 1225 \cdot F^2(\varphi_1)}}} \quad (7.37)$$

expresia precedentă a vitezei tachetului va mai putea fi scrisă sub forma:

$$V_{Q_{26}} = G(\varphi_1) \cdot \omega_1 \quad (7.38)$$

- *Elementul* (S_{27}), reprezentat prin blocul rigid format din roata stea (R_s), cu $z_s = 225$ dinți și din șurubul melc (S_{m2}) cu $m_2 = 1$ început, ambele coaxiale.

În cazul acestui element este mai ușor să se stabilească direct dependența unghiului de rotație φ_s al roții stea în funcție de unghiul de rotație φ_c al excentricului, considerând ca poziție de plecare poziția în care raza vectoare a excentricului este maximă și poziția roții stea corespunde începutului levatei; în această situație graficul dependenței $\varphi_s = \varphi_s(\varphi_c)$, construit prin determinări experimentale, are forma din figura 7.8, prezentându-se ca un grafic în scară, cu valori alternând periodic, cu perioada 2π , de o parte și de alta a unei axe (Δ) ce trece prin origine și formează cu axa absciselor un unghi α_s reglabil în funcție de finețea firului, dar constant în timpul unei levate.

Se observă din figura 7.8 că funcția în scară $\varphi_s = \varphi_s(\varphi_c)$ poate fi considerată ca rezultând din suprapunerea peste funcția liniară:

$$\varphi_{s1} = g \cdot \operatorname{tg} \alpha_s \cdot \varphi_s \quad (7.39)$$

a unei funcții periodice în triunghi, de forma:

$$\varphi_{s2} = \varphi_{s2}(\varphi_c) = \varphi_{s2}(\varphi_c + 2\pi) \quad (7.40)$$

adică se poate scrie:

$$\varphi_s = \varphi_{s1} + \varphi_{s2} = \operatorname{tg}\alpha_s \cdot \varphi_c + \varphi_{s2}(\varphi_c) \quad (7.41)$$

În intervalul unei perioade, funcția periodică este definită prin următoarea ecuație:

$$\varphi_{s2}(\varphi_c) \begin{cases} = 4\operatorname{tg}\alpha_s \cdot \varphi_c & \text{pentru } \varphi_c \in [0; 0,02\pi] \\ = -\operatorname{tg}\alpha_s \cdot (\varphi_c - \pi) & \text{pentru } \varphi_c \in [0,2\pi; 1,8\pi] \\ = 4\operatorname{tg}\alpha_s \cdot (\varphi_c - 2\pi) & \text{pentru } \varphi_c \in [1,8\pi; 2\pi] \end{cases} \quad (7.42)$$

Calculând coeficienții seriei Fourier corespunzători, vor rezulta următoarele expresii ale acestora:

$$a_0 = \frac{1}{\pi} \left[4\operatorname{tg}\alpha_s \int_0^{0,2\pi} \varphi_c d\varphi_c - \operatorname{tg}\alpha_s \int_{0,2\pi}^{1,8\pi} (\varphi_c - \pi) d\varphi_c + 4\operatorname{tg}\alpha_s \int_{1,8\pi}^{2\pi} (\varphi_c - 2\pi) d\varphi_c \right] = 0 \quad (7.43)$$

și:

$$\begin{aligned} a_\lambda &= \frac{1}{\pi} \left[4\operatorname{tg}\alpha_s \int_0^{0,2\pi} \varphi_c \cos(\lambda\varphi_c) d\varphi_c - \operatorname{tg}\alpha_s \int_{0,2\pi}^{1,8\pi} (\varphi_c - \pi) \cos(\lambda\varphi_c) d\varphi_c + 4\operatorname{tg}\alpha_s \int_{1,8\pi}^{2\pi} (\varphi_c - 2\pi) \cos(\lambda\varphi_c) d\varphi_c \right] = \\ &= \frac{5\operatorname{tg}\alpha_s}{\pi} \frac{1}{\lambda^2} [\cos(0,2\pi\lambda) - \cos(1,8\pi\lambda)] = 0 \\ b_\lambda &= \frac{1}{\pi} \left[4\operatorname{tg}\alpha_s \int_0^{0,2\pi} \varphi_c \sin(\lambda\varphi_c) d\varphi_c - \operatorname{tg}\alpha_s \int_{0,2\pi}^{1,8\pi} (\varphi_c - \pi) \sin(\lambda\varphi_c) d\varphi_c + \operatorname{tg}\alpha_s \int_{1,8\pi}^{2\pi} (\varphi_c - 2\pi) \sin(\lambda\varphi_c) d\varphi_c \right] = \\ &= \frac{5\operatorname{tg}\alpha_s}{\pi} \frac{1}{\lambda^2} [\sin(0,2\pi\lambda) - \sin(1,8\pi\lambda)] = \frac{10\operatorname{tg}\alpha_s}{\pi} \frac{1}{\lambda^2} \sin(0,2\pi\lambda) \\ &\text{cu } (\lambda = 1, 2, 3 \dots) \end{aligned} \quad (7.44)$$

Pentru valoarea concretă:

$$\alpha_s = 55^0 = 0,96 \text{ rad}$$

rezultă următoarele expresii pentru coeficienții seriei Fourier considerate:

$$a_0 = 0;$$

$$a_\lambda = 0;$$

$$b_\lambda = 4,5466 \cdot \frac{\sin(0,2\pi\lambda)}{\lambda^2} \quad (\lambda = 1, 2, 3 \dots) \quad (7.45)$$

cu următoarele valori concrete pentru primii cinci dintre coeficienții b_λ :

$$b_1 = 2,678; b_2 = 0,081; b_3 = 0,478; b_4 = 0,170; b_5 = 0 \quad (7.46)$$

Deci, în concluzie, funcția periodică $\varphi_{s2}(\varphi_c)$ exprimată riguros prin seria trigonometrică:

$$\varphi_{s2}(\varphi_c) = \frac{10 \cdot \operatorname{tg}\alpha_s}{\pi} \cdot \sum_{\lambda=1}^{\infty} \left[\frac{1}{\lambda^2} \cdot \sin(0,2\pi\lambda) \right] \cdot \sin(\lambda \cdot \varphi_c) \quad (7.47)$$

poate fi aproximată cu polinomul trigonometric:

$$\varphi_{s2}(\varphi_c) \approx \frac{10 \cdot \operatorname{tg} \alpha_s}{\pi} \cdot \sum_{\lambda=1}^4 \frac{\sin(0,2\pi\lambda)}{\lambda^2} \cdot \sin(\lambda \cdot \varphi_c) \quad (7.48)$$

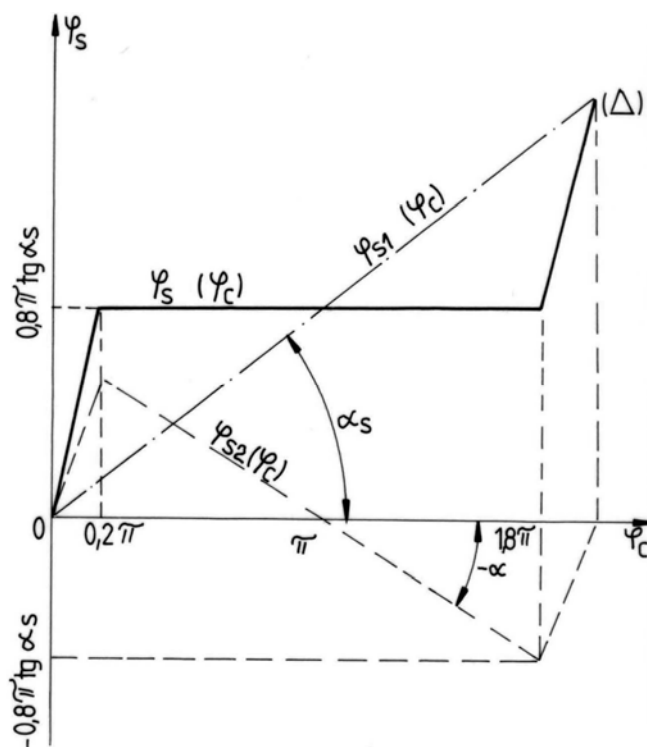


Fig. 7.8

Introducând expresia (7.48) în relația (1.41), se obține următoarea relație de dependență a unghiului de rotație al roții stea în funcție de unghiul de rotație al excentricului:

$$\varphi_s = \operatorname{tg} \alpha_s \cdot \varphi_c + \frac{10 \cdot \operatorname{tg} \alpha_s}{\pi} \cdot \sum_{\lambda=1}^4 \frac{\sin(0,2\pi\lambda)}{\lambda^2} \cdot \sin(\lambda \cdot \varphi_c) \quad (7.49)$$

Admițând că în momentul în care începe levata, unghiul format de axa $Q_{27}x'_{27}$ legată invariabil de elementul (S_{27}), cu axa de referință orizontală (Δ) pentru măsurarea unghiurilor de rotație considerate este φ_s^0 , rezultă că unghiul de rotație φ_{27} al elementului (S_{27}) va avea expresia:

$$\varphi_{27} = \varphi_s^0 + \varphi_s = \varphi_s^0 + \operatorname{tg} \alpha_s \cdot \varphi_c + \frac{10 \cdot \operatorname{tg} \alpha_s}{\pi} \cdot \sum_{\lambda=1}^4 \frac{\sin(0,2\pi\lambda)}{\lambda^2} \cdot \sin(\lambda \cdot \varphi_c) \quad (7.50)$$

Dacă se mai ține seama și de expresia (7.33) a unghiului de rotație φ_c al excentricului, se obține și următoarea ecuație de legătură pentru elementul (S₂₇):

$$\begin{aligned} \varphi_{27} = & (\varphi_s^0 - \operatorname{tg} \alpha_s \cdot \varphi_c^0) + \frac{88,293 \cdot z_{28} \cdot \operatorname{tg} \alpha_s}{z_6 \cdot z_9 \cdot z_{27} \cdot z_{29} \cdot i_{12} \cdot i_{34}} \cdot \varphi_1 + \\ & + \frac{10 \cdot \operatorname{tg} \alpha_s}{\pi} \cdot \sum_{\lambda=1}^4 \frac{\sin(0,2\pi\lambda)}{\lambda^2} \cdot \sin \left[\lambda \cdot \left(\frac{88,293 \cdot z_{28}}{z_6 \cdot z_9 \cdot z_{27} \cdot z_{29} \cdot i_{12} \cdot i_{34}} \cdot \varphi_1 - \varphi_c^0 \right) \right] \end{aligned} \quad (7.51)$$

cu ecuația de transmisie a mișcării corespunzătoare de forma:

$$\begin{aligned} \omega_{27} = \varphi_{27} = & \frac{88,293 \cdot z_{28} \cdot \operatorname{tg} \alpha_s}{z_6 \cdot z_9 \cdot z_{27} \cdot z_{29} \cdot i_{12} \cdot i_{34}} \left[1 + \frac{10}{\pi} \cdot \sum_{\lambda=1}^4 \frac{\sin(0,2\pi\lambda)}{\lambda^2} \right] \cdot \\ \cdot \cos \left[\lambda \cdot \left(\frac{88,293 \cdot z_{28} \cdot \operatorname{tg} \alpha_s}{z_6 \cdot z_9 \cdot z_{27} \cdot z_{29} \cdot i_{12} \cdot i_{34}} \cdot \varphi_1 - \varphi_c^0 \right) \right] \cdot \omega_1 = & \frac{88,293 \cdot z_{28} \cdot \operatorname{tg} \alpha_s}{z_6 \cdot z_9 \cdot z_{27} \cdot z_{29} \cdot i_{12} \cdot i_{34}} \cdot H(\varphi_1) \cdot \omega_1 \end{aligned} \quad (7.52)$$

În ultima relație, funcția $H(\varphi_1)$ are semnificația:

$$H(\varphi_1) = 1 + \frac{10}{\pi} \cdot \sum_{\lambda=1}^4 \frac{\sin(0,2\pi\lambda)}{\lambda^2} \cdot \cos \left[\lambda \cdot \left(\frac{88,293 \cdot z_{28}}{z_6 \cdot z_9 \cdot z_{27} \cdot z_{29} \cdot i_{12} \cdot i_{34}} \cdot \varphi_1 - \varphi_c^0 \right) \right] \quad (7.53)$$

- *Elementul* (S₂₈) reprezentat prin blocul rigid format din roata melcată (R₃₃) și roata dințată (R₃₄) – figura 7.5, cu $z_{33} = 40$ dinți și $z_{34} = 50$ dinți, ambele roți fiind coaxiale.

Ecuatiile de legătură și de transmitere ale mișcării corespunzătoare cuplajului acestui element cu elementul (S₂₇) au formele:

$$\begin{aligned} \varphi_{28} = \frac{m_2}{z_{33}} \cdot \varphi_{27} = \frac{1}{40} \cdot \varphi_{27} = & \frac{\varphi_s^0 - \operatorname{tg} \alpha_s \cdot \varphi_c^0}{40} + \frac{2,207 \cdot z_{28} \cdot \operatorname{tg} \alpha_s}{z_6 \cdot z_9 \cdot z_{27} \cdot z_{29} \cdot i_{12} \cdot i_{34}} \cdot \varphi_1 + \\ & + \frac{\operatorname{tg} \alpha_s}{4\pi} \cdot \sum_{\lambda=1}^4 \frac{\sin(0,2\pi\lambda)}{\lambda} \cdot \sin \left[\lambda \cdot \left(\frac{88,293 \cdot z_{28}}{z_6 \cdot z_9 \cdot z_{27} \cdot z_{29} \cdot i_{12} \cdot i_{34}} \cdot \varphi_1 - \varphi_c^0 \right) \right] \end{aligned} \quad (7.54)$$

respectiv:

$$\omega_{28} = \frac{m_2}{z_{33}} \cdot \omega_{27} = \frac{1}{40} \cdot \omega_{27} = \frac{2,207 \cdot z_{28} \cdot \operatorname{tg} \alpha_s}{z_6 \cdot z_9 \cdot z_{27} \cdot z_{29} \cdot i_{12} \cdot i_{34}} \cdot H(\varphi_1) \cdot \omega_1 \quad (7.55)$$

- *Elementul* (S₂₉), reprezentat prin blocul rigid format din roțile dințate coaxiale (R₃₅) și (R₃₆) cu $z_{35} = 20$ dinți și, respectiv $z_{36} = 22$ dinți, pentru care ecuațiile de legătură și de transmitere ale mișcării corespunzătoare cuplajului cu elementul (S₂₈) sunt:

$$\begin{aligned} \varphi_{29} = -\frac{z_{34}}{z_{35}} \cdot \varphi_{28} = & -\frac{\varphi_s^0 - \operatorname{tg}\alpha_s \cdot \varphi_c^0}{16} - \frac{5,517 \cdot z_{28} \cdot \operatorname{tg}\alpha_s}{z_6 \cdot z_9 \cdot z_{27} \cdot i_{12} \cdot i_{34}} \cdot \varphi_1 - \\ & - 0,199 \cdot \operatorname{tg}\alpha_s \cdot \sum_{\lambda=1}^4 \frac{\sin(0,2\pi\lambda)}{\lambda^2} \cdot \sin \left[\lambda \cdot \left(\frac{88,293 \cdot z_{28}}{z_6 \cdot z_9 \cdot z_{27} \cdot z_{29} \cdot i_{12} \cdot i_{34}} \cdot \varphi_1 - \varphi_c^0 \right) \right] \end{aligned} \quad (7.56)$$

respectiv:

$$\omega_{29} = -\frac{z_{34}}{z_{35}} \cdot \omega_{28} = -\frac{5,517 \cdot z_{28} \cdot \operatorname{tg}\alpha_s}{z_6 \cdot z_9 \cdot z_{27} \cdot z_{29} \cdot i_{12} \cdot i_{34}} \cdot H(\varphi_1) \cdot \omega_1 \quad (7.57)$$

- *Elementul* (S_{30}), reprezentat prin blocul rigid format din roata dințată (R_{37}) și din roata de lanț (R_{L1}), coaxiale, cu $z_{37} = 48$ dinți și $D_{L1} = 114,3$ mm, respectiv $D'_{L1} = 114,3 + 11 = 125,3$ mm, unde:

$$D'_{L1} = D_{L1} + 2 \frac{d}{2}$$

este diametrul real de înfășurare a lanțului ($d = 11$ mm grosimea lanțului) - figura 7.9.

Ecuțiile de legătură și de transmitere ale mișcării corespunzătoare cuplajului elementelor (S_{30}) cu (S_{29}) au formele:

$$\begin{aligned} \varphi_{30} = -\frac{z_{36}}{z_{37}} \cdot \varphi_{29} = & 0,029 \cdot (\varphi_s^0 - \operatorname{tg}\alpha_s \cdot \varphi_c^0) + \frac{2,529 \cdot z_{28} \cdot \operatorname{tg}\alpha_s}{z_6 \cdot z_9 \cdot z_{27} \cdot i_{12} \cdot i_{34}} \cdot \varphi_1 + \\ & + 0,091 \cdot \operatorname{tg}\alpha_s \cdot \sum_{\lambda=1}^4 \frac{\sin(0,2\pi\lambda)}{\lambda^2} \cdot \sin \left[\lambda \cdot \left(\frac{88,293 \cdot z_{28}}{z_6 \cdot z_9 \cdot z_{27} \cdot z_{29} \cdot i_{12} \cdot i_{34}} \cdot \varphi_1 - \varphi_c^0 \right) \right] \end{aligned} \quad (7.58)$$

respectiv:

$$\omega_{30} = -\frac{z_{36}}{z_{37}} \cdot \omega_{29} = -\frac{2,529 \cdot z_{28} \cdot \operatorname{tg}\alpha_s}{z_6 \cdot z_9 \cdot z_{27} \cdot z_{29} \cdot i_{12} \cdot i_{34}} \cdot H(\varphi_1) \cdot \omega_1 \quad (7.59)$$

- *Elementul* (S_{31}), reprezentat prin blocul rigid format din roțile de lanț coaxiale (R'_{L2}) și (R''_{L2}) - figura 7.6, cu diametrul $D'_{L2} = D''_{L2} = 114,3$ mm, respectiv $D'_{L2} = D''_{L2} = 114,3 + 11 = 125,3$ mm pentru care ecuațiile de legătură și de transmisie ale mișcării vor avea formele:

$$\begin{aligned} \varphi_{31} = \varphi_{30} = & 0,029 \cdot (\varphi_s^0 - \operatorname{tg}\alpha_s \cdot \varphi_c^0) + \frac{2,529 \cdot z_{28} \cdot \operatorname{tg}\alpha_s}{z_6 \cdot z_9 \cdot z_{27} \cdot i_{12} \cdot i_{34}} \cdot \varphi_1 + \\ & + 0,091 \cdot \operatorname{tg}\alpha_s \cdot \sum_{\lambda=1}^4 \frac{\sin(0,2\pi\lambda)}{\lambda^2} \cdot \sin \left[\lambda \cdot \left(\frac{88,293 \cdot z_{28}}{z_6 \cdot z_9 \cdot z_{27} \cdot z_{29} \cdot i_{12} \cdot i_{34}} \cdot \varphi_1 - \varphi_c^0 \right) \right] \end{aligned} \quad (7.60)$$

$$\omega_{31} = \omega_{30} = -\frac{2,529 \cdot z_{28} \cdot \operatorname{tg} \alpha_s}{z_6 \cdot z_9 \cdot z_{27} \cdot z_{29} \cdot i_{12} \cdot i_{34}} \cdot H(\varphi_1) \cdot \omega_1 \quad (7.61)$$

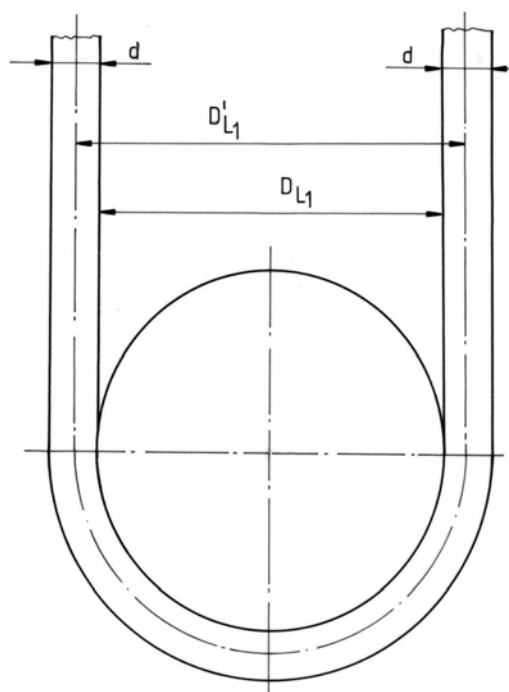


Fig. 7.9

7.1.5. Cinematica ansamblului de antrenare a băncii inelelor și a băncii inelelor limitatoare de balon

Acest ultim subansamblu – figura 7.10, este format din următoarele elemente:

- *Elementul* (S_{32}), reprezentat prin levierul oscilant (L_v), acționat de cama (C_m) prin intermediul unei role mici.

Cama (C_m) "Șaramet" [165], și are profilul reprezentat la scară în figura 7.11; dependența unghiului de oscilație φ_L al levierului de unghiul de rotație φ_c al camei, considerat de la poziția pentru care banca inelelor are cota minimă, este prezentată în tabelul 7.2, precum și în graficele din figura 7.12.

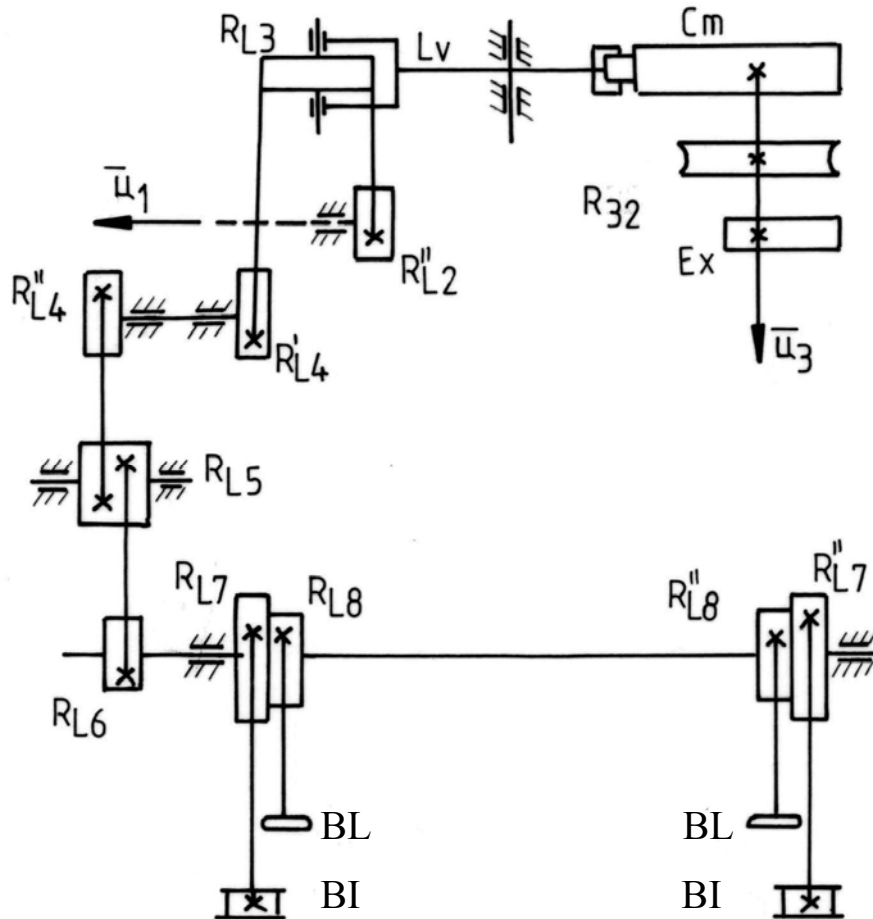


Fig. 7.10

Graficele din figura 7.12 conduc la concluzia că levierul oscilează după o lege periodică în triunghi – figura 7.13, cu următoarele ecuații în decursul unei perioade:

$$\varphi_L \begin{cases} = 0,0268\varphi_C + 1,1985 - \text{pentru } \varphi_C \in [0; 4,1888] \\ = -0,0535\varphi_C + 1,5348 - \text{pentru } \varphi_C \in [4,1888; 6,2832] \end{cases} \quad (7.62)$$

Tabelul 7.2

Poz.	φ_c	$\Delta\varphi_L$	$\varphi_L = \varphi_{L0} + \Delta\varphi_L$	φ_L (rel. 7.66)
0.	0,0000	0,0000	1,1985	1,2052
7.	0,1148	0,0029	1,2014	1,2061
2.	0,2380	0,0058	1,2043	1,2026
3.	0,3602	0,0093	1,2078	1,1990
4.	0,4906	0,0130	1,2115	1,2058
5.	0,6264	0,0165	1,2150	1,2117
6.	0,7670	0,0203	1,2188	1,2159
7.	0,9138	0,0244	1,2229	1,2201
8.	1,0643	0,0282	1,2267	1,2244
9.	1,2206	0,0325	1,2310	1,2295
10.	1,3823	0,0369	1,2354	1,2356
17.	1,5489	0,0416	1,2401	1,2409
12.	1,7208	0,0465	1,2450	1,2470
13.	1,8980	0,0509	1,2494	1,2540
14.	2,0804	0,0559	1,2543	1,2602
15.	2,2678	0,0610	1,2595	1,2673
16.	2,4605	0,0663	1,2648	1,2738
17.	2,6584	0,0712	1,2697	1,2779
18.	2,8614	0,0765	1,2750	1,2820
19.	3,0689	0,0820	1,2805	1,2869
20.	3,2831	0,0881	1,2866	1,2905
27.	3,5018	0,0939	1,2924	1,2960
22.	3,7255	0,1000	1,2985	1,3012
23.	3,9545	0,1056	1,3041	1,3081
24.	4,1888	0,1117	1,3107	1,3051
25.	4,4205	0,1000	1,2985	1,2905
26.	4,6417	0,0881	1,2866	1,2820
27.	4,8525	0,0765	1,2750	1,2738
28.	5,0529	0,0663	1,2648	1,2602
29.	5,2429	0,0558	1,2543	1,2509
30.	5,4227	0,0465	1,2450	1,2435
37.	5,5920	0,0369	1,2354	1,2361
32.	5,7510	0,0282	1,2267	1,2287
33.	5,8995	0,0203	1,2188	1,2202
34.	6,0378	0,0130	1,2115	1,2164
35.	6,1657	0,0058	1,2043	1,2096
36.	6,2832	0,0000	1,1985	1,2052

Obs. - valorile tuturor unghiurilor din tabel sunt exprimate în radiani.

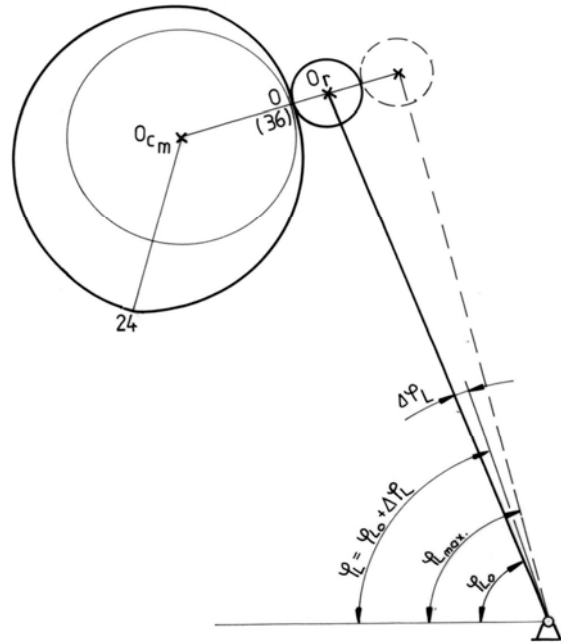


Fig. 7.11

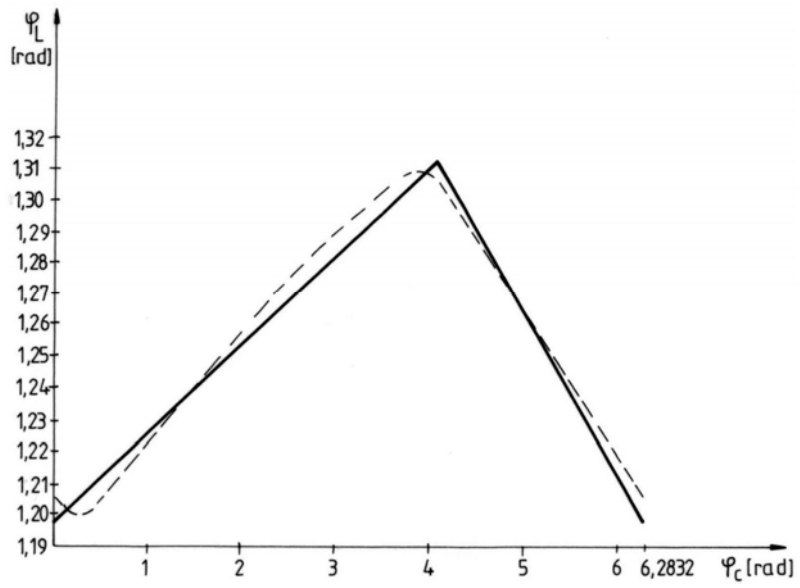


Fig. 7.12

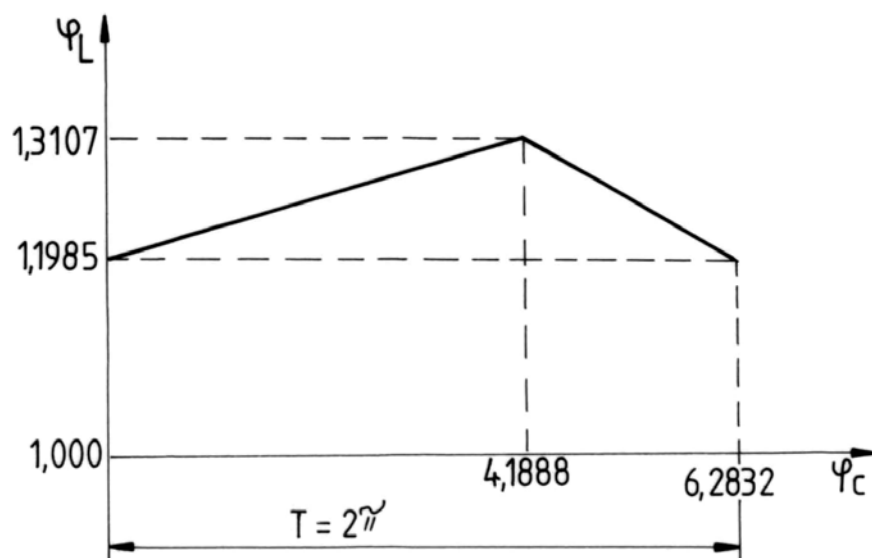


Fig. 7.13

Funcția periodică $\varphi_L = \varphi_{L(\varphi_c)}$, dezvoltată în serie Fourier, are forma:

$$\varphi_L = \frac{1}{2} a_0 + \sum_{\lambda=1}^{\infty} [a_{\lambda} \cdot \cos(\lambda \cdot \varphi_c) + b_{\lambda} (\lambda \cdot \varphi_c)] \quad (7.63)$$

cu coeficienții seriei determinați prin relațiile:

$$a_0 = \frac{1}{\pi} \left[\int_0^{4,1888} [0,0268\varphi_c + 1,1985] d\varphi_c + \int_{4,1888}^{6,2832} [-0,0535\varphi_c + 1,5348] d\varphi_c \right] = 2,5092 \quad (7.64)$$

și:

$$a_{\lambda} = \frac{1}{\pi} \left[\int_0^{4,1888} [0,0268\varphi_c + 1,1985] \cos(\lambda \cdot \varphi_c) d\varphi_c + \int_{4,1888}^{6,2832} [-0,0535\varphi_c + 1,5348] \cos(\lambda \cdot \varphi_c) d\varphi_c \right] = -\frac{0,0255}{\lambda^2} [1 - \cos(4,1888 \lambda)]$$

$$\begin{aligned}
 b_{\lambda} = & \frac{1}{\pi} \left[\int_0^{4,1888} [0,0268\varphi_c + 1,1985] \sin(\lambda \cdot \varphi_c) d\varphi_c + \right. \\
 & \left. + \int_{4,1888}^{6,2832} [-0,0535\varphi_c + 1,5348] \sin(\cdot \varphi_c) d\varphi_c \right] = \frac{0,0255}{\lambda^2} [1 - \sin(4,1888\lambda)] \\
 & (\lambda = 1, 2, 3, \dots) \qquad (1,65)
 \end{aligned}$$

Calculând coeficienții seriei pentru primele cinci valori ale indicelui λ , rezultă următoarele valori ale acestora:

$$\begin{aligned}
 a_1 &= -0,0382 ; & b_1 &= -0,0220 \\
 a_2 &= 0,0095 ; & b_2 &= -0,0055 \\
 a_3 &= 0 ; & b_3 &= 0 \\
 a_4 &= -0,0024 ; & b_4 &= -0,0014 \\
 a_5 &= -0,0015 ; & b_5 &= -0,0008
 \end{aligned}$$

care permit să se aproximeze seria (7.63) cu următoarea expresie simplificată:

$$\begin{aligned}
 \varphi_L = & 1,2546 - 0,0382 \cdot \cos\varphi_c - 0,0220 \cdot \sin\varphi_c + \\
 & + 0,0095 \cos 2\varphi - 0,0055 \cdot \sin 2\varphi_c \qquad (7.66)
 \end{aligned}$$

Graficul trasat prin linie întreruptă în figura 1.12 dovedește că aproximarea făcută poate fi acceptată fără rezerve pentru calculul dinamic ce va fi efectuat ulterior.

În cazul când se va dori o precizie mai mare în aprecierea valorii unghiului φ_L vor fi luați în considerare un număr mai mare de termeni în polinomul trigonometric care aproximează seria; se apreciază însă că pentru stabilirea ecuației diferențiale a mașinii, numărul de termeni considerat este satisfăcător.

Revenind la cuplajul dintre camă și levierul oscilant (L_V), se va considera, pentru stabilirea ecuației de transmitere a mișcării, prezentarea frontală - de la A la B - figura 7.14, a schemei cinematice a subansamblului considerat prezentată în figura 1.10.

Admițând că în momentul în care unghiul φ_L are valoarea minimă $\varphi_{L\min} = 1,1985$ rad, axa $Q_{25}x'_{25}$ a reazemului $Q_{25}x'_{25}y'_{25}z'_{25}$ legată invariabil de elementul (S_{25}) formează cu axa (Δ) de referință pentru măsurarea unghiurilor de rotație, cu valorile scalare raportate la versorul \bar{u}_1 , un unghi $\varphi_{25} = \varphi_c^0$, unghiul de rotație al camei, calculat din poziția corespunzătoare lui $\varphi_{L\min}$, va avea valoarea:

$$\varphi_C = \varphi_{25} - \varphi_C^0 = \frac{88,293 \cdot z_{28}}{z_6 \cdot z_9 \cdot z_{27} \cdot z_{29} \cdot i_{12} \cdot i_{34}} \cdot \varphi_1 - \varphi_C^0 \quad (7.67)$$

iar unghiul de oscilație a levierului (L_V) calculat cu ajutorul relației (7.66) va avea expresia:

$$\begin{aligned} \varphi_1 = & 1,2546 - 0,0382 \cdot \cos \left[\frac{88,293 \cdot z_{28}}{z_6 \cdot z_9 \cdot z_{27} \cdot z_{29} \cdot i_{12} \cdot i_{34}} \cdot \varphi_1 - \varphi_C^0 \right] - \\ & - 0,0220 \cdot \sin \left[\frac{88,293 \cdot z_{28}}{z_6 \cdot z_9 \cdot z_{27} \cdot z_{29} \cdot i_{12} \cdot i_{34}} \cdot \varphi_1 - \varphi_C^0 \right] + \\ & + 0,0095 \cdot \cos \left[\frac{176,586 \cdot z_{28}}{z_6 \cdot z_9 \cdot z_{27} \cdot z_{29} \cdot i_{12} \cdot i_{34}} \cdot \varphi_1 - 2\varphi_C^0 \right] - \\ & - 0,0055 \cdot \sin \left[\frac{176,586 \cdot z_{28}}{z_6 \cdot z_9 \cdot z_{27} \cdot z_{29} \cdot i_{12} \cdot i_{34}} \cdot \varphi_1 - 2\varphi_C^0 \right] \end{aligned} \quad (7.68)$$

Pe de altă parte, dacă se notează cu $\gamma = \frac{7}{12}\pi$ unghiul dintre cele două brațe ale levierului oscilant - figura 1.14, unghiul φ_{26} de rotație al levierului, format cu aceeași axă de referință (Δ) cu axa $Q_{32}x'_{32}$ a reperului $Q_{32}x'_{32}y'_{32}z'_{32}$, invariabil atașat brațului levierului pe care este montată roata de lanț (R_{L3}) va fi dat de relația:

$$\varphi_{32} = \pi - (\gamma + \varphi_L) = 1,3090 - \varphi_C$$

rezultând de aici, prin înlocuirea lui φ_L cu expresia (7.68), următoarea ecuație de legătură corespunzătoare cuplajului dintre cama (C_m) și levierul oscilant (L_V):

$$\begin{aligned} \varphi_{32} = & 0,0544 + 0,0382 \cdot \cos \left[\frac{88,293 \cdot z_{28}}{z_6 \cdot z_9 \cdot z_{27} \cdot z_{29} \cdot i_{12} \cdot i_{34}} \cdot \varphi_1 - \varphi_C^0 \right] + \\ & + 0,0220 \cdot \sin \left[\frac{88,293 \cdot z_{28}}{z_6 \cdot z_9 \cdot z_{27} \cdot z_{29} \cdot i_{12} \cdot i_{34}} \cdot \varphi_1 - \varphi_C^0 \right] - \\ & - 0,0095 \cdot \cos \left[\frac{176,586 \cdot z_{28}}{z_6 \cdot z_9 \cdot z_{27} \cdot z_{29} \cdot i_{12} \cdot i_{34}} \cdot \varphi_1 - 2\varphi_C^0 \right] + \\ & + 0,0055 \cdot \sin \left[\frac{176,586 \cdot z_{28}}{z_6 \cdot z_9 \cdot z_{27} \cdot z_{29} \cdot i_{12} \cdot i_{34}} \cdot \varphi_1 - 2\varphi_C^0 \right] \end{aligned} \quad (7.69)$$

Prin derivarea în raport cu timpul a relației precedente, se obține și următoarea ecuație de legătură corespunzătoare cuplajului dintre cama (C_m) și levierul oscilant (L_V):

$$\omega_{32} = - \frac{88,293 \cdot z_{28} \cdot \omega_1}{z_6 \cdot z_9 \cdot z_{27} \cdot z_{29} \cdot i_{12} \cdot i_{34}} \cdot 0,0382 \cdot \sin \left[\frac{88,293 \cdot z_{28}}{z_6 \cdot z_9 \cdot z_{27} \cdot z_{29} \cdot i_{12} \cdot i_{34}} \cdot \varphi_1 - \varphi_C^0 \right] - \frac{88,293 \cdot z_{28} \cdot \omega_1}{z_6 \cdot z_9 \cdot z_{27} \cdot z_{29} \cdot i_{12} \cdot i_{34}} \cdot 0,0220 \cdot \cos \left[\frac{88,293 \cdot z_{28}}{z_6 \cdot z_9 \cdot z_{27} \cdot z_{29} \cdot i_{12} \cdot i_{34}} \cdot \varphi_1 - \varphi_C^0 \right] - \frac{88,293 \cdot z_{28} \cdot \omega_1}{z_6 \cdot z_9 \cdot z_{27} \cdot z_{29} \cdot i_{12} \cdot i_{34}} \cdot 0,0190 \cdot \sin \left[\frac{176,586 \cdot z_{28}}{z_6 \cdot z_9 \cdot z_{27} \cdot z_{29} \cdot i_{12} \cdot i_{34}} \cdot \varphi_1 - 2\varphi_C^0 \right] - \frac{88,293 \cdot z_{28} \cdot \omega_1}{z_6 \cdot z_9 \cdot z_{27} \cdot z_{29} \cdot i_{12} \cdot i_{34}} \cdot 0,0110 \cdot \cos \left[\frac{176,586 \cdot z_{28}}{z_6 \cdot z_9 \cdot z_{27} \cdot z_{29} \cdot i_{12} \cdot i_{34}} \cdot \varphi_1 - 2\varphi_C^0 \right] \quad (7.70)$$

care, prin introducerea notației:

$$\Phi(\varphi_1) = 0,0382 \cdot \sin \left[\frac{88,293 \cdot z_{28}}{z_6 \cdot z_9 \cdot z_{27} \cdot z_{29} \cdot i_{12} \cdot i_{34}} \cdot \varphi_1 - \varphi_C^0 \right] - 0,0220 \cdot \cos \left[\frac{88,293 \cdot z_{28}}{z_6 \cdot z_9 \cdot z_{27} \cdot z_{29} \cdot i_{12} \cdot i_{34}} \cdot \varphi_1 - \varphi_C^0 \right] + 0,0190 \cdot \sin \left[\frac{176,586 \cdot z_{28}}{z_6 \cdot z_9 \cdot z_{27} \cdot z_{29} \cdot i_{12} \cdot i_{34}} \cdot \varphi_1 - 2\varphi_C^0 \right] - 0,0110 \cdot \cos \left[\frac{176,586 \cdot z_{28}}{z_6 \cdot z_9 \cdot z_{27} \cdot z_{29} \cdot i_{12} \cdot i_{34}} \cdot \varphi_1 - 2\varphi_C^0 \right] \quad (7.71)$$

rezultă forma concentrată:

$$\omega_{32} = - \frac{88,293 \cdot z_{28}}{z_6 \cdot z_9 \cdot z_{27} \cdot z_{29} \cdot i_{12} \cdot i_{34}} \cdot \Phi(\varphi_1) \cdot \omega_1 \quad (7.72)$$

În relațiile (7.69) și (7.71) semnul mărimilor φ_{32} și ω_{32} a fost raportat la versorul \bar{u}_7 .

- *Elementul* (S_{33}), reprezentat prin roata de lanț (R_{L3}), în rotație relativă liberă față de furca levierului oscilant în care este fixată axa ei de rotație.

Această roată are diametrul $D_{L3} = 80$ mm, deci diametrul $D_{L3}^* = 80 + 11 = 91$ mm și este înfășurată de un lanț ale cărui extremități sunt fixate una de roata de lanț (R'_{L2}) și cealaltă de roata de lanț (R'_{L4}) - figurile 1.10 și 1.14.

Data fiind valoarea mică a unghiului de rotație φ_{32} al levierului oscilant:

$$\pi - (\gamma + \varphi_{L.min}) \leq \varphi_{32} \leq \pi - (\gamma + \varphi_{L.max}) \quad (7.73)$$

cu:

$$\varphi_{L_{\max}} - \varphi_{L_{\min}} = 0,1122 \text{ rad.} \quad (7.74)$$

se admite că roata de lanț (R_{L3}) exercită o mișcare plan paralelă rezultând dintr-o translație rectilinie pe verticală și dintr-o rotație în jurul axei sale, consecință a variației lungimii lanțului de legătură cu roțile (R_{L2}'') și (R_{L4}') – figura 7.13, variație produsă atât de rotația oscilatorie a levierului, cât și de rotația roții (R_{L2}''), comandată de roata stea.

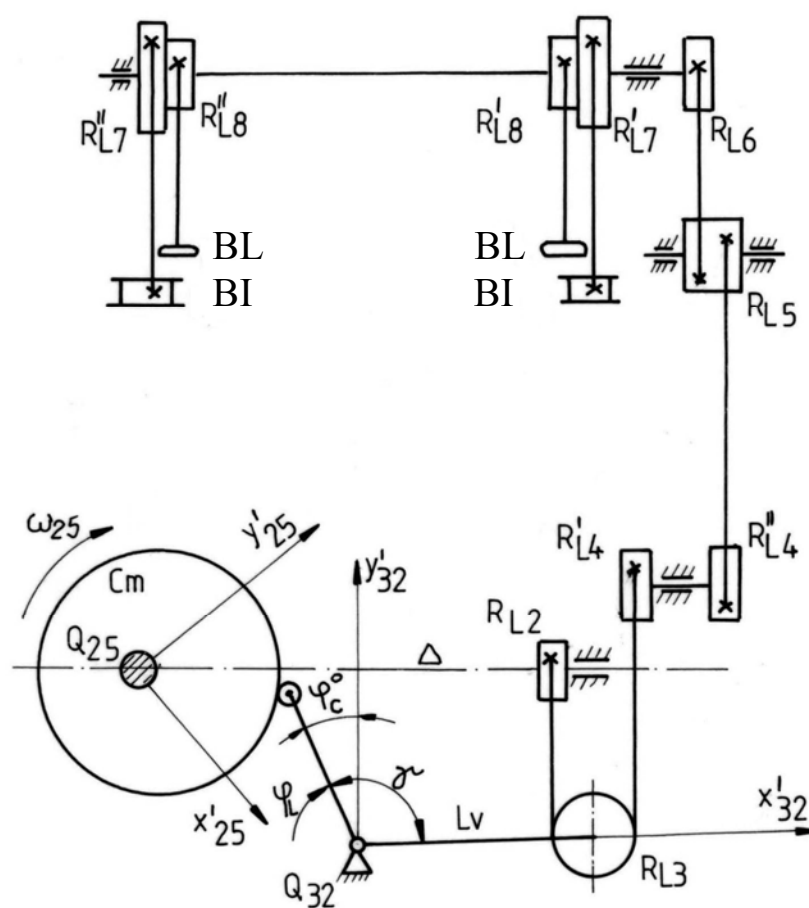


Fig. 7.14

Notând cu L distanța reglabilă de la centrul roții de lanț (R_{L3}) la axul de rotație al levierului oscilant, distanță variind, în funcție de finețea firului, între limitele $L = 187 \dots 311$ mm, dar constantă în timpul unei

levate, și cu $y_{G_{33}}$ ordonata centrului de masă G_{33} al roții de lanț (R_{L3}), stabilită de la orizontala ce trece prin axul de rotație al levierului, ecuațiile de legătură și de transmisie ale mișcării corespunzătoare translației roții de lanț (R_{L3}) - figura 7.15, sunt:

$$y_{G_{32}}^* = L \cdot \varphi_{32} = L \cdot \Phi(\varphi_1) \quad (7.75)$$

respectiv:

$$V_{G_{35}} = y_{G_{32}}^* = L \cdot \omega_{32} = - \frac{88,293 \cdot z_{28} \cdot L}{z_6 \cdot z_9 \cdot z_{27} \cdot z_{29} \cdot i_{12} \cdot i_{34}} \cdot \Phi(\varphi_1) \cdot \omega_1 \quad (7.76)$$

Pentru a stabili ecuația de legătură și de transmisie ale mișcării corespunzătoare rotației roții de lanț (R_{L3}), se precizează mai întâi că această rotație este provocată, pe de o parte, de modificarea lungimii lanțului de legătură cu roțile de lanț (R'_{L2}) și (R'_{L1}), în urma oscilației levierului și, pe de altă parte, de rotația intermitentă a roții de lanț (R_{L1}) comandată de roata stea.

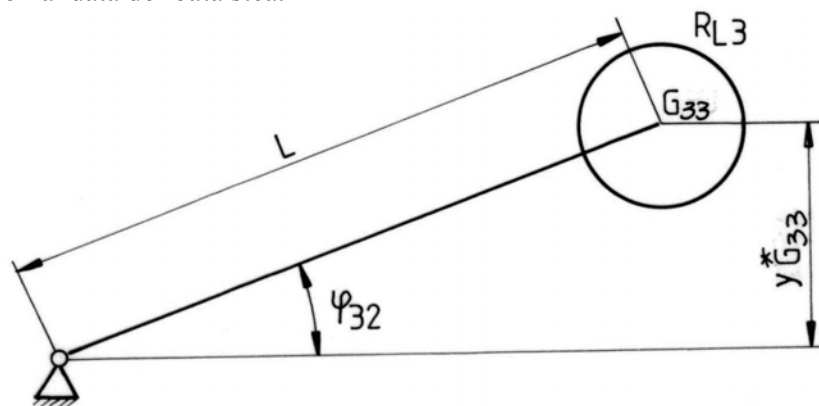


Fig. 7.15

Pentru aprecierea primei rotații, $\varphi_{32(i)}$, se va observa - figura 1.16, că la o deplasare a centrului roții (R_{L3}) din poziția G_{33}^0 , de ordonată maximă $y_{G_{33}}^{*0}$, corespunzătoare valorii:

$$\varphi_{32}^0 = \pi - (\gamma + \varphi_{L\min})$$

a unghiului de rotație al levierului, până într-o poziție de ordonată $y_{G_{33}}^*$, lungimea lanțului de legătură între roțile (R''_{L2}), (R''_{L3}) și (R_{L4}) crește cu valoarea $2 \cdot (y_{G_{33}}^* - y_{G_{33}}^{*0})$ desfășurată numai de pe roata de lanț (R'_{L4}),

rezultând astfel o rotație în sens pozitiv raportată la versorul \bar{u}_1 a roții de lanț, de un unghi:

$$\varphi_{33(1)} = \frac{2 \cdot (y_{G33}^{*0} - y_{G33}^*)}{D_{L3}^*} = 0,0439 \cdot [y_{G33}^{*0} - L \cdot \Phi(\varphi_1)] \quad (7.77)$$

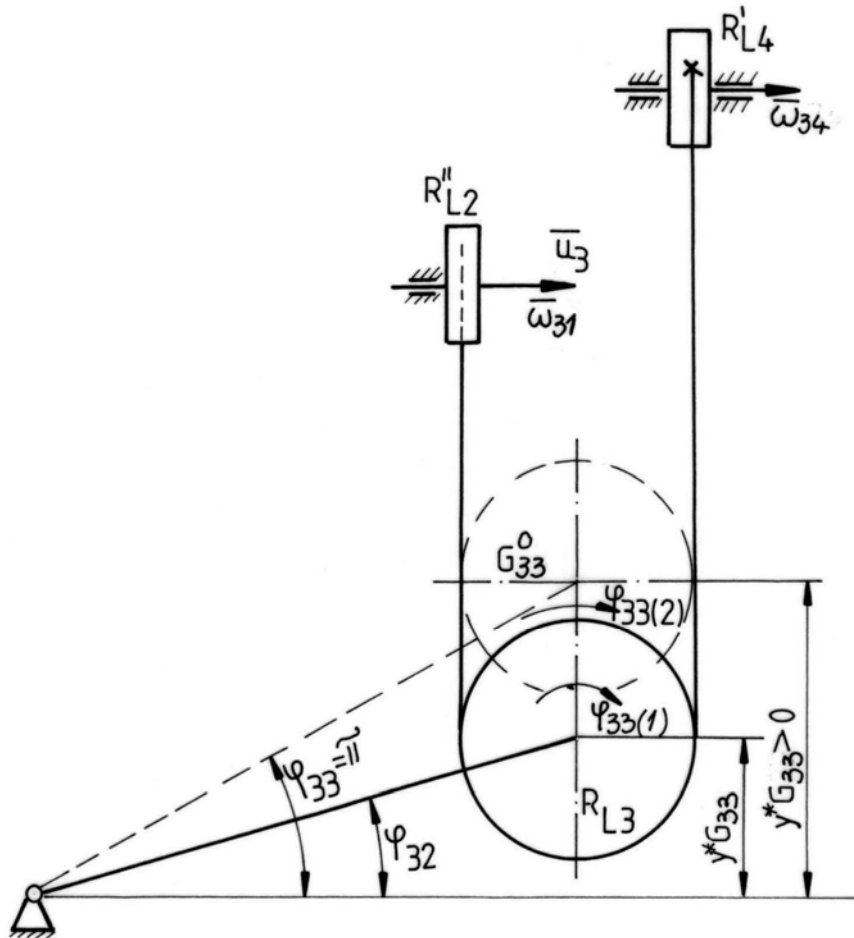


Fig. 7.16

În ceea ce privește cea de-a doua rotație, provocată de rotația intermitentă (comandată de roata stea) a roții de lanț (R_{L2}), se va remarca că unghiul de rotație corespunzător ei, $\varphi_{33(1)}$, este dat de relația:

$$\varphi_{33} = \frac{D_{L_2}^*}{D_{L_3}^*} \cdot \varphi_{31} = 0,040 \cdot (\varphi_S^0 - \operatorname{tg}\alpha_S \cdot \varphi_C^0) + \frac{3,482 \cdot z_{28} \cdot \operatorname{tg}\alpha_S}{z_6 \cdot z_9 \cdot z_{27} \cdot z_{29} \cdot i_{12} \cdot i_{34}} \cdot \varphi_1 +$$

$$+ 0,125 \cdot \operatorname{tg}\alpha_S \cdot \sum_{\lambda=1}^4 \frac{\sin(0,2\pi\lambda)}{\lambda} \cdot \sin \left[\lambda \cdot \left(\frac{88,293 \cdot z_{28}}{z_6 \cdot z_9 \cdot z_{27} \cdot z_{29} \cdot i_{12} \cdot i_{34}} \cdot \varphi_1 - \varphi_C^0 \right) \right] \quad (7.78)$$

Rezultă deci următoarea expresie pentru unghiul total de rotație al roții de lanț (R_{L3}):

$$\varphi_{33} = \varphi_{33(1)} + \varphi_{33(2)} = 0,0439 \cdot [y_{G_{38}}^{*0} - L \cdot \Phi(\varphi_1)] + 0,04 \cdot (\varphi_S^0 - \operatorname{tg}\alpha_S \cdot \varphi_C^0) +$$

$$+ \frac{3,482 \cdot z_{28} \cdot \operatorname{tg}\alpha_S}{z_6 \cdot z_9 \cdot z_{27} \cdot z_{29} \cdot i_{12} \cdot i_{34}} \cdot \varphi_1 +$$

$$+ 0,125 \cdot \operatorname{tg}\alpha_S \cdot \sum_{\lambda=1}^4 \frac{\sin(0,2\pi\lambda)}{\lambda} \cdot \sin \left[\lambda \cdot \left(\frac{88,293 \cdot z_{28}}{z_6 \cdot z_9 \cdot z_{27} \cdot z_{29} \cdot i_{12} \cdot i_{34}} \cdot \varphi_1 - \varphi_C^0 \right) \right] = F(\varphi_1) \quad (7.79)$$

De asemenea, pentru viteza unghiulară a roții de lanț (R_{L3}) va rezulta expresia:

$$\omega_{33} = \dot{\varphi}_{33(1)} + \dot{\varphi}_{33(2)} - \frac{4 \cdot \dot{y}_{G_{33}}^*}{D_{L_3}^*} + \frac{D_{L_2}^*}{D_{L_3}^*} \cdot \omega_{31} = -0,040 \cdot V_{G_{33}} + 1,378 \cdot \omega_{31} \quad (7.80)$$

sau încă, ținând seama și de relațiile (7.61) și (7.76), expresia finală:

$$\omega_{33} = \frac{3,485 \cdot z_{28}}{z_6 \cdot z_9 \cdot z_{27} \cdot z_{29} \cdot i_{12} \cdot i_{34}} \cdot [\operatorname{tg}\alpha \cdot H(\varphi_1) - 1,013 \cdot L \cdot \Phi(\varphi_1)] \cdot \omega_1 \quad (7.81)$$

- *Elementul* (S_{34}), reprezentat prin blocul rigid format din roțile de lanț coaxiale (R'_{L4}) și (R''_{L4}) cu (D'_{L4}) = (D''_{L4}) = 114,3 respectiv $D_{L4}^* = D_{L4}^{**} = 114,3 + 11 = 125,3$ mm.

Ecuatiile de legătură și de transmitere ale mișcării corespunzătoare cuplajului cu roata de lanț (R_{L3}) - figura 7.16, vor avea formele:

$$\varphi_{34} = \frac{D_{L_3}^*}{D_{L_4}^{**}} \cdot \varphi_{33} = 0,726 \cdot F(\varphi_1) = 0,032 \cdot [y_{G_{38}}^{*0} - L \cdot \Phi(\varphi_1)] +$$

$$+ 0,029 \cdot (\varphi_S^0 - \operatorname{tg}\alpha_S \cdot \varphi_C^0) + \frac{2,258 \cdot z_{28} \cdot \operatorname{tg}\alpha_S}{z_6 \cdot z_9 \cdot z_{27} \cdot z_{29} \cdot i_{12} \cdot i_{34}} \cdot \varphi_1 +$$

$$+ 0,091 \cdot \operatorname{tg}\alpha_S \cdot \sum_{\lambda=1}^4 \frac{\sin(0,2\pi\lambda)}{\lambda} \cdot \sin \left[\lambda \cdot \left(\frac{88,293 \cdot z_{28}}{z_6 \cdot z_9 \cdot z_{27} \cdot z_{29} \cdot i_{12} \cdot i_{34}} \cdot \varphi_1 - \varphi_C^0 \right) \right] \quad (7.82)$$

respectiv:

$$\omega_{34} = \frac{D_{L_3}^*}{D_{L_4}^{**}} \cdot \omega_{33} = \frac{2,530 \cdot z_{28}}{z_6 \cdot z_9 \cdot z_{27} \cdot z_{29} \cdot i_{12} \cdot i_{34}} \cdot [1,013 \cdot L \cdot \Phi(\varphi_1) + \operatorname{tg}\alpha_S \cdot H(\varphi_1)] \quad (7.83)$$

- *Elementul* (S₃₅), reprezentat prin roata de lanț (R_{L5}) care are D_{L5} = 123,5 mm, respectiv D*_{L5} = 123,5 + 11 = 134,5 mm, pentru care ecuațiile de legătură și de transmisie ale mișcării corespunzătoare cuplajului ei cu roata de lanț (R''_{L4}) - figura 7.17, au formele:

$$\begin{aligned} \varphi_{35} = & \frac{D_{L4}^*}{D_{L5}^*} \cdot \varphi_{34} = 0,677 \cdot F(\varphi_1) = 0,03 \cdot [y_{G38}^{*0} - L \cdot \Psi(\varphi_1)] + 0,027 \cdot (\varphi_S^0 - \text{tg}\alpha_S \cdot \varphi_C^0) + \\ & + \frac{2,356 \cdot z_{28} \cdot \text{tg}\alpha_S}{z_6 \cdot z_9 \cdot z_{27} \cdot z_{29} \cdot i_{12} \cdot i_{34}} \cdot \varphi_1 + \\ & + 0,085 \cdot \text{tg}\alpha_S \cdot \sum_{\lambda=1}^4 \frac{\sin(0,2\pi\lambda)}{\lambda} \cdot \sin \left[\lambda \cdot \left(\frac{88,293 \cdot z_{28}}{z_6 \cdot z_9 \cdot z_{27} \cdot z_{29} \cdot i_{12} \cdot i_{34}} \cdot \varphi_1 - \varphi_C^0 \right) \right] \end{aligned} \quad (7.84)$$

respectiv:

$$\omega_{35} = \frac{D_{L4}^*}{D_{L5}^*} \cdot \omega_{34} = \frac{2,358 \cdot z_{28}}{z_6 \cdot z_9 \cdot z_{27} \cdot z_{29} \cdot i_{12} \cdot i_{34}} \cdot [\text{tg}\alpha_S \cdot H(\varphi_1) - 1,013 \cdot L \cdot \Phi(\varphi_1)] \cdot \omega_1 \quad (7.85)$$

- *Elementul* (S₃₆), reprezentat prin blocul rigid format din roțile de lanț coaxiale (R_{L6}), (R'_{L7}), (R''_{L8}), (R''_{L7}) și (R''_{L8}) - figura 7.16, cu:

D _{L6} = 123 mm	D* _{L6} = 123 + 11 = 134 mm
D' _{L7} = D'' _{L7} 146 mm	D* _{L7} = D'' _{L7} = 146 + 11 = 157 mm
D' _{L8} = D'' _{L8} 97 mm	D* _{L8} = D'' _{L8} = 97 + 11 = 108 mm

pentru care ecuațiile de legătură și de transmisie corespunzătoare cuplajului său cu elementul (S₃₅) sunt:

$$\begin{aligned} \varphi_{36} = & \frac{D_{L5}^*}{D_{L6}^*} \cdot \varphi_{35} = 0,679 \cdot F(\varphi_1) = 0,030 \cdot [y_{G38}^{*0} - L \cdot \Phi(\varphi_1)] + \\ & + 0,027 \cdot (\varphi_S^0 - \text{tg}\alpha_S \cdot \varphi_C^0) + \frac{2,356 \cdot z_{28} \cdot \text{tg}\alpha_S}{z_6 \cdot z_9 \cdot z_{27} \cdot z_{29} \cdot i_{12} \cdot i_{34}} \cdot \varphi_1 + \\ & + 0,085 \cdot \text{tg}\alpha_S \cdot \sum_{\lambda=1}^4 \frac{\sin(0,2\pi\lambda)}{\lambda} \cdot \sin \left[\lambda \cdot \left(\frac{88,243 \cdot z_{28}}{z_6 \cdot z_9 \cdot z_{27} \cdot z_{29} \cdot i_{12} \cdot i_{34}} \cdot \varphi_1 - \varphi_C^0 \right) \right] \end{aligned} \quad (7.86)$$

respectiv:

$$\omega_{36} = \frac{D_{L5}^*}{D_{L6}^*} \cdot \omega_{34} = \frac{2,367 \cdot z_{28}}{z_6 \cdot z_9 \cdot z_{27} \cdot z_{29} \cdot i_{12} \cdot i_{34}} \cdot [\text{tg}\alpha_S \cdot H(\varphi_1) - 1,013 \cdot L \cdot \Phi(\varphi_1)] \cdot \omega_1 \quad (7.87)$$

- *Elementul* (S₃₇), reprezentat prin banca inelelor (BI) - figura 1.17, execută o translație rectilinie pe verticală compusă din două mișcări distincte în cursul unei levate:

- o mișcare de ridicare în salturi, comandată de roata stea;
- o mișcare alternativă - de ridicare și coborâre, comandată de cama (C_m) și levierul oscilant (L_v).

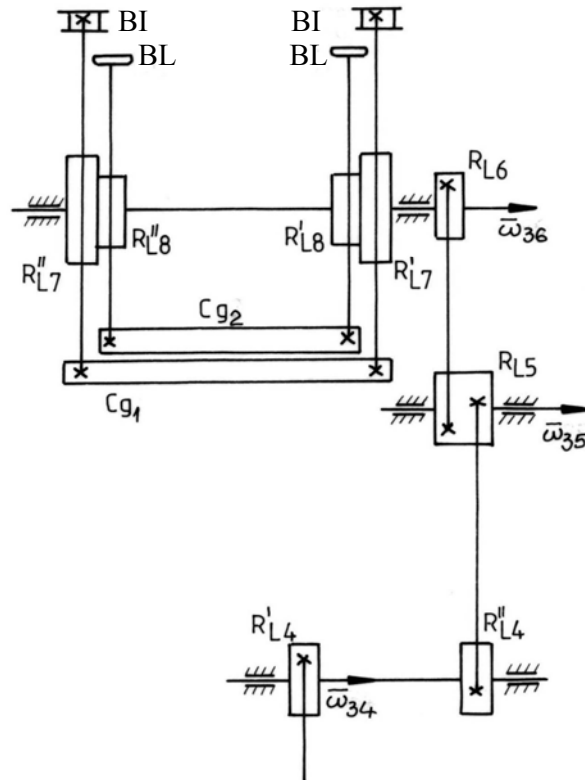


Fig. 7.17

Notând cu y_{G37}^* ordonata centrului de masă al băncii inelelor în raport cu reperul fix $Oxyz$ la care sunt raportate mișcările tuturor elementelor mașinii - reper orientat cu axa Oy pe verticală și în sus - și cu y_{G35}^0 ordonata acestui centru în poziția cea mai coborâtă, corespunzătoare începutului levatei ($\varphi_1 = 0$), ecuațiile de legătură și de transmitere ale mișcării corespunzătoare legăturii băncii inelelor cu roțile de lanț (R'_{L7}) și (R''_{L7}) au formele:

$$\begin{aligned}
 y_{G36} &= y_{G36}^0 + D_{L7}^* \cdot \varphi_{36} = y_{G36}^0 + 106,603 \cdot F(\varphi_1) = \\
 &= y_{G36}^0 + 4,710 \cdot [y_{G38}^{*0} + L \cdot \Psi(\varphi_1)] + \\
 &\quad + 4,239 \cdot (\varphi_S^0 - \operatorname{tg} \alpha_S \cdot \varphi_C^0) + \frac{371,305 \cdot z_{28} \cdot \operatorname{tg} \alpha_S}{z_6 \cdot z_9 \cdot z_{27} \cdot z_{29} \cdot i_{12} \cdot i_{34}} \cdot \varphi_1 + \\
 &\quad + 13,345 \cdot \operatorname{tg} \alpha_S \cdot \sum_{\lambda=1}^4 \frac{\sin(0,2\pi\lambda)}{\lambda} \cdot \sin \left[\lambda \cdot \left(\frac{88,243 \cdot z_{28}}{z_6 \cdot z_9 \cdot z_{27} \cdot z_{29} \cdot i_{12} \cdot i_{34}} \cdot \varphi_1 - \varphi_C^0 \right) \right]
 \end{aligned} \tag{7.88}$$

respectiv:

$$V_{G_{37}} = D_{L_7}^* \cdot \omega_{36} = \frac{371,305 \cdot z_{28}}{z_6 \cdot z_9 \cdot z_{27} \cdot z_{29} \cdot i_{12} \cdot i_{34}} \cdot [\operatorname{tg} \alpha_s \cdot H(\varphi_1) - 1,013 \cdot L \cdot \Phi(\varphi_1)] \quad (7.89)$$

- *Elementul* (S_{38}), reprezentat prin banca inelelor limitatoare de balon (BL) – figura 7.16, care execută o translație rectilinie pe verticală, asemănătoare cu aceea a băncii inelelor, dar cu alte valori ale parametrului cinematic $\bar{V}_{G_{38}}$.

Notând cu $y_{G_{38}}$ ordonata centrului de masă al băncii inelelor limitatoare de balon în raport cu reperul fix $Oxyz$ menționat mai înainte și cu $y_{G_{38}}^0$, valoarea acestei ordonate la începutul levatei, ($\varphi_1 = 0$), ecuațiile de legătură și de transmitere ale mișcării corespunzătoare legăturii băncii inelelor limitatoare de balon cu roțile de lanț (R'_{L8}) și (R''_{L8}) sunt:

$$\begin{aligned} y_{G_{38}} = y_{G_{38}}^0 + D_{L_8}^* \cdot \varphi_{36} = y_{G_{38}}^0 + 73,332 \cdot F(\varphi_1) = y_{G_{38}}^0 + 3,240 \cdot [y_{G_{38}}^{*0} + L \cdot \Phi(\varphi_1)] + \\ + 2,916 \cdot (\varphi_S^0 - \operatorname{tg} \alpha_s \cdot \varphi_C^0) + \frac{255,420 \cdot z_{28} \cdot \operatorname{tg} \alpha_s}{z_6 \cdot z_9 \cdot z_{27} \cdot z_{29} \cdot i_{12} \cdot i_{34}} \cdot \varphi_1 + \\ + 9,180 \cdot \operatorname{tg} \alpha_s \cdot \sum_{\lambda=1}^4 \frac{\sin(0,2\pi\lambda)}{\lambda} \cdot \sin \left[\lambda \cdot \left(\frac{88,243 \cdot z_{28}}{z_6 \cdot z_9 \cdot z_{27} \cdot z_{29} \cdot i_{12} \cdot i_{34}} \cdot \varphi_1 - \varphi_C^0 \right) \right] \end{aligned} \quad (7.90)$$

respectiv

$$V_{G_{38}} = D_{L_8}^* \cdot \omega_{36} = \frac{255,636 \cdot z_{28}}{z_6 \cdot z_9 \cdot z_{27} \cdot z_{29} \cdot i_{12} \cdot i_{34}} \cdot [\operatorname{tg} \alpha_s \cdot H(\varphi_1) - 1,013 \cdot L \cdot \Phi(\varphi_1)] \cdot \omega_1 \quad (7.91)$$

- *Elementul* (S_{39}), reprezentat prin ansamblul contragreutăților (C_{g1}) corespunzătoare tuturor sectoarelor băncii inelelor, care au o mișcare identică cu cea a băncii inelelor, dar în sens invers, pentru care ecuațiile de legătură și de transmitere ale mișcării acestui ansamblu sunt:

$$\begin{aligned} y_{G_{39}} = y_{G_{39}}^0 + D_{L_7}^* \cdot \varphi_{36} = y_{G_{39}}^0 - 106,603 \cdot F(\varphi_1) = y_{G_{39}}^0 - 4,710 \cdot [y_{G_{38}}^{*0} + L \cdot \Phi(\varphi_1)] - \\ - 4,239 \cdot (\varphi_S^0 - \operatorname{tg} \alpha_s \cdot \varphi_C^0) - \frac{371,293 \cdot z_{28} \cdot \operatorname{tg} \alpha_s}{z_6 \cdot z_9 \cdot z_{27} \cdot z_{29} \cdot i_{12} \cdot i_{34}} \cdot \varphi_1 - \\ - 13,345 \cdot \operatorname{tg} \alpha_s \cdot \sum_{\lambda=1}^4 \frac{\sin(0,2\pi\lambda)}{\lambda} \cdot \sin \left[\lambda \cdot \left(\frac{88,243 \cdot z_{28}}{z_6 \cdot z_9 \cdot z_{27} \cdot z_{29} \cdot i_{12} \cdot i_{34}} \cdot \varphi_1 - \varphi_C^0 \right) \right] \end{aligned} \quad (7.92)$$

respectiv:

$$V_{G_{39}} = D_{L_7}^* \cdot \omega_{36} = \frac{371,619 \cdot z_{28}}{z_6 \cdot z_9 \cdot z_{27} \cdot z_{29} \cdot i_{12} \cdot i_{34}} \cdot [\operatorname{tg} \alpha_s \cdot H(\varphi_1) - 1,013 \cdot L \cdot \Phi(\varphi_1)] \cdot \omega_1 \quad (7.93)$$

$y_{G_{38}}^*$ fiind ordonata inițială a centrului de masă G_{38} al ansamblului contragreutăților (C_{g1}).

- *Elementul* (S_{40}), reprezentat prin ansamblul contragreutăților (C_{g2}), corespunzătoare băncii inelelor limitatoare de balon, care are o mișcare

de translație identică ca lege de mișcare cu cea a băncii inelelor limitatoare de balon, dar în sens invers.

Pentru acest ultim element al sistemului, ecuațiile de legătură și de transmisie ale mișcării corespunzătoare legăturii prin fir trecut peste rolă cu banca limitatoarelor de balon, au formele:

$$y_{G_{40}} = y_{G_{40}}^0 - D_{L_8}^* \cdot \varphi_{36} = y_{G_{40}}^0 + 73,332 \cdot F(\varphi_1) = y_{G_{40}}^0 - 3,240 \cdot [y_{G_{38}}^{*0} + L \cdot \Phi(\varphi_1)] - 2,916 \cdot (\varphi_S^0 - \operatorname{tg}\alpha_S \cdot \varphi_C^0) - \frac{255,420 \cdot z_{28} \cdot \operatorname{tg}\alpha_S}{z_6 \cdot z_9 \cdot z_{27} \cdot z_{29} \cdot i_{12} \cdot i_{34}} \cdot \varphi_1 - 9,18 \cdot \operatorname{tg}\alpha_S \cdot \sum_{\lambda=1}^4 \frac{\sin(0,2\pi\lambda)}{\lambda} \cdot \sin \left[\lambda \cdot \left(\frac{88,243 \cdot z_{28}}{z_6 \cdot z_9 \cdot z_{27} \cdot z_{29} \cdot i_{12} \cdot i_{34}} \cdot \varphi_1 - \varphi_C^0 \right) \right] \quad (7.94)$$

respectiv :

$$V_{G_{40}} = D_{L_7}^* \cdot \omega_{36} = \frac{255,6 \cdot z_{28}}{z_6 \cdot z_9 \cdot z_{27} \cdot z_{29} \cdot i_{12} \cdot i_{34}} \cdot [\operatorname{tg}\alpha_S \cdot H(\varphi_1) - 1,013 \cdot L \cdot \Phi(\varphi_1)] \cdot \omega_1 \quad (7.95)$$

$y_{G_{40}}^0$ fiind ordonată inițială a centrului de greutate G_{40} al acestui ansamblu de contragreutăți.

7.2. Dinamica mașinii de filat cu inele

7.2.1. Stabilirea ecuației diferențiale a funcționării mașinii de filat cu inele

Studiul cinematic efectuat anterior permite să se tragă concluzia că, în ipoteza neglijării vibrațiilor fuselor și ale cursorilor, mașina de filat cu inele poate fi considerată ca un sistem vibrant cu un singur grad de libertate, cu poziția determinată prin parametrul langrangian :

$$q_1 = q = \varphi_1 \quad (7.1)$$

φ_1 fiind unghiul de rotație al rotorului motorului.

Funcționarea mașinii de filat cu inele va putea fi deci descrisă printr-o singură ecuație Lagrange de specia a doua, care poate fi scrisă, după calcularea, în prealabil, a expresiilor energiei cinetice a mașinii și ale forțelor generalizate active și disipative corespunzătoare mașinii.

7.2.1.1. Calculul energiei cinetice

Expresiile energiilor cinetice ale celor 40 de elemente distincte ale mașinii, S_i .

Tabelul 7.1

Elementul S_i	Energia cinetică a elementului S_i	Numărul relației	Relația finală a energiei cinetice

S_1	$E_{c1} = \frac{1}{2} J_1 \omega_1^2$	-	$E_{c1} = \frac{1}{2} J_1 \omega_1^2 = \frac{1}{2} J_1^* \omega_1^2$
S_2	$E_{c2} = \frac{1}{2} J_2 \omega_2^2$	(7.2)	$E_{c2} = \frac{1}{2} \left[\frac{1}{i_{1,2}^2} J_2 \right] \cdot \omega_1^2 = \frac{1}{2} J_2^* \omega_1^2$
S_3	$E_{c3} = \frac{1}{2} J_3 \omega_3^2$	(7.3)	$E_{c3} = \frac{1}{2} \left[\frac{0,250}{i_{1,2}^2} J_3 \right] \omega_1^2 = \frac{1}{2} J_3^* \omega_1^2$
S_4	$E_{c4} = \frac{1}{2} J_4 \omega_4^2$	(7.4)	$E_{c4} = \frac{1}{2} \left[\frac{0,250}{i_{1,2}^2 \cdot i_{3,4}^2} J_4 \right] \omega_1^2 = \frac{1}{2} J_4^* \omega_1^2$
S_5	$E_{c5} = \frac{1}{2} J_5 \omega_5^2$	(7.6)	$E_{c5} = \frac{1}{2} \left[\frac{225,0}{z_6^2 \cdot i_{1,2}^2 \cdot i_{3,4}^2} J_5 \right] \omega_1^2 = \frac{1}{2} J_5^* \omega_1^2$
S_6	$E_{c6} = \frac{1}{2} J_6 \omega_6^2$	(7.7)	$E_{c6} = \frac{1}{2} \left[\frac{43,758}{z_6^2 \cdot i_{1,2}^2 \cdot i_{3,4}^2} J_6 \right] \omega_1^2 = \frac{1}{2} J_6^* \omega_1^2$
S_7	$E_{c7} = \frac{1}{2} J_7 \omega_7^2$	(7.8)	$E_{c7} = \frac{1}{2} \left[\frac{202500}{z_6^2 \cdot z_9^2 \cdot i_{1,2}^2 \cdot i_{3,4}^2} J_7 \right] \omega_1^2 = \frac{1}{2} J_7^* \omega_1^2$
S_8	$E_{c8} = \frac{1}{2} J_8 \omega_8^2$	(7.9)	$E_{c8} = \frac{1}{2} \left[\frac{65331,360}{z_6^2 \cdot z_9^2 \cdot i_{1,2}^2 \cdot i_{3,4}^2} J_8 \right] \omega_1^2 = \frac{1}{2} J_8^* \omega_1^2$
S_9	$E_{c9} = \frac{1}{2} J_9 \omega_9^2 +$ $+ J_9(\varphi_1) \omega_9^2$	(7.10)	$E_{c9} = \frac{1}{2} \left\{ \frac{52900}{D_1^2 i_{1,2}^2} \left[J_9 + J(\varphi_1) \right] \right\} \omega_1^2 =$ $= \frac{1}{2} J_9^* \omega_1^2 + \frac{1}{2} J_9(\varphi_1) \omega_1^2$
S_{10}	$E_{c10} = \frac{1}{2} J_{10} \omega_{10}^2$	(7.11)	$E_{c10} = \frac{1}{2} \left[\frac{202500}{z_6^2 \cdot z_9^2 \cdot i_{1,2}^2 \cdot i_{3,4}^2} J_{10} \right] \omega_1^2 = \frac{1}{2} J_{10}^* \omega_1^2$
S_{11}	$E_{c11} = \frac{1}{2} J_{11} \omega_{11}^2$	(7.12)	$E_{c11} = \frac{1}{2} \left[\frac{17013028}{z_6^2 \cdot z_9^2 \cdot i_{1,2}^2 \cdot i_{3,4}^2} J_{11} \right] \omega_1^2 = \frac{1}{2} J_{11}^* \omega_1^2$
S_{12}	$E_{c12} = \frac{1}{2} J_{12} \omega_{12}^2$	(7.13)	$E_{c12} = \frac{1}{2} \left[\frac{4768316}{z_6^2 \cdot z_9^2 \cdot i_{1,2}^2 \cdot i_{3,4}^2} J_{12} \right] \omega_1^2 = \frac{1}{2} J_{12}^* \omega_1^2$
S_{13}	$E_{c13} = \frac{1}{2} J_{13} \omega_{13}^2$	(7.14)	$E_{c13} = \frac{1}{2} \left[\frac{610,732}{z_6^2 \cdot z_9^2 \cdot i_{1,2}^2 \cdot i_{3,4}^2} J_{13} \right] \omega_1^2 = \frac{1}{2} J_{13}^* \omega_1^2$
S_{14}	$E_{c14} = \frac{1}{2} J_{14} \omega_{14}^2$	(7.15)	$E_{c14} = \frac{1}{2} \left[\frac{610,732 \cdot z_{18}^2}{z_6^2 \cdot z_9^2 \cdot z_{19}^2 \cdot i_{1,2}^2 \cdot i_{3,4}^2} J_{14} \right] \omega_1^2 = \frac{1}{2} J_{14}^* \omega_1^2$
S_{15}	$E_{c15} = \frac{1}{2} J_{15} \omega_{15}^2$	(7.16)	$E_{c15} = \frac{1}{2} \left[\frac{706051,992 \cdot z_{18}^2}{z_6^2 \cdot z_9^2 \cdot z_{19}^2 \cdot z_{21}^2 \cdot i_{1,2}^2 \cdot i_{3,4}^2} J_{15} \right] \omega_1^2 = \frac{1}{2} J_{15}^* \omega_1^2$

S_{16}	$E_{c16} = \frac{1}{2} J_{16} \omega_{16}^2$	(7.17)	$E_{c16} = \frac{1}{2} \left[\frac{2467846,198 \cdot z_{18}^2}{z_6^2 \cdot z_9^2 \cdot z_{19}^2 \cdot z_{21}^2 \cdot i_{1,2}^2 \cdot i_{3,4}^2} J_{16} \right] \omega_1^2 = \frac{1}{2} J_{16}^* \omega_1^2$
S_{17}	$E_{c17} = \frac{1}{2} J_{17} \omega_{17}^2$	(7.18)	$E_{c17} = \frac{1}{2} \left[\frac{2025000}{z_6^2 \cdot z_9^2 \cdot i_{1,2}^2 \cdot i_{3,4}^2} J_{17} \right] \omega_1^2 = \frac{1}{2} J_{17}^* \omega_1^2$
S_{18}	$E_{c18} = \frac{1}{2} J_{18} \omega_{18}^2$	(7.19)	$E_{c18} = \frac{1}{2} \left[\frac{610,732 \cdot z_{18}^2}{z_6^2 \cdot z_9^2 \cdot z_{19}^2 \cdot i_{1,2}^2 \cdot i_{3,4}^2} J_{18} \right] \omega_1^2 = \frac{1}{2} J_{18}^* \omega_1^2$
S_{19}	$E_{c19} = \frac{1}{2} J_{19} \omega_{19}^2$	(7.20)	$E_{c19} = \frac{1}{2} \left[\frac{2467846,198 \cdot z_{18}^2}{z_6^2 \cdot z_9^2 \cdot z_{19}^2 \cdot z_{21}^2 \cdot i_{1,2}^2 \cdot i_{3,4}^2} J_{19} \right] \omega_1^2 = \frac{1}{2} J_{19}^* \omega_1^2$
S_{20}	$E_{c20} = \frac{1}{2} J_{20} \omega_{20}^2$	(7.21)	$E_{c20} = \frac{1}{2} \left[\frac{52699,170}{z_6^2 \cdot z_9^2 \cdot i_{1,2}^2 \cdot i_{3,4}^2} J_{20} \right] \omega_1^2 = \frac{1}{2} J_{20}^* \omega_1^2$
S_{21}	$E_{c21} = \frac{1}{2} J_{21} \omega_{21}^2$	(7.22)	$E_{c21} = \frac{1}{2} \left[\frac{41028,933}{z_6^2 \cdot z_9^2 \cdot i_{1,2}^2 \cdot i_{3,4}^2} J_{21} \right] \omega_1^2 = \frac{1}{2} J_{21}^* \omega_1^2$
S_{22}	$E_{c22} = \frac{1}{2} J_{22} \omega_{22}^2$	(7.23)	$E_{c22} = \frac{1}{2} \left[\frac{47429598217 \cdot z_{28}^2}{z_6^2 \cdot z_9^2 \cdot z_{27}^2 \cdot i_{1,2}^2 \cdot i_{3,4}^2} J_{22} \right] \omega_1^2 = \frac{1}{2} J_{22}^* \omega_1^2$
S_{23}	$E_{c23} = \frac{1}{2} J_{23} \omega_{23}^2$	(7.24)	$E_{c23} = \frac{1}{2} \left[\frac{47429598,217 \cdot z_{28}^2}{z_6^2 \cdot z_9^2 \cdot z_{27}^2 \cdot z_{29}^2 \cdot i_{1,2}^2 \cdot i_{3,4}^2} J_{23} \right] \omega_1^2 = \frac{1}{2} J_{23}^* \omega_1^2$
S_{24}	$E_{c24} = \frac{1}{2} J_{24} \omega_{24}^2$	(7.25)	$E_{c24} = \frac{1}{2} \left[\frac{47429598,217 \cdot z_{28}^2}{z_6^2 \cdot z_9^2 \cdot z_{27}^2 \cdot z_{29}^2 \cdot i_{1,2}^2 \cdot i_{3,4}^2} J_{24} \right] \omega_1^2 = \frac{1}{2} J_{24}^* \omega_1^2$
S_{25}	$E_{c25} = \frac{1}{2} J_{25} \omega_{25}^2$	(7.26)	$E_{c25} = \frac{1}{2} \left[\frac{7795,613 \cdot z_{28}^2}{z_6^2 \cdot z_9^2 \cdot z_{27}^2 \cdot z_{29}^2 \cdot i_{1,2}^2 \cdot i_{3,4}^2} J_{25} \right] \omega_1^2 = \frac{1}{2} J_{25}^* \omega_1^2$
S_{26}	$E_{c26} = \frac{1}{2} M_{26} V_{G_{26}}^2$	(7.37) (7.38)	$E_{c26} = \frac{1}{2} [M_1 G^2(\varphi_1)] \omega_1^2 = \frac{1}{2} J_{26}^* \omega_1^2$
S_{27}	$E_{c27} = \frac{1}{2} J_{27} \omega_{27}^2$	(7.52) (7.53)	$E_{c27} = \frac{1}{2} \left[\frac{7795,653 \cdot z_{28}^2 \cdot i_g^2 \alpha_s}{z_6^2 \cdot z_9^2 \cdot z_{27}^2 \cdot z_{29}^2 \cdot i_{1,2}^2 \cdot i_{3,4}^2} J_{27} H^2(\varphi_1) \right] \omega_1^2 =$ $= \frac{1}{2} J_{27}^* \omega_1^2$

S_{28}	$E_{c28} = \frac{1}{2} J_{28} \omega_{28}^2$ (7.55) (7.53)	$E_{c28} = \frac{1}{2} \left[\frac{4,870 \cdot z_{28}^2 \text{tg}^2 \alpha_s}{z_6^2 \cdot z_9^2 \cdot z_{27}^2 \cdot z_{29}^2 \cdot i_{1,2}^2 \cdot i_{3,4}^2} J_{28} H^2(\varphi_1) \right] \omega_1^2 =$ $= \frac{1}{2} J_{28}^*(\varphi_1) \omega_1^2$
S_{29}	$E_{c29} = \frac{1}{2} J_{29} \omega_{29}^2$ (7.57) (7.53)	$E_{c29} = \frac{1}{2} \left[\frac{6,395 \cdot z_{28}^2 \text{tg}^2 \alpha_s}{z_6^2 \cdot z_9^2 \cdot z_{27}^2 \cdot z_{29}^2 \cdot i_{1,2}^2 \cdot i_{3,4}^2} J_{29} H^2(\varphi_1) \right] \omega_1^2 =$ $= \frac{1}{2} J_{29}^*(\varphi_1) \omega_1^2$
S_{30}	$E_{c30} = \frac{1}{2} J_{30} \omega_{30}^2$ (7.59) (7.53)	$E_{c30} = \frac{1}{2} \left[\frac{6,395 \cdot z_{28}^2 \text{tg}^2 \alpha_s}{z_6^2 \cdot z_9^2 \cdot z_{27}^2 \cdot z_{29}^2 \cdot i_{1,2}^2 \cdot i_{3,4}^2} J_{30} H^2(\varphi_1) \right] \omega_1^2 =$ $= \frac{1}{2} J_{30}^*(\varphi_1) \omega_1^2$
S_{31}	$E_{c31} = \frac{1}{2} J_{31} \omega_{31}^2$ (7.61) (7.53)	$E_{c31} = \frac{1}{2} \left[\frac{6,395 \cdot z_{28}^2 \text{tg}^2 \alpha_s}{z_6^2 \cdot z_9^2 \cdot z_{27}^2 \cdot z_{29}^2 \cdot i_{1,2}^2 \cdot i_{3,4}^2} J_{31} H^2(\varphi_1) \right] \omega_1^2 =$ $= \frac{1}{2} J_{31}^*(\varphi_1) \omega_1^2$
S_{32}	$E_{c32} = \frac{1}{2} J_{32} \omega_{32}^2$ (7.70) (7.71)	$E_{c32} = \frac{1}{2} \left[\frac{7795,653 \cdot z_{28}^2}{z_6^2 \cdot z_9^2 \cdot z_{27}^2 \cdot z_{29}^2 \cdot i_{1,2}^2 \cdot i_{3,4}^2} J_{32} \varnothing^2(\varphi_1) \right] \omega_1^2 =$ $= \frac{1}{2} J_{32}(\varphi_1) \omega_1^2$
S_{33}	$E_{c33} = \frac{1}{2} M_{33} V_{G_{33}}^2$ (7.76) $+ \frac{1}{2} J_{33} \omega_{33}^2$ (7.80) (7.53) (7.71)	$E_{c33} = \frac{0,5 \cdot 12,145 \cdot z_{28}^2}{z_6^2 \cdot z_9^2 \cdot z_{27}^2 \cdot z_{29}^2 \cdot i_{1,2}^2 \cdot i_{3,4}^2} \left\{ 64 L^2 M_{33} \varnothing^2(\varphi_1) \cdot \right.$ $\left. + J_{33} [1,01 \cdot L \varnothing(\varphi_1) + \text{tg} \alpha_s H(\varphi_1)]^2 \right\} \omega_1^2 =$ $= \frac{1}{2} J_{33}^*(\varphi_1) \omega_1^2$
S_{34}	$E_{c34} = \frac{1}{2} J_{34} \omega_{34}^2$ (7.83) (7.53) (7.71)	$E_{c34} = \frac{1}{4} \left\{ \frac{6400 \cdot z_{28}^2}{z_6^2 \cdot z_9^2 \cdot z_{27}^2 \cdot z_{29}^2 \cdot i_{1,2}^2 \cdot i_{3,4}^2} J_{34} \cdot \right.$ $\left. \cdot [1,01 \cdot L \varnothing(\varphi_1) + \text{tg} \alpha_s H(\varphi_1)]^2 \right\} \omega_1^2 =$ $= \frac{1}{2} J_{34}^*(\varphi_1) \omega_1^2$

S_{35}	$E_{c35} = \frac{1}{2} J_{35} \omega_{35}^2$ (7.85) (7.53) (7.71)	$E_{c35} = \frac{1}{2} \left\{ \frac{5,560 \cdot z_{28}^2}{z_6^2 \cdot z_9^2 \cdot z_{27}^2 \cdot z_{29}^2 \cdot i_{1,2}^2 \cdot i_{3,4}^2} J_{35} \cdot [1,01 \cdot L\varnothing(\varphi_1) + \operatorname{tg}\alpha_s H(\varphi_1)]^2 \right\} \omega_1^2 =$ $= \frac{1}{2} J_{35}^* (\varphi_1) \omega_1^2$
S_{36}	$E_{c36} = \frac{1}{2} J_{36} \omega_{36}^2$ (7.87) (7.53) (7.71)	$E_{c36} = \frac{1}{2} \left\{ \frac{5,560 \cdot z_{28}^2}{z_6^2 \cdot z_9^2 \cdot z_{27}^2 \cdot z_{29}^2 \cdot i_{1,2}^2 \cdot i_{3,4}^2} J_{36} \cdot [1,01 \cdot L\varnothing(\varphi_1) + \operatorname{tg}\alpha_s H(\varphi_1)]^2 \right\} \omega_1^2 =$ $= \frac{1}{2} J_{36} \omega_1^2$
S_{37}	$E_{c37} = \frac{1}{2} M_{37} V_{G_{37}}^2$ (7.89) (7.53) (7.71)	$E_{c37} = \frac{1}{2} \left\{ \frac{138100,681 \cdot z_{28}^2}{z_6^2 \cdot z_9^2 \cdot z_{27}^2 \cdot z_{29}^2 \cdot i_{1,2}^2 \cdot i_{3,4}^2} M_{37} \cdot [1,01 L\varnothing(\varphi_1) + \operatorname{tg}\alpha_s H(\varphi_1)]^2 \right\} \omega_1^2 =$ $= \frac{1}{2} J_{37}^* (\varphi_1) \omega_1^2$
S_{38}	$E_{c38} = \frac{1}{2} M_{38} V_{G_{38}}^2$ (7.91) (7.53) (7.71)	$E_{c38} = \frac{1}{2} \cdot \frac{653449,764 \cdot z_{28}^2}{z_6^2 \cdot z_9^2 \cdot z_{27}^2 \cdot z_{29}^2 \cdot i_{1,2}^2 \cdot i_{3,4}^2} M_{38} \cdot [1,01 \cdot L\varnothing(\varphi_1) + \operatorname{tg}\alpha_s H(\varphi_1)]^2 \omega_1^2 =$ $= \frac{1}{2} J_{38}^* (\varphi_1) \omega_1^2$
S_{39}	$E_{c39} = \frac{1}{2} M_{39} V_{G_{39}}^2$ (7.93) (7.53) (7.71)	$E_{c39} = \frac{1}{2} \left\{ \frac{138100,681 \cdot z_{28}^2}{z_6^2 \cdot z_9^2 \cdot z_{27}^2 \cdot z_{29}^2 \cdot i_{1,2}^2 \cdot i_{3,4}^2} M_{39} \cdot [1,01 \cdot L\varnothing(\varphi_1) + \operatorname{tg}\alpha_s \cdot H(\varphi_1)]^2 \right\} \omega_1^2 =$ $= \frac{1}{2} J_{39}^* (\varphi_1) \omega_1^2$
S_{40}	$E_{c40} = \frac{1}{2} M_{40} V_{G_{40}}^2$ (7.95) (7.53) (7.71)	$E_{c40} = \frac{1}{2} \left\{ \frac{65349,764 \cdot z_{28}^2}{z_6^2 \cdot z_9^2 \cdot z_{27}^2 \cdot z_{29}^2 \cdot i_{1,2}^2 \cdot i_{3,4}^2} M_{40} \cdot [1,01 \cdot L\varnothing(\varphi_1) + \operatorname{tg}\alpha_s H(\varphi_1)]^2 \right\} \omega_1^2 =$ $= \frac{1}{2} J_{40}^* (\varphi_1) \omega_1^2$

unde: M_i este masa elementului (S_i), în (Kg);

J_i - momentul de inerție al elementelor (S_i) în raport cu axa lor de rotație, în ($\text{Kg}\cdot\text{m}^2$).

$J_g(\varphi_1)$ - momentele de inerție ale formatelor în raport cu axele de rotație, funcții de timp prin intermediul lui φ_1 .

Pentru a stabili expresia energiei cinetice a întregii mașini de filat, expresie în care vor fi neglijate, datorită valorilor foarte mici ale caracteristicilor inerțiale, numai termenii datorati mișcării cursorilor și termenii datorati rotației roletelor de întindere a benzilor de transmisie a mișcării la fuse, se va observa din schema generală a mașinii - figura 1.1, că subansamblul de antrenare a trenului de laminat - constituit din elementele $S_{10}, S_{11}, \dots, S_{19}$ - precum și elementul (S_8) - reprezentat prin roata intermediară (R_{11}) se găsesc în dublu exemplar; de asemenea, se va reține faptul că elementul (S_{91}) se găsește într-un număr total de 400 exemplare identice din punct de vedere constructiv și având absolut aceeași mișcare.

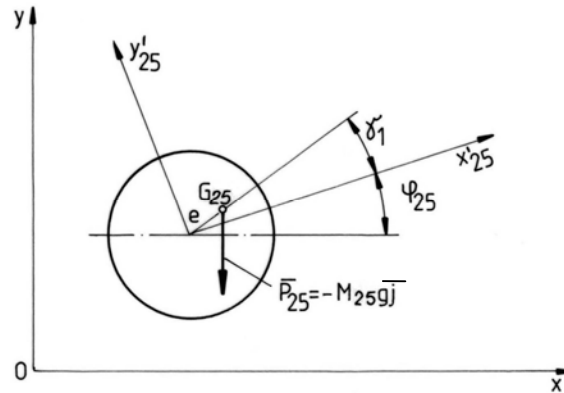


Fig. 7.1

Rezultă deci că energia cinetică a mașinii de filat va fi dată, în condițiile prezentate, de relația:

$$E_c = \sum_{i=1}^7 E_{ci} + 2 \cdot E_{c8} + 400 \cdot E_{c9} + 2 \sum_{i=10}^{19} E_{ci} + \sum_{i=20}^{40} E_{ci} = \frac{1}{2} \left[\sum_{i=1}^7 J_i^* + 2J_8^* + 400 \cdot (J_9^* + J_9(\varphi_1)) + 2 \sum_{i=10}^{19} J_i^* + \sum_{i=20}^{25} J_i^* + \sum_{i=26}^{40} J_i^*(\varphi_1) \right] \cdot \omega_1^2 \quad (7.2)$$

Pentru suma primilor 25 de momente de inerție reduse, care sunt constante, se va introduce notația:

$$J_0^* = \sum_{i=1}^7 J_i + 2 \cdot J_8^* + 400 \cdot J_9 + 2 \sum_{i=10}^{19} J_i^* + \sum_{i=20}^{25} J_i^* \quad (7.3)$$

De asemenea, pentru suma momentelor de inerție reduse, funcție de parametrul langrangian (φ_4), corespunzătoare ultimilor 15 elemente ale mașinii, se va introduce notația:

$$J^*(\varphi_1) = 400 \cdot J_9^*(\varphi_1) + \sum_{i=26}^{40} J_i^*(\varphi_1) \quad (7.4)$$

cu funcția $J^*(\varphi_1)$ de forma:

$$J^*(\varphi_1) = 400 \cdot J_9^*(\varphi_1) + A \cdot G^2(\varphi_1) + B \cdot H^2(\varphi_1) + C \cdot \varnothing^2(\varphi_1) + D \cdot \varnothing(\varphi_1) \cdot H(\varphi_1) \quad (7.5)$$

unde A,B,C și D sunt constante pentru o levată dată, iar funcțiile $G(\varphi_1)$, $H(\varphi_1)$ și \varnothing_1 sunt date de relațiile (1.37), (1.53) și (1.71).

Se poate scrie deci următoarea expresie finală pentru energia cinetică a mașinii de filat cu inele :

$$E_c = \frac{1}{2} [J_0^* + J^*(\varphi_1)] \cdot \dot{\varphi}_1^2 \quad (7.6)$$

7.2.1.2. Calculul forțelor generalizate care acționează asupra mașinii

7.2.1.2.1. Calculul forțelor generalizate active

Solicitările active care acționează asupra elementelor mașinii de filat cu inele sunt următoarele:

a) - *Greutățile elementelor* cu centrele de masă având deplasări în plan vertical.

Majoritatea elementelor mașinii de filat cu inele execută rotații în jurul unor axe fixe, care sunt axe de simetrie de revoluție, pe care se vor afla deci și centrele de masă ale elementelor respective; în consecință, pentru aceste elemente lucrul mecanic elementar al greutăților va fi egal cu zero.

Singurele elemente pentru care greutatea lor efectuează lucru mecanic sunt următoarele:

- *Elementul* (S_{25}) este reprezentat prin blocul rigid format din roata melcată (R_{32}), din cama (C_m) și din excentricul (E_x).

Centrul de masă al acestui element prezintă, în general, o anumită excentricitate $e(m)$.

Privind planul roții melcate (R_{32}), în care se găsește și planul $Q_{25}x'_{25}y'_{25}$ al reperului invariabil atașat acestui element, dinspre sensul

pozitiv al axei $Q_{25}z'_{25}$ axa de rotație a roții - figura 7.1, și notând cu γ_1 unghiul pe care-l face segmentul de dreaptă $\overline{Q_{25}Q_{25}} = e$ cu axa $Q_{25}x'_{25}$ va rezulta următoarea expresie pentru termenul corespunzător greutateii P_{25} , $Q_{g(25)}$ al forței generalizate gravitice a mașinii de filat cu inele:

$$\begin{aligned} Q_{g(25)} &= \overline{M}_{Q_{25}}(\overline{P}_{25}) \cdot \frac{\partial(\overline{M})_{25}}{\partial\varphi_1} = \mathcal{M}_{Q_{25}}(\overline{P}_{25}) \cdot \frac{\partial\varphi_{25}}{\partial\varphi_1} = \\ &= -M_{25} \cdot e_g \cdot \cos(\varphi_{25} + \gamma_1) \cdot \frac{\partial\varphi_{25}}{\partial\varphi_1} \end{aligned}$$

sau, având în vedere și ecuația (1.26) de legătură corespunzătoare acestui element, se mai poate scrie:

$$Q_{g(25)} = -\frac{88,293 \cdot z_{28} \cdot M_{25} \cdot e_g}{z_6 \cdot z_9 \cdot z_{27} \cdot z_{29} \cdot i_{12} \cdot i_{34}} \cdot \cos\left[\frac{88,29 \cdot 3z_{28}}{z_6 \cdot z_9 \cdot z_{27} \cdot z_{29} \cdot i_{12} \cdot i_{34}} \cdot \varphi_1 \cdot \gamma_1\right] \quad (7.7)$$

- Elementul (S_{26}) este reprezentat prin tachelul (T_c), pentru care termenul corespunzător greutateii, $Q_{g(27)}$ din expresia forței generalizate gravitice, va avea forma - figura 7.2:

$$\begin{aligned} Q_{g(26)} &= \overline{P} \cdot \frac{\partial Q_{26}}{\partial\varphi_1} = -M_{26} \cdot g \cdot \frac{\partial y_{Q_{26}}}{\partial\varphi_1} = -M_{26} \cdot g \cdot \frac{\partial y_{Q_{26}}^*}{\partial\varphi_1} = \\ &= -M_{26} \cdot g \cdot \frac{d}{d\varphi_1} (St \cdot \sin \gamma_1) = -M_{26} \cdot g \cdot \frac{dSt}{d\varphi_1} \cdot \sin \gamma_1 \end{aligned}$$

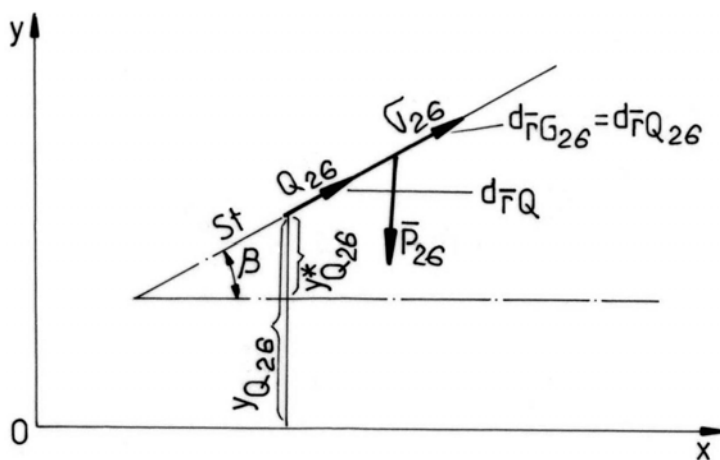


Fig. 7.2

sau, observând că se poate efectua înlocuirea:

$$\frac{dSt}{Q \cdot \varphi_1} = \frac{dSt}{dt} \cdot \frac{dt}{d\varphi_1} = V_{Q_{26}} \cdot \frac{dt}{d\varphi_1}$$

în care $V_{Q_{26}}$ va fi înlocuit cu expresia sa în funcție de mărimile $q = \varphi_1$ și

$\dot{q} = \dot{\varphi}_1 = \omega_1 = \frac{d\varphi}{dt}$ dată de relația (1.36), se mai poate scrie:

$$Q_{g(26)} = -M_{26} \cdot g \cdot \sin \gamma_1 \cdot G(\varphi_1) \quad (7.8)$$

- Elementul (S_{32}) este reprezentat prin levierul oscilant (L_v). Notând cu a distanța centrului de masă G_{32} al levierului la axa sa de rotație γ și unghiul format de segmentul de dreaptă $\overline{Q_{32}G_{32}}$ cu axa $Q_{32}x'_{32}$ legată invariabil de elementul (S_{32}), - figura 7.3, termenul $Q_{g(32)}$ din expresia forței generalizate gravitice, datorat greutății \overline{P}_{32} , va avea expresia:

$$\begin{aligned} Q_{g(32)} &= \overline{M}_{Q_{32}}(\overline{P}_{32}) \cdot \frac{\partial \overline{Q}_{32}}{\partial \varphi_1} = \mathcal{M}_{Q_{32}}(\overline{P}_{32}) \cdot \frac{\partial \varphi_{32}}{\partial \varphi_1} = -a \cdot M_{32} \cdot g \cdot \cos(\varphi_{32} + \gamma_2) \cdot \frac{\partial \varphi_{32}}{\partial \varphi_1} = \\ &= -a \cdot M_{32} \cdot g \cdot \cos(\varphi_{32} + \gamma_2) \cdot \frac{d\varphi_{32}}{d\varphi_1} \cdot \frac{dt}{d\varphi_1} = -M_{32} \cdot g \cdot \cos(\varphi_{32} + \gamma_2) \cdot \frac{\omega_{32}}{\omega_1} \end{aligned}$$

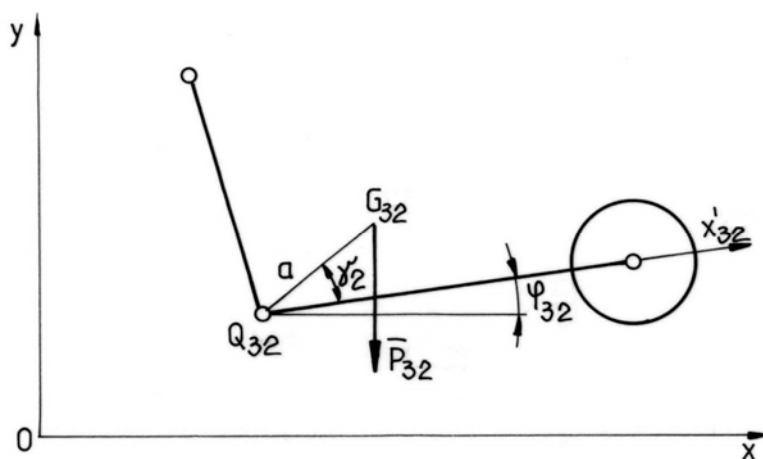


Fig. 7.3

sau, ținând seama și de relațiile (7.69) și (7.72) se mai poate scrie:

$$Q_{g(32)} = \frac{88,293 \cdot z_{28} \cdot M_{32} \cdot d \cdot g}{z_6 \cdot z_9 \cdot z_{27} \cdot z_{29} \cdot i_{12} \cdot i_{34}} \cdot \varnothing(\varphi_1) \cdot \cos[\Psi(\varphi_1) + \gamma_2] \quad (7.9)$$

- *Termenul* $Q_{g(33)}$ din expresia forței generalizate gravitice corespunzător acestei greutateți va fi dat de relația:

$$Q_{g(33)} = \bar{P}_{33} \cdot \frac{\partial \bar{r}_{G_{33}}}{\partial \varphi_1} = -M_{33} \cdot g \cdot \frac{\partial y_{G_{32}}}{\partial \varphi_1} = -M_{33} \cdot g \cdot \frac{dy_{G_{32}}}{dt} \cdot \frac{dt}{d\varphi_1} = -M_{33} \cdot g \cdot \frac{dy_{G_{33}}^*}{dt} \cdot \frac{1}{\frac{d\varphi_1}{dt}} = -M_{33} \cdot g \cdot V_{G_{33}} \cdot \frac{1}{\omega_1}$$

sau, ținând seama și de expresia (7.76) a vitezei $V_{G_{33}}$, mai rezultă:

$$Q_{g(33)} = \frac{88,293 \cdot z_{28} \cdot L \cdot M_{33} \cdot g}{z_5 \cdot z_9 \cdot z_{27} \cdot z_{29} \cdot i_{12} \cdot i_{34}} \cdot \varnothing(\varphi_1) \quad (7.10)$$

- *Elementul* (S_{37}) este reprezentat prin banca inelelor. Pentru acest element, termenul $Q_{g(37)}$ din expresia forței generalizate gravitice corespunzătoare greutateții \bar{P}_{37} a elementului, va avea expresia:

$$Q_{g(37)} = \bar{P}_{37} \cdot \frac{\partial \bar{r}_{G_{37}}}{\partial \varphi_1} = -M_{37} \cdot g \cdot \frac{\partial y_{G_{37}}}{\partial \varphi_1} = -M_{37} \cdot g \cdot \frac{dy_{G_{37}}}{d\Psi} \cdot \frac{1}{\frac{d\varphi_1}{d\Psi}} = -M_{37} \cdot g \cdot V_{37} \cdot \frac{1}{\omega_1}$$

sau, ținând seama și de expresia (7.89) a vitezei $V_{G_{37}}$ mai rezultă:

$$Q_{g(37)} = \frac{371,619 \cdot z_{28} \cdot M_{37} \cdot g}{z_6 \cdot z_9 \cdot z_{27} \cdot z_{29} \cdot i_{12} \cdot i_{34}} [\operatorname{tg} \alpha_s \cdot H_1(\varphi_1) - 1,01 \cdot L \cdot \varnothing(\varphi_1)] \quad (7.11)$$

- *Elementul* (S_{38}) este reprezentat prin banca inelelor limitatoare de balon.

Termenul $Q_{g(38)}$ din expresia forței generalizate gravitice, datorat greutateții \bar{P}_{38} a elementului (S_{38}) va avea expresia:

$$Q_{g(38)} = \bar{P}_{38} \cdot \frac{\partial \bar{r}_{G_{38}}}{\partial \varphi_1} = -M_{38} \cdot g \cdot \frac{\partial y_{G_{38}}}{\partial \varphi_1} = -M_{38} \cdot g \cdot \frac{dy_{G_{38}}}{dt} \cdot \frac{1}{\frac{d\varphi_1}{dt}} = -M_{38} \cdot g \cdot V_{38} \cdot \frac{1}{\omega_1}$$

sau, având în vedere și expresia (7.91) a vitezei $V_{G_{38}}$, mai rezultă:

$$Q_{g(38)} = -\frac{255,636 \cdot z_{28} \cdot M_{38} \cdot g}{z_6 \cdot z_9 \cdot z_{27} \cdot z_{29} \cdot i_{12} \cdot i_{34}} [\operatorname{tg} \alpha_s \cdot H(\varphi_1) - 1,01 \cdot L \cdot \varnothing(\varphi_1)] \quad (7.12)$$

- *Elementul* (S₃₉) este reprezentat prin ansamblul contragreutăților (C_{g1}).

Termenul $Q_{g(39)}$ din expresia forței generalizate gravitice corespunzătoare greutății \bar{P}_{39} a acestui element, are expresia:

$$Q_{g(39)} = \bar{P}_{39} \cdot \frac{\partial \bar{r}_{G_{39}}}{\partial \varphi_1} = -M_{39} \cdot g \cdot \frac{\partial y_{G_{39}}}{\partial \varphi_1} = -M_{39} \cdot g \cdot \frac{dy_{39}}{dt} \cdot \frac{1}{\frac{d\varphi_1}{dt}} = -M_{39} \cdot g \cdot V_{G_{39}} \cdot \frac{1}{\omega_1}$$

care, prin considerarea și a relației (7.93), poate fi scrisă și sub forma:

$$Q_{g(39)} = -\frac{371,619 \cdot z_{28} \cdot M_{39} \cdot g}{z_6 \cdot z_9 \cdot z_{27} \cdot z_{29} \cdot i_{12} \cdot i_{34}} [\operatorname{tg} \alpha_s \cdot H(\varphi_1) - 1,01 \cdot L \cdot \varnothing(\varphi_1)] \quad (7.13)$$

- *Elementul* (S₄₀) este reprezentat prin ansamblul contragreutăților (C_{g2}).

Pentru greutatea \bar{P}_{40} a acestui ultim element al sistemului va rezulta următoarea expresie a termenului $Q_{g(40)}$ corespunzător ei din expresia forței generalizate gravitice:

$$Q_{g(40)} = \bar{P}_{40} \cdot \frac{\partial \bar{r}_{G_{40}}}{\partial \varphi_1} = -M_{40} \cdot g \cdot \frac{\partial y_{G_{40}}}{\partial \varphi_1} = -M_{40} \cdot g \cdot \frac{dy_{G_{40}}}{dt} \cdot \frac{1}{\frac{d\varphi_1}{dt}} = -M_{40} \cdot g \cdot V_{G_{40}} \cdot \frac{1}{\omega_1}$$

care, în baza relației (7.95), ia forma:

$$Q_{g(40)} = -\frac{255,636 \cdot z_{28} \cdot M_{40} \cdot g}{z_6 \cdot z_9 \cdot z_{27} \cdot z_{29} \cdot i_{12} \cdot i_{34}} [\operatorname{tg} \alpha_s \cdot H(\varphi_1) - 1,01 \cdot L \cdot \varnothing(\varphi_1)] \quad (7.14)$$

Forța generalizată gravitică corespunzătoare mașinii de filat cu inele va fi dată deci de relația:

$$Q_g = Q_{g(25)} + Q_{g(26)} + Q_{g(32)} + Q_{g(33)} + Q_{g(37)} + Q_{g(38)} + Q_{g(39)} + Q_{g(40)} \quad (7.15)$$

rezultând deci, în baza relațiilor (7.7),(7.8).....(7.14), următoarea expresie finală a acestei forțe:

$$\begin{aligned}
Q_g = & -M_{26}g \sin \gamma G(\varphi_1) - \frac{88,293 \cdot z_{28}g}{z_6 \cdot z_9 \cdot z_{27} \cdot z_{29} \cdot i_{12} \cdot i_{34}} \left\{ M_{25} \cdot e \cdot \cos \left[\frac{88,293 z_{28}}{z_6 z_9 z_{27} z_{29} i_{12} i_{34}} \varphi_1 + \gamma_1 \right] - \right. \\
& - L \cdot M_{33} \cdot \mathcal{O}(\varphi_1) - a \cdot M_{32} \mathcal{O}(\varphi_2) \cdot \cos[\Psi(\varphi_1) + \lambda_2] \left. \right\} + \\
& + \frac{255,636 \cdot z_{28} \cdot g}{z_6 \cdot z_9 \cdot z_{27} \cdot z_{29} \cdot i_{12} \cdot i_{34}} \left[\operatorname{tg} \alpha_s \cdot H(\varphi_1) - 1,01 \cdot L \cdot \mathcal{O}(\varphi_1) \right] \cdot \{ 1,433(M_{39} - M_{37}) + (M_{40} - M_{38}) \}
\end{aligned} \quad (7.16)$$

b). – *Cuplul motor al rotorului.*

Notând cu $\mathcal{M}_m \leq \mathcal{M}_m(\varphi_1)$ momentul cuplului aplicat rotorului, moment care, pentru motoarele electrice de tip asincron, cu care este dotată și mașina de filat cercetată, depinde de viteza unghiulară a rotorului, forța generalizată corespunzătoare lui va avea expresia:

$$Q_m = \overline{\mathcal{M}} \cdot \frac{\partial \overline{\Theta}_1}{\partial \varphi_1} = \mathcal{M}(\dot{\varphi}_1) \quad (7.17)$$

7.2.1.2.2. Calculul forței generalizate disipative

Aprecierea forței generalizate corespunzătoare solicitărilor disipative din mașina de filat cu inele se va face pe baza unor determinări experimentale de puteri consumate în diversele subansambluri ale mașinii.

Măsurătorile de puteri consumate s-au realizat pe mașina de filat "BPP"UNIREA", cu următoarele caracteristici:

- Numărul de fuse.....400
- Diametrul inelului.....D = 48 mm
- Cursa băncii inelelor.....H = 200 mm
- Turația fuselor..... $n_f = 12000$ rot/min
- Finețea firului.....Nm = 50

Repartiția procentuală a consumului de putere pe subansamblele mașinii poate fi considerată practic ca fiind valabilă și pentru mașina de filat "UNIMAT-FB", ale cărei caracteristici, prezentate prealabil, nu se deosebesc prea mult de cele ale mașinii pe care s-au realizat măsurătorile.

Instalația experimentală este prezentată în figura 7.4.

Schema instalației este prezentată în figura 7.5; din aceasta rezultă modul de legare a Wattmetrului la rețeaua de alimentare a mașinii de filat cu inele în vederea măsurării consumului de putere.

Cele trei faze fiind încărcate simetric este suficient să se efectueze măsurătorile după schema din figură.



Fig. 7.4

Determinarea consumului de putere, pentru toate situațiile cercetate, au fost efectuate în condiții industriale, la S.C. „Țesătura” S.A. Iași.

Au fost considerate următoarele situații:

- mașina la sfârșitul levatei, când consumul de putere este maxim;
- mașina la începutul levatei;
- mașina fără proces tehnologic (fără fir și fără țevi);
- idem fără tren de laminat, fără banca inelelor și fără banca inelelor limitatoare de balon;
- idem fără cutia angrenajelor;
- idem fără fuse și fără rolele de întindere a curelușelor de antrenare a fuselor;
- idem fără antrenarea arborelui principal;
- motorul la mers în gol. Aceste măsurători au fost posibile prin desfacerea legăturilor dintre elementele menționate și electromotorul de acționare, prin demontarea unor roți dințate, cuplaje sau curele.

Măsurătorile efectuate au confirmat mai întâi valabilitatea formulei empirice stabilită la Institutul de cercetări textile din Manchester pentru puterea consumată de mașina de filat cu inele la sfârșitul levatei, relație având forma:

$$P_f = 1,83 \cdot \left[\frac{1,65 \cdot n^{*2,5} \cdot D^{2,75} \cdot H}{10^{17,5}} + \frac{2,74 \cdot n^{*2,5} \cdot D \cdot H^2}{10^{15,5} \text{ Nm}} \right] + \frac{0,156 \cdot n}{10^3 \cdot \sqrt{\text{Nm}}} \quad (7.18)$$

cu simbolurile D , H , n_f și Nm având semnificațiile precizate anterior.

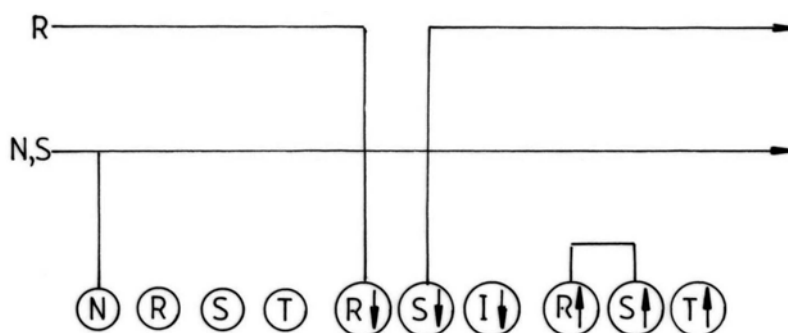


Fig. 7.5

Rezultatele determinărilor efectuate sunt prezentate în Tabelul 7.2. Datele din tabel permit următoarele concluzii în legătură cu consumurile parțiale de putere din diversele subansambluri ale mașinii de filat, consumuri raportate la puterea maximă consumată (P_f) corespunzătoare unei viteze unghiulare de regim $\omega_1 = \varphi_1$:

- un consum de cca. 5% în lagărele motorului (elementul S_1) $P_{c1} = 0,05 P_f$ (7.20);

- un consum de cca. 43% în transmisia de la motor la subansamblul central de acționare a mașinii (elementele $S_2 \dots S_8$):

Tabelul 7.2

Nr. crt	Subansamblul la care s-a măsurat consumul de putere	Consumul de putere	
		(W)	(%)
1.	Mașina întreagă la sfârșitul levatei	12.800	100
2.	Mașina la începutul levatei	10.530	82,26
3.	Mașina fără fir și fără țevi (fără proces tehnologic)	7.800	60,93

4.	Mașina fără fir, fără țevi și fără tren de laminat	7.360	57,50
5.	Mașina fără fir, fără țevi, fără tren de laminat, fără banca inelelor și fără banca limitatoarelor de balon	7.300	57,03
6.	Mașina fără fir, fără țevi, fără tren de laminat, fără banca inelelor, fără banca inelelor limitatoare de balon și fără cutia angrenajelor	7110	55,54
7.	Mașina fără fir, fără țevi, fără tren de laminat, fără banca inelelor, fără banca inelelor limitatoare de balon, fără cutia angrenajelor, fără fuse și fără rolele de întindere a benzii de antrenare	1880	14,68
8.	Mașina fără fir, fără țevi, fără tren de laminat, fără banca inelelor, fără banca inelelor limitatoare de balon, fără cutia angrenajelor, fără fuse, fără role de întindere și fără arborele principal	1340	10,46
9.	Motorul la mers în gol	640	5

$$P_{c_{sca}} = \sum_{i=2}^8 P_{ci} = 0.43 \cdot P_f \quad (7.21)$$

- un consum de cca. 9% în transmisia de la elementul (S₂) la subansamblul de antrenare a fuselor (elementul S₉):

$$P_{c_{saf}} = 400 \cdot P_{c9} = 0.09 \cdot P_f \quad (7.22)$$

- un consum de cca. 3,5% în transmisia de la elementul (S₈) la subansamblul de antrenare a trenului de laminat, (elementele S₁₀.....S₁₉):

$$P_{c_{sat}} = \sum_{i=10}^{19} P_{ci} = 0.035 \cdot P_f \quad (7.23)$$

- un consum de cca. 0,5% în transmisiile de la subansamblurile de comandă a saltului băncii inelelor și limitatoarelor de balon și de antrenare a acestora:

$$P_{c_{sab}} = \sum_{i=30}^{40} P_{ci} = 0.005 \cdot P_f \quad (7.24)$$

- un consum de cca. 21% datorat încărcării fuselor și a rolor de întindere a benzilor de antrenare a fuselor:

$$P_{c_{tg}} = 0,21 \cdot P_f \quad (7.25)$$

- un consum variind de la zero la 18% datorat procesului tehnologic, adică:

$$P_{c_{pt}} = (0 \div 0,18)P_f \quad (7.26)$$

Întrucât variația consumului de putere în timpul procesului tehnologic poate fi explicată prin creșterea frecărilor cu aerul și a frecărilor în lagărele fuselor ca urmare a creșterii greutateii firului depus pe țevi, iar această din urmă creștere poate fi considerată ca fiind proporțională cu variația unghiului de rotație al motorului, se poate admite că variația puterii consumate în procesul tehnologic este liniară în parametrul langrangian φ_1 - figura 7.6.

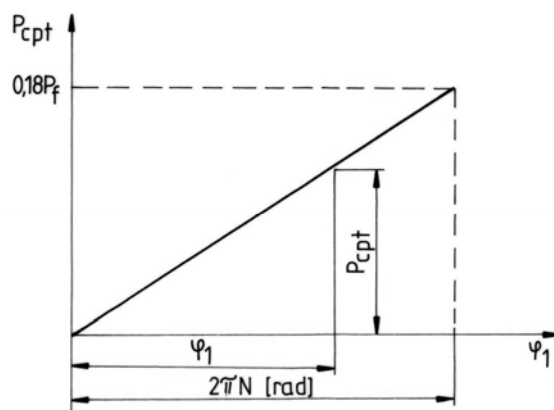


Fig. 7.6

În consecință, notând cu N numărul total de rotații al rotorului corespunzător unei levate, număr care va putea fi determinat ținându-se seama de numărul de straturi ce se depune pe format, se acceptă că legea de variație a puterii consumate în procesul tehnologic propriu zis este:

$$P_{c_{pt}} = \frac{0,18 \cdot P_t}{2 \cdot \pi \cdot N} \cdot \varphi_1 = \frac{0,18 \cdot P_t}{\kappa} \cdot \varphi_1 \quad (7.27)$$

unde prin κ s-a notat:

$$\kappa = 2 \cdot \pi \cdot N \quad (7.28)$$

cunoscut pentru o mașină dată și un număr metric dat.

Cu aceste precizări poate fi abordat calculul forțelor generalizate a solicitărilor disipative corespunzătoare mașinii de filat cu inele.

Se va observa mai întâi că pentru elementele (S_i) aflate în rotație în jurul unor axe fixe, solicitările disipative vor fi reprezentate prin momentele de frecare:

$$\overline{\mathcal{M}_{f_n}} = - |\overline{\mathcal{M}_{f_n}}| \cdot \frac{\overline{\omega_i}}{\omega_i} \quad (7.29)$$

astfel că termenii corespunzători acestor momente de frecare din expresia forței generalizate disipative vor fi dați de relațiile:

$$Q_{d(i)} = \overline{\mathcal{M}_{f_n}} \cdot \frac{\partial \overline{\Theta}_i}{\partial \varphi_1} = \overline{\mathcal{M}_{f_n}} \cdot \frac{d\overline{\Theta}_i}{dt} \cdot \frac{1}{\frac{d\varphi_1}{dt}} = \overline{\mathcal{M}_{f_n}} \cdot \frac{\overline{\omega_i}}{\omega_1} = - \frac{P_{c_i}}{\omega_1} \quad (7.30)$$

semnul (-) din membrul drept fiind justificat de faptul că prin simbolurile P_{c_i} au fost notați modulii puterilor consumate ($P_{c_i} = |\overline{\mathcal{M}_{f_n}} \cdot \omega_i|$) în timp ce valorile algebrice ale termenilor $Q_{d(i)}$ sunt, așa cum rezultă din relația (7.29), negative .

În al doilea rând se va observa că pentru elementele (S_j) care execută translații rectilinii, solicitările disipative vor fi reprezentate prin forțele de frecare de alunecare din punctele de rezemare (glisiere, cuple de translație, etc.), forțele având expresiile:

$$\overline{\mathcal{O}_{d(j)}} = - |\overline{\mathcal{O}_{d(j)}}| \cdot \frac{\overline{V_{G_j}}}{V_{G_j}} \quad (7.31)$$

și deci termenii corespunzători acestor forțe de frecare din expresia forței generalizate disipative vor fi dați de relațiile:

$$Q_{d(j)} = \overline{\mathcal{O}_j} \cdot \frac{\partial \overline{r_{G_j}}}{\partial \varphi_1} = \overline{\mathcal{O}_j} \cdot \frac{d\overline{r_{G_j}}}{dt} \cdot \frac{1}{\frac{d\varphi_1}{dt}} = \overline{\mathcal{O}_j} \cdot \frac{\overline{V_{G_j}}}{\omega_1} = - \frac{P_{c_j}}{\omega_1} \quad (7.32)$$

prezența semnelui (-) în ultima expresie din membrul drept având o justificare asemănătoare celei date pentru relația (7.30).

În fine, în condițiile ipotezei de lucru adoptate în legătură cu justificarea consumului de putere în procesul tehnologic prin creșterea momentelor de frecare în lagărele fuselor ca urmare, pe de o parte, a greutății țevilor goale și, pe de altă parte, ca urmare a creșterii liniare cu unghiul de rotație al rotorului a greutăților formatelor, se constată că

termenii $Q_{d(tg)}$ și $Q_{d(pt)}$, corespunzători procesului tehnologic, din expresia forței generalizate disipative au expresiile:

$$Q_{d(tg)} = 400 \cdot \overline{\mathcal{M}'_{f_{gs}}} \cdot \frac{\partial \overline{\Theta}_g}{\partial \varphi_1} = 400 \cdot \overline{\mathcal{M}'_{f_{gs}}} \cdot \frac{d\overline{\Theta}_g}{dt} \cdot \frac{1}{\frac{d\varphi_1}{dt}} = 400 \cdot \overline{\mathcal{M}'_{f_{gs}}} \cdot \frac{\overline{\omega}_g}{\omega_1} = -\frac{P_{c_{tg}}}{\omega_1} \quad (7.33)$$

respectiv:

$$Q_{d(pt)} = 400 \cdot \overline{\mathcal{M}''_{f_{gs}}} \cdot \frac{\partial \overline{\Theta}_g}{\partial \varphi_1} = 400 \cdot \overline{\mathcal{M}''_{f_{gs}}} \cdot \frac{d\overline{\Theta}_g}{dt} \cdot \frac{1}{\frac{d\varphi_1}{dt}} = 400 \cdot \overline{\mathcal{M}''_{f_{gs}}} \cdot \frac{\overline{\omega}_g}{\omega_1} = -\frac{P_{c_{pt}}}{\omega_1} \quad (7.34)$$

$\overline{\mathcal{M}'_{f_{gs}}}$ și $\overline{\mathcal{M}''_{f_{gs}}}$ fiind momentele suplimentare de frecare în lagăre, provocate de adaosul greutatea țevilor și ale formatelor.

Ținând seama de precizările precedentele, se poate scrie următoarea expresie pentru forța generalizată disipativă corespunzătoare mașinii de filat cu inele considerată în studiu:

$$Q_d = Q_{d(l)} + \sum_{i=2}^8 Q_{d(i)} + 400Q_{dg} + \sum_{i<10}^{19} Q_{d(i)} + \sum_{i=20}^{40} Q_{d(i)} + Q_{d(tg)} + Q_{d(pt)} \quad (7.35)$$

sau, ținând seama și de relațiile (7.30), (7.32), (7.33) și (7.34) se mai poate scrie:

$$Q_d = -\frac{1}{\omega_1} \cdot [P_{c1} + P_{c_{sca}} + P_{c_{saf}} + P_{c_{sat}} + P_{c_{sab}} + P_{c_{tg}} + P_{c_{pt}}] \quad (7.36)$$

Înlocuind puterile consumate în diversele subansambluri ale mașinii cu expresiile lor (7.20), (7.21), (7.22), (7.23) și (7.24) în funcție de puterea totală consumată la sfârșitul levatei, se obține relația finală de calcul a forței generalizate disipative:

$$Q_d = -\frac{1}{\omega_1} \cdot \left[0,82 + \frac{0,18}{\kappa} \cdot \varphi_1 \right] \cdot P_f \quad (7.37)$$

7.2.1.3. Ecuația diferențială a mașinii

Derivatele parțiale în raport cu $\dot{\varphi}_1$ și φ_1 ale expresiei (7.6) a energiei cinetice a mașinii sunt:

$$\frac{\partial E_c}{\partial \dot{\varphi}_1} = [J_0 + J^*(\varphi_1)] \cdot \dot{\varphi}_1 \quad (7.38)$$

respectiv:

$$\frac{\partial E_c}{\partial \varphi_1} = \frac{1}{2} \cdot \frac{dJ^*(\varphi_1)}{d\varphi_1} \cdot \dot{\varphi}_1^2 \quad (7.39)$$

În consecință, ecuația diferențială Lagrange, care va descrie funcționarea mașinii va avea forma:

$$\frac{d}{dt} \{ [J_0 + J^*(\varphi_1)] \cdot \varphi_1 \} - \frac{1}{2} \cdot \frac{dJ^*(\varphi_1)}{d\varphi_1} \cdot \dot{\varphi}_1^2 = Q_g + Q_m + Q_d \quad (7.40)$$

sau încă, observând, pe de o parte, că se poate scrie egalitatea:

$$\begin{aligned} \frac{d}{dt} \{ [J_0 + J^*(\varphi_1)] \cdot \varphi_1 \} &= \frac{dJ^*(\varphi_1)}{dt} \cdot \dot{\varphi}_1 + [J_0 + J^*(\varphi_1)] \cdot \ddot{\varphi}_1 = \\ &= \frac{dJ^*(\varphi_1)}{dt} \cdot \dot{\varphi}_1^2 + [J_0 + J^*(\varphi_1)] \cdot \dot{\varphi}_1 \end{aligned} \quad (7.41)$$

și, pe de altă parte, ținând seama de expresiile (7.16), (7.17) și (7.37) ale celor trei forțe generalizate ce acționează asupra mașinii, se mai poate scrie:

$$\begin{aligned} [J_0 + J^*(\varphi_1)] \cdot \ddot{\varphi}_1 + \frac{1}{2} \frac{dJ^*(\varphi_1)}{d\varphi_1} \cdot \dot{\varphi}_1^2 &= \\ = Q(\varphi_1) + \mathcal{M}_m(\dot{\varphi}_1) - \frac{1}{\dot{\varphi}_1} \left[0,82 + \frac{0,18}{\kappa} \cdot \varphi_1 \right] \cdot P_t \end{aligned} \quad (7.42)$$

7.2.2. Integrarea ecuației diferențiale a mașinii de filat cu inele

Examinarea formei (7.42) a ecuației diferențiale a funcționării mașinii de filat cu inele, permite să se tragă concluzia că această ecuație este neliniară, de o formă foarte complicată, pentru care nu a fost încă găsită o metodă de integrare, nu numai exactă, dar nici măcar aproximativă.

Prin împărțire la mărimea $J^*(\varphi_1)$ și introducerea notației:

$$\begin{aligned} G(\varphi_1, \dot{\varphi}_1) &= \frac{1}{2 \cdot [J_0 + J^*(\varphi_1)]} \cdot \frac{dJ^*(\varphi_1)}{d\varphi_1} \cdot \dot{\varphi}_1^2 - \frac{Q(\varphi_1)}{[J_0 + J^*(\varphi_1)]} - \frac{\mathcal{M}_m}{J^*(\varphi_1)} + \\ &+ \frac{1}{[J_0 + J^*(\varphi_1)] \cdot \dot{\varphi}_1} \cdot \left[0,82 + \frac{0,18}{\kappa} \cdot \varphi_1 \right] \cdot P_f \end{aligned} \quad (7.43)$$

ecuația diferențială (7.42) va mai putea fi scrisă sub forma:

$$\ddot{\varphi}_1 + G(\varphi_1, \dot{\varphi}_1) = 0 \quad (7.44)$$

sau, introducând și variabila:

$$\dot{\varphi}_1 = \omega_1$$

forma echivalentă a unui sistem de două ecuații diferențiale de ordinul întâi în funcțiile necunoscute de timp $\omega_1 = \omega_1(t)$, $\varphi_1 = \varphi_1(t)$:

$$\begin{cases} \dot{\varphi}_1 = \omega_1 \\ \dot{\omega}_1 = -G(\varphi_1, \omega_1) \end{cases} \quad (7.45)$$

Aceste ecuații vor descrie funcționarea mașinii, în fiecare din cele trei etape distincte ale duratei unei levate:

- etapa pornirii mașinii;
- etapa depunerii firului pe formate;
- etapa opririi mașinii la terminarea levatei.

Asociind sistemului (7.45) de ecuații diferențiale sistemul de condiții inițiale:

$$t = t_i^0 \left\{ \varphi_1(t_i) = \varphi_{1(i)}^0; \omega_1(t_i) = \omega_{1(i)}^0 \right\} \quad (i = 0, 1, 2) \quad (7.46)$$

cu valorile concrete:

$$t_0^0 = 0; \varphi_{1(0)}^0 = 0; \omega_{1(0)}^0 = 0$$

pentru etapa pornirii motorului, respectiv:

$$t_1^0 = t_1; \varphi_{1(1)}^0 = 2 \cdot \pi \cdot N_0; \omega_{1(1)}^0 = \omega_1^0$$

pentru etapa procesului tehnologic propriu zis, și:

$$t_2^0 = t_2; \varphi_{1(2)}^0 = 2 \cdot \pi \cdot (N_0 + N); \omega_{1(2)}^0 = \omega_1^0$$

pentru etapa opririi mașinii la terminarea levatei, t_1 și t_2 fiind momentele inițiale și finale ale levatei, N_0 și N fiind numerele de rotații efectuate de motor până la începutul și până la sfârșitul levatei, iar ω_1^0 fiind viteza unghiulară a motorului în funcționarea în regim permanent a mașinii, se va putea efectua o integrare numerică a sistemului (7.45) de ecuații diferențiale pentru cele trei etape ale funcționării mașinii, folosindu-se metoda Runge-Kutta, cu un algoritm de ordinul 4.

Ecuația diferențială (7.42) poate căpăta o formă mai simplă în urma neglijării unor termeni cu o influență mai puțin importantă în funcționarea mașinii.

O primă simplificare a ecuației poate fi obținută prin neglijarea forței generalizate gravitice, neglijare justificată prin următoarele argumente:

- termenul $Q_{g(25)}$ din expresia forței generalizate $Q_g = Q(\varphi_1)$ poate fi neglijat ca urmare a valorii mici a excentricității e , explicabilă prin faptul că fixarea camei și a excentricului pe axul roții melcate se face astfel

încât direcția razei vectoare maxime a camei să coincidă cu direcția razei vectoare minime a excentricului, ceea ce aduce practic poziția centrului de masă al ansamblului camă - roată melcată, excentric pe axa lui de rotație .

- termenii $Q_{j(26)}$, $Q_{g(32)}$ și $Q_{g(33)}$ din expresia forței generalizate gravitice pot fi neglijați ca urmare a valorilor foarte mici ale maselor M_{26} , M_{32} și M_{33} .

- sumele de termeni $Q_{g(37)} + Q_{g(39)}$ și $Q_{g(38)} + Q_{g(40)}$ pot fi neglijate ca urmare a condițiilor constructive:

$$M_{37} - M_{39} \approx M_{38} - M_{40} \quad (7.47)$$

situație evidențiată, de altfel și de consumul relativ mic, de numai 0,005 P_t , de putere mecanică care se produce în acest subansamblu al mașinii.

Rezultă deci posibilitatea acceptării unei prime aproximări de efectuat în expresia funcției $G(\varphi_1 \omega_1)$:

$$Q(\varphi_1) \approx 0 \quad (7.48)$$

În al doilea rând, se va observa că întrucât în expresia tuturor puterilor consumate P_{ci} intră, alături de solicitările de frecare - în marea lor majoritate constante - și parametri cinematici de ordinul întâi ai elementelor respective, care conțin toți ca factor pe ω_1 , se va putea admite că și puterea consumată totală P_f este direct proporțională cu ω_1 , adică satisface relația:

$$P_t = h_1 \cdot \omega_1 \quad (7.49)$$

cu factorul de proporționalitate h dat de relația:

$$h = \frac{P_f^0}{\omega_1^0} \quad (7.50)$$

ω_1^0 fiind o viteză unghiulară determinată a motorului în etapa de funcționare în regim permanent a mașinii, pentru care puterea consumată la sfârșitul levatei este P_f^0 .

În baza acestei înlocuiri, ultimul termen din membrul drept al relației (7.42), va lua forma:

$$\frac{1}{\dot{\varphi}_1} \cdot \left[0,82 + \frac{0,18}{k} \cdot \varphi_1 \right] \cdot P_f = 0,82 \cdot h + 0,18 \cdot \frac{h}{k} \cdot \varphi_1 \quad (7.51)$$

În ceea ce privește momentul motor \mathcal{M} se precizează că acționarea mașinii se face cu un motor asincron trifazat cu rotorul în scurt circuit, seria As/t, tipul I80M, prezentând caracteristicile:

$$\begin{aligned}
 P_n &= 15 \text{ Kw} \\
 \cos\varphi &= 0,85 \\
 n_n &= 1450 \text{ rot /min} \\
 \frac{\mathcal{M}_p}{\mathcal{M}_n} &= 1,4 \quad \frac{\mathcal{M}_m}{\mathcal{M}_n} = 2,2
 \end{aligned} \tag{7.52}$$

unde P_n este puterea nominală, n_n turația nominală, și \mathcal{M}_n cu:

$$\mathcal{M}_n = \frac{P_n}{n_n} 9550 \approx 99 \text{ N} \cdot \text{m} \tag{7.53}$$

este valoarea nominală a cuplului motor, iar \mathcal{M}_p și \mathcal{M}_m sunt valorile de pornire și maximă ale momentului \mathcal{M} .

Construind caracteristica mecanică a acestui motor, ea va avea forma din figura 7.7, care arată că pentru funcționarea în regim permanent, momentul \mathcal{M}_m satisface relația:

$$\omega_1 = \omega_n - \mathcal{M} \tag{7.54}$$

de unde va rezulta:

$$\mathcal{M} = \frac{1}{\text{tg}\alpha} \cdot (\omega_n - \omega_1) \tag{7.55}$$

În fine, o ultimă simplificare a ecuației diferențiale (7.42) va putea fi realizată prin aproximarea funcției $J^*(\varphi_1)$. Pentru aceasta, se observă mai întâi că din bilanțul de consum de puteri efectuat anterior, rezultă că hotărâtor în variația momentului de inerție redus $J^*(\varphi_1)$ este termenul $400 \cdot J_3^*(\varphi_1)$, datorat încărcării țevilor cu firul depus, restul termenilor din expresia (7.5) ai lui $J^*(\varphi_1)$, periodici, așa cum rezultă din relațiile (1.33), (1.37), (1.53) și (1.71) în φ_1 de perioadă fundamentală:

$$T = \frac{2 \cdot \pi}{88,293 \cdot z_{28}} \tag{7.56}$$

$$\frac{z_6 \cdot z_9 \cdot z_{27} \cdot z_{29} \cdot i_{12} \cdot i_{34}}$$

putând fi înlocuiți cu valoarea lor medie, constantă, notată în continuare cu simbolul J_m^* , adică se va putea scrie:

$$J^*(\varphi_1) = J_m^* + 400 \cdot J_9^*(\varphi_1) = (J_n^* + 400 \cdot J_9) + 400 \cdot J_9(\varphi_1) \tag{7.57}$$

$J_9(\varphi_1)$ fiind momentul de inerție al straturilor depuse pe una din țevi la un moment dat al levatei, iar J_9 fiind momentul de inerție al fusului respectiv împreună cu țeava goală. Faptul că la depunerea fiecărui strat de fir, momentul de inerție față de axa sa de rotație al ansamblului fus - cops crește cu aceeași cantitate, permite să se aproximeze variația momentului de inerție $J_9(\varphi_1)$ cu o variație liniară în unghiul de rotație al fusului, care,

la rândul lui, este direct proporțional cu unghiul de rotație al rotorului, adică se va putea accepta aproximarea:

$$400 \cdot J_g(\varphi_1) = p \cdot \varphi_1 \quad (7.58)$$

factorul de proporționalitate p putând fi determinat experimental.

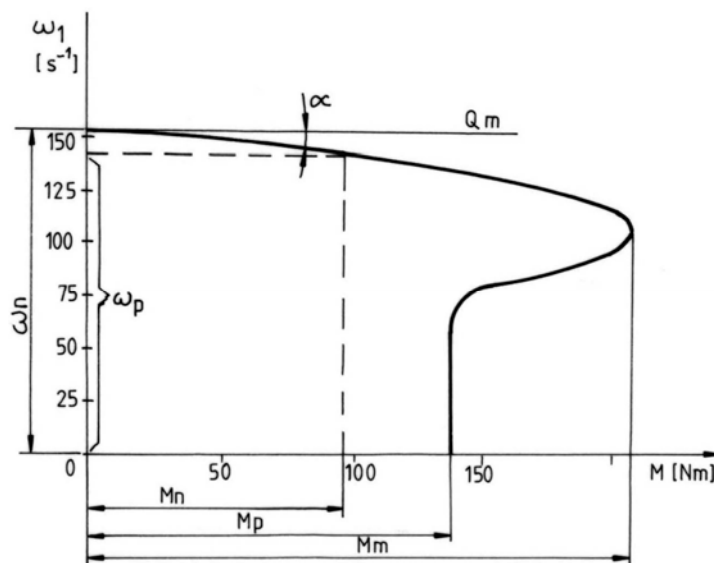


Fig. 7.7

Rezultă deci următoarea expresie pentru momentul de inerție $J^*(\varphi_1)$:

$$J^*(\varphi_1) = (J_m + 400 \cdot J_g) + p \cdot \varphi_1 \quad (7.59)$$

cu:

$$\frac{dJ^*}{d\varphi_1} = p \quad (7.60)$$

Introducând notația:

$$J + J_m^* + 400 \cdot J_g = J = \text{constant} \quad (7.61)$$

coeficientul lui $\ddot{\varphi}$ din ecuația (7.42) va putea fi înlocuit cu coeficientul aproximativ:

$$J^0 + J^*(\varphi_1) \approx J + p \cdot \varphi_1 \quad (7.62)$$

În baza relațiilor (7.48), (7.51), (7.55) și (7.62), ecuația diferențială (7.42) a funcționării mașinii de filat, corespunzătoare mișcării ei în regim permanent va putea fi înlocuită cu ecuația aproximativă:

$$(J + p \cdot \varphi_1) \cdot \ddot{\varphi}_1 + \frac{p}{2} \cdot \dot{\varphi}_1^2 = \left(-0,82 \cdot h + \frac{1}{\operatorname{tg}\alpha} \cdot \omega_n\right) - 0,18 \cdot \frac{h}{\kappa} \cdot \varphi_1 - \frac{1}{\operatorname{tg}\alpha} \cdot \dot{\varphi}_1 \quad (7.63)$$

În cazul când funcționarea mașinii se realizează astfel încât punctul de funcționare de pe caracteristica motorului să fie situat într-o zonă cu α foarte mic - ceea ce se și recomandă, pentru a menține constantă turația fuselor - se va putea accepta o nouă aproximare:

$$\ddot{\varphi}_1 \approx 0 \quad (7.64)$$

în baza căreia ecuația (7.63) ia forma:

$$\frac{p}{2} \cdot \dot{\varphi}_1^2 + \frac{1}{\operatorname{tg}\alpha} \cdot \varphi_1 + \left(-0,82 \cdot h + 0,18 \cdot \frac{h}{\kappa} \cdot \varphi_1 \cdot \frac{1}{\operatorname{tg}\alpha} \cdot \omega_n\right) = 0 \quad (7.65)$$

Ultima relație va permite să se găsească pozițiile punctelor de funcționare corespunzătoare începutului ($\varphi_1 = 2\pi N_0$) și sfârșitului ($\varphi_1 = 2\pi N = k$) levatei, ordonatele ω_1' și ω'' ale acestor puncte reprezentând rădăcinile reale pozitive ale ecuațiilor:

$$\frac{p}{2} \cdot \omega_1^2 + \frac{1}{\operatorname{tg}\alpha} \cdot \omega_1 + \left(0,82 \cdot h + 0,18 \cdot \frac{h}{\kappa} \cdot N_0 - \frac{1}{\operatorname{tg}\alpha} \cdot \omega_n\right) = 0 \quad (7.66)$$

respectiv:

$$\frac{p}{2} \cdot \omega_1^2 + \frac{1}{\operatorname{tg}\alpha} \cdot \omega_1 + \left(h - \frac{1}{\operatorname{tg}\alpha} \cdot \omega_n\right) = 0 \quad (7.67)$$

La rândul ei, ultima relație mai poate fi folosită la stabilirea caracteristicilor ω_n și α ale motorului ce trebuie ales pentru acționarea unei mașini proiectate, căreia i se prestabilește o viteză unghiulară de regim ω_1 .

Pentru funcționarea mașinii în faza de demarare și de frânare, au fost efectuate studii experimentale, concretizate în graficele din figurile 7.8 și 7.9.

Curbele respective evidențiază caracterul uniform variat al mișcării mașinii în aceste faze și anume uniform accelerat în faza de pornire și uniform încetinit în etapa frânării.

Ecuația diferențială (7.63) va putea fi considerată ca valabilă și pentru cele două faze în regim tranzitoriu ale mașinii de filat - faza pornirii mașinii și faza opririi ei la sfârșitul levatei - cu condiția de a se înlocui cu termenul $\left[\frac{1}{\operatorname{tg}\alpha} \cdot (\omega_n - \dot{\varphi}_1)\right]$, reprezentând forța generalizată motoare, cu

termenul corespunzător situației funcționării pe porțiunea AB a caracteristicii mecanice a motorului, porțiune care va putea fi aproximată, de asemenea, cu un segment de dreaptă de pantă:

$$\operatorname{tg}\beta = \frac{\omega_1^*}{\mathcal{M}_m - \mathcal{M}_p} \quad (7.67)$$

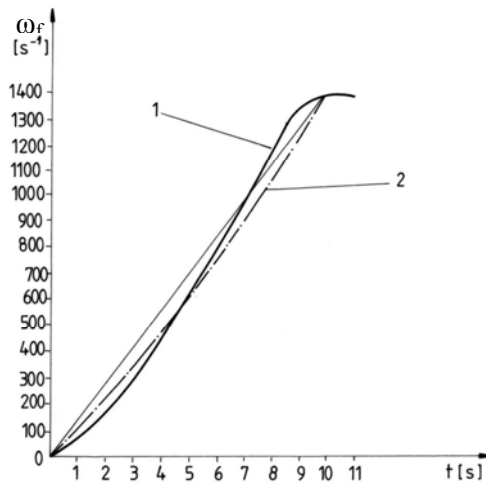


Fig. 7.8

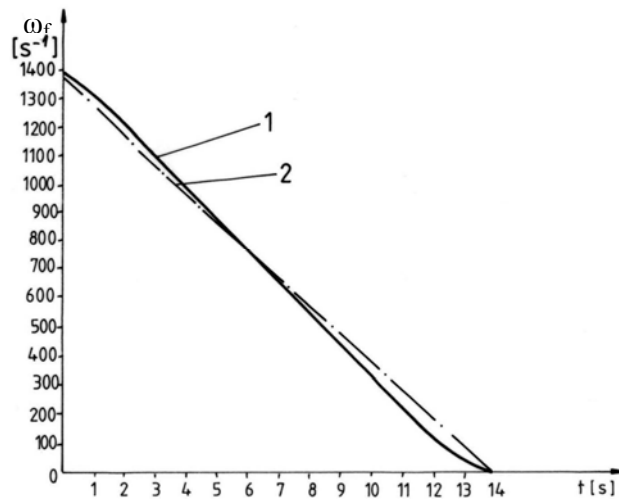


Fig. 7.9

Rezultă deci:

$$Q_m = \mathcal{M} = \mathcal{M} \cdot p + \frac{1}{\operatorname{tg}\beta} \cdot \dot{\varphi}_1 \quad (7.68)$$

iar introducerea acestui termen în ecuația (7.63) în locul termenului

$\left[\frac{1}{\operatorname{tg}\alpha} \cdot (\omega_n - \dot{\varphi}_1) \right]$ va face ca această ecuație să capete forma:

$$(J + p \cdot \varphi_1) \cdot \ddot{\varphi}_1 + \frac{p}{2} \cdot \dot{\varphi}_1^2 = (-0,82 \cdot h + \mathcal{M}_p) - 0,18 \cdot \frac{h}{\kappa} \cdot \varphi_1 + \frac{1}{\operatorname{tg}\beta} \cdot \dot{\varphi}_1 \quad (7.69)$$

Sub această formă, ecuația va descrie și mișcarea mașinii de filat cu inele în cele două faze de regim tranzitoriu, așa cum se va arăta în continuare.

a) – *Faza de pornire a mașinii*

Întrucât durata acestei faze este foarte mică, de ordinul a 10 secunde, unghiul φ_1 va avea, chiar la sfârșitul fazei, o valoare relativ mică; dacă se mai ține seama și de valorile foarte mici ale constantelor p și h din ecuația diferențială (7.69), se vor putea accepta aproximațiile:

$$p \cdot \varphi_1 \approx 0; \quad \frac{h}{\kappa} \cdot \varphi_1 \approx 0 \quad (7.70)$$

Pe de altă parte, datorită aceleiași valori foarte mici a constantei p , variația parabolică cu $\dot{\varphi}_1$ a termenului neliniar $\frac{p}{2} \cdot \dot{\varphi}_1^2$ din ecuația (7.66)

(curba 1 din figura 7.10) va putea fi aproximată, pentru intervalul $[0, \omega_1 \approx \omega_1^*]$ de variație a vitezei unghiulare $\dot{\varphi}_1$, cu o variație liniară (curba 2 din figura 7.10), conform ecuației:

$$\frac{p}{2} \cdot \dot{\varphi}_1^2 \approx \operatorname{tg}\beta \cdot \dot{\varphi}_1 = \frac{p}{2} \cdot \omega_1^* \cdot \dot{\varphi}_1^2 \quad (7.71)$$

Luând în considerație aproximațiile (7.70) și (7.71), va rezulta următoarea formă simplificată pentru ecuația diferențială (7.63):

$$\ddot{\varphi}_1 + \frac{1}{J} \cdot \left(\frac{p}{2} \cdot \omega_1^* - \frac{1}{\operatorname{tg}\beta} \right) \cdot \dot{\varphi}_1 = \frac{1}{J} \cdot (-0,82 \cdot h + \mathcal{M}_p) \quad (7.72)$$

Introducând, pentru simplificarea calculelor, notațiile:

$$\begin{cases} \frac{1}{J} \cdot \left(\frac{p}{2} \cdot \omega_1^* - \frac{1}{\operatorname{tg}\beta} \right) = a_1 \\ \frac{1}{J} \cdot (-0,82 \cdot h + \mathcal{M}_p) = b_1 \end{cases} \quad (7.73)$$

ecuația diferențială (7.72) va mai putea fi retranscrisă sub forma:

$$\ddot{\varphi}_1 + a_1 \dot{\varphi}_1 = b_1 \quad (7.74)$$

iar soluția ei generală va avea forma:

$$\varphi_1 = C_1 + C_2 \cdot e^{-a_1 t} + \frac{b_1}{a_1} \cdot t \quad (7.75)$$

cu:

$$\dot{\varphi}_1 = -a_1 \cdot C_2 \cdot e^{-a_1 t} + \frac{b_1}{a_1} \quad (7.76)$$

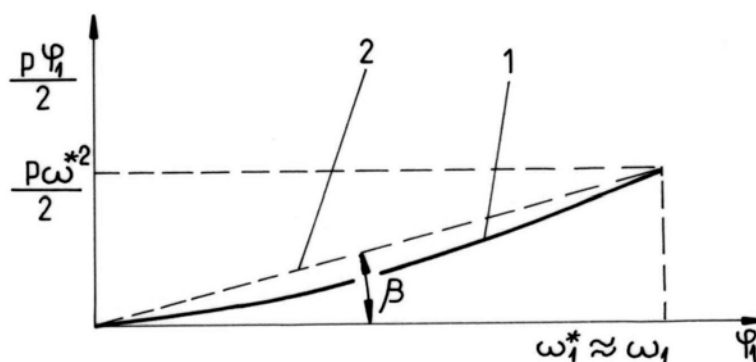


Fig. 7.10

Introducând în relațiile (7.75) și (7.76) condițiile inițiale corespunzătoare acestei faze, adică:

$$t = 0 \quad \left\{ \varphi_{1(0)} = 0; \dot{\varphi}_1(0) = 0 \right\} \quad (7.77)$$

rezultă sistemul de ecuații algebrice în constantele de integrare C_1 și C_2 :

$$\begin{cases} 0 = C_1 + C_2 \\ 0 = -a_1 \cdot C_2 + \frac{b_1}{a_1} \end{cases} \quad (7.78)$$

cu rădăcinile:

$$C_2 = -C_1 = \frac{b_1}{a_1^2} \quad (7.79)$$

și deci introducerea acestor valori în ecuația (7.75) va conduce la următoarea ecuație finită, descriind mișcarea mașinii în faza de pornire:

$$\varphi_1 = \frac{b_1}{a_1^2} \cdot (e^{-a_1 t} - 1) + \frac{b_1}{a_1} \cdot t \quad (7.80)$$

cu

$$\dot{\varphi}_1 = -\frac{b_1}{a_1} \cdot e^{-a_1 t} + \frac{b_1}{a_1} = \frac{b_1}{a_1} \cdot (1 - e^{-a_1 t}) \quad (7.81)$$

Impunând condiția ca această funcție să treacă prin trei puncte caracteristice ale curbei reale care descrie mișcarea mașinii în această fază (curba 1, ridicată experimental – figura 7.7) și anume:

t = 0	t = 5 s	t = 10 s
$\dot{\varphi}_1 = 0$	$\dot{\varphi}_1 = 607$	$\dot{\varphi}_1 = 1356$

s-au determinat valorile constantelor sistemul de mai jos:

$$\begin{cases} 1356 = \frac{b_1}{a_1} \cdot (1 - e^{-10t}) \\ 607 = \frac{b_1}{a_1} \cdot (1 - e^{-5t}) \end{cases}$$

S-au obținut valorile:

$$a_1 = -0,042;$$

$$b_1 = 108,96$$

care au permis trasarea curbei (2) din figura 7.7.

Curba variației lui $\dot{\varphi}_1$ în funcție de timp – figura 7.7, confirmă în mare măsură justetea modelării precedente a funcționării mașinii de filat cu inele în faza de pornire a ei.

b). – *Faza de oprire*

În această fază de mișcare în regim tranzitoriu unghiul φ_1 din expresiile termenilor ecuației (7.69) are valoarea practic constantă în tot timpul fazei, egală cu:

$$\varphi_1 = 2 \pi \cdot N \quad (7.82)$$

În ceea ce privește termenul $\frac{p}{2} \cdot \dot{\varphi}_1^2$, el va putea fi aproximat și acum cu expresia (7.71).

Rezultă deci că în faza de oprire a mașinii, ecuația (7.69) va lua forma:

$$\ddot{\phi}_1 + \frac{1}{J+2 \cdot \pi \cdot p \cdot N} \cdot \left(\frac{p}{2} \cdot \omega_1^* - \frac{1}{\operatorname{tg} \beta} \right) \cdot \dot{\phi}_1 = \frac{1}{J+2 \cdot \pi \cdot p \cdot N} \cdot (-0,82 \cdot h + \mathcal{M}_p - 0,18 \cdot \frac{h}{\kappa} \cdot 2 \cdot \pi \cdot N) \quad (7.83)$$

Se introduc notațiile:

$$\frac{1}{J+2 \cdot \pi \cdot p \cdot N} \cdot \left(\frac{p}{2} \cdot \omega_1^* - \frac{1}{\operatorname{tg} \beta} \right) = a_2 \quad (7.84)$$

$$\frac{1}{J+2 \cdot \pi \cdot p \cdot N} \cdot (-0,82 \cdot h + \mathcal{M}_p - 0,18 \cdot \frac{h}{\kappa} \cdot 2 \cdot \pi \cdot N) = -b_2 \quad (7.85)$$

Forma ecuației (7.8) devine:

$$\ddot{\phi}_1 + a_2 \cdot \dot{\phi}_1 = -b_2 \quad (7.86)$$

Analogia ecuațiilor diferențiale (7.86) și (7.74) permite să se scrie direct soluția generală a mișcării mașinii în faza de oprire, soluție de forma (7.75), adică:

$$\phi_1 = C_1' + C_2' \cdot e^{-a_2 t} - \frac{b_2}{a_2} \cdot t \quad (7.87)$$

cu :

$$\dot{\phi}_1 = -a_2 \cdot C_2' \cdot e^{-a_2 t} - \frac{b_2}{a_2} \quad (7.88)$$

constantele de integrare, C_1' și C_2' , urmând a fi determinate prin introducerea în relațiile (7.87) și (7.88), a condițiilor inițiale corespunzătoare acestei situații:

$$t = 0 \quad \left\{ \begin{array}{l} \phi_{1(0)} = 0; \\ \dot{\phi}_1(0) = \omega_1^* \end{array} \right\} \quad (7.89)$$

ceea ce conduce la sistemul de ecuații algebrice:

$$\left\{ \begin{array}{l} 0 = C_1' + C_2' \\ \omega_1^* = -a_2 \cdot C_2' - \frac{b_2}{a_2} \end{array} \right. \quad (7.90)$$

cu rădăcinile:

$$C_2' = -C_1' = -\frac{1}{a_2} \cdot \left(\omega_1^* + \frac{b_2}{a_2} \right) \quad (7.91)$$

Prin introducerea valorilor (7.91) în soluția generală (7.87) se obține următoarea ecuație finită a mișcării mașinii de filat în faza de oprire a ei, la sfârșitul levatei:

$$\varphi_1 = \frac{1}{a_2} \cdot \left(\omega_1^* + \frac{b_2}{a_2} \right) \cdot (1 - e^{-a_2 t}) - \frac{b_2}{a_2} \cdot t \quad (7.92)$$

cu

$$\dot{\varphi}_1 = \left(\omega_1^* + \frac{b_2}{a_2} \right) - e^{-a_2 t} - \frac{b_2}{a_2} \quad (7.93)$$

Impunând și aici condițiile:

t = 0	t = 7 s	t = 14 s	$\omega_1^* = 1356$
$\dot{\varphi}_1 = 1356$	$\dot{\varphi}_1 = 660$	$\dot{\varphi}_1 = 0$	

din sistemul:

$$\begin{cases} 660 = \left(1356 + \frac{b_2}{a_2} \right) \cdot e^{-7a_2} - \frac{b_2}{a_2} \\ 0 = \left(1356 + \frac{b_2}{a_2} \right) \cdot e^{-14a_2} - \frac{b_2}{a_2} \end{cases}$$

au fost determinate valorile constantelor a_2 și b_2 :

$$a_2 = 0,00758;$$

$$b_2 = 91,78$$

Cu ajutorul acestor constante a putut fi reprezentată funcția (7.93) în figura 7.9 (curba 2).

Pentru ambele faze de funcționare ale mașinii - pornire și oprire - curbele din figurile 7.8 și 7.9 permit să se tragă concluzia că această modelare matematică a funcționării mașinii corespunde în foarte mare măsură realității.

Se observă că prin determinarea constantelor a_1 , b_1 și a_2 , b_2 s-a creat posibilitatea determinării experimentale a mărimilor p , h , β și J , caracteristice mașinii.

Capitolul 8

FUSE TEXTILE

8.1. Construcția fuselor textile

8.1.1. Clasificarea fuselor textile

Soluțiile constructive pentru fusele textile au evoluat pe parcursul multor ani.

Introducerea rulmentului cu role la lagărul superior a constituit un moment important în construcția fuselor, întrucât a deschis calea creșterii substanțiale a vitezelor de exploatare și a duratei de funcționare (brevet al firmei SKF-Norma-Kirner, RFG, 1921).

În ultimii 30 de ani au apărut numeroase lucrări în care se analizează noi soluții, cu performanțe de exploatare îmbunătățite, accentul fiind pus pe folosirea amortizoarelor pentru lagărul inferior al fusului.

La mașinile de filat și de răsucit cu inel și cursor se folosesc în prezent diferite variante constructive de fuse dependente și de caracteristicile materiei prime utilizate, precum și ale firului rezultat.

În literatura de specialitate se întâlnesc diferite clasificări. Drept criterii de bază pentru clasificare sunt conturate următoarele:

- modul de prindere de banca fuselor;
- încărcarea fusului (masa tijei + masa bobinei);
- forma constructivă a părții superioare a tijei;
- sistemul de acționare a fuselor;
- mobilitatea tijei;
- tipul constructiv al suportului tijei.

După *modul de prindere al fusului pe mașină* se disting două tipuri constructive: fără braț rotitor și cu braț rotitor - figura 8.1. În ambele variante, prinderea cupei față de bancă se poate realiza cu elemente rigide de legătură sau elastice, prin intermediul unor bucșe și inele de cauciuc, arcuri etc.

Tipul de braț rotitor se folosește la mașinile la care levata se efectuează individual (fusul trebuie îndepărtat de organul de acționare pentru înlocuirea bobinei pline).

Prinderea rigidă asigură o precizie mai ridicată de montaj pentru ansamblul fus-inel-cursor (frecvent utilizată la fuse ușoare și mijlocii), iar prinderea clasică îmbunătățește condițiile dinamice de funcționare, în mod deosebit la fusele grele.

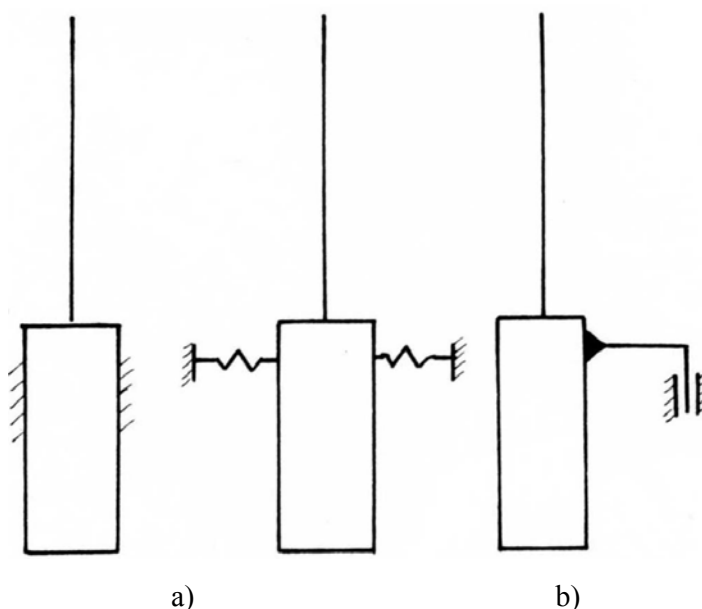


Fig. 8.1

Prinderea rigidă este rezolvată la majoritatea fuselor cu ajutorul unor flanșe și piulițe – figura 8.2; există tendința de a se utiliza o prindere a cupei fusului de bancă, prin intermediul unor ajustaje presate - figura 8.3.

După *încărcarea fuselor* acestea se pot grupa în trei categorii - tabelul 8.1.

Tabelul 8.1

Mod de prindere	Încărcarea fusului (g)		
	ușoară	medie	grea
Fuse cu braț rotitor	<150	150-450	>450
Fuse fără braț rotitor	<250	250-700	>700

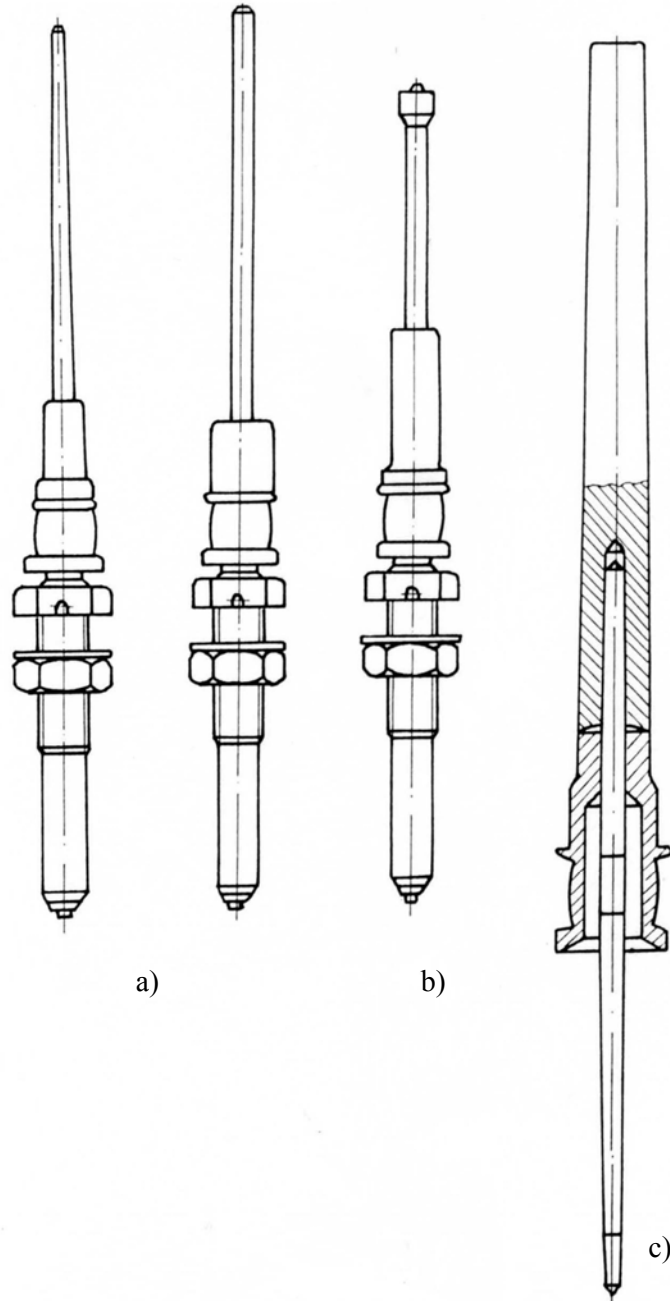


Fig. 8.2

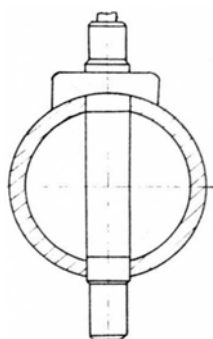


Fig. 8.3.

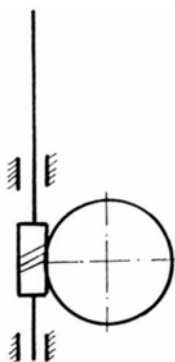


Fig. 8.4

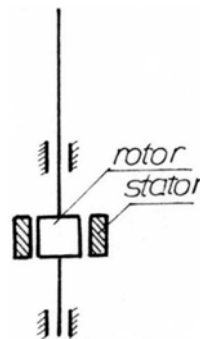


Fig. 8.5

După forma constructivă a părții superioare a tije se întâlnesc:

- simplă, pentru mosoare și suportți de bobină rigizi - figura 8.2 a);
- cu tijă și cap de centrare pentru mosoare - figura 8.2 b);
- cu tijă și înveliș, pentru suportți de bobină subțiri (carton, mase plastice) - figura 8.2 c).

După sistemul de acționare a fuselor se deosebesc:

- fuse acționate prin curele - figura 8.2;
- fuse cu acționare electrică - figura 8.5;
- fuse acționate prin roți dințate elicoidale - figura 8.4.

Antrenarea tangențială prin curele lungi (pe număr mare de fuse) utilizată pe scară din ce în ce mai largă, asigură coeficienți de alunecare cu valori scăzute de 1 ... 2% față de 3 ... 5% la curele textile, pentru transmisiile la număr mic de fuse (1 ... 4 fuse). Se manifestă tendința de extindere a acționării cu electromotor, soluție care se pretează la o exploatare automatizată a mașinilor. Sistemul de acționare influențează construcția fuselor și a utilajelor respective.

După mobilitatea tije majoritatea sunt cu tijă rotitoare - figura 8.6; au fost realizate și fuse cu tijă fixă - figura 8.7, puțin răspândite. Datele prezentate în această lucrare se referă numai la fusele cu tijă rotitoare, fără braț auxiliar.

Pentru suportții tijelor fuselor textile sunt cunoscute, printre altele, două criterii de clasificare:

După modul de legare a lagărelor față de cupă suportții se grupează:

- cu lagăre legate rigid - figura 8.8 a);
- cu lagăr inferior legate elastic - figura 8.8 b);
- cu ambele lagăre legate elastic - figura 8.8 c).

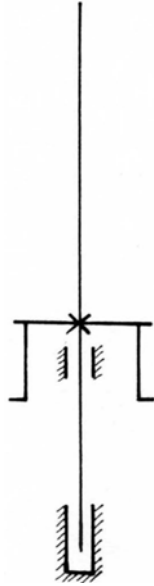


Fig. 8.6

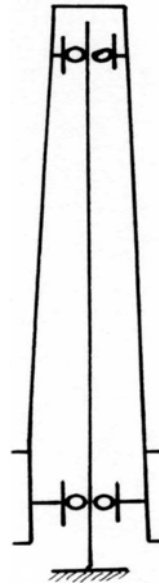


Fig. 8.7

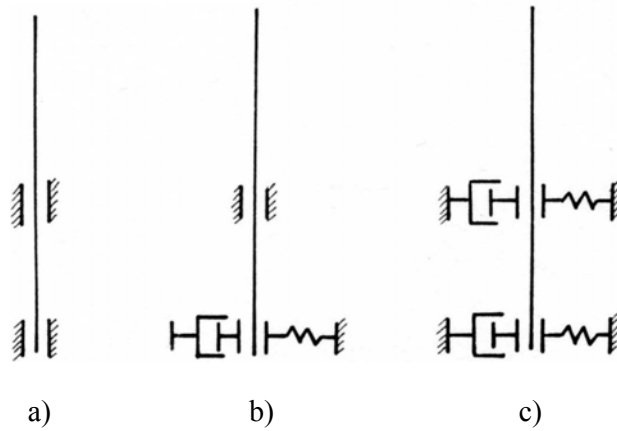


Fig. 8.8

Suportii cu lagărele legate rigid față de cupă s-au folosit la primele construcții de fuse fără să ofere condiții corespunzătoare în exploatare.

După sistemul de amortizare a vibrațiilor tijei fusului sunt suporti cu:

- frecare de alunecare, la construcțiile vechi;
- frecare de alunecare combinată cu sisteme hidraulice;
- sisteme hidraulice la construcțiile moderne.

La amortizarea numai pe cale hidraulică se elimină frecarea de alunecare dintre piesele în contact și se asigură, în afară de o eficiență amortizare a vibrațiilor, condiții mai bune pentru menținerea pe durate mult majorate a calităților de ungere ale uleiului din cupa fusului.

La tipurile grele de fuse, la care există o legătură elastică între cupă și bancă (arcuri elicoidale, inele de cauciuc) se obține, pe lângă o amortizare a ansamblului tijă-cupă și o micșorare a forțelor care se exercită asupra lagărelor, cu consecințe favorabile asupra duratei de funcționare și asupra consumului de putere.

8.1.2. Suporti pentru fusele textile

8.1.2.1. Condiții impuse pentru exploatare

Un fus textil trebuie să funcționeze cu amplitudini ale vibrațiilor tijei cât mai mici cu putință, pentru a se menține în poziție centrată față de inel. Îndeplinirea acestei cerințe este dificilă pe măsură ce cresc turațiile de exploatare și dezechilibrul bobinei. Abaterea de la această condiție conduce la creșterea frecvenței de rupere și calitate necorespunzătoare a firului, productivitate scăzută. Se impune totodată un consum redus de putere, durabilitate mare pentru lagăre (8-10 ani), întreținere economică (schimbul uleiului la 1500 ... 20000 ore funcționare).

Aspectele menționate sunt legate de soluția adoptată pentru lăgăruierea tijei fusului textil, de caracteristicile elastice, de amortizare și de toleranțele de execuție.

Realizarea obiectivelor cu privire la funcționarea corectă a fuselor textile impune îndeplinirea unor condiții dintre care importanță deosebită prezintă acelea ce se referă la vibrațiile tijei fusului.

a) *Viteza critică fundamentală ω_0 , trebuie să aibă valori apreciabil mai mici decât vitezele de exploatare ale fusului - figura 8.9, pentru ca unghiul de fază în zona vitezelor de regim să tindă la valoarea de 180° beneficiindu-se în acest fel de fenomenul de autostabilizare; se obțin pe această cale valori reduse pentru amplitudinea vibrațiilor tijei la turațiile de exploatare. Această condiție impune valori scăzute pentru rigiditatea rezemării, îndeosebi a lagărului inferior, dar și a porțiunii de tijă dintre lagăre.*

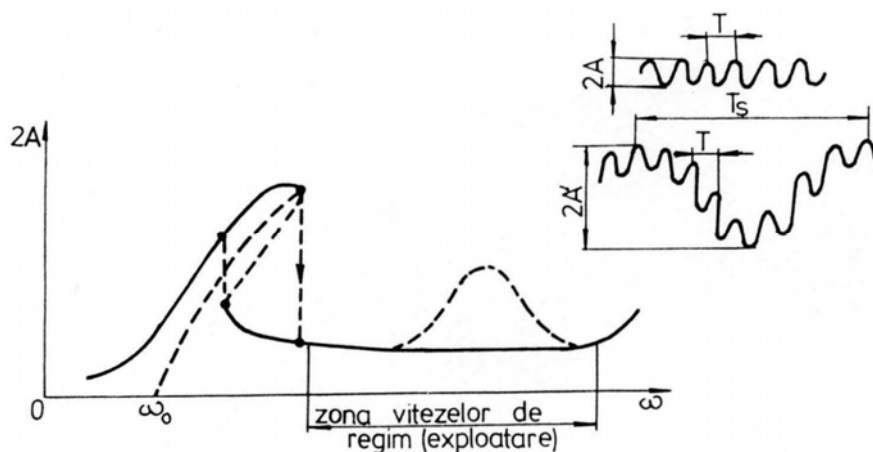


Fig. 8.9

Valorile dublei amplitudini la capătul superior al țije, în zona turațiilor de lucru, pentru fuse cu bobine dezechilibrate, nu depășesc aprox. 0,35 mm la fuse ușoare și mijlocii și 0,45 mm la fuse grele, în condiții normale de exploatare.

Cu privire la zona vitezelor de exploatare valorile maxime posibile de realizat din punct de vedere al tehnologiei de filare și răsucire sunt limitate de forțele de întindere din fir care cresc odată cu mărirea vitezei fusului și de viteza maximă suportată de cursor în vederea încălzirii excesive, la temperaturi de peste (300.....400)°C, ce conduc la uzură accentuată a acestuia. De exemplu, la fusele ușoare turațiile maxime de lucru ating valori de 18000 ... 20000 rot/min. Limita inferioară se află în apropierea zonei de rezonanță, acolo unde valorile dublei amplitudini a vibrațiilor coboară sub limitele admise.

b) *Curba de rezonanță* din zona vitezei critice ω_0 să fie aplatizată în vederea obținerii unor amplitudini cu valori relativ scăzute, astfel încât la trecerea prin viteza critică, în special la oprirea mașinii, bobina plină să nu se atingă de cursor - figura 8.8. Această condiție se obține prin utilizarea unor elemente cu rigiditate neliniară (crescătoare), de obicei pentru rezemarea lagărului inferior, ceea ce conduce la ω_0 variabil; se micșorează astfel valorile amplitudinilor. Aplatizarea este influențată și de utilizarea unor sisteme adecvate de amortizare a vibrațiilor. La rezonanță fusele moderne ating valori de 0,7 ... 0,9 mm pentru dubla amplitudine la capătul superior al țije.

c) *Fenomenele de rezonanță subarmonică* din zona vitezelor de exploatare să fie evitate; astfel de fenomene pot să apară datorită caracteristicilor neliniare ale elementelor elastice de la reazeme și a jocurilor mărite din lagăre; dacă această condiție nu este îndeplinită, în zonele respective apar valori majorate ale amplitudinilor care pot depăși limitele admise – figura 8.8.

d) *Traectoria axei tijeii fusului să fie apropiată de cerc*, în timpul funcționării cu bobină dezechilibrată; realizarea acestei condiții impune un sistem radial simetric de susținere elastică a lagărelor și de amortizare față de cupa fusului; se asigură astfel o tensionare minimă a firelor, datorită deplasării uniforme a cursorului pe inel. Traectoria tijeii fusului poate apare ca în figura 8.10, atunci când, în funcționare, pivotul tijeii se ridică pe suprafața conică a crapodinei; această situație este creată de un dezechilibru mărit al bobinei și joc radial necorespunzător în crapodină.

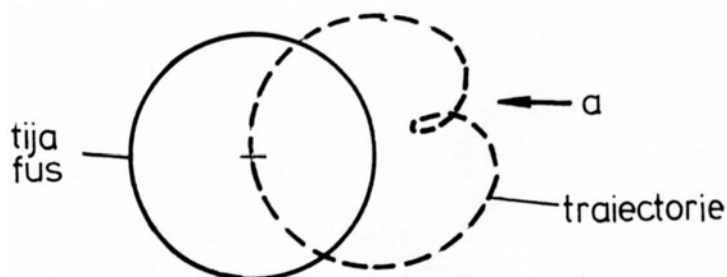


Fig. 8.10

Mișcarea în zona *a* provoacă accelerații mari pentru fir și cursor, deci forțe de inerție majorate, care conduc la creșterea frecvenței de rupere a firului.

e) Capacitatea de menținere a unor *valori mici* pentru amplitudinea vibrațiilor tijeii la *valori relativ ridicate* pentru dezechilibrul bobinei.

f) *Stabilitate pentru vibrațiile tijeii* sub influența unor *factori perturbatori exteriori* cum sunt: îmbinările curelușelor de antrenare, vibrațiile acestora și a rotelor întinzătoare.

g) Obținerea unor încărcări reduse ale lagărului superior chiar la valori ridicate ale dezechilibrului bobinei cu scopul diminuării consumului

energetic, nivelului de zgomot și creșterii durabilității lagărelor la turații înalte. În acest scop se folosesc soluții cu rezemare elastică a lagărelor față de cupă și a cupei față de banca fuselor.

8.1.2.2. Tipuri constructive de suport; caracteristici funcționale

În acest paragraf sunt prezentate diferite tipuri constructive reprezentative de fuse textile cu tijă rotativă, fără braț auxiliar folosite la mașini de filat și răsucit sunt analizate soluțiile adoptate pentru suportul tijeii, măsura în care sunt satisfăcute condițiile menționate anterior și cauzele care limitează performanțele de exploatare.

În filaturi se întâlnesc cu precădere patru tipuri de suport: cu rotulă, cu tub flotant, cu doi rulmenți și cu amortizor hidraulic.

Întrucât suportii cu amortizor hidraulic satisfac în mai mare măsură cerințele de exploatare, prezentarea lor face obiectul unui paragraf separat, special destinat analizei numai acestui tip de suport.

a) Suport cu rotulă

Unul din fusele larg folosite anterior este cel la care se întâlnește așa-zisul suport cu rotulă – figura 8.11. Rulmentul cu role 1, cât și crapodina 2 sunt montate prin ajustaje cu strângere în tubul 3. Partea superioară a tubului, prelucrată în formă de rotulă (sferică), este ghidată într-o cavitate corespunzătoare executată în cupa fusului 9 formând o articulație. Tubul de amortizare 7 este montat cu puțin joc față de partea inferioară a tubului 3. Arcul 4 apasă tubul pe suprafața conică corespunzătoare a inelului de frânare 8. Șurubul de fixare 6 plasat într-o creștătură a inelului de blocare 5 împiedică ridicarea cât și rotirea acestuia. Pe acest inel de blocare se sprijină arcul în partea sa superioară.

Datorită soluției constructive prezentate, rotula este apăsată pe locașul corespunzător de la cupă, iar tubul amortizor 7 pe inelul 9, permițând ca tija fusului să se mențină în poziție centrală împreună cu tubul 3 care totodată poate oscila, în limite mici, cu frecare pe suprafețele sferică, respectiv conică. Cu piulița 10 se realizează fixarea de banca fuselor.

Fusele cu acest tip de suport fac parte din categoria celor cu rezemare rigid legate de cupă cu o oarecare elasticitate a subansamblului respectiv, ceea ce permite o funcționare cu o centrare automată a tijeii fusului. De îndată ce efectele dezzechilibrului bobinei acționează asupra părții superioare a tijeii în timpul exploatării, tubul 3 are posibilitatea să efectueze o mișcare oscilatorie limitată datorită articulației sferice.

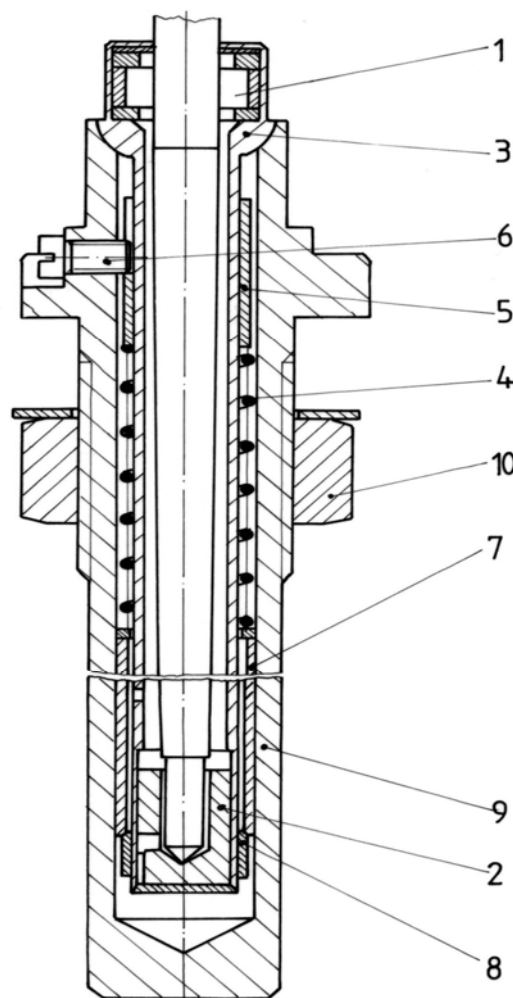


Fig.8.11

valori ale maselor de la 70 g la 1500 g; de asemenea după expirarea patentului SKF aceste fuse au fost adoptate de aproape firmele constructoare de fuse textile din lume.

În tabelul 8.2 sunt prezentate mărci de fuse cu rotulă ale unor renumite firme producătoare sub aspectul comportării la vibrații (viteza critică, dubla amplitudine la capătul superior al tijeii, viteza maximă de regim), iar în figurile menționate în tabel curbele de rezonanță pentru fusul gol (I) și fusul cu bobină (II).

Amortizarea vibrațiilor tijeii se obține pe de o parte prin frecare (dacă vibrațiile sunt puternice) în articulația sferică și pe suprafața conică a inelului de frânare, iar pe de altă parte cu ajutorul uleiului aflat între tubul amortizor 7 și tubul 3, respectiv cupa 8.

Dacă efectul dezechilibrului se diminuează tubul 3 cu tija își regăsesc rapid poziția lor centrată.

Fusul textil cu rotulă a fost primul din lume capabil să funcționeze timp îndelungat cu sarcini excesive datorită sistemului de amortizare a vibrațiilor care absoarbe numai energia oscilațiilor provocate de existența dezechilibrului.

Aceste fuse au fost elaborate și lansate în fabricație în anul 1931 de firma SKF cu simbolurile HM 238, HM 337, HM 434, HM 632, HM 731, HM 833 pentru formate (bobine) cu

Tabelul 8.2

Marca fusului	Parametri bobinei		Turația critică (rot/min)		Dubla amplitudine (mm) [*]		Turația max. de regim (rot/min)	Obs.
	Înălțime (mm)	Masă (g)	Fără bobină	Cu bobină	În zona de lucru	La rezonanță		
VNT 28-14 (CSI)	200	109	3500... ...4000	2500... ...2800	0,4...0,6	0,55...0,8	14000	Fig. 8.12 a)
VNT 28-14 (CSI)	200	125	4000... ...4500	2500... ...3500	0,4...0,53	1	14000	Fig. 8.12 b)
VNT 28-14 (CSI)	300	350	2500... ...2700	2000... ...2100	0,6...0,7	1,1	10000	Fig. 8.12 c)
SKF HM 434	255	153	-	-	0,35...0,4	-	10000	-
Platt (Anglia)	230	80	3500	2500	0,62...0,86	1,1	14000	Fig. 8.12 d)
OMS (Japonia)	180	90	3500	2000... ...2500	0,52...0,75	1,1	14000	Fig. 8.12 e)
Carnitti (Italia)	250	345	3000	2500	0,5...0,7	0,9	8000	Fig. 8.12 f)
Prince-Smith (Anglia)	230	127	3400	2700	0,25...0,75	0,95	12000	Fig. 8.12 g)

* - la capătul superior al tijeii fusului cu bobină cu dezechilibru mijlociu.

Curbele au fost obținute cu bobina având un dezechilibru mijlociu, momentul de dezechilibru fiind cuprins între $1,5 \times 10^{-4}$ N·m (la fuse ușoare și 10^{-3} N·m (la fuse grele).

Din datele prezentate în tabelul 8.2 și figura 8.12 se constată:

- toate fusele au viteza critică fundamentală situată la valori mici în raport cu vitezele de lucru;
- dubla amplitudine a vibrațiilor tijeii la capătul superior în zona vitezelor de regim se situează la valori medii de 0,55...0,6 mm;
- dubla amplitudine la capătul superior al tijeii, în zona de rezonanță, are valori medii de aproximativ 1 mm.
- turațiile maxime de regim sunt cuprinse între 10000 și 14000 rot/min;
- la unele fuse, apar în zona turațiilor de lucru și vibrații subarmonice – figura 8.10, care măresc apreciabil valoarea amplitudinii vibrațiilor.

Spre exemplu la fusul Prince-Smith – figura 8.12 g) la 10000 rot/min dubla amplitudine este de 0,75 mm față de valorile scăzute (sub 0,3 mm) întâlnite în zona 5000 – 8000 rot/min.

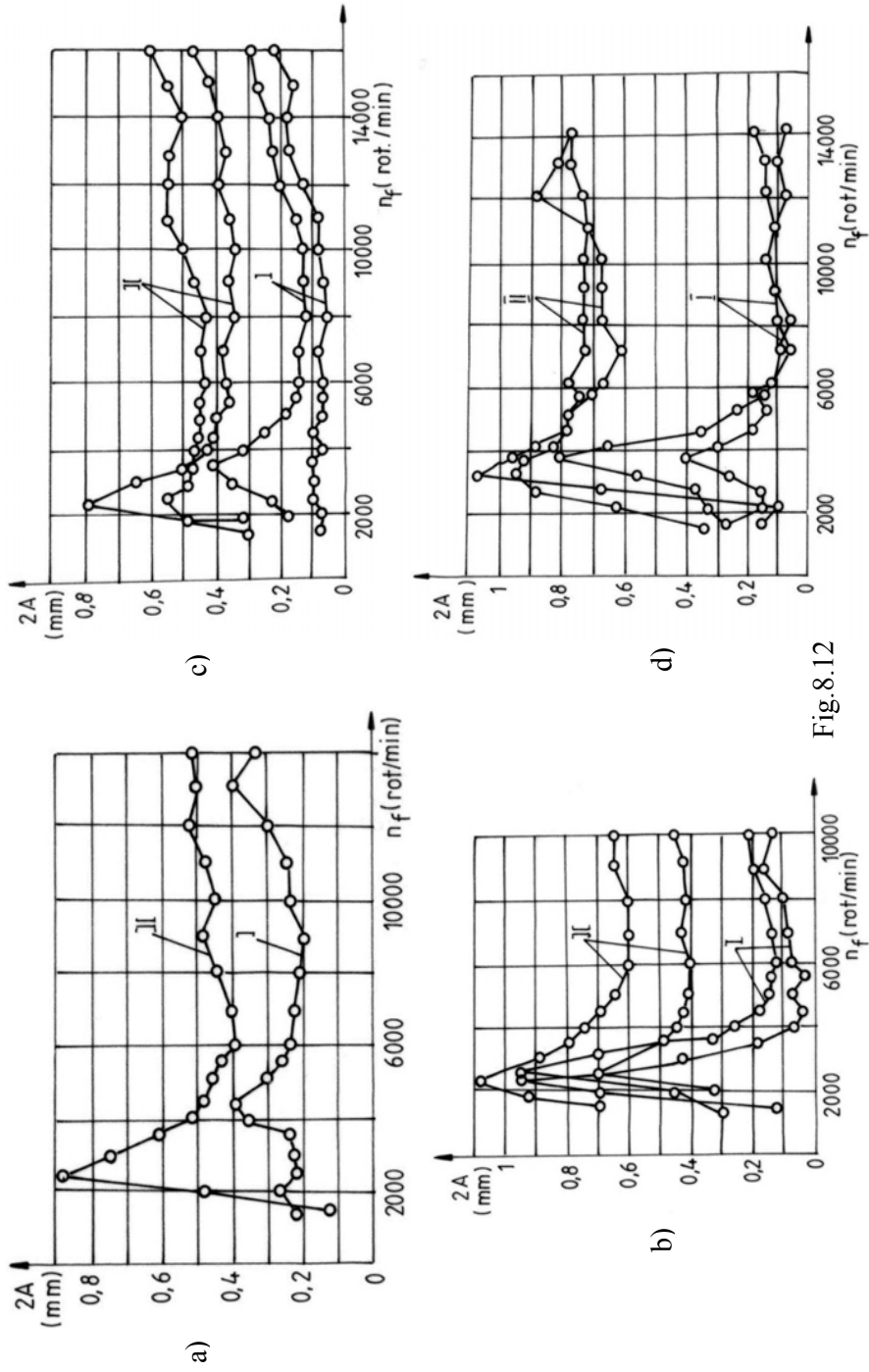


Fig. 8.12

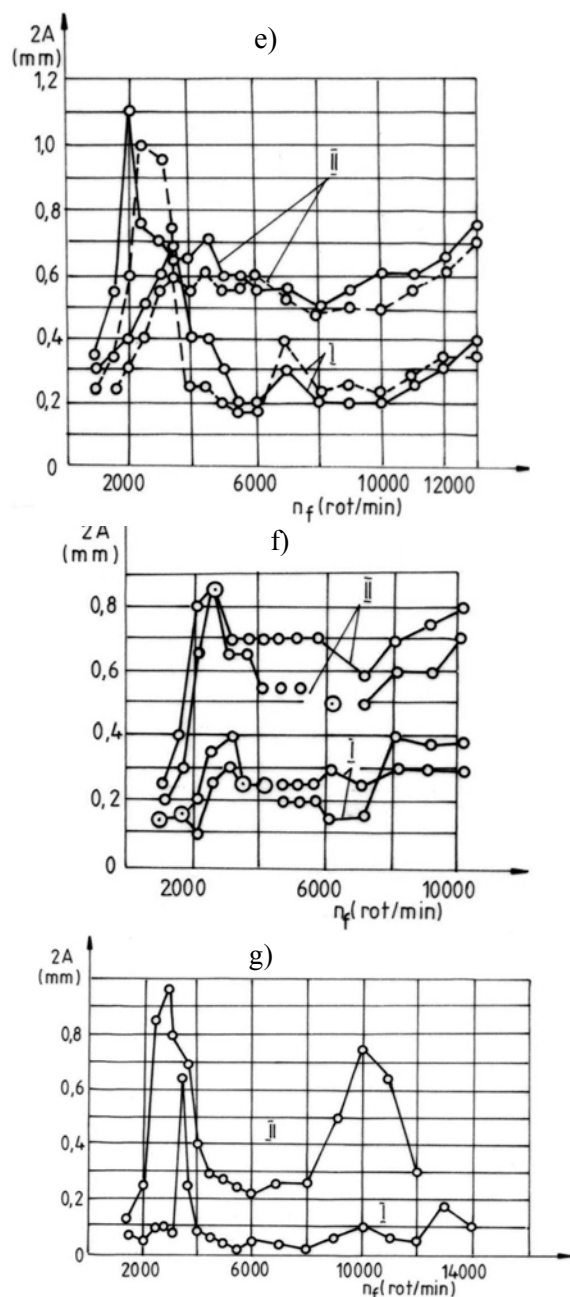


Fig. 8.12

La alte fuse apar oscilații subarmonice cu amplitudini și mai mari care pot atinge chiar și 2 mm.

În afară de cele menționate anterior tre-buie subliniat că pe suprafața sferică (sus) și conică (jos) unde se manifestă frecarea de amortizare apar produse de uzură care degradează uleiul de ungere și deseori gripări. Intervalul de schimbare a uleiului este situat între 3500-6500 ore de funcționare.

b) Suport cilindric cu tub flotant

Un alt tip de fus elaborat tot de SKF, în anul 1936, de asemenea larg răspândit, folosește suportul cilindric cu tub flotant – figura 8.13.

Rulmentul cu role 1, cât și cra-podina 2 sunt montate prin ajustaje cu strângere în tubul cilindric 3; acesta față de cupa 6 prezintă un mic joc și este apăsat pe cupă cu ajutorul arcului lamelar 4.

La partea inferioară a tubului cilindric se află tubul flotant 5 așezat cu joc față de cupa 6.

Pe suprafața exterioară a tubului 3, în zona arcului lamelar, sunt executate canalele circulare 7. Și acest fus face parte din categoria celor cu reazeme rigid legate.

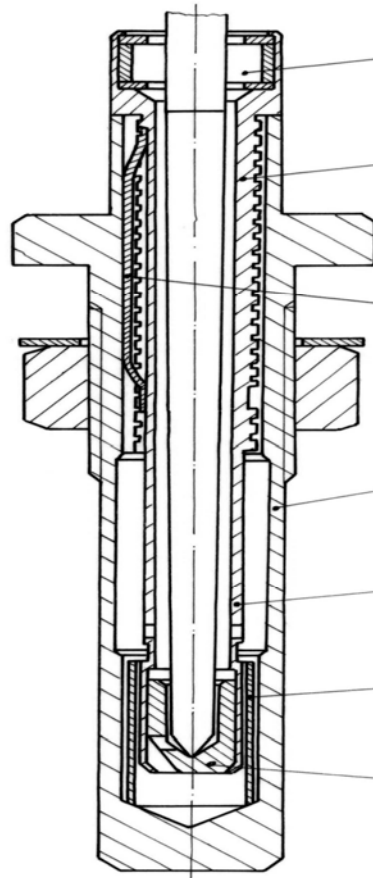


Fig 8.13

1 Soluția constructivă asigură, în condiții statice, o bună centrare a tijei fusului. În regim dinamic, datorită dezechilibrului bobinei, există tendința ca tubul cilindric 3 să se deplaseze limitat pe direcție radială față de cupă. Intervin:

4 - forța elastică dată de arcul lamelar;

- forța de amortizare din pelicula de lubrifianț dintre cupă și tubul flotant, peliculă în care apar presiuni hidrodinamice;

3 - forța de frecare cu efect de amortizare, care se manifestă la contactul dintre baza tubului flotant și cupă.

Aceste forțe ajută la menținerea tijei fusului în poziție centrală, în timpul funcționării. Dacă intervine un dezechilibru mare la bobină și tubul 3 se deplasează față de cupă, arcul lamelar intervine cu rapiditate pentru readucerea

pieselor în poziție centrată. Canalele inelare 7 sunt destinate să diminueze uzura suprafețelor respective.

Simbolurile pentru acest tip de fus fabricat de SKF sunt: HM 119, HM 216, HM 218, HM 317.

Și alte țări au adoptat această soluție constructivă:

- CSI – cu simbolurile V 25-1, V 28-1, VN 25-3, VN 25-5/28;

- Anglia – firma Platt;

- România – cu simbolurile R₂.....R₉ (S.C. Cugir S.A., 1952-1964).

Tabelul 8.3 conține date caracteristice cu privire la comportarea la vibrații a unor fuse cu suport cilindric cu tub flotant.

Tabelul 8.3

Marca fusului	Parametri bobinei		Turația critică (rot/min)		Dubla amplitudine (mm)*		Turația max. de regim (rot/min)	Obs.
	Înălți-me (mm)	Masă (g)	Fără bobină	Cu bobină	În zona de lucru	La rezonanță		
V 25-1 (CSI)	-	-	7000	3750	-	-	-	-
V 28-1 (CSI)	-	-	5800... ...6500	2500... ...3500	-	-	-	-
VN 25-3 (CSI)	-	-	4000... ...5500	3000... ...3500	-	-	-	-
Platt (Anglia)	230	80	2500	2000	0,62...0,7	1,5...1,7	10000	Fig. 8.14 a)
SKF HM 317	250	125	-	2300	0,6...0,8	2...2,5	10000	Fig. 8.14 b)

* - la capătul superior al tijeii fusului cu bobină cu dezechilibru mijlociu.

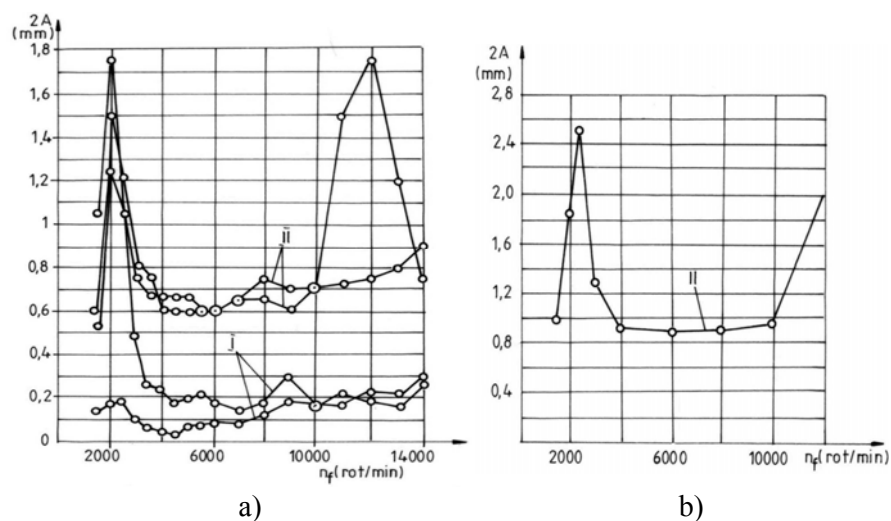


Fig. 8.14

Urmărind datele din tabelul 8.3 și figura 8.14 rezultă:

- și la aceste fuse vitezele critice fundamentale au valori mici în raport cu cele de regim;
- dubla amplitudine a vibrației tijeii la capătul superior în zona turațiilor de regim, pentru fusele cu bobină, capătă valori medii de 0,65 mm;

- dubla amplitudine la capătul superior al tijeii în zona de rezonanță, pentru fusele cu bobină, poate atinge valori de 1,5...2 mm;
- turațiile maxime de regim la fusele ușoare se situează la valoarea de aproximativ 10000 rot/min;
- la turații peste 10000 rot/min apar deseori vibrații subarmonice – figura 8.14 a), cu valori foarte mari pentru dubla amplitudine.

Schimbul uleiului la aceste fuse se face la 4000...6500 ore de funcționare.

c) Suport cu doi rulmenți

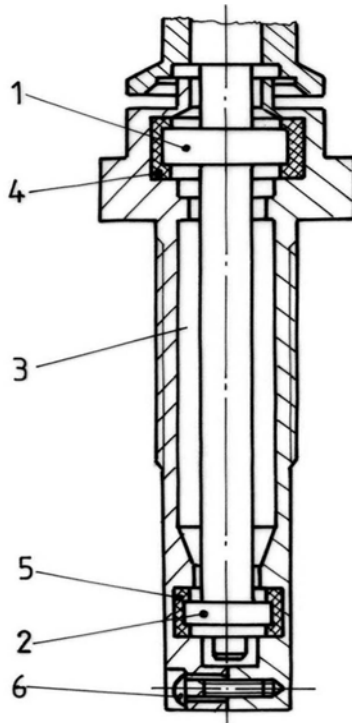


Fig. 8.15

Soluția care folosește doi rulmenți pentru rezemarea tijeii fusului a fost puțin răspândită fiind lansată de firmele Hartford și Roberts din SUA. Ca exemplu, în figura 8.15 este prezentată construcția unui fus Hartford.

Tija fusului se reazemă pe rulmenții cu bile 1 și 2 montați față de cupa 3 prin intermediul inelelor din cauciuc 4 și 5. Pentru operațiile de montare și demontare cupa este alcătuită din două părți separate printr-un plan diametral; fixarea celor două părți se face cu ajutorul șuruburilor 6 și 7.

Soluția constructivă este relativ simplă față de alte soluții întâlnite la fusele textile. Prezența inelelor de cauciuc care îmbracă rulmenții asigură o oarecare amortizare a vibrațiilor tijeii datorită și caracteristicilor elastice neliniare specifice cauciucului; de asemenea dacă rulmenții cu bile folosiți sunt executați cu precizie ridicată ar fi posibil să se obțină un nivel de zgomot mai scăzut. Întrucât

gabaritul lagărului superior (diametrul măsurat la exteriorul inelului de cauciuc) este mare, roata de curea (nuca fusului) este amplasată pe tija fusului deasupra lagărului și nu în dreptul acestuia așa cum există aproape la toate fusele; astfel apar în lagăre, în timpul funcționării cu

dezechilibre întâlnite în mod curent la bobine, încărcări mai mari cu consecințe defavorabile asupra durabilității și consumului de putere.

Pe de altă parte intervin aspecte legate de etanșare, de necesitatea ungerii rulmenților la intervale mai scurte față de alte tipuri de suporturi, de durata majorată pentru demontare și schimbarea lubrifiantului.

Sub aspect dinamic comportarea fuselor cu suporturi cu doi rulmenți poate fi urmărită cu ajutorul exemplurilor din tabelul 8.4 și figura 8.16.

Tabelul 8.3

Marca fusului	Parametri bobinei		Turația critică (rot/min)		Dubla amplitudine (mm) [*]		Turația max. de regim (rot/min)	Obs.
	Înălțime (mm)	Masă (g)	Fără bobină	Cu bobină	În zona de lucru	La rezonanță		
VB 28-2 (CSI)	180	73	5000	3500	0,48...0,67	3,5	16000	Fig. 8.16
Hartford (SUA)	180	-	3400	-	-	-	16000	-
Roberts (SUA)	280	-	2450	-	-	-	15000	-

* - la capătul superior al tijei fusului cu bobină cu dezechilibru mijlociu.

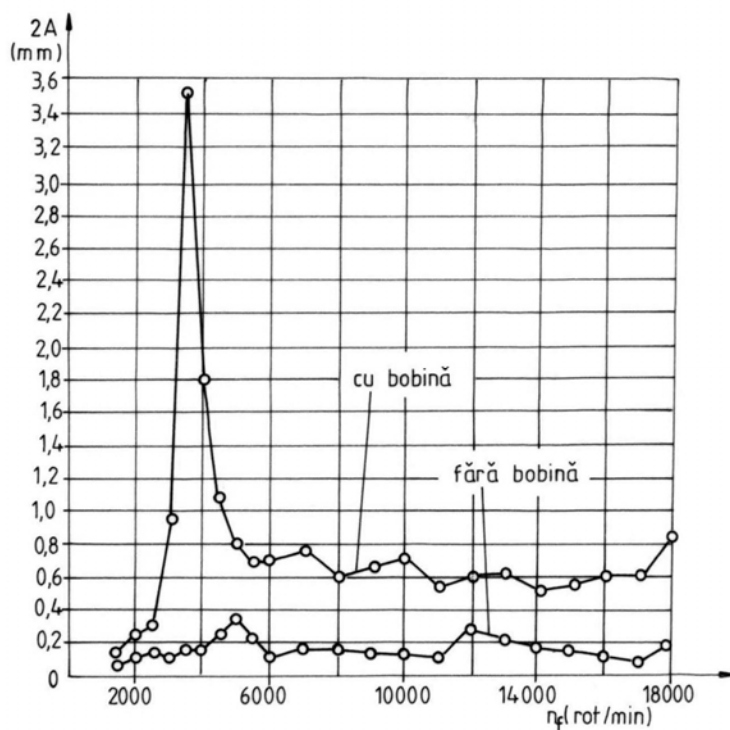


Fig. 8.16

Se pot face următoarele aprecieri:

- vitezele critice fundamentale sunt situate sub valorile vitezelor de regim;
- dubla amplitudine la capătul superior al tijeii în zona vitezelor de regim are valori de 0,48...0,67 mm;
- dubla amplitudine la capătul superior al tijeii în zona de rezonanță are valori mari, cum apar spre exemplu la fusele VB 28-2 de 3,5 mm;
- turațiile maxime de regim sunt cuprinse între 15000 și 16000 rot/min.

8.1.3. Fuse textile cu amortizor hidraulic

În anul 1955 firma SKF Stuttgart – Germania a lansat fuse cu amortizor hidraulic amplasat în dreptul lagărului inferior, conform soluției prezentată în figura 8.17; în principiu amortizorul hidraulic 7, situat între cupa 4 și crapodina 6 este realizat dintr-o spirală din oțel permițând crapodinei să se deplaseze limitat în direcție radială. Uleiul aflat între spire este comprimat și refulat de îndată ce tija fusului 4 vibrează. Forțele de frecare care apar prin deplasarea uleiului au efect de amortizare deosebit de eficace; viteza curgerii uleiului ca și forțele interne de frecare cresc odată cu viteza fusului și cu valoarea amplitudinii vibrațiilor; în aceste condiții are loc o creștere progresivă a capacității de amortizare care favorizează adaptarea automată la condițiile de lucru.

La fusele cu amortizor hidraulic readucerea tijeii în poziție centrală față de cupă (și de inelul pe care se deplasează cursorul) se obține prin utilizarea, în structura suportului tijeii, a unor sisteme elastice care acționează asupra crapodinei cu forțe elastice corespunzătoare.

Întrucât la aceste fuse textile, frecările de amortizare au loc numai în peliculele de ulei, fiind eliminate frecările între diferite repere întâlnite, spre exemplu la suportii cu rotulă și cu tub flotant, uleiul este menținut curat timp mai îndelungat, perioada de ungere fiind de 3...5 ori mai mare față de fusele menționate.

Un alt avantaj important este legat de posibilitatea exploataării la viteze de lucru ridicate, cu menținerea condițiilor de corectă funcționare, contribuindu-se astfel la creșterea producției mașinilor de filat și răsucit.

În prezent majoritatea firmelor constructoare de fuse textile folosesc soluția suportului cu amortizor hidraulic; se menționează spre exemplu: SKF – Germania, Suessen – Germania, SMM – Elveția, Niponspindel NSK – Japonia, Kolomna – CSI, FR Cugir – România.

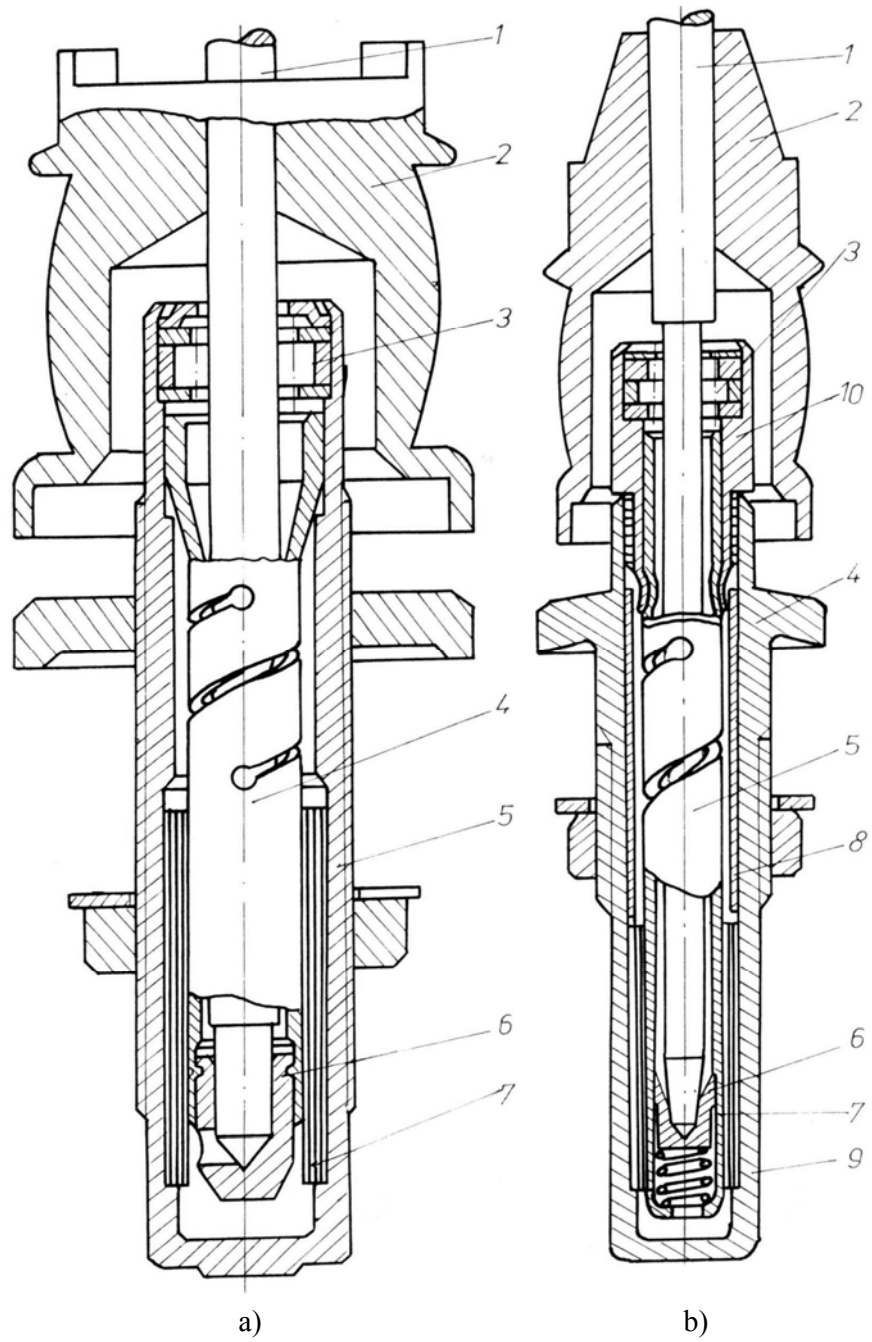


Fig. 8.17

În acest paragraf sunt prezentate date privind atât soluțiile constructive existente care s-au impus în exploatare, cât și unele soluții publicate în brevete de invenții.

Drept criteriu de grupare a soluțiilor cu amortizor hidraulic se folosește modul de legare a celor două lagăre: suportți cu lagăr inferior legat elastic față de cupă și suportți cu amândouă lagărele legate elastic față de cupă.

8.1.3.1. Suportți cu lagăr inferior legat elastic față de cupă

Legătura elastică a lagărului inferior față de cupă asigură o rigiditate suficient de scăzută pentru ca viteza critică fundamentală să se mențină la valori coborâte; dacă crapodina este temporar deplasată radial datorită dezechilibrului bobinei sau altor factori, va reveni în poziție centrată datorită forțelor elastice.

a) Suportți fuse SKF

Soluția constructivă cea mai răspândită aparține firmei SKF, tipurile respective de fuse având simbolurile HF și HZ - figura 8.17. Varianta HF destinată fuselor ușoare - figura 8.17 a), este prevăzută cu pivot conic la lagărul inferior; la varianta HZ - figura 8.17 b), lagărul inferior poate prelua, pe lângă sarcinile axiale, prin pivotul conic și sarcinile radiale mai mari prin lăgăruire și pe direcție radială, astfel încât această variantă se folosește la fusele mijlocii și grele.

Fusul cu suport HF este alcătuit din tija 1, roata de curea 2 montată cu ajustaj cu strângere pe tijă, rulmentul 3 așezat în caseta 10 îmbinată cu strângere în cupa 4, tubul flexibil 5 fixat în caseta 10, crapodina 6 introdusă în tubul 5, amortizorul hidraulic 7, bucușă distanțier 8 și arcul 9 pentru atenuarea unor eventuale șocuri pe direcție axială, provenite de la introducerea brutală a țevilor pe tijă.

Fusul HZ conține repere asemănătoare de la 1 la 7. Legătura elastică dintre lagărul inferior și cupă se obține prin tubul flexibil 4 care la modelul HF se îmbină cu carcasa rulmentului, iar la modelul HZ direct cu cupa, rulmentul fiind montat direct în cupă; flexibilitatea tubului se realizează prin intermediul unei tăieturi elicoidale executată în peretele acestuia. În astfel de condiții se asigură o rigiditate scăzută la încovoiere, necesară pentru o bună funcționare și o aliniere a reperelor din structura subansamblului lagăre-tijă fus.

Amortizorul hidraulic în formă de spirală (cu aprox. 7 spire distanțate între ele cu circa 0,1 mm) este dimensionat astfel încât asigură prin

intermediul peliculelor de ulei dintre spire, forțele de amortizare necesare.

Uleiul aflat între spire este comprimat și refulat de îndată ce tija fusului 4 vibrează. Forțele de frecare care apar prin deplasarea uleiului au efect de amortizare deosebit de eficace; viteza curgerii uleiului ca și forțele interne de frecare cresc odată cu viteza fusului și cu valoarea amplitudinii vibrațiilor; în aceste condiții are loc o creștere progresivă a capacității de amortizare care favorizează adaptarea automată la condițiile de lucru.

Crapodina se poate deplasa radial în anumite limite, atunci când acționează forțele de dezechilibru ale bobinei, fără să producă în tubul flexibil deformații remanente, condiție necesară pentru revenire la poziția centrală a tijei. Nici o piesă nu împiedică oscilațiile tubului flexibil, astfel încât se crează condiții pentru depășirea cu ușurință a vitezelor critice; în plus, frecările de amortizare apar numai în peliculele de ulei din spirală și nu între piesele componente; uleiul este menținut curat timp îndelungat, perioada de înlocuire fiind de 3...5 ori mai mare ca în cazul modelelor vechi de fuse.

Firma SKF execută suporturi de fuse cu amortizor hidraulic într-o gamă dimensională largă – tabelul 8.5, pentru bobine cu masa de la cele mai mici până la valori de circa 15 kg.

Tabelul 8.5

Tip HF	ϕ tijă în rulment(mm)	Tip HZ	ϕ tijă în rulment(mm)
HF2	7,8	HZ 2	7,8
HF3	8,8	HZ 3	8,8
HF34	8,8	HZ 44	10
HF44	10	HZ 55	12
HF45	10	HZ 66	14
		HZ 68	14
		HZ 77	16
		HZ 19	19,27
		HZ 1900*	19,3
		HZ 2300*	22,9

*Nu se mai execută în prezent.

Adoptarea tipului de suport pentru condiții de exploatare cunoscute se face cu ajutorul diagramelor din figurile 8.18, 8.19 și 8.20, luând în

considerare caracteristicile bobinei și încărcarea axială conform figurii 8.21.

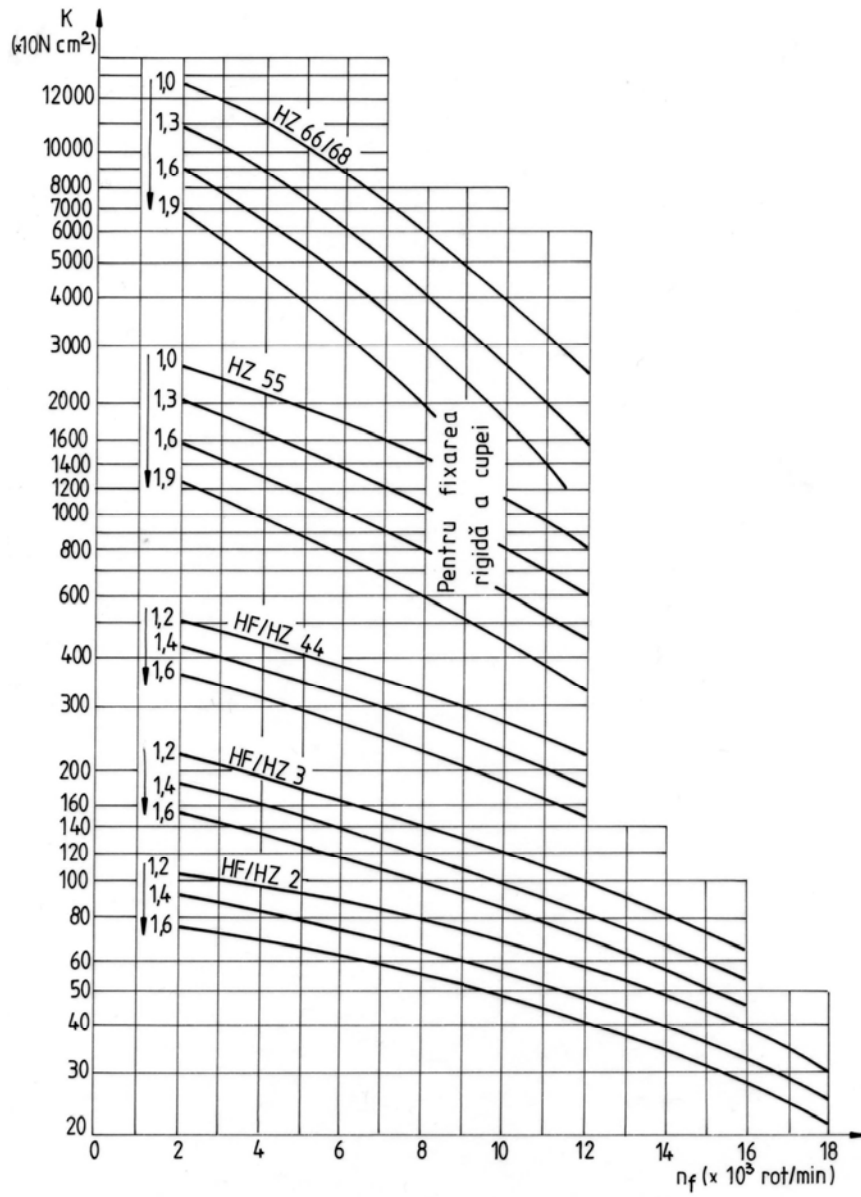


Fig. 8.18

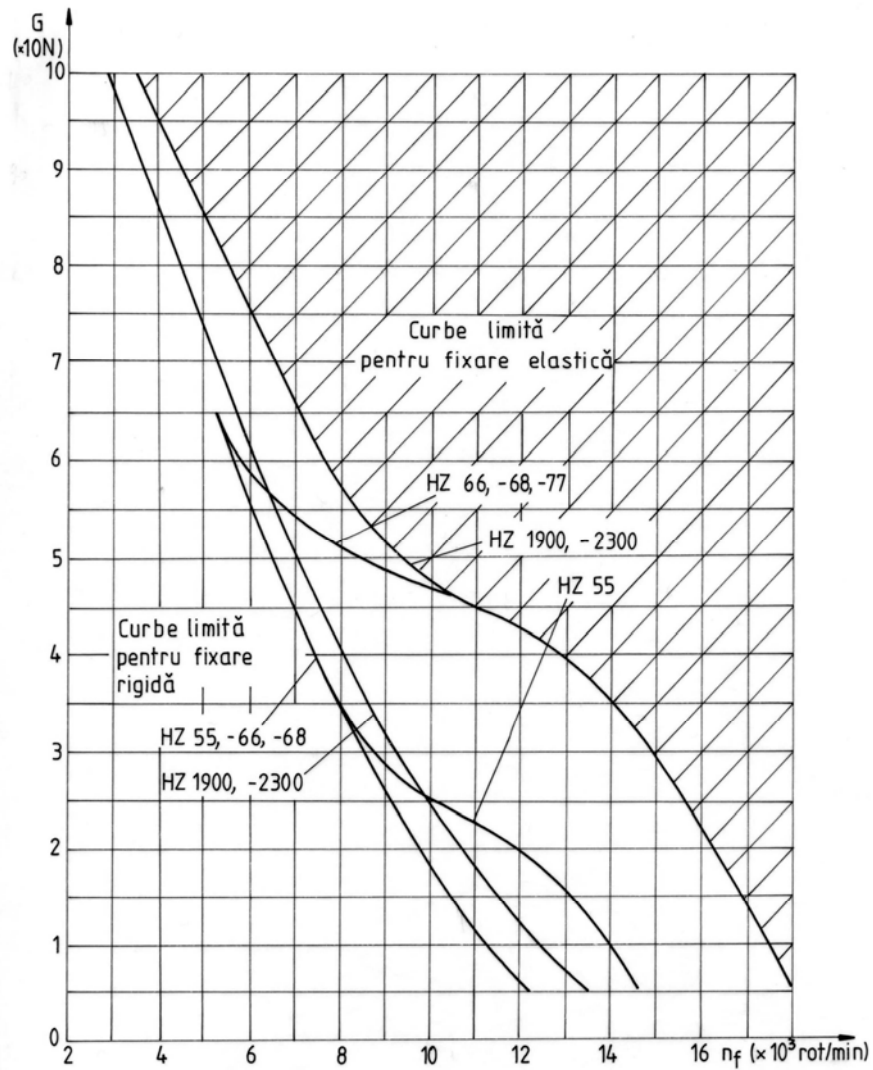


Fig. 8.19

Se folosește o cifră de calcul K , dată de relația:

$$K = b \cdot f \cdot G$$

în care b și f depind de format și se măsoară în cm, iar G este greutatea bobinei+tijă+mosor (în daN).

Parametrul Y din diagrame se adoptă cu valori care depind de construcția tije și calitatea mosorului sau țevii.

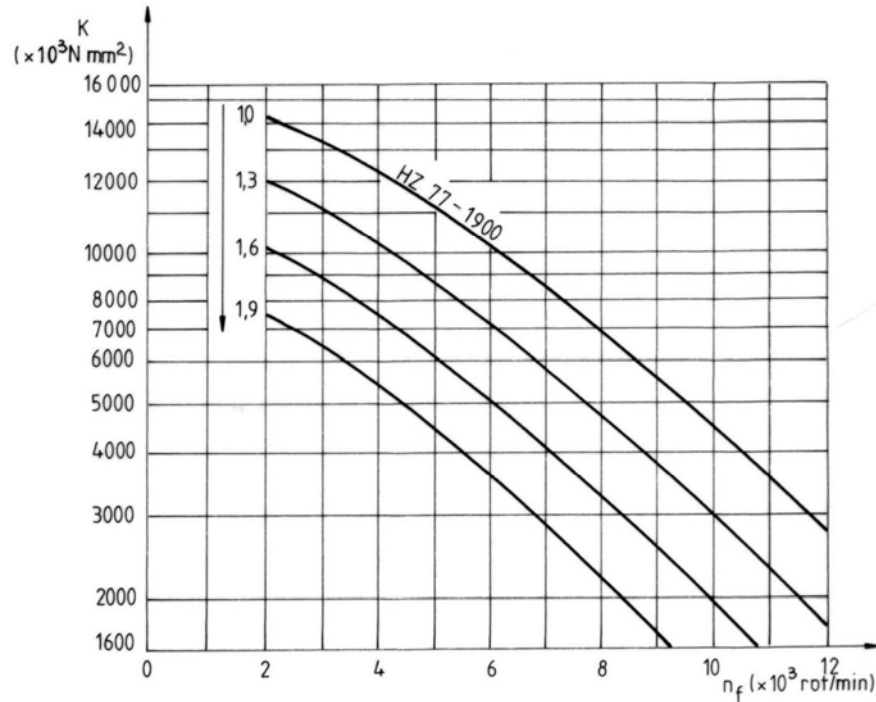


Fig. 8.20

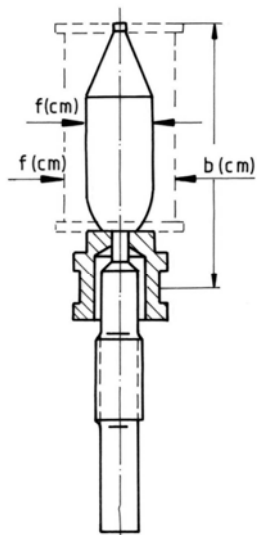


Fig. 8.21

Comportarea fuselor cu suporturi tip HF și HZ cu privire la vibrații este ilustrată de curbele de rezonanță din figurile 8.22, 8.23, 8.24, 8.25, 8.26, 8.27 și 8.28.

Aceste curbe au fost trasate pentru fuse reprezentative executate în România sub licență SKF, în cadrul unor studii efectuate la Universitatea Tehnică Iași. Datele prezentate se referă la fusele R₁₀-8,8, R₂₀, FR 200, FR 270, HZ 44, HZ55 și HZ 55B.

Fusele R₁₀, R₂₀ și FR sunt prevăzute cu suporturi HF₂ și fac parte din categoria ușoară (bobine cu masă până la 150 g). Fusele HZ 44 și HZ 55B aparțin categoriei mijlocii, iar HZ 55 categoriei grea.

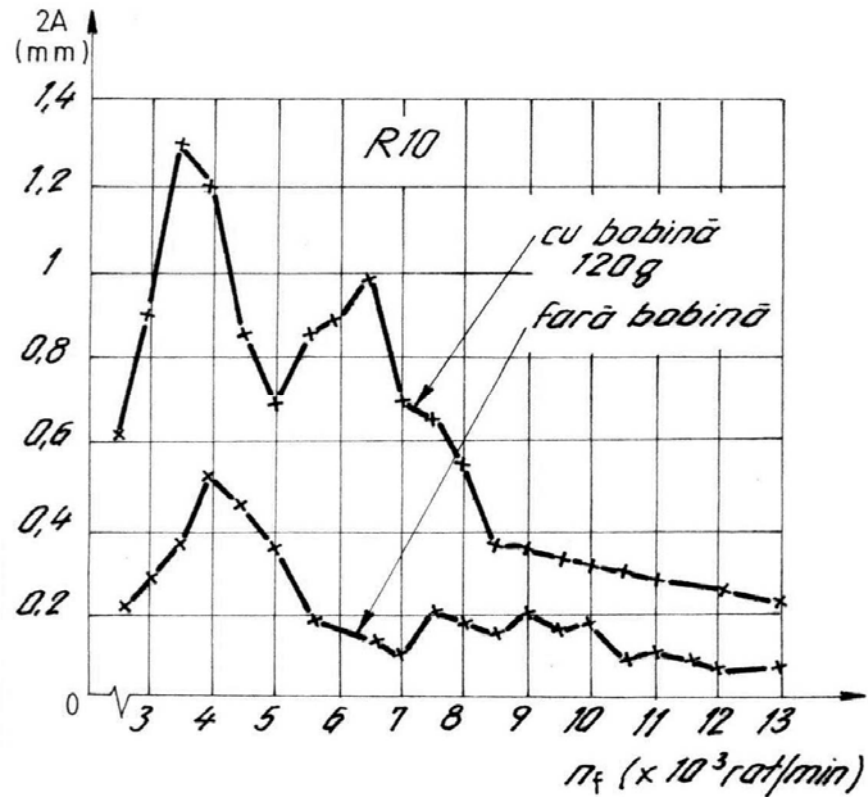


Fig. 8.22

Influența valorii dezechilibrului bobinei este pusă în evidență prin momentul de dezechilibru δ pentru care s-au luat atât valori scăzute ($\delta=0$, $\delta=10^{-5}$ kg·m), cât și valori mari peste acelea întâlnite în exploatarea curentă ($\delta=3 \times 10^{-5}$ kg·m la fuse ușoare, $\delta=6 \times 10^{-5}$ kg·m și $\delta=12 \times 10^{-5}$ kg·m la fuse grele); în locul bobinei reale s-a folosit o bobină echivalentă din metal la care dezechilibrul a fost provocat prin atașarea unor mase cu valori adecvate.

Curbele de rezonanță prezentate în figurile 8.23, 8.25, și 8.27 indică o comportare corespunzătoare în exploatare pentru fusele respective. În figurile 8.22, 8.24 și 8.26 curbele de rezonanță arată unele abateri de la condițiile impuse de o funcționare corectă.

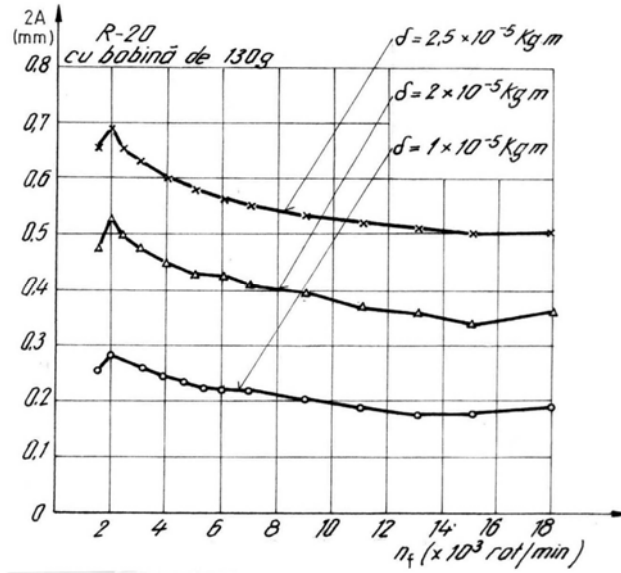


Fig. 8.23

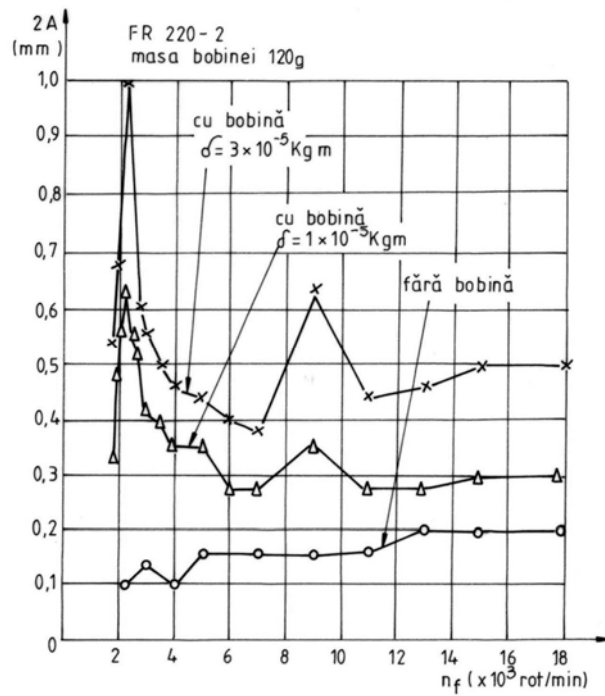


Fig. 8.24

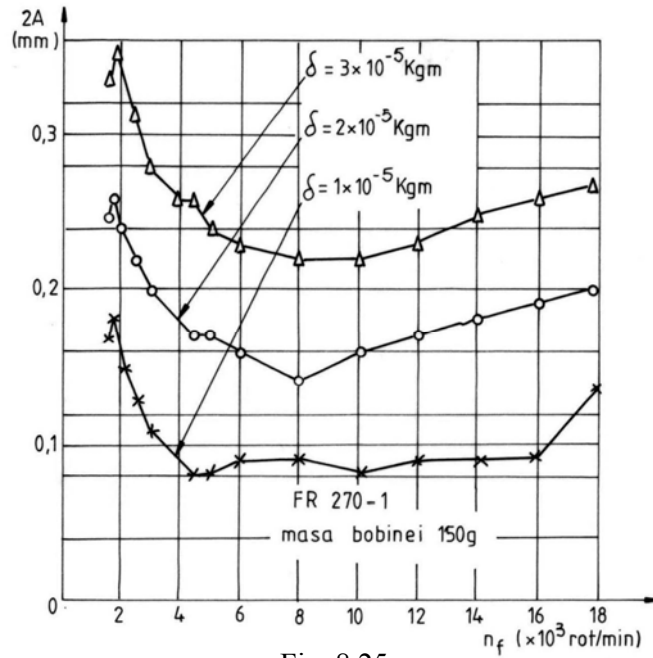


Fig. 8.25

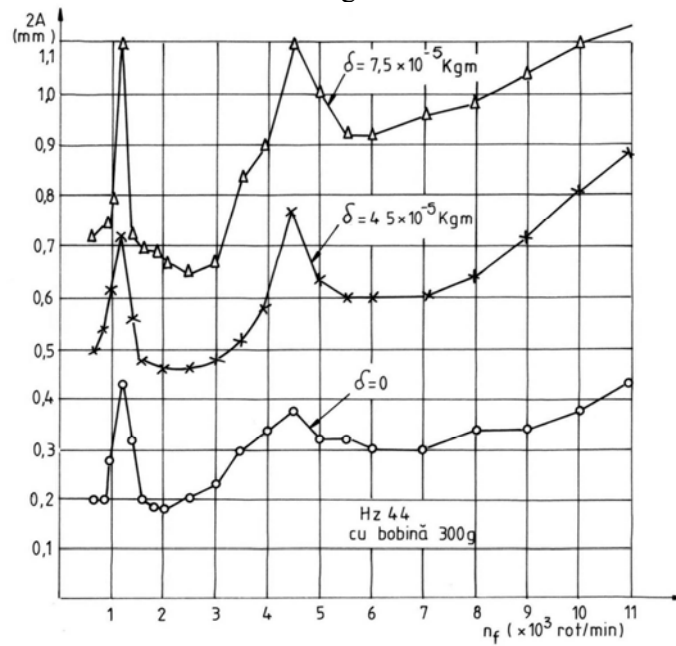


Fig. 8.26

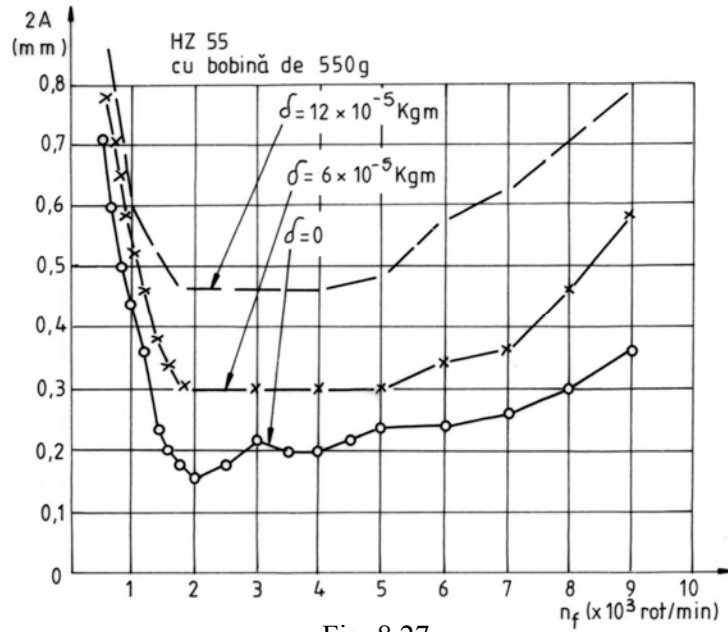


Fig. 8.27

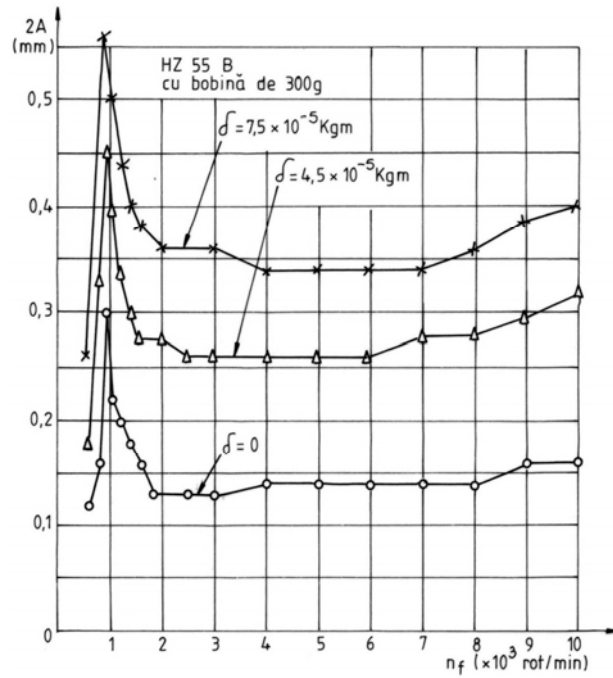


Fig. 8.28

Urmărind curbele de rezonanță menționate se desprind o serie de constatări pentru fusele cu amortizor hidraulic tip SKF:

- vitezele critice de ordinul I sunt situate la valori scăzute comparativ cu vitezele curente de exploatare;

- dubla amplitudine a vibrației tijei fusului la capătul superior, în zona vitezelor de regim, are valori care se înscriu în limitele 0,35 mm la fuse ușoare și 0,45 mm la fuse grele pentru funcționare cu bobine având momente de dezechilibru cu valori la limita întâlnită în exploatarea normală;

- dubla amplitudine la capătul superior al tijei, la rezonanță pentru fusele cu bobină dezechilibrată atinge valori până la 0,8.....1 mm;

- turațiile maxime de regim la fusele ușoare, sub aspect dinamic, pot atinge valoarea 20000 rot/min;

- la unele exemplare din loturile de fuse, apar vibrații subarmonice în zona vitezelor de regim – figurile 8.22, 8.24 și 8.26, cu valori pentru dubla amplitudine care depășesc limitele indicate mai sus.

b) Suportii Suessen

Suportii pentru fuse tip Suessen-Germania folosesc aceleași principii de bază cu privire la centrarea tijei și la amortizarea hidraulică; sunt de asemenea larg răspândiți în filaturi.

Soluțiile constructive sunt prezentate în figura 8.28.

Lagărul superior 1 este rigid fixat de cupa 2. Lagărul inferior 3 susține pivotul conic în varianta a) sau partea inferioară a tijei fusului în varianta b); este montat în bușca de siguranță 4 prevăzută cu opritorii 5, care împiedică rotirea acesteia față de cupă, datorită golurilor prelucrate în tubul distanțier 6; între tubul 4 și cupă este instalat amortizorul hidraulic 7. Sarcinile axiale preluate de crapodina 3 în varianta a) și discul 8 în varianta b) sunt transmise cupei prin piesa 9 fixată de baza acesteia; în jurul piesei 9 este montat cu ajustaj presat arcul tubular 10, cu creștături longitudinale la partea superioară, lamelele obținute se reazemă cu oarecare stângere pe capătul piesei 9, înconjurând totodată și lagărul 3 cu joc foarte mic.

Soluția constructivă în varianta a) este adoptată la fusele ușoare, iar varianta b) la fusele mijlocii și grele, astfel încât se micșorează apreciabil eforturile unitare maxime de contact (după Hertz) și, ca urmare, crește durata de utilizare – figura 8.30.

Discul 8 poate fi schimbat dacă uzura depășește limitele admise.

Centrarea lagărului inferior, deci și a tijei fusului este realizată cu ajutorul arcului tubular 10; dacă lagărul este deplasat de o forță radială,

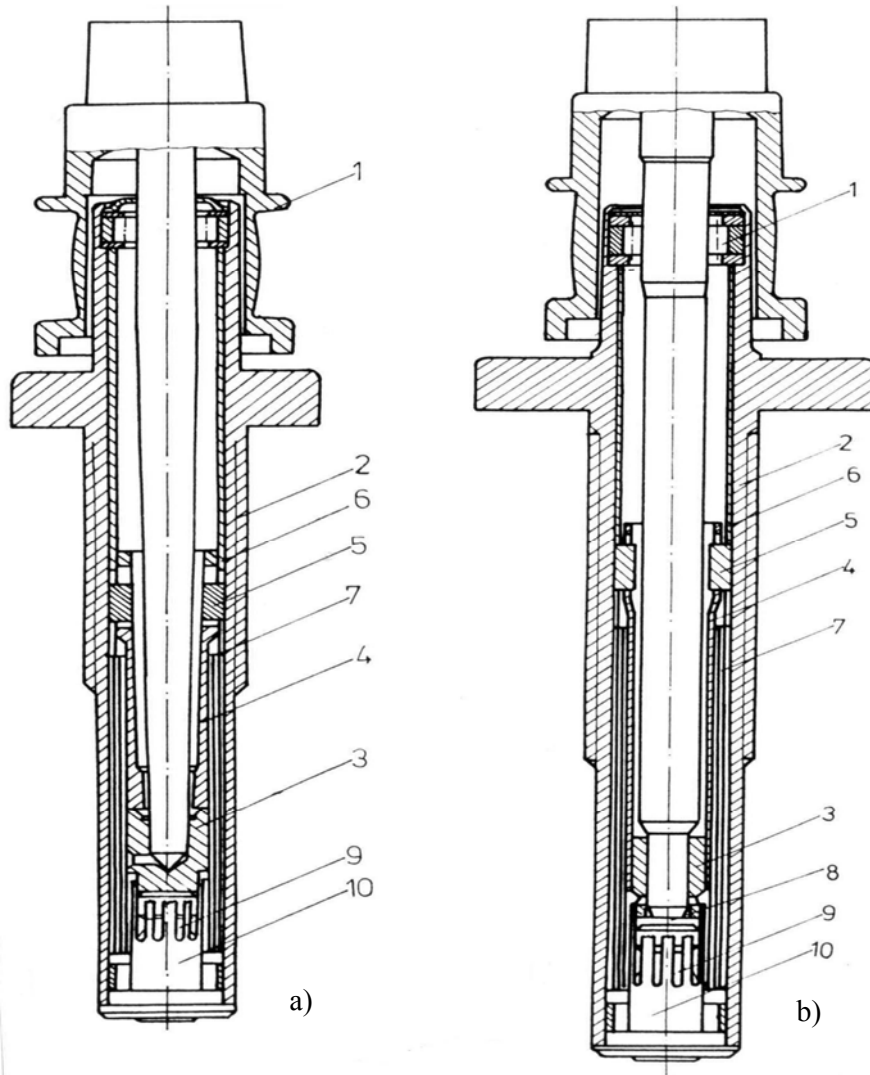


Fig. 8.29

spre exemplu datorită dezechilibrului bobinei, arcul tubular 10 se va deforma, însă va asigura readucerea lagărului în poziția centrală, de îndată ce încărcarea radială scade sub limita F_0 , dependentă de strângerea inițială dintre lamelele arcului și piesa 9, așa cum este prezentat în figura 8.31.

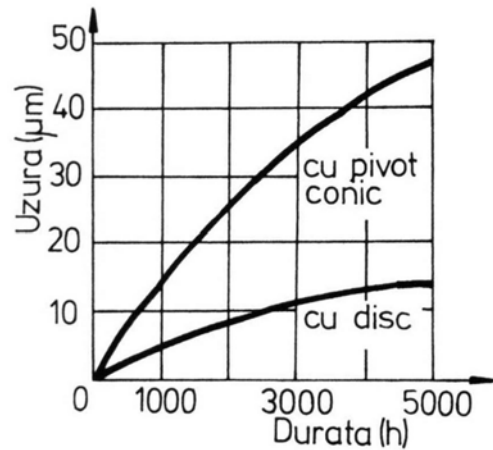


Fig. 8.30

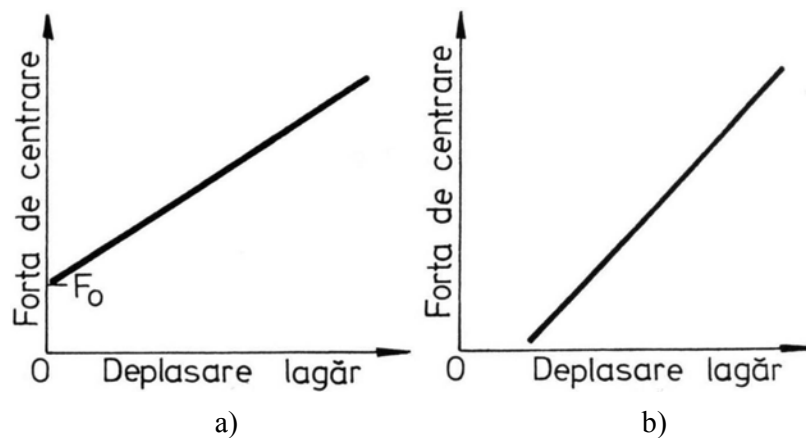


Fig. 8.31

La dispozitivele de centrare cu tub flexibil, fie la montaj, fie cel mai adesea după solicitări mai dure în exploatare, nu se mai asigură o poziție centrată a lagărului inferior – figura 8.31 b).

Din acest punct de vedere soluția Suessen este mai bună; în plus, se asigură centrarea și la apariția unor forțe radiale mici, cu valori sub F_0 .

Firma Süessen execută o gamă largă de fuse bazate pe soluția constructivă prezentată în figura 8.29 conform datelor indicate în tabelul 8.6.

Tabelul 8.6

Simbol bază	ϕ fus rulment (mm)	ϕ min roată curea (mm)	Masă tijă+bobină (kg)	Turații maxime (rot/min)
780	7,8	22,2	0,25	20000
880	8,8	25,0	0,35	15000
1003	10,0	28,0	0,5 (1,0)	10000
1203	12,0	36,0	1,0 (2,5)	8400
1403	14,0	45,0	2,0 (6,0)	7000
1803	10,0	65,0	5,0 (12,0)	5000
2003	20,0	-	-	-
2503	25,0	-	-	-

*Cifrele din paranteză sunt pentru cazul când se folosesc mosoare cu flanșe în loc de țevi.

c) Alte soluții și detalii specifice

Pentru realizarea legăturii elastice a lagărului inferior față de cupă s-au propus diferite soluții publicate în brevete de invenții, dintre care sunt selecționate câteva mai deosebite. Se menționează că în materialele bibliografice consultate nu au fost regăsite detalii concrete privind curbele de rezonanță sau alte caracteristici funcționale.

c1) Suport cu tub de centrare ondulat – figura 8.32.

Lagărele 1 și 2 sunt legate elastic prin tubul ondulat 3, în jurul căruia, la partea inferioară neondulată se așează amortizorul hidraulic 4 rezemat la exterior de cupa 5; lagărul inferior 2 este alcătuit din placa frontală 6 pentru preluarea sarcinilor axiale și partea finală a tubului ondulat pentru preluarea sarcinilor radiale, provenite de la tija fusului 8.

Tubul ondulat este executat dintr-un material care să poată fi prelucrat prin deformare și să ofere condiții de lucru asemănătoare bușelor destinate lagărelor de alunecare.

Soluția este mai simplă în comparație cu variantele SKF-HF și HZ, prezentate anterior.

c2) Suport cu bare elastice de legătură între cele două lagăre – figura 8.33.

Lagărul superior rigid legat de cupa 1 și cel inferior 2 sunt prinse elastic printr-o bară 3 sau mai multe bare; barele sunt montate cu ajustaj

cu strângere în corpul lagărului superior și corpul crapodinei 2. Spirala de amortizare este așezată între lagărul inferior și cupa 5. Rigiditatea legăturii depinde de dimensiunile și numărul de bare.

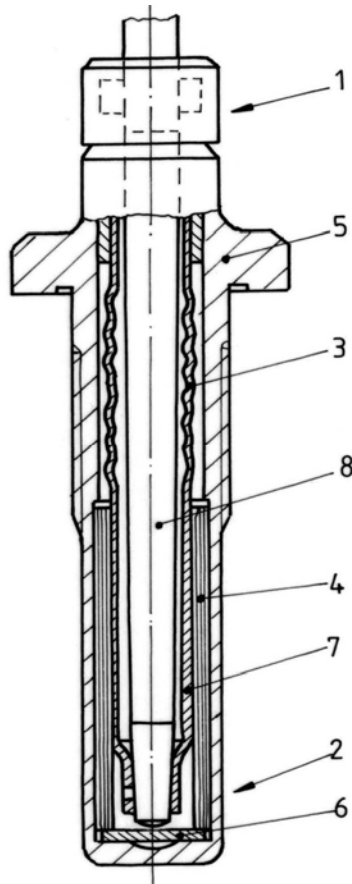


Fig. 8.32

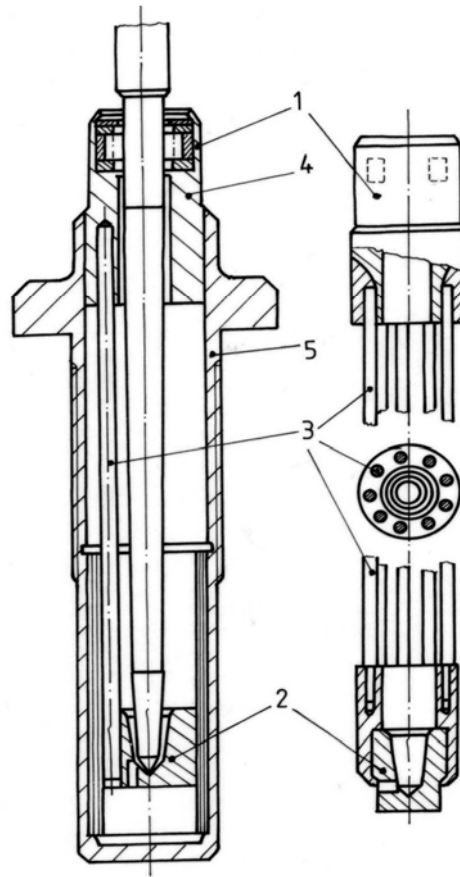


Fig. 8.33

c3) Suport cu tub de centrare din material plastic – figura 8.34.

Lagărele 1 și 2 sunt legate prin tubul de centrare elastic 3 din material plastic. Corpul lagărului superior 4 este prins atât de tubul 3 cât și de cupa 5 prin ajustaj cu strângere; lagărul inferior 2 este montat în tubul 3 tot prin ajustaj cu strângere. În dreptul lagărului inferior este așezată

spirala de amortizare clasică menținută de tubul distanțier 7 în poziția stabilită. Forțele axiale sunt preluate de discul 8.

Soluția constructivă este mai simplă comparativ cu acelea folosite, asigurând o bună centrare a tijei fusului, un preț de cost este scăzut, avantaje privind comportarea la vibrații.

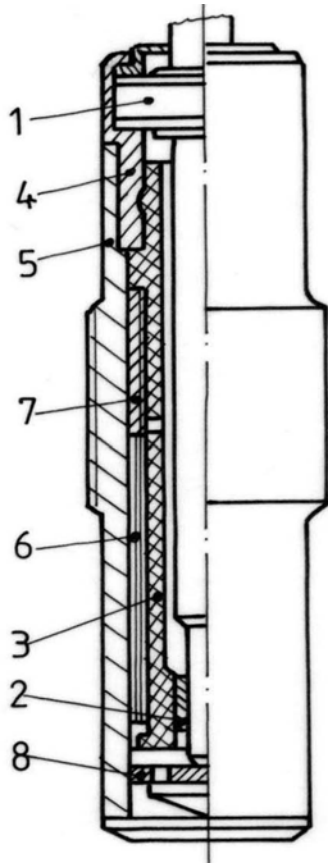


Fig. 8.34

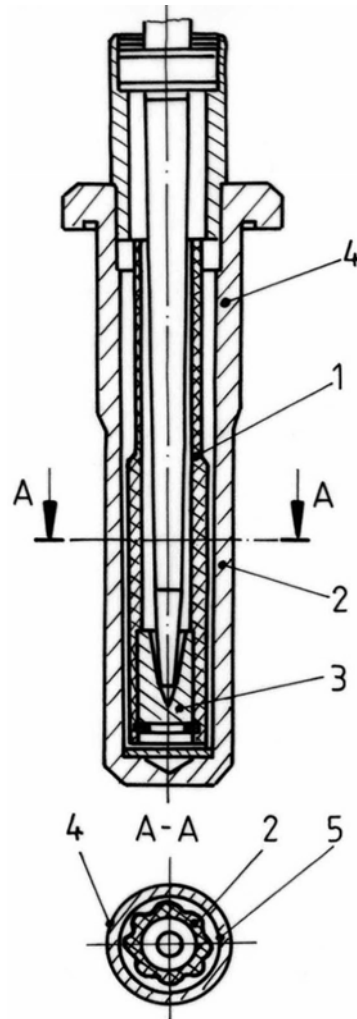


Fig. 8.35

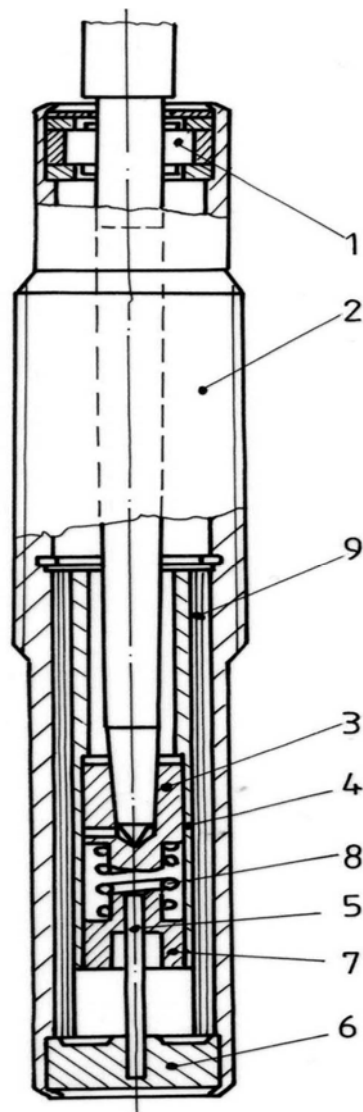


Fig. 8.36

c4) Suport cu tub de centrare din material plastic prevăzut cu nervuri longitudinale pentru amortizare – figura 8.35. Se propune înlocuirea amortizorului hidraulic, în structura căruia se folosește o spirală din oțel de arc, cu un tub de centrare 1 din material plastic, prevăzut la exterior cu nervuri longitudinale 2; tubul 1 este fixat la partea superioară de corpul lagărului cu rulment, iar la partea inferioară susține crapodina 3. Spațiul 5 dintre tubul 1 cu nervurile 2 și cupa 4 cât și grosimea părții superioare a tubului sunt astfel dimensionate încât uleiul să asigure forțele de amortizare necesare și totodată deplasările radiale ale lagărului inferior să ofere condiții corespunzătoare funcționării corecte a fusului.

c5) Suport cu bară elastică de centrare a lagărului inferior – figura 8.36.

Lagărul superior 1 este fixat rigid față de cupa 2, iar lagărul inferior 3 este menținut în poziție centrală prin intermediul tubului suport 4 și a barei elastice 5 fixată la capătul inferior de cupă cu ajutorul piesei 6 și la capătul superior de piesa cilindrică 7; arcul 8 are rolul de a prelua eventualele suprapuneri axiale. Amortizorul 9 este instalat între cupă și tubul suport 4.

8.1.3.2. Suporturi cu amândouă lagărele legate elastic de cupă

La prinderea rigidă a lagărului superior față de cupă, la turații înalte apare solicitarea intensă a rulmentului și tijei fusului, iar vibrațiile se transmit asupra băncii fuselor și a întregii mașini (nivel ridicat de

zgomot). Soluția prinderii elastice a cupei de banca fuselor (cu arc elicoidal și șaibe din cauciuc interpuse între cupă și bancă) diminuează transmiterea vibrațiilor la bancă, însă nu asigură suficientă amortizare și nu permite realizarea centrării suficient de precise a fusului față de inelul purtător al cursorului.

Micșorarea încărcării lagărului superior se realizează în principiu, dacă se adoptă astfel de soluții, încât axa de rotație să se apropie cât mai mult de axa centrală de inerție a masei rotitoare (tijă+bobină), axă care trece prin centrul de masă și în jurul căreia s-ar efectua rotirea fusului cu bobină dezechilibrată, dacă nu ar interveni reacțiunile radiale din lagăre.

O astfel de funcționare poate fi obținută în bună măsură prin realizarea unei legături elastice adecvate la prinderea lagărului superior față de cupă, aceasta la rândul său fiind fixată rigid de bancă, ceea ce asigură fusului precizia necesară de montaj.

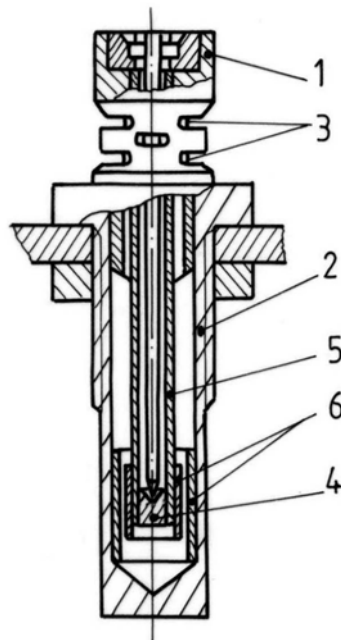


Fig. 8.37

Unele firme cum este Spindeln, Motoren und Maschinenfabrik AG, Uster – Elveția (SMM), execută fuse cu lagăr superior legat elastic de cupă; totodată din brevetele de invenții consultate au fost selecționate câteva propuneri care sunt considerate mai importante.

a) Suportul SMM

Cupa 1, fixată rigid de bancă, este prelucrată la partea inferioară cu o serie de perforații 3 care conferă o prindere elastică a casetei rulmentului 2 față de restul cupei. Lagărul inferior 4 este susținut elastic față de cupă prin tubul de centrare 5, amortizarea efectuându-se cu ajutorul unor pahare 6 (2...5 buc.) concentrice. În tabelul 8.7 se prezintă câteva date caracteristice pentru fusele SMM. Aceste fuse se comportă bine în exploatare până la turații de 15000 rot/min (fuse ușoare). Schimbarea

uleiului din cupă se efectuează după aproximativ 15000....20000 ore de funcționare.

Tabelul 8.7

Tipul	Φ fus rulment (mm)	Φ roată curea (mm)	Masa bobinei (g)
0	7,8	24	150
1	7,8	24	250...300
2	10	31	600...1000
3	12	38	2000...3000

Curbele de rezonanță pentru fusul SMM-0 sunt prezentate în figura 8.38; cu bobina este de 150 g și momentul de dezechilibru are valori de $\delta = (0...3) \cdot 10^{-5} \text{ kg}\cdot\text{m}$.

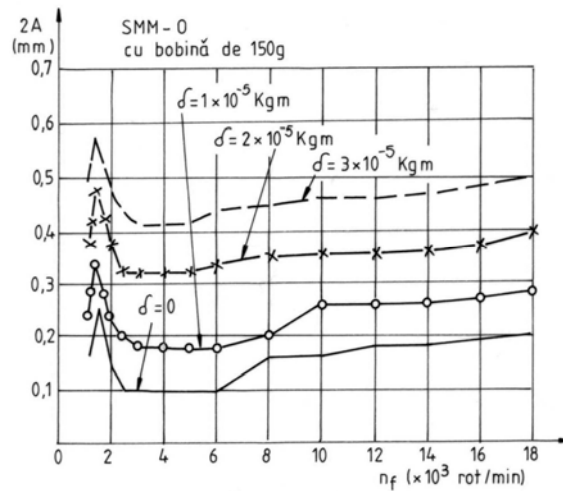


Fig.8.38

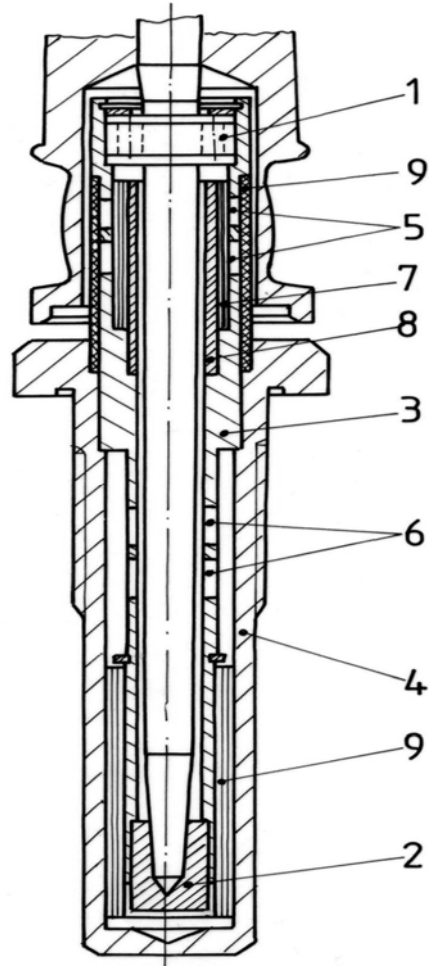
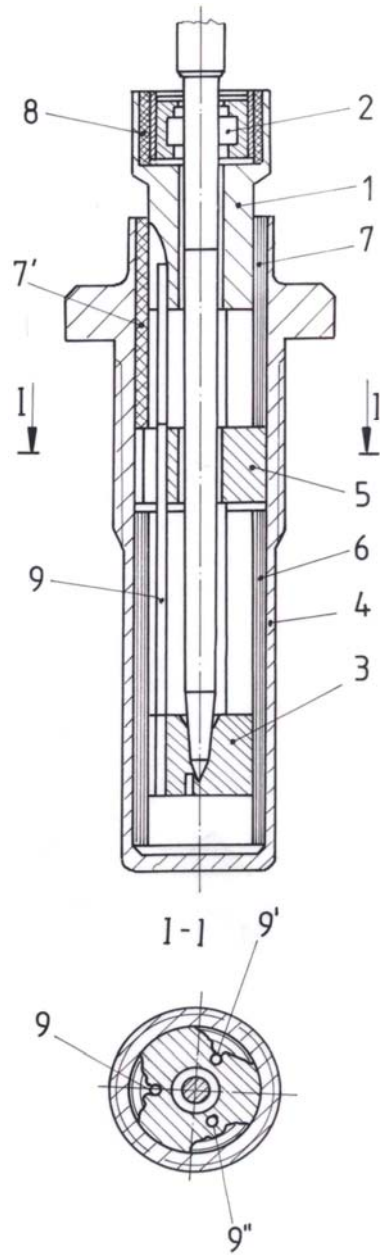
Se constată:

- viteza critică de ordinul I are valoarea de 1500 rot/min;
- în zona de rezonanță aplatizarea este destul de pronunțată, nedeșindu-se 0,6 mm pentru dubla amplitudine chiar la $\delta = 3 \cdot 10^{-5} \text{ kg}\cdot\text{m}$;
- în zona de lucru, dubla amplitudine capătă valori la limită de 0,35 mm dacă $\delta \leq 2 \cdot 10^{-5} \text{ kg}\cdot\text{m}$.

Unele detalii privind îmbunătățirea centrării și funcționării lagărului inferior la fuzele SMM sunt prezentate în brevetele 1560291/1971-Germania și 1202071/1970-Anglia.

b) Suport cu bare elastice de legătură între lagăre și prindere elastică față de cupă - figura 8.38.

Corpul 1 al rulmentului 2 și crapodina 3 sunt elastic legate între ele prin una sau mai multe bare 8. Acest subsansamblu, la rândul său, este



fixat față de cupa 4 prin intermediul unei piese de prindere 5 montată cu strângere atât față de cupă, cât și față de bare asigurând astfel poziția centrală a tijei.

Amortizarea vibrațiilor pentru lagărul inferior se obține pe cale hidraulică cu ajutorul spiralei 6, iar pentru lagărul superior fie pe cale hidraulică cu spirala 7, fie cu un manșon elastic 7' din cauciuc sau masă plastică. Rulmentul 2 este montat față de corpul 1 prin intermediul unei bucșe elastice (cauciuc, masă plastică).

Rigiditatea legăturii elastice dintre lagăre depinde de dimensiunile, forma și numărul barelor. Poziția piesei de prindere 5 influențează gradul de rigidizare a lagărelor superior și inferior față de cupă.

Soluția descrisă îmbunătățește calitățile dinamice ale fusului textil și în plus reduce simțitor nivelul de zgomot, întrucât între lagăre și banca fuselor sunt eliminate legăturile rigide care favorizează transmiterea vibrațiilor.

c) Suport cu amortizoare hidraulice distincte pentru cele două lagăre - figura 8.40.

Lagărul superior 1 și cel inferior 2 sunt instalate în tubul flexibil 3 fixat rigid de cupa 4; prinderea elastic a lagărului față de tubul flexibil este obținută cu ajutorul fantelor 5 și 6 și grosimea adecvată a pereților respectivi. Amortizorul 7 pentru partea superioară este așezat între tubul rigid 8 și zona elastică a tubului flexibil, iar amortizorul 9 destinat lagărului inferior între cupă și tubul flexibil.

Dispozitivele de amortizare așezate la amândouă lagărele consumă, îndeosebi la trecerea prin zona de rezonanță, o importantă parte din energia vibrațiilor, micșorându-se amplitudinile vibrațiilor la lagărul superior. În domeniul vitezelor de lucru (peste viteza critică), cu toate că lagărul superior este prins elastic, se realizează o bună autocentrare a tijei fusului cu încărcare redusă a rulmentului.

d) Suport cu amortizor hidraulic comun pentru amândouă lagărele - figura 8.41.

Lagărele 1 și 2 sunt legate rigid între ele prin intermediul tubului 3; prinderea elastică față de cupa 4 este obținută cu ajutorul elementelor elastice 5 și 6, iar amortizorul 7 este amplasat între cele două lagăre.

Cupa este rigid legată de baca fuselor 8 cu ajutorul flanșei 9 și a șuruburilor 8. În figura 8.41 a) apare și bobina 11 cu tija fusului 12.

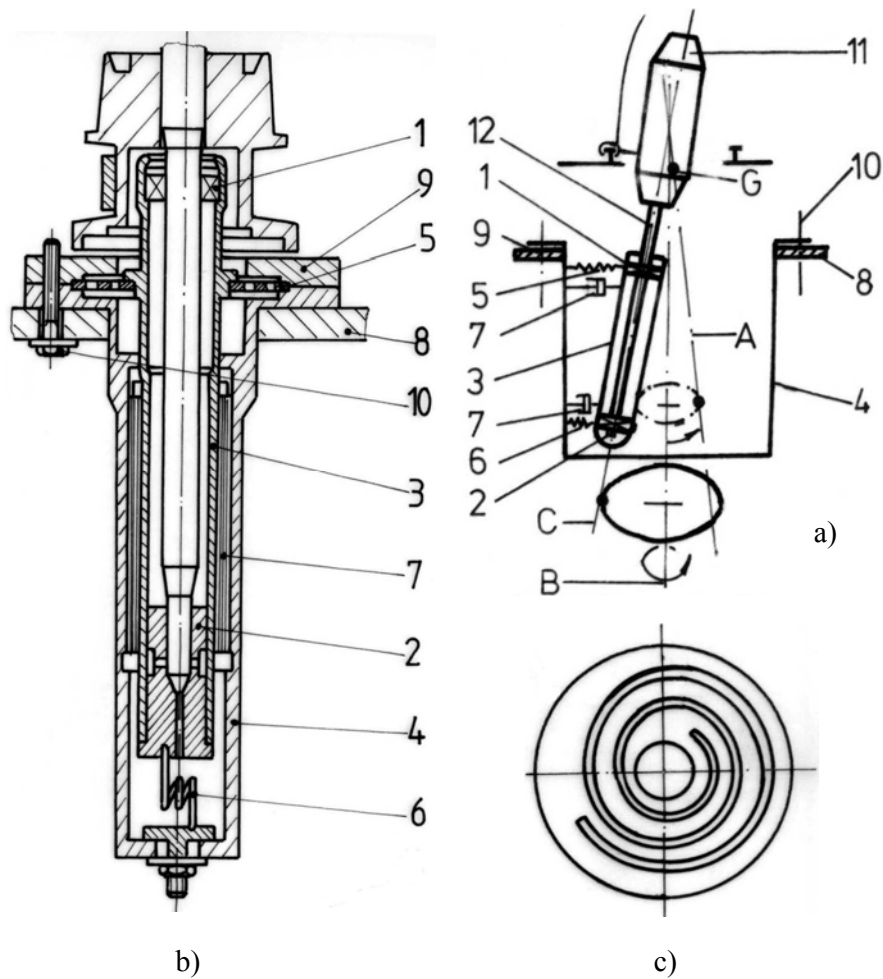


Fig. 8.41

Comportarea fusului în exploatare sub aspect dinamic are loc în principiu astfel:

- axa liberă de rotație A în jurul căreia tija s-ar roti, dacă din partea lagărelor nu ar interveni reacțiuni, reprezintă axa principală de inerție a părților rotitoare; ea trece prin centrul de masă G;

- dacă asupra tijei se exercită reacțiunile din lagăre, forța de întindere din fir și alte forțe exterioare, părțile rotitoare nu se rotesc în jurul axei A, ci în jurul axei reale B cu viteza unghiulară ω ;

- axa liberă A însă nu coincide de regulă cu axa geometrică C datorită impreciziilor tijei, țevilor sau mosoarelor și depunerilor firului pe bobină.

Pentru obținerea unei forțe mici pe lagăre este necesar ca rotirea să aibă loc în jurul unei axe cât mai apropiate de axa A. Această condiție impune ca rigiditățile pe direcția radială a elementelor elastice 5 și 6 să fie scăzute; se precizează în brevetele menționate valori ale rigidității mai mici de 30 daN/mm la lagărul superior și mai mici de 15 daN/mm la cel inferior, la fuse pentru bobine de 2...4 kg.

Încărcările lagărelor mai sunt influențate, îndeosebi la turații înalte și de masa oscilantă a pieselor nerotitoare cum sunt tubul 3 și lagărul inferior 2; aceste piese trebuie să aibă masa cât mai mică.

Elementul elastic 5 de la lagărul superior – figura 8.41 b) și c), este sub formă de disc din oțel de arc cu tăietură în spirală, cu astfel de dimensiuni încât să se realizeze rigiditate radială scăzută; pe direcție axială rigiditatea este mare (>50daN/mm). Această soluție oferă o serie de avantaje dintre care se menționează:

- bună aliniere a lagărelor prin tubul rigid 3;
- amortizare mai eficientă a vibrațiilor celor două lagăre prin amplasarea amortizorului hidraulic 7 între acestea;
- punctul de oscilație al părților rotitoare situat în apropierea centrului bobinei, ceea ce contribuie la diminuarea excentricității dintre bobină și inel, chiar la valori ridicate ale dezechilibrului bobinei;
- rezolvare constructivă simplă.

e) Alte soluții pentru rezemarea elastică a lagărului superior

Figura 8.42. Lagărul superior 1 este fixat de tubul rigid 2 legat de cupa 3 prin intermediul arcului 4, realizându-se astfel rezemare elastică față de cupă a subansamblului 1,2 care conține și lagărul inferior.

Figura 8.43. Lagărul superior 1 este montat în tubul flexibil 2 susținut de bușa elastică 3 fixată la partea inferioară de cupa 4; datorită canalelor longitudinale 5 se obține legătura elastică între lagărul superior și cupă.

Figura 8.44. Lagărele 1 și 2 sunt legate elastic prin tubul de centrare 3 (tip SKF-HF). Între corpul lagărului superior 4 și rulmentul 1 este așezat inelul din cauciuc 5, vulcanizat de cămașa metalică 6. Cupa 7 este prinsă față de banca fuselor 8 prin intermediul inelului elastic 9 și arcului elicoidal 8.

Figura 8.45. lagărele 1 și 2 sunt fixate în tubul rigid 3, care prin intermediul bușei elastice 4 este prins de cupa 5; bușa elastică este din cauciuc sau materiale cu proprietăți similare.

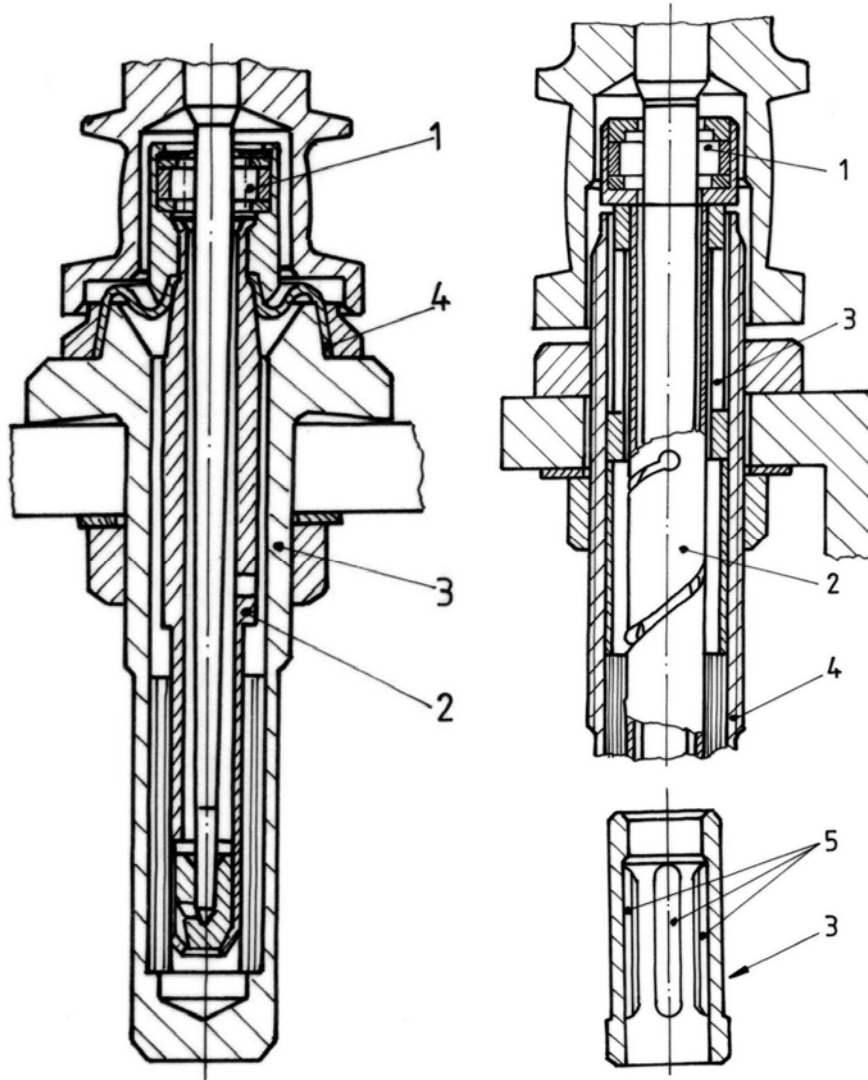


Fig 8.42

Fig. 8.43

Figura 8.46. Tubul rigid 1 care susține lagărele 2 și 3 este legat elastic de cupa 4 prin intermediul inelului 5 din cauciuc sau masă plastică.

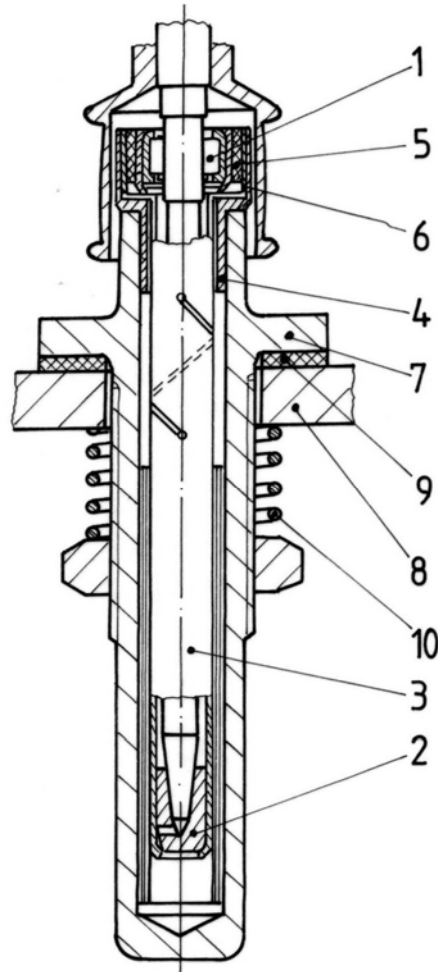


Fig. 8.44

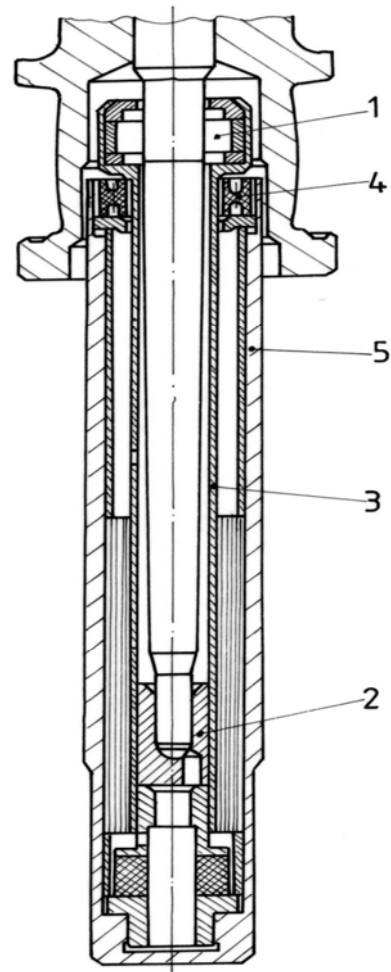


Fig. 8.45

Figura 8.47. Între rulmentul 1, fixat în caseta 2 și cupa fusului 3 se prinde piesa 4 din cauciuc sau masă plastică.

Soluțiile constructive la care se folosește cauciuc sau mase plastice pentru elementele elastice de legătură nu s-au impus încă datorită durabilității scăzute pe care o prezintă astfel de materiale. Sunt de preferat organe elastice din metal rezistente la oboseală.

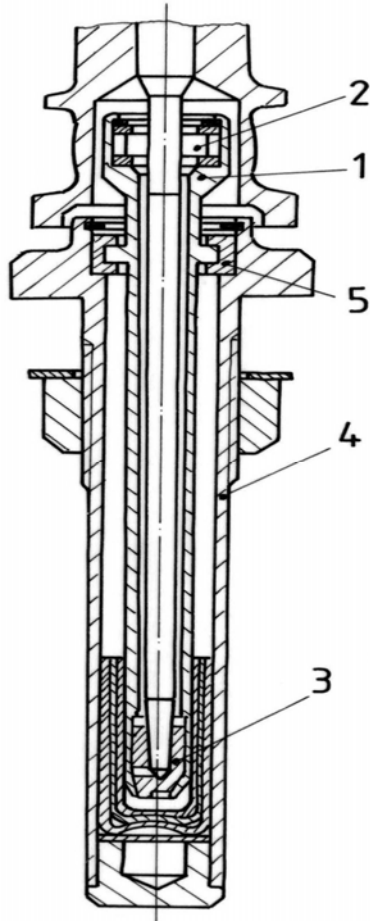


Fig. 8.46

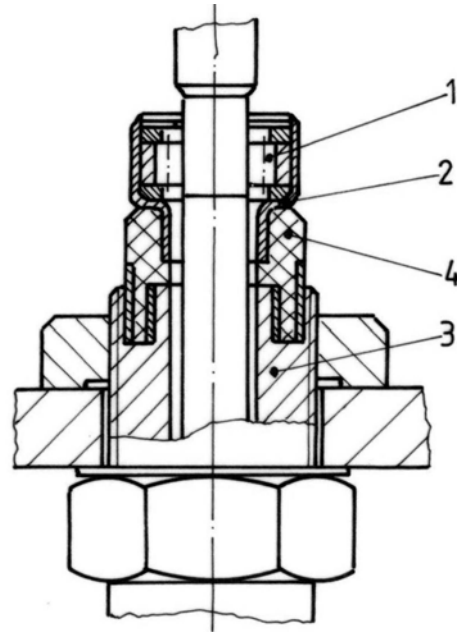


Fig. 8.48

8.1.3.3. Suportți cu lagăre legate rigid de cupă

Fusele cu lagăre rigid legate de cupă au fost folosite cu mult timp în urmă; nu erau depășite turații de 6000...8000 rot/min din cauza valorilor mari ale amplitudinilor vibrațiilor tijelor.

Este interesant faptul că în anul 1973 a apărut în Elveția soluția constructivă în care se prezintă un fus cu rezemare rigidă a lagărelor prevăzut însă cu un amortizor hidraulic 1 amplasat între cele două lagăre – figura 8.48. Sunt amortizate vibrațiile părții de tijă 2 dintre reazeme, în care scop se folosește bușa 3 (cu funcție de lagăr radial) interpusă între amortizor și cupa 4.

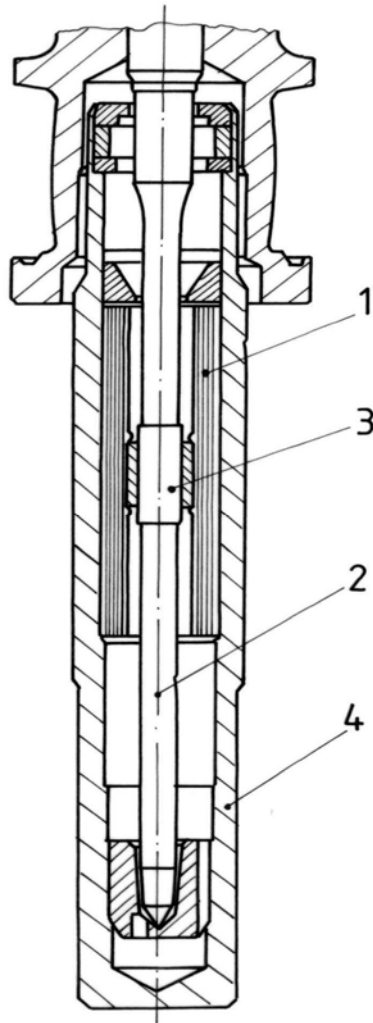


Fig. 8.48

-intervalul la care se face schimbul uleiului din cupă.

În legătură cu aceste aspecte s-a întocmit tabelul 8.8 pentru fuse textile reprezentative, cu funcționare corectă, folosind curbele de rezonanță selecționate în cadrul acestei lucrări – figurile 8.12 b), d), e), 8.23, 8.25, 8.27 și 8.28.

Din datele prezentate se desprind următoarele observații:

Se apreciază că o astfel de soluție, chiar dacă realizează parțial amortizarea vibrațiilor nu poate conduce la micșorarea forțelor radiale pe lagăre, axa țigiei neavând posibilitatea de a se roti în vecinătatea axei centrale de inerție, așa cum se obține la suportii cu ambele reazeme legate elastic de cupă.

8.1.4. Criterii de apreciere a soluțiilor constructive pentru fusele textile

8.1.4.1. Comparație între fusele cu amortizare prin frecare și fusele cu amortizare hidraulică

Pentru ilustrarea comportării fuselor textile sub aspect dinamic se prezintă o comparație între fusele cu amortizare prin frecare și fusele cu amortizare hidraulică.

Se adoptă drept criterii de comparație:

-dubla amplitudine a vibrațiilor la capătul superior al țigiei (în zona de rezonanță și îndeosebi în zona vitezelor de lucru);

-turația maximă de funcționare;

-la fusele cu amortizor hidraulic, aplatizarea curbei de rezonanță în zona vitezei critice fundamentale este mult mai pronunțată ca la fusele cu amortizare prin frecare; spre exemplu la fusele ușoare dubla amplitudine a vibrațiilor tijei are valori de 0,3.....0,6 mm față de 0,1...1,1 mm, ceea ce reprezintă o scădere de aproximativ 50%;

-în zona vitezelor de lucru, fusele cu amortizor hidraulic sunt caracterizate de valori micșorate pentru dubla amplitudine a vibrațiilor tijei cu 40....60% față de fusele cu amortizare prin frecare; acest fapt este deosebit de avantajos pentru funcționarea cu turații înalte a fuselor, forța de întindere a firului depinzând nu numai de viteză ci și de valoarea excentricității tijei față de inelul pe care se deplasează cursorul;

-turațiile maxime de funcționare capătă valori mult majorate, îndeosebi la fusele ușoare, întrucât pentru dubla amplitudine a tijei nu se depășesc valorile admisibile; această situație oferă posibilitatea exploatării fuselor respective cu viteze mari de lucru și în consecință indici majorați pentru producție;

-intervalele de schimb a uleiului din cupă, la fusele cu amortizor hidraulic, se măresc substanțial (de 3...4ori) față de fusele cu amortizare prin frecare.

Observațiile formulate se referă la soluții constructive de fuse care au fost sau sunt folosite în exploatarea mașinilor de filat și răsucit.

Tabelul 8.8

Parametri funcționali și de exploatare		Fuse ușoare		Fuse mijlocii	
		Amortizare prin frecare	Amortizare hidraulică	Amortizare prin frecare	Amortizare hidraulică
Marca fusului		VNT 32-2 Platt, OMS, SKF-HM (Fig. 8.12 b, d,e)	R ₂₀ (Fig. 8.23) FR 270-1 – tip SKF-HF ₂ (Fig. 8.25)	VNT 38-12, Carnitti (Fig. 8.12 c, f)	SKF-HZ 55 (Fig. 8.27 și 8.28)
Dubla amplitudine 2A** (mm)	În zona de rezonanță	0,8....1,1	0,3....0,6	0,8....1,1	0,5....0,8
	În zona de lucru	0,4....0,85	0,15....0,35	0,5....0,7	0,3....0,45
Turația maximă de regim (rot/min)		10000... ...14000	18000... ...20000	8000... ...10000	9000... ...11000
Interval schimb ulei (h)		5000... ...6500	15000... ...20000	3500... ...5000	10000... ...15000

** - măsurată la capătul superior al tijei fusului cu bobină dezechilibrată.

8.1.4.2. Criterii de comparație între soluțiile constructive ale fuselor cu amortizor hidraulic

În paragrafele anterioare au fost prezentate o serie de soluții constructive pentru fusele textile cu amortizor hidraulic, parte realizate de firme de prestigiu, parte fiind propuneri apărute în brevete de invenții din ultima perioadă.

Întrucât pentru fusele prezentate în brevete nu sunt cunoscute date concrete privind parametri de exploatare, comparația s-a efectuat prin aprecierea aspectelor care influențează capacitatea de centrare a tijeii fusului față de inel, reducerea încărcării lagărelor, complexitatea și fiabilitatea soluțiilor constructive.

Capacitatea de centrare a tijeii fusului față de inel depinde îndeosebi de următorii factori:

a) Punctul de oscilație al tijeii, dacă se urmăresc oscilațiile într-un plan dat, poate fi situat între reazeme, în dreptul reazemului superior sau în apropierea centrului bobinei; aceste poziții depind de soluția constructivă adoptată. Situația cea mai bună corespunde cazului când punctul de oscilație se află în apropierea centrului bobinei, situație care conferă bobinei excentricități minime față de inel – figura 8.41 a).

La fusele cu fixare rigidă a lagărului superior față de cupă și bancă, punctul de oscilație este situat în dreptul rulmentului respectiv (de exemplu fusele SKF –HF, SKF-HZ – figura 8.17; amplitudinile oscilațiilor tijeii în dreptul inelului vor fi mai mari în comparație cu primul caz.

b) Centrarea lagărelor față de cupă și alinierea lor asigură poziția centrată a tijeii față de inel pentru pozițiile limită – sus și jos –ale băncii inelelor, atunci când încetează acțiunea forței perturbatoare asupra tijeii (spre exemplu de la dezechilibrul bobinei). Din acest punct de vedere soluția Suessen este mai bună decât soluția SKF-HF, întrucât lagărul inferior este susținut de un arc tubular cu lamele cu prestrângere –figura 8.28.

c) Amortizarea vibrațiilor este în principiu mai eficace în cazul folosirii sistemelor de amortizare la ambele lagăre – figurile 8.39, 8.40, 8.41.

d) Fixarea rigidă a cupei de bancă oferă precizie ridicată de montaj pentru fus în comparație cu prinderea elastică.

Reducerea încărcării lagărelor are ca efect micșorarea nivelului de zgomot și a consumului de putere și este în strictă dependență cu punctul de oscilație al tijeii; rezultatele cele mai bune se obțin când acest punct se

află în apropierea centrului bobinei și lagărele sunt legate elastic de cupă, iar cele mai slabe la rezemarea rigidă a lagărelor.

Complexitatea și fiabilitatea soluțiilor poate de asemenea, constitui un criteriu de calitate; sunt de luat în considerare numărul total de repere, dificultățile de execuție și montaj, durabilitatea pieselor componente, menținerea valorilor pentru parametri funcționali.

În vederea aprecierii globale a soluțiilor constructive existente sau propuse în cadrul brevetelor de invenții se apelează la un punctaj total calculat pe baza influenței factorilor menționați:

<u>1. poziția punctului de oscilație a tijei</u>	
-în apropierea centrului bobinei	+++
-în dreptul lagărului superior	++
- între cele două lagăre	+
<u>2. centrarea și alinierea lagărelor</u>	
-cu forță de prestrângere elastică radială pentru lagărul inferior sau tub flotant rigid	++
-cu tub flexibil de legătură între lagăre	+
<u>3. eficacitatea amortizării</u>	
-amortizare la ambele capete	++
-amortizare la lagărul inferior	+
<u>4. fixarea cupei fusului de bancă</u>	
-fixare rigidă	++
-prindere elastică	+
<u>5. reducerea încărcării lagărelor</u>	
-punctul de oscilație al tijei spre centrul bobinei	+++
-punct de oscilație a tijei în lagărul superior	++
-punct de oscilație al tijei între lagăre	+
-lagăr cu fixare rigidă față de cupă	0
<u>6. complexitatea, fiabilitatea fusului textil</u>	
-construcție simplă, fiabilă	+++
-construcție intermediară	++
-construcție complexă	+

În tabelul 8.9 sunt prezentate punctajele parțiale și totale acordate diferitelor soluții constructive ale fuselor cu amortizor hidraulic analizate. Totodată sunt indicate și căile de rezolvare pentru atingerea nivelurilor calitative apreciate.

Fusele SKF și Süessen cu lagărul superior rigid legat de cupă sunt apreciate cu 11 puncte; acesta este punctajul maxim pentru fusele cu amortizor hidraulic larg răspândite în prezent pe glob.

Tabelul 8.9

Nr. crt.	Criterii apreciere Soluție constructivă	Capacitate de centrare a tijei față de inel				Reducere încălzire lagăre și nivel zgomot	Complexitate construcție și fiabilitate	Punctaj total	Căi de rezolvare
		Poziție punct oscilație	Centrare și aliniere lagăre	Amortizare vibrații	Fixare bancă				
0.	1.	++	+	+	++	6.	7.	8.	
1.	SKF-HF, HZ (Germania)	++	+	+	++	++	+++	11	Rulment fixat rigid de cupă. Tub flexibil de legătură a lagărelor. Amortizor pe lagăr inferior. Fixare rigidă de bancă.
2.	Suessen (Germania)	++	++	+	++	++	++	11	Rulment fixat rigid de cupă. Arc tubular cu lamele cu strângere inițială a lagărului inferior. Amortizor pe lagăr inferior. Fixare rigidă de bancă.
3.	Cu tub ondulat (brevet Germania)	++	+	+	++	++	+++	10	Rulment fixat rigid de cupă. Tub flexibil de legătură. Amortizor pe lagăr inferior. Fixare rigidă de bancă.
4.	Cu tub din material plastic (brevet Germania)	++	+	+	++	++	++	10	Rulment fixat rigid de cupă. Tub flexibil din material plastic. Amortizor pe lagăr inferior. Fixare rigidă de bancă
5.	Cu bară elastică de centrare lagăr inferior (brevet Germania)	++	+	+	++	++	++	10	Rulment fixat rigid de cupă. Bară elastică de centrare. Amortizor pe lagăr inferior. Fixare rigidă de bancă

Tabelul 8.9 (continuare)

0.	1.	2.	3.	4.	5.	6.	7.	8.	8.
6.	SMM (Elveția)	+	+	+	++	++	+++	10	Casetă rulment fixată elastic la partea inferioară de cupă. Tub flexibil de legătură. Pahare con-centrice pentru amortizare. Fixare rigidă de bancă.
7.	Cu amortizor comun ambe-lor lagăre (brevet Ger-mania)	+++	++	+/	++	+++	++	13,5	Tub rigid legat elastic de cupă. Amortizor comun amplasat între lagăre. Fixare rigidă de bancă.
8.	Brevet CSI	+++	++	+	++	+++	++	13	Tub rigid legat elastic de cupă. Amortizor pe lagăr inferior. Fixare rigidă de bancă.
8.	Brevet Elveția	++	+	+/	+	++/	++	10	Tub rigid legat elastic de cupă. Tub flexibil de legătură. Amortizor pe lagăr inferior și inel de cauciuc la rulment. Fixare elastică de bancă.
8.	Brevet Elveția	++/	++	+/	++	++	+	11	Tub rigid legat elastic de cupă. Amortizor și manșetă de cauciuc pe tub rigid. Fixare rigidă de bancă
11.	Brevet CSI	++/	++	+	++	++	+	10,5	Tub rigid legat elastic de cupă. Pahare și inel de cauciuc pentru amortizare. Fixare rigidă de bancă

Dintre soluțiile constructive propuse în brevetele de invenții sunt apreciate cu punctaj mai mare fuzele de la nr.crt. 7 (13,5 puncte) și 8 (13 puncte). La aceste soluții este de remarcat faptul că axa de rotație a tijeii se apropie în mai mare măsură de axa centrală principală de inerție a grupului rotitor (tijă+bobină), ceea ce conferă superioritate față de alte soluții. La aceste soluții lagărele sunt fixate într-un tub rigid care la rândul său este legat elastic față de cupă. Pentru aceste fuse nu au fost posibile testări experimentale din lipsa unor realizări concrete.

În urma analizei efectuate asupra comportării fuselor textile cu tijă rotitoare fără braț auxiliar, se conturează următoarele concluzii:

a) Fuzele cu amortizare hidraulică, în comparație cu tipurile mai vechi, la care amortizarea se obține îndeosebi prin frecare, satisfac în mai mare măsură condițiile impuse de cerințele de exploatare cu privire la vibrații, la creșterea turațiilor de lucru, la intervalele de schimbare a uleiului. Până în prezent s-au impus fuzele executate de firmele SKF, Suessen, Kolomna, SACM-Franța, NSK-Japonia, S.C. Cugir S.A. – România, la care lagărul superior este legat rigid de cupă.

b) Din analiza soluțiilor constructive prezentate în brevete rezultă noi orientări menite să îmbunătățească din punct de vedere dinamic performanțele de exploatare a fuselor textile cu amortizare hidraulică. Acestea se referă la două obiective importante:

- menținerea părții de tijă pe care se află bobina în poziție cât mai centrată față de inel chiar când dezechilibrul bobinei este relativ mare;
- micșorarea încărcării lagărelor în vederea reducerii amplitudinii vibrațiilor care se transmit băncii fuselor și prin aceasta și a zgomotului și a puterii consumate;

În principiu atingerea acestor obiective impune:

-fixarea rigidă a cupei față de banca fuselor pentru asigurarea preciziei de montaj;

-prinderea elastică față de cupă a celor două lagăre care susțin tija astfel ca axa de rotație a tijeii să se apropie cât mai mult de axa centrală principală de inerție a ansamblului rotitor (tijă+bobină).

c) La unele exemplare de fuse cu amortizor hidraulic testate (spre exemplu SKF-HZ 44, FR 220 Cugir) apar la anumite turații valori mari ale amplitudinii vibrațiilor tijeii datorită unor oscilații și rezonanțe subarmonice.

Concluziile formulate duc la necesitatea efectuării unor cercetări care să urmărească, pe de o parte, îmbunătățirea performanțelor funcționale și de exploatare pentru fuzele existente, iar pe de altă parte, realizarea unor

noi fuse cu rezemare elastică și armonizare la amândouă lagărele care susțin tija.

În figura 8.49 este prezentată o altă soluție constructivă de suport pentru fusele textile cu tub rigid de legătură a lagărelor, cu rezemare elastică față de cupă, cu amortizor hidraulic și cu prindere rigidă a cupei de banca fuselor. Acest fus textil are simbolul HL.

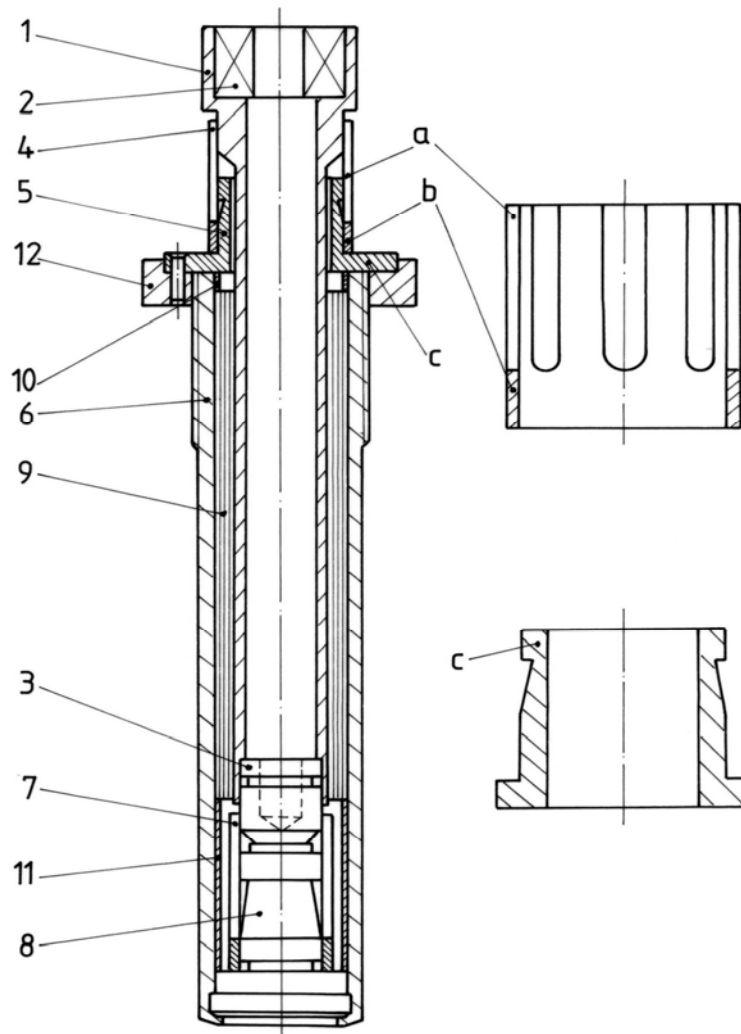


Fig. 8.49

Suportul de fus textil este alcătuit din tubul rigid 1, rulmentul 2, crapodina 3, arcul tubular superior 4, suportul arcului tubular superior 5, cupa 6, arcul tubular inferior 7, suportul arcului tubular inferior 8, amortizorul hidraulic 9, distanțierele 10 și 11 și niturile 12.

În tubul rigid 1 sunt fixate rulmentul 2 și crapodina 3, asigurându-se astfel alinierea lagărelor și condiții optime pentru rotirea tijei fusului.

Rezemarea capătului superior al tubului de legătură 1 de cupa 6 se obține cu arcul tubular 4, care cu partea superioară **a** sub formă de lamele se sprijină elastic de tub, partea inferioară inelară **b** fiind prinsă de suportul 5 fixat de cupă prin trei nituri 12.

Rezemarea capătului inferior a tubului rigid față de cupă se realizează cu arcul tubular 7, ale cărui lamele se sprijină pe crapodina 3, iar partea inferioară este prinsă de suportul 8 fixat de cupă.

Suportul arcului superior 5 este prevăzut cu gulerul inelar *c*, pe care se reazemă lamelele arcului tubular, soluție utilizată și la suportul arcului inferior 8. Amortizorul hidraulic 9, așezat între tubul rigid și cupă acționează asupra întregului sistem oscilant (tub rigid +tijă+bobină).

Această nouă soluție constructivă prezintă următoarele îmbunătățiri față de alte soluții cunoscute:

- se creează posibilitatea funcționării sistemului oscilant cu punct de oscilație în apropierea centrului său de masă;
- se obține centrare mai bună și stabilă a tijei fusului față de cupă ceea ce oferă precizie sporită atât pentru perpendicularitatea axei tijei față de banca fuselor, cât și pentru centrarea fusului față de inel;
- se îmbunătățesc indicii privind producția, productivitatea, consumul de putere, calitatea firelor prelucrate, fiabilitatea.

În vederea stabilirii performanțelor funcționale și de exploatare pentru noua soluție de suport textil, au fost executate modele experimentale pentru un fus care să suporte o bobină de 1,43 kg (mosor + fir).

Fundamentarea teoretică a noii soluții, standul pe care s-au efectuat încercările și datele experimentale sunt prezentate în capitolele 10 și 11.

Această nouă soluție constructivă de fus textil este apreciată cu 14,5 puncte în conformitate cu criteriile menționate în paragraful 8.4.2., cu un punct mai mult pentru centrarea și alinierea lagărelor față de fusul de la nr. crt. 7 din tabelul 8.8.

8.2. Dinamica fuselor textile

Principalii factori care favorizează apariția variațiilor perturbatoare de tensiune pe traseul cursor-bobină la mașinile de filat cu inele sunt:

- montajul defectuos al inelelor;
- ovalitatea inelelor;
- apariția unor jocuri prea mari în lagărele de ghidare a tijelor fuselor;
- nerespectarea condiției de ortogonalitate a axei nedeformate a fuselor față de planul băncii inelelor;
- valorile prea mari ale amplitudinilor vibrațiilor tijelor fuselor.

Influențele dăunătoare ale primilor patru factori pot fi, în mare măsură, înlăturate fie printr-un reglaj atent al mașinii, fie prin înlocuirea pieselor cu uzuri care depășesc anumite limite.

Vibrațiile fuselor, prin natura soluțiilor tehnice folosite în construcția lor, nu vor putea fi niciodată complet evitate și de aceea este necesar ca studiul dinamic al mașinilor de filat cu inel să ia în considerare și influența acestor vibrații asupra variației tensiunii din fir pe traseul cursor-bobină.

Dinamica fuselor textile ridică probleme complexe care pot fi rezolvate numai cu ajutorul mijloacelor moderne de calcul, urmărindu-se parametri care permit aprecieri asupra performanțelor funcționale și de exploatare ale fuselor textile, cum sunt: amplitudinile vibrațiilor, vitezele critice de ordinul I și ordinul II, prezența eventualelor oscilații și rezonanțe subarmonice.

8.2.1. Studii teoretice asupra dinamicii fuselor textile cu rezemare elastică a lagărului inferior

8.2.1.1. Varianta I de studiu

Metoda de studiu apelează la un model de calcul ce consideră sistemul mecanic în toată complexitatea lui și cu toate conexiunile esențiale, atât interne cât și cu exteriorul (caracteristicile elastice și de amortizare ale cuplajelor, dezechilibrul bobinei, momentul motor).

Ecuțiile de mișcare ale modelului se construiesc pe baza ecuațiilor Lagrange de speța a II-a a căror rezolvare este asistată de calculator. Neliniaritățile privind caracteristicile elastice și de amortizare pot fi incluse în forțele generalizate prin intermediul expresiilor energiilor potențială și disipativă, ținând seama că neliniaritățile structurale sunt intrinsec conținute în expresia energiei cinetice.

În figura 8.50 este prezentată schema pentru studiul teoretic al dinamicii fuselor textile, adoptată la două soluții constructive de fuse:

- cu rezemare elastică numai a lagărului inferior;
- cu rezemare elastică a ambelor lagăre.

În categoria fuselor cu rezemare elastică numai a lagărului inferior se încadrează fusele textile tip HF și tip HZ, executate și la noi în țară la S.C. Cugir S.A. după licența SKF; modelele fizic și matematic sunt prezentate în figura 8.51.

Notațiile utilizate au următoarele semnificații:

1 - tijă fus cu masa M_f ;

2 - bobină cu masa M_b ;

3 - masă de dezechilibru M_a ;

4 - tub rigid de legătură cu masa M_t ;

l_1 - lungimea părții de tijă dintre lagăre;

K - rigiditatea elementului elastic de legătură al lagărului inferior;

c - coeficientul de amortizare al dispozitivului de amortizare.

8.2.1.1.1. Modelul matematic al comportamentului dinamic

Se admit ipotezele:

a) - elementele 1,2 și 4 se consideră perfect rigide;

b) - bobina, tija și tubul de legătură dintre lagăre se consideră perfect centrate și echilibrate dinamic;

c) - în poziția verticală a axului tijeii, elementul elastic nu este deformat;

d) - forțele elastică și de amortizare sunt situate într-un plan paralel cu un plan fix perpendicular pe axa verticală a tijeii în repaos și au direcții radiale instantanee în acest plan; ipoteza este justificată de construcția fusului;

e) - forța elastică este subordonată legii lui Hooke, iar forța de amortizare este de tip vâscos;

f) - masa auxiliară (de dezechilibru) este considerată sub forma unui punct material greu de coordonate cunoscute;

g) - se neglijează forțele de frecare din lagăre și cele față de mediul ambiant;

h) - se neglijează forțele normale de acțiune ale curelei pe axa tijeii fusului; se ia în considerare numai efectul de cuplu.

Se alege un sistem de axe fixe $Oxyz$ cu originea în mijlocul lagărului superior care este fix, axa Oz fiind suprapusă peste axa geometrică a tijeii când aceasta se află în repaos; cele patru elemente au mișcări de rigid în raport cu punctul fix O .

Întrucât tija fusului, bobina și masa auxiliară execută aceeași mișcare concomitent (reperele nu prezintă mișcări relative unele față de altele) se atașează acestui ansamblu un sistem de axe proprii $Q_1x_1'y_1'z_1'$ care conține

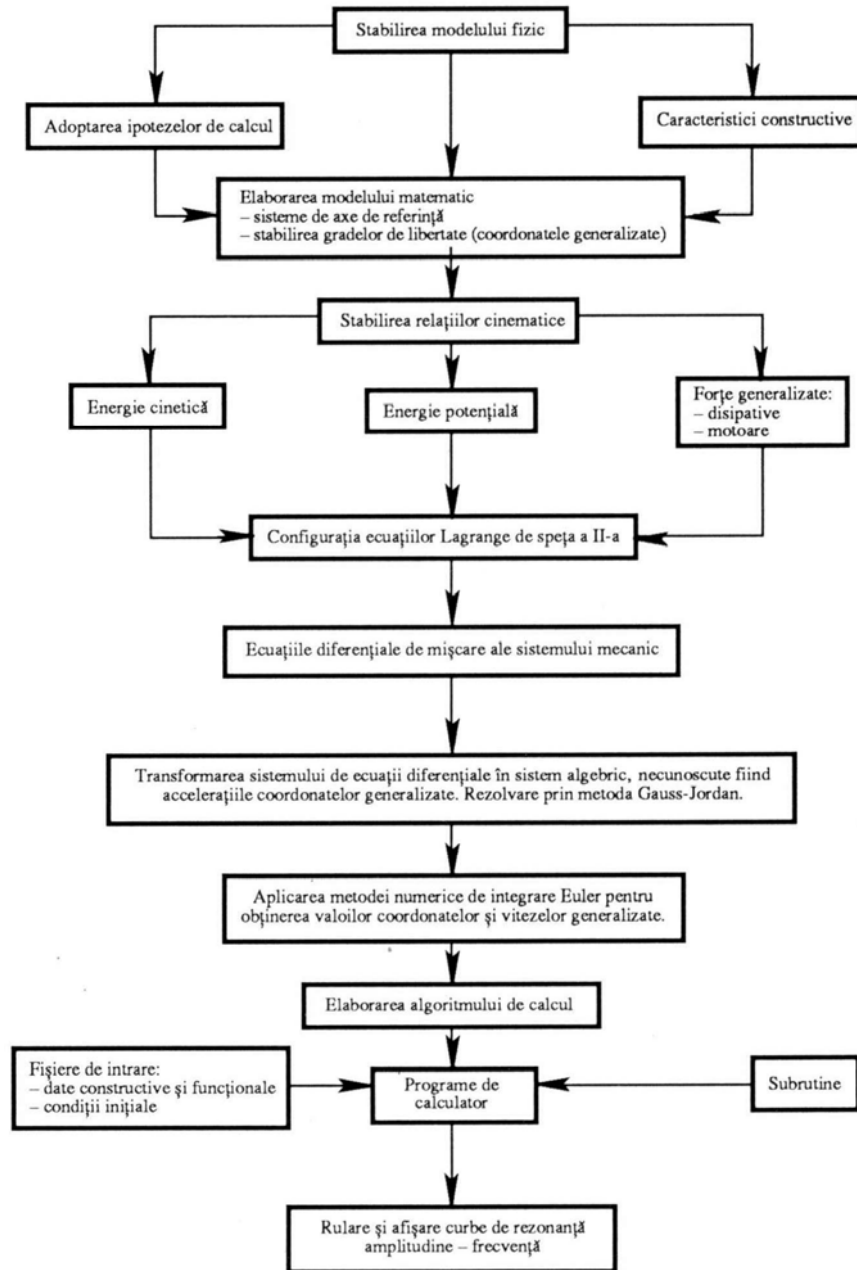


Fig 8.50

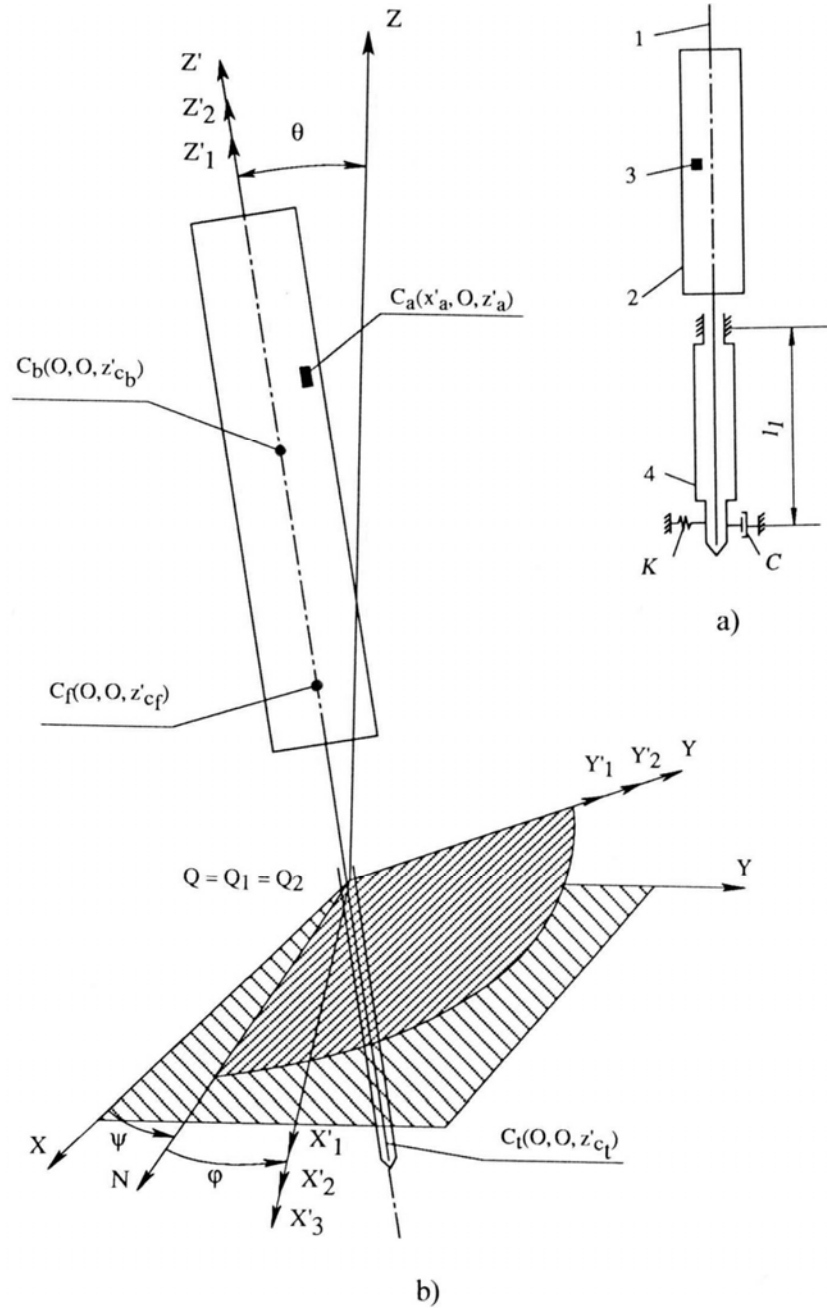


Fig 8.51

în planul $x'_1 Q_1 y'_1$ masa M_a .

Tubul de legătură dintre lagăre, spre deosebire de celelalte componente considerate rigide, nu execută mișcare de rotație în jurul propriei axe care aparține unui sistem atașat independent acestui element $Q_2 x'_2 y'_2 z'_2$.

În aceste condiții punctul O este ales ca origine comună a celor două repere mobile $Q_1 x'_1 y'_1 z'_1$ și $Q_2 x'_2 y'_2 z'_2$. ($O \equiv Q_1 \equiv Q_2$)

Cei șase parametri de poziție ai elementelor sunt reprezentați prin cele două serii de unghiuri Euler $\phi_1, \psi_1, \varphi_1, \phi_2, \psi_2, \varphi_2$, între care se stabilesc următoarele ecuații de legătură:

$$\begin{aligned} f_1(\theta_1, \theta_2) &= \theta_1 - \theta_2 = 0 \\ f_2(\Psi_1, \Psi_2) &= \Psi_1 - \Psi_2 = 0 \\ f_3(\varphi_2) &= \varphi_2 - \varphi_{20} = 0 \end{aligned} \quad (8.1)$$

Ultima ecuație este justificată de faptul că tubul de legătură a lagărelor nu are mișcare de rotație proprie ($\varphi_2 = 0, \varphi_{20} = 0$). În baza relațiilor (8.1) se utilizează notațiile:

$$\theta = \theta_1 = \theta_2; \Psi = \Psi_1 = \Psi_2; \varphi = \varphi_1; \varphi_2 = 0$$

Astfel cele două triedre mobile vor coincide perfect, adică: $Ox'y'z' \equiv Q_1 x'_1 y'_1 z'_1 \equiv Q_2 x'_2 y'_2 z'_2$.

În aceste condiții centrele de masă ale elementelor componente au coordonatele: $C_f(0, 0, z'_{cf})$ pentru fus, $C_b(0, 0, z'_{cb})$ pentru bobină $C_a(x'_a, 0, z'_a)$ pentru masa auxiliară.

Ca o consecință a ipotezei b) rezultă că axele reperului mobil $Ox'y'z'$ sunt axe principale de inerție la polul O pentru tijă, bobină și tub de legătură, iar axa Oz este chiar axă centrală de inerție.

Se consideră cunoscute următoarele date:

- lungimea fusului l_1 ;
- caracteristicile inerțiale - masele (M_i, M_b, M_t, M_a) și momentele de inerție ($J'_{xx}, J'_{yy}, J'_{zz}$) calculate în raport cu punctul O pentru tijă bobină și tub;
- coordonatele centrelor de masă corespunzătoare tuturor elementelor componente;
- caracteristicile dinamice – constanta cuplajului elastic K și coeficientul de amortizare c.

Observație: pentru că axele sistemului mobil sunt axe principale de inerție rezultă: $J'_{xx'} \equiv J'_{yy'}$, la reperele 1,2 și 4.

Pentru rezolvarea dinamicii sistemului oscilant se folosesc ecuațiile Lagrange de speța a II-a – relațiile 8.2. Coordonatele generalizate pentru modelul adoptat corespund unghiurilor lui Euler - θ, ψ, φ și reprezintă cele trei grade de libertate caracteristice sistemului.

$$\begin{aligned} \frac{d}{dt} \cdot \frac{\partial E_c}{\partial \dot{\theta}} - \frac{\partial E_c}{\partial \theta} &= \frac{\partial \upsilon}{\partial \theta} + Q_{\theta}^{(dis)} + Q_{\theta}^{(m)} \\ \frac{d}{dt} \cdot \frac{\partial E_c}{\partial \dot{\Psi}} - \frac{\partial E_c}{\partial \Psi} &= \frac{\partial \upsilon}{\partial \Psi} + Q_{\Psi}^{(dis)} + Q_{\Psi}^{(m)} \\ \frac{d}{dt} \cdot \frac{\partial E_c}{\partial \dot{\varphi}} - \frac{\partial E_c}{\partial \varphi} &= \frac{\partial \upsilon}{\partial \varphi} + Q_{\varphi}^{(dis)} + Q_{\varphi}^{(m)} \end{aligned} \quad (8.2)$$

în care: E_c - energia cinetică a sistemului, υ - energia potențială a sistemului, $Q^{(dis)}$ - forțele generalizate disipative, $Q^{(m)}$ - forțele generalizate motoare.

8.2.1.1.2. Stabilirea relațiilor cinematice necesare studiului dinamic

Cosinusurile directoare, viteza unghiulară și proiecțiile acesteia pe axele reperului mobil $Ox'y'z'$ pentru subansamblul tijă-bobină-masă auxiliară sunt:

$$\left\{ \begin{aligned} \alpha_{xx} &= \cos \Psi \cdot \cos \varphi - \cos \theta \cdot \sin \Psi \cdot \sin \varphi \\ \alpha_{xy} &= \sin \Psi \cdot \cos \varphi - \cos \theta \cdot \cos \Psi \cdot \sin \varphi \\ \alpha_{xz} &= \sin \theta \cdot \sin \varphi \\ \alpha_{yx} &= -\cos \Psi \cdot \sin \varphi - \cos \theta \cdot \sin \Psi \cdot \cos \varphi \\ \alpha_{yy} &= -\sin \Psi \cdot \sin \varphi + \cos \theta \cdot \cos \Psi \cdot \cos \varphi \\ \alpha_{yz} &= \sin \theta \cdot \cos \varphi \\ \alpha_{zx} &= \sin \theta \cdot \sin \Psi \\ \alpha_{zy} &= -\sin \theta \cdot \cos \Psi \\ \alpha_{zz} &= \cos \theta \end{aligned} \right. \quad (8.3)$$

$$\varpi = \dot{\Psi} \cdot \bar{k} + \dot{\varphi} \cdot \bar{k}' + \dot{\theta} \cdot \bar{n} \quad (8.4)$$

$$\begin{cases} \omega'_x = \dot{\Psi} \cdot \alpha_{xy} + \dot{\theta} \cdot \cos \varphi \\ \omega'_y = \dot{\Psi} \cdot \alpha_{yz} + \dot{\theta} \cdot \sin \varphi \\ \omega'_z = \dot{\Psi} \cdot \alpha_{zz} + \dot{\varphi} \end{cases} \quad (8.5)$$

Pentru tubul de legătură ($\varphi_2 = 0, \dot{\varphi}_2 = 0$) relațiile (8.3), (8.4) și (8.5) capată forma:

$$\begin{cases} \alpha_{xx_t} = \cos \Psi \\ \alpha_{xy_t} = \sin \Psi \\ \alpha_{xz_t} = 0 \\ \alpha_{yx_t} = -\cos \theta \cdot \sin \Psi \\ \alpha_{yy_t} = \cos \theta \cdot \cos \Psi \\ \alpha_{yz_t} = \sin \theta \\ \alpha_{zx_t} = \sin \theta \cdot \sin \Psi \\ \alpha_{zy_t} = -\sin \theta \cdot \cos \Psi \\ \alpha_{zz_t} = \cos \theta \end{cases} \quad (8.6)$$

$$\varpi_t = \dot{\Psi} \cdot \bar{k} + \dot{\theta} \cdot \bar{n} \quad (8.7)$$

$$\begin{cases} \omega_{x_t} = \dot{\theta} \\ \omega_{y_t} = \dot{\Psi} \cdot \sin \theta \\ \omega_{z_t} = \dot{\Psi} \cdot \cos \theta \end{cases} \quad (8.8)$$

8.2.1.1.3. Stabilirea energiei cinetice a sistemului mecanic în funcție de parametri lagrangeieni și de vitezele generalizate

Energia cinetică a sistemului este:

$$E_c = E_{c1} + E_{ct} + E_{ca} \quad (8.9)$$

în care:

E_{c1} - energia cinetică a subansamblului tijă-bobină,

$$E_{c1} = \frac{1}{2} \cdot \left[(J'_{xx_y} + J'_{xx_b}) \cdot (\omega_x'^2 + \omega_y'^2) + (J'_{zz_y} + J'_{zz_b}) \cdot \omega_z'^2 \right] \quad (8.10)$$

E_{ct} - energia cinetică a tubului de legătură a lagărelor,

$$E_{ct} = \frac{1}{2} \cdot \left[J'_{xx_t} \cdot (\omega_{x_t}^2 + \omega_{y_t}^2) + J'_{zz_t} \cdot \omega_{z_t}^2 \right] \quad (8.11)$$

E_{ca} - energia cinetică a masei de dezechilibru.

Aceste trei categorii de energii sunt definite de relațiile

$$E_{ca} = \frac{1}{2} \cdot M_a \cdot \left[z_a'^2 \cdot \omega_x'^2 + (x_a'^2 + z_a'^2) \cdot \omega_y'^2 + x_a'^2 \cdot \omega_z'^2 - 2 \cdot x_a' \cdot z_a' \cdot \omega_x' \cdot \omega_z' \right] \quad (8.12)$$

Prin înlocuiri succesive a relațiilor (8.5) și (8.8) în (8.10), (8.11) și (8.12), respectiv a acestora în (8.9) se obține expresia finală corespunzătoare energiei cinetice a sistemului:

$$\begin{aligned} E_c = & \frac{1}{2} \cdot (J'_{xx_j} + J'_{xx_b} + J'_{xx_t} + M_a \cdot z_a'^2 + M_a \cdot x_a'^2 \cdot \sin^2 \varphi) \cdot \dot{\theta}^2 + \\ & + \frac{1}{2} \cdot (J'_{zz_j} + J'_{zz_b} + J'_{zz_t} + M_a \cdot x_a'^2 - M_a \cdot x_a' \cdot z_a' \cdot \sin 2\theta \cdot \sin 2\varphi) - \\ & - M_a \cdot x_a'^2 \cdot \sin^2 \theta \cdot \sin^2 \varphi \cdot \dot{\varphi}^2 + \frac{1}{2} \cdot (J'_{xx_j} + J'_{xx_b} + J'_{xx_t} + M_a \cdot z_a'^2 + M_a \cdot x_a'^2) - \\ & - \frac{1}{2} \cdot (J'_{zz_j} + J'_{zz_b} + J'_{zz_t}) \cdot \Psi^2 \cdot \sin^2 \theta - \frac{1}{2} \cdot M_a \cdot x_a'^2 \cdot \sin \theta \cdot \sin 2\varphi \cdot \dot{\theta} \cdot \dot{\Psi} - \\ & - \frac{1}{2} \cdot M_a \cdot x_a' \cdot z_a' \cdot \cos \theta \cdot \cos \varphi \cdot \dot{\theta} \cdot \dot{\Psi} - M_a \cdot x_a' \cdot z_a' \cdot \dot{\theta} \cdot \dot{\varphi} \cdot \cos \varphi + \\ & + \frac{1}{2} \cdot (J'_{zz_j} + J'_{zz_b} + M_a \cdot x_a'^2) \cdot \dot{\varphi}^2 + \dot{\Psi} \cdot \varphi \cdot \cos \theta \cdot (J'_{zz_j} + J'_{zz_b} + M_a \cdot x_a'^2) + \\ & + \dot{\Psi} \cdot \dot{\varphi} \cdot \sin \theta \cdot \sin \varphi \cdot M_a \cdot x_a' \cdot z_a' \end{aligned} \quad (8.13)$$

8.2.1.1.4. Calculul forțelor generalizate ale sistemului mecanic

Energia potențială a sistemului este:

$$v = v_1 + v_2 \quad (8.14)$$

în care, v_1 este energia forțelor de greutate,

v_2 - energia forțelor elastice de la lagărul inferior.

$$v_1 = M \cdot g \cdot z_c \quad (8.15)$$

$$v_2 = \frac{1}{2} \cdot K \cdot r^2 \quad (8.16)$$

În relațiile (8.15) și (8.16) mărimile M , z_c și r au semnificațiile:

$$- M = M_f + M_b + M_t + M_a - \text{masa totală a sistemului,} \quad (8.16a)$$

- r - distanța centrului lagărului inferior în raport cu axa Oz la un moment dat,

$$r^2 = x_E^2 + y_E^2 \quad (8.17)$$

cu $x_E = l_1 \cdot \alpha_{zx_1}$, $y_E = \alpha_{yx_1}$, $r^2 = l_1^2 \cdot \sin^2 \theta$

- z_c - coordonata pe axa Oz a centrului de masă a întregului sistem,

$$z_c = \frac{M_f \cdot z_{c_f} + M_b \cdot z_{c_b} + M_t \cdot z_{c_t} + M_a \cdot z_a}{M_f + M_b + M_t + M_a} \quad (8.18)$$

în care:

$$z_{c_f} = z'_{c_f} \cdot \alpha_{zz}, \quad z_{c_b} = z'_{c_b} \cdot \alpha'_{zz}, \quad z'_{c_t} \cdot \alpha_{zz}, \quad z_{c_a} = x'_a \cdot \alpha_{zz} + z'_a \cdot \alpha_{zz} \quad (8.19)$$

Prin înlocuiri corespunzătoare a relațiilor (8.8), (8.15), (8.16), (8.17), (8.18) și (8.19) în (8.14) se obține expresia energiei potențiale:

$$v = (M_f \cdot z'_{c_f} + M_b \cdot z'_{c_b} + M_t \cdot z'_{c_t} + M_a \cdot z'_a) \cdot g \cdot \cos \theta + M_a \cdot g \cdot x'_a \cdot \sin \theta \cdot \sin \phi + \frac{1}{2} \cdot K \cdot l_1^2 \cdot \sin^2 \theta \quad (8.20)$$

Forțele generalizate disipative $Q^{(dis)}$ apar datorită sistemului de amortizare. Rezistența de amortizare are, în ipotezele de lucru adoptate, expresia:

$$Q_a = -c \cdot \dot{r} \quad (8.21)$$

Cu ajutorul acestei forțe se scrie expresia funcției disipative totale a lui Rayleigh:

$$\mathfrak{R} = \frac{1}{2} \cdot c \cdot r^2 \quad (8.22)$$

în care $\dot{r}^2 = \dot{x}_E^2 + \dot{y}_E^2 = l_1^2 \cdot \dot{\theta}^2 \cdot \cos^2 \theta + l_1^2 \cdot \dot{\Psi}^2 \cdot \sin^2 \theta$

Astfel se obțin forțele generalizate disipative:

$$\begin{aligned} Q_{\theta}^{(dis)} &= -\frac{\partial \mathfrak{R}}{\partial \dot{\theta}} = -c \cdot l_1^2 \cdot \dot{\theta} \cdot \cos^2 \theta \\ Q_{\Psi}^{(dis)} &= -\frac{\partial \mathfrak{R}}{\partial \dot{\Psi}} = -c \cdot l_1^2 \cdot \dot{\Psi} \cdot \sin^2 \theta \\ Q_{\phi}^{(dis)} &= -\frac{\partial \mathfrak{R}}{\partial \dot{\phi}} = 0 \end{aligned} \quad (8.23)$$

Fusul este pus în mișcare de rotație datorită cuplului motor aplicat în exterior $-\mathcal{M}_m = \mathcal{M}_m \cdot \vec{k}$. Forțele generalizate corespunzătoare acestuia sunt:

$$\begin{aligned} Q_{\theta}^{(m)} &= 0 \\ Q_{\Psi}^{(m)} &= \mathcal{M}_m \cdot \cos \theta \\ Q_{\varphi}^{(m)} &= \mathcal{M}_m \end{aligned} \quad (8.24)$$

8.2.1.1.5. Stabilirea ecuațiilor diferențiale de mișcare ale sistemului mecanic

În vederea obținerii ecuațiilor de mișcare ale sistemului mecanic se prelucrează în mod corespunzător expresiile energiei cinetice (8.13) și a energiei potențiale (8.20) în raport cu parametri lagrangeieni și cu vitezele generalizate. Termenii obținuți, împreună cu relațiile forțelor generalizate disipative și forțelor generalizate motoare se înlocuiesc în ecuațiile Lagrange de speța a II-a (8.2). Astfel se stabilește, pentru mișcarea ansamblului studiat, un sistem de trei ecuații diferențiale cuplate în variabilele θ, ψ, φ de ordinul 2, gradul 2, neomogene și neliniare, care au forma:

$$\begin{aligned} & \left(I + M_a \cdot z_a'^2 \right) \cdot \ddot{\theta} + M_a \cdot x_a'^2 \cdot \ddot{\theta} \cdot \sin^2 \varphi + l_1^2 \cdot c \cdot \dot{\theta} \cdot \cos^2 \theta + M_a \cdot x_a' \cdot \dot{\theta} \cdot \dot{\varphi} \cdot \sin 2\varphi - \\ & - 0.5 \cdot k \cdot l_1^2 \cdot \sin 2\theta - g \cdot (D + M_a \cdot z_a') \cdot \sin \theta + M_a \cdot g \cdot x_a' \cdot \cos \theta \cdot \sin \varphi - \\ & - 0.5 \cdot M_a \cdot x_a'^2 \cdot \ddot{\Psi} \cdot \sin \theta \cdot \sin 2\varphi - M_a \cdot x_a' \cdot z_a' \cdot \ddot{\Psi} \cdot \cos \theta \cdot \cos \varphi + \\ & + 0.5 \cdot (J + L - I - M_a \cdot z_a'^2) \cdot \Psi^2 \cdot \sin 2\theta + 0.5 \cdot M_a \cdot x_a'^2 \cdot \Psi^2 \cdot \sin 2\theta \cdot \sin^2 \varphi + \\ & + M_a \cdot x_a' \cdot z_a' \cdot \Psi^2 \cdot \cos 2\theta \cdot \sin \varphi + 2M_a \cdot x_a'^2 \cdot z_a' \cdot \Psi \cdot \dot{\varphi} \cdot \sin^2 \varphi \cdot \sin \theta + \\ & + 2 \cdot M_a \cdot x_a' \cdot z_a' \cdot \Psi \cdot \dot{\varphi} \cdot \cos \theta \cdot \sin \varphi + J \cdot \Psi \cdot \dot{\varphi} \cdot \sin \theta - M_a \cdot x_a' \cdot z_a' \cdot \ddot{\varphi} \cdot \cos \varphi + \\ & + M_a \cdot x_a' \cdot z_a' \cdot \varphi^2 \cdot \sin \varphi = 0 \\ & - 0.5 \cdot M_a \cdot x_a'^2 \cdot \ddot{\theta} \cdot \sin \theta \cdot \sin 2\varphi - M_a \cdot x_a' \cdot z_a' \cdot \ddot{\theta} \cdot \cos \theta \cdot \cos \varphi - \\ & - M_a \cdot x_a'^2 \cdot \dot{\theta}^2 \cdot \cos \theta \cdot \sin 2\varphi + M_a \cdot x_a' \cdot z_a' \cdot \dot{\theta}^2 \cdot \sin \theta \cdot \cos \varphi - \\ & - (J + M_a \cdot x_a'^2) \cdot \dot{\theta} \cdot \dot{\varphi} \cdot \sin \theta - M_a \cdot x_a'^2 \cdot \dot{\theta} \cdot \dot{\varphi} \cdot \sin \theta \cdot \sin 2\varphi - M_m \cdot \cos \theta + \\ & + (J + L + M_a \cdot x_a'^2) \cdot \ddot{\Psi} + (I - J - L + M_a \cdot x_a'^2) \cdot \ddot{\Psi} \cdot \sin^2 \theta - \\ & - M_a \cdot x_a'^2 \cdot \ddot{\Psi} \cdot \sin^2 \varphi \cdot \sin^2 \theta - M_a \cdot x_a' \cdot z_a' \cdot \ddot{\Psi} \cdot \sin 2\theta \cdot \sin \varphi + \\ & + (I - J - L + M_a \cdot z_a'^2) \cdot \ddot{\Psi} \cdot \sin 2\theta - M_a \cdot x_a'^2 \cdot \ddot{\Psi} \cdot \dot{\theta} \cdot \sin 2\theta \cdot \sin^2 \varphi - \\ & - 2 \cdot M_a \cdot x_a' \cdot z_a' \cdot \ddot{\Psi} \cdot \dot{\theta} \cdot \cos 2\theta \cdot \sin \varphi - M_a \cdot x_a' \cdot z_a' \cdot \ddot{\Psi} \cdot \dot{\varphi} \cdot \sin 2\theta \cdot \cos \varphi - \\ & - M_a \cdot x_a'^2 \cdot \ddot{\psi} \cdot \dot{\theta} \cdot \sin^2 \theta \cdot \sin 2\varphi + (J + M_a \cdot x_a'^2) \cdot \dot{\varphi} \cdot \cos \theta - \\ & - M_a \cdot x_a' \cdot z_a' \cdot \dot{\varphi} \cdot \sin \theta \cdot \sin \varphi - M_a \cdot x_a' \cdot z_a' \cdot \varphi^2 \cdot \sin \theta \cdot \cos \theta + l_1^2 \cdot c \cdot \Psi \cdot \sin^2 \theta = 0 \end{aligned}$$

$$\begin{aligned}
& -M_a \cdot x_a' \cdot z_a' \cdot \ddot{\theta} \cdot \cos \varphi - 0.5 \cdot M_a \cdot x_a'^2 \cdot \dot{\theta}^2 \cdot \sin 2\varphi - J \cdot \dot{\theta} \cdot \dot{\Psi} \cdot \sin \theta - \\
& - 2 \cdot M_a \cdot x_a'^2 \cdot \dot{\theta} \cdot \dot{\Psi} \cdot \sin^2 \varphi \cdot \sin \theta - 2 \cdot M_a \cdot x_a' \cdot z_a' \cdot \dot{\theta} \cdot \dot{\Psi} \cdot \cos \theta \cdot \sin \varphi + \\
& + (J + M_a \cdot x_a'^2) \cdot \ddot{\Psi} \cdot \cos \theta - M_a \cdot x_a' \cdot z_a' \cdot \ddot{\Psi} \cdot \sin \theta \cdot \sin \varphi + \\
& + 0.5 \cdot M_a \cdot x_a' \cdot z_a' \cdot \dot{\psi}^2 \cdot \sin 2\theta \cdot \cos \varphi + 0.5 \cdot M_a \cdot x_a'^2 \cdot \dot{\psi}^2 \cdot \sin^2 \theta \cdot \sin 2\varphi + \\
& + (J + M_a \cdot x_a'^2) \cdot \ddot{\varphi} - \mathcal{M}_m + M_a \cdot g \cdot x_a' \cdot \sin \theta \cdot \cos \varphi = 0
\end{aligned} \tag{8.25}$$

În aceste relații au fost utilizate notațiile:

$$D = M_f \cdot z_{c_f}' + M_b \cdot z_{c_b}' + M_t \cdot z_{c_t}' \tag{8.26}$$

$$I = J_{xx_f}' + J_{xx_b}' + J_{xx_t}' \tag{8.27}$$

$$J = J_{zz_f}' + J_{zz_b}' \tag{8.28}$$

$$L = J_{zz_f}' \tag{8.29}$$

Pentru simplificarea sistemului (8.25) se elimină între a doua și a treia ecuație cuplul motor M_m care se determină ulterior ca o funcție de $\theta, \dot{\theta}, \ddot{\theta}, \psi, \dot{\psi}, \ddot{\psi}, \varphi, \dot{\varphi}, \ddot{\varphi}, t$. De asemenea se consideră că acționarea fusului este realizată cu ajutorul unei legi de mișcare cunoscută corespunzătoare gradului de libertate φ ; de exemplu se adoptă antrenarea fusului cu accelerație constantă, adică $\ddot{\varphi} = \varepsilon, \dot{\varphi} = \varepsilon \cdot t, \varphi = 0.5 \cdot \varepsilon \cdot t^2$ cu ($\varphi_0 = 0$ la $t=0$). Pe baza celor menționate anterior, sistemul de ecuații diferențiale (8.25) devine:

$$\begin{aligned}
& (I + M_a \cdot z_a'^2) \cdot \ddot{\theta} + M_a \cdot x_a'^2 \cdot \ddot{\theta} \cdot \sin^2 \varphi + l_1^2 \cdot c \cdot \dot{\theta} \cdot \cos^2 \theta + \\
& + M_a \cdot x_a'^2 \cdot \dot{\theta} \cdot \dot{\varphi} \cdot \sin 2\varphi - 0.5 \cdot k \cdot l_1^2 \cdot \sin 2\theta - g \cdot (D + M_a \cdot z_a') \cdot \sin \theta + \\
& + M_a \cdot g \cdot x_a' \cdot \cos \theta \cdot \sin \varphi - 0.5 \cdot M_a \cdot x_a'^2 \cdot \ddot{\Psi} \cdot \sin \theta \cdot \sin 2\varphi - \\
& - M_a \cdot x_a' \cdot z_a' \cdot \ddot{\Psi} \cdot \cos \theta \cdot \cos \varphi - 0.5 \cdot M_a \cdot (J + L - I - M_a \cdot z_a'^2) \cdot \dot{\Psi}^2 \cdot \sin 2\theta + \\
& + 0.5 \cdot M_a \cdot x_a'^2 \cdot \dot{\Psi}^2 \cdot \sin 2\theta \cdot \sin^2 \varphi + M_a \cdot x_a' \cdot z_a' \cdot \dot{\psi}^2 \cdot \cos 2\theta \cdot \sin \varphi + \\
& + 2 \cdot M_a \cdot x_a'^2 \cdot \dot{\Psi} \cdot \dot{\varphi} \cdot \sin^2 \varphi \cdot \sin \theta + 2 \cdot M_a \cdot x_a' \cdot z_a' \cdot \dot{\Psi} \cdot \dot{\varphi} \cdot \cos \theta \cdot \sin \varphi + \\
& + J \cdot \dot{\Psi} \cdot \dot{\varphi} \cdot \sin \theta - M_a \cdot x_a' \cdot z_a' \cdot \ddot{\varphi} \cdot \cos \varphi + M_a \cdot x_a' \cdot z_a' \cdot \dot{\varphi}^2 \cdot \sin \varphi = 0.
\end{aligned}$$

$$\begin{aligned}
& 0.5 \cdot M_a \cdot x_a'^2 \cdot \ddot{\theta} \cdot \sin \theta \cdot \sin 2\varphi - M_a \cdot x_a' \cdot z_a' \cdot \dot{\theta}^2 \cdot \sin \theta \cdot \cos \varphi + \\
& + (I - 0.5 \cdot J - L + M_a \cdot z_a'^2) \cdot \dot{\theta} \cdot \dot{\psi} \cdot \sin 2\theta + 2 \cdot M_a \cdot x_a' \cdot z_a' \cdot \dot{\theta} \cdot \dot{\Psi} \cdot \sin^2 \theta \cdot \sin \varphi + \\
& + 2 \cdot M_a \cdot x_a'^2 \cdot \dot{\theta} \cdot \dot{\varphi} \cdot \sin \theta \cdot \sin^2 \varphi - (J + 2 \cdot M_a \cdot x_a'^2) \cdot \dot{\theta} \cdot \dot{\varphi} \cdot \sin \theta + L \cdot \ddot{\Psi} + \\
& + (I - L + M_a \cdot x_a' \cdot z_a'^2) \cdot \ddot{\psi} \cdot \sin^2 \theta - 0.5 \cdot M_a \cdot x_a' \cdot z_a' \cdot \ddot{\Psi} \cdot \sin 2\theta \cdot \sin \varphi - \\
& - M_a \cdot x_a'^2 \cdot \ddot{\Psi} \cdot \sin^2 \theta \cdot \sin^2 \varphi - 0.5 \cdot M_a \cdot x_a' \cdot z_a' \cdot \dot{\Psi}^2 \cdot \cos \theta \cdot \sin 2\theta \cdot \cos \varphi - \\
& - 0.25 \cdot M_a \cdot x_a'^2 \cdot \dot{\Psi}^2 \cdot \sin 2\theta \cdot \sin \theta \cdot \sin 2\varphi - M_a \cdot x_a' \cdot z_a' \cdot \dot{\varphi} \cdot \dot{\psi} \cdot \sin 2\theta \cdot \cos \varphi - \\
& - M_a \cdot x_a'^2 \cdot \dot{\theta} \cdot \dot{\psi} \cdot \sin^2 \theta \cdot \sin 2\varphi - 0.5 \cdot M_a \cdot x_a' \cdot g \cdot \sin 2\theta \cdot \cos \varphi - \\
& - M_a \cdot x_a'^2 \cdot z_a' \cdot \ddot{\varphi} \cdot \sin \theta \cdot \sin \varphi - M_a \cdot x_a' \cdot z_a' \cdot \dot{\varphi}^2 \cdot \sin \theta \cdot \cos \varphi + I_1^2 \cdot c \cdot \dot{\psi} \cdot \sin^2 \theta = 0
\end{aligned} \tag{8.30}$$

8.2.1.2. Varianta a II-a de studiu

Pentru această variantă studiul este realizat în următoarele ipoteze de lucru:

1. Întregul fus, împreună cu corpul fixat pe el, este considerat rigid;
2. Punctul teoretic de legătură realizat prin reazemul superior este considerat punct fix al fusului. Acest punct va fi ales ca origine Q a reperului $Qx'y'z'$ invariabil legat de fus, a cărui axă Qz' va coincide cu axa de rotație a fusului.
3. Legătura prin lagărul pivot este considerată o legătură elastică cu masa neglijabilă, dar cu amortizare liniară, corespunzătoare unei valori medii a constantei de amortizare.
4. Centrul de masă al ansamblului fus-bobină, este situat într-o poziție dezaxată, prezentând excentricitatea e față de axa fusului și fiind plasat la distanța a de planul normal în Q la axa de rotație a fusului (planul $Qx'y'$); prin alegerea planului ce conține centrul de masă G și axa fusului ca plan de coordonate $Qy'z'$, rezultă următoarele coordonate ale centrului G în raport cu reperul $Qx'y'z'$:

$$x_G' = 0; \quad y_G' = 0; \quad z_G' = 0 \tag{8.31}$$

5. Planul axial $Qy'z'$, ce conține centrul de masă G, este plan de simetrie în repartiția masei, deci normala în Q la acest plan – axa Qx' – este axă principală de inerție relativă la polul Q, adică sunt valabile condițiile:

$$J'_{x_y} = J'_{x_t} = 0 \tag{8.32}$$

6. Rotația proprie a fusului, efectuată sub acțiunea cuplului motor al tensiunilor din cureaua de transmisie ce înfășoară nuca fusului, nu influențează mișcarea vibratorie a fusului, determinată prin parametri de poziție ψ și θ și nu este influențată, la rândul ei, de această mișcare vibratorie. Aceasta înseamnă că ecuațiile diferențiale ale mișcării vibratorii a fusului vor putea fi stabilite independent de mișcarea sa de rotație proprie.

7. Excentricitatea e nu influențează, practic, mișcarea vibratorie a fusului, deci în această mișcare se va putea considera că elipsoidul de inerție relativ la polul Q este de revoluție, adică sunt valabile condițiile:

$$J'_x = J'_y = J'_o; \quad J'_z = J \quad (8.33)$$

8. Excentricitatea e influențează în schimb mișcarea de rotație proprie a fusului, ceea ce înseamnă că momentul cinetic al lui în polul Q, corespunzător acestei rotații, va avea, ținând seama și de condițiile (8.32), expresia:

$$\bar{K}_{Q(\text{rob})} = -J^* \cdot \omega_r \cdot \bar{j}' + J \cdot \omega_r \cdot \bar{k}' \quad (8.34)$$

unde prin J^* , s-a notat momentul de inerție centrifugal J'_{yz} .

9. Excitația este reprezentată prin acțiunea componentelor tensorului în polul Q al forțelor de inerție ale ansamblului fus-bobină corespunzătoare mișcării de rotație proprie a ansamblului, adică:

$$\begin{aligned} \bar{F}_{\text{ex}} &= \bar{F}_{(\text{rot})}^i = -M \cdot \bar{a}_{G(\text{rot})}; \\ \mathcal{M}_{\text{ex}Q} &= \mathcal{M}_Q^i = -\dot{\bar{K}}_{Q(\text{rot})} \end{aligned} \quad (8.35)$$

8. Amplitudinile vibrațiilor sunt suficient de mici, încât să se accepte aproximările:

$$\cos \theta \approx 1; \quad \sin \theta \approx 0 \quad (8.36)$$

și să se admită că punctele fusului rămân în plane orizontale.

Ipotezele de lucru adoptate în paragraful anterior conduc la modelul matematic reprezentat în figura 8.52, cu mișcarea vibratorie determinată prin doi parametrii langrangieni:

$$\begin{aligned} q_1 &= \psi \\ q_2 &= \theta \end{aligned} \quad (8.37)$$

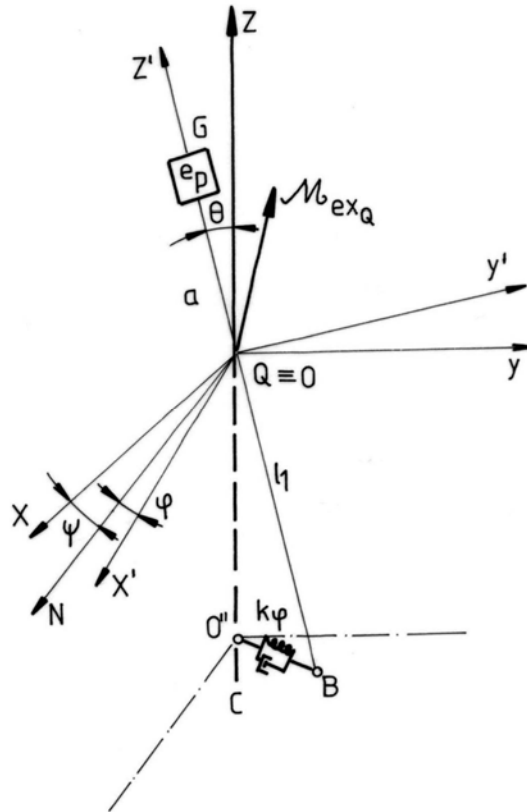


Fig. 8.52

Mișcarea este, deci, descrisă prin două ecuații diferențiale Lagrange, de forma:

$$\begin{aligned} \frac{d}{dt} \left(\frac{\partial E_c}{\partial \dot{\psi}} \right) - \frac{\partial E_c}{\partial \psi} &= Q_{e_1} + Q_{a_1} + Q_{ex_1} \\ \frac{d}{dt} \left(\frac{\partial E_c}{\partial \dot{\theta}} \right) - \frac{\partial E_c}{\partial \theta} &= Q_{e_2} + Q_{a_2} = Q_{ex_2} \end{aligned} \quad (8.38)$$

unde prin Q_{e_k} , Q_{a_k} și Q_{ex_k} ($k = 1, 2$), au fost notate forțele generalizate corespunzătoare solicitărilor elastice, de amortizare și, respectiv, de excitație.

8.2.1.2.1. Calculul energiei cinetice a sistemului mecanic

Mișcarea vibratorie a fusului se va efectua cu viteza unghiulară dată, în ipotezele de lucru adoptate mai sus, de relația:

$$\bar{\omega} = \dot{\psi} \cdot \bar{k} + \dot{\theta} \cdot \bar{n} \quad (8.39)$$

cu proiecțiile pe axele reperului legat rigid având expresiile:

$$\begin{cases} \omega'_x = \dot{\psi} \cdot \alpha_{xz} + \dot{\theta} \cdot \cos(\omega_r \cdot t) \\ \omega'_y = \dot{\psi} \cdot \alpha_{yz} - \dot{\theta} \cdot \sin(\omega_r \cdot t) \\ \omega'_z = \dot{\psi} \cdot \alpha_{zz} \end{cases} \quad (8.40)$$

în care cosinușii directori sunt:

$$\begin{cases} \alpha_{xz} = \sin \theta \cdot \sin(\omega_r \cdot t) \\ \alpha_{yz} = \sin \theta \cdot \cos(\omega_r \cdot t) \\ \alpha_{zz} = \cos \theta \end{cases} \quad (8.41)$$

În baza ipotezei de lucru (7) și a condițiilor (8.33), expresia energiei cinetice a fusului corespunzătoare mișcării lui vibratorii, are forma:

$$E_c = \frac{1}{2} \cdot [J_o \cdot (\omega_x'^2 + \omega_y'^2) + J \cdot \omega_z'^2] \quad (8.42)$$

În baza relațiilor (8.40) pot fi scrise relațiile:

$$\begin{aligned} \omega_x'^2 + \omega_y'^2 &= \dot{\psi}^2 \cdot [\alpha_{xz}^2 + \alpha_{yz}^2] + \dot{\theta}^2 + 2 \cdot \dot{\psi} \cdot \dot{\theta} \cdot [\alpha'_{xz} \cdot \cos(\omega_r \cdot t) - \alpha_{yz} \cdot \sin(\omega_r \cdot t)] \\ \omega_z'^2 &= \dot{\psi}^2 \cdot \alpha_{zz}^2 \end{aligned} \quad (8.43)$$

Suma din prima paranteză pătrată are, în baza relațiilor (8.41), următoarea formă:

$$\alpha_{xz}^2 + \alpha_{yz}^2 = \sin^2 \theta \quad (8.44)$$

Astfel se mai poate scrie următoarea expresie pentru energia cinetică a sistemului mecanic considerat:

$$E_c = \frac{1}{2} \cdot J_o \cdot \dot{\psi}^2 \cdot \sin^2 \theta + \frac{1}{2} \cdot J_o \cdot \dot{\theta}^2 + \frac{1}{2} \cdot J \cdot \dot{\psi}^2 \cdot \cos^2 \theta$$

sau încă:

$$E_c = \frac{1}{2} \cdot J_o \cdot \dot{\psi}^2 + \frac{1}{2} \cdot J_o \cdot \dot{\theta}^2 + \frac{1}{2} \cdot (J - J_o) \cdot \dot{\psi}^2 \cdot \cos^2 \theta \quad (8.45)$$

În ipoteza micilor oscilații, deci a valabilității condițiilor (8.36), expresia precedentă va lua forma aproximativă:

$$E_c \approx \frac{1}{2} \cdot J_o \cdot \dot{\psi}^2 + \frac{1}{2} \cdot J_o \cdot \dot{\theta}^2 \quad (8.46)$$

În consecință, derivatele parțiale ale energiei cinetice în raport cu cei doi parametrii langrangieni, și în raport cu cele două viteze generalizate vor avea valorile:

$$\frac{\partial E_c}{\partial \psi} = \frac{\partial E_c}{\partial \theta} = 0 \quad (8.47)$$

respectiv:

$$\frac{\partial E_c}{\partial \dot{\psi}} = J \cdot \dot{\psi}; \quad \frac{\partial E_c}{\partial \dot{\theta}} = J_o \cdot \dot{\theta} \quad (8.48)$$

8.2.1.2.2. Calculul forțelor generalizate

Calculul forțelor generalizate elastice

Forța elastică exercitată de elementul elastic echivalent cuplajului elastic al lagărului pivot al fusului - figura 8.53, va avea expresia:

$$\vec{F}_e = -k_e \cdot \vec{r}_B^* = -k_e \cdot (\vec{r}'_B - \vec{r}_B^*) \quad (8.49)$$

unde k_e este constanta elastică iar vectorii care figurează în relație au semnificațiile:

$$\vec{r}_B^* = \vec{O}^* B; \quad \vec{r}'_B = \vec{Q} B; \quad \vec{r}'_O = \vec{Q} O^*$$

Ipoteza (10) permite însă să se facă aproximările:

$$\vec{r}'_B = -l_1 \cdot \vec{k}'; \quad \vec{r}'_O r_o^* = -l_1 \cdot \vec{k} \quad (8.50)$$

în baza cărora relația (8.49) va lua forma:

$$\vec{F}_e = k_e \cdot l_1 \cdot (\vec{k}' - \vec{k}) \quad (8.51)$$

care, pe axele reperului legat invariabil de fus, are expresiile:

$$\begin{aligned} F'_{e_x} &= -k_e \cdot l_1 \cdot \alpha_{xz} = -k_e \cdot l_1 \cdot \sin \theta \cdot \sin(\omega_r \cdot t) \\ F'_{e_y} &= -k_e \cdot l_1 \cdot \alpha_{yz} = -k_e \cdot l_1 \cdot \sin \theta \cdot \cos(\omega_r \cdot t) \\ F'_{e_z} &= k_e \cdot l_1 \cdot (1 - \alpha_{zz}) = k_e \cdot l_1 \cdot (1 - \cos \theta) \end{aligned} \quad (8.52)$$

Momentul rezultat în polul Q al acestei forțe elastice, determinat prin relația:

$$\mathcal{M}'_a(\vec{F}_e) = \mathcal{M}'_q(\vec{F}_e) = \vec{r}'_B \times \vec{F}_e = \begin{vmatrix} \vec{i}' & \vec{j}' & \vec{k}' \\ 0 & 0 & 0 \\ k_e \cdot l_1 \cdot \alpha_{xz} & k_e \cdot l_1 \cdot \alpha_{yz} & k_e \cdot l_1 \cdot (1 - \alpha_{zz}) \end{vmatrix} \quad (8.53)$$

va avea următoarele proiecții pe axele de coordonate invariabil atașate fusului:

$$\mathcal{M}'_{Q_x}(\vec{F}_e) = -k_e \cdot l_1^2 \cdot \alpha_{yz} = -k_e \cdot l_1^2 \cdot \sin \theta \cdot \cos(\omega_r \cdot t)$$

$$\begin{aligned} \mathcal{M}'_{Q_y}(\bar{F}_e) &= -k_e \cdot l_1^2 \cdot \alpha_{xz} = -k_e \cdot l_1^2 \cdot \sin \theta \cdot \sin(\omega_r \cdot t) & \mathcal{M}'_{Q_x}(\bar{F}_e) &= 0 \\ \mathcal{M}'_{Q_z}(\bar{F}_e) &= 0 \end{aligned} \quad (8.54)$$

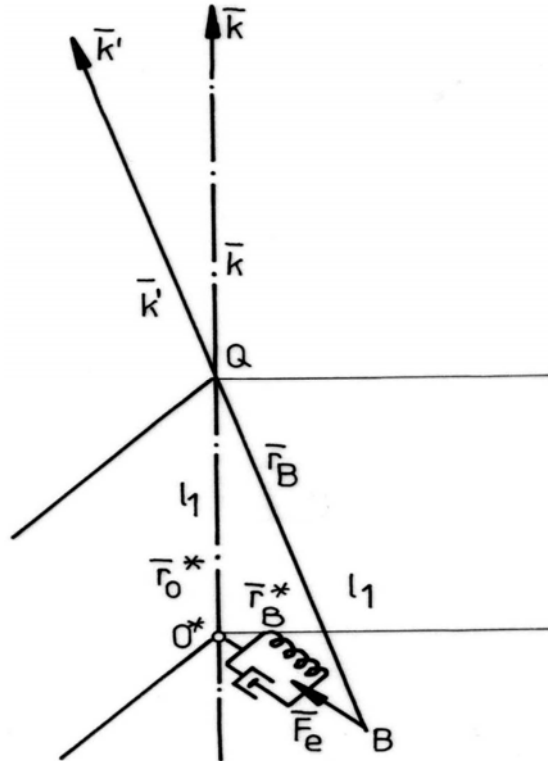


Fig. 8.53

Forțele generalizate elastice sunt definite prin relația generală:

$$Q_{e_k} = \mathcal{M}'_{Q_y}(\bar{F}_e) \cdot \frac{\partial \Theta}{\partial q_k} = \mathcal{M}'_{Q_x}(\bar{F}_e) \cdot \left(\frac{\partial \Theta}{\partial q_k} \right)'_x + \mathcal{M}'_{Q_y}(\bar{F}_e) \cdot \left(\frac{\partial \Theta}{\partial q_k} \right)'_y \quad (K=1,2) \quad (8.55)$$

în care vectorul $\frac{\partial \Theta}{\partial q_k}$ are semnificația:

$$\frac{\partial \Theta}{\partial q_k} = \frac{\partial \psi}{\partial q_k} \cdot \bar{k} - \frac{\partial \theta}{\partial q_k} \cdot \bar{n} \quad (8.56)$$

și are următoarele expresii ale proiecțiilor lui pe axele reperului legat de fus:

$$\begin{cases} \left(\frac{\partial \Theta}{\partial q_K}\right)'_x = \frac{\partial \psi}{\partial q_K} \cdot \alpha_{xz} - \frac{\partial \theta}{\partial q_K} \cdot \cos(\omega_r \cdot t) \\ \left(\frac{\partial \Theta}{\partial q_K}\right)'_y = \frac{\partial \psi}{\partial q_K} \cdot \alpha_{yz} - \frac{\partial \theta}{\partial q_K} \cdot \sin(\omega_r \cdot t) \\ \left(\frac{\partial \Theta}{\partial q_K}\right)'_z = \frac{\partial \psi}{\partial q_K} \cdot \alpha_{zz} \end{cases} \quad (8.57)$$

Astfel, forțele generalizate capătă expresia:

$$Q_{e_K} = -k_e \cdot l_1^2 \cdot \alpha_{xz} \cdot \left[\frac{\partial \psi}{\partial q_K} \cdot \alpha_{xz} + \frac{\partial \theta}{\partial q_K} \cdot \cos(\omega_r \cdot t) \right] + \left[\frac{\partial \psi}{\partial q_K} \cdot \alpha_{yz} - \frac{\partial \theta}{\partial q_K} \cdot \sin(\omega_r \cdot t) \right] \quad (K=1,2) \quad (8.58)$$

Prin reducerea termenilor asemenea expresia (8.58) devine:

$$Q_{e_K} = -k_e \cdot l_1^2 \cdot \alpha_{xz} \cdot \frac{\partial \theta}{\partial q_K} \cdot [\alpha_{yz} \cdot \cos(\omega_r \cdot t) + \alpha_{xz} \cdot \sin(\omega_r \cdot t)] \quad (8.59)$$

Se observă că, în baza relației (8.41), paranteza pătrată din ultima relație capătă valoarea:

$$\alpha_{yz} \cdot \cos(\omega_r \cdot t) + \alpha_{xz} \cdot \sin(\omega_r \cdot t) = \sin \theta \quad (8.60)$$

Ținând seama și de condițiile (8.36), rezultă următoarea expresie generală finală pentru forțele generalizate elastice:

$$Q_{e_K} = -k_e \cdot l_1^2 \cdot \theta \cdot \frac{\partial \theta}{\partial q_K} \quad (K=1,2) \quad (8.61)$$

cu următoarele expresii concrete pentru forțele generalizate corespunzătoare celor două grade de libertate ale sistemului mecanic considerat ($\frac{\partial \theta}{\partial q_1} = \frac{\partial \theta}{\partial \psi} = 0$; $\frac{\partial \theta}{\partial q_2} = \frac{\partial \theta}{\partial \psi} = 1$):

$$\begin{aligned} Q_{e_1} &= 0 \\ Q_{e_2} &= -k_e \cdot l_1^2 \cdot \theta \end{aligned} \quad (8.62)$$

Calculul forțelor generalizate de amortizare

Rezistența de amortizare a elementului elastic echivalent va avea, în condițiile adoptării ipotezei de lucru (3), expresia:

$$\bar{\mathbf{R}}_a = -c \cdot \bar{\mathbf{v}}_B \quad (8.63)$$

unde c este constanta de amortizare menționată în ipoteză, iar \mathbf{v}_B este viteza excentricității fusului, dată de relația:

$$\bar{\mathbf{v}}_B = \bar{\omega} \times \bar{\mathbf{r}}_B = \begin{vmatrix} \mathbf{i}' & \mathbf{j}' & \mathbf{k}' \\ \omega'_x & \omega'_y & \omega'_z \\ 0 & 0 & -l_1 \end{vmatrix} \omega'_x \omega'_y \omega'_z \quad (8.64)$$

cu $\bar{\omega}$ având expresia (8.39) și cu proiecțiile vitezei unghiulare pe axele reperului legat de rigid date de relațiile (8.40).

Se obține astfel următoarea expresie pentru rezistența de amortizare:

$$\mathbf{R}_a = -c \cdot l_1 \cdot \omega'_y \cdot \mathbf{i}' + c \cdot l_1 \cdot \omega'_x \cdot \mathbf{j}' \quad (8.65)$$

rezultând de aici următoarele expresii pentru proiecțiile ei pe axele reperului invariabil legat de rigid:

$$\begin{cases} R'_{ax} = -c \cdot l_1 \cdot \omega'_y = c \cdot l_1 \cdot [\dot{\psi} \cdot \alpha_{yz} - \dot{\theta} \cdot \sin(\omega_t \cdot t)] \\ R'_{ay} = -c \cdot l_1 \cdot \omega'_x = c \cdot l_1 \cdot [\dot{\psi} \cdot \alpha_{xz} - \dot{\theta} \cdot \cos(\omega_t \cdot t)] \\ R'_{az} = 0 \end{cases} \quad (8.66)$$

Momentul rezultat în polul Q al rezistenței de amortizare, determinat prin relația:

$$\mathcal{M}_Q(\bar{\mathbf{R}}_a) = \bar{\mathbf{r}}'_B \times \bar{\mathbf{R}}_a = \begin{vmatrix} \mathbf{i}' & \mathbf{j}' & \mathbf{k}' \\ 0 & 0 & -l_1 \\ c \cdot l_1 \cdot \omega'_y & -c \cdot l_1 \cdot \omega'_x & 0 \end{vmatrix} \quad (8.67)$$

va avea următoarele proiecții pe axele reperului $Qx'y'z'$:

$$\begin{cases} \mathcal{M}'_{Qx}(\bar{\mathbf{R}}_a) = c \cdot l_1^2 \cdot \omega'_x = c \cdot l_1^2 \cdot [\dot{\psi} \cdot \alpha_{xz} + \dot{\theta} \cdot \cos(\omega_r \cdot t)] \\ \mathcal{M}'_{Qy}(\bar{\mathbf{R}}_a) = c \cdot l_1^2 \cdot \omega'_y = c \cdot l_1^2 \cdot [\dot{\psi} \cdot \alpha_{yz} - \dot{\theta} \cdot \sin(\omega_r \cdot t)] \\ \mathcal{M}'_{Qz}(\bar{\mathbf{R}}_a) = 0 \end{cases} \quad (8.68)$$

În consecință, forțele generalizate de amortizare vor fi date de relația generală:

$$Q_{a_k} = \mathcal{M}_Q(\bar{\mathbf{R}}_a) \cdot \frac{\partial \Theta}{\partial q_k} = \mathcal{M}'_{Qx}(\bar{\mathbf{R}}_a) \cdot \left(\frac{\partial \Theta}{\partial q_k} \right)'_x + \mathcal{M}'_{Qy}(\bar{\mathbf{R}}_a) \cdot \left(\frac{\partial \Theta}{\partial q_k} \right)'_y \quad (8.69)$$

care, prin considerarea relațiilor (8.68) și (8.57), va mai putea fi scrisă sub forma:

$$Q_{a_K} = c \cdot l_1^2 \cdot [\dot{\psi} \cdot \alpha_{xz} + \dot{\theta} \cdot \cos(\omega_r \cdot t)] \cdot \left[\frac{\partial \psi}{\partial q_K} \cdot \alpha_{xz} + \frac{\partial \theta}{\partial q_K} \cdot \cos(\omega_r \cdot t) \right] + \\ + c \cdot l_1^2 \cdot [\dot{\psi} \cdot \alpha_{yz} - \dot{\theta} \cdot \sin(\omega_r \cdot t)] \cdot \left[\frac{\partial \psi}{\partial q_K} \cdot \alpha_{yz} - \frac{\partial \theta}{\partial q_K} \cdot \sin(\omega_r \cdot t) \right] \quad (8.70)$$

sau încă, reducând termenii, sub forma:

$$Q_{a_K} = c \cdot l_1^2 \cdot \dot{\psi} \cdot \frac{\partial \theta}{\partial q_K} \cdot (\alpha_{xz}^2 + \alpha_{yz}^2) + c \cdot l_1^2 \cdot \dot{\theta} \cdot \frac{\partial \theta}{\partial q_K} + \\ + c \cdot l_1^2 \cdot (\dot{\psi} \cdot \frac{\partial \theta}{\partial q_K} + \dot{\theta} \cdot \frac{\partial \psi}{\partial q_K}) \cdot [\alpha_{xz} \cdot \cos(\omega_r \cdot t) - \alpha_{yz} \cdot \sin(\omega_r \cdot t)] \quad (8.71)$$

Observând că, în baza relațiilor (8.41) paranteza pătrată din membrul drept al ultimei relații ia valoarea zero și ținând seama de prima dintre relațiile (8.44) precum și de condiția (8.36), rezultă următoarea formă finală pentru expresia (8.71) a forței generalizate de amortizare:

$$Q_{a_K} = c \cdot l_1^2 \cdot \dot{\psi} \cdot \frac{\partial \psi}{\partial q_K} \cdot \theta^2 + c \cdot l_1^2 \cdot \dot{\theta} \cdot \frac{\partial \theta}{\partial q_K} \quad (K = 1,2) \quad (8.72)$$

cu următoarele expresii corespunzătoare celor două grade de libertate considerate:

$$Q_{a_1} = c \cdot l_1^2 \cdot \theta^2 \cdot \dot{\psi} \\ Q_{a_{12}} = c \cdot l_1^2 \cdot \dot{\theta} \quad (8.73)$$

Calculul forțelor generalizate de excitație

În condițiile precizate prin ipoteza de lucru din §8.1.2., momentul rezultat în polul Q al forțelor de inerție ale fusului, corespunzător rotației proprii, moment care joacă rolul de excitație inerțială, are expresia: M

$$\bar{M}_{c_{x_a}} = \bar{M}'_{Q(\text{rot})} = -\dot{\bar{K}}_{Q(\text{rot})} = -\left[\frac{d}{dt} (\bar{K}_{Q(\text{rot})}) \right]_r + \bar{\omega}_r \times \bar{K}_{Q(\text{rot})} \quad (8.74)$$

cu momentul cinetic $K_{Q(\text{rot})}$ dat de relația (8.34).

Observând că, în condițiile adoptării ipotezei de lucru (6) - §8.1.2., ($\omega_r = \text{const}$), derivata relativă a momentului cinetic corespunzător rotației proprii are valoarea zero:

$$\frac{d}{dt} [\bar{K}_{Q(\text{rot})}]_r = \frac{d}{dt} [-J^* \cdot \omega_r \cdot \bar{j}' + J \cdot \omega_r \cdot \bar{k}']_r = 0 \quad (8.75)$$

și că derivata de transport a acestui moment cinetic are expresia:

$$\bar{\omega} \times \bar{K}_{Q(\text{rot})} = \begin{vmatrix} \bar{i}' & \bar{j}' & \bar{k}' \\ 0 & 0 & \omega_r = J^* \cdot \omega_r^2 \cdot \bar{i}' \\ 0 & -J^* \cdot \omega_r & J \cdot \omega_r \end{vmatrix} \quad (8.76)$$

va rezulta următoarea expresie pentru momentul în polul Q al excitației inerțiale:

$$\bar{\mathcal{M}}_{\text{ex}_Q} = -J^* \cdot \omega_r^2 \cdot \bar{i}' = \mathcal{M}'_{\text{ex}_{Qx}} \cdot \bar{i}' \quad (8.77)$$

În consecință, forțele generalizate de excitație, determinate prin relația generală:

$$Q_{\text{ex}_K} = \bar{\mathcal{M}}'_{\text{ex}_{Qx}} \cdot \frac{\partial \bar{\Theta}}{\partial q_K} = \mathcal{M}'_{\text{ex}_{Qx}} \cdot \left(\frac{\partial \Theta}{\partial q_K} \right)'_x \quad (8.78)$$

vor avea, în baza relațiilor (8.77) și (8.57), expresia:

$$Q_{\text{ex}_K} = -J^* \cdot \omega_r^2 \cdot \left[\frac{\partial \psi}{\partial q_K} \cdot \alpha_{xz} + \frac{\partial \theta}{\partial q_K} \cdot \cos(\omega_r \cdot t) \right] \quad (K=1,2) \quad (8.79)$$

sau, ținând seama și de relațiile (8.41) precum și de condițiile menționate în §8.1.2., capătă expresia:

$$Q_{\text{ex}_K} = -J^* \cdot \omega_r^2 \cdot \theta \cdot \frac{\partial \psi}{\partial q_K} \cdot \sin(\omega_r \cdot t) - J^* \cdot \omega_r^2 \cdot \frac{\partial \theta}{\partial q_K} \cdot \cos(\omega_r \cdot t) \quad (K=1,2) \quad (8.80)$$

Expresiile concrete ale forțelor generalizate corespunzătoare celor două grade de libertate ale sistemului mecanic considerat vor avea deci formele:

$$\begin{aligned} Q_{\text{ex}_1} &= -J^* \cdot \omega_r^2 \cdot \theta \cdot \sin(\omega_r \cdot t) \\ Q_{\text{ex}_2} &= -J^* \cdot \omega_r^2 \cdot \cos(\omega_r \cdot t) \end{aligned} \quad (8.81)$$

8.2.1.2.3. Stabilirea ecuațiilor diferențiale de mișcare ale sistemului mecanic

În baza relațiilor (8.48), (8.62), (8.73) și (8.81) sistemul (8.38) de ecuații Lagrange, care va descrie mișcarea vibratorie fusului, va lua forma concretă:

$$\begin{aligned} \frac{\partial}{\partial t}(J \cdot \dot{\psi}) &= c \cdot l_1^2 \cdot \theta^2 \cdot \dot{\psi} - J^* \cdot \omega_r^2 \cdot \theta \cdot \sin(\omega_r \cdot t) \\ \frac{\partial}{\partial t}(J_0 \cdot \dot{\theta}) &= -k_c \cdot l_1^2 \cdot \theta + c \cdot l_1^2 \cdot \theta - J^* \cdot \omega_r^2 \cdot \cos(\omega_r \cdot t) \end{aligned} \quad (8.82)$$

care, prin ordonarea convenabilă a termenilor va mai putea fi scrisă sub forma:

$$\begin{aligned} \ddot{\psi} - \frac{c \cdot l_1^2}{J} \cdot \dot{\theta}^2 \cdot \dot{\psi} &= -\frac{J^*}{J} \cdot \omega_r^2 \cdot \theta \cdot \sin(\omega_r \cdot t) \\ \ddot{\theta} - \frac{c \cdot l_1^2}{J} \cdot \dot{\theta} + \frac{k_e \cdot l_1^2}{J_o} \cdot \theta &= -\frac{J^*}{J_o} \cdot \omega_r^2 \cdot \cos(\omega_r \cdot t) \end{aligned} \quad (8.83)$$

8.2.1.2.4. Integrarea sistemului de ecuații diferențiale de mișcare ale sistemului mecanic

Întrucât mișcarea vibratorie începe odată cu punerea în mișcare a mașinii de filat, deci fără deplasări și viteze unghiulare inițiale ale fusului, singurele soluții care vor interesa în cazul de față vor fi soluțiile particulare ale sistemului (8.83) corespunzătoare mișcării vibratorii forțate, în care se manifestă și fenomenul de rezonanță.

Se va observa mai întâi că cea de-a doua dintre ecuațiile (8.83) este o ecuație diferențială liniară cu coeficienți constanți, neomogenă, independentă.

Soluția particulară, corespunzătoare mișcării forțate, a acestei ecuații diferențiale, va avea forma:

$$\theta = A \cdot \cos(\omega_r \cdot t) + B \cdot \sin(\omega_r \cdot t) \quad (8.84)$$

cu constantele A și B posibil de determinat impunându-se condiția ca ea să verifice cea de-a doua dintre ecuațiile diferențiale (8.83).

Calculându-l pe $\dot{\theta}$:

$$\dot{\theta} = \omega_r \cdot [-A \cdot \sin(\omega_r \cdot t) + B \cdot \cos(\omega_r \cdot t)] \quad (8.85)$$

și pe $\ddot{\theta}$:

$$\ddot{\theta} = \omega_r^2 \cdot [-A \cdot \cos(\omega_r \cdot t) + B \cdot \sin(\omega_r \cdot t)] \quad (8.86)$$

și introducându-le, odată cu expresia (8.84) a lui θ , în cea de-a doua dintre ecuațiile diferențiale (8.83), se obține, după gruparea convenabilă a termenilor, identitatea:

$$\begin{aligned} &\left[\left(\frac{k_e \cdot l_1^2}{J_o} - \omega_r^2 \right) - \frac{c \cdot l_1^2}{J_o} \cdot \omega_r \cdot B \right] \cos(\omega_r \cdot t) + \left[\frac{c \cdot l_1^2}{J_o} \cdot \omega_r \cdot A + \left(\frac{k_e \cdot l_1^2}{J_o} - \omega_r^2 \right) \cdot B \right] \cdot \sin(\omega_r \cdot t) \equiv \\ &\equiv -\frac{J^*}{J_o} \cdot \omega_r^2 \cdot \cos(\omega_r \cdot t) \end{aligned} \quad (8.87)$$

cu consecințele:

$$\begin{aligned} \left(\frac{k_e \cdot l_1^2}{J_o} - \omega_r^2 \right) \cdot A - \frac{c \cdot l_1^2}{J_o} \cdot \omega_r \cdot B &= -\frac{J^*}{J_o} \cdot \omega_r^2 \\ \frac{c \cdot l_1^2}{J_o} \cdot \omega_r \cdot A + \left(\frac{k_e \cdot l_1^2}{J_o} - \omega_r^2 \right) \cdot B &= 0 \end{aligned} \quad (8.88)$$

Rezolvând în raport cu necunoscutele A și B sistemul precedent de ecuații algebrice, rezultă rădăcinile:

$$\begin{aligned} A &= \frac{\frac{J^*}{J_o} \cdot \left(\frac{k_e \cdot l_1^2}{J_o} - \omega_r^2 \right)}{\left(\frac{k_e \cdot l_1^2}{J_o} \cdot \omega_r^2 \right)^2 + \frac{c^2 \cdot l_1^4 \cdot \omega_r^2}{J_o^2}} \\ B &= \frac{\frac{J^*}{J_o^2} \cdot c \cdot l_1^2 \cdot \omega_r^2}{\left(\frac{k_e \cdot l_1^2}{J_o} \cdot \omega_r^2 \right)^2 + \frac{c^2 \cdot l_1^4 \cdot \omega_r^2}{J_o^2}} \end{aligned} \quad (8.89)$$

Soluția particulară a celei de-a doua dintre ecuațiile diferențiale (8.83), reprezentând ecuația finită a mișcării forțate corespunzătoare gradului de libertate θ a fusului, va avea forma:

$$\theta = \frac{\frac{J^*}{J_o} \cdot \omega_r^2}{\left(\frac{k_e \cdot l_1^2}{J_o} \cdot \omega_r^2 \right)^2 + \frac{c^2 \cdot l_1^4 \cdot \omega_r^2}{J_o^2}} \cdot \left[-\left(\frac{k_e \cdot l_1^2}{J_o} - \omega_r^2 \right) \cdot \cos(\omega_r \cdot t) + \frac{c}{J_o} \cdot l_1^2 \cdot \omega_r \cdot \sin(\omega_r \cdot t) \right] \quad (8.90)$$

sau încă:

$$\theta = \Theta \cdot \sin(\omega_r \cdot t - \beta) \quad (8.91)$$

cu constantele Θ și β având semnificațiile:

$$\Theta = \frac{\frac{J^* \cdot \omega_r}{c \cdot l_1^2}}{\sqrt{\left(\frac{k_e \cdot l_1^2}{J_o} \cdot \omega_r^2 \right)^2 + \frac{c^2 \cdot l_1^4 \cdot \omega_r^2}{J_o^2}}} \quad (8.92)$$

respectiv:

$$\beta = \operatorname{arctg} \left(\frac{\frac{k_e \cdot l_1^2}{J_o} - \omega_r^2}{\frac{c}{J_o} \cdot l_1^2 \cdot \omega_r} \right) \quad (8.93)$$

Trecând la prima dintre ecuațiile diferențiale (8.83) - cea corespunzătoare gradului de libertate ψ și ținând cont și de expresia determinată (8.91) a parametrului langrangian θ , această ecuație diferențială va putea fi retranscrisă sub forma:

$$\ddot{\psi} - \frac{c \cdot l_1^2}{J} \cdot \Theta^2 \cdot \sin^2(\omega_r \cdot t - \beta) \cdot \dot{\psi} = -\frac{J}{J_o} \cdot \omega_r \cdot \Theta \cdot \sin(\omega_r \cdot t - \beta) \cdot \sin(\omega_r \cdot t) \quad (8.94)$$

sau efectuând înlocuirile:

$$\begin{aligned} \sin^2(\omega_r \cdot t - \beta) &= \frac{1}{2} \cdot [1 - \cos 2(\omega_r \cdot t - \beta)] \\ \sin(\omega_r \cdot t - \beta) \cdot \sin(\omega_r \cdot t) &= \frac{1}{2} \cdot [\cos \beta - \cos(2 \cdot \omega_r \cdot t - \beta)] \end{aligned} \quad (8.95)$$

sub forma:

$$\begin{aligned} \ddot{\psi} - \frac{c \cdot l_1^2}{2 \cdot J} \cdot \Theta^2 \cdot [1 - \cos(2\omega_r \cdot t - 2\beta)] \cdot \dot{\psi} &= -\frac{J^* \omega_r \cdot \Theta}{2 \cdot J_o} \cdot \cos \beta + \\ + \frac{J^* \omega_r \cdot \Theta}{2 \cdot J_o} \cdot \cos(2\omega_r \cdot t - \beta) \end{aligned} \quad (8.96)$$

După cum se observă, mișcarea fusului corespunzătoare gradului de libertate ψ , este descrisă printr-o ecuație diferențială liniară neomogenă, cu coeficienți periodici.

Introducând, pentru simplificarea calculelor, notațiile:

$$\begin{aligned} a &= \frac{c \cdot l_1^2}{2 \cdot J} \cdot \Theta^2 \\ b &= \frac{J^* \omega_r \cdot \Theta}{2 \cdot J_o} \end{aligned} \quad (8.97)$$

și:

$$f(t) = 1 - \cos(2\omega_r \cdot t - 2 \cdot \beta) \quad (8.98)$$

ecuația diferențială (8.96) va putea fi retranscrisă sub forma:

$$\ddot{\psi} - a \cdot f(t) \cdot \dot{\psi} = -b \cdot \cos \beta + b \cdot \cos(2\omega_r \cdot t - \beta) \quad (8.99)$$

Prin înmulțirea apoi, a relației precedente, cu expresia:

$$p(t) = e^{-a \int f(t) dt} \quad (8.100)$$

cu:

$$p(t) = -a \cdot f(t) \cdot e^{-a \int f(t) dt} \quad (8.101)$$

ecuația considerată mai ia forma:

$$p(t) \cdot \dot{\psi} + \dot{p}(t) \cdot \psi = -b \cdot \cos \beta \cdot p(t) + b \cdot p(t) \cdot \cos(2\omega_r \cdot t - \beta) \quad (8.102)$$

Este suficient acum să se observe că membrul stâng al ultimei ecuații reprezintă derivata în raport cu timpul a expresiei:

$$\zeta = p(t) \cdot \psi \quad (8.103)$$

pentru ca ecuația diferențială considerată să poată fi adusă la forma:

$$\frac{d\zeta}{dt} = -b \cdot \cos \beta \cdot \int p(t) + b \cdot p(t) \cdot \cos(2\omega_r \cdot t - \beta) \quad (8.104)$$

rezultând de aici, prin integrare, relația:

$$\zeta = -b \cdot \cos \beta \cdot \int p(t) \cdot dt + b \cdot \int p(t) \cdot \cos(2\omega_r \cdot t - \beta) \cdot dt + C_1 \quad (8.105)$$

C_1 fiind o constantă de integrare.

Introducând, în continuare, funcțiile:

$$F(t) = \int p(t) \cdot dt = \quad (8.106)$$

și:

$$G(t) = \int p(t) \cdot \cos(2\omega_r \cdot t - \beta) \cdot dt \quad (8.107)$$

integrala (8.105) va mai putea fi scrisă sub forma:

$$\zeta = -b \cdot \cos \beta \cdot F(t) + b \cdot G(t) + C_1 \quad (8.108)$$

de unde, ținând seama și de notația (8.103) mai rezultă:

$$p(t) \cdot \psi = -b \cdot \cos \beta \cdot F(t) + b \cdot G(t) + C_1 \quad (8.109)$$

și deci:

$$\psi = -b \cdot \cos \beta \cdot \frac{F(t)}{p(t)} + b \cdot \frac{G(t)}{p(t)} + \frac{C_1}{p(t)} \quad (8.110)$$

O nouă integrare va conduce la soluția generală:

$$\psi = -b \cdot \cos \beta \cdot \int \frac{F(t)}{p(t)} \cdot dt + b \cdot \int \frac{G(t)}{p(t)} \cdot dt + C_1 \cdot \int \frac{dt}{p(t)} + C_2 \quad (8.111)$$

sau încă:

$$\psi = -b \cdot \cos \beta \cdot H(t) + b \cdot K(t) + C_1 \cdot L(t) + C_2 \quad (8.112)$$

unde: C_2 este o nouă constantă de integrare, iar prin $H(t)$, $K(t)$ și $L(t)$ au fost notate funcțiile:

$$H(t) = \int \frac{F(t)}{p(t)} \cdot dt \quad (8.113)$$

$$K(t) = \int \frac{G(t)}{p(t)} \cdot dt \quad (8.114)$$

$$L(t) = \int \frac{dt}{p(t)} \quad (8.115)$$

Impunând în sistemul de relații reprezentat prin integrala primă (8.110) și prin soluția generală (8.112) condițiile inițiale:

$$t=0 \quad \{\psi(0)=\psi^0; \dot{\psi}(0)=0\}$$

adică fusul începe să capete mișcarea vibratorie din poziția de repaos, se obține sistemul de ecuații algebrice:

$$0 = -b \cdot \cos\beta \cdot \frac{F(0)}{p(0)} + b \cdot \frac{G(0)}{p(0)} + \frac{C_1}{p(0)}$$

$$\psi^0 = -b \cdot \cos\beta \cdot H(0) + b \cdot K(0) + C_1 \cdot L(0) + C_2 \quad (8.116)$$

care vor permite și determinarea constantelor de integrare, acestea având valorile:

$$C_1 = b \cdot [\cos\beta \cdot F(0) - G(0)]$$

$$C_2 = \psi^0 + b \cdot [\cos\beta \cdot H(0) - K(0)] - b \cdot L_0 \cdot [\cos\beta \cdot F(0) - G(0)] =$$

$$= \psi^0 + b \cdot [\cos\beta \cdot (H(0) - L(0) \cdot F(0) - (K(0) - L(0) \cdot G(0)))] \quad (8.117)$$

Introducerea acestor valori ale constantelor de integrare în soluția generală (8.112) va furniza și ecuația finală a mișcării fusului, corespunzătoare gradului de libertate ψ .

În ceea ce privește calculul efectiv al funcțiilor $p(t)$, $F(t)$, $H(t)$, $K(t)$ și $L(t)$, el va putea fi realizat cu unele aproximații justificate de faptul că se poate demonstra că valoarea constantei a , definită prin relația (8.97), este foarte mică în raport cu unitatea.

Într-adevăr, luând ca exemplu fusul caracterizat prin valorile:

$$l_1 = 0,12 \text{ m}$$

$$J = 0,144 \cdot 10^{-6} \text{ kg} \cdot \text{m}^2$$

și considerând o turație a fuselor $n_f = 12000 \text{ rot/min}$ căreia îi corespunde viteza unghiulară:

$$\omega_r = \frac{\pi \cdot n_f}{30} = \frac{\pi \cdot 12000}{30} = 1256 \text{ [s}^{-1}\text{]}$$

constanta de amortizare medie a cuplajului elastic al lagărului pivot va avea valoarea:

$$c = 30 \text{ Ns/m}$$

În consecință, factorul $\frac{c \cdot l_1^2}{2 \cdot J}$, care înmulțește pe Θ^2 în expresia (8.97) a lui a , va avea valoarea:

$$\frac{c \cdot l_1^2}{2 \cdot J} = 15 \cdot 10^5$$

și deci înmulțirea lui cu pătratul amplitudinii unghiului de nutație, care este de ordinul $\Theta = 10^4$, conduce la concluzia:

$$a = \frac{c \cdot l_1^2}{2 \cdot J} \cdot \Theta^2 = 15 \cdot 10^{-3} = 0,015 \ll 1 \quad (8.118)$$

În consecință, înlocuirea, în relația (8.100), a lui $p(t)$ cu expresia (8.98) va conduce la relația:

$$p(t) = e^{-a \cdot \int [1 - \cos(2\omega_r \cdot t - 2\beta)] dt} = e^{-a \cdot \left[t - \frac{1}{2\omega_r} \sin(2\omega_r \cdot t - 2\beta) \right]} \quad (8.119)$$

sau încă:

$$p(t) = e^{-at} \cdot e^{\frac{a}{2\omega_r} \cdot \sin(2\omega_r \cdot t - 2\beta)} \quad (8.120)$$

În condițiile (8.118), se vor putea dezvolta exponențialele din membrul drept al ultimei relații în serie de puteri ori termeni, adică se va putea accepta aproximarea:

$$\begin{aligned} p(t) &\approx (1 - a \cdot t) \cdot \left[1 - \frac{a}{2 \cdot \omega_r} \cdot \sin(2\omega_r \cdot t - 2\beta) \right] = \\ &= 1 + \frac{a}{2 \cdot \omega_r} \cdot \sin(2\omega_r \cdot t - 2\beta) - a \cdot \left[1 - \frac{a}{2\omega_r \cdot t} \sin(2\omega_r \cdot t - 2\beta) \right] \cdot t \end{aligned} \quad (8.121)$$

sau încă, neglijând, din aceleași motive, și ultimul termen, aproximarea:

$$p(t) \approx 1 + \frac{a}{2 \cdot \omega_r} \cdot \sin(2\omega_r \cdot t - 2\beta) - a \cdot t \quad (8.122)$$

cu:

$$p(0) = 1 + \frac{a}{2 \cdot \omega_r} \cdot \sin(2\beta) \quad (8.123)$$

Introducerea expresiei (8.122) în relațiile (8.106), (8.107), (8.112), (8.113) și (8.114) de definiție a funcțiilor $F(t)$, $G(t)$, $H(t)$, $K(t)$ și $L(t)$ va conduce la expresii mai ușor integrabile sub semnele de integrare respective.

Un rezultat care satisface în foarte mare măsură cerințele de precizie ale practicii, poate fi obținut prin neglijarea, în ecuația (8.96), a

amortizării, neglijare justificată de prezența factorului foarte mic Θ^2 în coeficientul $\dot{\psi}$; ținând seama că în această situație neglijarea amortizării implică considerarea valorii:

$$\beta \approx \frac{\pi}{2}$$

pentru faza inițială, cu consecința:

$$\cos\beta = 0$$

ecuația diferențială (8.96) va căpăta, folosind și notațiile (8.97) forma simplificată:

$$\ddot{\psi} = b \cdot \cos(2\omega_r \cdot t - \frac{\pi}{2}) = b \cdot \sin(2\omega_r \cdot t) \quad (8.124)$$

cu integrala primă:

$$\dot{\psi} = \frac{b}{2 \cdot \omega_r} \cdot \cos(2\omega_r \cdot t) + C_1 \quad (8.125)$$

și cu soluția generală:

$$\psi = -\frac{b}{4 \cdot \omega_r \cdot t} \cdot \sin(2\omega_r \cdot t) + C_1 \cdot t + C_2 \quad (8.126)$$

C_1 și C_2 fiind constante de integrare.

Introducerea condițiilor inițiale (8.115) în relațiile (8.124) și (8.125), conduce la următoarele valori ale constantelor de integrare:

$$C_1 = \frac{b}{2 \cdot \omega_r}; \quad (8.127)$$

$$C_2 = \psi^0$$

iar înlocuirea lor în soluția generală (8.126) permite să se scrie acum și ecuația finită a mișcării fusului, pentru gradul de libertate ψ corespunzătoare cazului când se neglijează amortizarea:

$$\psi = \psi^0 + \frac{b}{2 \cdot \omega_r} \cdot t + \frac{b}{4 \cdot \omega_r^2} \cdot t - \sin(2\omega_r \cdot t) \quad (8.128)$$

8.2.1.2.5. Interpretarea și prelucrarea soluțiilor generale ale mișcării vibratorii a fusului

Considerând că în ecuația diferențială a mișcării fusului, corespunzătoare gradului de libertate ψ , se neglijează amortizarea, ecuațiile finite ale mișcării vibratorii a fusului vor avea formele:

$$\psi = (\psi^0 + \frac{b}{2 \cdot \omega_r} \cdot t) - \frac{b}{4 \cdot \omega_r^2} \cdot \sin(2\omega_r \cdot t)$$

$$\theta = \Theta \cdot \sin(\omega_r \cdot t - \beta) \quad (8.129)$$

Se observă că în timp ce unghiul de nutație variază după o lege armonică, cu pulsația ω_r , legea de variație a unghiului de precesie cuprinde două grupuri de termeni: un grup de termeni corespunzând unei variații liniare și un termen perturbator, corespunzător unei variații armonice, de pulsație $2\omega_r$ și de amplitudine mică $\left(\frac{b}{4 \cdot \omega_r^2}\right)$.

Considerând extremitatea liberă C a axei fusului – figura 8.3, situată la distanța l_2 de polul Q, deci de coordonate:

$$\begin{aligned} x'_c &= 0; \\ y'_c &= 0; \\ z'_c &= l_2 \end{aligned}$$

ecuațiile parametrice ale traiectoriei lui vor avea formele:

$$\begin{cases} x = l_2 \cdot \alpha_{zx} = l_2 \cdot \sin \psi \cdot \sin \theta \\ y = l_2 \cdot \alpha_{xy} = -l_2 \cdot \cos \psi \cdot \sin \theta \\ z = l_2 \cdot \alpha_{zz} = l_2 \cdot \cos \theta \end{cases} \quad (8.130)$$

Prima dintre condițiile menționate în §8.1.2. permite să se accepte aproximarea:

$$z \approx l_2 \quad (8.131)$$

în concordanță cu ipotezele adoptate la începutul studiului.

Se poate trage deci concluzia că punctul C al fusului se deplasează într-un plan orizontal, după ecuațiile:

$$\begin{cases} x \approx \theta \cdot l_2 \cdot \sin \psi = \Theta \cdot l_2 \cdot \sin \psi \cdot \sin(\omega_r \cdot t - \beta) \\ y \approx -\theta \cdot l_2 \cdot \cos \psi = -\Theta \cdot l_2 \cdot \cos \psi \cdot \sin(\omega_r \cdot t - \beta) \end{cases} \quad (8.132)$$

Dacă se neglijează, datorită valorii mici a amplitudinii, termenul perturbator din expresia lui ψ , ecuațiile precedente mai pot fi scrise sub forma:

$$\begin{cases} x = \Theta \cdot l_2 \sin \cdot \left(\frac{b}{2 \cdot \omega_r} \cdot t + \psi^0\right) \cdot \sin(\omega_r \cdot t - \beta) \\ y = \Theta \cdot l_2 \cos \cdot \left(\frac{b}{2 \cdot \omega_r} \cdot t + \psi^0\right) \cdot \sin(\omega_r \cdot t - \beta) \end{cases} \quad (8.133)$$

Pentru a studia traiectoria punctului C se va recurge la coordonatele polare ρ și χ , definite prin relațiile:

$$\rho = \sqrt{x^2 + y^2} = \Theta \cdot l_2 \cdot |\sin(\omega_r \cdot t - \beta_r)|$$

$$\chi = \operatorname{arctg} \frac{y}{x} = \operatorname{arctg} \left[-\operatorname{ctg} \left(\frac{b}{2\omega_r} \cdot t + \psi^0 \right) \right] \quad (8.134)$$

Se observă că raza polară variază periodic cu timpul între valorile θ și $(\Theta \cdot l_2)$, cu perioada:

$$T_p = \frac{2\pi}{\omega_r} \quad (8.135)$$

în timp ce a doua dintre relațiile (8.134), scrisă încă sub forma:

$$\operatorname{tg} x = -\operatorname{cot} g \left(\frac{b}{2 \cdot \omega_r} \cdot t + \psi^0 \right) = \operatorname{tg} \left[\frac{b}{2 \cdot \omega_r} \cdot t + \left(\frac{\pi}{2} + \psi^0 \right) \right] \quad (8.136)$$

rezultă o variație liniară a unghiului polar:

$$\chi = \frac{b}{2 \cdot \omega_r} \cdot t + \left(\frac{\pi}{2} + \psi^0 \right) \quad (8.137)$$

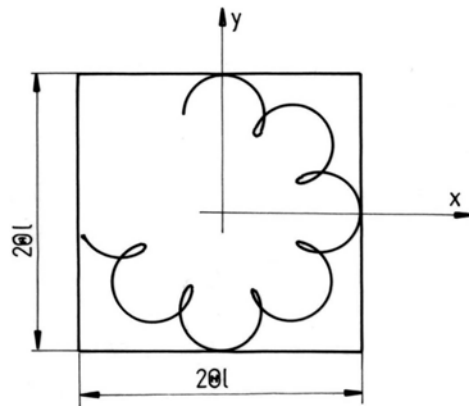


Fig. 8.54

Observațiile precedente explică forma din figura 8.54 a traiectoriei extremității fusului, formă stabilă și pe cale experimentală.

Unele concluzii pot fi trase și în legătură cu apariția fenomenului de rezonanță, care se va manifesta, în cazul de față, prin valori mari ale amplitudinii Θ a unghiului de nutație. Examinarea expresiei (8.92) a acestei amplitudini arată că ea depinde de viteza unghiulară de rotație proprie a

fusului după o relație de forma:

$$\Theta = \frac{\alpha \cdot \omega_r}{\sqrt{(\beta^2 - \omega_r^2) + \gamma^2 \cdot \omega_r^2}} = \Theta(\omega_r) \quad (8.138)$$

în care constantele α , β și γ au semnificațiile:

$$\begin{aligned}\alpha &= \frac{J^*}{c \cdot l_1^2}; \\ \beta &= \sqrt{\frac{k_e \cdot l_1^2}{J_o}}; \\ \gamma &= \frac{c \cdot l_1^2}{J_o}\end{aligned}\quad (8.139)$$

Condiția de extremum a lui $\Theta(\omega_r)$ se va traduce deci prin relația:

$$\left(\frac{d\Theta}{d\omega_r} \right) \cdot \omega_r = \omega_n = 0 \quad (8.140)$$

ω_n fiind pulsația critică de rezonanță.

Derivata în raport cu ω_r a funcției $\Theta(\omega_r)$ va avea expresia:

$$\frac{d\Theta}{d\omega_r} = \frac{\alpha \cdot (\beta^4 - \omega_r^4)}{(\sqrt{\beta^4 - \omega_r^2} + \gamma^2 \cdot \omega_r^2)^3} \quad (8.141)$$

și ea se va anula pentru valoarea:

$$\omega_{r_{cr}} = \beta = \sqrt{\frac{k_e \cdot l_1^2}{J_o}} \quad (8.142)$$

a vitezei unghiulare a fusului.

Pentru această pulsație critică de rezonanță, amplitudinea Θ ia valoarea maximă:

$$\Theta_{\max} = \frac{\alpha}{\gamma} = \frac{J^* \cdot J_o}{c^2 \cdot l_1^4} \quad (8.143)$$

În cazul când s-ar fi neglijat amortizarea și în ecuația diferențială corespunzătoare gradului de libertate $\theta(c < 0; \beta = \frac{\pi}{2})$, ecuația finită (8.91) ar fi luat forma:

$$\theta = -\Theta \cdot \cos(\omega_r \cdot t) \quad (8.144)$$

cu amplitudinea Θ având acum expresia:

$$\Theta = \frac{\frac{J^*}{J_o} \cdot \omega_r^2}{\frac{k_e \cdot l_1^2}{J_o} - \omega_r^2} \quad (8.145)$$

ea devenind infinită pentru:

$$\omega_r = \omega_{r_{cr}} = \sqrt{\frac{k_e \cdot I_1^2}{J_o}} \quad (8.146)$$

Comparația relațiilor (8.143) și (8.145) precum și examinarea relației (8.143), permite să se tragă următoarele două concluzii privind mișcarea vibratorie a fusului.

- pulsația de rezonanță a fusului este independentă de amortizare;
- amplitudinea de rezonanță depinde de amortizare, devenind infinită în cazul amortizării neglijabile.

8.2.2. Studiul teoretic al dinamicii fuselor textile cu rezemare elastică a ambelor lagăre și cu amortizare hidraulică

Modelele fizic și matematic aflate la baza studiului teoretic al dinamicii fuselor textile cu rezemare elastică a ambelor lagăre sunt prezentate în figura 8.55. Notațiile utilizate au semnificațiile asemănătoare cu cele întâlnite la modelul din figura 8.51, cu excepția coeficienților K și c cărora li se atașează, în acest caz analizat, indici corespunzători celor două lagăre – K_i, K_s, c_i, c_s .

8.2.2.1. Modelul matematic al comportamentului dinamic

Modelul matematic cuprinde aceleași patru elemente principale ca și în cazul sistemului studiat anterior. Determinarea ecuațiilor de mișcare caracteristice acestui model s-a realizat în principal pe baza aceluiași ipoteze ca și în cazul fusului cu un singur reazem elastic legat la cupă. Ipotezele c), d) și e) din §8.2.1.1. sunt formulate pentru acest model astfel:

c) - în poziția verticală a axului tijeii, elementele elastice nu sunt deformat;

d) - forțele elastice și de amortizare corespunzătoare celor două reazeme sunt situate în două plane paralele cu un plan fix, perpendiculare pe axa verticală a tijeii în repaus și au direcții radiale instantanee în aceste plane;

e) - forțele elastice sunt subordonate legii lui Hooke, iar forțele de amortizare sunt de tip vâscos.

Sistemul fix de axe $Oxyz$ se adoptă cu originea în mijlocul lagărului inferior și cu axa Oz suprapusă peste axa geometrică a tijeii, când aceasta se află în repaus.

Mișcarea celor patru elemente este studiată în raport cu punctul fix O .

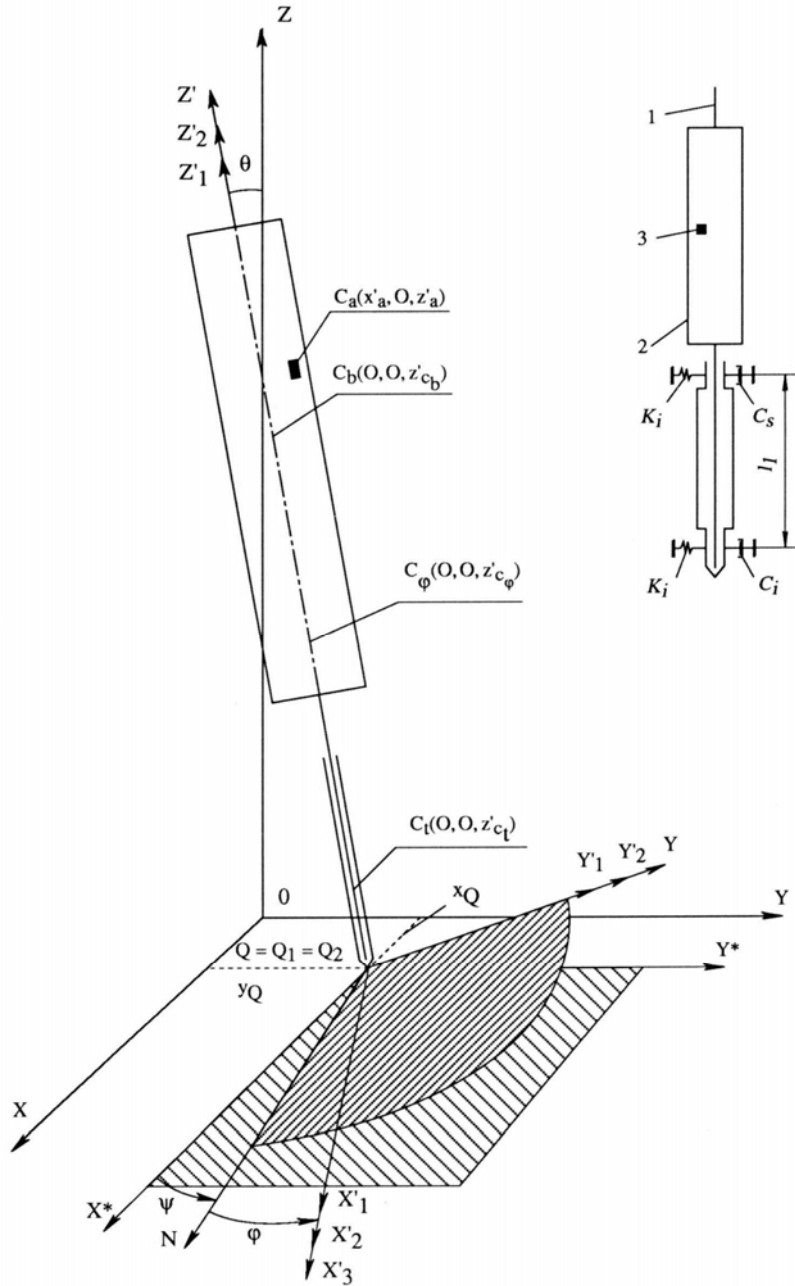


Fig. 8.55

Și pentru noul sistem adoptat rămân valabile observațiile referitoare la alegerea sistemelor de axe mobile atașate elementelor componente: $Qx'y'z' \equiv Qx_1'y_1'z_1' \equiv Qx_2'y_2'z_2'$. Nu este valabilă în acest caz coincidența între Q și $O(Q \neq O)$.

Aceleași ecuații de legătură (8.1) se stabilesc și în cazul modelului cu două reazeme elastice.

Centrul sistemului mobil, invariabil legat de elementele în mișcare este stabilit în centrul lagărului inferior al fusului textil; în consecință acest punct va executa o mișcare plan-paralelă în xOy . Deplasarea lui Q pe direcția axei Oz nu este posibilă datorită soluției constructive a ansamblului.

Și pentru acest model, axele reperului mobil Ox' și Oy' sunt axe principale de inerție relative la polul Q , iar axa Qz este chiar axa centrală de inerție.

Modelarea matematică se bazează pe următoarele date cunoscute:

-parametri constructivi ai fusului;

-caracteristicile inerțiale - masele (M_f, M_b, M_t, M_a) și momentele de inerție ($J_{xx'}, J_{yy'}, J_{zz'}$ - cu $J_{xx'} = J_{yy'}$ pentru fus, bobină și tub de legătură);

-coordonatele centrelor de masă ale tuturor elementelor componente – $C_f(O, O, z'_{cf}), C_b(O, O, z'_{cb}), C_t(O, O, z'_{ct})$ și $C_a(z'_a, O, z'_a)$.

Coordonatele generalizate ale acestui model studiat sunt x_Q, y_Q, θ, ψ și φ ; ele reprezintă cele cinci grade de libertate ale sistemului în mișcare.

Ecuațiile Lagrange de speța a II-a capată în acest context următoarea configurație:

$$\begin{aligned}
 \frac{d}{dt} \cdot \frac{\partial E_c}{\partial \dot{x}_Q} - \frac{\partial E_c}{\partial x_Q} &= -\frac{\partial \nu}{\partial x_Q} + Q_{x_Q}^{(dis)} + Q_{x_Q}^{(m)} \\
 \frac{d}{dt} \cdot \frac{\partial E_c}{\partial \dot{y}_Q} - \frac{\partial E_c}{\partial y_Q} &= -\frac{\partial \nu}{\partial y_Q} + Q_{y_Q}^{(dis)} + Q_{y_Q}^{(m)} \\
 \frac{d}{dt} \cdot \frac{\partial E_c}{\partial \dot{\theta}_Q} - \frac{\partial E_c}{\partial \theta_Q} &= -\frac{\partial \nu}{\partial \theta_Q} + Q_{\theta_Q}^{(dis)} + Q_{\theta_Q}^{(m)} \\
 \frac{d}{dt} \cdot \frac{\partial E_c}{\partial \dot{\psi}_Q} - \frac{\partial E_c}{\partial \psi_Q} &= -\frac{\partial \nu}{\partial \psi_Q} + Q_{\psi_Q}^{(dis)} + Q_{\psi_Q}^{(m)} \\
 \frac{d}{dt} \cdot \frac{\partial E_c}{\partial \dot{\varphi}_Q} - \frac{\partial E_c}{\partial \varphi_Q} &= -\frac{\partial \nu}{\partial \varphi_Q} + Q_{\varphi_Q}^{(dis)} + Q_{\varphi_Q}^{(m)}
 \end{aligned} \tag{8.147}$$

8.2.2.2. Stabilirea relațiilor cinematice necesare studiului dinamic

Pentru modelul de fus cu două lagăre legate elastic de cupă rămân valabile atât relațiile (8.3)...(8.8), cât și semnificațiile acestora.

Întrucât fusul, bobina, tubul de legătură al lagărelor și masa auxiliară se află în mișcare în raport cu punctual fix O trebuie stabilită viteza de transport a punctului Q:

$$v_Q = \sqrt{\dot{x}_Q^2 + \dot{y}_Q^2} \quad (8.148)$$

8.2.2.3. Stabilirea expresiei energiei cinetice a sistemului mecanic în funcție de parametri langrangeieni și de vitezele generalizate

Energia cinetică a sistemului este:

$$E_c = E_{c_t} + E_{c_l} + E_{c_a} \quad (8.149)$$

în care: E_{c_t} este energia cinetică a subansamblului tijă-bobină,

E_{c_l} – energia cinetică a tubului de legătură a lagărelor,

E_{c_a} – energia cinetică a masei de dezechilibru.

Aceste categorii de energii cinetice sunt definite de următoarele relații:

$$E_{c_t} = 0.5 \cdot (M_f + M_b) \cdot v_Q^2 + (M_f + M_b) \cdot \bar{v}_Q \cdot (\varpi_x x \bar{\Gamma}_{c_t+b}^{\prime}) + 0.5 \cdot (J'_{xx_f} + J'_{xx_b}) \cdot (\omega_x'^2 + \omega_y'^2) + 0.5 \cdot (J'_{xx_f} + J'_{xx_b}) \cdot \omega_z'^2 \quad (8.150)$$

$$E_{c_l} = 0.5 \cdot M_t \cdot v_Q^2 + M_t \cdot \bar{v}_Q \cdot (\varpi_t x \bar{\Gamma}_{c_t}^{\prime}) + 0.5 \cdot [J'_{xx_f} \cdot (\omega_x'^2 + \omega_y'^2) + J'_{zz_t} \cdot \omega_z'^2] \quad (8.151)$$

$$E_{c_a} = 0.5 \cdot M_a \cdot v_Q^2 + M_a \cdot \bar{v}_Q \cdot (\varpi_t x \bar{\Gamma}_a^{\prime}) + 0.5 \cdot M_a \cdot [z_a'^2 \cdot \omega_x'^2 + (x_a'^2 + x_a'^2) \cdot \omega_z'^2] + 0.5 \cdot M_a \cdot (x_a'^2 \cdot \omega_z'^2 - x_a' \cdot z_a' \cdot \omega_x' \cdot \omega_z') \quad (8.152)$$

Expresia finală corespunzătoare energiei cinetice a sistemului analizat se obține prin înlocuirea succesivă a relațiilor (8.5) și (8.8) în (8.150), (8.151) și (8.152), respectiv a acestora în relația (8.149).

$$\begin{aligned}
E_c = & 0,5 \cdot (M + M_a) \cdot (\dot{x}_Q^2 + \dot{y}_Q^2) + (D + M_a \cdot z_a') \cdot \dot{x}_Q \cdot (\dot{\theta} \cdot \cos \theta \cdot \sin \psi + \dot{\psi} \cdot \sin \theta \cdot \cos \psi) + \\
& + M_a \cdot x_a' \cdot \dot{x}_Q \cdot \dot{\theta} \cdot \sin \theta \cdot \sin \psi \cdot \sin \varphi - M_a \cdot x_a' \cdot \dot{x}_Q \cdot \dot{\psi} \cdot (\cos \theta \cdot \cos \psi \cdot \sin \varphi + \sin \psi \cdot \cos \varphi) - \\
& - M_a \cdot x_a' \cdot \dot{x}_Q \cdot \dot{\varphi} \cdot (\cos \theta \cdot \sin \psi \cdot \cos \varphi + \cos \psi \cdot \sin \varphi) - (D + M_a \cdot z_a') \cdot \dot{y}_Q \cdot \dot{\theta} \cdot \cos \theta \cdot \cos \psi + \\
& + (D + M_a \cdot z_a') \cdot \dot{y}_Q \cdot \dot{\psi} \cdot \sin \theta \cdot \sin \psi + M_a \cdot x_a' \cdot \dot{y}_Q \cdot \dot{\psi} \cdot (\cos \psi \cdot \cos \varphi - \cos \theta \cdot \sin \psi \cdot \sin \varphi) - \\
& - M_a \cdot x_a' \cdot \dot{y}_Q \cdot \dot{\theta} \cdot \sin \theta \cdot \cos \psi \cdot \sin \varphi + M_a \cdot x_a' \cdot \dot{y}_Q \cdot \dot{\varphi} \cdot (\cos \theta \cdot \cos \psi \cdot \cos \varphi - \sin \psi \cdot \sin \varphi) + \\
& + 0,5 \cdot (I + M_a \cdot z_a'^2) \cdot \dot{\theta}^2 + 0,5 \cdot M_a \cdot x_a'^2 \cdot \dot{\theta}^2 \cdot \sin^2 \theta - 0,5 \cdot M_a \cdot x_a'^2 \cdot \dot{\theta} \cdot \dot{\psi} \cdot \sin \theta \cdot \sin 2\varphi - \\
& - M_a \cdot x_a' \cdot z_a' \cdot \dot{\theta} \cdot \dot{\psi} \cdot \cos \theta \cdot \cos \varphi - M_a \cdot x_a' \cdot z_a' \cdot \dot{\theta} \cdot \dot{\varphi} \cdot \cos \varphi + 0,5 \cdot (J + L + M_a \cdot x_a'^2) \cdot \dot{\psi}^2 + \\
& + 0,5 \cdot (I - J - M_a \cdot z_a'^2) \cdot \dot{\psi}^2 + 0,5 \cdot (I - J - L + M_a \cdot z_a'^2) \cdot \dot{\psi}^2 \cdot \sin^2 \theta - \\
& - 0,5 \cdot M_a \cdot x_a' \cdot z_a' \cdot \dot{\psi}^2 \cdot \sin 2\theta \cdot \sin \varphi - 0,5 \cdot M_a \cdot x_a'^2 \cdot \dot{\psi}^2 \cdot \sin^2 \theta \cdot \sin^2 \varphi + \\
& + (J + M_a \cdot x_a'^2 \cdot \dot{\psi} \cdot \dot{\varphi} \cdot \cos \theta - M_a \cdot x_a' \cdot z_a' \cdot \dot{\psi} \cdot \dot{\varphi} \cdot \sin \theta \cdot \sin \varphi + 0,5 \cdot (J + M_a \cdot x_a'^2) \cdot \dot{\varphi}^2
\end{aligned}
\tag{8.153}$$

8.2.2.4. Calculul forțelor generalizate ale sistemului mecanic

Energia potențială a sistemului este :

$$v = v_1 + v_2 \tag{8.154}$$

în care:

v_1 este energia forțelor de greutate,

v_2 - energia forțelor elastice de la cele două lagăre.

$$v_1 = M \cdot g \cdot z_c \tag{8.155}$$

$$v_2 = 0,5 \cdot (k_i \cdot r_i^2 + k_s \cdot r_s^2) \tag{8.156}$$

În relațiile (8.155) și (8.156) mărimile M și z_c au expresiile și semnificațiile prezentate în §8.2.1.1.4. Pentru noul model studiat r_i și r_s reprezintă distanțele pe direcțiile radiale a lagărelor inferior și superior în raport cu axa Oz la un moment dat:

$$r_i^2 = x_Q^2 + y_Q^2 \tag{8.157}$$

$$r_s^2 = (x_Q + l_1 \cdot \sin \theta \cdot \sin \Psi)^2 + (y_Q - l_1 \cdot \sin \theta \cdot \cos \Psi)^2 \tag{8.158}$$

Prin înlocuirea mai întâi a relațiilor (8.18), (8.157) și (8.158) în (8.155) și (8.156), iar apoi a acestora două în (8.154) se obține expresia energiei potențiale corespunzătoare modelului analizat:

$$\begin{aligned}
v = & 0,5 \cdot (k_i + k_s) \cdot (x_Q^2 + y_Q^2) + k_s \cdot l_1 \cdot \sin \theta \cdot (x_Q \cdot \sin \Psi - y_Q \cdot \cos \Psi) + \\
& + 0,5 \cdot k_s \cdot l_1^2 \cdot \sin^2 \theta + (D + M_a \cdot z_a') \cdot g \cdot \cos \theta + M_a \cdot x_a' \cdot g \cdot \sin \theta \cdot \sin \varphi
\end{aligned}
\tag{8.159}$$

Forțele generalizate se obțin cu ajutorul funcției disipative Rayleigh:

$$\mathcal{R} = 0,5 \cdot c_i \cdot \dot{r}_i^2 + 0,5 \cdot c_s \cdot \dot{r}_s^2 \tag{8.160}$$

în care, \dot{r}_i și \dot{r}_s reprezintă vitezele radiale instantanee ale centrelor celor două lagăre, viteze care au expresiile stabilite cu ajutorul relațiilor (8.157) și (8.158).

$$\begin{aligned} \mathfrak{R} = & 0,5 \cdot (c_i + c_s) \cdot (\dot{x}_Q^2 + \dot{y}_Q^2) + l_1 \cdot c_s \cdot \dot{x}_Q \cdot (\dot{\theta} \cdot \cos \theta \cdot \sin \Psi + \dot{\Psi} \cdot \sin \theta \cdot \cos \Psi) + \\ & + l_1 \cdot c_s \cdot \dot{y}_Q \cdot (\dot{\psi} \cdot \sin \theta \cdot \sin \Psi - \dot{\theta} \cdot \cos \theta \cdot \sin \Psi) + 0,5 \cdot l_1^2 \cdot c \cdot (\dot{\theta}^2 \cdot \cos \theta + \dot{\psi}^2 \cdot \sin^2 \theta) \end{aligned} \quad (8.161)$$

Forțele generalizate disipative sunt definite de următoarele relații:

$$\begin{aligned} Q_{x_Q}^{(dis)} &= -\frac{\partial \mathfrak{R}}{\partial \dot{x}_Q} = -(c_i + c_s) \cdot \dot{x}_Q - l_1 \cdot c_s \cdot \dot{\theta} \cdot \cos \theta \cdot \sin \Psi - l_1 \cdot c_s \cdot \sin \theta \cdot \cos \Psi \\ Q_{y_Q}^{(dis)} &= -\frac{\partial \mathfrak{R}}{\partial \dot{y}_Q} = -(c_i + c_s) \cdot \dot{y}_Q - l_1 \cdot c_s \cdot \dot{\theta} \cdot \cos \theta \cdot \cos \Psi - l_1 \cdot c_s \cdot \sin \theta \cdot \sin \Psi \\ Q_{\theta}^{(dis)} &= -\frac{\partial \mathfrak{R}}{\partial \dot{\theta}} = -l_1 \cdot c_s \cdot \dot{x}_Q \cdot \cos \theta \cdot \sin \Psi + l_1 \cdot c_s \cdot \dot{y}_Q \cdot \cos \theta \cdot \cos \Psi - l_1 \cdot c_s \cdot \dot{\theta} \cdot \cos^2 \theta \\ Q_{\Psi}^{(dis)} &= -\frac{\partial \mathfrak{R}}{\partial \dot{\Psi}} = -l_1 \cdot c_s \cdot \dot{x}_Q \cdot \sin \theta \cdot \cos \Psi - l_1 \cdot c_s \cdot \dot{y}_Q \cdot \sin \theta \cdot \sin \Psi - \\ & \quad - l_1^2 \cdot c_s \cdot \dot{\Psi} \cdot \sin^2 \theta \\ Q_{\varphi}^{(dis)} &= -\frac{\partial \mathfrak{R}}{\partial \dot{\varphi}} = 0 \end{aligned} \quad (8.162)$$

Cuplul motor aplicat din exterior fusului pentru a imprima acestuia mișcarea de rotație este de forma $\overline{\mathcal{M}}_m = \overline{k} \cdot \mathcal{M}_m$. Acestui cuplu îi corespund următoarele forțe generalizate:

$$Q_{x_Q}^{(m)} = 0, \quad Q_{y_Q}^{(m)} = 0, \quad Q_{\theta}^{(m)} = 0, \quad Q_{\Psi}^{(m)} = \mathcal{M}_m \cdot \cos \theta, \quad Q_{\varphi}^{(m)} = \mathcal{M}_m \quad (8.163)$$

8.2.2.5. Stabilirea ecuațiilor diferențiale de mișcare ale sistemului mecanic

Energia cinetică E_c – relația (8.153) și energia potențială ν relația (8.159) se prelucrează în raport cu parametri lagrangeieni și cu vitezele generalizate pentru stabilirea termenilor corespunzători din ecuațiile Lagrange – relațiile (8.147). Acești termeni, împreună cu cei care provin din expresiile forțelor generalizate disipative și forțelor generalizate motoare structurează ecuațiile diferențiale de mișcare ale modelului de fus care conține ambele lagăre legate elastic față de cupă. Aceste relații definesc un sistem matematic de cinci ecuații cuplate în variabilele $x_Q, y_Q, \theta, \psi, \varphi$ de ordinul 2, gradul 2, neomogene și neliniare.

$$\begin{aligned}
& (M + M_a) \cdot \ddot{x}_Q + (c_i + c_s) \cdot \dot{x}_Q + (k_i + k_s) \cdot x_Q + (D + M_a \cdot z'_a) \cdot \ddot{\theta} \cdot \cos \theta \cdot \sin \psi + \\
& + M_a \cdot x'_a \cdot \ddot{\theta} \cdot \sin \theta \cdot \sin \psi \cdot \sin \varphi + M_a \cdot x'_a \cdot \dot{\theta}^2 \cdot \cos \theta \cdot \sin \psi \cdot \sin \varphi - \\
& - (D + M_a \cdot z'_a) \cdot \dot{\theta}^2 \cdot \sin \theta \cdot \sin \psi + 2 \cdot M_a \cdot x'_a \cdot \dot{\theta} \cdot \dot{\psi} \cdot \sin \theta \cdot \cos \psi \cdot \sin \varphi + \\
& + 2 \cdot (D + M_a \cdot z'_a) \cdot \dot{\theta} \cdot \dot{\psi} \cdot \cos \theta \cdot \cos \psi + 2 \cdot M_a \cdot x'_a \cdot \dot{\theta} \cdot \dot{\varphi} \cdot \sin \theta \cdot \sin \psi \cdot \cos \varphi + \\
& + c_s \cdot l_1 \cdot \dot{\theta} \cdot \cos \theta \cdot \sin \psi + l_1 \cdot k_s \cdot \sin \theta \cdot \sin \psi - M_a \cdot x'_a \cdot \ddot{\psi} \cdot \cos \theta \cdot \cos \psi \cdot \sin \varphi - \\
& - M_a \cdot x'_a \cdot \ddot{\psi} \cdot \sin \psi \cdot \cos \varphi + (D + M_a \cdot z'_a) \cdot \ddot{\psi} \cdot \sin \theta \cdot \cos \psi + \\
& + M_a \cdot x'_a \cdot \dot{\psi}^2 \cdot \cos \theta \cdot \sin \psi \cdot \sin \varphi - M_a \cdot x'_a \cdot \dot{\psi}^2 \cdot \cos \psi \cdot \cos \varphi - \\
& - (D + M_a \cdot z'_a) \cdot \dot{\psi}^2 \cdot \sin \theta \cdot \sin \psi - 2 \cdot M_a \cdot x'_a \cdot \dot{\psi} \cdot \dot{\varphi} \cdot \cos \theta \cdot \cos \psi \cdot \cos \varphi + \\
& + 2 \cdot M_a \cdot x'_a \cdot \dot{\psi} \cdot \dot{\varphi} \cdot \sin \psi \cdot \sin \varphi + l_1 \cdot c_s \cdot \dot{\psi} \cdot \sin \theta \cdot \cos \psi - M_a \cdot x'_a \cdot \ddot{\varphi} \cdot \cos \psi \cdot \sin \varphi - \\
& - M_a \cdot x'_a \cdot \ddot{\varphi} \cdot \cos \theta \cdot \sin \psi \cdot \cos \varphi + M_a \cdot x'_a \cdot \dot{\varphi}^2 \cdot \cos \theta \cdot \sin \psi \cdot \sin \varphi - \\
& - M_a \cdot x'_a \cdot \dot{\varphi}^2 \cdot \cos \psi \cdot \cos \varphi = 0
\end{aligned}$$

$$\begin{aligned}
& (M + M_a) \cdot \ddot{y}_Q + (c_i + c_s) \cdot \dot{y}_Q + (k_i + k_s) \cdot y_Q - M_a \cdot x'_a \cdot \ddot{\theta} \cdot \sin \theta \cdot \cos \psi \cdot \sin \varphi + \\
& + (D + M_a \cdot z'_a) \cdot \ddot{\theta} \cdot \cos \theta \cdot \cos \psi - M_a \cdot x'_a \cdot \dot{\theta}^2 \cdot \cos \theta \cdot \cos \psi \cdot \sin \varphi + \\
& + (D + M_a \cdot z'_a) \cdot \dot{\theta}^2 \cdot \sin \theta \cdot \cos \psi + 2 M_a \cdot x'_a \cdot \dot{\theta} \cdot \dot{\psi} \cdot \sin \theta \cdot \sin \psi \cdot \sin \varphi + \\
& + 2 \cdot (D + M_a \cdot z'_a) \cdot \dot{\theta} \cdot \dot{\psi} \cdot \cos \theta \cdot \sin \psi - 2 \cdot M_a \cdot x'_a \cdot \dot{\theta} \cdot \dot{\varphi} \cdot \sin \theta \cdot \cos \psi \cdot \cos \varphi - \\
& - c_s \cdot l_1 \cdot \dot{\theta} \cdot \cos \theta \cdot \cos \psi - l_1 \cdot k_s \cdot \sin \theta \cdot \cos \psi + M_a \cdot x'_a \cdot \ddot{\psi} \cdot \cos \psi \cdot \cos \varphi - \\
& - M_a \cdot x'_a \cdot \ddot{\psi} \cdot \cos \theta \cdot \sin \psi \cdot \sin \varphi + (D + M_a \cdot z'_a) \cdot \ddot{\psi} \cdot \sin \theta \cdot \sin \psi - \\
& - M_a \cdot x'_a \cdot \dot{\psi}^2 \cdot \sin \psi \cdot \cos \varphi - M_a \cdot x'_a \cdot \dot{\psi}^2 \cdot \cos \theta \cdot \cos \psi \cdot \sin \varphi + \\
& - 2 \cdot M_a \cdot x'_a \cdot \dot{\psi} \cdot \dot{\varphi} \cdot \cos \theta \cdot \sin \psi \cdot \cos \varphi + l_1 \cdot c_s \cdot \dot{\psi} \cdot \sin \theta \cdot \sin \psi + \\
& + M_a \cdot x'_a \cdot \dot{\varphi} \cdot \cos \theta \cdot \cos \psi \cdot \cos \varphi - M_a \cdot x'_a \cdot \dot{\varphi} \cdot \sin \psi \cdot \sin \varphi - \\
& - M_a \cdot x'_a \cdot \dot{\varphi}^2 \cdot \cos \theta \cdot \cos \psi \cdot \sin \varphi - M_a \cdot x'_a \cdot \dot{\varphi}^2 \cdot \sin \psi \cdot \cos \varphi = 0
\end{aligned}$$

$$\begin{aligned}
& (D + M_a \cdot z'_a) \cdot \ddot{x}_Q \cdot \cos \theta \cdot \sin \psi + M_a \cdot x'_a \cdot \ddot{x}_Q \cdot \sin \theta \cdot \sin \psi \cdot \sin \varphi + \\
& + l_1 \cdot c_s \cdot \dot{x}_Q \cdot \cos \theta \cdot \sin \psi + l_1 \cdot k_s \cdot x_Q \cdot \cos \theta \cdot \sin \psi + M_a \cdot g \cdot x'_a \cdot \cos \theta \cdot \sin \varphi - \\
& - (D + M_a \cdot z'_a) \cdot \ddot{y}_Q \cdot \cos \theta \cdot \cos \psi - l_1 \cdot c_s \cdot \dot{y}_Q \cdot \cos \theta \cdot \cos \psi - l_1 \cdot k_s \cdot y_Q \cdot \cos \theta \cdot \cos \psi + \\
& + (I + M_a \cdot z_a'^2) \cdot \ddot{\theta} + M_a \cdot x_a'^2 \cdot \ddot{\theta} \cdot \sin^2 \varphi + l_1^2 \cdot c_s \cdot \dot{\theta} \cdot \cos^2 \theta + M_a \cdot x_a'^2 \cdot \dot{\theta} \cdot \dot{\varphi} \cdot \sin 2\varphi + \\
& + 0,5 \cdot l_1^2 \cdot k_s \cdot \sin 2\theta - g \cdot (D + M_a \cdot z'_a) \cdot \sin \theta - M_a \cdot x'_a \cdot \ddot{y}_Q \cdot \sin \theta \cdot \cos \psi \cdot \sin \varphi - \\
& - 0,5 \cdot M_a \cdot x_a'^2 \cdot \dot{\psi} \cdot \sin \theta \cdot \sin 2\varphi - M_a \cdot x'_a \cdot z'_a \cdot \ddot{\psi} \cdot \cos \theta \cdot \cos \varphi + M_a \cdot x'_a \cdot z'_a \cdot \dot{\varphi}^2 \cdot \sin \varphi + \\
& + M_a \cdot x'_a \cdot z'_a \cdot \dot{\psi}^2 \cdot \cos 2\theta \cdot \sin \varphi + 0,5 \cdot M_a \cdot x_a'^2 \cdot \dot{\psi}^2 \cdot \sin 2\theta \cdot \sin^2 \varphi - \\
& - M_a \cdot x'_a \cdot z'_a \cdot \dot{\varphi} \cdot \cos \varphi - M_a \cdot x_a'^2 \cdot \dot{\psi} \cdot \dot{\varphi} \cdot \sin \theta \cdot \cos \varphi + (J + M_a \cdot x_a'^2) \cdot \dot{\psi} \cdot \dot{\varphi} \cdot \sin \theta + \\
& + 0,5(J + L - I - M_a \cdot z_a'^2) \cdot \dot{\psi}^2 \cdot \sin 2\theta + 2 \cdot M_a \cdot x'_a \cdot z'_a \cdot \dot{\psi} \cdot \dot{\varphi} \cdot \cos \theta \cdot \sin \varphi = 0
\end{aligned}$$

$$\begin{aligned}
& - M_a \cdot x'_a \cdot \ddot{x}_Q \cdot \sin \varphi \cdot \cos \varphi + (D + M_a \cdot z'_a) \cdot \ddot{x}_Q \cdot \sin \theta \cdot \cos \psi - \\
& - M_a \cdot z'_a \cdot \ddot{x}_Q \cdot \cos \theta \cdot \cos \psi \cdot \sin \varphi + l_1 \cdot c_s \cdot \dot{x}_Q \cdot \sin \theta \cdot \cos \psi + l_1^2 \cdot c_s \cdot \dot{\psi} \cdot \sin^2 \theta + \\
& + l_1 \cdot k_s \cdot x_Q \cdot \sin \theta \cdot \cos \varphi + M_a \cdot x'_a \cdot \ddot{y}_Q \cdot \cos \theta \cdot \cos \varphi + l_1 \cdot k_s \cdot y_Q \cdot \sin \theta \cdot \sin \psi - \\
& - M_a \cdot x'_a \cdot \ddot{y}_Q \cdot \cos \theta \cdot \sin \psi \cdot \sin \varphi + (D + M_a \cdot z'_a) \cdot \ddot{y}_Q \cdot \sin \theta \cdot \sin \psi +
\end{aligned}$$

$$\begin{aligned}
& + l_1 \cdot c_s \cdot \dot{y}_Q \cdot \sin \theta \cdot \sin \psi - 0,5 \cdot M_a \cdot x_a' \cdot \ddot{\theta} \cdot \sin \theta \cdot \sin 2\varphi + (J + M_a \cdot x_a'^2) \cdot \ddot{\varphi} \cdot \cos \theta - \\
& - M_a \cdot x_a' \cdot z_a' \cdot \ddot{\theta} \cdot \cos \theta \cdot \cos \varphi - 0,5 \cdot M_a \cdot x_a'^2 \cdot \dot{\theta}^2 \cdot \cos \theta \cdot \sin 2\varphi + \\
& + M_a \cdot x_a' \cdot z_a' \cdot \dot{\theta}^2 \cdot \sin \theta \cdot \cos \varphi - 2 \cdot M_a \cdot x_a' \cdot z_a' \cdot \dot{\theta} \cdot \dot{\psi} \cdot \cos 2\theta \cdot \sin \varphi - \\
& - M_a \cdot x_a'^2 \cdot \dot{\theta} \cdot \dot{\psi} \cdot \sin 2\theta \cdot \sin^2 \varphi + (I - J - L + M_a \cdot z_a'^2) \cdot \dot{\theta} \cdot \dot{\psi} \cdot \sin 2\theta - \\
& - M_a \cdot x_a'^2 \cdot \dot{\theta} \cdot \dot{\varphi} \cdot \sin \theta \cdot \cos 2\varphi - (J + M_a \cdot x_a'^2) \cdot \dot{\theta} \cdot \dot{\varphi} \cdot \sin \theta - \mathcal{M}_m \cdot \cos \theta + \\
& + (J + L + M_a \cdot x_a'^2) \cdot \ddot{\psi} - M_a \cdot x_a'^2 \cdot \ddot{\psi} \cdot \sin^2 \theta \cdot \sin^2 \varphi - M_a \cdot x_a' \cdot z_a' \cdot \ddot{\psi} \cdot \sin 2\theta \cdot \sin \varphi + \\
& + (I - J - L + M_a \cdot z_a'^2) \cdot \ddot{\psi} \cdot \sin^2 \theta - M_Q \cdot x_a' \cdot z_a' \cdot \ddot{\psi} \cdot \dot{\varphi} \cdot \sin 2\theta \cdot \cos \varphi - \\
& - M_a \cdot x_a'^2 \cdot \ddot{\psi} \cdot \dot{\varphi} \cdot \sin^2 \theta \cdot \sin^2 2\varphi - M_a \cdot x_a' \cdot z_a' \cdot \ddot{\varphi} \cdot \sin \theta \cdot \sin \varphi - \\
& - M_a \cdot x_a' \cdot z_a' \cdot \dot{\varphi}^2 \cdot \sin \theta \cdot \cos \varphi = 0 \\
\\
& - M_a \cdot x_a' \cdot \ddot{x}_Q \cdot \cos \theta \cdot \sin \psi \cdot \cos \varphi - M_a \cdot x_a' \cdot \ddot{x}_Q \cdot \cos \psi \cdot \sin \varphi - 0,5 \cdot M_a \cdot x_a'^2 \cdot \dot{\theta}^2 \cdot \sin 2\varphi + \\
& + M_a \cdot x_a' \cdot \ddot{y}_Q \cdot \cos \theta \cdot \cos \psi \cdot \cos \varphi - M_a \cdot x_a' \cdot \dot{y}_Q \cdot \sin \psi \cdot \sin \varphi - M_a \cdot x_a' \cdot z_a' \cdot \ddot{\theta} \cdot \cos \varphi - \\
& - 2 \cdot M_a \cdot x_a' \cdot z_a' \cdot \dot{\theta} \cdot \dot{\psi} \cdot \cos \theta \cdot \sin \varphi + M_a \cdot x_a'^2 \cdot \dot{\theta} \cdot \dot{\psi} \cdot \sin \theta \cdot \cos 2\varphi - \\
& - (J + M_a \cdot x_a'^2) \cdot \dot{\theta} \cdot \dot{\psi} \cdot \sin \theta + M_a \cdot g \cdot x_a' \cdot \sin \theta \cdot \cos \varphi + M_a \cdot x_a' \cdot z_a' \cdot \ddot{\psi} \cdot \sin \theta \cdot \sin \varphi + \\
& + (J + M_a \cdot x_a'^2) \cdot \ddot{\psi} \cdot \cos \theta + 0,5 \cdot M_a \cdot x_a' \cdot z_a' \cdot \ddot{\psi}^2 \cdot \sin 2\theta \cdot \cos \varphi + \\
& + 0,5 \cdot M_a \cdot x_a'^2 \cdot \ddot{\psi}^2 \cdot \sin^2 \theta \cdot \sin 2\varphi + (J + M_a \cdot x_a'^2) \cdot \ddot{\varphi} - \mathcal{M}_m = 0
\end{aligned} \tag{8.164}$$

Acest sistem poate fi redus de la cinci la patru ecuații, în aceleași condiții care au fost precizate și în §8.2.1.1.5 în care primele trei ecuații ale sistemului (8.164) se mențin nemodificate; din ultimele două ecuații se elimină momentul motor \mathcal{M}_m obținându-se cea de a patra ecuație a sistemului modificat:

$$\begin{aligned}
& - M_a \cdot x_a' \cdot \ddot{x}_Q \cdot \sin^2 \theta \cdot \sin \psi \cdot \cos \varphi + (D + M_a \cdot z_a') \cdot \ddot{x}_Q \cdot \sin \theta \cdot \cos \psi + \\
& + l_1 \cdot c_s \cdot \dot{x}_Q \cdot \sin \theta \cdot \cos \psi + l_1 \cdot k_s \cdot x_Q \cdot \sin \theta \cdot \cos \psi + M_a \cdot x_a' \cdot \dot{y}_Q \cdot \sin^2 \theta \cdot \cos \psi \cdot \cos \varphi + \\
& + (D + M_a \cdot z_a') \cdot \dot{y}_Q \cdot \sin \theta \cdot \sin \psi + l_1 \cdot c_s \cdot \dot{y}_Q \cdot \sin \theta \cdot \sin \psi + l_1 \cdot k_s \cdot y_Q \cdot \sin \theta \cdot \sin \varphi - \\
& - 0,5 \cdot M_a \cdot x_a'^2 \cdot \dot{\theta} \cdot \sin \theta \cdot \sin 2\varphi + M_a \cdot x_a' \cdot z_a' \cdot \dot{\theta}^2 \cdot \sin \theta \cdot \cos \varphi + L \cdot \ddot{\psi} + \\
& + 2 \cdot M_a \cdot x_a' \cdot z_a' \cdot \dot{\theta} \cdot \dot{\psi} \cdot \sin^2 \theta \cdot \sin \varphi + (I - 0,5 \cdot J - L + M_a \cdot z_a'^2) \cdot \dot{\theta} \cdot \dot{\psi} \cdot \sin 2\theta - \\
& - M_a \cdot x_a'^2 \cdot \dot{\theta} \cdot \dot{\varphi} \cdot \sin \theta \cdot \cos 2\varphi - (J + M_a \cdot x_a'^2) \cdot \dot{\theta} \cdot \dot{\varphi} \cdot \sin \theta + \\
& + (I - L + M_a \cdot x_a'^2 + M_a \cdot z_a'^2) \cdot \ddot{\psi} \cdot \sin^2 \theta - M_a \cdot x_a'^2 \cdot \ddot{\psi} \cdot \sin^2 \theta \cdot \sin^2 \varphi - \\
& - 0,5 \cdot M_a \cdot x_a' \cdot z_a' \cdot \ddot{\psi} \cdot \sin 2\theta \cdot \sin \varphi - 0,5 \cdot M_a \cdot x_a' \cdot z_a' \cdot \ddot{\psi}^2 \cdot \sin 2\theta \cdot \cos \theta \cdot \cos \varphi - \\
& - 0,25 \cdot M_a \cdot x_a'^2 \cdot \ddot{\psi}^2 \cdot \sin 2\theta \cdot \sin \theta \cdot \sin 2\varphi - M_a \cdot x_a' \cdot z_a' \cdot \ddot{\psi} \cdot \dot{\varphi} \cdot \sin 2\theta \cdot \cos \varphi - \\
& - M_a \cdot x_a'^2 \cdot \ddot{\psi} \cdot \dot{\varphi} \cdot \sin^2 \theta \cdot \sin 2\varphi - M_a \cdot x_a' \cdot z_a' \cdot \ddot{\varphi} \cdot \sin \theta \cdot \sin \varphi - \\
& - 0,5 \cdot M_a \cdot g \cdot x_a' \cdot \sin 2\theta \cdot \cos \varphi + l_1^2 \cdot c_s \cdot \ddot{\psi} \cdot \sin^2 \theta - M_a \cdot x_a' \cdot z_a' \cdot \dot{\varphi}^2 \cdot \sin \theta \cdot \cos \varphi = 0
\end{aligned} \tag{8.165}$$

Ecuațiile corespunzătoare gradului de libertate φ la cele două modele matematice permit stabilirea momentului motor în diferite condiții de

funcționare a fusului. În funcție de valorile pentru \mathcal{M}_m se poate dimensiona în mod corespunzător motorul de antrenare.

8.2.3. Metode de rezolvare a ecuațiilor de mișcare

Se urmărește cu precădere ca rezolvările ecuațiilor de mișcare (8.30) și (8.165) să ofere datele necesare pentru trasarea curbelor de rezonanță cu privire la amplitudinile vibrațiilor ansamblului oscilant. Cu ajutorul acestora se stabilesc turațiile critice cu zonele de rezonanță respective, amplitudinile vibrațiilor și plaja vitezelor de exploatare. Astfel se poate urmări și analiza răspunsul dinamic al sistemului în funcție de parametri constructivi ai fusului și condițiile de exploatare (dimensiuni geometrice, caracteristici inerțiale, dezechilibre, rigidități, coeficienți de amortizare, turații).

Sistemele de ecuații de mișcare, datorită complexității lor, nu pot fi rezolvate decât apelând la metode numerice de integrare cu ajutorul calculatorului. În acest scop se construiesc sistemele de ecuații algebrice liniare neomogene, având ca necunoscute accelerațiile corespunzătoare coordonatelor generalizate (v. §8.2.1.1.5 și §8.2.2.5); sistemele transformate provin din cele inițiale (relațiile (8.30) și (8.165)) și au forma generală:

$$\sum_{i=1}^n (a_{ij}, \ddot{q}_j) = b_i, i = \overline{1, n} \quad (8.166)$$

unde $n=2$ este pentru fusele tip HZ și $n=4$ - pentru fusele tip HL.

Coordonatele generalizate q_j ale celor două sisteme sunt:

$$q_1 = \theta, \quad q_2 = \Psi \quad (\text{pentru fuse tip HZ})$$

$$q_1 = x_Q, \quad q_2 = y_Q, \quad q_3 = \theta, \quad q_4 = \Psi \quad (\text{pentru fuse tip HL})$$

Coefficientii a_{ij} și termenii liberi b_i sunt funcții care depind de valorile la momentul t , atât ale parametrilor lagrangeieni, cât și ale vitezelor caracteristice acestor parametri.

$$\begin{aligned} a_{ij} &= a_{ij}(q_j, \dot{q}_j) \\ b_i &= b_i(q_j, \dot{q}_j) \end{aligned} \quad (8.167)$$

Cu valorile coeficienților a_{ij} și a termenilor liberi b_i la momentul t se determină accelerațiile \ddot{q}_j prin aplicarea metodei Gauss-Jordan pentru rezolvarea sistemelor algebrice.

Cu ajutorul metodei numerice de integrare Euler se obțin mărimile q_j, \dot{q}_j și \ddot{q}_j pentru orice moment al funcționării sistemului mecanic.

8.2.3.1. Algoritmi de calcul

Pentru cele două modele adoptate au fost elaborate scheme bloc corespunzătoare – figurile 8.56 și 8.57, cu diferențe care provin atât de la numărul de ecuații, cât și de la modul în care se determină amplitudinea vibrațiilor (figura 8.17 b) - fuse tip HZ, figura 8.49 - fuse tip HL).

În blocul BID se inițializează datele preluate din fișierele de date și de intrare (GRALHZ.DAT, GRALHL.DAT, GRALHZ.INP și GRALHL.INP). Aceste date se introduc în subrutina COEF în care se calculează coeficienții și termenii liberi ai sistemului (8.166) la un moment t .

Se inițializează cu 0 variabila t și se calculează un timp de plotare a graficului cu relația $tg = pg \cdot h$ (pg - pasul de grafic, h - pasul de integrare).

Cu valorile obținute pentru a_{ij} și b_i se rezolvă sistemul liniar algebric în procedura GSJORD (metoda Gauss-Jordan) pentru determinarea accelerațiilor la momentul t .

Se testează dacă timpul de integrare se încadrează între limitele de minim și de maxim impuse pentru reprezentarea grafică.

Comparând timpul t cu pasul de grafic, pe cazul de egalitate se reprezintă grafic valorile funcțiilor selectate pentru această operație în procedura GRAFIC.

Pentru momentul corespunzător fuselor HL se calculează în prealabil amplitudinea vibrațiilor sistemului mecanic și poziția centrului oscilant în procedura AMPL.

În subrutină se prelucrează datele necesare determinării amplitudinilor vibrațiilor fusului textil, rezultatele fiind memorate în fișierele GRALHZ.OUT și GRALHL.OUT, cu posibilitatea afișării și plotării acestora.

Dacă timpul de integrare t este sub valoarea maximă, atunci prin procedura EULER se integrează soluțiile sistemului determinând parametri q_j și \dot{q}_j cu ajutorul cărora se trece la următorul pas de integrare; noul timp de integrare se obține adăugând la cel anterior pasul de integrare h .

Datele aferente graficelor memorate în fișierele GRALHZ.OUT și GRALHL.OUT sunt prelucrate prin programul HISTO în vederea reprezentării grafice a curbilor de rezonanță.

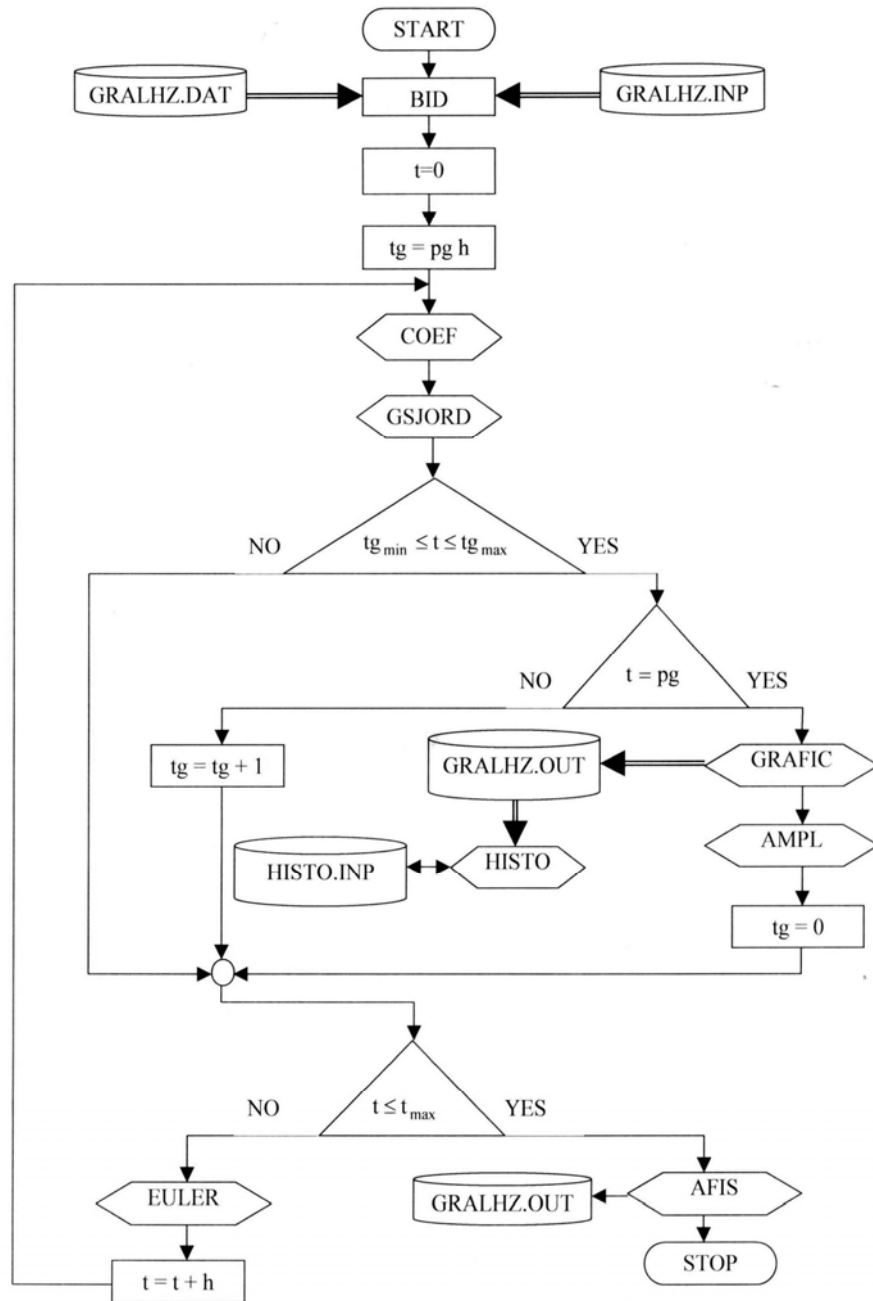


Fig. 8.56

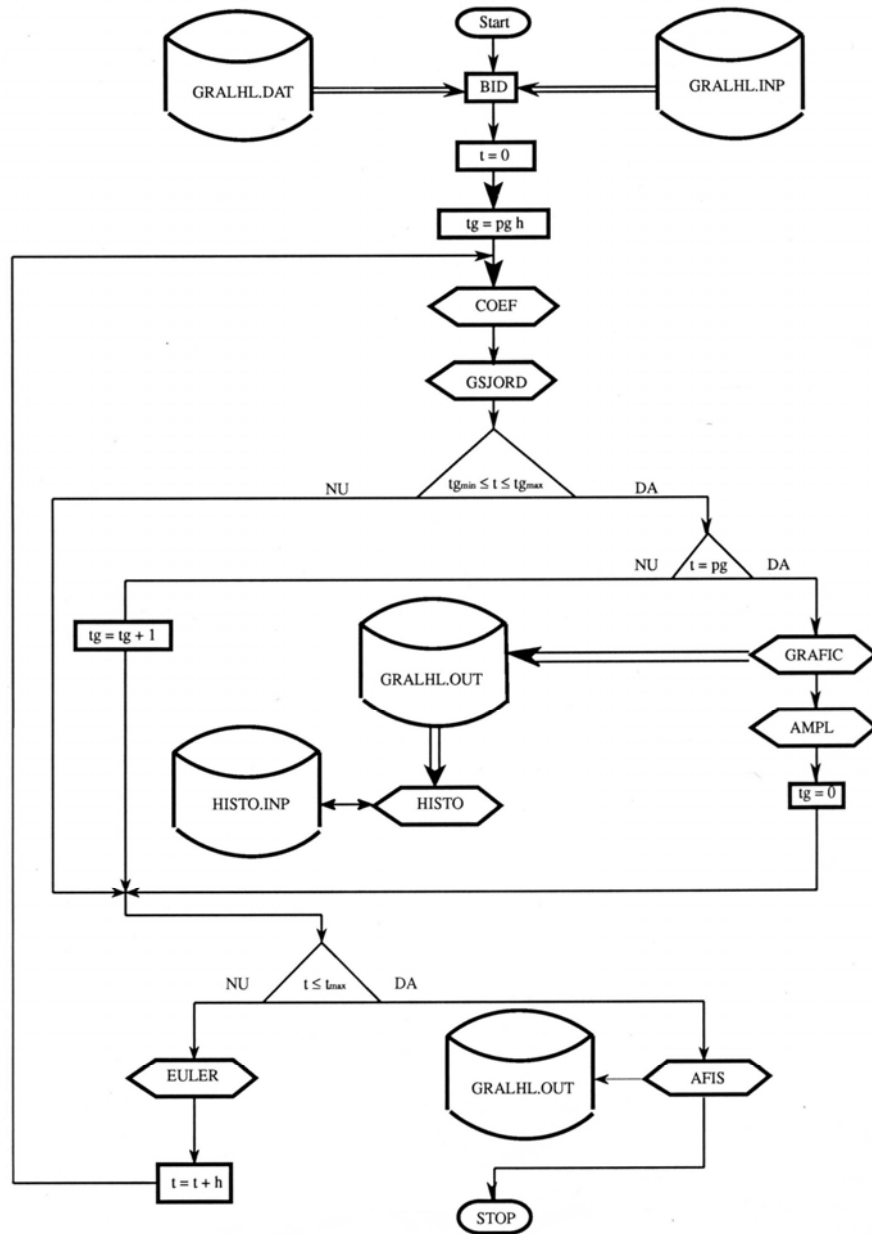


Fig. 8.57

8.2.3.2. Programe de calculator

Pe baza celor două scheme s-au realizat programele GRALHZ și GRALHL în limbajul FORTRAN 77.

Programul GRALHZ se referă la modelul fizic caracterizat prin rezemare elastică numai în dreptul lagărului inferior - figura 8.51, iar programul GRALHL la modelul cu rezemare elastică la ambele lagăre - figura 8.55.

Parametrii care stabilesc limitele de rulare a programelor sunt:

h – pasul de integrare;

t_{min}, t_{max} – intervalul de timp pentru integrarea numerică;

tg_{min}, tg_{max} – intervalul de timp pentru reprezentarea grafică;

pg – pasul de grafic;

plot – funcția pentru care se construiește graficul,

toler – toleranța (valoarea minimă acceptată în calculul coeficienților sistemului algebric).

Se introduc de asemenea condițiile inițiale de integrare corespunzătoare funcțiilor calculate, care pot fi reprezentate grafic prin selectare cu ajutorul variabilei **plot**; această variabilă stabilește care din funcții se dorește a fi construită grafic.

Programele permit ca pasul de grafic **pg** să poată fi stabilit inițial sau determinat funcție de **h** și **eps**.

Prin introducerea mărimilor **t_{min}** și **t_{max}** se poate delimita intervalul de timp corespunzător rezolvării problemei, oferind posibilitatea unei analize numai a unui anumit domeniu de funcționare (limitarea gamei de turații).

Datele care se introduc în programul GRALHZ sunt:

C – coeficientul de amortizare al amortizorului hidraulic;

D – definit prin relația (8.26);

II – definit prin relația (8.27);

J – definit prin relația (8.28);

K – rigiditatea legăturii elastice a lagărului inferior față de cupă;

L – definit prin relația (8.29);

X – coordonata x'_a a masei de dezechilibru;

l₁ – distanța dintre lagăre;

ag – accelerația gravitațională;

eps – accelerația unghiulară a sistemului rotativ;

MA – masa de dezechilibru M_a ;

Z – coordonata z'_a a masei de dezechilibru;

Pentru programul GRALHL se utilizează următoarele date:

CI – coeficientul de amortizare pentru lagărul inferior;

CS – coeficientul de amortizare pentru lagărul superior;

D – definit prin relația (8.26);

II – definit prin relația (8.27);

J - definit prin relația (8.28);

KI – rigiditatea legăturii elastice a lagărului inferior față de cupă;

KS – rigiditatea legăturii elastice a lagărului superior față de cupă;

L - definit de relația (8.29);

M – definit de relația (8.16 a);

MA – masa de dezechilibru M_a ;

Z – coordonata z'_a a masei de dezechilibru;

X – coordonata x'_a a masei de dezechilibru;

l_1 – distanța dintre lagăre;

ag - accelerația gravitațională;

eps – accelerația unghiulară a sistemului rotativ.

8.2.3.3. Exemple de calcul

În vederea rulării programelor GRALHZ și GRALHL pentru obținerea curbelor de rezonanță sunt adoptate date concrete corespunzătoare fuselor SKF-HZ55 și HL, fuse testate și experimental (v. capitolul 11).

Pentru cele două variante constructive de fuse se stabilesc o serie de caracteristici funcționale și constructive identice - tabelul 8.1:

- tijă fus (dimensiuni, masă, momente de inerție centrale);
- bobină (dimensiuni, momente de inerție centrale);
- masă de dezechilibru (valoare, coordonate);
- domeniu turații de funcționare;
- rezervă rigidă a cupei față de banca fuselor.

Cu valorile din tabelele 8.10, 8.11 și 8.12 au fost calculate datele de încărcare ale fișierelor de intrare GRALHZ.DAT și GRALHL.DAT a căror semnificații sunt precizate în paragraful 8.2.3.1.

Se consideră pentru cele două modele studiate că la timpul inițial ($t=0$) sistemele se află în repaus. În această situație sistemele de axe fix și mobil se suprapun, ceea ce conduce la valori egale cu 0 pentru coordonatele generalizate și vitezele corespunzătoare acestora.

Tabelul 8.10

Date comune fuselor HZ și HL

Nr. crt.	Denumire	Simbol	Valoare	U/M
1.	Masă tijă fus	M_f	0,74	kg
2.	Lungimea părții de tijă dintre lagăre	l_1	0,176	m
3.	Momente de inerție centrale ale tijei fusului	$J_{x_f} = J_{y_f}$ J_{z_f}	$71,549 \cdot 10^{-4}$ $0,098 \cdot 10^{-4}$	$\text{kg} \cdot \text{m}^2$ $\text{kg} \cdot \text{m}^2$
4.	Masă bobină	M_b	1,43	kg
5.	Momente de inerție centrale ale bobinei	$J_{x_b} = J_{y_b}$ J_{z_b}	$156,186 \cdot 10^{-4}$ $23,02 \cdot 10^{-4}$	$\text{kg} \cdot \text{m}^2$ $\text{kg} \cdot \text{m}^2$
6.	Masă de dezechilibru	M_a	0,006	kg
7.	Coordonatele x_a și y_a ale mesei de dezechilibru	x_a y_a	0,03 0	m m
8.	Gama de turații	n_{fmin} n_{fmax}	0 10000	rot/min rot/min
9.	Momentele de inerție ale tijei fusului și bobinei față de axa Qz'	J'_{zz_f} J'_{zz_b}	$0,98 \cdot 10^{-4}$ $23,03 \cdot 10^{-4}$	$\text{kg} \cdot \text{m}^2$ $\text{kg} \cdot \text{m}^2$

Alte date caracteristice fiecărui tip de fus sunt prezentate în tabelele 8.2 și 8.3

Tabelul 8.11

Date caracteristice fusului SKF-HZ 55

Nr. crt.	Denumire	Simbol	Valoare	U/M
1.	Momentele de inerție față de axele Qx' și Qy' pentru tija fusului	$J'_{xx_f} = J'_{yy_f}$	$26,199 \cdot 10^{-4}$	$\text{kg} \cdot \text{m}^2$
2.	Centrul de masă al tijei fusului	z_{cf}	0,445	m
3.	Centrul de masă al	z_{cb}	0,173	m

	bobinei			
4.	Momentele de inerție față de axele Qx' și Qy' pentru bobină	$J'_{xx_b} = J'_{yy_b}$	$584,17 \cdot 10^{-4}$	$kg \cdot m^2$
5.	Coordonata z_a a masei de dezechilibru	z_a	0,109	m
6.	Masă tub de legătură lagăre	M_t	0,11	kg
7.	Centrul de masă al tubului de legătură	z'_{c_t}	-0,136	m
8.	Momentele principale de inerție ale tubului de legătură	$J_x = J_y$ J_z	$12,96 \cdot 10^{-4}$ $0,004 \cdot 10^{-4}$	$kg \cdot m^2$ $kg \cdot m^2$
9.	Momentele de inerție ale tubului față de axele Qx' , y' , z'	$J'_{xx_t} = J'_{yy_t}$ J'_{zz_t}	$21,675 \cdot 10^{-4}$ $0,004 \cdot 10^{-4}$	$kg \cdot m^2$ $kg \cdot m^2$
8.	Rigiditatea legăturii elastice a lagărului inferior	K	13000	N/m
11.	Coeficientul de amortizare	c	600	N·s/m

Tabelul 8.12

Datele caracteristice fusului HL

Nr. crt.	Denumire	Simbol	Valoare	U/M
1.	Centrul de masă al tijei fusului	z'_{c_f}	0,2205	m
2.	Momentele de inerție față de axele reperului Qx' și Qy' pentru tija fusului	$J'_{xx_f} = J'_{yy_f}$	$431,338 \cdot 10^{-4}$	$kg \cdot m^2$
3.	Centrul de masă al bobinei	z'_{c_b}	0,349	m
4.	Momentele de inerție	$J'_{xx_b} = J'_{yy_b}$	$1897,944 \cdot 10^{-4}$	$kg \cdot m^2$

	față de axele reperului Qx'y'z' pentru bobină			
5.	Coordonata z' a masei de dezechilibru	z_a	0,285	m
6.	Masă tub de legătură lagăre	M_t	0,22	kg
7.	Centrul de masă al tubului de legătură	z'_{c_t}	0,1075	m
8.	Momentele centrale de inerție ale tubului de legătură	$J_{x_t} = J_{y_t}$ J_{z_t}	$8,529 \cdot 10^{-4}$ $0,078 \cdot 10^{-4}$	$\text{kg} \cdot \text{m}^2$ $\text{kg} \cdot \text{m}^2$
9.	Momentele de inerție ale tubului de legătură față de axele Qx'y'z'	$J'_{xx_t} = J'_{yy_t}$ J'_{zz_t}	$0,043 \cdot 10^{-4}$ $0,078 \cdot 10^{-4}$	$\text{kg} \cdot \text{m}^2$ $\text{kg} \cdot \text{m}^2$
8.	Rigiditatea legăturii elastice a lagărului inferior	k_i	31000	N/m
11.	Rigiditatea legăturii elastice a lagărului superior	k_s	145000	N/m
12.	Coeficient de amortizare lagăr inferior	c_i	480	N·s/m
13.	Coeficient amortizare lagăr superior	c_s	320	N·s/m

În vederea lansării celor două programe au fost încărcate fișierele GRALHZ.INP și GRALHL.INP cu valorile pentru parametri care stabilesc limitele de rulare.

Curbele de rezonanță obținute pe cale teoretică în condițiile menționate sunt prezentate în figurile 8.58 (pentru fus HZ) și 8.59 (pentru fus HL) și au fost obținute cu ajutorul programului HISTO.

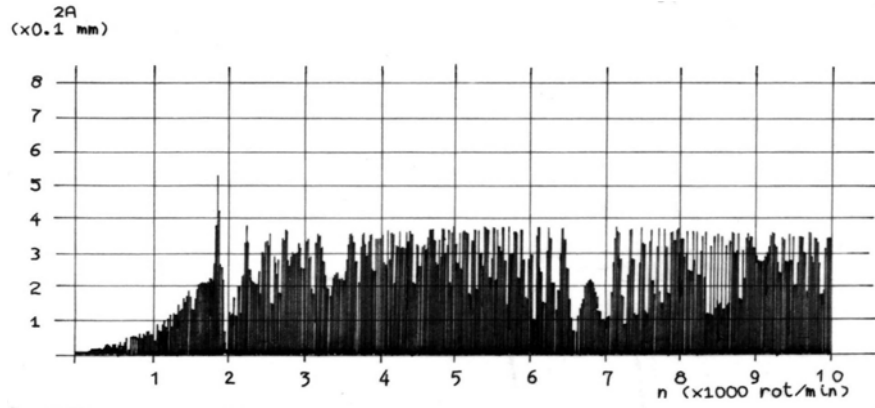


Fig. 8.58

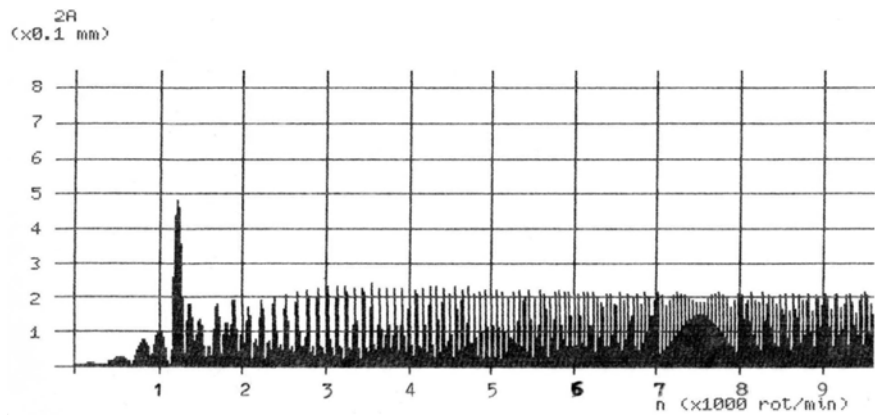


Fig. 8.59

Capitolul 9

MECANISME DE ÎNFĂȘURARE

9.1. Legile înfășurării-baze de proiectare a mecanismelor de înfășurare

La mașinile pregătitoare ale procesului de filare și la mașinile de filat, înșiruirile de fibre sunt depuse cu anumită regularitate sau pe diferite tipuri de suporturi prin depunere în straturi succesive, realizându-se înfășurările prezentate la disciplinele de tehnologie textilă (înfășurările cilindrice, conice, în cruce, bombate).

Indiferent de tipul înfășurării, mecanismele de înfășurare trebuie astfel proiectate încât să fie respectate cele trei legi fundamentale ale înfășurării – figura 9.1; se vor prezenta aspectele de bază legate de înfășurarea pe bobine sau țevi utilizate la flaiere, respectiv la mașinile de filat clasice.

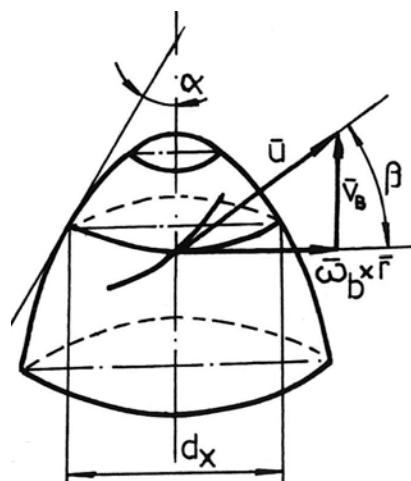


Fig. 9.1

În figura 9.1 sunt utilizate notațiile:

\bar{u} - viteza de producere a semifabricatului (semitort, fir),
 d_x - diametrul formatului,
 β - unghiul elicei după care este dirijat semifabricatul înfășurării,
 α - unghiul format de tangenta la strat cu axa bobinei,
 ω_b - viteza unghiulară a bobinei.

Legea I-a a înfășurării

Lungimea de fir sau de semitort produsă într-un interval de timp, trebuie să fie înfășurată în întregime în același interval de timp:

$$u = n_x l_1 \quad (9.1)$$

în care:

n_x - numărul de spire înfășurate în unitatea de timp,

$l_1 = \int_0^{2\pi} \frac{1}{\cos \beta} \cdot d_x d_\varphi$ - lungimea unei spire, cu d_φ - unghiul elementar de rotație al bobinei.

Legea a II-a a înfășurării

Viteza de translație \bar{v}_B a conducătorului înșiruirii trebuie să asigure un pas determinat h al spirelor:

$$v_B = n_x \cdot h = h \cdot \frac{u}{l_t} \quad (9.2)$$

în care h este pasul spirelor (elicei).

Legea a III-a de legătură între parametrii de structură caracteristici înfășurării:

$$T_t = \frac{\pi \cdot d_1}{l_1} \cdot \frac{\gamma \cdot h \cdot \delta}{\cos \alpha} \quad (9.3)$$

în care:

T_t este titlul înșiruirii (densitatea de lungime),

γ - densitatea stratului,

δ - grosimea stratului.

Înfășurarea se realizează datorită mișcării relative a conducătorului de fir sau semitort, în raport cu bobina; viteza de înfășurare la un moment dat va fi:

$$\bar{u} = \bar{\omega}_b \times \bar{r}_x + \bar{v}_B \quad (9.4)$$

9.2. Elemente de proiectare pentru mecanismele de înfășurare de la flaiere

9.2.1. Legile de înfășurare

La flaiere răsucirea-înfășurarea se realizează cu ajutorul furcii și bobinei și cilindrilor debitori de la trenul de laminare; se folosește înfășurarea cilindrică, spiră lângă spiră, pe mosoare fără flanșe figura 9.2.

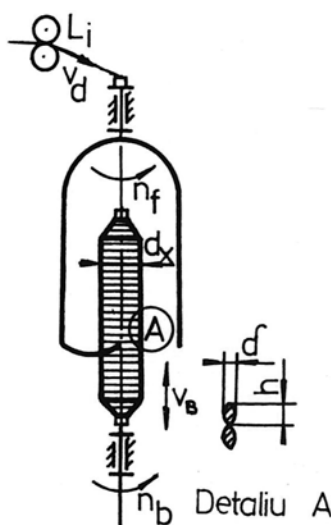


Fig. 9.2

Prima lege de înfășurare este (exemplu pentru flaierele cu bobină activă):

$$u = v_d \cdot L_i = n_x \cdot l_1 = (n_b - n_f) \cdot \frac{\pi \cdot d_x}{\cos \beta} \quad (9.5)$$

în care:

- n_b este turația bobinelor (are valoare constantă pentru un strat depus),
- n_f — turația furcilor (constantă),
- v_d - viteza periferică a cilindrilor debitori (constantă),
- L_i - laminajul din față (între cilindri debitori și furcă); se adoptă cu valoarea 1 la fibre liberiene și cu puțin mai mare la bumbac;
- $\cos \beta \approx 1$ (deoarece β este foarte mic- $2^\circ \dots 3^\circ$).

Pentru un alt strat se schimbă diametrul d_x , deci este necesară modificarea turației n_b a bobinei pentru menținerea aceleiași viteze de

înfășurare. Din această primă lege de înfășurare rezultă relația de calcul pentru turația bobinei:

$$n_b = n_f \pm \frac{v_d \cdot L_i}{\pi \cdot d_x} \quad (9.6)$$

în care semnul (+) se adoptă pentru cazul bobinelor active, iar semnul (-) pentru furci active.

Variația turației n_b de la un strat la alt strat poate fi realizată cu ajutorul unor mecanisme diferențiale, variatoare de viteză mecanice sau electronice.

A doua lege de înfășurare este :

$$v_B = h \cdot \frac{u}{l_1} = h \cdot \frac{v_d \cdot L_i}{\pi \cdot d_x} \quad (9.7)$$

adică viteza băncii v_B trebuie să varieze invers proporțional cu diametrul bobinei; rezolvarea acestei probleme este asigurată cu ajutorul variatorului de viteză utilizat pentru satisfacerea primei legi de înfășurare, întrucât se constată că în expresiile matematice corespunzătoare celor două legi există o structură comună.

A treia lege de înfășurare – relația (9.3), capătă forma ($\cos \alpha = 1$, $l_1 = \pi \cdot d_x$):

$$T_t = \gamma \cdot h \cdot \delta \quad (9.8)$$

Realizarea acestei legi impune introducerea unor roți de schimb atunci când se prelucrează un semitorț cu alt titlu, pentru a se respecta și legea a doua, obținerea unei viteze v_B în corelație cu schimbarea pasului h și a grosimii δ a stratului depus.

9.2.2. Condiții impuse mecanismelor de acționare a furcilor, bobinelor și băncii bobinelor

Soluțiile utilizate pentru construcția flaielor trebuie să satisfacă o serie de condiții dintre care se menționează :

- a) Respectarea legilor înfășurării.
- b) Realizarea unui flux energetic care să ofere încărcarea minimă a componentelor care contribuie direct la obținerea variațiilor de viteză; se vor realiza astfel dimensiuni reduse ale acestora, sensibilitate și siguranță sporite în exploatare. Drept consecință, la bobine se va transmite direct de la arborele principal puterea ce revine părții constante a vitezei, conform primei legi de înfășurare.
- c) Antrenarea furcilor cu viteză constantă direct de la arborele principal.

d) Schimbarea sensului de deplasare a băncii și reglarea cursei acesteia pentru formarea capetelor conice ale bobinelor. La sistemele mecanice se folosește mecanismul de tip basculă.

e) Posibilitatea efectuării reglajelor necesare în vederea respectării legilor de înfășurare atunci când se schimbă valorile unor parametri caracteristici ai structurii înfășurării. Această condiție se realizează, în cazul structurilor mecanice, cu ajutorul roților de schimb:

- roata diferențialului (la schimbarea diametrului mosorului gol),
- roata băncii și roata stea (la modificarea titlului Tt al semitortului),
- roata de torsiune (la schimbarea torsiunii semitortului).

9.2.3. Schema bloc pentru transmisiile de la flaiere

a) Flaierele cu structură clasică, alcătuite din lanțuri cinematice acționate de regulă de la un electromotor asincron trifazat, au schema bloc prezentată în figura 9.3.

Simbolurile din figură reprezintă:

$T_f, T_1, T_v, T_b, T_D, T_B, T_s$ - transmisiile intermediare având rapoartele de transmitere $i_f, i_1, i_v, i_b, i_D, i_B$;

- i_o - raportul de transmitere al diferențialului;
- n - turația arborelui principal și la intrare în diferențial (constantă);
- n_i - turația arborelui de intrare la variator;
- n_e - turația arborelui de ieșire de la variator;
- n_1 - turația la intrarea în diferențial (variabilă);
- n_2 - turația la ieșirea din diferențial (variabilă);
- n_1 - turația cilindrului motor la trenul de laminat;
- n_f - turația furcilor;
- n_b - turația bobinelor;
- n_B - turația roții de antrenare a băncii bobinelor;
- v_B - viteza de deplasare a băncii bobinelor.

Pe baza schemei clasice din figura 9.3. sunt construite și se construiesc și în prezent flaiere în a căror structură sunt folosite soluții mecanice: transmisiile cu roți dințate, variatoare de viteză cu conoizi și curelușă, transmisiile cu lanțuri, inversoare de mișcare, diferențiale cu roți cilindrice și roți conice, etc.

b) În viitorul imediat se vor folosi soluții în care microelectronica și automatizarea simplifică apreciabil structura mecanică, îmbunătățesc condițiile de exploatare, prin folosirea mai multor motoare de acționare

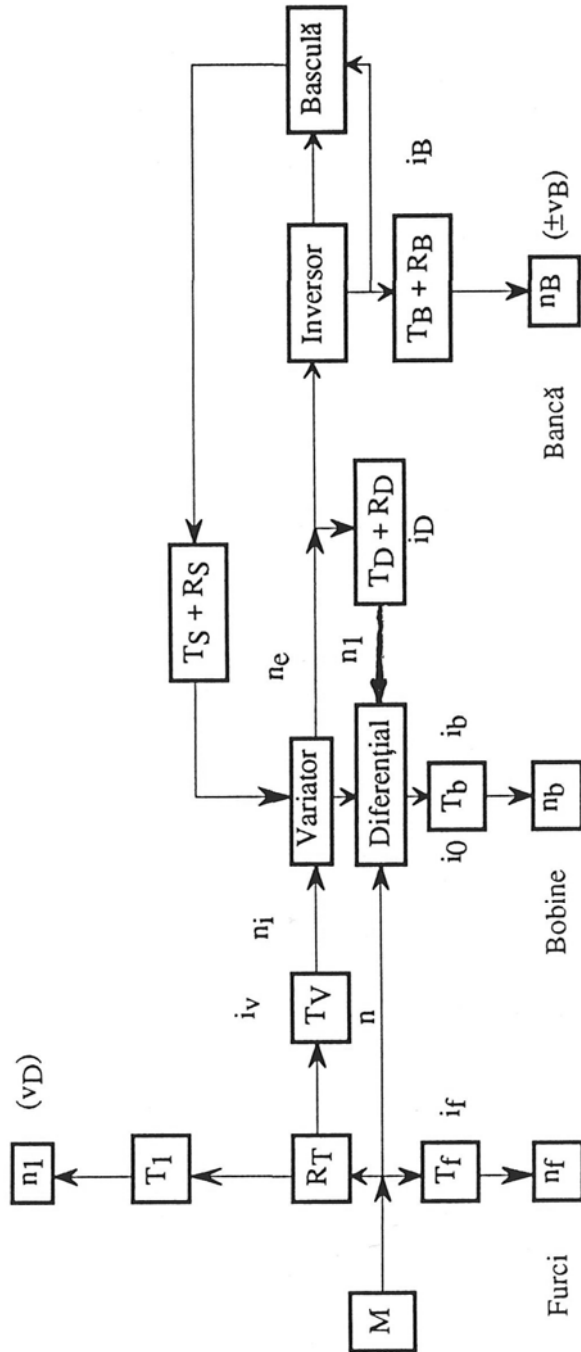


Fig. 9.3

cu viteze variabile reglate și stabilizate cu ajutorul unor programe adecvate care să satisfacă legile înfășurării și celelalte condiții consemnate anterior – figura 9.4.

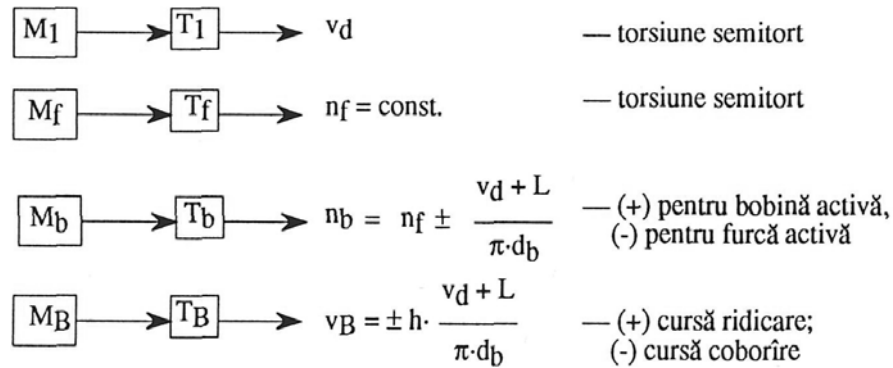
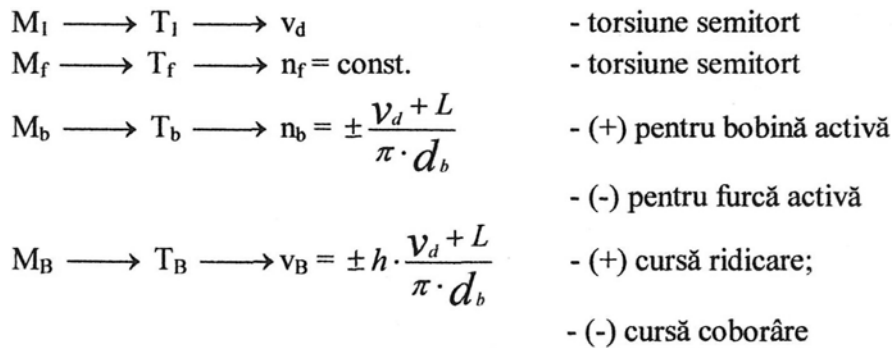


Fig. 9.4

În noua variantă, din structura mecanică clasică a flaielor, se elimină o bună parte din componentele mecanice cum sunt transmisiile $T_v, R_T, T_S+R_S, T_D+R_D, R_B$, variatorul de viteză, diferențialul, inversorul, bascula.

Programele electronice privind reglarea diferiților parametri de lucru simplifică pregătirea mașinii, eliminându-se operațiile de înlocuire a roților de schimb și de ajustare a unor mecanisme. În asemenea condiții și fiabilitatea sporește apreciabil.



9.2.4. Relații cinematice obligatorii pentru flaierele clasice

Primele două legi ale înfășurării la flaier - relațiile (9.6) și (9.7), se pot exprima, luând în considerare datele cinematice din schema bloc. Prima lege are forma:

$$n_b = n_f \pm \frac{v_d \cdot L_i}{\pi \cdot d_x} = \frac{l}{i_b} \cdot n_2 \quad (9.9)$$

în care:

$$n_f = \frac{l}{i_f} \cdot n \quad (9.10)$$

$$n_2 = n \cdot \frac{1}{i_0} + \left(1 - \frac{1}{i_0}\right) \cdot n_1, \text{ (din relația lui Willis)} \quad (9.11)$$

$$n_1 = \frac{1}{i_D} \cdot n_e \quad (9.12)$$

După înlocuiri se găsește:

$$\frac{1}{i_b} \cdot \frac{1}{i_0} \cdot n + \frac{1}{i_b} \left(1 - \frac{1}{i_0}\right) \cdot \frac{1}{i_D} \cdot n_e = \frac{1}{i_f} + \frac{v_d \cdot L_i}{\pi \cdot d_x} \quad (9.13)$$

sau:

$$\left(\frac{1}{i_b} \cdot \frac{1}{i_0} - \frac{1}{i_f}\right) \cdot n = \frac{v_d \cdot L_i}{\pi \cdot d_x} - \frac{1}{i_h} \left(1 - \frac{1}{i_0}\right) \frac{1}{i_d} \cdot n_e \quad (9.14)$$

A doua lege se exprimă:

$$v_b = h \cdot \frac{v_d \cdot L_i}{\pi \cdot d_x} = \pi \cdot d_B \cdot n_B \quad (9.15)$$

însă:

$$n_B = \frac{1}{i_B} \cdot n_e \quad (9.16)$$

După înlocuirea relației (9.16) în (9.15) rezultă:

$$n_e = \frac{h \cdot i_B}{\pi \cdot d_B} \cdot \frac{v_d \cdot L_i}{\pi \cdot d_x} \quad (9.17)$$

Se constată că prima lege nu suferă modificări la schimbarea titlului semitortului (nu conține parametrul h dependent de T); rezultă că n_e nu trebuie să-și schimbe valoarea și în consecință este obligatorie respectarea condiției:

$$\frac{h \cdot i_B}{\pi \cdot d_B} = C_1 \text{ (constanta), sau } h \cdot i_B = \text{constant} \quad (9.18)$$

În acest scop se introduce o roată de schimb R_B cu număr corespunzător de dinți.

Înlocuind în relația (9.14) pe n_e , dat de (9.17) se găsește:

$$\left(\frac{1}{i_b} \cdot \frac{1}{i_0} - \frac{1}{i_f} \right) \cdot n = \frac{v_d \cdot L_i}{\pi \cdot d_x} \left[1 - \frac{1}{i_b} \cdot \frac{1}{i_D} \cdot \left(1 - \frac{1}{i_0} \right) \right] \cdot C_1 \quad (9.19)$$

Singura variabilă din relația (9.19) este d_x , deci egalitatea va trebui satisfăcută numai când cele două paranteze sunt egale cu zero:

$$\frac{1}{i_b} \cdot \frac{1}{i_0} - \frac{1}{i_f} = 0 \quad (9.20)$$

$$1 - \frac{1}{i_b} \cdot \frac{1}{i_D} \cdot \left(1 - \frac{1}{i_0} \right) C_1 = 0 \quad (9.21)$$

Din ultimele două se obține:

$$i_b = \frac{i_f}{i_0}, \quad (9.22)$$

$$i_D = \frac{1}{i_b} \cdot \left(1 - \frac{1}{i_0} \right) C_1, \text{ la bobina activă} \quad (9.23)$$

sau

$$i_D = \frac{1}{i_b} \cdot \left(\frac{1}{i_b} - 1 \right) C_1, \text{ la furca activă} \quad (9.23')$$

Relațiile (9.18), (9.22), (9.23), și (9.23') reprezintă condiții obligatorii pe care trebuie să le îndeplinească transmisiile mecanismelor de înfășurare la flaiere.

Se recomandă următoarea ordine a calculelor:

1. Se calculează raportul de transmitere i_b , după adoptarea turațiilor arborelui principal și furcii.
2. Se adoptă i_0 cu o valoare care să ofere încărcare minimă a variatorului de viteză și obținerea unui randament ridicat la diferențial.
3. Se calculează i_b cu relația (9.22).
4. Se determină i_B și C_1 cu relația (9.18).
5. Se calculează i_D cu (9.23) sau (9.23').

9.2.5. Variatoare de viteză pentru flaiere

În vederea respectării primei legi de înfășurare a semitonului pe bobine la flaiere, pe măsura creșterii diametrului de înfășurare, turația bobinei se micșorează; este necesar ca variatorul de viteză la ieșire să ofere posibilitatea obținerii unei turații care să poată fi variată între limitele $n_{e_{\max}}$ și $n_{e_{\min}}$. Din relațiile (9.17) și (9.18) rezultă:

$$n_e = C_1 \cdot \frac{v_d \cdot L_i}{\pi \cdot d_x} \quad (9.24)$$

din care:

$$n_e \cdot d_x = C_1 \cdot \frac{v_d \cdot L_i}{\pi} = \text{constant} \quad (9.25)$$

Turația n_e este legată de diametrul de înfășurare d_x printr-o lege hiperbolică, care trebuie respectată indiferent de soluția adoptată pentru variator. Se folosesc variatoare mecanice cu conoizi hiperbolici, la care legea de variație – relația (9.25), se obține prin profil corespunzător al generatoarelor, cu conoizi cu generatoare drepte la care cureaua este deplasată cu o camă hiperbolică – figura 9.5; mai rar sunt utilizate variatoare de viteză P.I.V. Conoizii cu generatoare drepte se execută fără dificultăți și asigură condiții mai bune de funcționare a curelei.

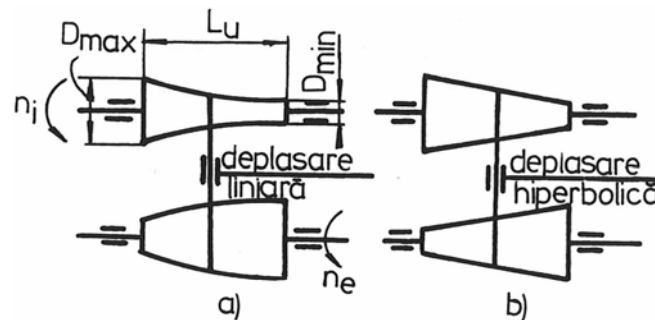


Fig. 9.5

La proiectarea variatoarelor este necesar a se lua în vedere recomandările care urmează:

1. Grosimea straturilor semitortului depus pe bobină, la fibre liberiene este aproape constantă la toate straturile și crește în progresie aritmetică la bumbac. Pe de altă parte datorită apăsării straturilor de semitort grosimea stratului δ și pasul de înfășurare h reprezintă diametrele elipsei rezultate, care pentru fibre tip bumbac se pot determina cu următoarele relații:

$$h = 316 \cdot 10^{-14} \cdot K_h \cdot \sqrt{T_t} \quad (9.26)$$

$$\delta = 316 \cdot 10^{-14} \cdot K_\delta \cdot \sqrt{T_t} \quad (9.27)$$

în care K_h și K_δ sunt factori de corecție pentru densitatea liniară T_t – tabelul 9.1.

Tabelul 9.1

Tt (tex)	K_h	K_δ
150-190	3,33	0,78
200 - 320	3,70	0,72
340-400	3,90	0,65
500 - 840	4,25	0,63
>900	4,37	0,59

Aceste valori se vor lua în calculele în care intervin diametrul de înfășurare d_x și cursa băncii, respectiv pasul de înfășurare.

2. Lungimea utilă L_u a conoizilor este întâlnită cu valori între 600 ... 1100 mm, dependentă de numărul de straturi de semitort depuse pe bobină și de lungimea unei deplasări. Lungimea totală a conoizilor este cu 100... 150 mm mai mare (fig.9.5).

3. Diametrul D_{\min} se adoptă cu valori de 80... 100 mm.

4. Turația n_i să fie suficient de ridicată pentru ca forțele utile din curea să fie reduse.

5. Raportul $n_{e_{medu}} / n_i \approx 1$, pentru a realiza unghiuri de înfășurare a curelei cu valori apropiate de 180° .

În condițiile menționate se asigură sensibilitate sporită a variatorului de viteză.

9.3. Baze de proiectare pentru mecanismele de torsionare-înfășurare ale mașinilor de filat cu inele

9.3.1. Legile înfășurării conice

Torsionarea și înfășurarea firelor la mașinile de filat clasice sunt efectuate de ansamblul inel-cursor-fus – figura 9.6, în care 1 este înșiruirea de fibre, 2 - cilindri debitori ai trenului de laminat, 3 - conducător de fir, 4 - fus, 5 - inel, 6 - cursor, 7 - banca inelelor, 8 - banca fuselor; firul torsionat se înfășoară pe o țeava așezată pe fus.

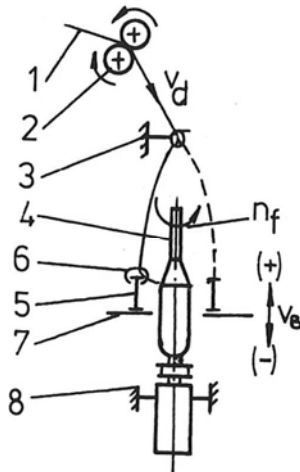


Fig. 9.6

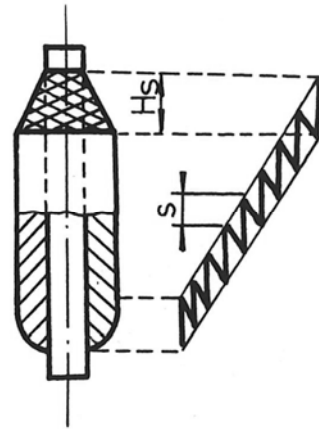


Fig. 9.7

Înfășurarea pe țeavă este determinată de rotirea fusului și mișcarea liberă a cursorului pe inel, cursor antrenat de fir. Diferența dintre turația fusului n_f și turația cursorului n_c reprezintă numărul de spire n_x înfășurate pe țeava în unitatea de timp. Înfășurarea pe țeavă se efectuează sub forma unei elice conice obținându-se straturile de umplere cu pasul h_u (la ridicarea băncii inelelor) între care se intercalează straturile de separație cu pasul h_s (la coborârea inelelor) – figura 9.7. Totodată banca inelelor execută și câte un salt la fiecare ciclu ridicare-coborâre – figura 9.9. În acest fel se obțin straturi stabile atât în timpul înfășurării cât și în fazele prelucrării ulterioare ale bobinelor (desfășurare corectă).

În final se obține o bobină cu forma din figura 9.8 alcătuită din picior și corp.

a) *Prima lege a înfășurării*, conform cu relația (9.1), arată că lungimea de fir u produsă în unitatea de timp trebuie să fie înfășurată în întregime în același interval de timp și are forma:

$$u = n_x \cdot l_1 = v_d \cdot c_s = (n_f - n_c) \cdot l_1 \quad (9.28)$$

în care: c_s este coeficientul de scurtare a firului, datorită torsiunii,
 l_i - lungimea unei spire pe conul de înfășurare.

Pentru calculele practice se admite că $l_1 \approx 2 \cdot \pi \cdot r$, r fiind raza instantanee de înfășurare.

Rezultate mai precise se obțin luând în considerare și existența unui pas h , în care caz rezultă:

$$l_1 = 2 \cdot \pi \cdot r \cdot \sqrt{1 + \frac{h^2}{4 \cdot \pi^2 \cdot r^2 \cdot \cos^2 \alpha}} \quad (9.29)$$

Pentru această variantă, prima lege de înfășurare se exprimă:

$$v_d \cdot c_d = 2 \cdot \pi \cdot r \cdot \sqrt{1 + \frac{h^2}{4 \cdot \pi^2 \cdot r^2 \cdot \cos^2 \alpha}} (n_f - n_c) \quad (9.30)$$

b) A doua lege a înfășurării, conform relației (9.2) se referă la banca inelelor care trebuie să aibă o viteză de translație v_B care să asigure un pas h determinat pentru spirele bobinei.

$$v_B = u \cdot \frac{h}{l_1} = v_d \cdot c_s \cdot \frac{h}{l_1} \quad (9.31)$$

La stratul de umplere (cursa de ridicare a băncii) pasul spirelor are valoarea h_u , iar la stratul de separație (la coborârea băncii) pasul este h_s . Banca inelelor va avea pentru fiecare tip de strat legi de mișcare distincte, $v_{B(u)}$ și $v_{B(s)}$.

Introducând în relația (9.31), expresiile (9.28) și (9.29) se obține:

$$v_{B(u)} = \frac{h_u}{2 \cdot \pi \cdot r \cdot \sqrt{1 + \frac{h_u^2}{4 \cdot \pi^2 \cdot r^2 \cdot \cos^2 \alpha}}} \cdot v_d \cdot c_s \quad (9.32)$$

$$v_{B(s)} = \frac{h_s}{2 \cdot \pi \cdot r \cdot \sqrt{1 + \frac{h_s^2}{4 \cdot \pi^2 \cdot r^2 \cdot \cos^2 \alpha}}} \cdot v_d \cdot c_s \quad (9.33)$$

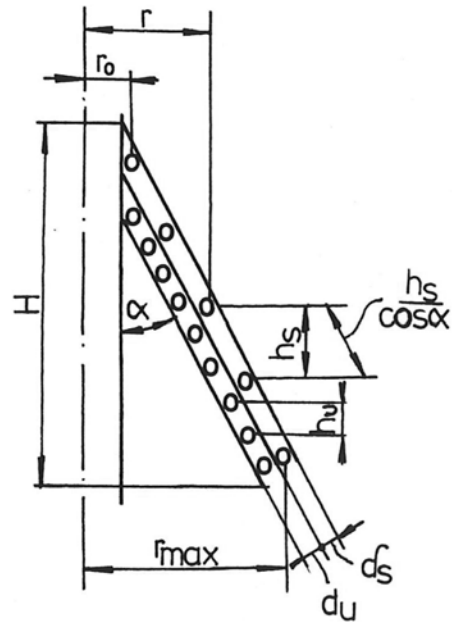


Fig. 9.8

Pasul spirelor h – figura 9.7, se determină cu relația:

$$h = \frac{H}{n_s} \quad (9.34)$$

în care numărul de spire n_s din strat se calculează în funcție de lungimea de fir L din strat și lungimea medie a unei spire l_m :

$$n_s = \frac{L}{l_m} = \frac{L}{\pi \cdot (r_0 + r_{\max})} \quad (9.35)$$

Pentru pașii h_u și h_s rezultă:

$$h_u = \frac{\pi \cdot (r_0 + r_{\max}) \cdot H}{L_u} \quad (9.36)$$

$$h_s = \frac{\pi \cdot (r_0 + r_{\max}) \cdot H}{L_s} \quad (9.37)$$

c) A treia lege a înfășurării este legea de legătură între parametrii de structură caracteristici înfășurării - relația (9.3); admițând că $\pi \cdot d_x = 2 \cdot \pi \cdot r = l_1$, pentru cele două straturi se obțin expresiile:

$$T_t = \frac{\gamma_u \cdot h_u \cdot \delta_u}{\cos \alpha} \quad (9.38)$$

$$T_t = \frac{\gamma_s \cdot h_s \cdot \delta_s}{\cos \alpha} \quad (9.39)$$

Apreciind $\delta_u = \delta_s = \delta/2$ fiind grosimea stratului dublu, iar $(\gamma_u + \gamma_s)/2 = \gamma$, γ fiind densitatea volumetrică a stratului dublu, din relațiile (9.38) și (9.39) rezultă legea a treia pentru înfășurarea conică sub forma:

$$T_t = \frac{\gamma \cdot \delta}{\cos \alpha} \cdot \frac{1}{\frac{1}{h_u} + \frac{1}{h_s}} \quad (9.40)$$

9.3.2. Grosimea straturilor; saltul băncii inelelor.

În figura 9.9 este prezentat un strat dublu de grosime δ aparținând corpului bobinei.

Masa stratului conic dublu de grosime δ și înălțime H este:

$$M = V \cdot \gamma = \pi \cdot (r_0 + r_{\max}) \cdot \frac{H}{\cos \alpha} \cdot \delta \cdot \gamma \quad (9.41)$$

Pe de altă parte, din relația de definiție a densității de lungime (titlul T_t) al firului înfășurat în stratul dublu cu lungimea L_c rezultă:

$$M = T_t \cdot L_c \quad (9.42)$$

Din ultimele două relații se obține:

$$\delta = \frac{T_t \cdot L_c \cdot \cos \alpha}{\pi \cdot (r_0 + r_{\max}) \cdot H \cdot \gamma} \quad (9.43)$$

Pentru H se găsește:

$$H = \frac{r_{\max} - r_0}{\operatorname{tg} \alpha} \quad (9.44)$$

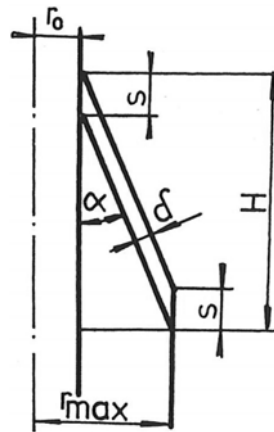


Fig. 9.9

După înlocuiri rezultă pentru δ :

$$\delta = \frac{T_i \cdot L_c \cdot \sin \alpha}{\pi \cdot (r_{\max}^2 - r_0^2) \cdot H \cdot \gamma} \quad (9.45)$$

Cu ajutorul grosimii stratului dublu δ se determină valoarea *saltului băncii inelelor* s :

$$S = \frac{\delta}{\sin \alpha} = \frac{T_i \cdot L_c}{\pi \cdot (r_{\max}^2 - r_0^2) \cdot \gamma} \quad (9.46)$$

Legea de mișcare a băncii este asigurată de un mecanism cu camă cu profil asimetric. Unghiul α caracteristic conicității bobinei se alege astfel ca spirele să nu cadă, totodată să se obțină un grad de umplere al bobinei cât mai ridicat. Se întâlnesc valori $\alpha = 26^\circ$ pentru fibre tip bumbac.

Raportul dintre raza țevii goale r_0 și raza bobinei pline r_{\max} este:

$$\frac{r_0}{r_{\max}} = \frac{1}{2,2} \quad (9.47)$$

Raportul dintre diametrul mediu al țevii goale și diametrul inelului este 0,39...0,45.

Înălțimea suprafeței conice H este egală cu cursa băncii care are valoarea de 0,95 din diametrul inelului sau 1,15 din diametrul maxim al bobinei pline.

Densitatea de înfășurare a firului γ are valori de 0,45...0,48 g/cm³ pentru urzeală și 0,43...0,45 g/cm³ pentru bătătură, la fire din fibre tip bumbac.

9.3.3. Formarea piciorului bobinei

Piciorul bobinei constituie o bază pe care se înfășoară corpul bobinei; se realizează prin creșterea progresivă a conicității straturilor înfășurate.

Înfășurarea firului începe cu un prim strat cilindric cu partea inferioară mai îngroșată, spirele fiind mai dese; se obține treptat o creștere a conicității până la terminarea formării piciorului, după care straturile se depun echidistant cu grosime constantă formând corpul bobinei.

În figura 9.10 curba cu linie plină se referă la spațiul parcurs de banca inelelor (urcare-coborâre) pe durata unui ciclu când se depun straturile de umplere și de separație, pentru formarea corpului bobinei. Curba cu linie punctată se referă la cursa urcare-coborâre pentru suprafața conică a piciorului bobinei. În timpul formării piciorului bobinei cursa băncii crește de la H_0 la H .

A doua lege a înfășurării – relațiile (9.32) și (9.33), trebuie respectată și la înfășurarea pentru formarea piciorului bobinei ceea ce conduce la menținerea unor valori constante pentru rapoartele h_v/r și h_r/r , fapt care se ia în considerare la proiectarea mecanismelor respective.

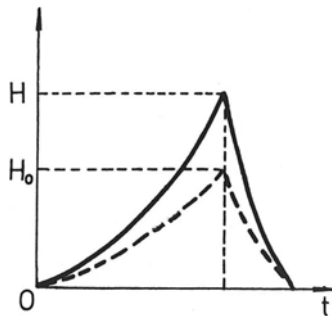


Fig. 9.10

9.4. Influența excentricității inelului asupra forței de întindere a firului la mașinile de filat și de răsucit

Frecvența ruperilor la mașinile de filat și de răsucit este influențată îndeosebi de forța de întindere din fir, starea tehnică a utilajelor, caracteristicile materialului de prelucrat, calitatea deservirii mașinii.

Forța de întindere din fir este la rândul său dependentă de numeroși factori dintre care se menționează: turația fuselor, masa cursorului, coeficienții de frecare inel-cursor și fir-cursor, structura și calitatea mecanismului de torsionare înfășurare, structura firelor prelucrate.

În legătură cu calitatea mecanismului de torsiune-înfășurare, așezarea excentrică a inelului față de fus provoacă majorări ale forței de întindere a firului.

Poziția excentrică poate apare datorită erorilor de montare privind poziția reciprocă fus-inel, jocurilor mari la tije de ghidare ale băncii (toleranțe mari, uzura tijelor și bușelor), țevilor defecte (grosimi neuniforme, deformații), abaterilor de la perpendicularitatea tije fusului față de banca respectivă, vibrațiile fuselor.

Sub influența excentricității, în timpul exploatarei apare o forță suplimentară de întindere din fir ΔF_{\max} așa cum se arată în figura 9.11, care adăugată valorii medii F_{med} determină valoarea F_{\max} , forța de care depinde direct frecvența de rupere a firului.

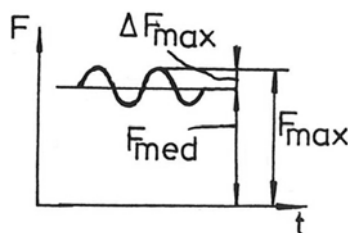


Fig. 9.11

9.4.1. Cinematica mișcării cursorului pe inel

Pentru cazul în care inelul este așezat corect față de fus, adică *excentricitatea* $e=0$, la o viteză de debitare, turație a fuselor și rază de înfășurare constante, teoretic rezultă la cursor viteza tangențială și accelerație normale constante, accelerație tangențială zero.

La o așezare excentrică a inelului față de fus apar variații ale vitezei și accelerațiilor menționate. În consecință forța de întindere din fir devine variabilă. Valorile și variațiile forței de întindere se pot determina atât pe cale teoretică cât și prin experiment.

În figura 9.12. este reprezentat inelul cu centrul în O_i așezat excentric față de fus cu o valoare determinată.

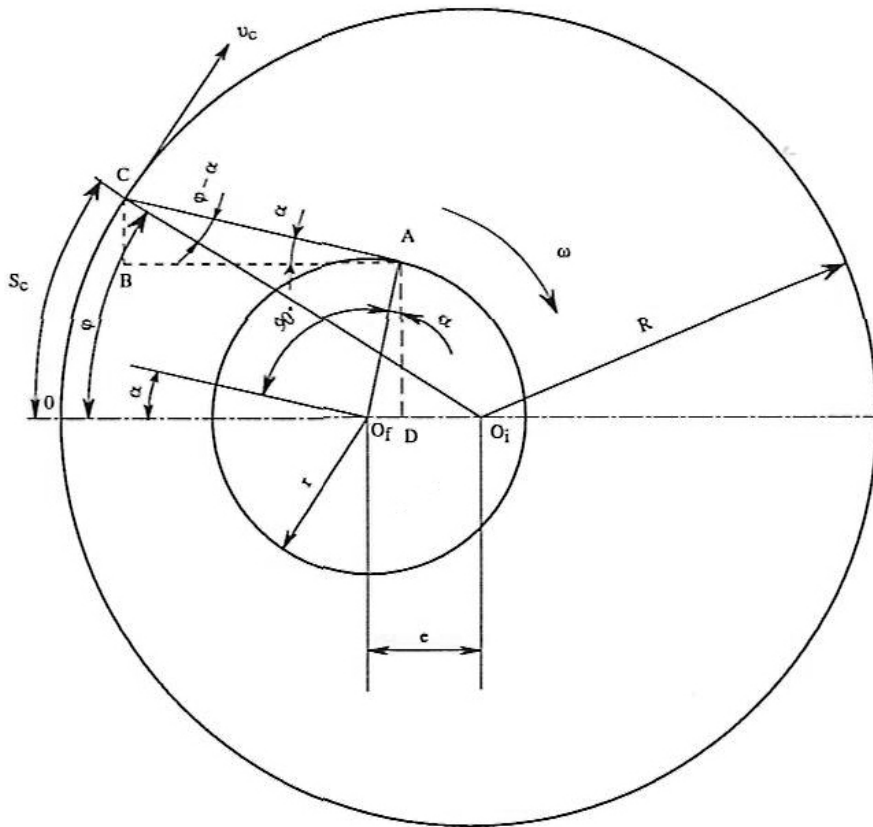


Fig. 9.12

Fusul are axa de rotație în O_f . Poziția cursorului C la un moment dat este precizată de unghiul φ măsurat de la axa $O_f O_i$, iar poziția punctului de înfășurare A de unghiul α .

Se notează cu R - raza inelului, r - raza de înfășurare pe bobină, ω - viteza unghiulară a fusului, μ - coeficientul de frecare inel-cursor, m - masa cursorului, a_c^n și a_c^t - accelerațiile normală și tangențială a cursorului, $l = l_{CA}$ - lungimea de fir de la cursor la punctul de înfășurare, v_c - viteza cursorului, S_c - spațiul parcurs de cursor pe cercul cu rază R , m - masa cursorului. Din figura 9.12 rezultă pentru legile de mișcare a cursorului:

$$S_c = R \cdot \varphi \quad (9.48)$$

$$v_c = \frac{dS_c}{dt} = \frac{R \cdot d\varphi}{dt} = R \frac{d\varphi}{d\alpha} \cdot \frac{d\alpha}{dt} = R \cdot \omega \cdot \frac{d\varphi}{d\alpha} \quad (9.49)$$

$$a_c^t = \frac{dv_c}{dt} = R \left(\omega \frac{d^2\varphi}{d\alpha^2} \cdot \frac{d\alpha}{dt} + \frac{d\omega}{dt} \cdot \frac{d\varphi}{d\alpha} \right) \quad (9.50)$$

în care:

$$\frac{d\omega}{dt} = \frac{d\omega}{d\alpha} \cdot \frac{d\alpha}{dt} = \omega \cdot \frac{d\omega}{d\alpha} \quad (9.51)$$

din (9.49) și (9.50) se obține:

$$a_c^t = R \cdot \omega \left(\frac{d^2\varphi}{d\alpha^2} \cdot \omega + \frac{d\omega}{d\alpha} \cdot \frac{d\varphi}{d\alpha} \right) \quad (9.52)$$

Accelerația normală a cursorului este:

$$a_c^n = \frac{v_c^2}{R} = R \cdot \omega^2 \left(\frac{d\varphi}{d\alpha} \right)^2 \quad (9.53)$$

Dacă *excentricitatea* $e=0$ atunci:

$$\omega = \text{const.}, \frac{d\omega}{dt} = 0, \frac{d\omega}{d\alpha} = 0 \quad (9.54)$$

$$\varphi = \alpha + \text{const.}, \frac{d\varphi}{d\alpha} = 1, \frac{d^2\varphi}{d\alpha^2} = 0$$

Rezultă:

$$v_{c0} = R \cdot \omega$$

$$a_{c0}^t = 0$$

$$a_{c0}^n = R \cdot \omega^2$$

Dacă $e \neq 0$, abaterile absolute de la aceste valori sunt:

$$\Delta v_c = v_c - v_{c0} = R \cdot \omega \left(\frac{d\varphi}{d\alpha} - 1 \right) = v_{c0} \left(\frac{d\varphi}{d\alpha} - 1 \right) \quad (9.55)$$

$$\Delta a_c^n = a_c^n - a_{c0}^n = a_{c0}^n \left[\left(\frac{d\varphi}{d\alpha} \right)^2 - 1 \right] \quad (9.56)$$

$$\Delta a_c^t = a_c^t - a_{c0}^t = a_c^t \quad (9.57)$$

În calculele care urmează se adoptă ipotezele:

- se neglijează mișcarea băncii pe durata unei rotații complete a cursorului;

- se consideră raza de înfășurare $r = \text{const}$;

- se admite că viteza unghiulară a fusului este $\omega = \text{const}$.

Rezultă pentru relația (9.51):

$$\frac{d\omega}{d\alpha} = 0, a_c^t = R \cdot \omega^2 \cdot \frac{d^2\varphi}{d\alpha^2} \quad (9.58)$$

9.4.2. Calculul forței suplimentare de întindere a firului provocată de excentricitatea inel-cursor

În figura 9.13 sunt arătate forțele care acționează asupra cursorului, dependente de prezența excentricității inelului față de fus și anume:

ΔF_c - forța centrifugă provocată de accelerația Δa_c^n - relația (9.56);

ΔF_n - forța suplimentară de reacțiune inel-cursor;

ΔF_f - forța suplimentară de frecare inel-cursor;

ΔF_t - forța suplimentară tangențială;

ΔF - forța suplimentară de întindere a firului.

Rezultă relațiile:

$$\Delta F_c = m \cdot \Delta a_c^n \quad (9.59)$$

$$\Delta F_f = \mu \cdot (m \cdot \Delta a_c^n - \Delta F_n) \quad (9.60)$$

$$\Delta F_t = m \cdot a_c^t + \Delta F_f = m \cdot a_c^t + \mu \cdot (m \cdot \Delta a_c^n - \Delta F_n) \quad (9.61)$$

Din figură se obține:

$$\Delta F_n = \Delta F \cdot \cos(\varphi - \alpha) \quad (9.62)$$

$$\Delta F_t = \Delta F \cdot \sin(\varphi - \alpha) \quad (9.63)$$

Din relația (9.61) în care se înlocuiesc relațiile (9.62) și (9.63) se găsește expresia forței suplimentare de întindere a firului:

$$\Delta F = m \cdot \frac{a_c' + \mu \cdot \Delta a_c''}{\mu \cdot \cos(\varphi - \alpha) + \sin(\varphi - \alpha)} \quad (9.64)$$

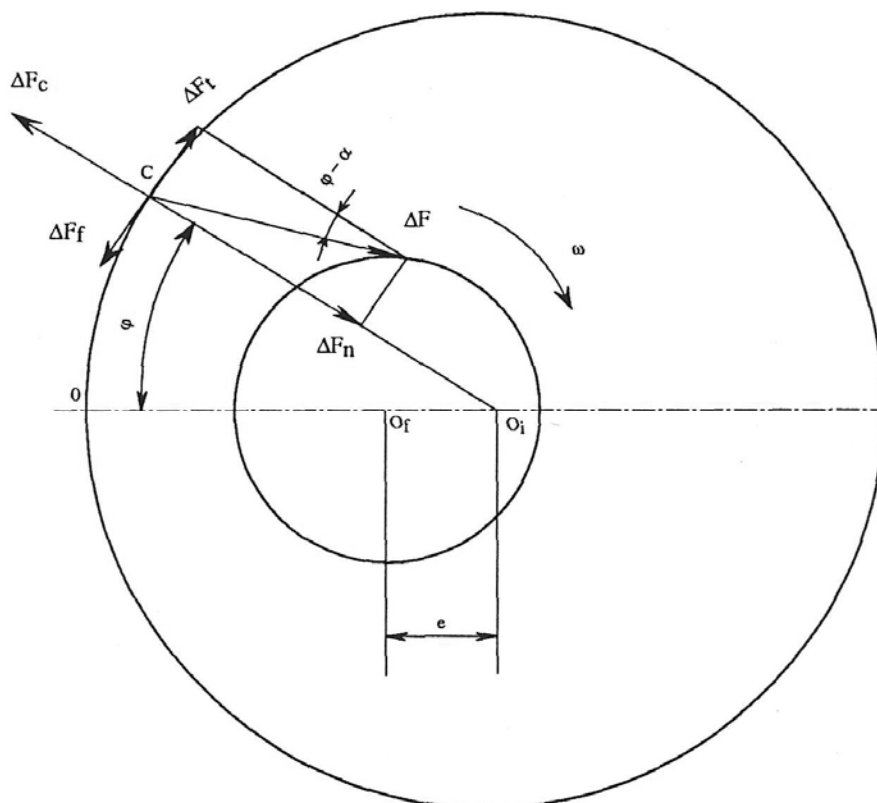


Fig. 9.13

Unghiul φ se poate exprima în funcție de unghiul α așa cum se arată în continuare.

Urmărind triunghiurile ABC și AO_fD se stabilesc legăturile:

$$l_{AB} = l \cdot \cos \alpha = R \cdot \cos \varphi + r \cdot \sin \alpha - e \quad (9.65)$$

$$l_{BC} = l \cdot \sin \alpha = R \cdot \sin \varphi - r \cdot \cos \alpha \quad (9.66)$$

Înmulțind relațiile (9.65) și (9.66) cu $(-\sin \alpha)$ respectiv $(\cos \alpha)$ și însumându-le se găsește:

$$\sin(\varphi - \alpha) = \frac{r}{R} - \frac{e}{R} \cdot \sin \alpha \quad (9.67)$$

din care:

$$\varphi = \alpha + \arcsin \left(\frac{r}{R} - \frac{e}{R} \cdot \sin \alpha \right) \quad (9.68)$$

Derivatele de ordinal 1 și ordinal 2 sunt:

$$\frac{d\varphi}{d\alpha} = 1 - \frac{\frac{e}{R} \cdot \cos \alpha}{\sqrt{1 - \left(\frac{r}{R} - \frac{e}{R} \sin \alpha \right)^2}} = \frac{\frac{e}{R} \cos \alpha}{\sqrt{\phi(\alpha)}} \quad (9.69)$$

$$\frac{d^2\varphi}{d\alpha^2} = 1 - \frac{\frac{e}{R} \left[\frac{e}{R} \left(\frac{r}{R} - \frac{e}{R} \sin \alpha \right) \cos^2 \alpha + \phi(\alpha) \cdot \sin \alpha \right]}{\sqrt{\phi^3(\alpha)}} \quad (9.70)$$

Pentru forța suplimentară ΔF - relația (9.64), având în vedere și relațiile (9.58) și (9.70), se găsește expresia:

$$\Delta F = m \cdot \frac{a_c^t + \mu \cdot \Delta a_c^n}{\mu \cdot \sqrt{\phi(\alpha)} + \frac{r}{R} - \frac{e}{R} \sin \alpha} \quad (9.71)$$

Întrucât $\mu \cdot \Delta a_c^n \ll a_c^t$, se ajunge la forma:

$$\Delta F \approx m \cdot R \cdot \omega^2 \cdot \frac{\frac{d^2\varphi}{d\alpha^2}}{\mu \sqrt{\phi(\alpha)} + \frac{r}{R} - \frac{e}{R} \sin \alpha} \quad (9.72)$$

Deoarece interesează valoarea maximă a forței suplimentare ΔF_{\max} , prin anularea derivatei

$$\frac{d}{d\alpha}(\Delta F) = m \cdot R \cdot \omega^2 \frac{A(\alpha)}{B(\alpha)} \cdot \cos \alpha \quad (9.73)$$

ΔF_{\max} apare la $\cos \alpha = 0$ ($\alpha = 90^\circ$ și 270°) și are expresia:

$$\Delta F_{\max} = \frac{m \cdot e \cdot \omega^2}{\mu \left[1 - \left(\frac{r}{R} - \frac{e}{R} \right)^2 \right] + \left(\frac{r}{R} - \frac{e}{R} \right) \cdot \sqrt{1 - \left(\frac{r}{R} - \frac{e}{R} \right)^2}} \quad (9.74)$$

Deoarece e/R este neglijabil ($e \ll R$),

$$\Delta F_{\max} = \frac{m \cdot e \cdot \omega^2}{\mu \left(1 - \frac{r^2}{R^2} \right) + \frac{r}{R} \sqrt{1 - \frac{r^2}{R^2}}} \quad (9.75)$$

9.5. Antrenarea fuselor textile de la mașinile de filat și răsucit

9.5.1. Cerințe tehnice

Antrenarea fuselor textile utilizate la mașinile de filat cu inele trebuie să îndeplinească o serie de condiții în vederea satisfacerii atât a cerințelor tehnice generale, cât și a celor specifice impuse de tehnologia de înfășurare a firului. În ansamblu se impune asigurarea unei funcționări corecte și sigure, iar soluțiile constructive să corespundă unor prețuri de cost cât mai scăzute.

Cele mai importante condiții impuse sunt:

- aceeași viteză de rotație la toate fusele instalate pe mașină, pentru a se obține fire cu aceeași torsiune;
- rezistență pentru organele componente atât în regim nominal de exploatare cât și în cazul unor exploatări maxime (la pornire, blocări etc.);
- durabilitate;
- vibrații mecanice și nivel de zgomot în limite admisibile având în vedere că se folosesc turații înalte la fuse;
- posibilitatea deplasării axiale a arborilor lungi, deplasări provenite de la variațiile de temperatură a ansamblurilor respective;
- alinierea lagărelor care susțin arborii, îndeosebi la arborii lungi;
- consum redus de putere;
- grad de unificare avansat pentru reperatele componente în cadrul unor familii de mașini.

9.5.2. Soluții pentru antrenarea fuselor textile

Pentru antrenarea fuselor textile se utilizează:

- curele textile care pun în mișcare 1...4 fuse;
- curele tangențiale pentru antrenarea unui număr mare de fuse;

- angrenaje elicoidale(soluție neeconomică, puțin folosită);
- electromotoare individuale, având rotorul montat pe fus, soluție avantajoasă pentru automatizarea acționării cu viteze variabile.

a) **Antrenarea prin curele textile**, alcătuite din structuri țesute având alungire mică, oferă coeficienți de alunecare elastică de ordinul 2,5...5% ceea ce conduce la abateri ale turației fuselor cu efecte negative privind torsiunea firelor și producția.

În figura 9.14 este prezentată o schemă de principiu pentru antrenarea a patru fuse ușoare.

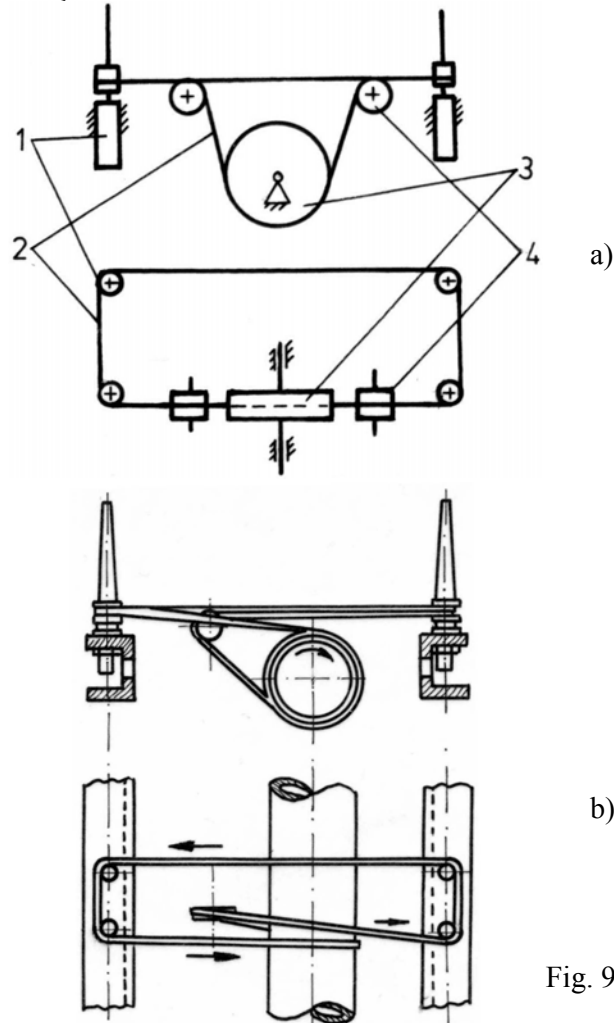


Fig. 9.14

Fusele 1 sunt antrenate prin intermediul curelei 2, de către roata de curea 3, montată pe arborele principal amplasat în lungul mașinii; rolele 4 servesc la ghidarea și întinderea curelei.

În figura 9.15 cele două fuse 1 sunt acționate de cureaua 2 de la arborele principal al mașinii pe care este montată roata 3; rola 4 este pentru ghidare, iar rola 5 pentru întinderea curelei.

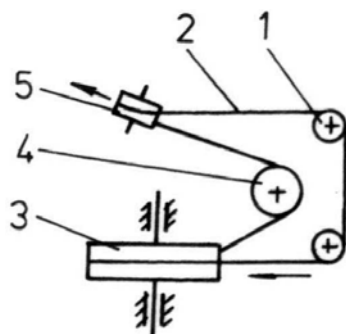


Fig. 9.15

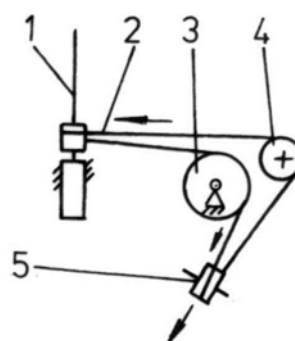


Fig. 9.16

În figura 9.16 fusul 1 este antrenat cu ajutorul curelei 2 de la roata 3 situată pe arborele principal. Rola 4 este de ghidare și rola 5 este întinzătoare.

Ultimele două soluții se adoptă la fuse mijlocii și grele.

b) **Antrenarea prin curea tangențială** (patent SKF-1963) este ilustrată în figura 9.17 în două variante: cu o singură curea tangențială a) și cu două curele b).

În varianta a) fusele 1 sunt antrenate de cureaua 2 prin intermediul roții motoare 3; cureaua este susținută de rolele de ghidare 4 și tensionată de rola întinzătoare 5. Rolele de presare 6 apasă cureaua pe roțile fuselor textile în vederea obținerii forței de frecare necesare rotirii acestora.

În varianta b) se folosesc două curele tangențiale, câte una pentru fiecare parte a mașinii; antrenarea curelelor se efectuează prin intermediul roților 3 și 4 de la roata motoare 5. Curelele sunt susținute de rolele de ghidare 6 și întinse cu rolele 7.

La mașinile de filat superlungi se folosesc antrenări prin curele tangențiale pe secțiuni.

Varianta a) este adoptată pentru puteri mici (fuse ușoare). Varianta b) necesită curele cu secțiune mai mică și oferă durabilitate sporită.

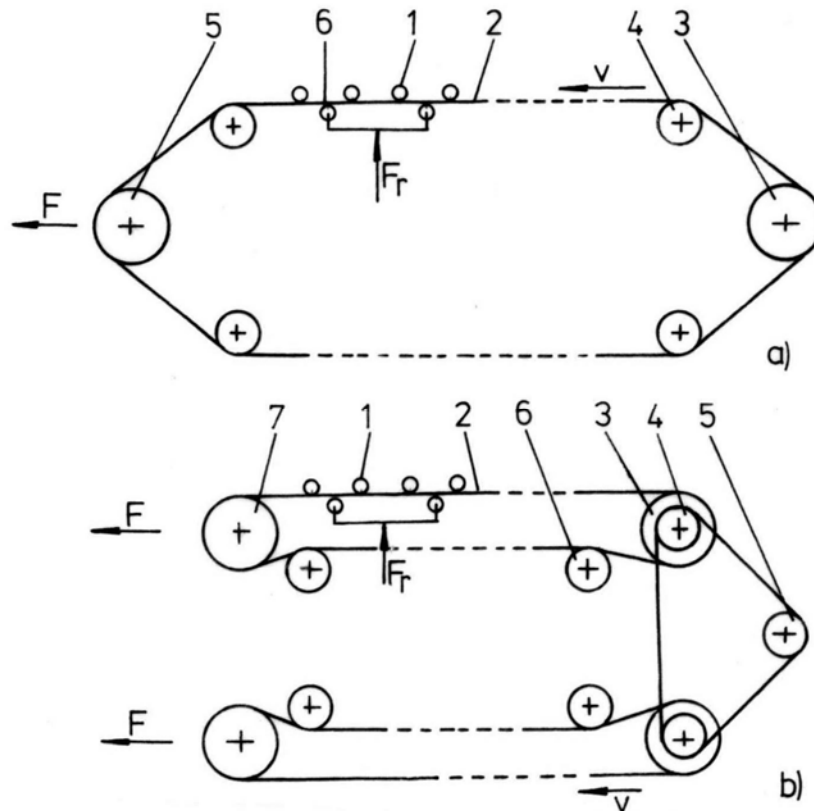


Fig. 9.17

Antrenarea prin curea tangențială a căpătat o răspândire largă datorită avantajelor pe care le oferă în comparație cu transmisiile clasice prin curele textile; mai importante sunt:

- abateri ale turațiilor fuselor până la 1,5... 1,8%, față de 2,5...5% la curelele textile clasice.
- asigurarea unei funcționări corecte la turații înalte ($n_f = 20000$ rot/min).
- eliminarea arborelui principal din structura mașinilor de filat și de răsucit oferindu-se posibilitatea îngustării acestor mașini, amplasarea mecanismelor pentru levată automată ca și a tubulaturii pentru aspirație în spațiul rămas liber.
- realizarea transmisiilor închise capabile să ofere nivel de zgomot micșorat cu aproximativ 5 dBA.

- asigurarea unei durabilități de 2-3 ani și a unei întrețineri economice.

Curelele tangențiale sunt executate de firme specializate utilizându-se inserții textile din poliamidă, poliester impregnat cu cauciuc poliuretanic, mase plastice adecvate. Coeficientul de frecare curea-roată are valori ridicate ($\eta = 0,6...0,7$).

Execuția necesită precizie ridicată îndeosebi cu privire la paralelismul axelor de rotație de la rolele de ghidare și de tensionare și la diametrele roților de curea montate pe fuse ($\Delta\phi \leq 0,01\text{mm}$).

c) *Antrenarea tangențială cu dublu efect*

În cazul antrenării tangențiale cu simplu efect, fusele sunt apăsate pe o singură parte a roților de curea fixate de tijele acestora – figura 9.17. Această soluție are dezavantajul că lagărele superioare ale fuselor sunt încărcate radial, cu consecințe defavorabile asupra consumului de putere și asupra durabilității rulmenților respectivi. În plus, la fusele cu lagăr superior suspendat elastic față de cupă sau față de banca fuselor, încărcările radiale deplasează tijele fuselor ceea ce conduce la apariția unor excentricități ale acestora față de inelele fixate de banca respectivă; excentricitățile menționate provoacă majorări ale forțelor de întindere din fire, fapt care favorizează creșterea frecvenței de rupere a acestora, cu precădere la funcționarea cu turații înalte.

În scopul descărcării lagărului superior al fusului de forțele radiale, a fost realizată soluția cu antrenare tangențială cu dublu efect, prin utilizarea unor role presătoare care să apese și brațul de întoarcere al curelei pe roțile de curea de la fuse – figura 9.18.

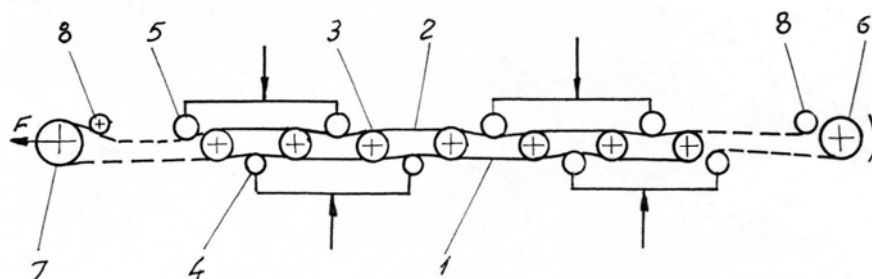


Fig. 9.18

Cureaua tangențială, cu brațul activ 1 și brațul de întoarcere 2, antrenează roțile de curea 3 ale fuselor textile datorită forțelor exercitate de rolele presătoare 4 pentru brațul activ și rolele presătoare 5 pentru

brațul de întoarcere. Cureaua tangențială este antrenată de roata motoare 6 tensionată de rola 7, brațul de întoarcere fiind ghidat de rolele 9.

În figura 9.19 sunt prezentate forțele tangențiale T și cele radiale R , pe care le exercită cele două brațe ale curelei asupra roții de curea 3 a fusului textil. Forțele radiale R se anulează reciproc; roata de curea a fusului este descărcată de sarcini radiale. Forțele tangențiale T dau naștere cuplului motor $M_t = T \cdot d$ care antrenează fusul textil.

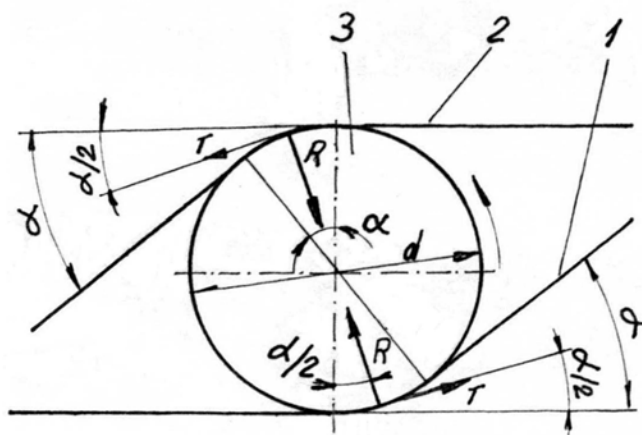


Fig. 9.19

Antrenarea prin curea tangențială cu dublu efect, aplicată la mașinile de filat și de răsucit cu inele, prezintă următoarele avantaje:

- se elimină încărcarea radială a lagărului superior provenită de la cureaua tangențială;
- se asigură o centrare precisă a fusului față de inel;
- crește durabilitatea rulmentului din lagărul superior;
- se micșorează consumul de putere al fusului textil;
- se micșorează forța de tensionare a curelei tangențiale aproximativ la jumătate;
- se micșorează forțele de apăsare ale rolelor presătoare aproximativ la jumătate.

9.5.3. Elemente de proiectare a transmisiilor pentru antrenarea fuselor textile

9.5.3.1. Proiectarea transmisiilor prin curelele textile are drept obiectiv stabilirea dimensiunilor și forțelor de întindere ale curelei, a dimensiunilor arborelui principal pe care sunt montate roțile de curea.

Calculule se efectuează pentru condițiile cele mai grele de exploatare: turație maximă $n_{f_{max}}$ a fuselor și bobine pline.

a) **Dimensiunile curelei și forțele de întindere** se stabilesc pe baza satisfacerii capacității de tracțiune (metoda curbelor de alunecare) fără patinare, cu asigurarea unei durabilități satisfăcătoare.

Pentru exemplificare se adoptă cazul unei transmisii prin curea textilă pentru un grup de patru fuse. În figura 9.20 este prezentată schema de calcul pentru cazul când se consideră o singură rolă de întindere-ghidare.

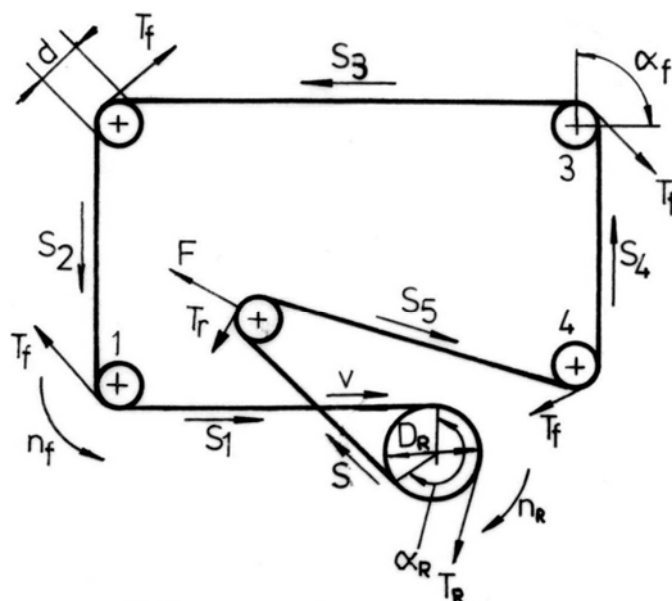


Fig. 9.20

Notațiile din figură au semnificațiile:

1,2,3,4, - fuse textile;

5 - roata motoare montată pe arborele principal al mașinii;

6 - rola de întindere-ghidare;

$S, S_1, S_2, S_3, S_4, S_5$ - forțele de tracțiune în curea;

T_R - forța tangențială la roata motoare;

α_f, α_R - unghiul de înfășurare a curelei;

n_R - turația roții motoare;

n_f - turația fuselor;

v - viteza curelei;

F - forța la rola de întindere;
 T_f, T_r - forțe de frecare;
 d - diametrele nucilor de la fuzele textile;
 d_R - diametrul roții motoare.
 Calculele se desfășoară în următoarea ordine:

$$1. v = \frac{\pi \cdot d \cdot n_f}{60} \quad (\text{m/s}) \quad (9.76)$$

$$2. T_R = \frac{P}{v} \quad (\text{N}) \quad (9.77)$$

în care P este puterea consumată de cele patru fuzel, stabilită pe cale experimentală.

Forța T_R rezultă și din figura 9.20:

$$T_R = 4 \cdot T_f + T_r \quad (9.78)$$

3. Din relația (9.78) se obține:

$$T_f = \frac{T_R - T_r}{4} \quad (9.79)$$

Forța $T_R \approx (0,3...0,5)$ N, din experimente efectuate pe mașini existente.

4. Se calculează efortul unitar util admisibil la roata motoare 5:

$$\sigma_{uaR} = (0,8...0,9) \cdot \sigma_{u0} \cdot C_1 \cdot C_2 \cdot C_3 \quad (9.80)$$

în care:

σ_{uaR} - efortul unitar util admisibil; este stabilit în funcție de anumite condiții de funcționare și de tipul de curea; valori pentru acest efort admisibil sunt prezentate în tabelul 9.2 în funcție de σ_s - efortul de întindere inițial al curelei care se adoptă după experiența de exploatare;

C_1 - coeficientul unghiului de înfășurare - tabelul 9.3;

C_2 - coeficientul care depinde de raportul d_R/δ , δ - grosimea curelei, - tabelul 9.4;

C_3 - coeficientul condițiilor de lucru - tabelul 9.5.

Tabelul 9.2

Tipul curelei $\frac{N_m \text{ bătătură}}{N_m \text{ urzeală}}$	σ_s (N/mm ²)				
	0,4	0,6	0,8	1	1,2
bumbac $\frac{20/2}{20/2}$	0,24	0,36	0,48	0,6	-
bumbac $\frac{85/2}{85/2}$	0,32	0,48	0,64	0,8	-
poliamidă	-	0,4	0,5	0,6	0,7

Tabelul 9.3

α_R^0	90	140	180	230	270
C_1	0,444	0,742	1	1,37	1,705

Tabelul 9.4

d_R/δ	20	40	70	≥ 80
C_2	0,87	0,95	0,98	1

Tabelul 9.5

Natura curelei / și mediul de lucru	C_3
Bumbac, poliamidă / mediu uscat	1
Bumbac / mediu umed	0,835

5. Se calculează secțiunea necesară pentru curea ($A = b \cdot \delta$), cu δ adoptat prin C_2 :

$$A = T_R / \sigma_{uaR} \quad (9.81)$$

6. Se alege cureaua tipizată cu secțiunea $A' \geq A$.

7. Se alege forța S din brațul condus al curelei:

$$S = A \cdot \sigma_s \quad (9.82)$$

9. Forțele pe celelalte porțiuni de curea sunt:

$$\begin{aligned}
 S_5 &= S + T_f; \\
 S_4 &= S_5 + T_f; \\
 S_3 &= S_4 + T_f; \\
 S_2 &= S_3 + T_f; \\
 S_1 &= S_2 + T_f.
 \end{aligned}
 \tag{9.83}$$

9. Forța pe rola întinzătoare va fi:

$$\bar{F} = \bar{S} + \bar{S}_5
 \tag{9.84}$$

b) **Dimensiunile arborelui principal** de la mașinile de filat și de răsucit se determină luând în considerare o serie de cerințe specifice mașinilor de filat și de răsucit.

În figura 9.21 este prezentată schema de calcul a unui arbore principal, încărcat cu momentul de răsucire M_t necesar antrenării și cu forțele Q provenite de la roțile motoare ale transmisiilor prin curele; aceste forțe fiind aplicate la distanțe mici se consideră uniform repartizate.

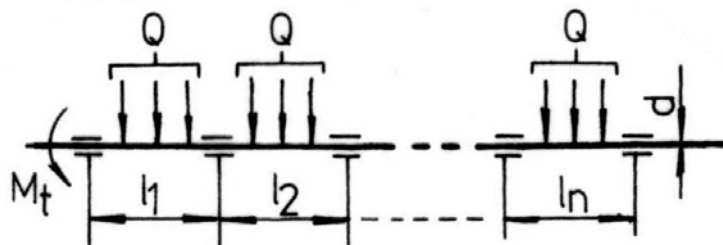


Fig. 9.21

O altă particularitate provine de la faptul că lungimile tronsoanelor l_i se adoptă de regulă egale cu lungimile secțiunilor mașinii. Se mai ia în considerare și faptul că pentru diametrul arborelui principal se adoptă aceeași valoare la toate tronsoanele, cu scopul unificării reperelor componente (lagăre, cuplaje, roți de curea).

În consecință având lungimile l_i stabilite se vor efectua calculele necesare pentru diametrul d precum urmează:

- predimensionare pe baza solicitării la răsucire în zona primului tronson l_1 ;
- verificarea la oboseală în secțiunile cele mai solicitate;
- verificarea la suprasarcină (de regulă cu $M_{t \max}$ care apare la pornirea mașinii);
- adoptarea valorii adecvate pentru diametrul d .

Turația critică n_0 se calculează cu relația pentru sarcină uniform distribuită conform schemei din figura 9.22.

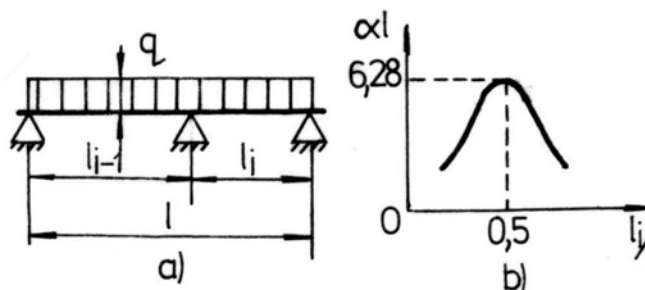


Fig. 9.22

$$n_0 = 9,55 \cdot \left(\frac{\alpha \cdot l}{l_i} \right)^2 \cdot \sqrt{\frac{E \cdot I}{q}} \quad (9.85)$$

Parametrul $(\alpha \cdot l)$, care conține pulsația oscilațiilor proprii capătă valori dependente de raportul l_i/l - figura 9.22 b).

9.5.3.2. Proiectarea transmisiilor prin curele tangențiale se efectuează, de regulă, după prescripțiile indicate de constructorul de curele. În principiu se alege grosimea curelei $\delta = 3 \dots 6$ mm, după care se calculează lățimea b :

$$b = K \cdot T / T_{10} \quad (9.86)$$

în care:

T este forța tangențială necesară antrenării fuselor;

K - coeficientul condițiilor de lucru (din cataloagele fabricantului);

T_{10} - forța tangențială admisibilă pentru 10 mm lățime de curea (după cataloage).

Forța tangențială necesară este:

$$T = P_t / v \quad (9.87)$$

unde:

P_t este puterea necesară antrenării fuselor;

v - viteza curelei.

Forțele de întindere F și de presare a rolor F_r sunt prescrise de fabricanții curelelor tangențiale și accesoriilor utilizate.

BIBLIOGRAFIE

1. Buzdugan, Gh., Fetcu, L., Radeş, M., Vibrațiile sistemelor mecanice, Editura Academiei, București, 1975.
2. Drăgan, B., Controlul vibrațiilor și zgomotului, Editura Gh. Asachi, Iași, 2003.
3. Gafițanu, M., Hanganu, L., Privire critică asupra fuselor textile cu tijă rotitoare, Industria Ușoară, București, nr.5, 1983.
4. Gafițanu, M., ș. a., Organe de mașini, vol.I, Editura Tehnică, București, 1999.
5. Gafițanu, M., ș. a., Organe de mașini, vol.II, Editura Tehnică, București, 2002.
6. Hanganu, L., Stand pentru testarea și cercetarea fuselor textile, Revista "Industria Ușoară", București, nr.1/1983.
7. Hanganu, L., Instalație pentru măsurarea consumului de putere la fusele textile - Brevet de invenție, România nr.87020/31.01.1985.
8. Hanganu, L., Contribuții la determinarea consumului de putere la accesoriile rotitoare pentru mașini din filatură, Revista "Industria Ușoară" nr.8/1985, București.
9. Hanganu, L., Vibrometru textil, Inovația nr.586/18.05.1987, Ministerul Educației și Învățământului, București.
10. Hanganu L., Vibrometru textil, Revista "Industria Ușoară", București, nr.5/1987.
11. Hanganu, L., Suport tijă pentru fuse textile cu tub rigid de legătură între lagăre și rezemare elastică față de cupă, Brevet România nr.99305/1989.
12. Hanganu, L., Contribuții la optimizarea rezemării fuselor textile, Teză de doctorat, Iași, 21 aprilie 1989
13. Hanganu, L., O nouă soluție pentru fus textil cu rezemare elastică a lagărelor, Revista "Industria Ușoară" nr.3/1991.
14. Hanganu, L., Dispozitiv pentru antrenarea fuselor textile prin curea tangențială, Brevet România nr.102707/1991.
15. Hanganu, L., On the theoretical study of the dynamics of the textile spindles, The Sixth International Conference on the Theory of Machines and Mechanisms, Liberec - Czechoslovakia, Sept.1992.

16. Hanganu, L., Hanganu, V., Mașini pentru filatură - manual, Rotaprint, Universitatea Tehnică "Gh.Asachi" Iași, 1992.

17. Hanganu, L., Antrenarea prin curea tangențială cu dublu efect la mașinile de filat și de răsucit cu inel și cursor, Revista "Industria Ușoară" nr.2/1993, București.

18. Hanganu, L., Elemente de automatizare pentru mașinile de filat cu inele, Revista "Industria Ușoară" nr.3/1993, București.

19. Hanganu, L., Control Monitoring Systems In Spinning Process, Buletinul Institutului Politehnic din Iași publicat de Universitatea Tehnică „Gh. Asachi” Iași. Tomul XLVII(LI), Supliment 2001, Secția Construcții de mașini.

20. Hanganu, L., A Mechatronical Device Applied To The Ring Spinning Frames For Interrupting Roving When Ends Down Occurs, Buletinul Institutului Politehnic din Iași publicat de Universitatea Tehnică „Gh. Asachi” Iași. Tomul XLVII(LI), Supliment 2001, Secția Construcții de mașini.

21. Hanganu, L., A New Mathematical Model Applied to the Theoretical Study for Textile Spindles, Buletinul Institutului Politehnic din Iași, Tom XLVII (LI), fasc. 3-4, 2001.

22. Hanganu, L., Analiză critică a soluțiilor constructive pentru fusele textile, Revista Română de textile-pielărie, nr.4,Iași, 2001.

23. Hanganu, L., Mașini pentru filatură, Editura “Gh. Asachi” Iași, 2001.

24. Hanganu, L., Implementarea sistemelor expert în filaturi, Conferința internațională de Inginerie Integrată C2I, 25-26 aprilie 2002, Timișoara.

25. Hanganu, L., Aspecte specifice în proiectarea mașinilor pentru filatură, Conferința internațională de Inginerie Integrată C2I, 25-26 aprilie 2002, Timișoara.

26. Hanganu, L., Measurement Automation And Diagnosis In Spinning, Buletinul Institutului Politehnic din Iași publicat de Universitatea Tehnică „Gh. Asachi” Iași. Tomul XLVIII(LII), Supliment II, 2002, Secția V, Construcții de mașini.

27. Hanganu, L., C., Vilcu, C., Contributions to the theoretical study of textile spindles dynamics, Meridian Engineering nr.3, 2002.

28. Hanganu, L., C., Vilcu C., A short history of textile spindles development, Meridian Engineering nr.3, 2002.

29. Hanganu, L., C., Vîlcu, C., Considerations on increasing technological performances on ring frames, *Meridian Engineering* nr.3, 2002.
30. Hanganu, L., C., Vîlcu, C., Development of an expert system for spinning factories, *International Science and Engineering Conference „Machine building and technosphere of the xxi century”*, Sept. 9 -14 2002, Sevastopol, Ucraina, Tom 3, secțiunea IX.
31. Hanganu, L., *Mașini pentru filatură – aplicații practice*, Editura Tehnopress, Iași, 2002.
32. Hanganu, L., C., Vîlcu, C., Piroi, C., *Mașini și procese tehnologice în filatură-aplicații*, Editura Tehnica-info, Chișinău, 2002.
33. Hanganu, L., C., Vîlcu, C., Murărașu, E., The ring excentricity influence from the spinning machines upon the stretch force of the yarn, *Meridian Engineering* nr.1, 2003.
34. Hanganu, L., C., Vîlcu, A., Murărașu, E., Aggregation, automation and robotisation within the industrial systems of yarn production of cotton type, *Meridian Engineering* nr.2, 2003.
35. Hanganu, L., Recent developments in ring spinning machines, *Conferința Internațională TMCR 2003, Chișinău, mai 2003*, vol. 4.
36. Hanganu, L., A mechatronic compensator for spinning technologies, *International Science and Engineering Conference „Machine building and technosphere of the xxi century”*, Sept. 8 -14 2003, Sevastopol, Ucraina, Tom 4.
37. Hanganu, L., Tudose-Sandu-Ville, Fl., Murărașu, E., Knowledge Based System To Interpret The Weight Regularity Of The Yarn In Spinning Technologies, *Meridian Engineering* nr.4, 2003.
38. Hanganu, L., Vîlcu, A., An experimental approach on damping coefficients specific to textile spindles, *Buletinul Institutului Politehnic din Iași*, fasc. 1-2, 2003.
39. Hanganu, L., C., Maria, Vîlcu, Hagi, Gh., Vibration monitoring of the ring spinning, *Meridian engineering*, nr. 1, 2004.
40. Hanganu, L., C., Vîlcu, Maria, Harghel, Livia, *Mașini de filat cu inele – elemente teoretice și experimentale*, Editura Tehnopress, Iași, 2004, ISBN 973-8377-89-7.
41. Hanganu, L., C., Știrbu, C., Ianuș, G., Specific aspects of the automation in textile industry, *Buletinul Institutului Politehnic din Iași*, Tomul L (LIV), Fasc. Vb, 2004, Secția Construcției de mașini, p. 417 – 420, ISSN 1011-2855.

42. Hanganu, L., C., Știrbu, C., Ianuș, G., An automatic programming transfer system for supplying cotton cards, Buletinul Institutului Politehnic din Iași, Tomul L (LIV), Fasc. Vb, 2004, Secția Construcții de mașini, p. 409 – 412, ISSN 1011.

43. Hanganu, L., C., Știrbu, C., Ianuș, G., Software for textile spindles dynamics study, Buletinul Institutului Politehnic din Iași, Tomul L (LIV), Fasc. Vb, 2004, Secția Construcții de mașini, p. 413 – 416, ISSN 1011-2855

44. Hanganu, L., C., Sisteme de control activ a subsamblelor specifice masinilor textile si implementarea acestora la masinile pentru filatura, Grant CNCISIS, cod 518, tema 27, contract nr. 333371/29.06.2004.

45. Hanganu, L., C., Vilcu, Maria, Vilcu, C., Principal factors to decide the spinning performance of ring and traveller from ring frames, Buletinul Institutului Politehnic din Iași, Tomul L (LIV), Fasc. 6A, 2004, Secția Construcții de mașini, p.177 – 181, ISSN 1011-2855.

46. Hanganu, L., Hagi, Gh., Tudose-Sandu-Ville, Fl., The mechatronics design process, Buletinul Institutului Politehnic din Iași, Tomul L (LIV), Fasc. 6A, 2004, Secția Construcții de mașini, p.375 – 379, ISSN 1011-2855.

47. Hanganu L.,C., Maria, Vilcu, Hagi, Gh., Vibration monitoring of the ring spinning, Meridian Engineering nr. 1, Chișinău, 2004, p.89-91, ISSN 1683-853x.

48. Hanganu, L., C., Știrbu, C., Special program for textile spindles dynamics, IX. International Conference on the Theory of Machines and Mechanisms in association with the II. CEACM Conference on Computational Mechanics, Proceedings, August 31 – September 2, Liberec, Czech Republic, 2004, p.339-344.

49. Hanganu, L., C., Vilcu Maria, Tudose-Sandu-Ville, Fl., Some considerations on the dynamics of ring-traveller assembly from ring frames with rotative rings, IX. International Conference on the Theory of Machines and Mechanisms in association with the II. CEACM Conference on Computational Mechanics, Proceedings, August 31 – September 2, Liberec, Czech Republic, 2004, p.345-350.

50. Ștefanovici, M., Hanganu, L., C., Gelu Ianuș, Differential equation of ring frames, International Science and Engineering Conference „Machine Building and Technosphere of the XXI Century”, 13-18 Sept., 2004, Sevastopol, Ucraina, Tom 4, secțiunea, p.234-237.

51. Hanganu, L., C., Ștefanovici, M., Bejan Liliana, Yarn dynamics between drawing frame and sliding post, International Science and Engineering Conference „Machine Building and Technosphere of the XXI Century”, 13-18 Sept., 2004, Sevastopol, Ucraina, Tom 4, secțiunea, p.271-275.
52. Hanganu, L., C., Ștefanovici, M., Gelu Ianuș, Some considerations on the yarn dynamics between traveller and bobbin, International Science and Engineering Conference „Machine Building and Technosphere of the XXI Century”, 13-18 Sept., 2004, Sevastopol, Ucraina, Tom 4, p.275-278.
53. Vîlcu, Maria, Hanganu, L., C., Vîlcu, C., Tehnologia firelor textile, Editura Tehnopress, Iași, 2005, ISBN 973-702-061-8.
54. Hanganu, L., Ianuș G., Experimental Research on Textile Spindles Damping Systems in Order to Decrease Their Power Consumption, The 15th International Colloquium Tribology, Technische Akademie Esslingen, January 17 – 19, 2006.
55. Hanganu L. C., Sisteme mecatronice mobile inteligente cu impact ecologic pentru echipamente textile - SYMTEX, proiect CEEX 4694 modulul I/2006, contract nr. 205/20.07.2006 cu AMCSIT-Politehnica București.
56. Hanganu, L., C., Bodi, Gh, Mocanu, Florentina, Kinematics considerations of the yarn forming between traveller and bobbin. Part I – Mathematical model, Buletinul Institutului Politehnic din Iași, Tomul LII (LVI), Fasc. 5D, 2006, Secția Construcției de mașini, p. 1435 – 1438,
57. Hanganu, L., C., Bodi, Gh, Mocanu, Florentina, Kinematics considerations of the yarn forming between traveller and bobbin. Part II – The wrapping speed calculus, Buletinul Institutului Politehnic din Iași, Tomul LII (LVI), Fasc. 5D, 2006, Secția Construcției de mașini, p. 1439 – 1442.
58. Hanganu, L., C., Bodi, Gh, Mocanu, Florentina, On the yarn dynamics between yarn guide and traveller, Buletinul Institutului Politehnic din Iași, Tomul LII (LVI), Fasc. 5D, 2006, Secția Construcției de mașini, p. 1443 – 1446.
59. Hanganu, L., C., Ibanescu, R., Specific aspects of contacts between ring and traveller from ring frames. part I – preliminary hypothesis for theoretical study, Buletinul Institutului Politehnic din Iași, Tomul L (LIV), Fasc. 6A, 2004, Secția Construcției de mașini, p.247 – 250, ISSN 1011-2855.

60. Hanganu, L., C., Ibănescu, R., Specific aspects of contacts between ring and traveller from ring frames. Part II – mathematical model, Buletinul Institutului Politehnic din Iași, Tomul L (LIV), Fasc. 6A, 2004, Secția Construcției de mașini, p.458 - 461, ISSN 1011-2855.

61. Hanganu, L., C., On-line quality supervision of rotor yarns – a mechatronical device, The 13th International Science and Engineering Conference „Machine Building and Technosphere of the XXI Century”, 11-16 Sept., 2006, Sevastopol, Ucraina, Tom 4, p.278-282.

62. Hanganu, L., C., Specific aspects on mobile mechatronics intelligent systems with ecological impact for textile machines, The 13th International Science and Engineering Conference „Machine Building and Technosphere of the XXI Century”, 11-16 Sept., 2006, Sevastopol, Ucraina, Tom 4, p.282-286.

63. Ianuș, G., Grigoraș, St., Hanganu L. C., Borzan, M., The Effects of the Damaged Structure of Greases Soaps on Ball Bearings Vibration, Materiale Plastice, nr. 1/2007, MPLAAM 44(1) 2007, p.47-50, ISSN 0025/5289, 2005 Impact factor: 0,412, Recensed by Chemical Abstracts Current Contents, Indexed by Institute for Scientific Information (ISI).

64. Hanganu, L., C., Bodi, Gh., Sârbu, I., Experimental Studies on Flyers Dynamics, Conferința Internațională “Tehnologii moderne, calitate, restructurare”, TMCR-2007, Chișinău, 31 mai – 03 iunie 2007, vol. 2, p. 355 - 358, ISBN 978-9975-45-036-2.

65. Hanganu, L., C., Bodi, Gh., Sârbu, I., General Aspects on Mechatronics Applied to Textile Machines and Processes, Conferința Internațională “Tehnologii moderne, calitate, restructurare”, TMCR-2007, Chișinău, 31 mai – 03 iunie 2007, vol. 2, p. 359 - 364, ISBN 978-9975-45-036-2.

66. Hanganu, L., C., Bodi, Gh., Sârbu, I., Experimental Researches on Flyers Power Consumption, Conferința Internațională “Tehnologii moderne, calitate, restructurare”, TMCR-2007, Chișinău, 31 mai – 03 iunie 2007, vol. 2, p. 365 - 368, ISBN 978-9975-45-036-2.

67. Hanganu L. C., Mocanu Florentina, Calculus Elements for Flyers Design – Bent Moments Calculus, The 14th International Science and Engineering Conference „Machine Building and Technosphere of the XXI Century”, 17-22 Sept., 2007, Sevastopol, Ucraina.

68. Hanganu L. C., Applied Mathematics to Cards' Braker Drums Design, The 14th International Science and Engineering Conference „Machine Building and Technosphere of the XXI Century”, 17-22 Sept., 2007, Sevastopol, Ucraina.

69. Hanganu, L., C., Mecatronica utilajului textil – fundamente teoretice, Editura Tehnopress, Iași, 2005, ISBN 973-702-048-0.
70. Hanganu, L., C., Bodi, Gh., Ianuș, G., Tudose Sandu-Ville, Fl., Aplicații mecatronice în industria textilă, Editura Tehnopress, Iași, 2005, ISBN 973-702-062-6.
71. Hanganu, V., Contribuții privind îmbunătățirea exploatarei fuselor textile. Teză de doctorat, 1975.
72. Hanganu, V., Hanganu, L., Pantelimonescu, Fl., Nitu, M., Instalație pentru echilibrarea cilindrilor defibratori, Industria Ușoară nr.10/1985, București.
73. Hanganu, V., Hanganu, L., Cuzic Carmen, Mașini pentru filatură - îndrumar de laborator, ediția a II-a, Rotaprint - Universitatea Tehnică "Gh.Asachi" Iași, 1991.
74. Harris, C., M., Crede, Ch., R., Șocuri și vibrații. Vol. I, II și III. Editura Tehnică, București, 1968, 1969.
75. Jinescu, V., V., Utilaj tehnologic pentru Industrii de Proces, 4 volume, Editura Tehnică, București, 1983, 1984, 1988 și 1989.
76. Mangeron, D., Irimiciuc, N., Mecanica rigidelor cu aplicații în inginerie, vol.I, II, III, Editura tehnică, București, 1978.
77. Rusanovschi, V., Copilu, V., Proiectarea filaturilor de bumbac, Editura Tehnică București, 1978.
78. xxx – Belastungsangaben für SKF Zentrierrohrhülsen HF und HZ, Technische Information, nr.293, SKF – R.F.G., 1972.
79. xxx - CM 23 - Cartea mașinii pentru mașinile de filat tip UNIMAT pentru filarea firelor de tip bumbac cardat sau pieptănat 70FB, 75FB, 825FB, 5FB, 100FB, S.C. Unirea S.A. Cluj-Napoca.
80. xxx – Information für Spinnereien, Versuchstätigkeit der Spindelabteilung SKF, Bestell nr.72 d, SKF – R.F.G.
81. xxx – Information pour filatures, Douilles à rotule SKF, Référence 28 f, Germania.
82. xxx - Information pour filatures, Douilles cylindrique SKF à tube flottant, , Référence 24 f, Germania.
83. xxx - Information pour filatures, Lubrification pour materiel textile, SKF, Germania.
84. xxx – ITMA, Paris, 1999.
85. xxx – ITMA, Birmingham, 2000.
86. xxx – Livret Süessen, 6^e Edition F 0180645, Germania.
87. xxx – Manualul inginerului textilist, Editura AGIR, București, 2002.

88. xxx – Prospecte : SMM – Elveția, Carnitti – Italia, Platt – Anglia, Roberts – S.U.A., SACM – Franța, NSK – Japonia, Kansai Spindel – Japonia.

89. xxx – Technische Mitteilung Süessen WST, Germania.

